



GOBIERNO  
de  
CANTABRIA

Consejería de Industria, Trabajo y Desarrollo Tecnológico



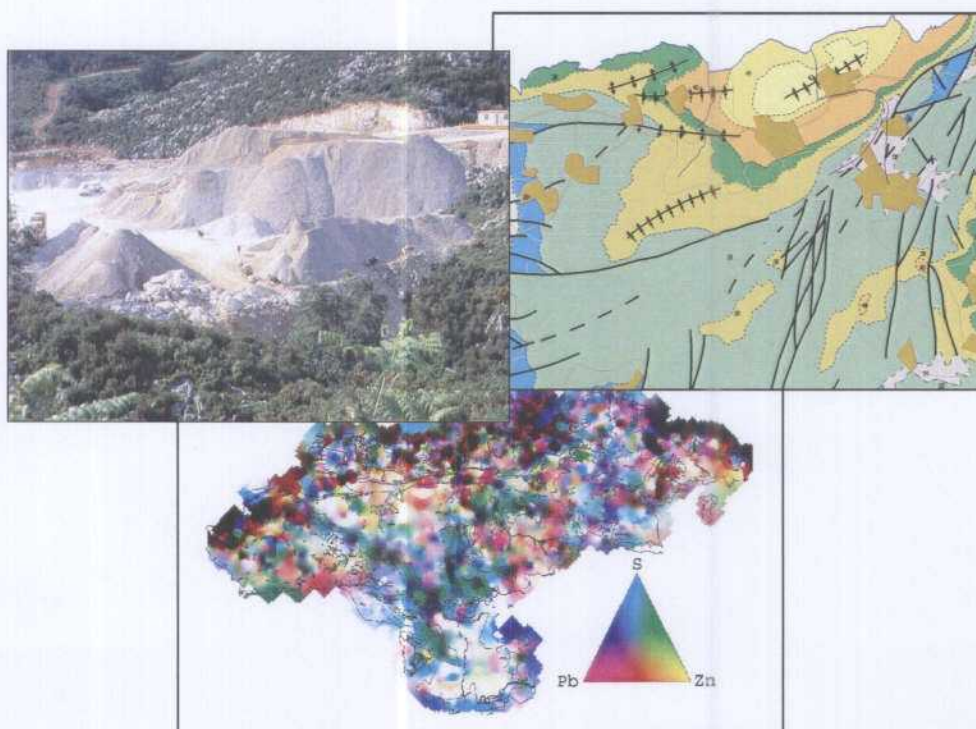
MINISTERIO  
DE CIENCIA  
Y TECNOLOGÍA



Instituto Geológico  
y Minero de España

Dirección de Recursos Minerales y Geoambiente

# EXPLORACIÓN Y CARTOGRAFÍA GEOQUÍMICA MULTIELEMENTAL DE CANTABRIA FIGURAS



BASES DE UNA ESTRATEGIA DE  
DESARROLLO DE LOS RECURSOS  
MINERALES DE CANTABRIA

AÑO 2002

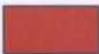
## **TABLAS, FIGURAS Y MAPAS DIN A4**

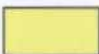
# **TABLAS**

Muestra	Hoja	UTMX	UTMY	LITOLÓGIA	Cod.litológico	Unidad litológica
1	81	366175	4772850	Pizarras, areniscas y cuarcitas (La Vega)	2	2
2	81	358025	4775000	Lutitas, areniscas y conglomerados (SE de Fuente De)	3	3
3	81	359425	4774700	Conglomerados silíceos (con areniscas y lutitas) (Cosgaya. W. De Potes)	3	3
4	81	361575	4778900	Areniscas y lutitas (Camaleño)	2	3
5	56	369725	4783075	Pizarras o lutitas y areniscas (Tama)	2	3
6	33	377850	4804700	Areniscas blancas (Pechón)	3	3
7	56	371975	4788425	Calizas masivas gris-claras (La Hermida)	1	1
8	57	384400	4792950	Calizas grises (Celis. N. de Puentenensa)	1	1
9	57	385450	4791625	Calizas margosas (N. De Puentenansa)	1	1
10	56	370650	4785950	Lutitas y areniscas (Lebeña)	2	2
11	82	386700	4776650	Conglomerados (Embalse La Cohilla)	3	4
12	58	412050	4786550	Areniscas y lutitas moradas (S. De Los Corrales)	2	4
13	83	413050	4771550	Areniscas, casi cuarcitas, y conglomerados (NE. De Reinosa)	3	4
14	82	386575	4776600	Lutitas rojas (Embalse La Cohilla)	2	5
15	33	396725	4802425	Areniscas y margas de Trías (S. de Comillas)	2	5
16	58	425425	4795350	Ofitas (Castañeda-San Román)	4	6
17	108	407350	4756175	Calizas y dolomías grises (Cervatos. S. de Reinosa)	1	7
18	60	464950	4792550	Dolomías-carniolas (NE. Ramales de la Victoria)	1	7
19	57	394900	4787825	Calizas gris-oscuros (Valle de Cabuérniga)	1	7
20	107	402350	4745650	Calizas y margocalizas grises con lumacaquelas (SW. De Mataporquera)	1	7
21	108	411550	4751050	Margocalizas (Arroyal. SE. de Reinosa)	1	7
22	57	389300	4781225	Margas (Tudanca. S. de Puentenansa)	1	7
23	57	389450	4781300	Areniscas, conglomerados y calizas arenosas (Tudanca. S. de Puentenansa)	3	8
24	57	396100	4788450	Areniscas (Barcenillas. Valle de Cabuérniga)	3	8
25	57	396200	4788350	Pizarras negras (Bárcena Mayor. Valle de Cabuérniga)	2	8
26	58	411850	4792650	Areniscas (Los Corrales)	3	8
27	59	443225	4787850	Areniscas, cuarcitas y pizarras negras (San Roque de Riomiera)	3	8
28	34	417750	4810900	Calizas con orbitolinas (Cuchía. N. de Torrelavega)	1	9
29	35	433350	4801550	Calizas (Cabárceno)	1	9
30	36	470450	4798150	Caliza brechificada de óxidos (E. de Ampuero)	1	9
31	60	459050	4783075	Pizarras negras (SO. de Ramales de la Victoria)	2	10
32	34	411400	4798900	Calizas-dolomías (Reocín)	1	9
33	59	456675	4792400	Caliza gris con orbitolinas (Lastras. Valle del Asón)	1	11
34	59	455475	4793350	Calizas negras (Ogarrio. Valle del Asón)	1	11
35	35	447450	4810175	Calizas oscuras (Güemes. E. de Santander)	1	13
36	35	447375	4810075	Areniscas ferruginosas (Güemes. E. de Santander)	3	12
37	36	462100	4803100	Pizarras negras y areniscas ferruginosas (Treto)	2	12
38	34	410350	4805450	Areniscas y calcarenitas ferruginosas (Santillana)	3	12
39	34	411225	4808750	Calizas-calcarenitas (Ubiarco. N. de Santillana)	1	13
40	59	447450	4794750	Calizas (Puerto Alisas. NO. de Arredondo)	1	13
41	35	440725	4811475	Calizas con fósiles y sulfuros (Somo)	1	13
42	34	411425	4802925	Calizas arcillosas y margas (Sestieres. S. de Santillana)	1	13
43	34	424550	4811300	Calizas arenosas (S. de Lienres)	1	13
44	33	382925	4801900	Calcarenitas (SO. San Vicente de la Barquera)	1	14
45	33	383000	4802150	Caliza arenosa? (en grano de arroz) (idem)	1	14
46	33	382350	4803200	Margas (Los Tanagos. W. de San Vicente de la Barquera)	1	14
47	33	391950	4804600	Calizas rosadas (W. de Comillas)	1	14
48	134	414500	4739450	Areniscas rojizas (Villanueva de Nía. Valderredible)	3	8
49	134	405300	4739950	Arenas de la Formación Utrillas (San Andrés de Valdelomar)	3	12
50	109	431875	4753900	Areniscas o calcarenitas ferruginosas (Renedo de Bricia)	3	8

Tabla 1. Cuadro de datos geográficos y geológicos de las muestras de rocas

Elemento Químico	Unidades litoestratigráficas													
	1	2	3	4	5	6	7	8	9	10	11	12	13	14
Al	Blue	Yellow	Yellow	Yellow	Red	Red	Blue	Blue	Blue	Yellow	Blue	Red	Blue	Blue
Ca	Red	Blue	Yellow	Blue	Blue	Yellow	Red	Blue	Red	Red	Red	Blue	Red	Red
Fe	Blue	Red	Red	Blue	Red	Red	Yellow	Yellow	Red	Yellow	Blue	Red	Yellow	Blue
Mg	Blue	Blue	Blue	Blue	Red	Blue	Blue	Blue	Red	Blue	Blue	Blue	Blue	Yellow
K	Blue	Yellow	Blue	Red	Red	Blue	Blue	Yellow	Blue	Blue	Blue	Red	Blue	Blue
Ti	Blue	Red	Yellow	Blue	Red	Red	Yellow	Yellow	Blue	Yellow	Blue	Red	Blue	Blue
As	Blue	Yellow	Red	Blue	Blue	Blue	Blue	Red	Blue	Yellow	Blue	Red	Yellow	Blue
Au	Blue	Blue	Red	Blue	Blue	Blue	Blue	Yellow	Blue	Blue	Blue	Yellow	Blue	Blue
Ba	Blue	Yellow	Blue	Yellow	Red	Blue	Blue	Blue	Blue	Blue	Blue	Yellow	Blue	Blue
Be	Blue	Yellow	Yellow	Yellow	Red	Blue	Blue	Blue	Blue	Blue	Blue	Red	Blue	Blue
Br	Blue	Blue	Blue	Blue	Blue	Yellow	Blue	Blue	Yellow	Yellow	Blue	Blue	Blue	Red
Cd	Red	Blue	Blue	Blue	Blue	Blue	Blue	Blue	Red	Blue	Blue	Blue	Blue	Red
Ce	Blue	Red	Red	Yellow	Red	Yellow	Yellow	Yellow	Blue	Blue	Blue	Red	Blue	Blue
Co	Blue	Yellow	Yellow	Blue	Blue	Red	Blue	Blue	Blue	Blue	Blue	Yellow	Blue	Blue
Cr	Blue	Yellow	Blue	Red	Yellow	Red	Blue	Red	Blue	Blue	Blue	Yellow	Blue	Blue
Cs	Blue	Yellow	Yellow	Blue	Red	Blue	Yellow	Blue	Blue	Yellow	Blue	Red	Blue	Blue
Cu	Blue	Yellow	Blue	Blue	Yellow	Red	Blue	Blue	Blue	Blue	Blue	Blue	Blue	Blue
Hf	Blue	Red	Yellow	Yellow	Red	Blue	Blue	Yellow	Blue	Yellow	Blue	Red	Blue	Blue
Mn	Blue	Yellow	Red	Blue	Blue	Red	Yellow	Blue	Yellow	Blue	Blue	Yellow	Blue	Blue
Mo	Red	Red	Blue	Yellow	Blue	Yellow	Red	Blue	Red	Yellow	Red	Blue	Yellow	Red
Nd	Blue	Red	Blue	Yellow	Red	Blue	Yellow	Blue	Blue	Yellow	Blue	Red	Blue	Blue
Ni	Yellow	Yellow	Blue	Red	Blue	Yellow	Blue	Red	Blue	Blue	Blue	Yellow	Blue	Blue
P	Blue	Red	Red	Red	Red	Red	Yellow	Yellow	Blue	Yellow	Blue	Yellow	Yellow	Yellow
Pb	Blue	Yellow	Yellow	Blue	Yellow	Blue	Blue	Blue	Blue	Blue	Blue	Red	Blue	Blue
Sb	Blue	Blue	Red	Yellow	Red	Blue	Blue	Red	Blue	Blue	Blue	Yellow	Blue	Blue
S	Blue	Blue	Yellow	Blue	Blue	Blue	Yellow	Yellow	Blue	Red	Yellow	Yellow	Yellow	Yellow
Sc	Blue	Yellow	Yellow	Blue	Red	Red	Yellow	Blue	Blue	Blue	Blue	Blue	Blue	Blue
Sm	Blue	Yellow	Yellow	Yellow	Red	Yellow	Yellow	Yellow	Blue	Yellow	Blue	Yellow	Blue	Blue
Sn	Blue	Blue	Red	Blue	Blue	Blue	Blue	Blue	Blue	Blue	Blue	Blue	Blue	Blue
Sr	Blue	Blue	Blue	Blue	Blue	Blue	Yellow	Blue	Blue	Red	Red	Blue	Yellow	Yellow
Ta	Blue	Yellow	Yellow	Blue	Red	Yellow	Blue	Blue	Blue	Blue	Blue	Red	Blue	Blue
Th	Blue	Red	Yellow	Yellow	Red	Blue	Yellow	Yellow	Blue	Blue	Blue	Red	Blue	Blue
U	Blue	Yellow	Yellow	Blue	Red	Blue	Yellow	Yellow	Yellow	Blue	Blue	Red	Yellow	Yellow
V	Blue	Yellow	Yellow	Blue	Red	Red	Blue	Blue	Blue	Yellow	Blue	Yellow	Blue	Blue
W	Blue	Blue	Blue	Red	Blue	Blue	Blue	Blue	Blue	Blue	Blue	Red	Blue	Blue
Zn	Blue	Yellow	Red	Blue	Blue	Blue	Blue	Blue	Blue	Blue	Blue	Yellow	Blue	Blue

Valores o fondos más altos 

Valores o fondos medios 


Valores o fondos bajos 

Tabla 2. Geoquímica de rocas.  
Representación semicuantitativa de los valores relativos de los fondos en las diferentes unidades litoestratigráficas.

ZONA	Hoja 1/50.000	Muestra Sedimento	CoorX	CoorY	Muestra Suelo	CoorX	CoorY	Unidad Litología	Mineralización	CoorX Centro zona	CoorY Centro zona
1	33	1	392680	4800440	13	392800	4800250	Clz. Gargasiense (C.U)-Supra U	No	392650	4800400
		2	392665	4800630	14	392500	4800410				
					15	392550	4800600				
2	33	3	393750	4801640	16	393650	4801370	Cret.Inf.-Weald detritico.	No	393650	4801600
		4	393840	4801700	17	393960	4801520				
					18	394100	4801780				
3	33	5	398000	4800900	19	398030	4801220	Calizas Gargasiense (C.U)	Si Zn, Pb	398200	4800900
		6	398070	4800720	20	398350	4801000				
					21	398440	4800630				
4	57	7	380670	4794470	22	380600	4794300	Permotrias (areniscas-lutitas) Caliza de Montaña	Si Zn, Pb	380600	4794350
5	58	8	405220	4794280	25	405340	4793970	Permotrias (areniscas-lutitas)	No	405250	4794100
6	57	31	388300	4796300	23	388210	4796350	Clz. Gargasiense (C.U)-Supra U	Si Zn, Pb	388200	4796250
		32	388370	4796430	24	388230	4796030				
7	59	9	432910	4790750	26	432710	4790900	Lutitas Keuper-Aren. Permotrias	No	432800	4790858
					27	433040	4791000				
8	82	10	381380	4776630	28	381370	4776800	Rocas detríticas paleozóicas (UPC)	No	381700	4776600
		11	381430	4776630	29	381600	4776780				
		12	382400	4776560	30	382250	4776410				

Tabla 3. Características de las zonas muestreadas en la campaña piloto

Cartografía Geoquímica de Cantabria (Sedimentos y suelos)												
Parámetros Estadísticos Descriptivos. Población total.												
Elemento	Muestras	Media	Mediana	Mínimo	Máximo	Cuartil Inf.	Cuartil Sup.	Margen Var.	Inter Cuartil	Varianza	Desv. Std	Error Std
AG	3543	0,328	0,300	0,300	35,694	0,300	0,300	35,394	0,000	0,402	0,634	0,011
AL	3543	3,292	3,191	0,165	12,412	2,374	4,088	12,246	1,714	1,796	1,340	0,023
AS	3543	14,224	11,800	1,800	249,000	8,600	16,200	247,200	7,600	128,780	11,348	0,191
AU	3543	3,725	2,000	2,000	362,000	2,000	2,000	360,000	0,000	182,453	13,508	0,227
BA	3543	286,679	220,000	20,000	160000,000	170,000	290,000	159980,000	120,000	7241983,198	2691,093	45,211
BE	3543	1,742	1,551	1,000	24,047	1,104	2,033	23,047	0,929	1,012	1,006	0,017
BI	3543	2,000	2,000	2,000	2,924	2,000	2,000	0,924	0,000	0,000	0,016	0,000
BR	3543	15,252	10,600	0,500	204,000	5,800	19,100	203,500	13,300	236,223	15,370	0,258
CA	3543	1,148	0,288	0,014	31,571	0,134	0,809	31,557	0,675	7,690	2,773	0,047
CD	3543	0,640	0,300	0,300	212,313	0,300	0,300	212,013	0,000	20,797	4,560	0,077
CE	3543	54,086	54,000	4,000	170,000	44,000	64,000	166,000	20,000	261,289	16,164	0,272
CO	3543	9,232	8,000	1,000	100,000	5,000	12,000	99,000	7,000	42,436	6,514	0,109
CR	3543	39,866	36,000	5,000	505,000	25,000	50,000	500,000	25,000	542,687	23,296	0,391
CS	3543	5,377	5,000	1,000	26,000	3,000	7,000	25,000	4,000	7,723	2,779	0,047
CU	3543	15,782	10,512	1,000	6330,644	6,735	15,619	6329,644	8,884	12302,271	110,916	1,863
EU	3543	0,989	1,000	0,200	4,600	0,800	1,200	4,400	0,400	0,400	0,329	0,006
FE	3543	2,296	2,020	0,090	30,200	1,380	2,720	30,110	1,340	3,617	1,902	0,032
HF	3543	12,159	12,000	1,000	81,000	9,000	14,000	80,000	5,000	23,011	4,797	0,081
HG	3543	1,302	1,000	1,000	250,000	1,000	1,000	249,000	0,000	36,008	6,001	0,101
IR	3543	5,000	5,000	5,000	5,000	5,000	5,000	0,000	0,000	0,000	0,000	0,000
K	3543	1,418	1,294	0,066	6,030	0,922	1,763	5,964	0,841	0,536	0,732	0,012
LA	3543	30,206	30,000	3,000	108,000	24,400	35,300	105,000	10,900	82,617	9,089	0,153
LU	3543	0,429	0,420	0,050	1,520	0,350	0,500	1,470	0,150	0,014	0,120	0,002
MG	3543	0,481	0,238	0,023	10,055	0,162	0,400	10,032	0,238	0,666	0,816	0,014
MN	3543	487,341	327,643	6,854	12360,000	188,457	533,398	12353,146	344,941	541567,094	735,912	12,363
MO	3543	1,800	1,106	1,000	47,175	1,000	1,819	46,175	0,819	4,788	2,188	0,037
NA	3543	0,205	0,170	0,010	1,270	0,100	0,280	1,260	0,180	0,020	0,140	0,002
ND	3543	21,730	21,000	5,000	92,000	17,000	26,000	87,000	9,000	55,423	7,445	0,125
NI	3543	20,389	17,688	1,594	186,734	11,171	25,958	185,141	14,786	191,059	13,822	0,232
P	3543	0,040	0,033	0,004	0,389	0,024	0,048	0,385	0,025	0,001	0,025	0,000
PB	3543	37,107	21,371	3,000	8040,485	15,183	30,179	8037,485	14,995	33540,529	183,141	3,077
RB	3543	65,701	64,000	15,000	185,000	45,000	84,000	170,000	39,000	792,070	28,144	0,473
S	3543	0,042	0,030	0,001	4,367	0,020	0,046	4,366	0,026	0,010	0,102	0,002
SB	3543	1,621	1,400	0,100	167,000	1,000	1,900	166,900	0,900	8,866	2,978	0,050
SC	3543	7,025	6,500	0,800	36,900	4,500	9,000	36,100	4,500	12,135	3,483	0,059
SE	3543	3,066	3,000	3,000	12,000	3,000	3,000	9,000	0,000	0,192	0,438	0,007
SM	3543	4,575	4,500	0,600	21,600	3,600	5,400	21,000	1,800	2,254	1,501	0,025
SN	3543	0,010	0,010	0,010	0,030	0,010	0,010	0,020	0,000	0,000	0,002	0,000
SR	3543	72,445	59,447	10,813	2398,626	45,829	80,343	2387,813	34,514	4926,175	70,187	1,179
TA	3543	1,018	1,000	0,500	3,100	0,500	1,300	2,600	0,800	0,214	0,462	0,008
TB	3543	0,643	0,500	0,500	3,000	0,500	0,700	2,500	0,200	0,046	0,215	0,004
TH	3543	8,889	8,800	0,200	20,900	7,000	10,600	20,700	3,600	7,135	2,671	0,045
TI	3543	0,350	0,345	0,011	2,423	0,285	0,409	2,412	0,123	0,012	0,110	0,002
U	3543	2,892	2,800	0,500	9,300	2,200	3,400	8,800	1,200	1,035	1,017	0,017
V	3543	55,541	49,388	5,303	334,686	33,054	70,215	329,383	37,161	1039,337	32,239	0,542
W	3543	1,337	1,000	1,000	10,000	1,000	1,000	9,000	0,000	0,599	0,774	0,013
Y	3543	11,481	10,035	2,145	138,332	8,096	12,687	136,188	4,591	52,094	7,218	0,121
YB	3543	2,804	2,800	0,300	9,800	2,300	3,300	9,500	1,000	0,599	0,774	0,013
ZN	3543	172,941	60,190	7,274	61720,000	39,618	88,395	61712,726	48,777	2283883,095	1511,252	25,389

Tabla 4

Cartografía Geoquímica de Cantabria (Sedimentos y suelos)												
Parámetros Estadísticos Descriptivos . Población de Suelos												
	Número	Media	Mediana	Mínimo	Máximo	Cuartil	Cuartil	Margen	Inter	Varianza	Desv.ac.	Error
	Muestras					Inferior	Superior	Variac.	Cuartil		Std.	Std.
AG	595	0,340	0,300	0,300	13,005	0,300	0,300	12,705	0,000	0,278	0,528	0,022
AL	595	3,597	3,521	0,263	11,607	2,844	4,274	11,345	1,430	1,571	1,253	0,051
AS	595	21,608	16,800	2,400	147,000	12,100	25,600	144,600	13,500	274,169	16,558	0,679
AU	595	3,334	2,000	2,000	109,000	2,000	3,000	107,000	1,000	39,933	6,319	0,259
BA	595	246,390	230,000	20,000	2800,000	180,000	300,000	2780,000	120,000	22577,306	150,257	6,160
BE	595	1,996	1,611	1,000	24,047	1,112	2,178	23,047	1,067	2,930	1,712	0,070
BI	595	2,000	2,000	2,000	2,000	2,000	2,000	0,000	0,000	0,000	0,000	0,000
BR	595	28,185	23,300	2,900	145,000	14,700	36,600	142,100	21,900	402,590	20,065	0,823
CA	595	1,396	0,313	0,017	31,571	0,163	0,741	31,555	0,578	13,320	3,650	0,150
CD	595	1,343	0,300	0,300	212,313	0,300	0,426	212,013	0,126	92,635	9,625	0,395
CE	595	62,484	62,000	9,000	149,000	52,000	71,000	140,000	19,000	318,126	17,836	0,731
CO	595	7,983	7,000	1,000	31,000	4,000	11,000	30,000	7,000	31,777	5,637	0,231
CR	595	50,356	46,000	7,000	505,000	34,000	61,000	498,000	27,000	783,876	27,998	1,148
CS	595	6,343	6,000	1,000	23,000	5,000	8,000	22,000	3,000	7,007	2,647	0,109
CU	595	17,034	11,048	1,000	756,013	6,462	17,197	755,013	10,735	1443,634	37,995	1,558
EU	595	1,096	1,000	0,300	3,500	0,800	1,300	3,200	0,500	0,174	0,417	0,017
FE	595	3,242	2,460	0,090	30,200	1,740	3,320	30,110	1,580	11,632	3,410	0,140
HF	595	10,180	10,000	1,000	34,000	8,000	13,000	33,000	5,000	14,134	3,760	0,154
HG	595	1,753	1,000	1,000	250,000	1,000	1,000	249,000	0,000	157,971	12,569	0,515
IR	595	5,000	5,000	5,000	5,000	5,000	5,000	0,000	0,000	0,000	0,000	0,000
K	595	1,382	1,219	0,100	5,188	0,883	1,706	5,088	0,823	0,519	0,721	0,030
LA	595	35,191	34,600	8,500	96,900	29,100	40,000	88,400	10,900	110,173	10,496	0,430
LU	595	0,453	0,450	0,050	1,520	0,380	0,530	1,470	0,150	0,025	0,158	0,006
MG	595	0,541	0,286	0,036	8,618	0,205	0,434	8,582	0,229	0,818	0,904	0,037
MN	595	799,563	314,345	6,854	12360,000	148,968	778,495	12353,146	629,527	2128875,954	1459,067	59,816
MO	595	2,271	1,597	1,000	21,908	1,000	2,605	20,908	1,605	4,185	2,046	0,084
NA	595	0,193	0,150	0,020	0,760	0,100	0,250	0,740	0,150	0,017	0,130	0,005
ND	595	24,913	24,000	5,000	65,000	20,000	29,000	60,000	9,000	69,406	8,331	0,342
NI	595	23,258	18,716	1,986	176,278	10,634	29,879	174,292	19,245	347,278	18,635	0,764
P	595	0,053	0,047	0,004	0,309	0,034	0,065	0,305	0,030	0,001	0,029	0,001
PB	595	74,788	33,221	4,556	8040,485	23,686	48,412	8035,930	24,725	138330,313	371,928	15,248
RB	595	74,281	74,000	15,000	165,000	55,000	93,000	150,000	38,000	847,751	29,116	1,194
S	595	0,048	0,040	0,002	0,494	0,030	0,055	0,491	0,025	0,001	0,038	0,002
SB	595	1,987	1,400	0,300	167,000	1,100	2,000	166,700	0,900	48,208	6,943	0,285
SC	595	7,938	7,400	1,000	29,000	5,500	9,800	28,000	4,300	12,253	3,500	0,144
SE	595	3,067	3,000	3,000	7,000	3,000	3,000	4,000	0,000	0,140	0,375	0,015
SM	595	5,222	5,000	1,300	15,500	4,200	5,900	14,200	1,700	3,201	1,789	0,073
SN	595	0,011	0,010	0,010	0,030	0,010	0,010	0,020	0,000	0,000	0,002	0,000
SR	595	75,620	58,417	18,576	770,084	46,265	76,945	751,508	30,680	5334,169	73,035	2,994
TA	595	1,060	1,000	0,500	3,100	0,500	1,500	2,600	1,000	0,322	0,567	0,023
TB	595	0,707	0,600	0,500	2,700	0,500	0,800	2,200	0,300	0,084	0,289	0,012
TH	595	10,322	10,300	1,500	19,200	8,700	12,000	17,700	3,300	8,144	2,854	0,117
TI	595	0,379	0,384	0,040	1,189	0,315	0,448	1,148	0,133	0,012	0,108	0,004
U	595	3,294	3,100	0,500	9,300	2,500	3,900	8,800	1,400	1,616	1,271	0,052
V	595	73,643	67,761	5,810	284,320	50,408	89,509	278,510	39,101	1221,657	34,952	1,433
W	595	1,526	1,000	1,000	8,000	1,000	2,000	7,000	1,000	0,927	0,963	0,039
Y	595	14,834	11,325	2,573	133,983	8,759	15,960	131,410	7,200	136,162	11,669	0,478
YB	595	3,022	2,900	0,700	9,800	2,500	3,500	9,100	1,000	0,899	0,948	0,039
ZN	595	396,703	72,756	7,274	61720,000	46,154	144,478	61712,726	98,325	10212439,768	3195,691	131,011

Tabla 5



Cartografía Geoquímica de Cantabria (sedimentos y suelos)											
Parámetros Estadísticos Descriptivos. Población de sedimentos											
	Muestras	Media	Mediana	Mínimo	Máximo	Cuartil	Cuartil	Inter	Varianza	Dev.	Error
						Inf.	Sup.	Cuartil		Std.	Std.
AG	2948	0,326	0,300	0,300	35,694	0,300	0,300	0,000	0,427	0,654	0,012
AL	2948	3,230	3,106	0,165	12,412	2,313	4,033	1,720	1,819	1,349	0,025
AS	2948	12,733	11,100	1,800	249,000	8,200	14,800	6,600	86,287	9,289	0,171
AU	2948	3,803	2,000	2,000	362,000	2,000	2,000	0,000	211,204	14,533	0,268
BA	2948	294,811	220,000	50,000	160000,000	160,000	290,000	130,000	8699196,750	2949,440	54,322
BE	2948	1,691	1,537	1,000	12,039	1,099	2,008	0,908	0,610	0,781	0,014
BI	2948	2,000	2,000	2,000	2,924	2,000	2,000	0,000	0,000	0,017	0,000
BR	2948	12,642	9,200	0,500	204,000	5,100	15,950	10,850	162,182	12,735	0,235
CA	2948	1,098	0,283	0,014	29,614	0,130	0,831	0,700	6,542	2,558	0,047
CD	2948	0,498	0,300	0,300	83,065	0,300	0,300	0,000	6,205	2,491	0,046
CE	2948	52,390	52,000	4,000	170,000	42,000	62,000	20,000	232,806	15,258	0,281
CO	2948	9,484	8,000	1,000	100,000	5,000	12,000	7,000	44,220	6,650	0,122
CR	2948	37,749	34,000	5,000	410,000	23,000	48,000	25,000	467,555	21,623	0,398
CS	2948	5,182	5,000	1,000	26,000	3,000	7,000	4,000	7,644	2,765	0,051
CU	2948	15,529	10,457	1,000	6330,644	6,799	15,337	8,538	14494,742	120,394	2,217
EU	2948	0,968	0,900	0,200	4,600	0,800	1,100	0,300	0,092	0,303	0,006
FE	2948	2,105	1,940	0,210	28,300	1,320	2,620	1,300	1,786	1,336	0,025
HF	2948	12,559	12,000	1,000	81,000	10,000	14,000	4,000	23,858	4,884	0,090
HG	2948	1,211	1,000	1,000	140,000	1,000	1,000	0,000	11,387	3,375	0,062
IR	2948	5,000	5,000	5,000	5,000	5,000	5,000	0,000	0,000	0,000	0,000
K	2948	1,425	1,310	0,066	6,030	0,932	1,775	0,843	0,539	0,734	0,014
LA	2948	29,200	29,000	3,000	108,000	23,700	34,300	10,600	71,062	8,430	0,155
LU	2948	0,424	0,420	0,050	1,230	0,350	0,490	0,140	0,012	0,110	0,002
MG	2948	0,469	0,227	0,023	10,055	0,154	0,392	0,237	0,635	0,797	0,015
MN	2948	424,324	329,255	12,748	8237,665	194,602	514,652	320,050	198157,262	445,149	8,199
MO	2948	1,704	1,042	1,000	47,175	1,000	1,678	0,678	4,857	2,204	0,041
NA	2948	0,208	0,170	0,010	1,270	0,100	0,290	0,190	0,020	0,142	0,003
ND	2948	21,087	21,000	5,000	92,000	16,000	25,000	9,000	50,164	7,083	0,130
NI	2948	19,809	17,564	1,594	186,734	11,233	25,515	14,282	157,638	12,555	0,231
P	2948	0,037	0,031	0,005	0,389	0,022	0,044	0,022	0,001	0,024	0,000
PB	2948	29,502	19,706	3,000	3889,616	14,473	26,977	12,504	12085,853	109,936	2,025
RB	2948	63,969	63,000	15,000	185,000	44,000	82,000	38,000	763,254	27,627	0,509
S	2948	0,041	0,028	0,001	4,367	0,018	0,044	0,025	0,012	0,110	0,002
SB	2948	1,547	1,400	0,100	23,000	1,000	1,900	0,900	0,907	0,952	0,018
SC	2948	6,841	6,400	0,800	36,900	4,300	8,800	4,500	11,913	3,451	0,064
SE	2948	3,066	3,000	3,000	12,000	3,000	3,000	0,000	0,203	0,450	0,008
SM	2948	4,444	4,400	0,600	21,600	3,500	5,200	1,700	1,962	1,401	0,026
SN	2948	0,010	0,010	0,010	0,020	0,010	0,010	0,000	0,000	0,001	0,000
SR	2948	71,804	59,818	10,813	2398,626	45,678	80,989	35,311	4843,166	69,593	1,282
TA	2948	1,010	1,000	0,500	3,100	0,500	1,300	0,800	0,192	0,438	0,008
TB	2948	0,630	0,500	0,500	3,000	0,500	0,700	0,200	0,038	0,194	0,004
TH	2948	8,600	8,400	0,200	20,900	6,800	10,300	3,500	6,435	2,537	0,047
TI	2948	0,344	0,339	0,011	2,423	0,280	0,400	0,120	0,012	0,109	0,002
U	2948	2,811	2,700	0,500	9,300	2,200	3,300	1,100	0,879	0,937	0,017
V	2948	51,888	45,803	5,303	334,686	30,762	65,886	35,124	923,433	30,388	0,560
W	2948	1,299	1,000	1,000	10,000	1,000	1,000	0,000	0,524	0,724	0,013
Y	2948	10,805	9,849	2,145	138,332	7,970	12,213	4,243	32,440	5,696	0,105
YB	2948	2,760	2,700	0,300	8,400	2,300	3,200	0,900	0,527	0,726	0,013
ZN	2948	127,779	58,301	8,371	20250,000	38,677	83,482	44,805	674421,589	821,232	15,125

Tabla 6

	AG	AL	AS	AU	BA	BE	BI	BR	CA	CD	CE	CO	CR	CS	CU	EU	FE	HF	HG	K	LA	LU	MG	MN	MO	NA	ND	NI	P	PB	RB	S	SB	SC	SE	SM	SN	SR	TA	TB	TH	TI	U	V	W	Y	YB	ZN
AG	0	0.03	0	0.03	0.01	0	0.01	0.01	0.06	0	0.01	0.01	0.01	0.01	0.01	0.01	0	0.19	-0.01	-0.01	0	0.01	0	-0.02	0	0.01	0.01	0.11	0	0.01	0.32	0	0.02	0.01	0.04	0.02	0.02	-0.01	0.01	0.01	-0.01	0	-0.01	0.01	0	0.08		
AL	0	0.33	-0.03	0.01	0.44	0	0.13	-0.1	-0.05	0.8	0.49	0.67	0.64	0.08	0.61	0.4	-0.33	-0.02	0.61	0.6	0.42	0.21	0.21	0.15	0.43	0.53	0.6	0.31	-0.02	0.72	0.02	0.12	0.82	0.02	0.57	0.16	0.23	0.18	0.3	0.58	0.55	0.44	0.73	0.08	0.32	0.47	-0.06	
AS	0.03	0.33	-0.02	0.02	0.39	-0.01	0.27	0.07	0.16	0.41	0.32	0.41	0.31	0.14	0.48	0.55	-0.21	0.09	0.08	0.43	0.3	0.12	0.43	0.24	0.04	0.41	0.46	0.29	0.32	0.27	0.39	0.21	0.4	0	0.47	0.24	0.1	0.03	0.32	0.36	0.13	0.31	0.54	0.04	0.41	0.34	0.17	
AU	0	-0.03	-0.02	0	-0.02	0	-0.02	0.02	0	0.01	-0.01	0.01	-0.02	0.02	0	-0.01	0.07	0	0.01	0.01	0	0	0	0	0	0	0	0	0.01	0.35	0.01	0.03	0.04	0.01	0	0	0	0.56	0.01	0.01	-0.02	0	0.19	0.01	0.02	0		
BA	0.03	0.01	0.02	0	0	0	-0.01	-0.01	0	0.01	0	0.01	0.01	0	0.01	0	0.04	0.39	0.01	0.02	0.03	0	0	0	0	0	0	0	0.01	0.35	0.01	0.03	0.04	0.01	0	0	0	0.56	0.01	0.01	-0.02	0	0.19	0.01	0.02	0		
BE	0.01	0.44	0.39	-0.02	0	0	0.2	-0.12	0.14	0.43	0.44	0.33	0.47	0.05	0.51	0.66	-0.21	-0.01	0.29	0.47	0.32	0.04	0.58	0.12	0.17	0.43	0.5	0.2	0.21	0.43	0.02	0.09	0.4	-0.01	0.5	0.18	0.03	0.08	0.29	0.39	0.19	0.49	0.38	0.09	0.34	0.37	0.13	
BI	0	0	-0.01	0	0	0	-0.01	-0.01	0	0.01	-0.01	0	0	0	0	-0.01	-0.01	0	0	0	0	-0.01	0	0	0	0	0	0	0	0.01	0.01	0	0	0	0	0	0	0	0	0	0	0	0	0	0	0	0	0
BR	0.01	0.13	0.27	-0.02	-0.01	0.2	-0.01	0.18	0.05	0.13	0.14	0.24	0.24	0.03	0.18	0.22	-0.22	0	-0.02	0.16	0.04	0.05	0.25	0.12	-0.01	0.16	0.21	0.32	0.05	0.15	0.09	0.04	0.18	0.01	0.17	0.18	0.06	0	0.13	0.11	0.07	0.17	0.27	0.01	0.22	0.08	0.03	
CA	0.01	-0.1	0.07	0.02	-0.01	-0.12	-0.01	0.18	0.12	-0.24	-0.01	0.03	-0.1	0.02	-0.13	0.01	-0.31	0.09	-0.07	-0.18	-0.24	0.43	0.08	0.21	-0.07	-0.15	0.06	0.18	0.08	-0.12	0.2	-0.02	-0.03	0.01	-0.14	0.03	0.31	-0.15	-0.06	-0.28	-0.21	0.01	-0.06	0.1	-0.26	0.17		
CD	0.06	-0.05	0.16	0	0	0.14	0	0.05	0.12	-0.04	0.01	0.01	-0.03	0.04	-0.01	0.18	-0.08	0.3	-0.06	-0.01	-0.04	0.11	0.2	0.11	-0.05	-0.03	0.07	0.05	0.47	-0.06	0.14	0.18	-0.02	0.01	-0.01	0.19	-0.01	-0.04	0	-0.06	-0.07	0.05	0.01	-0.02	0.07	-0.03	0.95	
CE	0	0.6	0.41	0.01	0.01	0.43	0.01	0.13	-0.24	-0.04	0.34	0.45	0.56	0.05	0.81	0.33	-0.01	-0.03	0.4	0.92	0.7	-0.08	0.22	0.1	0.29	0.82	0.41	0.21	0.02	0.63	-0.02	0.1	0.56	0.01	0.87	0.16	0.05	0.26	0.5	0.88	0.43	0.59	0.5	0.15	0.4	0.76	-0.06	
CO	0.01	0.49	0.32	-0.01	0	0.44	-0.01	0.14	-0.01	0.01	0.34	0.56	0.37	0.08	0.5	0.42	-0.2	0	0.19	0.34	0.32	0.15	0.38	0.17	0.21	0.33	0.69	0.23	0.06	0.32	0.05	0.09	0.67	0.01	0.4	0.15	0.16	0.04	0.29	0.26	0.37	0.26	0.54	-0.02	0.32	0.36	0.02	
CR	0.01	0.67	0.41	0.01	0.01	0.33	-0.01	0.24	0.03	0.01	0.45	0.56	0.4	0.46	0.07	0.56	0.55	-0.29	0	0.3	0.48	0.34	0.22	0.36	0.29	0.35	0.43	0.76	0.37	0.04	0.47	0.07	0.11	0.85	0.04	0.47	0.2	0.23	0.12	0.3	0.41	0.56	0.37	0.83	0.01	0.35	0.41	0
CS	0.01	0.64	0.31	-0.02	0.01	0.47	0	0.24	-0.1	-0.03	0.56	0.37	0.46	0.1	0.54	0.33	-0.34	0	0.62	0.55	0.27	0.16	0.18	0.13	0.15	0.53	0.44	0.23	0.01	0.79	0.05	0.14	0.57	0.02	0.51	0.11	0.11	0.18	0.25	0.56	0.33	0.49	0.45	0.13	0.27	0.36	-0.04	
CU	0.01	0.68	0.14	0.02	0	0.05	0	0.03	0.02	0.04	0.05	0.08	0.07	0.1	0.2	0.07	-0.06	0.08	0.08	0.03	0.12	0.07	0.05	0.04	0	0.08	0.08	0.09	0.03	0.07	0.03	0.04	0.08	0	0.2	0.04	0.02	0.03	0.16	0.02	0.03	0.06	0.15	0.12	0.06			
EU	0.01	0.61	0.48	0	0.01	0.51	0	0.18	-0.13	-0.01	0.81	0.5	0.56	0.54	0.2	0.44	-0.07	-0.02	0.33	0.87	0.74	0	0.35	0.17	0.25	0.83	0.61	0.29	0.07	0.56	0.01	0.13	0.69	0.03	0.91	0.25	0.14	0.19	0.64	0.7	0.36	0.56	0.59	0.08	0.65	0.82	-0.02	
FE	0.01	0.4	0.55	-0.01	0	0.66	-0.01	0.22	0.01	0.18	0.33	0.42	0.55	0.33	0.07	0.44	-0.27	0	0.12	0.39	0.25	0.15	0.83	0.26	0.12	0.34	0.61	0.36	0.25	0.27	0.13	0.11	0.55	0.01	0.4	0.23	0.1	0.01	0.24	0.27	0.25	0.44	0.8	0	0.35	0.3	0.18	
HF	0	-0.33	-0.21	0.07	0.04	-0.21	-0.01	-0.22	-0.31	-0.08	-0.01	-0.2	-0.29	-0.34	-0.06	-0.07	-0.27	-0.02	-0.31	-0.04	-0.29	-0.32	-0.23	-0.18	-0.13	-0.01	-0.3	-0.3	-0.07	-0.34	-0.14	-0.04	-0.31	0.03	-0.07	-0.12	-0.18	0.12	0.04	0.03	-0.05	0.05	-0.33	0.04	-0.14	0.27	-0.09	
HG	0.19	-0.02	0.09	0	0.39	-0.01	0	0	0.09	0.3	-0.03	0	0	0	0.08	0.02	0	-0.02	-0.03	0.06	0	0.03	-0.04	0.02	-0.01	0.02	0.4	-0.02	0.05	0.5	-0.01	0.11	-0.02	0.2	0.22	-0.01	-0.03	-0.03	-0.09	-0.01	0.07	0.01	-0.03	0.44				
K	-0.01	0.61	0.08	0.01	0.01	0.29	0	-0.02	-0.07	-0.06	0.4	0.19	0.3	0.82	0.08	0.33	0.12	-0.31	0	0.39	0.1	0.29	0.02	0.1	0.17	0.35	0.25	0.2	-0.04	0.77	0.01	0.06	0.4	0.02	0.35	0.05	0.08	0.13	0.09	0.36	0.28	0.24	0.3	0.15	0.05	0.11	-0.08	
LA	0	0.6	0.43	0.01	0.02	0.47	0	0.16	-0.18	-0.01	0.92	0.34	0.48	0.55	0.03	0.87	0.39	-0.04	-0.02	0.39	0.75	-0.06	0.3	0.14	0.28	0.87	0.49	0.26	0.04	0.63	-0.01	0.1	0.59	0.01	0.93	0.23	0.12	0.25	0.57	0.83	0.42	0.56	0.53	0.14	0.55	0.79	-0.03	
LU	-0.01	0.42	0.3	0	0.03	0.32	0	0.04	-0.24	-0.04	0.7	0.32	0.34	0.27	0.12	0.74	0.25	-0.29	-0.03	0.1	0.75	-0.16	0.22	0.03	0.22	0.66	0.37	0.11	0.03	0.31	-0.08	0.06	0.47	-0.01	0.76	0.18	0.06	0.23	0.57	0.64	0.39	0.46	0.37	0.09	0.51	0.91	-0.05	
MG	0	0.21	0.12	0.01	0	0.04	-0.01	0.05	0.43	0.11	-0.08	0.15	0.22	0.16	0.07	0	0.15	0.32	0.06	0.29	-0.06	-0.16	0.13	0.12	-0.07	-0.03	0.23	0.19	0.08	0.12	0.22	0.02	0.21	0.01	0.31	0.04	0.17	-0.07	-0.03	-0.13	0	-0.02	0.19	0.11	-0.17	0.17		
MN	0.01	0.21	0.43	-0.01	0	0.58	0	0.25	0.06	0.2	0.22	0.38	0.36	0.18	0.05	0.35	0.83	-0.23	0	0.02	0.3	0.22	0.13	0.23	-0.01	0.25	0.52	0.37	0.28	0.13	0.06	0.07	0.35	0.01	0.33	0.27	0.07	-0.05	0.22	0.11	0.09	0.32	0.42	-0.04	0.42	0.24	0.19	
MO	0	0.15	0.24	0.01	0	0.12	0	0.12	0.21	0.11	0.1	0.17	0.29	0.13	0.04	0.17	0.26	-0.18	0.03	0.1	0.14	0.03	0.12	0.23	-0.03	0.13	0.37	0.3	0.11	0.13	0.16	0.04	0.23	0.03	0.15	0.08	0.16	-0.02	0.11	0.02	0.06	0.16	0.31	-0.02	0.26	0.05	0.1	
NA	-0.02	0.43	0.04	-0.03	0	0.17	-0.01	-0.01	-0.07	-0.05	0.29	0.21	0.35	0.15	0	0.25	0.12	-0.13	-0.04	0.17	0.28	0.22	-0.07	-0.01	-0.03	0.24	0.22	0.08	-0.04	0.34	-0.03	0	0.4	0.01	0.26	0.06	0.12	0.17	0.13	0.42	0.38	0.18	0.34	-0.04	-0.06	0.27	-0.05	

	FACTOR 1	FACTOR 2	FACTOR 3	FACTOR 4	FACTOR 5	FACTOR 6
AL	0,3421	-0,0229	0,5701	0,0524	0,0822	0,6032
AS	0,4069	0,3020	0,0132	0,4125	-0,0806	0,2948
BA	0,0431	0,1935	-0,04	-0,0127	0,7261	0,0075
BE	0,3824	0,2903	0,1739	0,165	-0,3344	0,3846
BR	0,1380	-0,0009	0,0245	0,4092	-0,1261	0,1359
CA	-0,2176	0,0098	-0,0351	0,6393	0,2531	-0,0825
CD	-0,0517	0,8640	-0,0424	0,0749	-0,0695	-0,0155
CE	0,8160	0,0303	0,3681	-0,0719	-0,0354	0,2293
CO	0,2216	0,0229	0,0471	0,1386	-0,0144	0,677
CR	0,2407	-0,0027	0,2088	0,1688	0,0834	0,8047
CS	0,3668	0,0322	0,6918	0,1726	-0,0997	0,2601
CU	0,1658	0,0226	0,0262	0,1857	0,0173	-0,0365
EU	0,8424	0,0174	0,1794	0,1423	-0,0002	0,3576
FE	0,2437	0,3058	-0,0435	0,3239	-0,292	0,6285
HF	0,2410	-0,0391	-0,4355	-0,5353	0,0395	-0,2612
K	0,1325	-0,0249	0,8364	0,0971	-0,0027	0,1182
LA	0,8648	0,0383	0,3045	0,0286	-0,0035	0,2475
LU	0,8473	-0,0064	-0,0777	-0,1726	0,0651	0,2305
MG	-0,2027	0,0744	0,2757	0,5124	0,1172	0,1157
MN	0,2289	0,2958	-0,211	0,4012	-0,3181	0,4747
MO	0,0724	0,0559	-0,0232	0,4285	0,0381	0,2341
NA	0,0974	-0,0110	0,2812	-0,3183	0,1731	0,4329
ND	0,8300	0,0127	0,2736	0,0569	-0,0124	0,1877
NI	0,3059	0,0368	0,049	0,3292	-0,0171	0,7788
P	0,1462	0,0123	0,116	0,5054	0,0245	0,3029
PB	0,0478	0,7614	-0,0837	0,1222	0,2448	0,0257
RB	0,3721	0,0025	0,8033	0,0682	-0,0309	0,2657
S	-0,0287	0,2164	0,0601	0,3865	0,0686	-0,0349
SB	0,0878	0,3804	0,0943	-0,0031	0,0785	0,0551
SC	0,3502	-0,0241	0,3102	0,1174	0,091	0,8071
SM	0,8808	0,0291	0,2328	0,1188	-0,0149	0,2414
SR	0,0570	0,0363	0,0302	0,2806	0,7843	0,1892
TA	0,2579	0,0328	0,2181	-0,2738	0,078	0,0303
TB	0,7013	-0,0456	-0,0813	0,1519	0,0538	0,1363
TH	0,7358	0,0340	0,4277	-0,2155	-0,0134	0,2117
TI	0,2244	-0,0626	0,2316	-0,2937	0,1168	0,6435
U	0,5519	0,1506	0,2157	-0,053	-0,234	0,275
V	0,2818	0,0084	0,1996	0,2072	0,0411	0,821
Y	0,6255	0,0036	-0,1696	0,466	0,0566	0,1994
YB	0,8829	0,0105	-0,0206	-0,1736	0,0303	0,2738
ZN	-0,0738	0,8735	-0,0303	0,1049	-0,0506	-0,0242
Expl.Var	8,4183	2,7265	3,5577	3,2366	1,7755	5,95
Prp.Totl	0,2053	0,0665	0,0868	0,0789	0,0433	0,1451

**Tabla 8**  
**Cartografía Geoquímica de Cantabria (sedimentos y suelos)**  
**Análisis de Componentes Principales (Rotación Varimax normalizada).**  
**Pesos factoriales de los factores.**

# **FIGURAS Y MAPAS DIN A4**

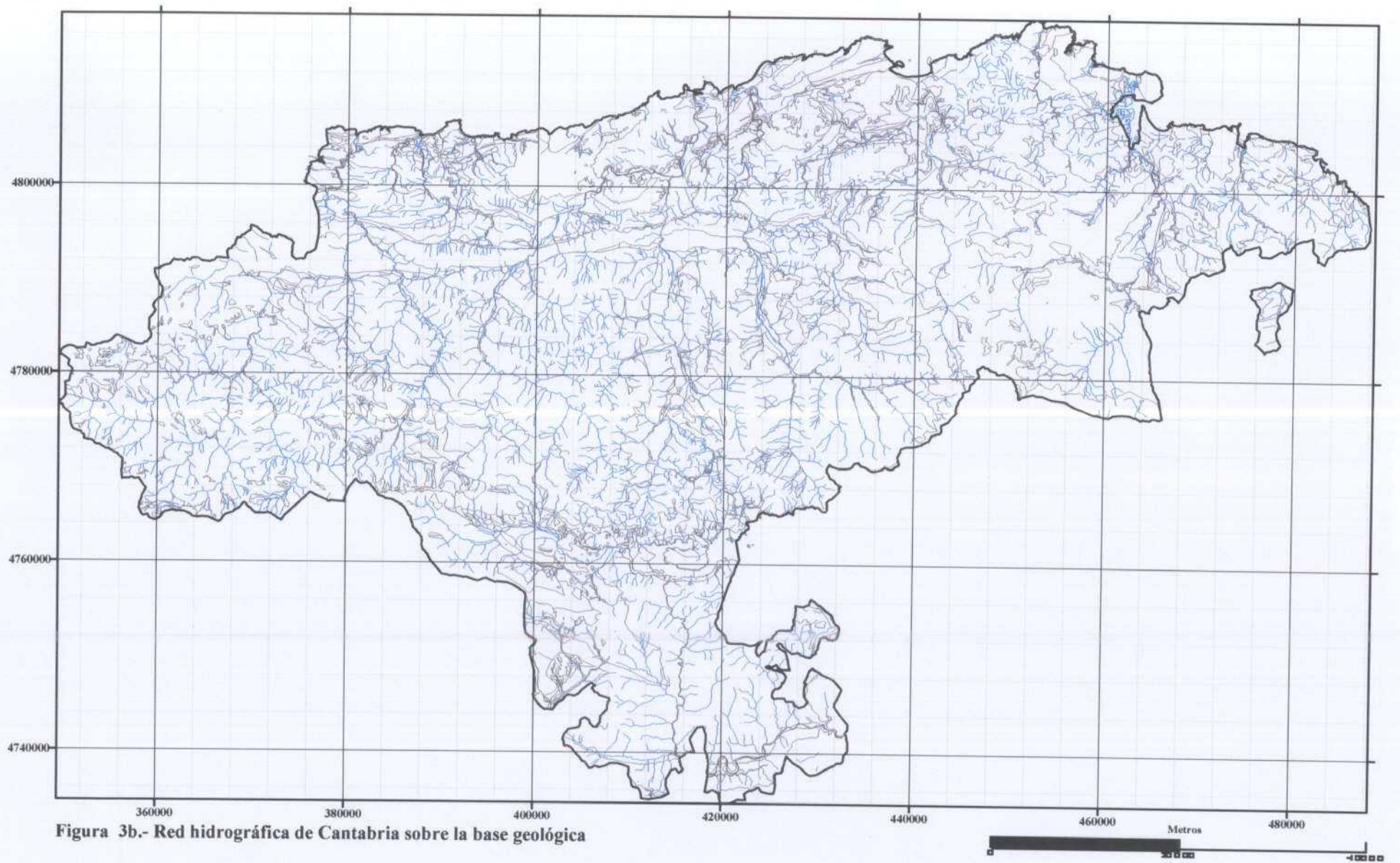


Figura 3b.- Red hidrográfica de Cantabria sobre la base geológica

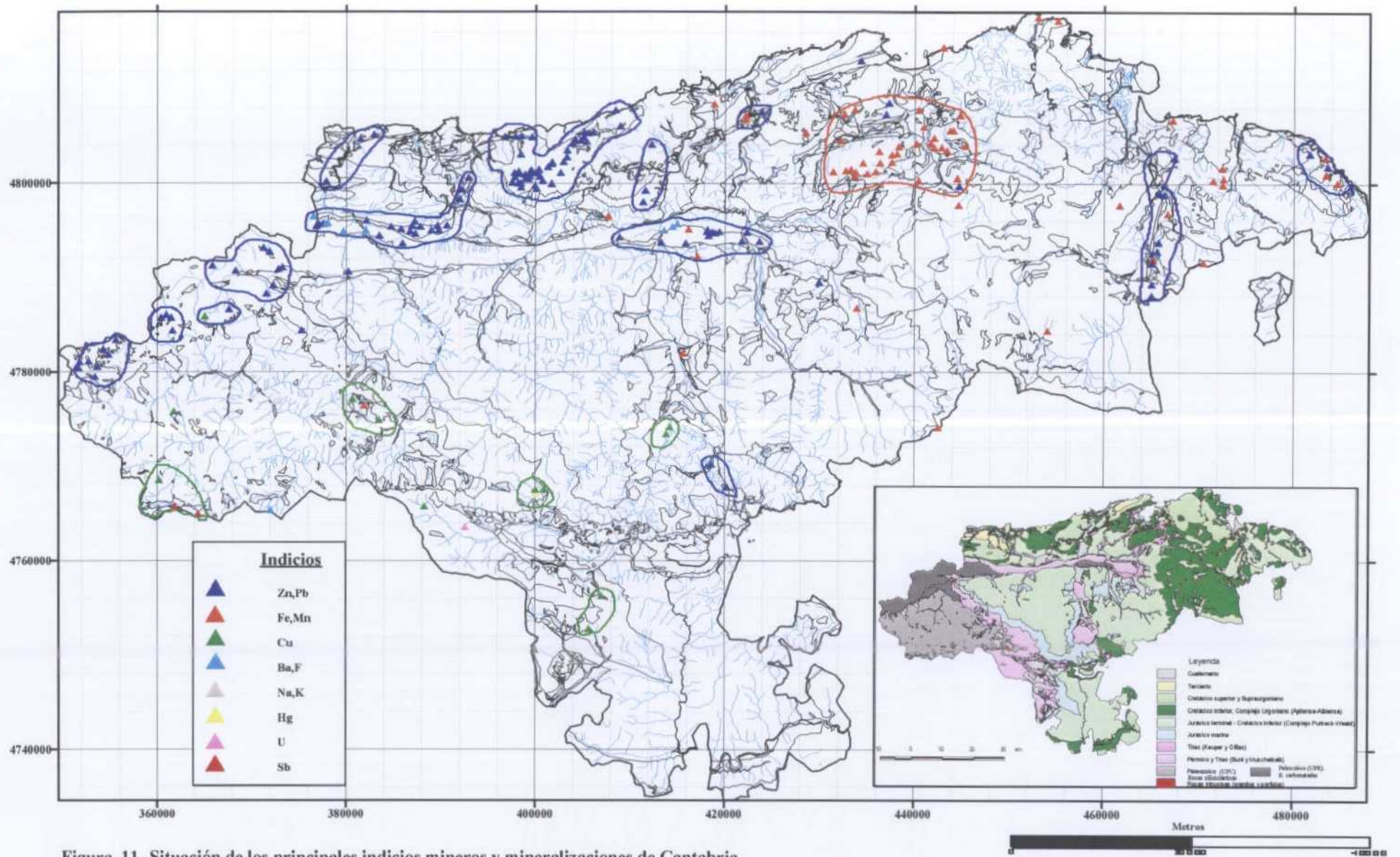


Figura 11- Situación de los principales indicios mineros y mineralizaciones de Cantabria

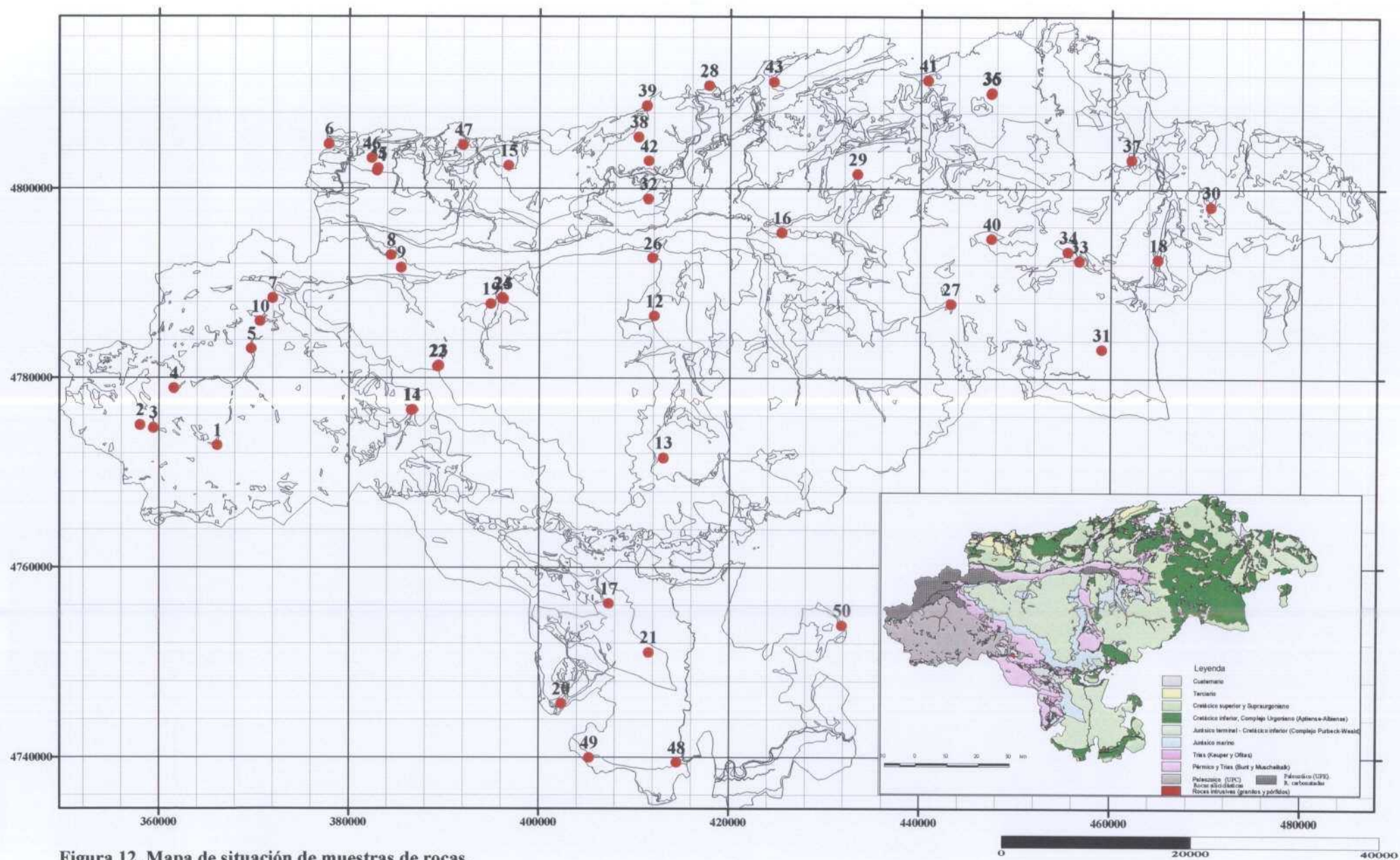
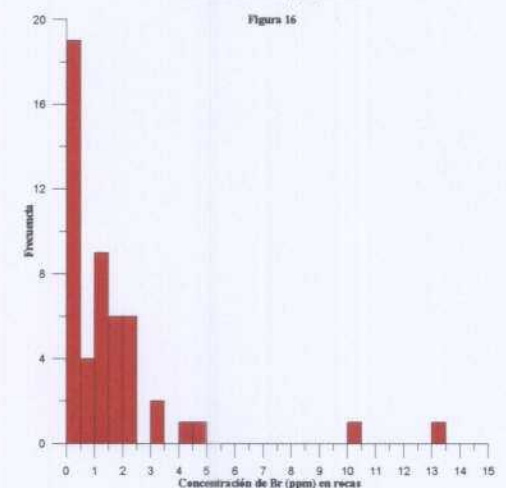
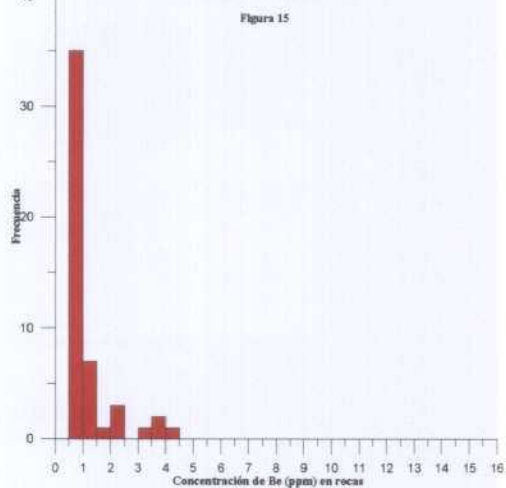
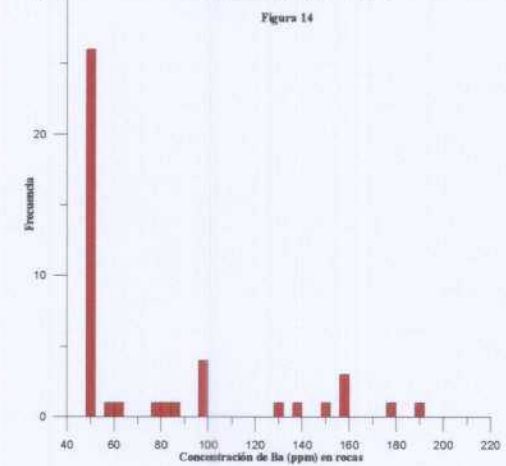
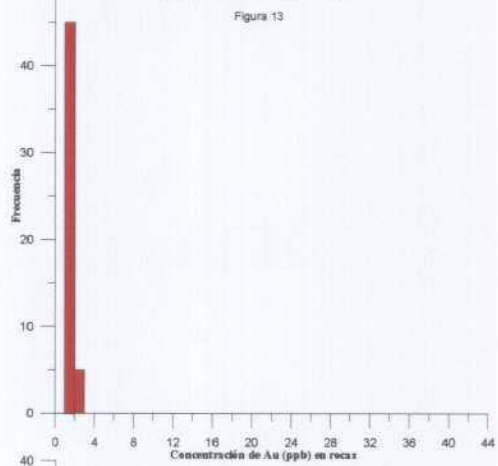
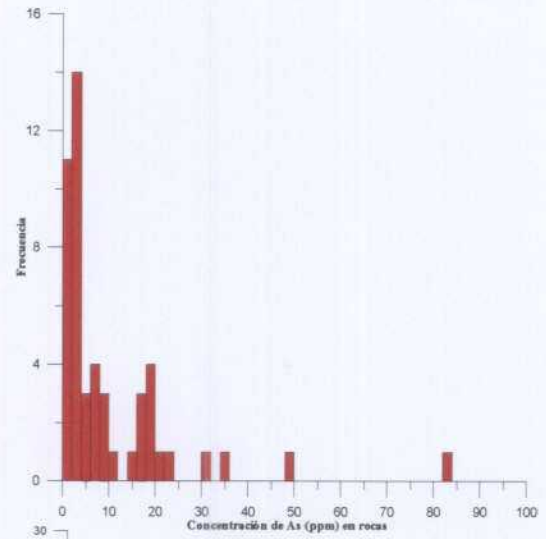
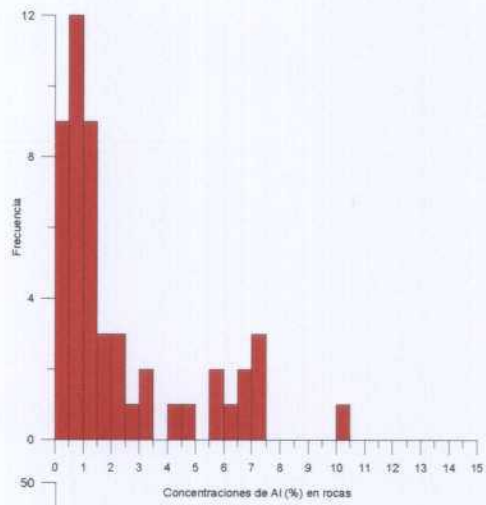


Figura 12. Mapa de situación de muestras de rocas.





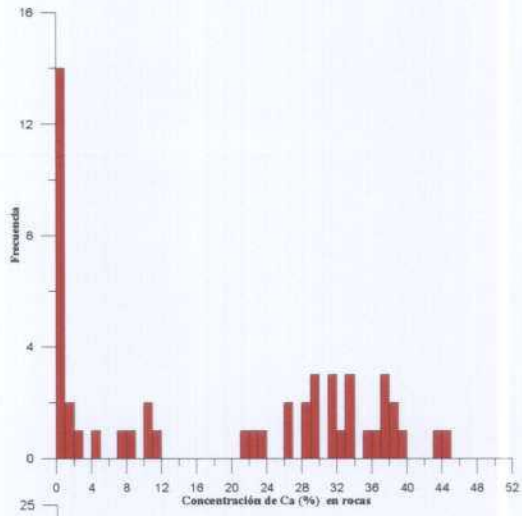


Figura 19

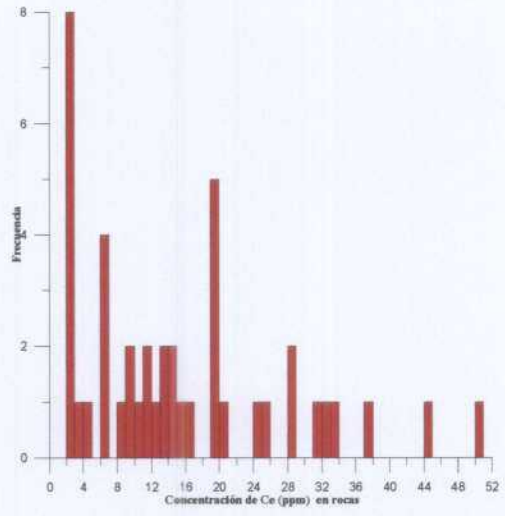


Figura 20

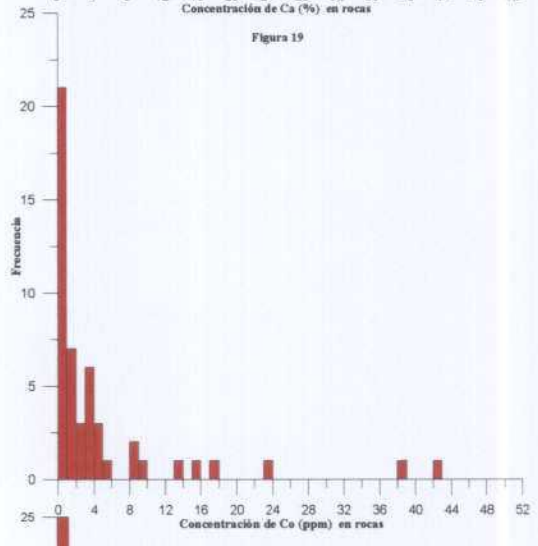


Figura 21

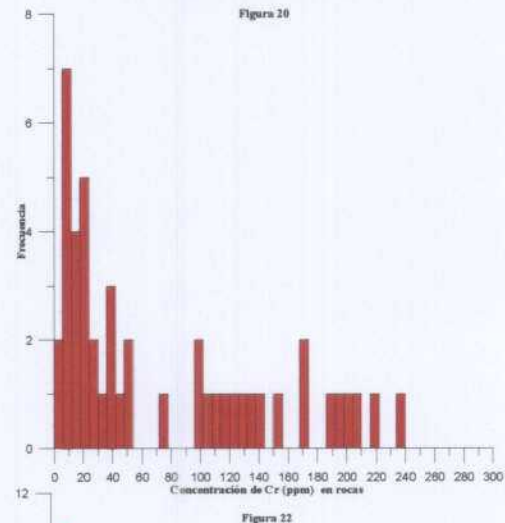


Figura 22

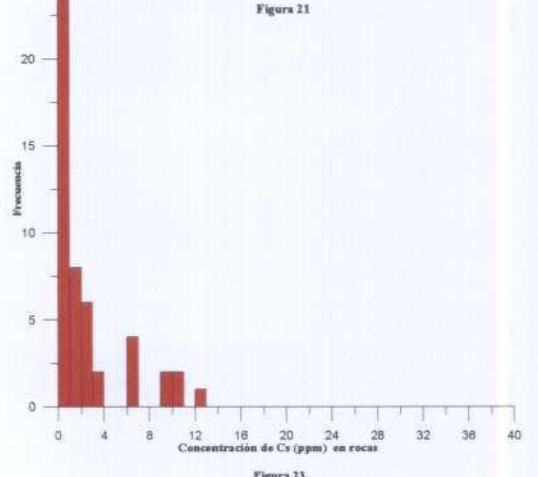


Figura 23

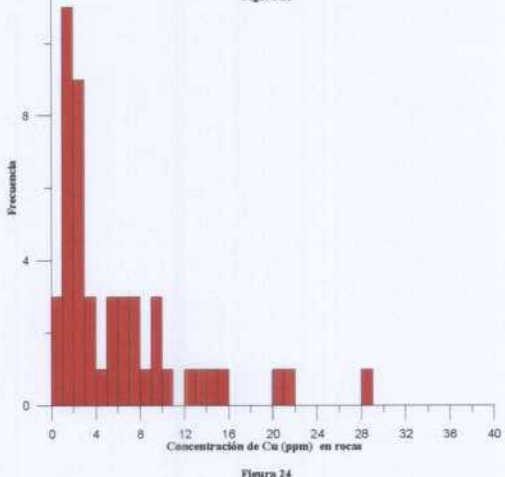


Figura 24

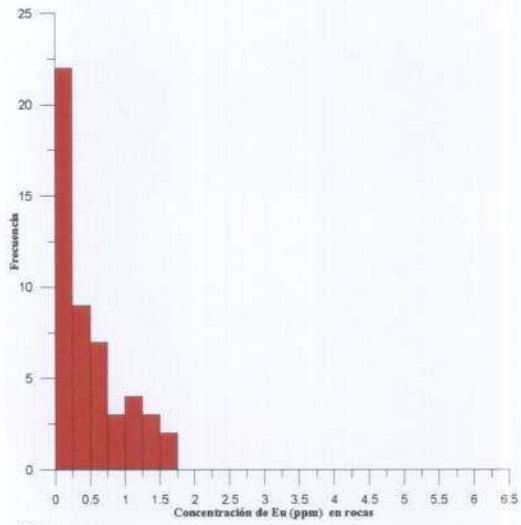


Figura 25

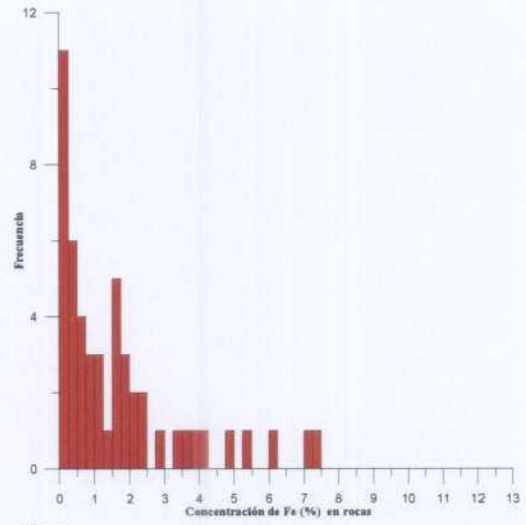


Figura 26

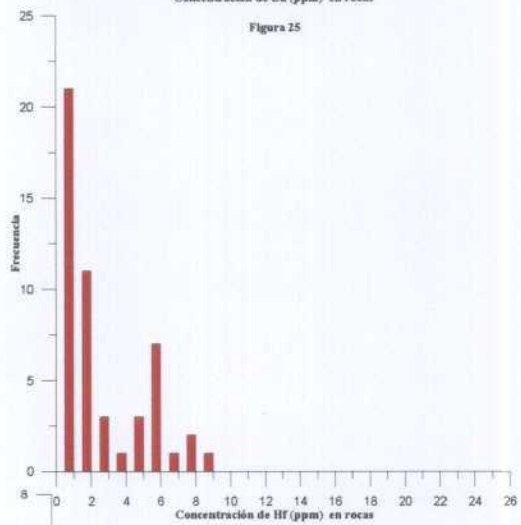


Figura 27

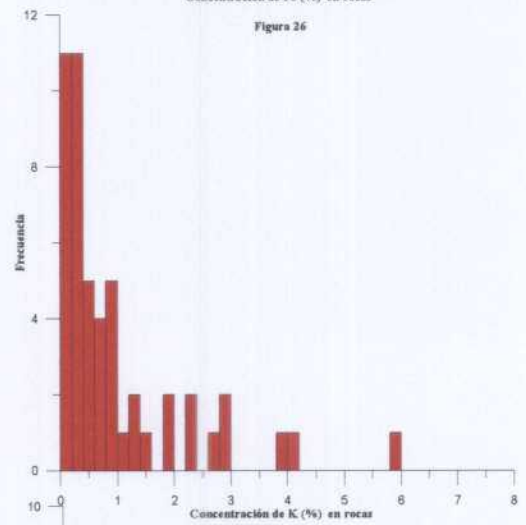


Figura 28

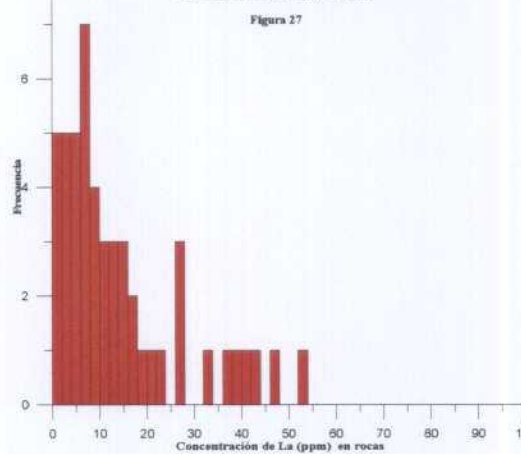


Figura 29

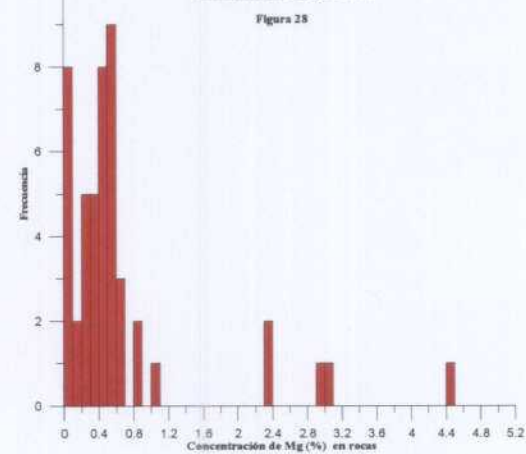


Figura 30

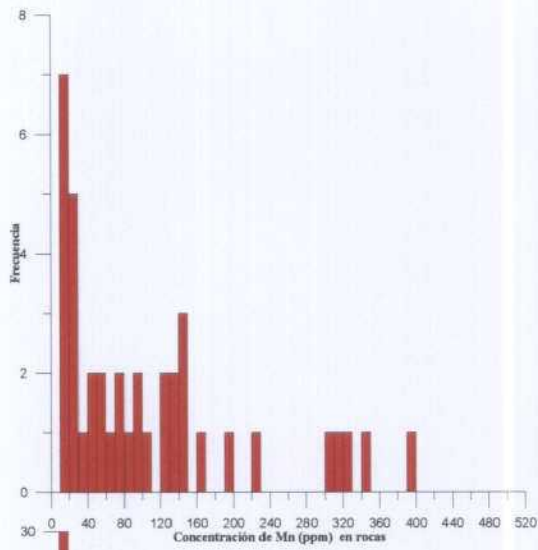


Figura 31

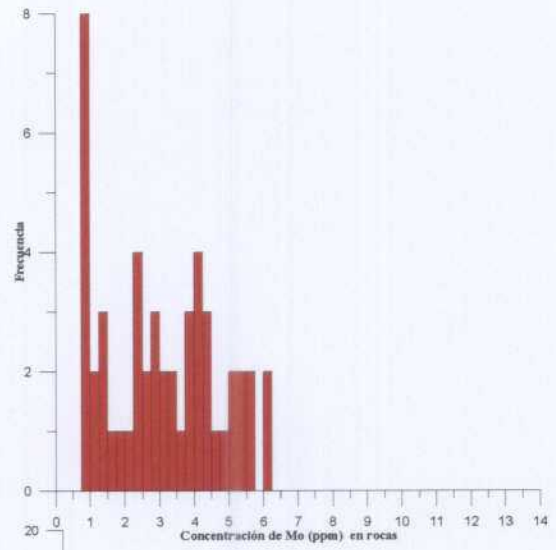


Figura 32

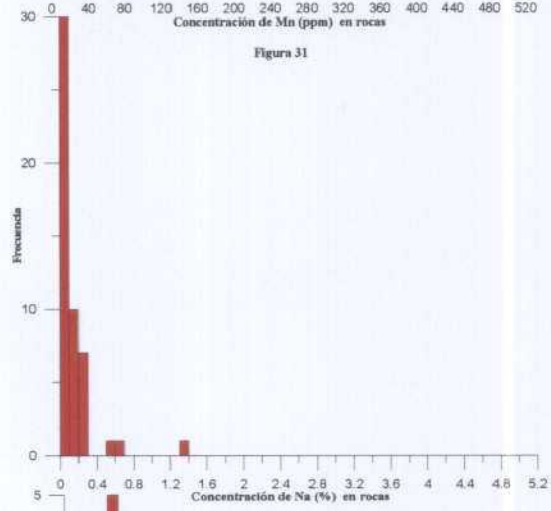


Figura 33

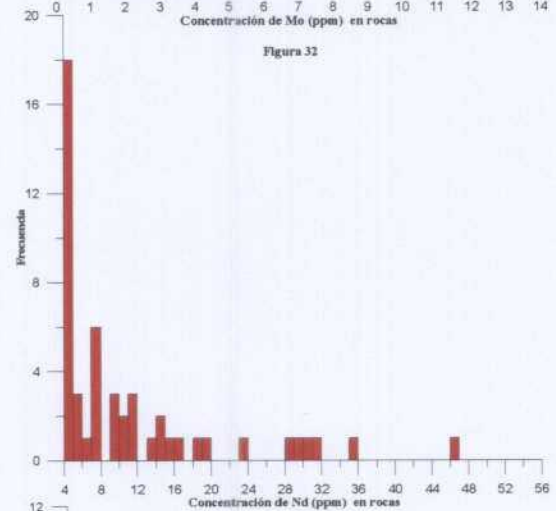


Figura 34

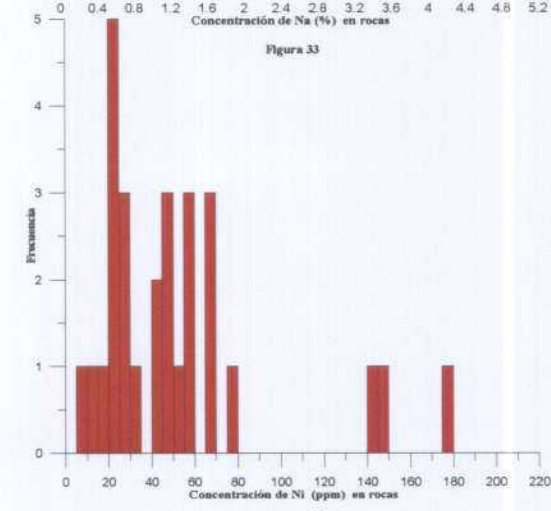


Figura 35

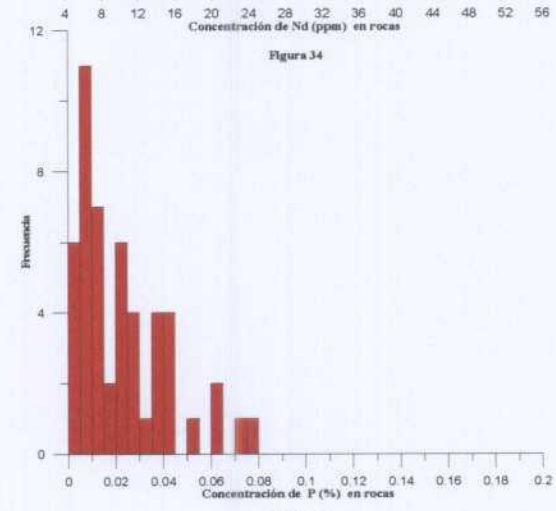


Figura 36

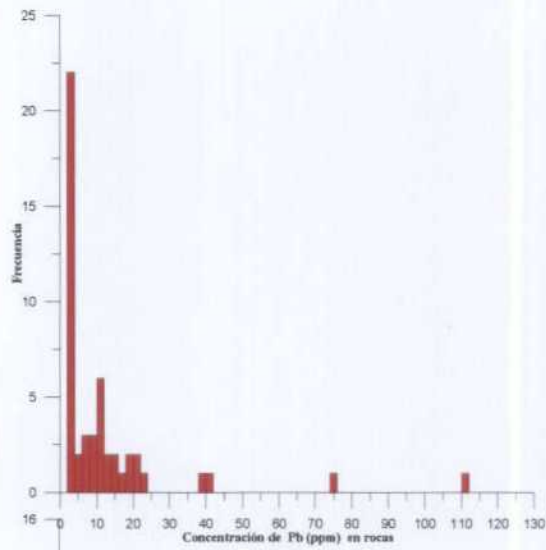


Figura 37

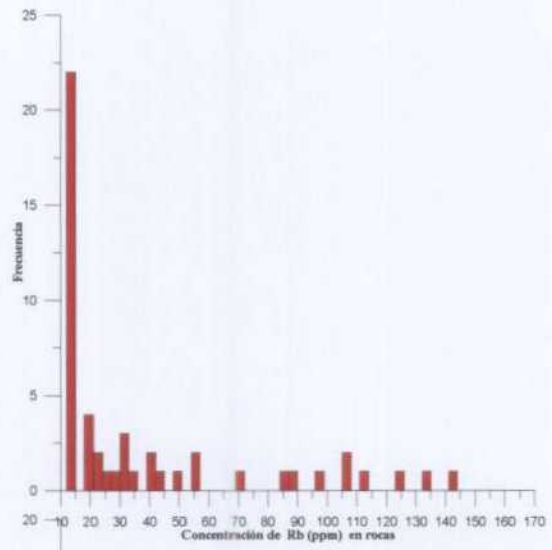


Figura 38

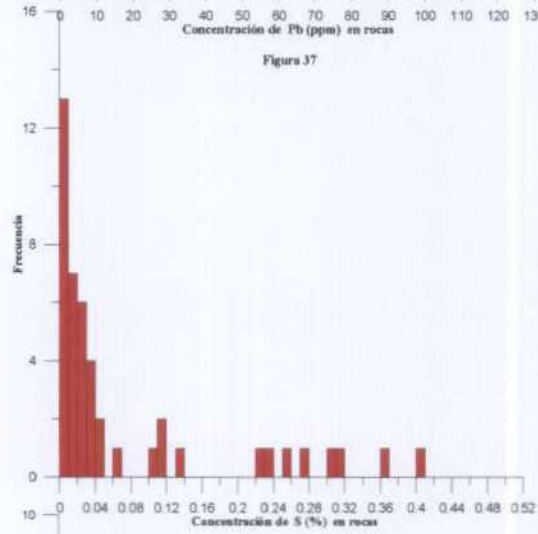


Figura 39

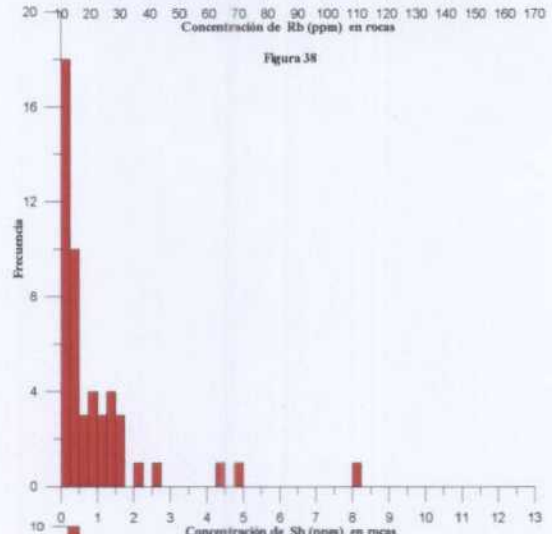


Figura 40

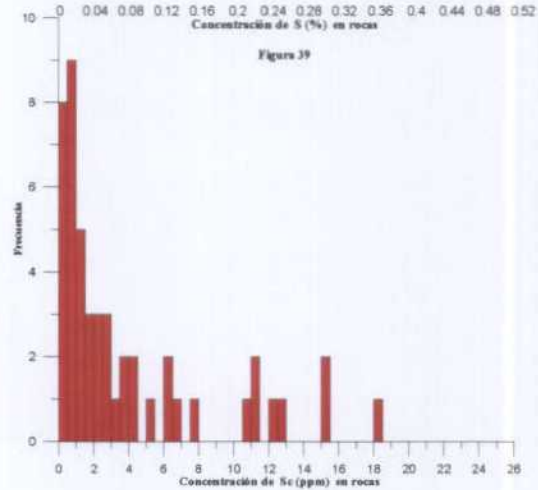


Figura 41

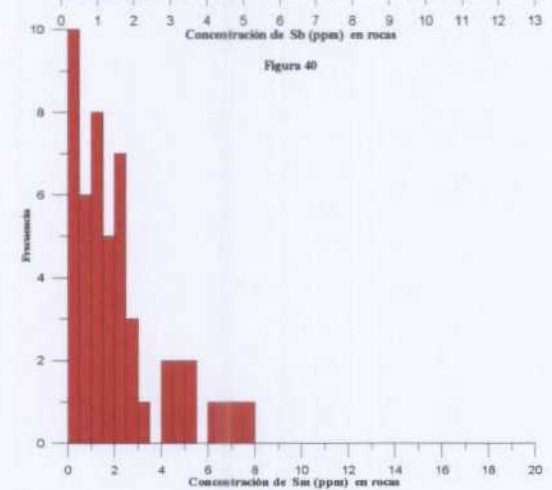


Figura 42

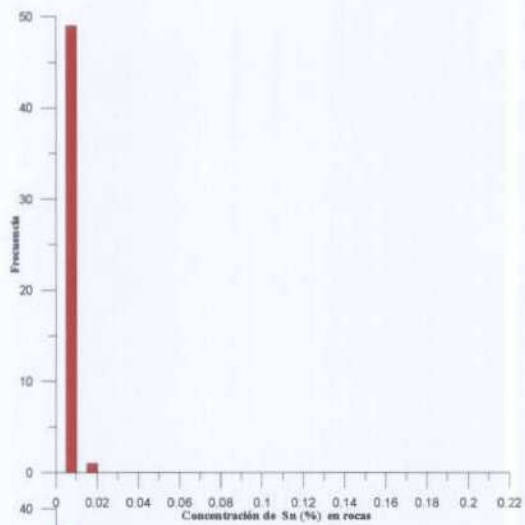


Figura 43

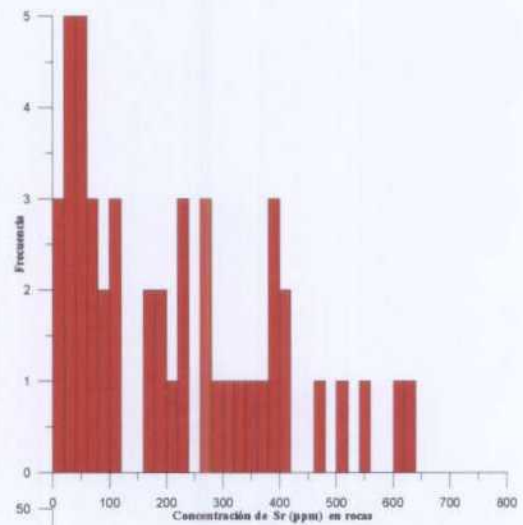


Figura 44

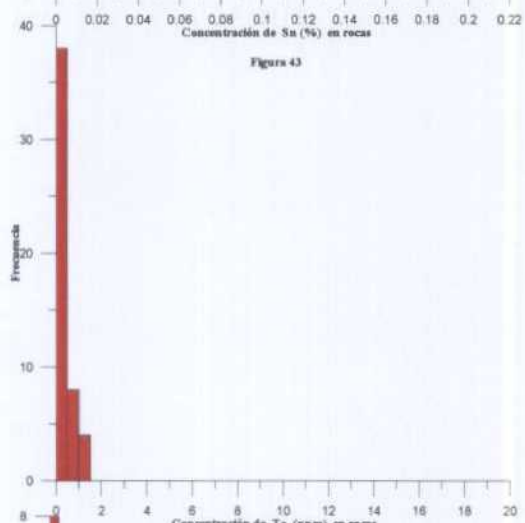


Figura 45

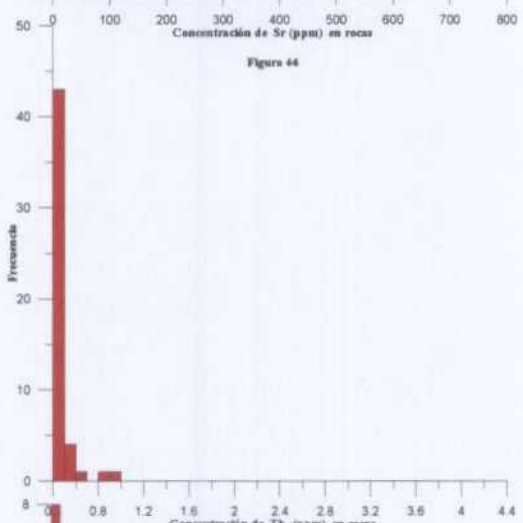


Figura 46

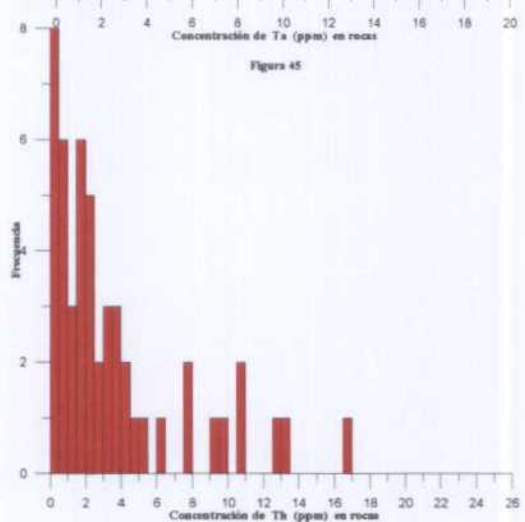


Figura 47

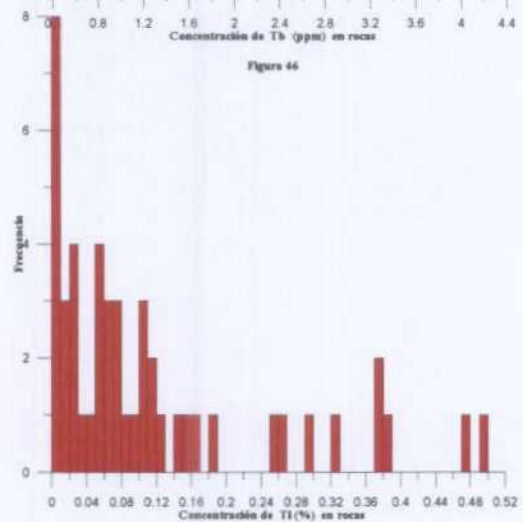


Figura 48

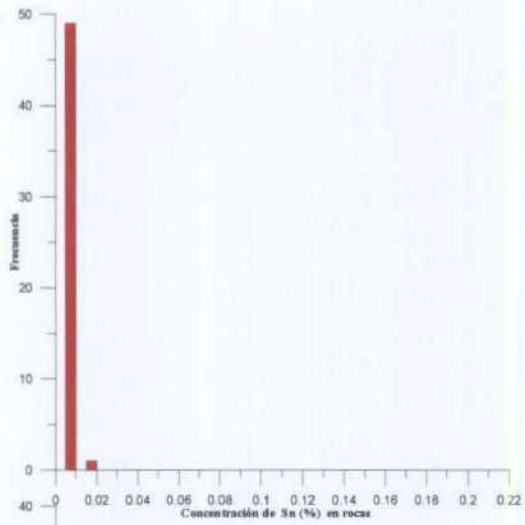


Figura 43

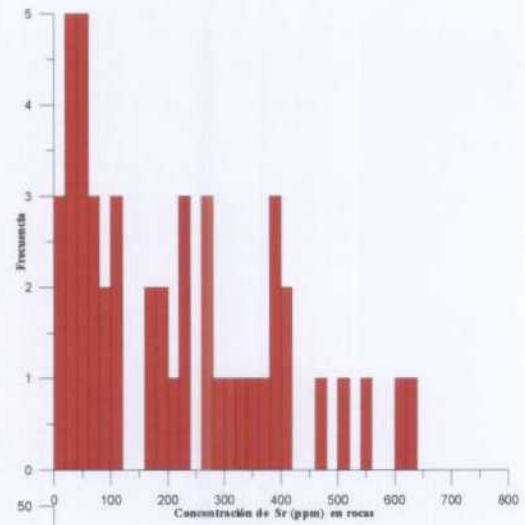


Figura 44

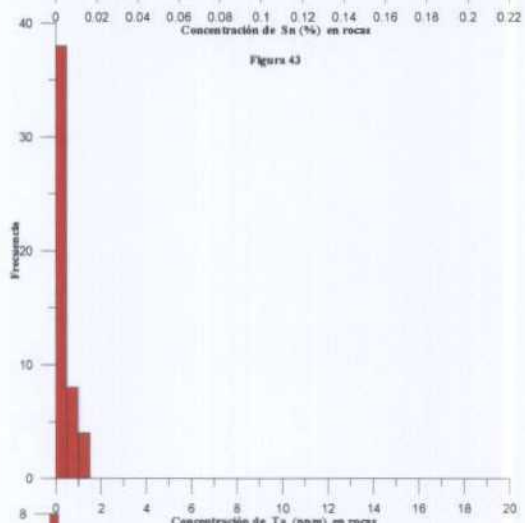


Figura 45

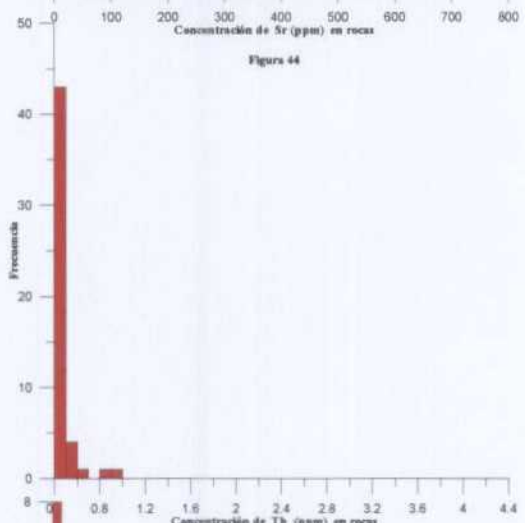


Figura 46

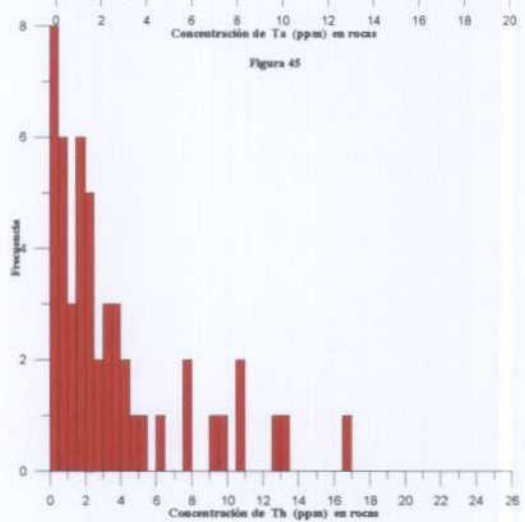


Figura 47

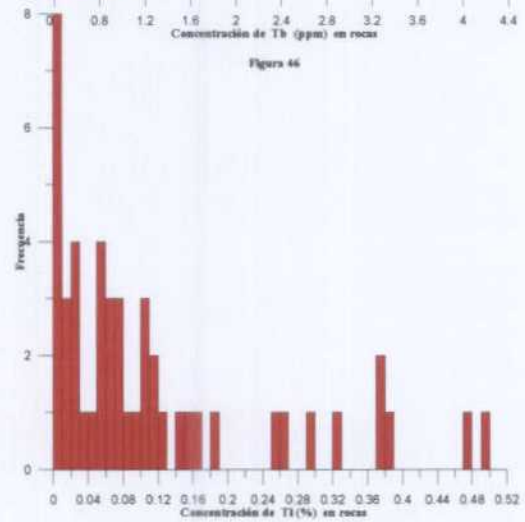
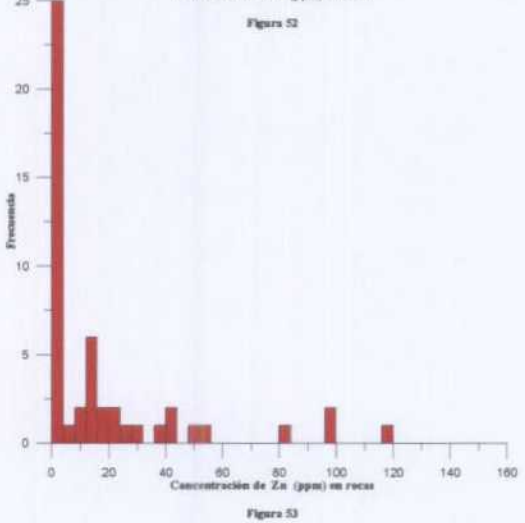
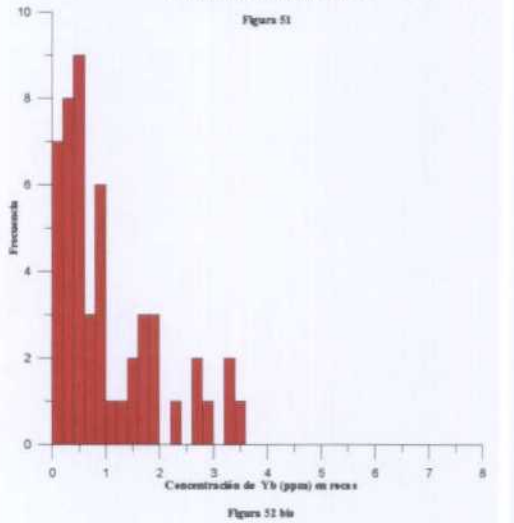
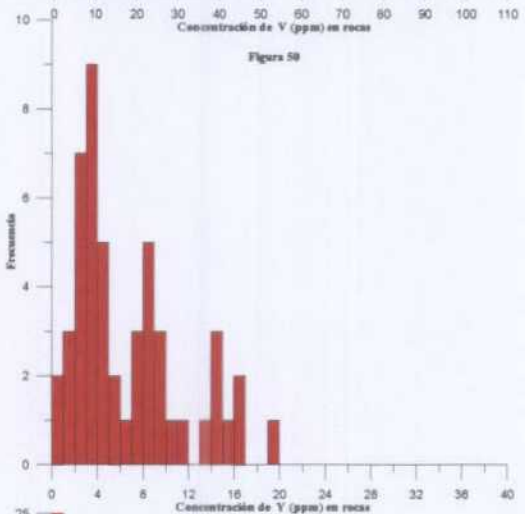
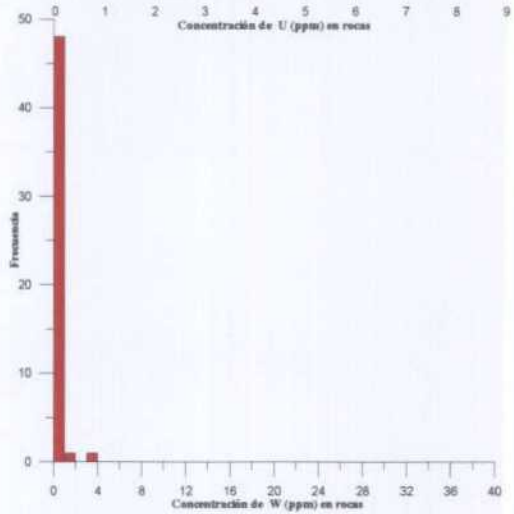
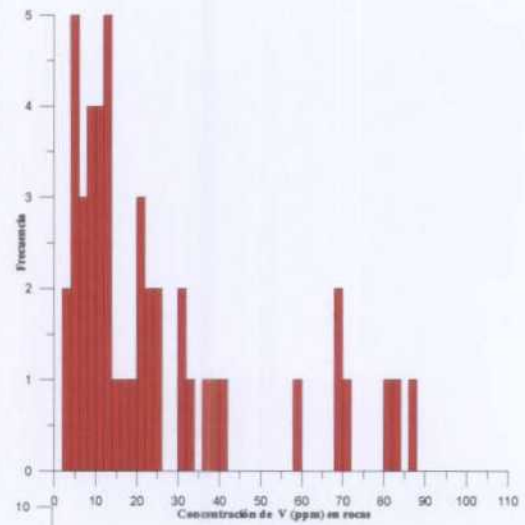
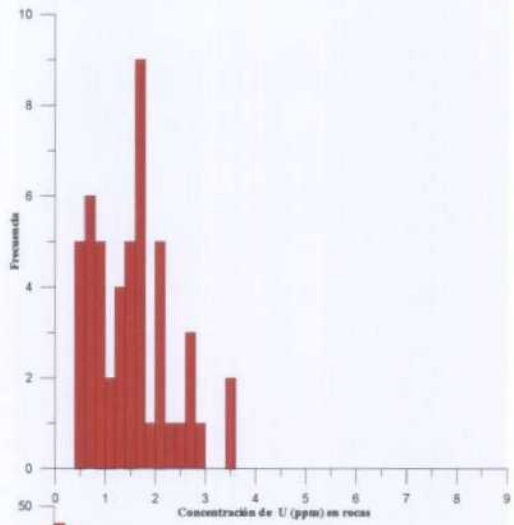


Figura 48



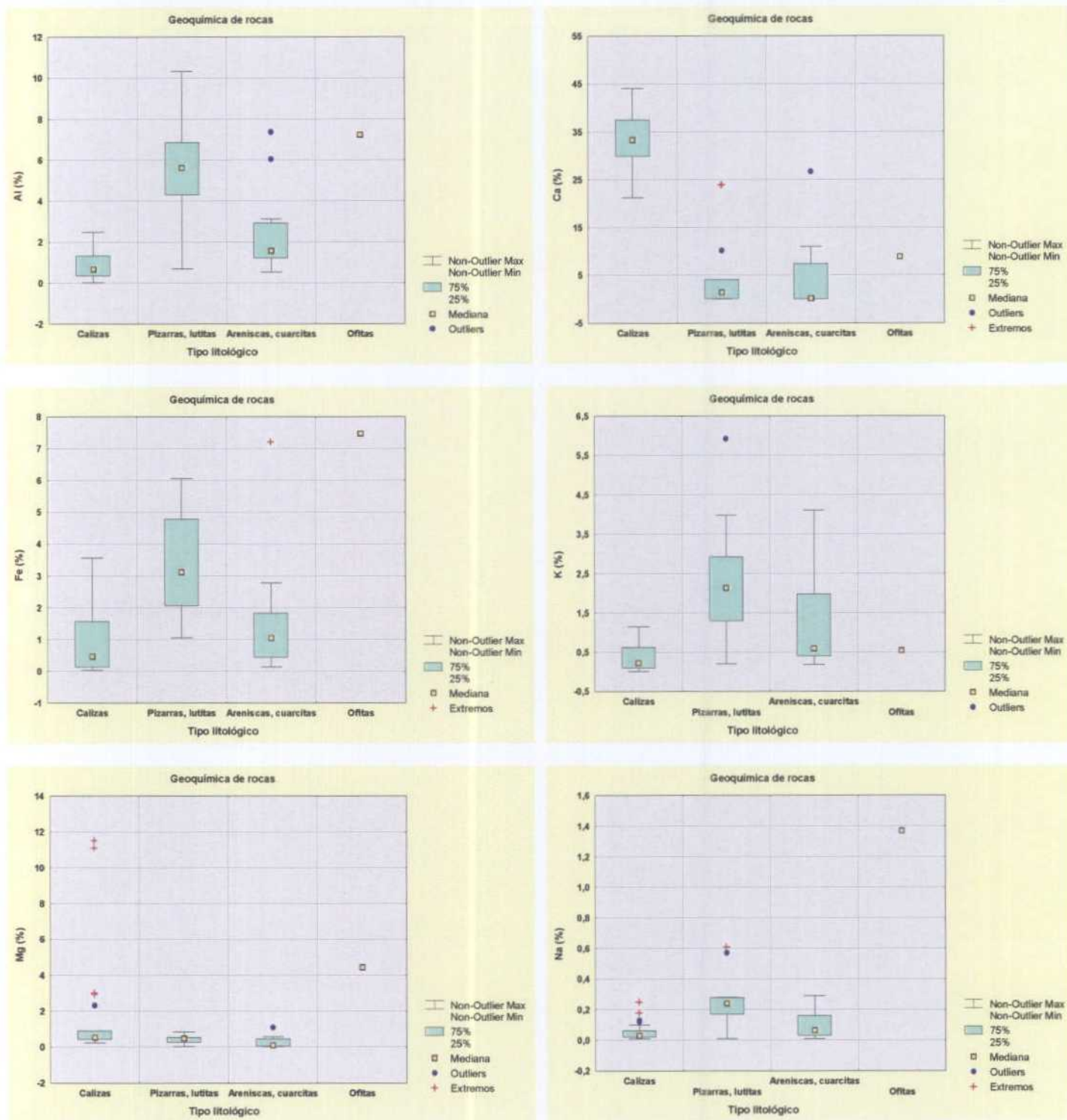
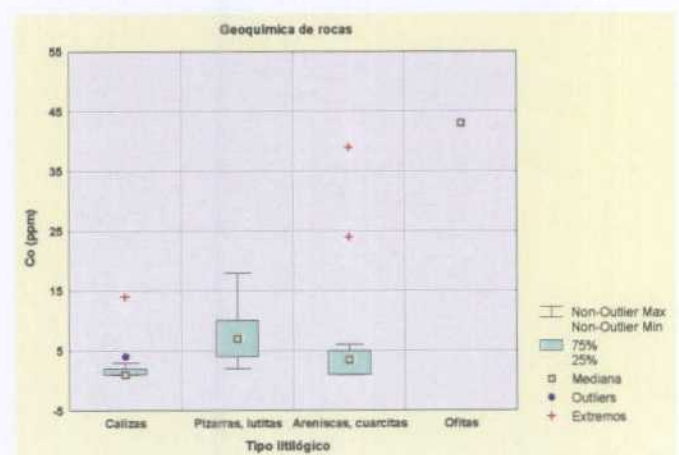
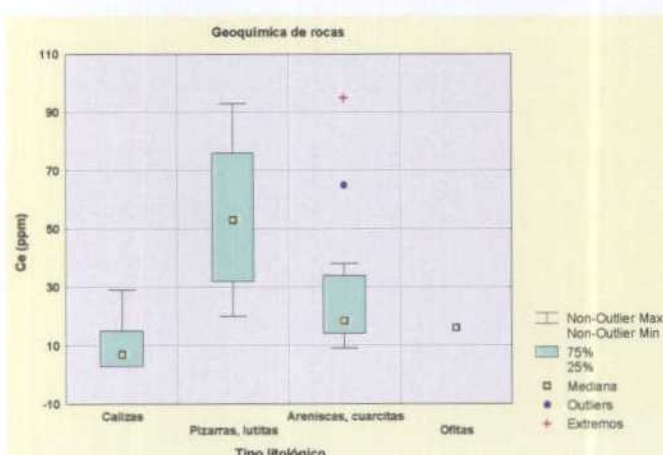
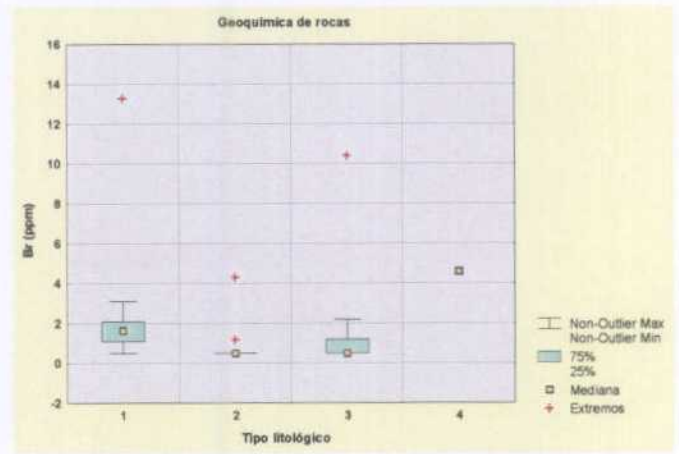
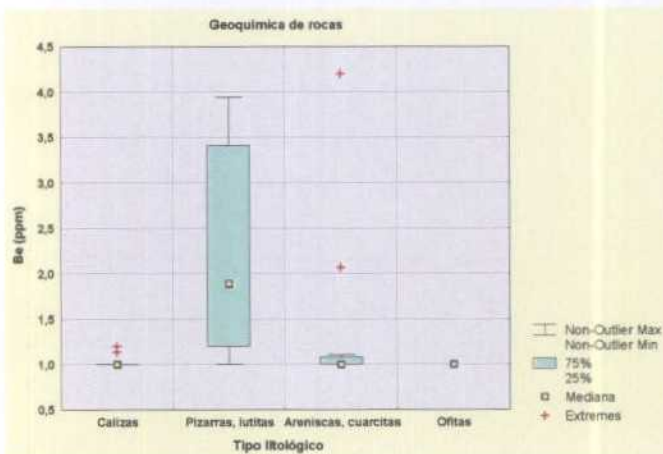
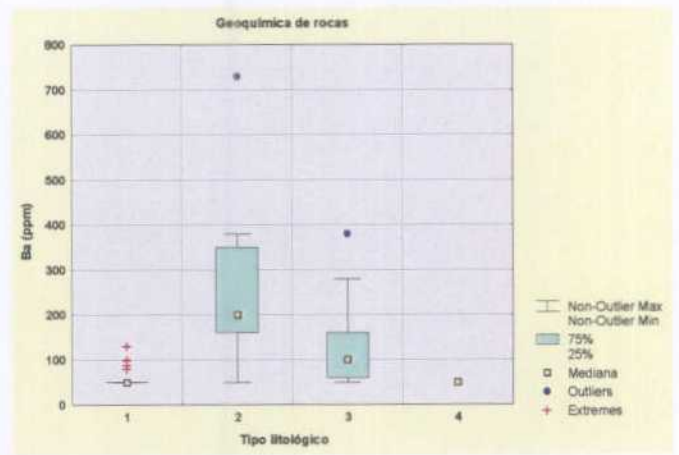
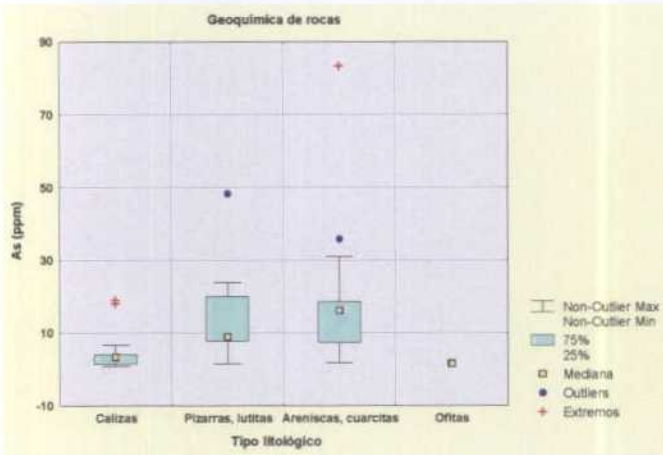
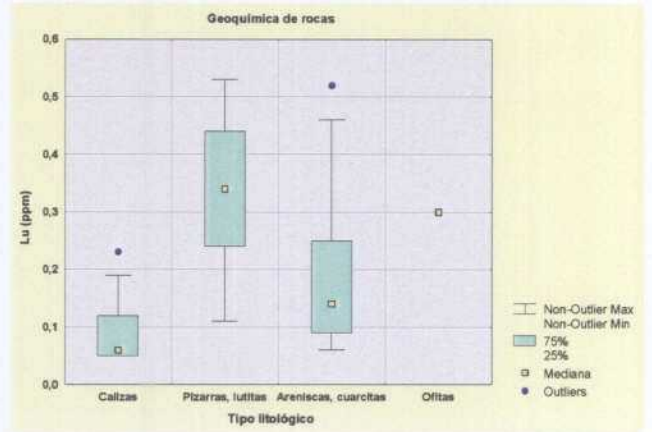
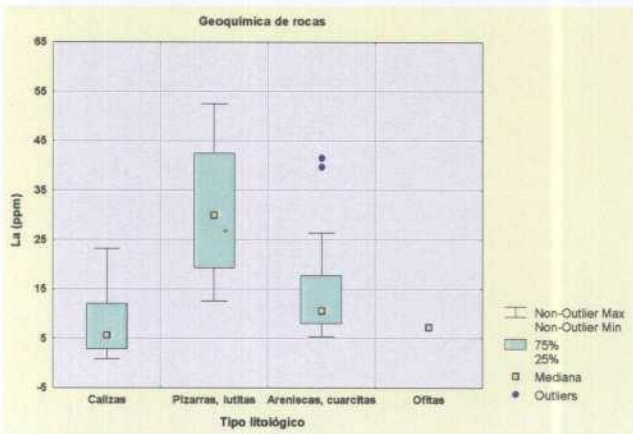
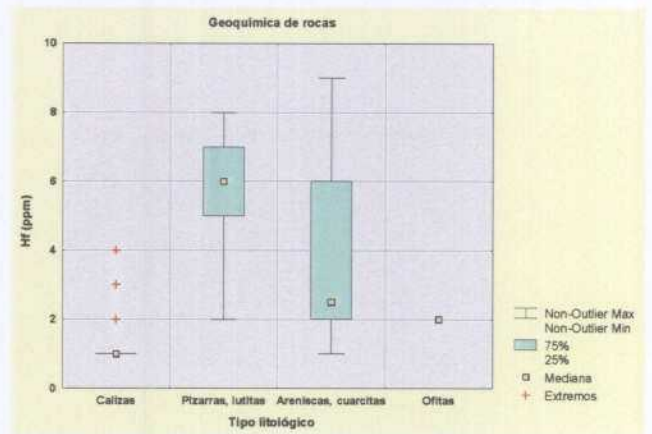
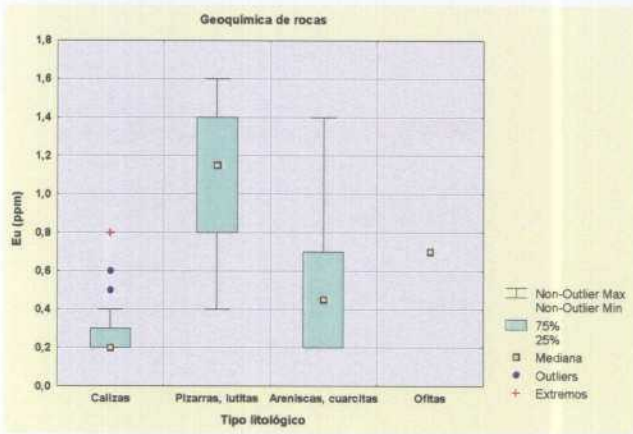
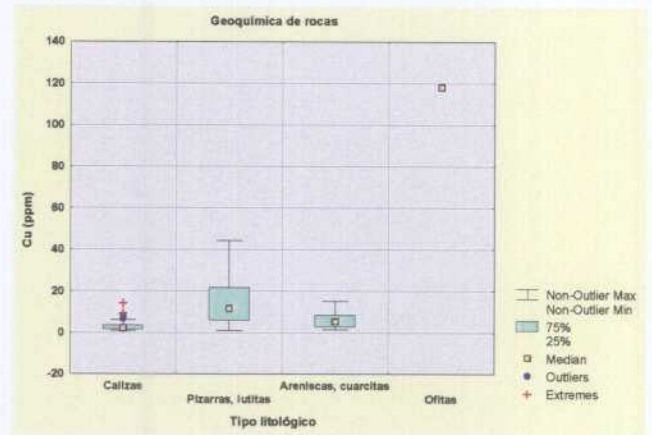
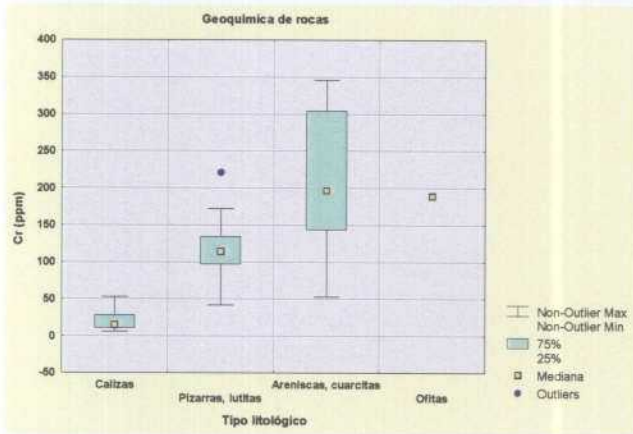


Figura 54 : Diagramas de cajas de elementos mayores por tipos litológicos (1)

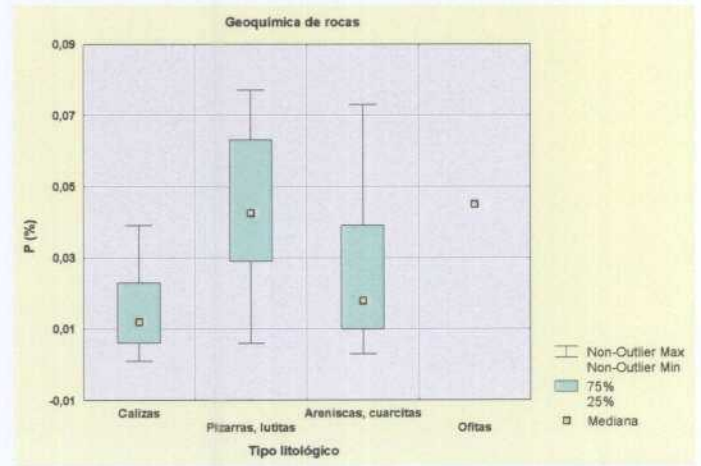
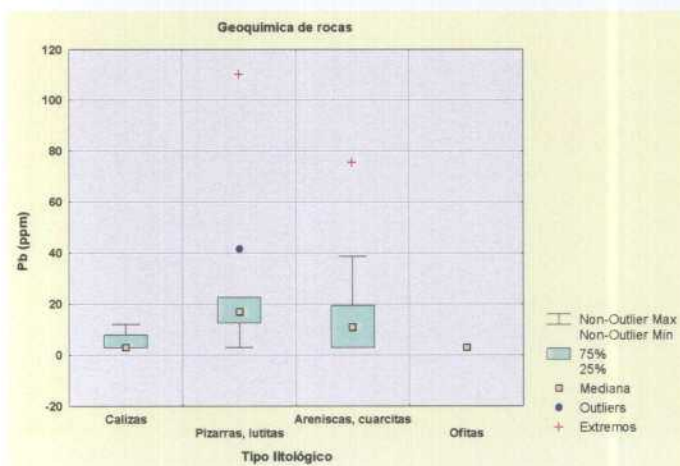
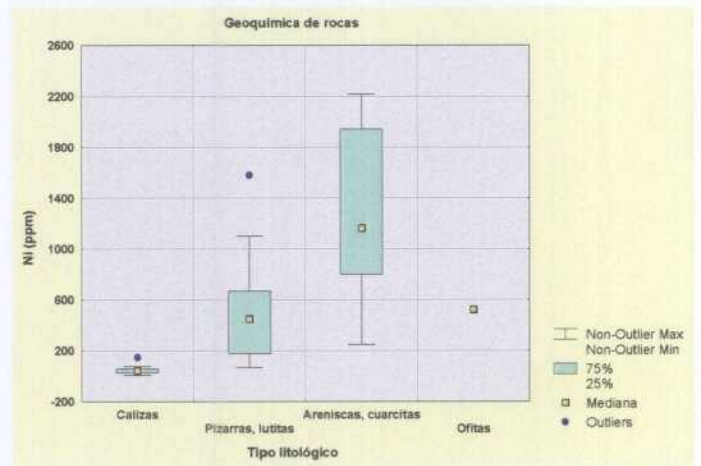
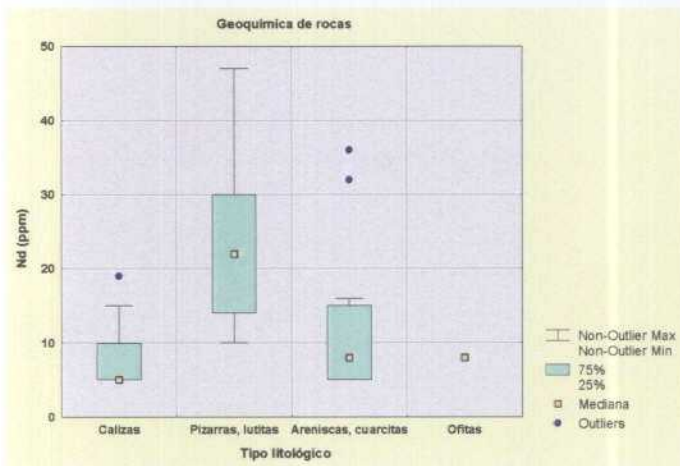
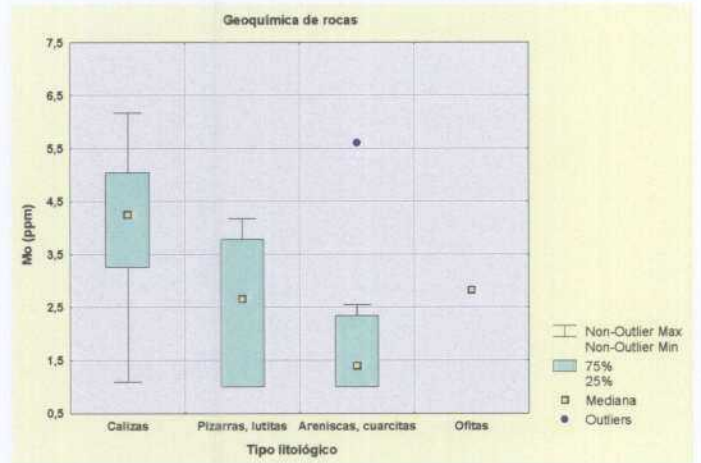
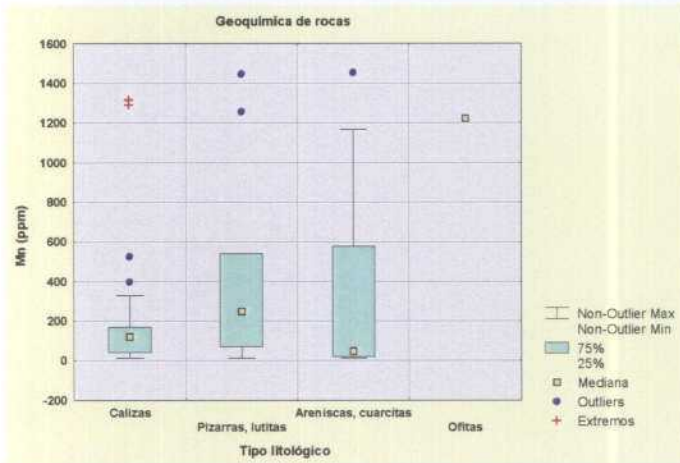




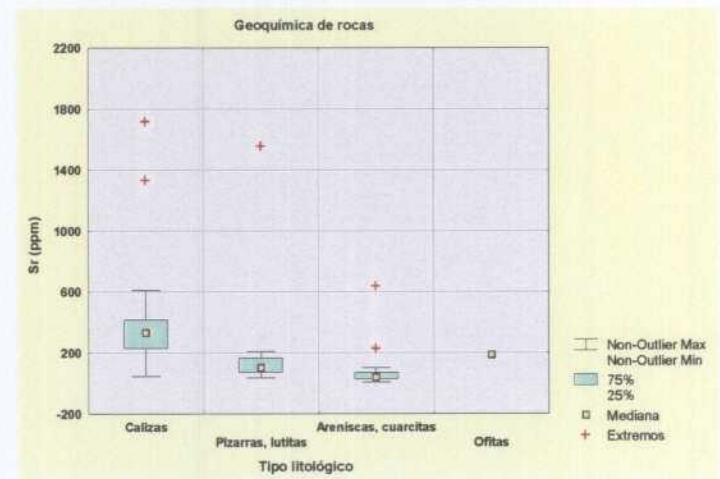
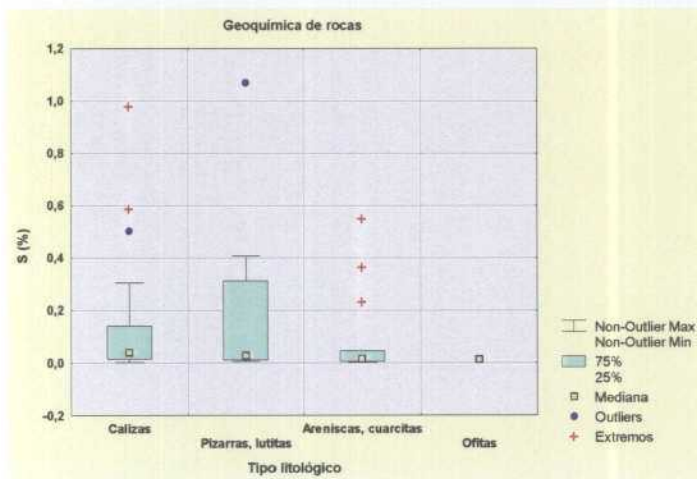
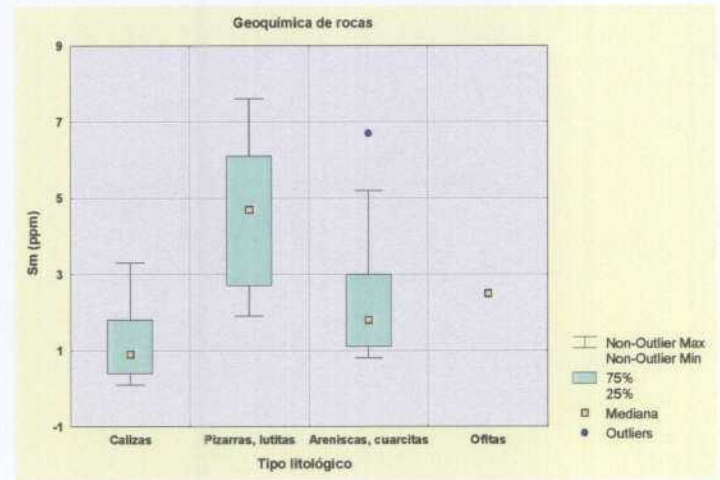
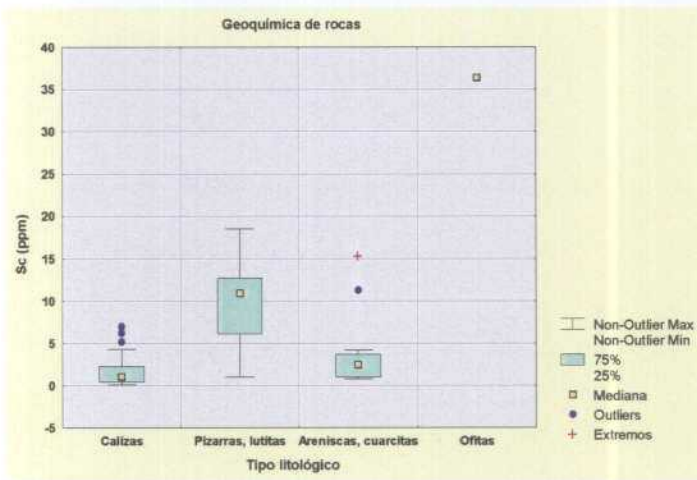
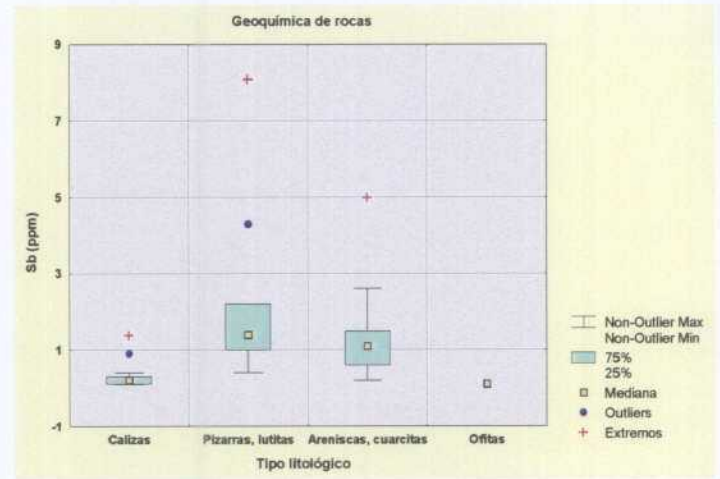
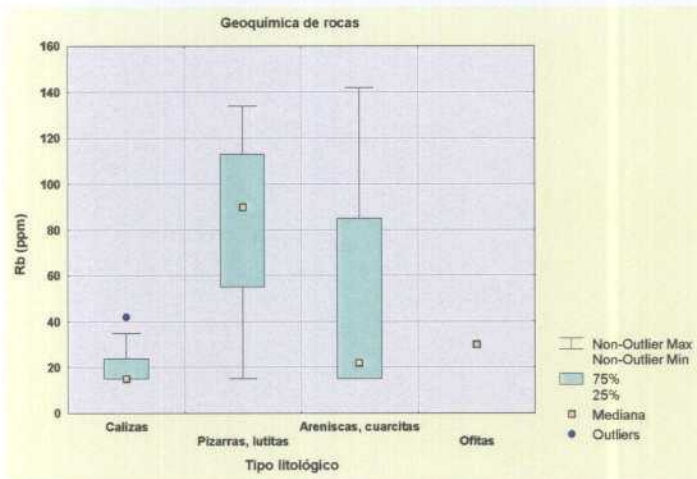
Figuras 55 a 59 b (izqda a dcha y de arriba abajo) : Diagramas de cajas de elementos traza y mayores por tipos litológicos (2)



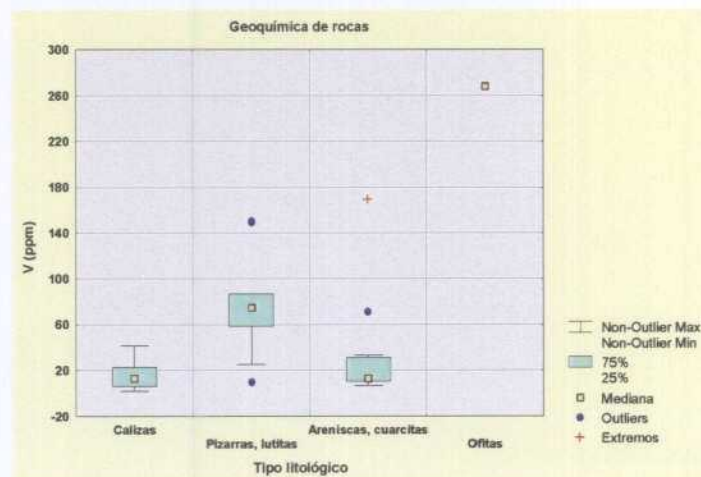
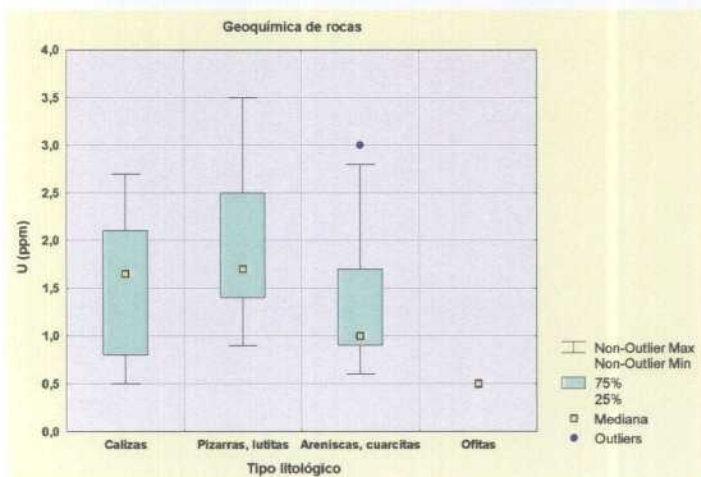
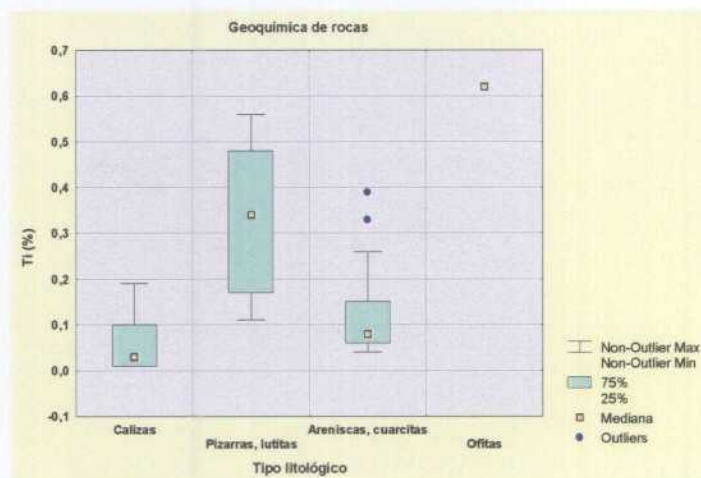
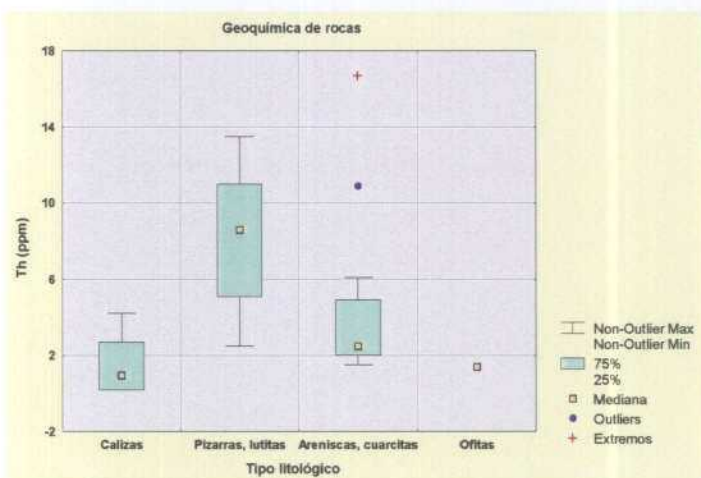
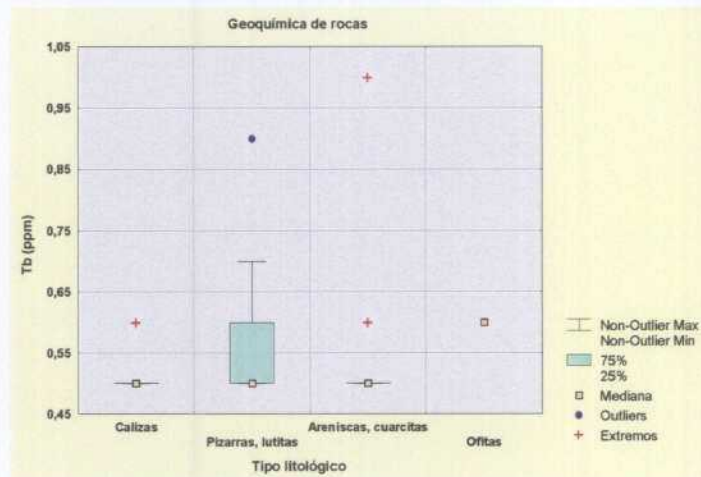
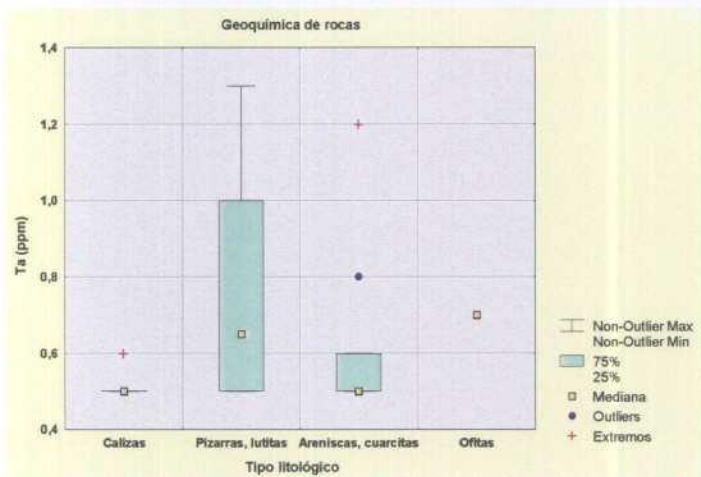
Figuras 60 a 65 (izqda a dcha y de arriba abajo) : Diagramas de cajas de elementos traza y mayores por tipos litológicos (3)



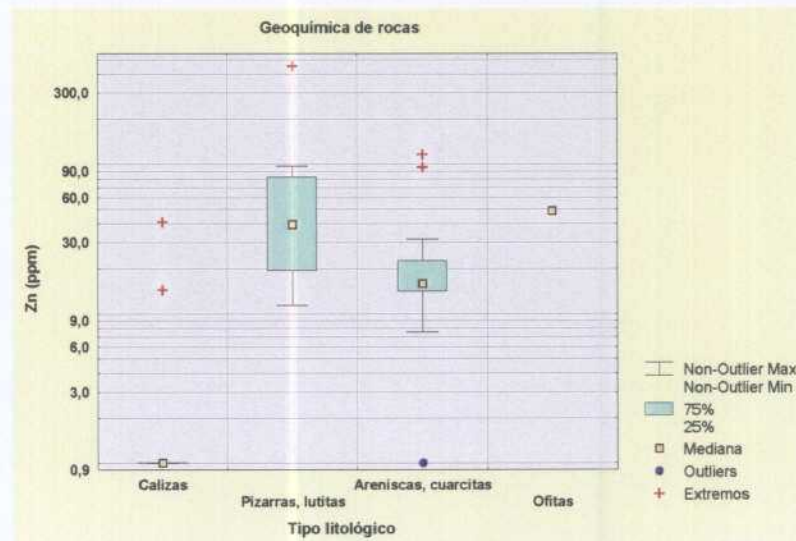
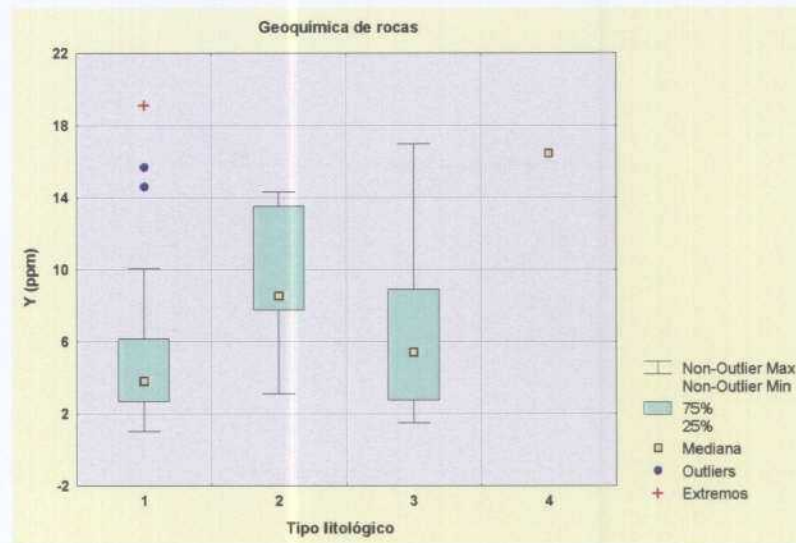
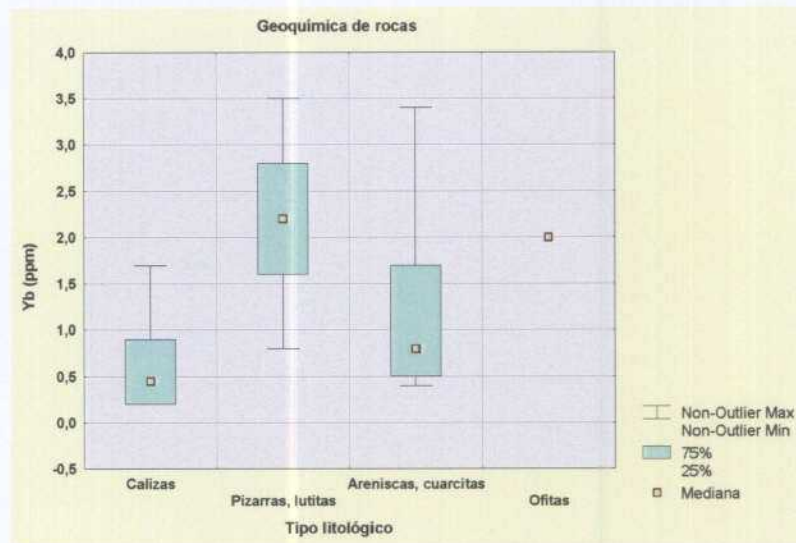
Figuras 66 a 71 (izqda a dcha y de arriba abajo) : Diagramas de cajas de elementos traza y mayores por tipos litológicos (4)



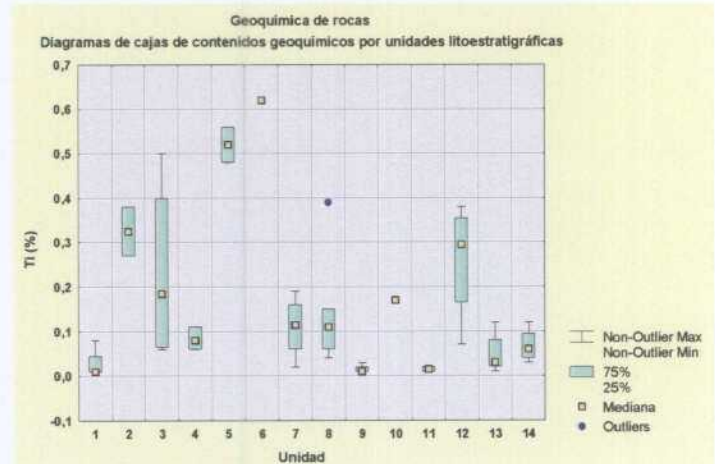
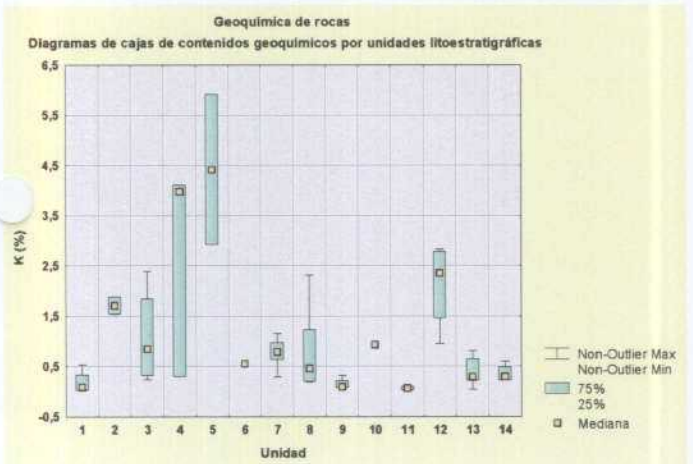
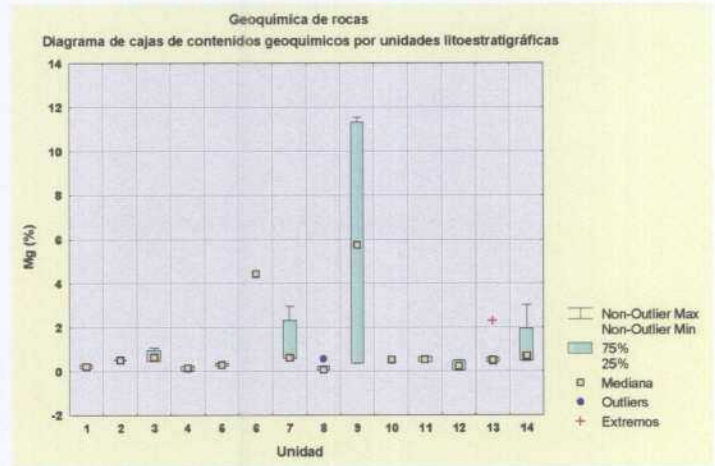
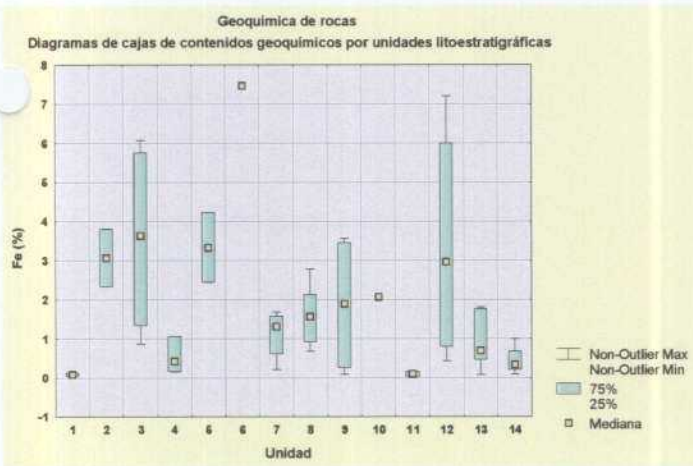
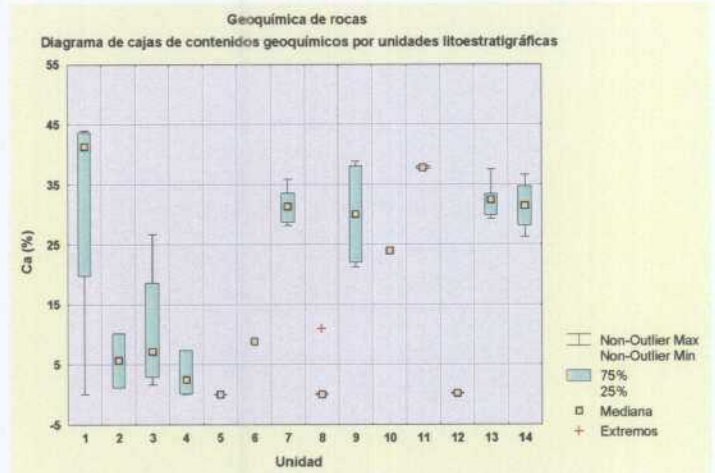
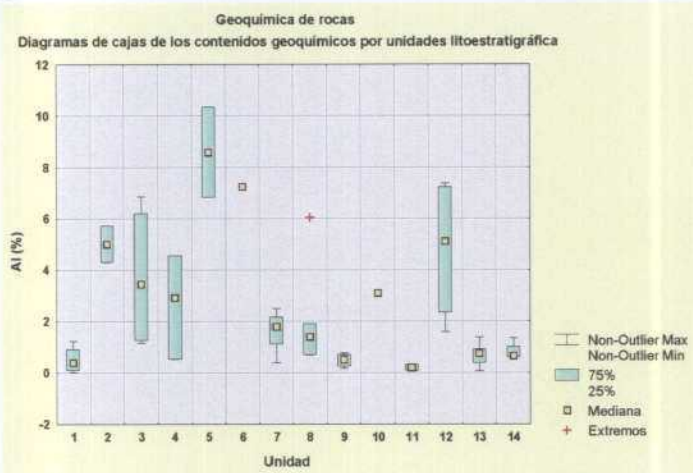
Figuras 72 a 77 (izqda a dcha y de arriba abajo) : Diagramas de cajas de elementos traza y mayores por tipos litológicos (5)



Figuras 78 a 83 (izqda a dcha y de arriba abajo) : Diagramas de cajas de elementos traza y mayores por tipos litológicos (6)



Figuras 84 a 86 (izqda a dcha y de arriba abajo) :  
Diagramas de cajas de elementos traza y mayores por tipos litológicos (7)



Figuras 87 a 92 .- Diagramas de cajas de contenidos geoquímicos en rocas por unidades litoestratigráficas.  
 1.- Calizas Carbonífero M. Asturiano. 2.- Pizarras y lutitas del Paleozoico. 3.- Areniscas, cuarcitas y conglomerados del Paleozoico. 4.- Areniscas del Permotrias. 5.- Lutitas y margas del Trias. 6.- Ofitas. 7.- Calizas del Jurásico (marino). 8.- Facies detríticas del Wealdense. 9.- Calizas del C. Urganiano (O de Santander). 10.- Pizarras del C. Urganiano. 11.- Calizas del C. Urganiano (Ramales). 12.- Litologías detríticas del Cretaico superior (supra-urgoniano). 13.- Calizas del Cretácico superior. 14.- Calizas y margas del Terciario.

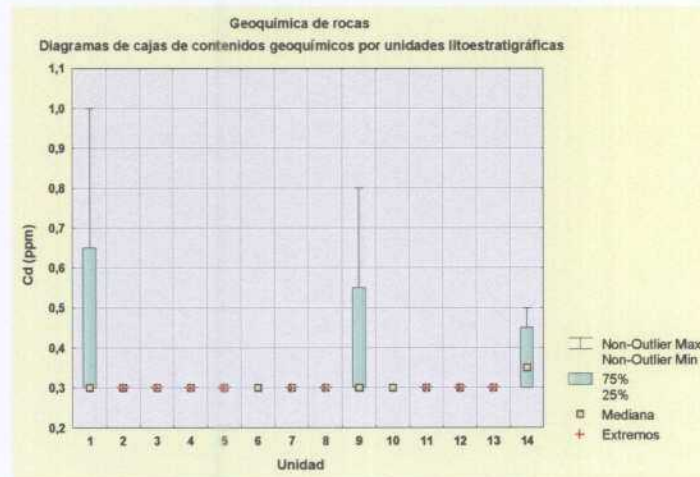
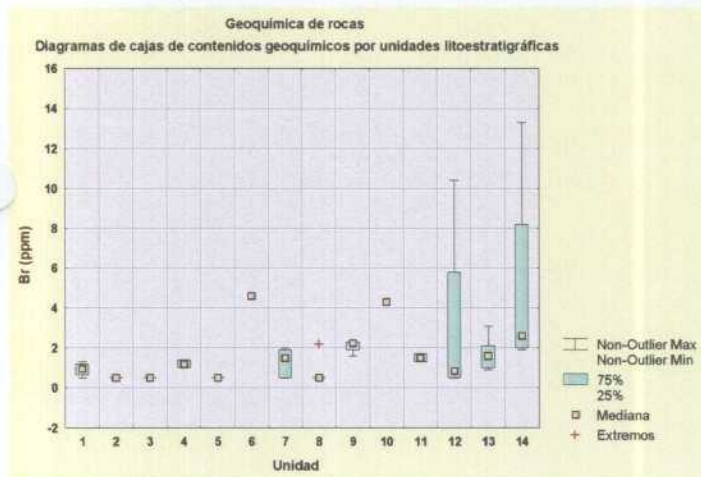
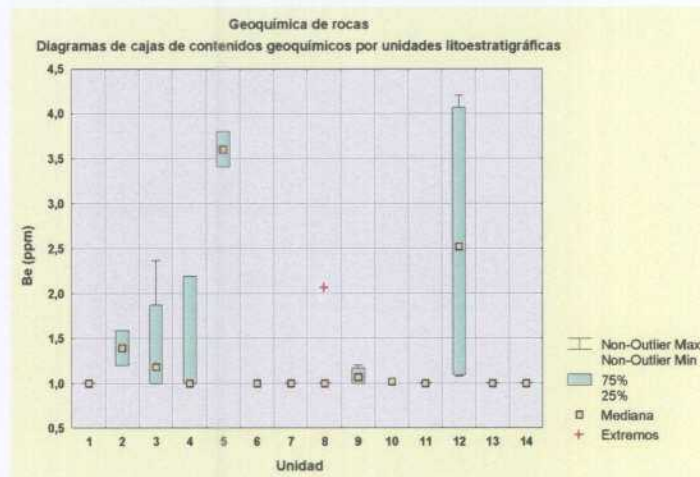
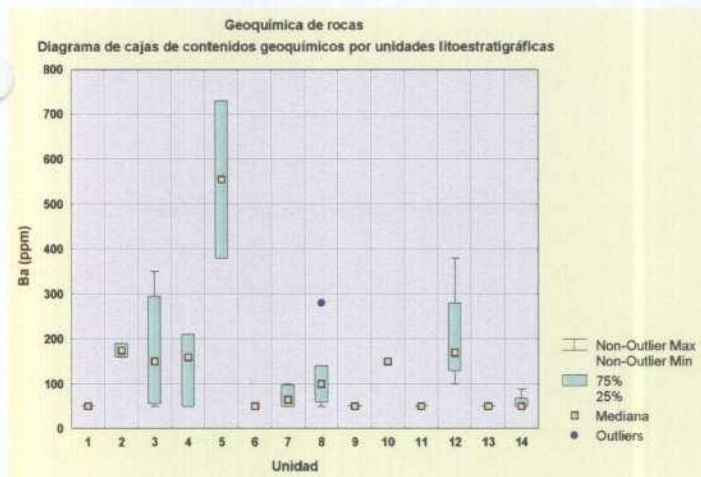
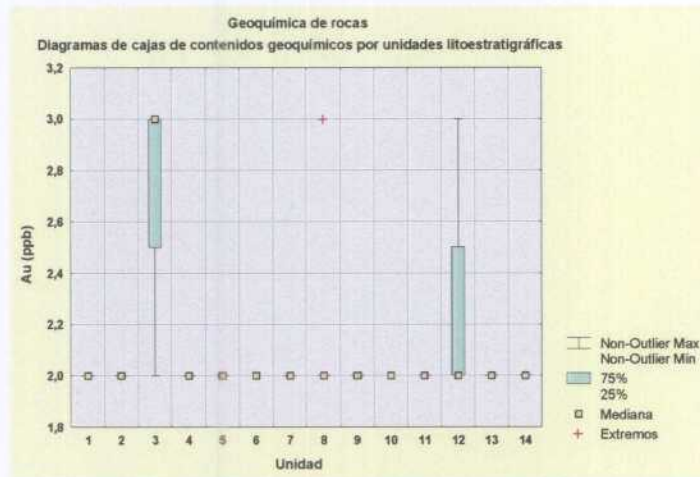
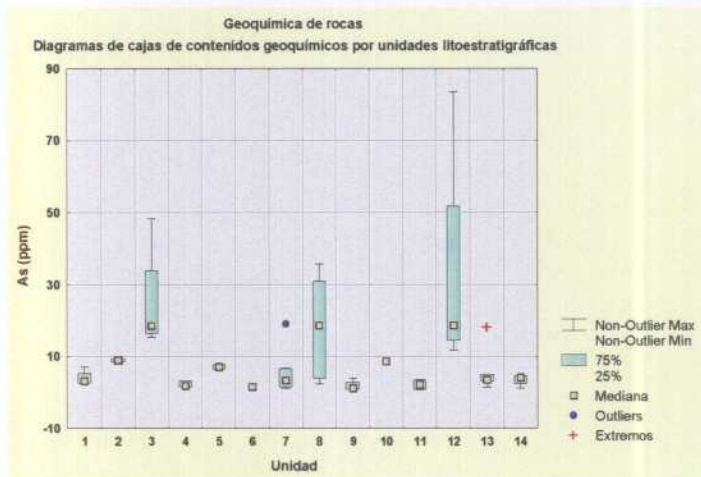


Figura 93 a 98.- Diagramas de cajas de contenidos geoquímicos en rocas por unidades litoestratigráficas.

- 1.- Calizas Carbonífero M. Asturiano.
- 2.- Pizarras y lutitas del Paleozóico.
- 3.- Areniscas, cuarcitas y conglomerados del Paleozóico.
- 4.- Areniscas del Permotrias.
- 5.- Lutitas y margas del Trias.
- 6.- Ofitas.
- 7.- Calizas del Jurásico (marino).
- 8.- Facies detríticas del Wealdiense.
- 9.- Calizas del C. Urganiano (O de Santander).
10. Pizarras del C. Urganiano.
- 11.- Calizas del C. Urganiano (Ramales).
- 12.- Litologías detríticas del Cretaácico superior (supra-urgoniano).
- 13.- Calizas del Cretácico superior.
- 14.- Calizas y margas del Terciario.



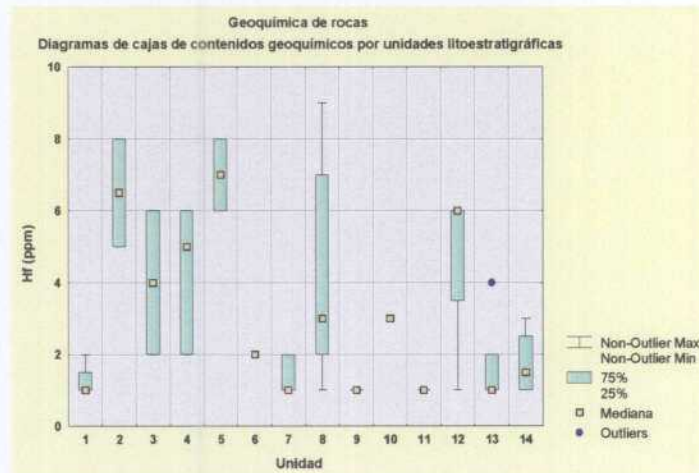
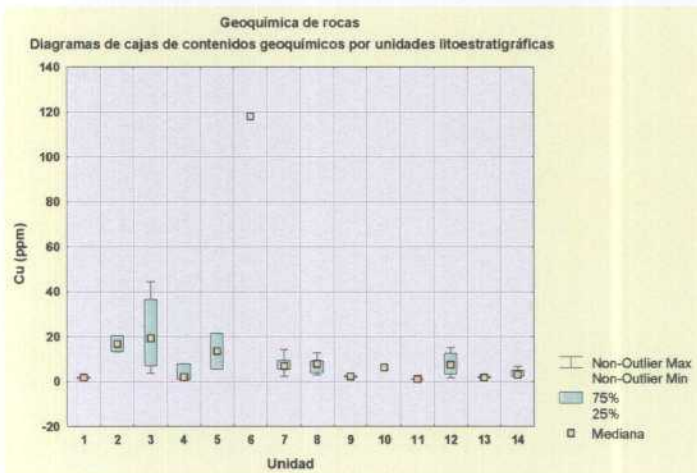
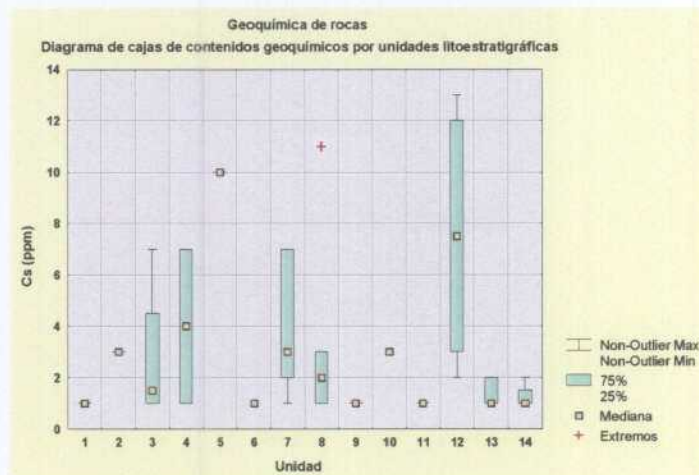
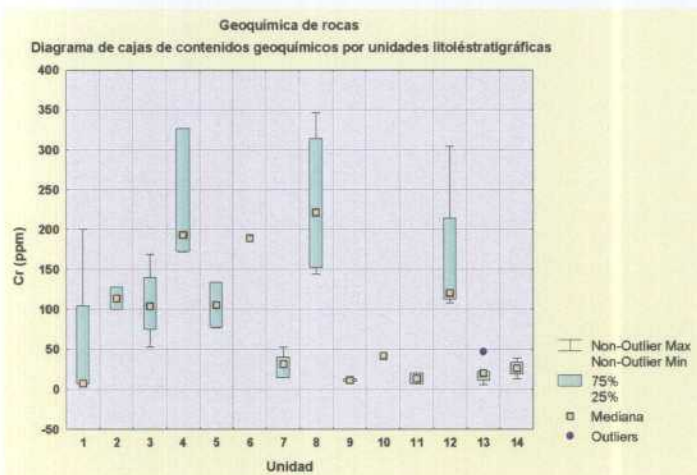
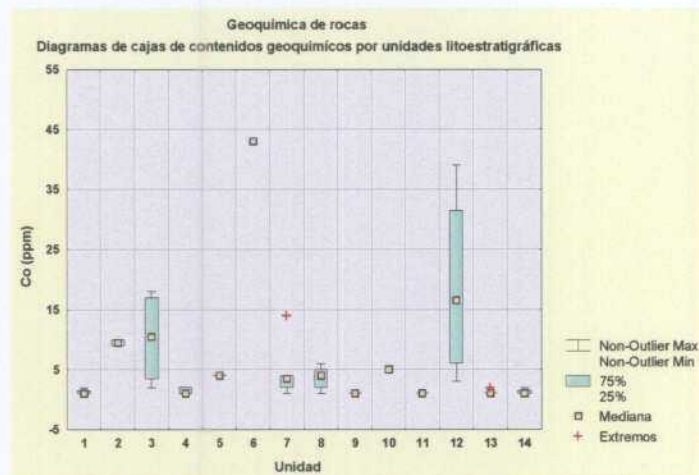
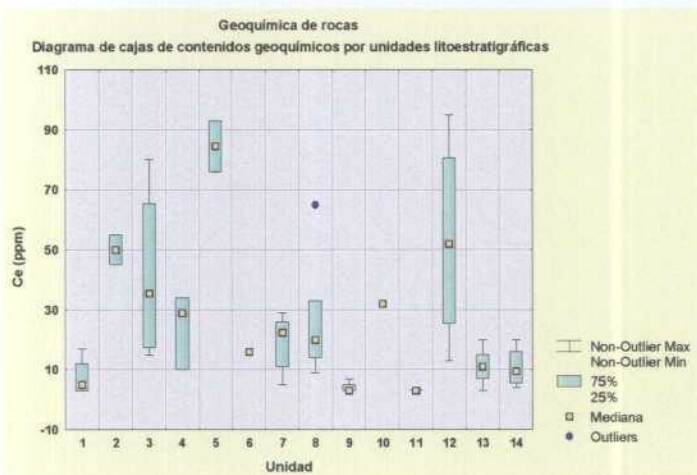


Figura 99 a 104.- Diagramas de cajas de contenidos geoquímicos en rocas por unidades litoestratigráficas.

1.- Calizas Carbonífero M. Asturiano. 2.- Pizarras y lutitas del Paleozóico. 3.- Areniscas, cuarcitas y conglomerados del Paleozóico. 4.- Areniscas del Permotrias. 5.- Lutitas y margas del Trias. 6.- Ofitas. 7.- Calizas del Jurásico (marino) 8.- Facies detríticas del Wealdense. 9.- Calizas del C. Urganiano (O de Santander). 10. Pizarras del C. Urganiano. 11.- Calizas del C. Urganiano (Ramales). 12.- Litologías detríticas del Cretaácico superior (supra-urgoniano). 13.- Calizas del Cretácico superior. 14.- Calizas y margas del Terciario.

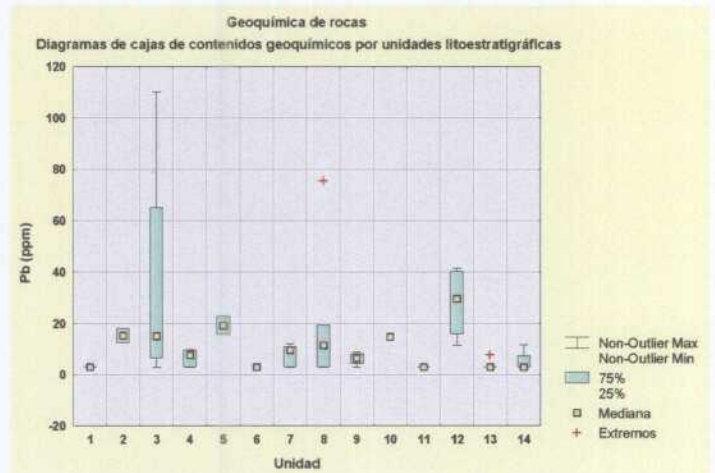
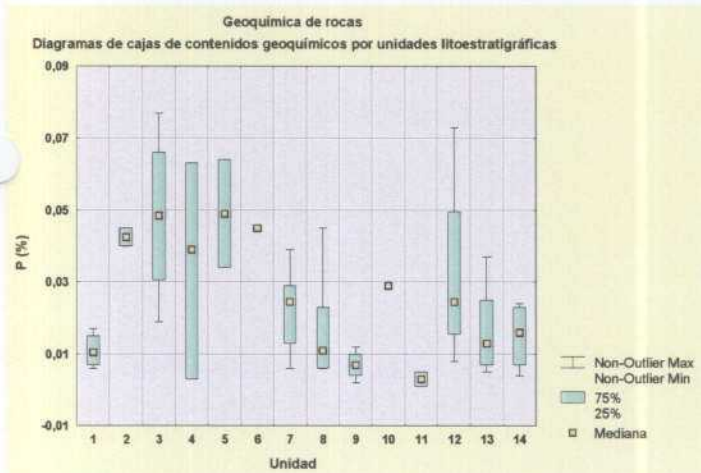
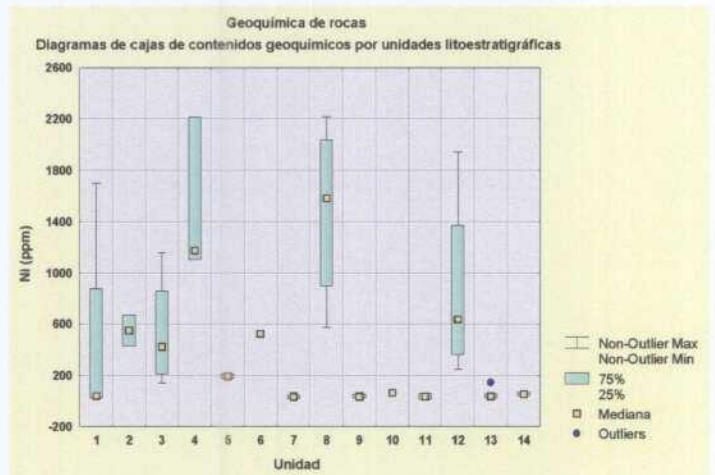
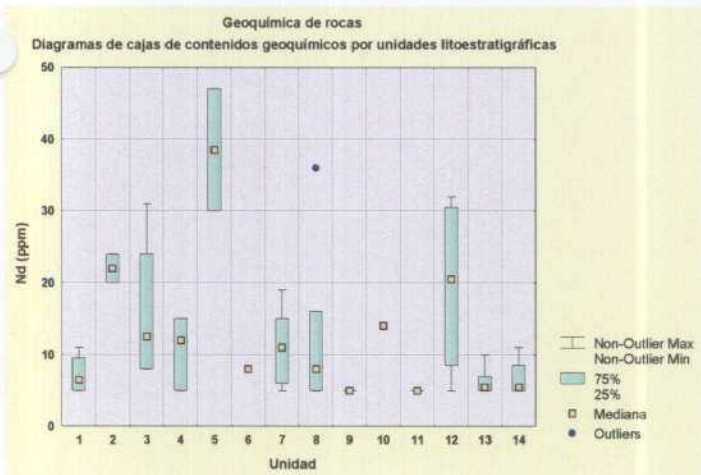
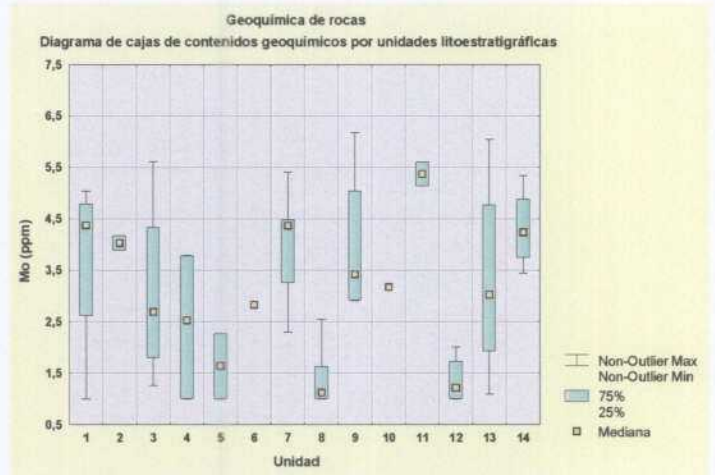
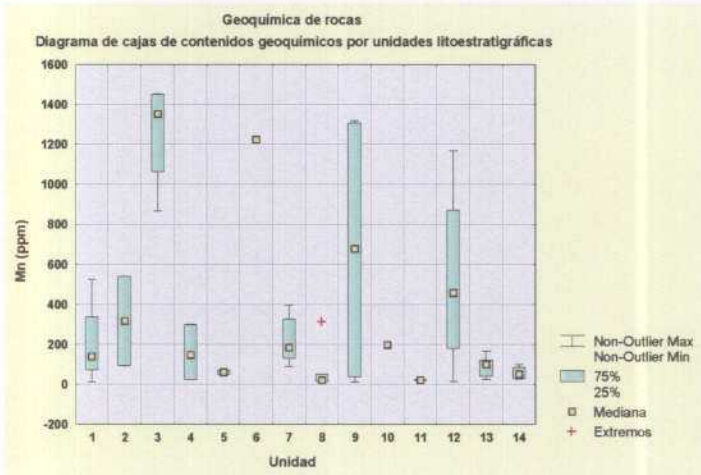


Figura 105 a 110.- Diagramas de cajas de contenidos geoquímicos en rocas por unidades litoestratigráficas.

- 1.- Calizas Carbonífero M. Asturiano.
- 2.- Pizarras y lutitas del Paleozóico.
- 3.- Areniscas, cuarcitas y conglomerados del Paleozóico.
- 4.- Areniscas del Permotrias.
- 5.- Lutitas y margas del Trias.
- 6.- Ofitas.
- 7.- Calizas del Jurásico (marino).
- 8.- Facies detríticas del Wealdense.
- 9.- Calizas del C. Urganiano (O de Santander).
- 10.- Pizarras del C. Urganiano.
- 11.- Calizas del C. Urganiano (Ramales).
- 12.- Litologías detríticas del Cretaácico superior (supra-urgoniano).
- 13.- Calizas del Cretácico superior.
- 14.- Calizas y margas del Terciario.

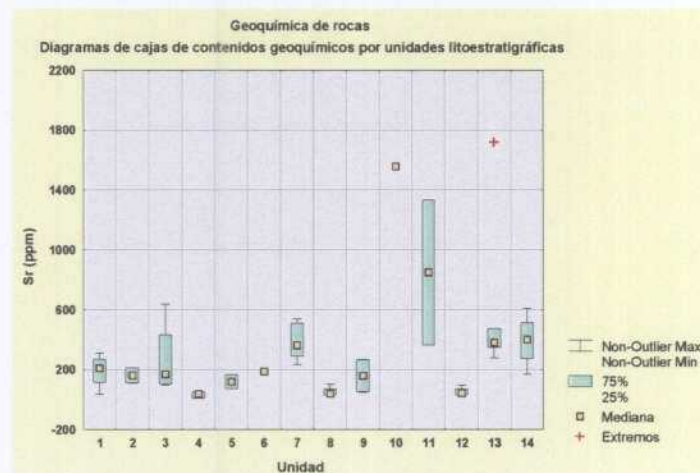
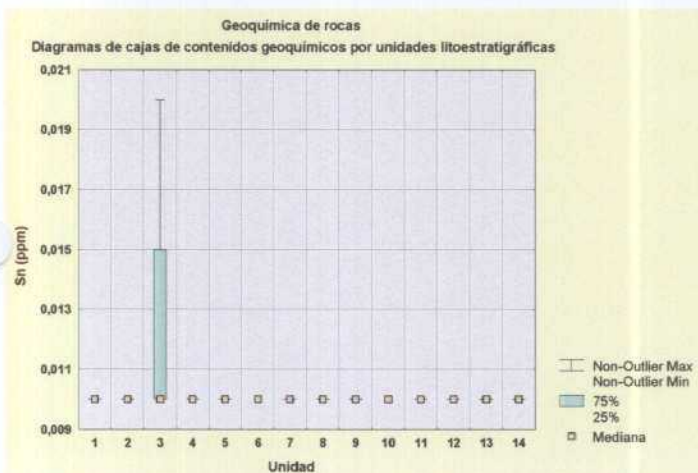
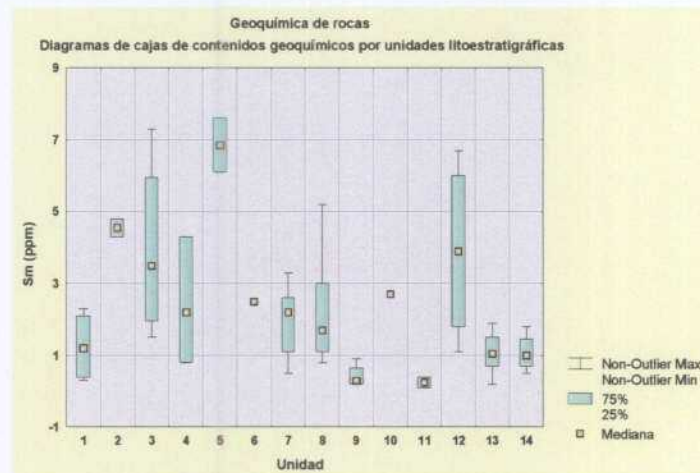
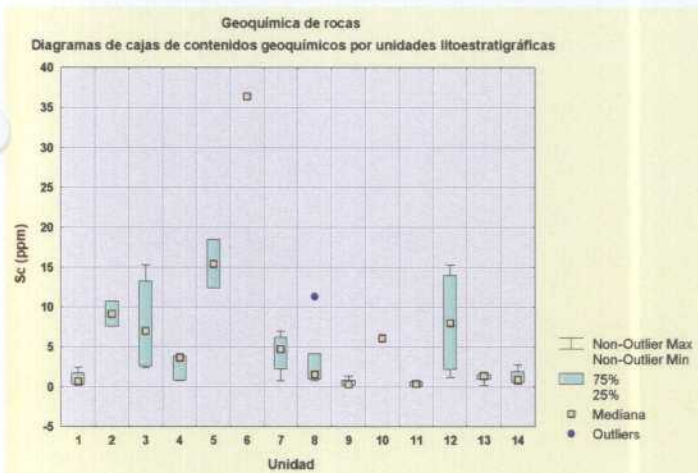
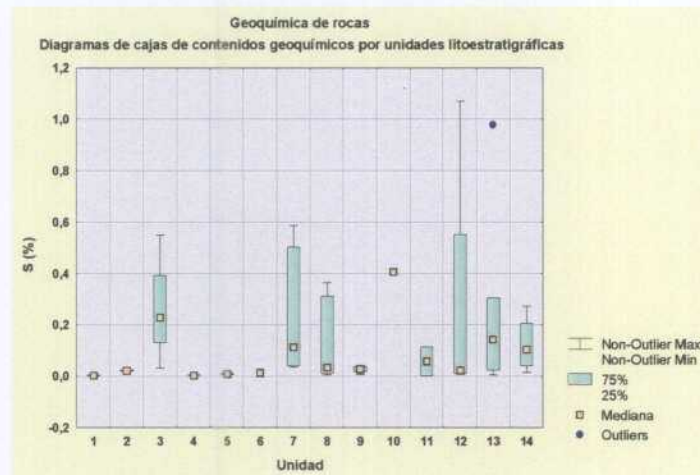
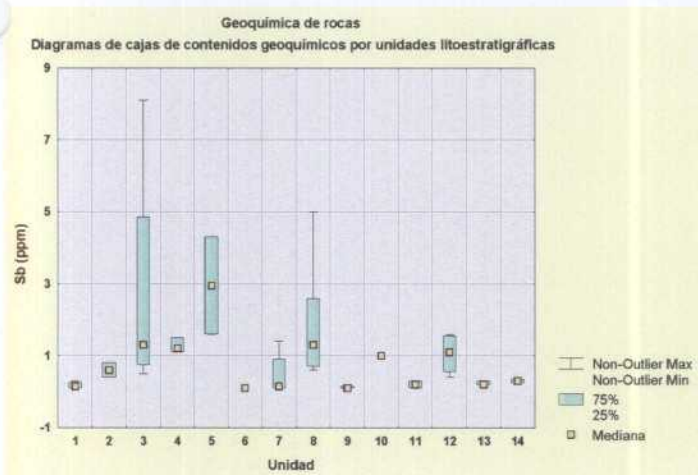


Figura 111 a 116.- Diagramas de cajas de contenidos geoquímicos en rocas por unidades litoestratigráficas.

1.- Calizas Carbonífero M. Asturiano. 2.- Pizarras y lutitas del Paleozóico. 3.- Areniscas, cuarcitas y conglomerados del Paleozóico. 4.- Areniscas del Permotrias. 5.- Lutitas y margas del Trias. 6.- Ofitas. 7.- Calizas del Jurásico (marino). 8.- Facies detríticas del Wealdense. 9.- Calizas del C. Urgoniano (O de Santander). 10.- Pizarras del C. Urgoniano. 11.- Calizas del C. Urgoniano (Ramales). 12.- Litologías detríticas del Cretaácico superior (supra-urgoniano). 13.- Calizas del Cretácico superior. 14.- Calizas y margas del Terciario.

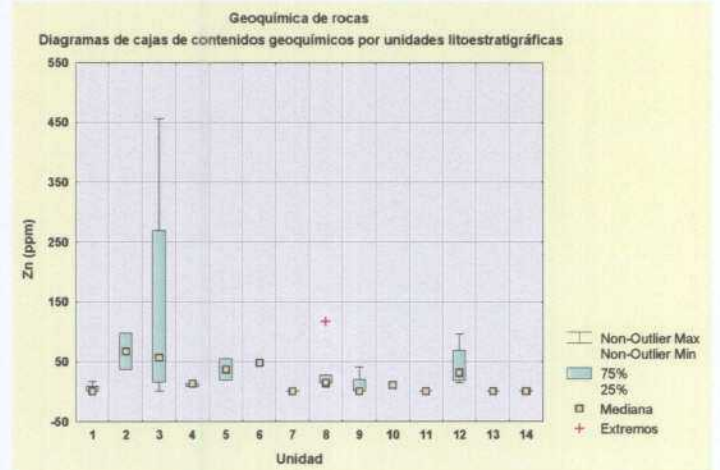
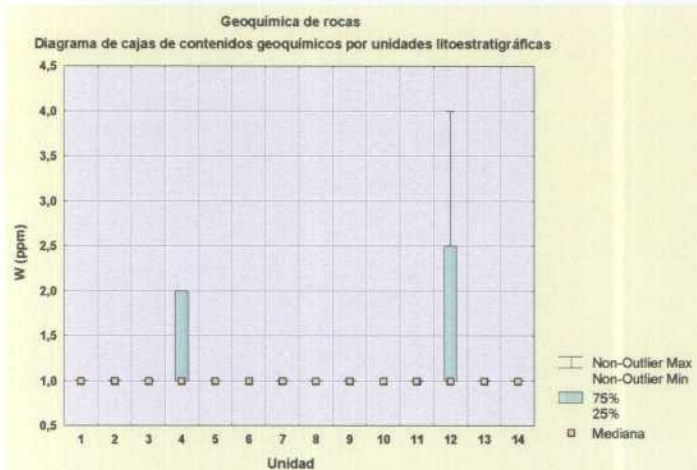
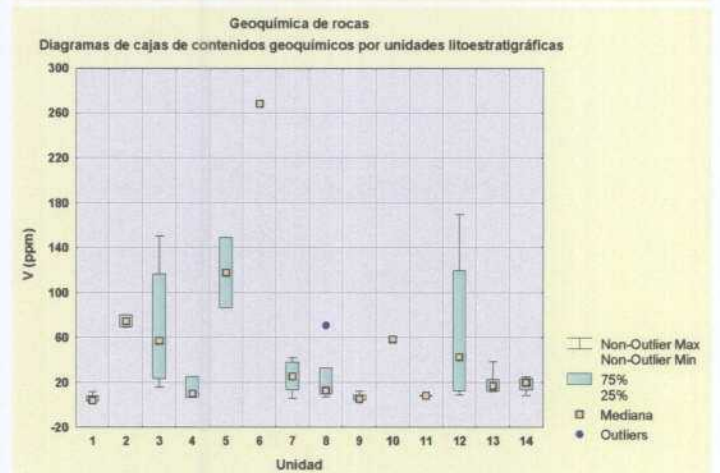
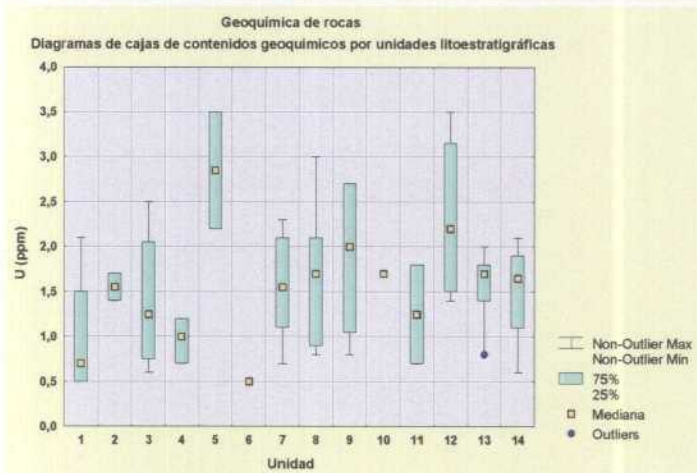
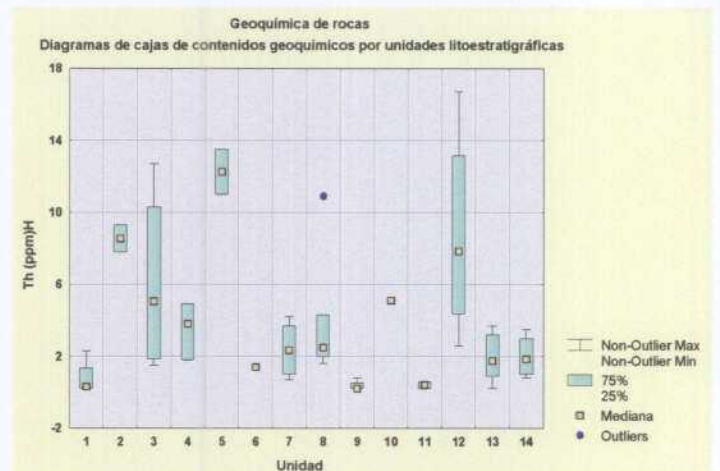
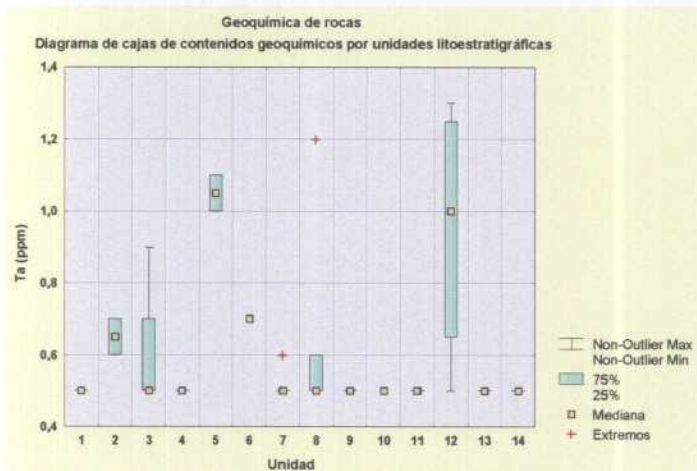


Figura 117 a 122.- Diagramas de cajas de contenidos geoquímicos en rocas por unidades litoestratigráficas.

- 1.- Calizas Carbonífero M. Asturiano.
- 2.- Pizarras y lutitas del Paleozóico.
- 3.- Areniscas, cuarcitas y conglomerados del Paleozóico.
- 4.- Areniscas del Permotrias.
- 5.- Lutitas y margas del Trias.
- 6.- Ofitas.
- 7.- Calizas del Jurásico (marino).
- 8.- Facies detríticas del Wealdiense.
- 9.- Calizas del C. Urganiano (O de Santander).
10. Pizarras del C. Urganiano.
- 11.- Calizas del C. Urganiano (Ramales).
- 12.- Litologías detríticas del Cretaácico superior (supra-urgoniano).
- 13.- Calizas del Cretácico superior.
- 14.- Calizas y margas del Terciario.

Figura 123.- Geoquímica de rocas de Cantabria.  
 Diagrama Spider de las concentraciones de elementos traza en calizas del Paleozóico.  
 Valores normalizados a contenidos medios en rocas carbonatadas.

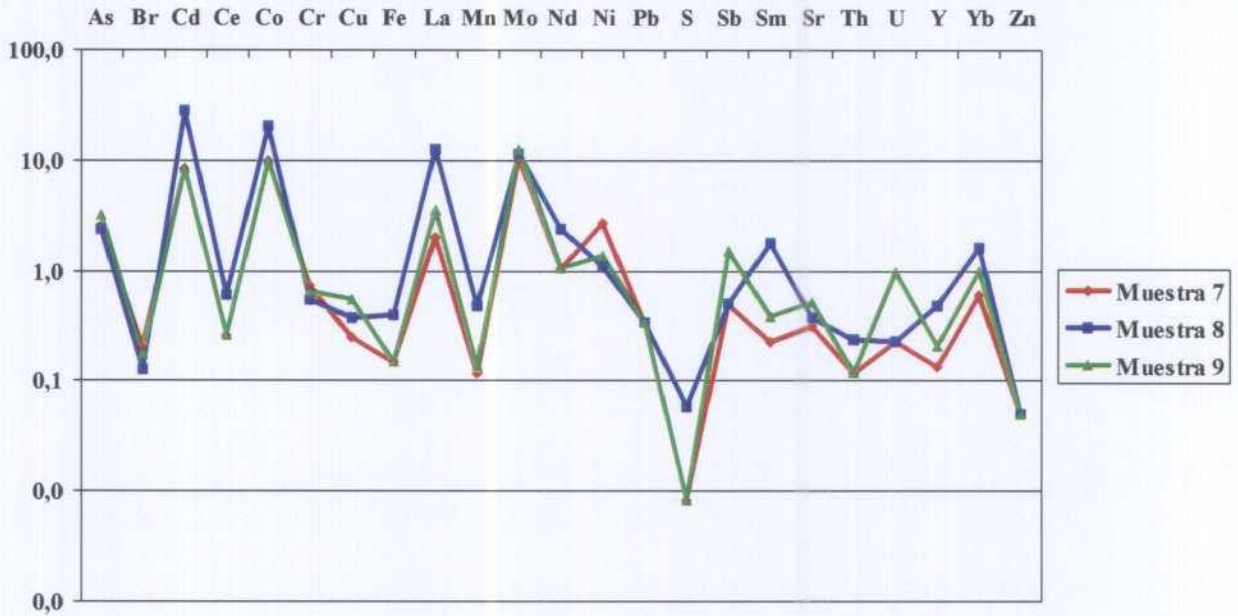
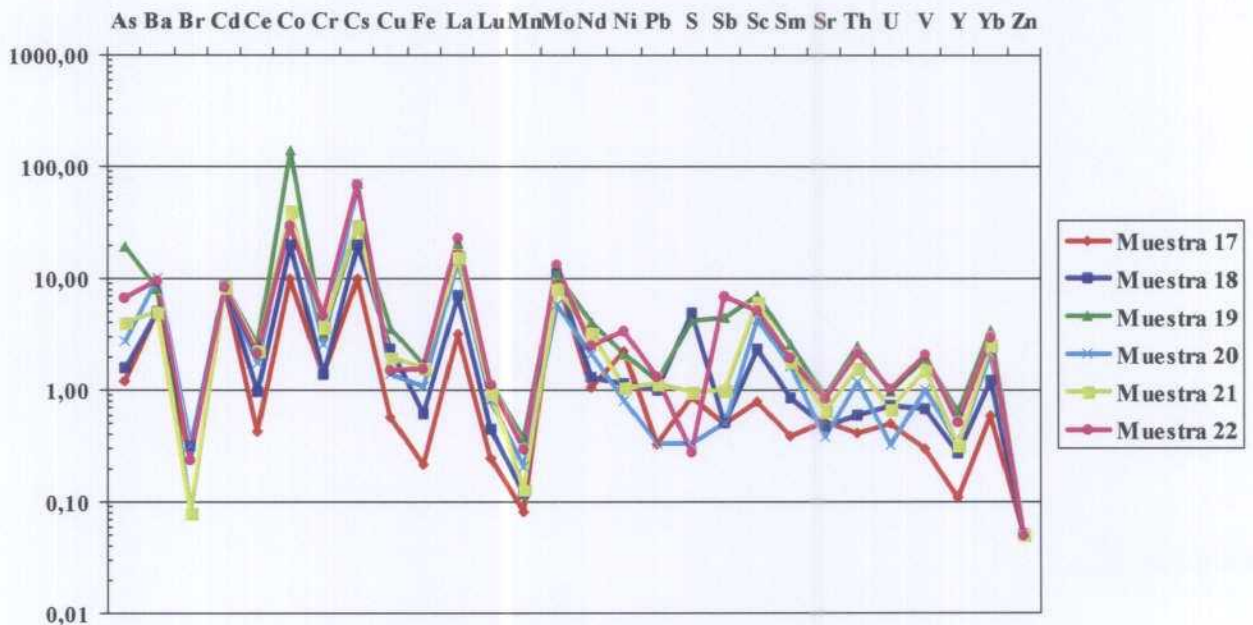
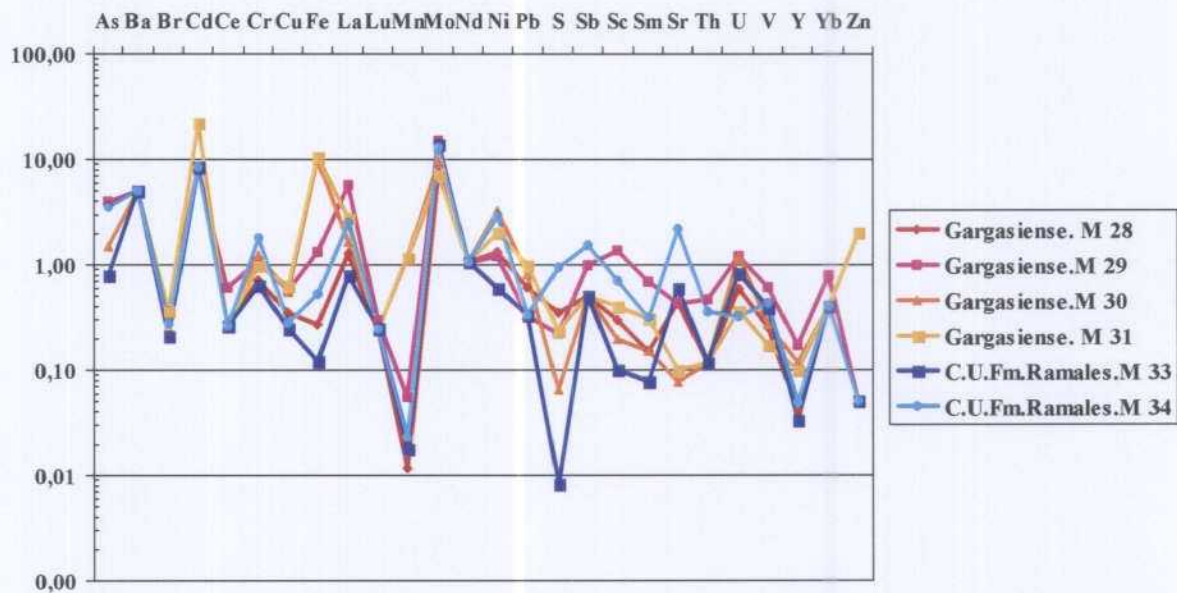


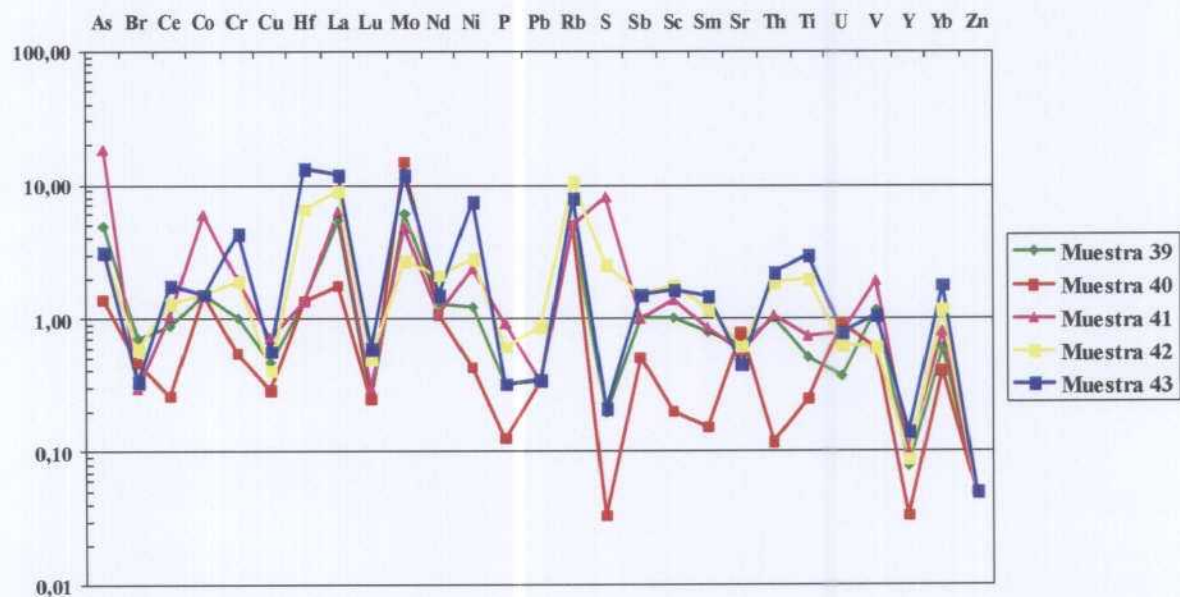
Figura 124.- Geoquímica de rocas de Cantabria.  
 Diagrama Spider de las concentraciones de elementos traza en calizas del Jurásico.  
 Valores normalizados a contenidos medios en rocas carbonatadas.



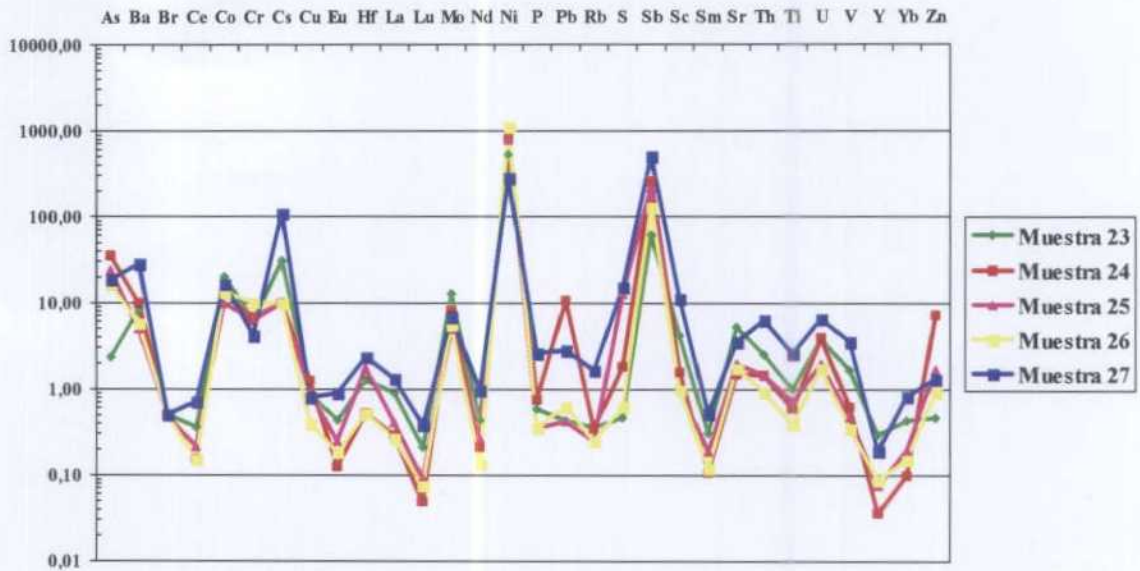
**Figura 125.- Geoquímica de rocas de Cantabria.**  
**Diagrama Spider de las concentraciones de elementos traza en calizas del C.Urgoniano**  
**Valores normalizados a contenidos medios en rocas carbonatadas.**



**Figura 126.- Geoquímica de rocas de Cantabria.**  
**Diagrama Spider de las concentraciones de elementos traza en rocas carbonatadas del Cretácico Superior**  
**Valores normalizados a contenidos medios en rocas carbonatadas**



**Figura 127.- Geoquímica de rocas de Cantabria.**  
**Diagrama Spider de las concentraciones de elementos traza en rocas detríticas (areniscas) del Cretácico Inferior**  
**(facies Wealdense)**  
**Valores normalizados a contenidos medios en areniscas.**



**Figura 128.- Geoquímica de rocas de Cantabria.**  
**Diagrama Spider de las concentraciones de elementos traza en rocas detríticas (areniscas) del Cretácico Superior**  
**(Supra-Urgoniano)**  
**Valores normalizados a contenidos medios en areniscas.**

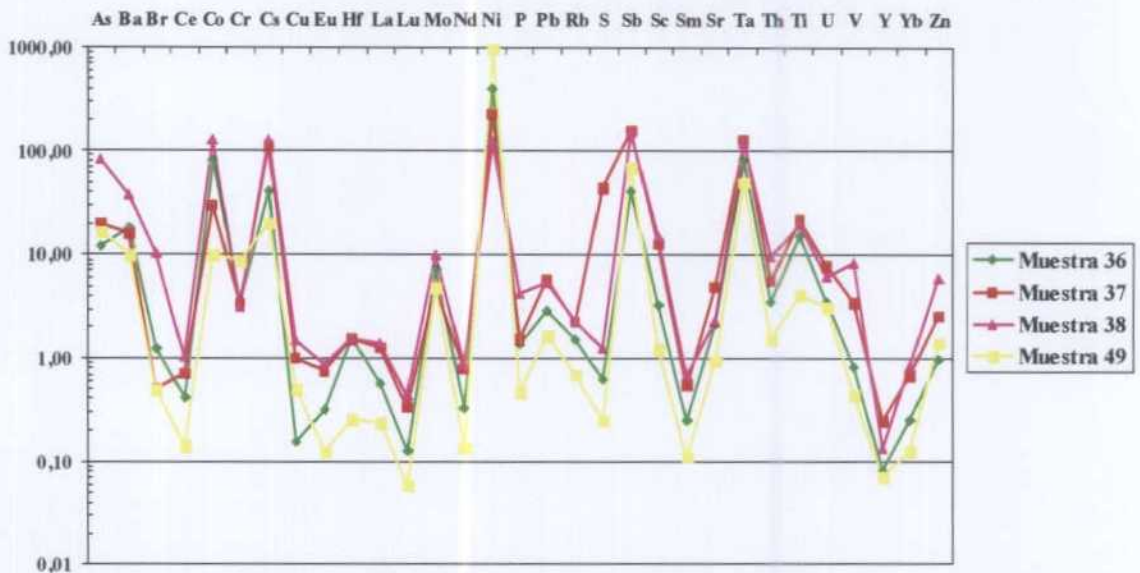


Figura 129.- Geoquímica de rocas de Cantabria.  
 Diagrama Spider de las concentraciones de elementos traza en rocas detríticas (areniscas)  
 Medianas de los valores absolutos en areniscas de diversas unidades

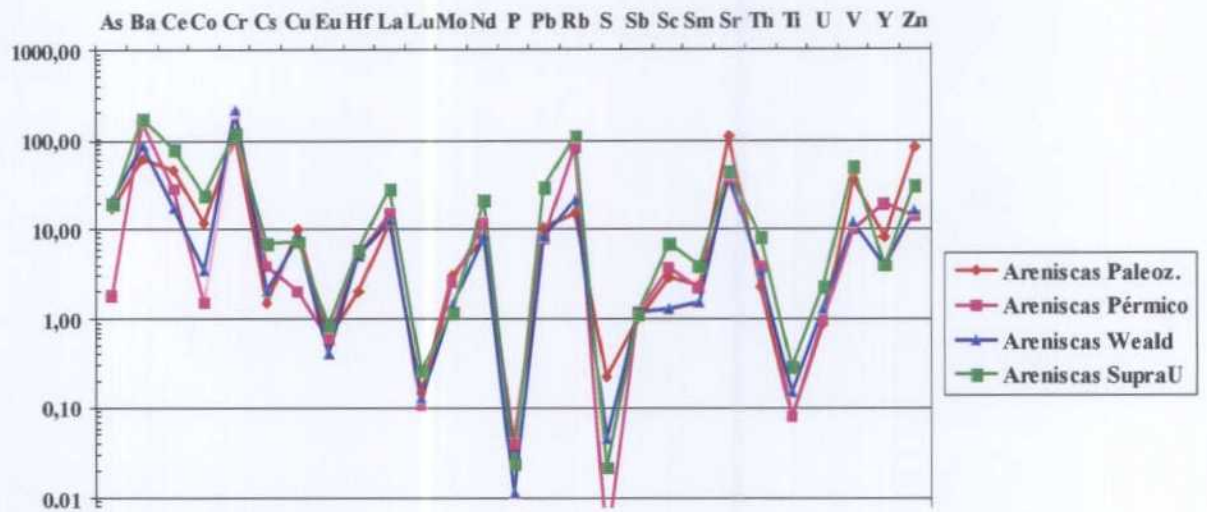


Figura 130.- Geoquímica de rocas de Cantabria.  
 Diagrama Spider de las concentraciones de elementos traza en rocas detríticas (areniscas)  
 Medianas de los valores normalizados en areniscas de diversas unidades

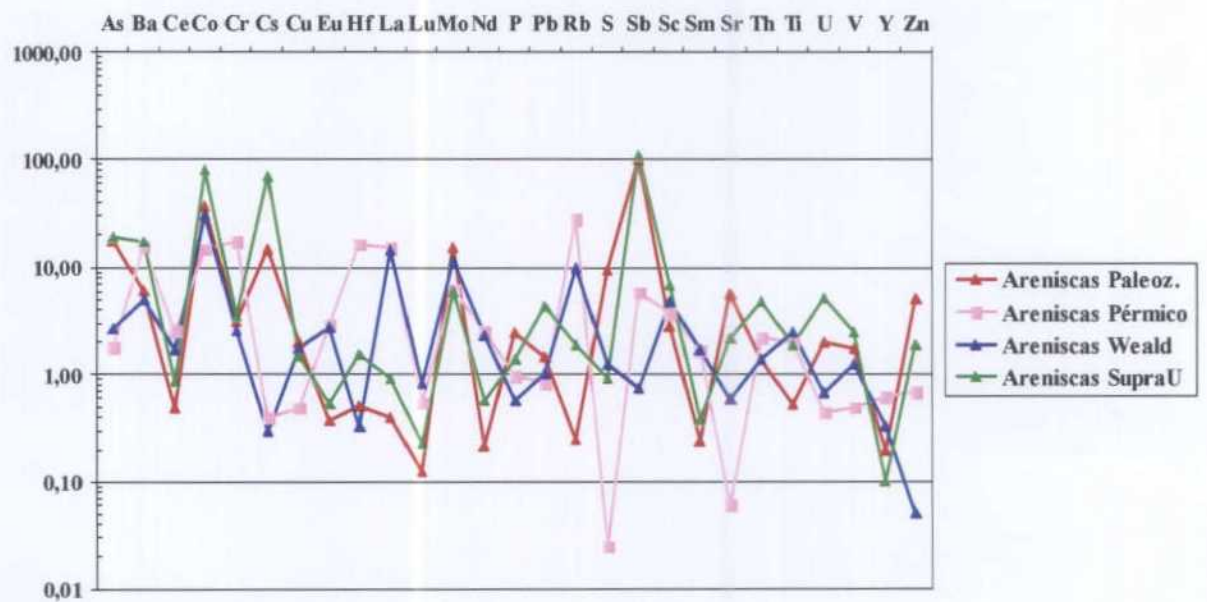




Figura 131.- Geoquímica de rocas de Cantabria.  
 Diagrama Spider de las concentraciones de elementos traza en calizas y otras rocas carbonatadas  
 Medianas de los valores normalizados en calizas de diversas unidades

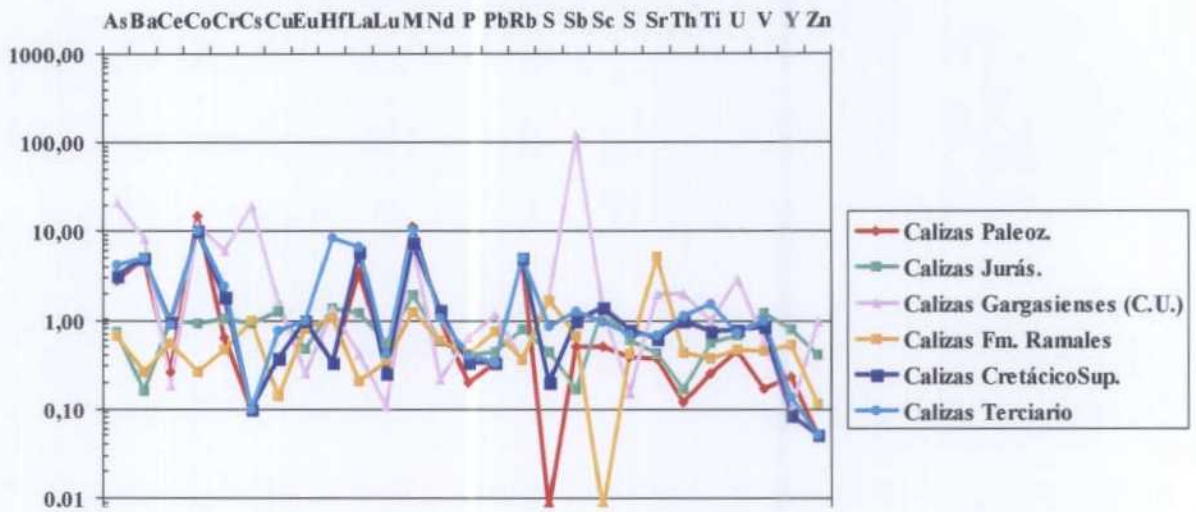
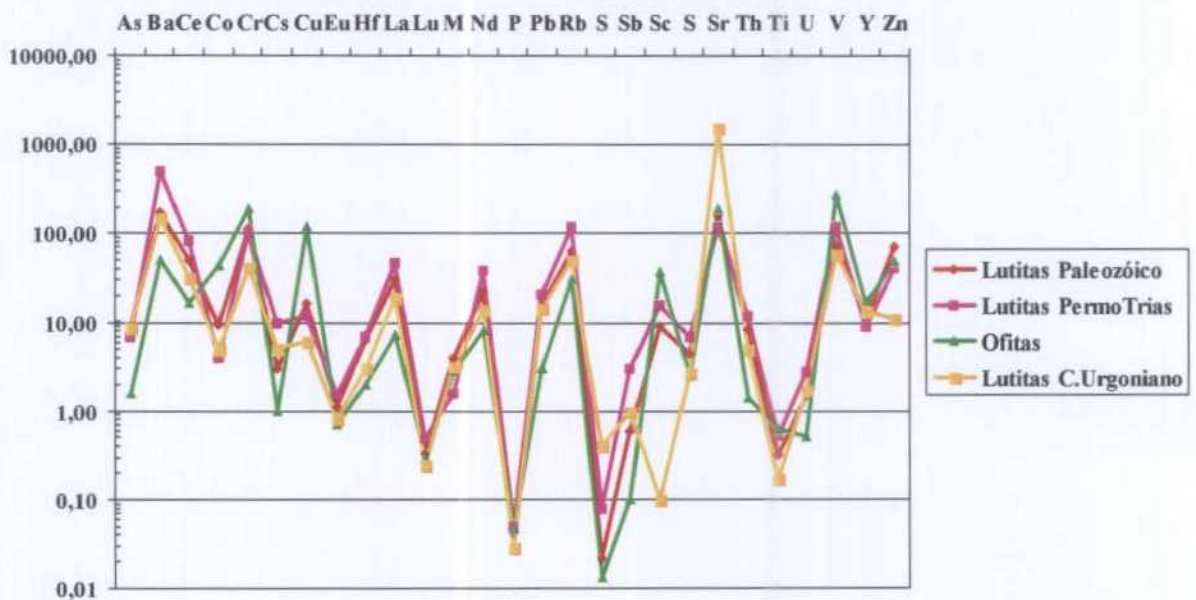
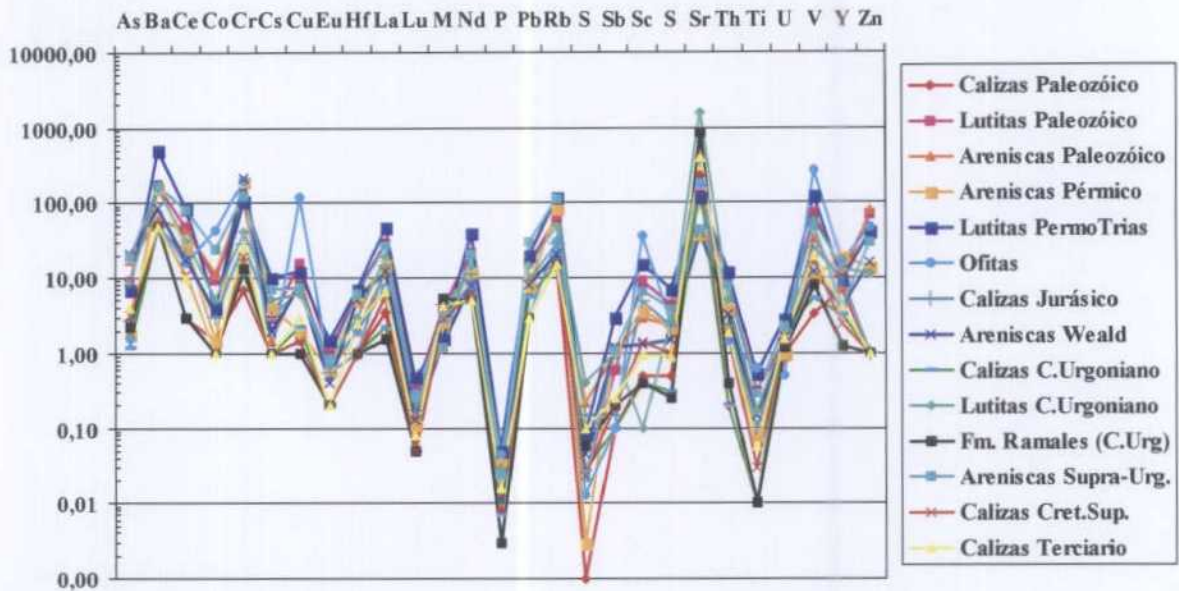


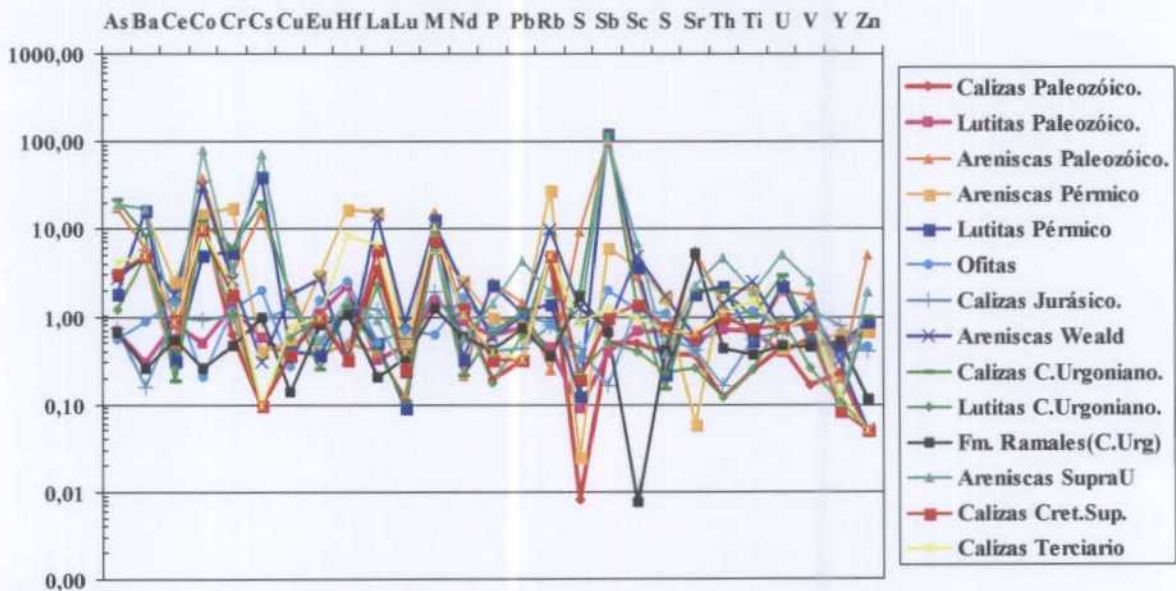
Figura 132.- Geoquímica de rocas de Cantabria.  
 Diagrama Spider de las concentraciones de elementos traza en lutitas y ofitas  
 Medianas de los valores absolutos en lutitas de diferentes unidades edades y en ofitas

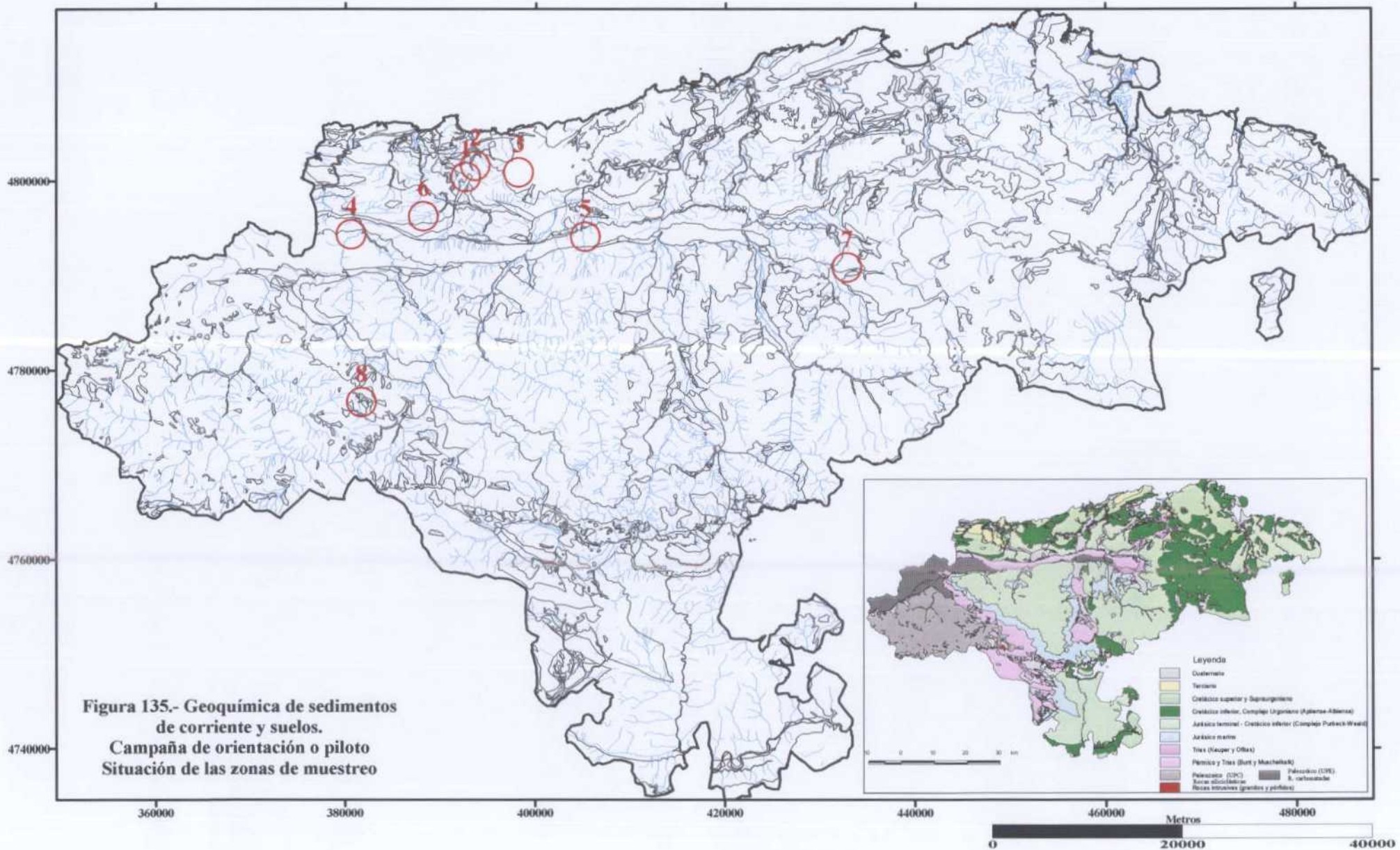


**Figura 133- Geoquímica de rocas de Cantabria.**  
**Diagrama Spider de las concentraciones de elementos traza en las diferentes unidades litoestratigráficas**  
**Medianas de los valores absolutos en las distintas unidades.**

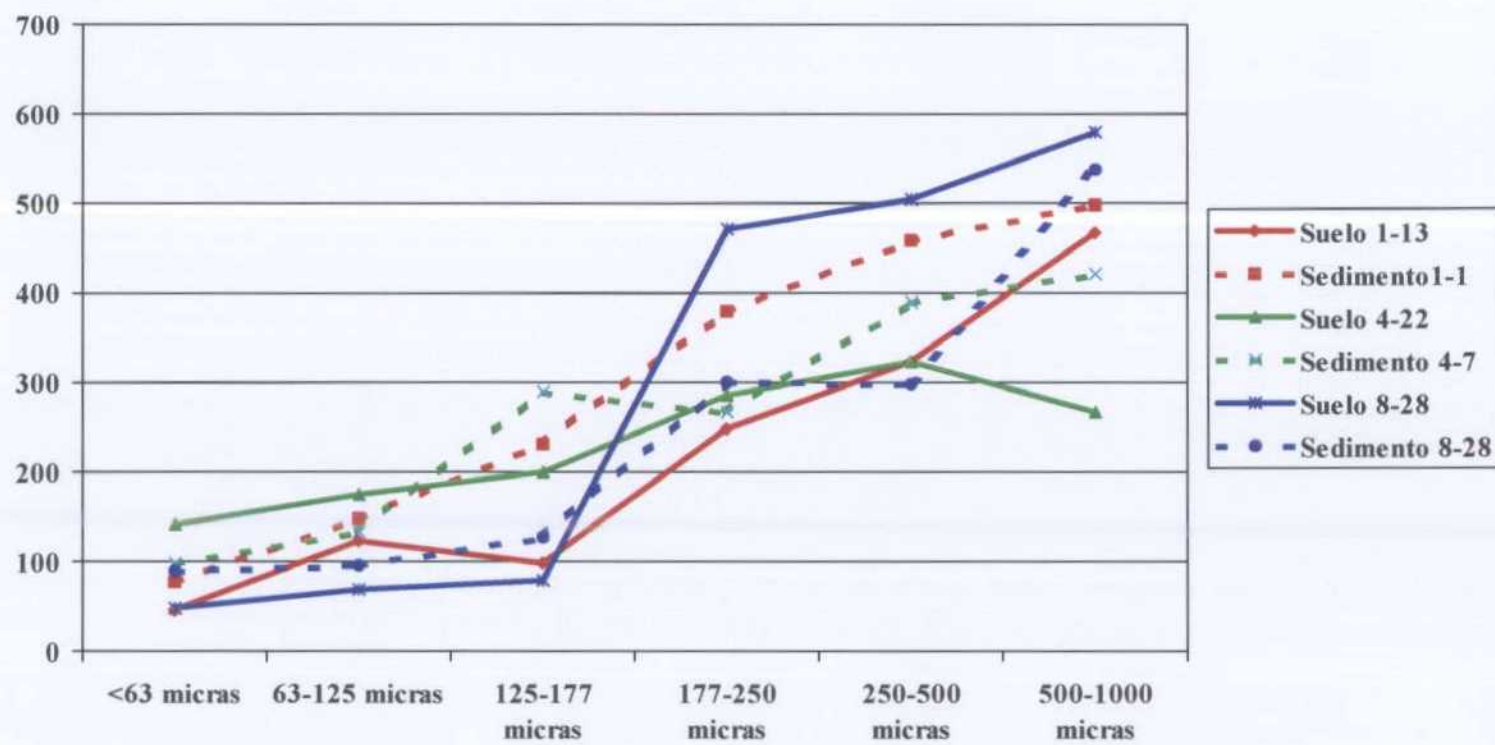


**Figura 134.- Geoquímica de rocas de Cantabria.**  
**Diagrama Spider de las concentraciones de elementos traza en lutitas y ofitas**  
**Medianas de los valores normalizados a las medias de las diferentes unidades**





**Figura 136. Distribución de los pesos de las fracciones granulométricas en muestras de suelos y sedimentos de algunas zonas de muestreo de la campaña piloto**



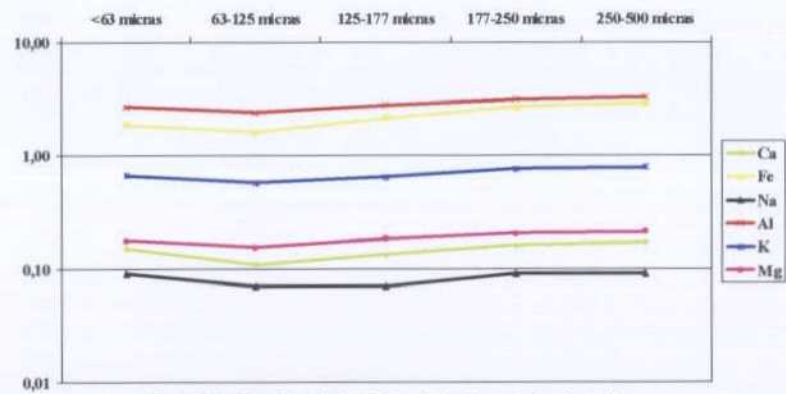


Figura 137a. Mapa Geoquímico De Cantabria. Campaña de orientación.  
Zona 1. Muestra de sedimento de corriente CA-1.  
Distribución de contenidos de elementos mayores en distintas fracciones granulométricas

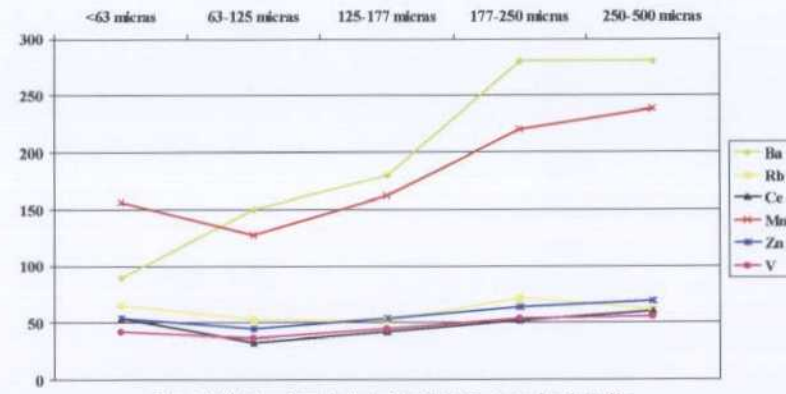


Figura 137b. Mapa Geoquímico de Cantabria. Campaña de orientación.  
Zona 1. Muestra CA-1. Sedimento de corriente.  
Distribución de contenidos de elementos traza en distintas fracciones granulométricas.

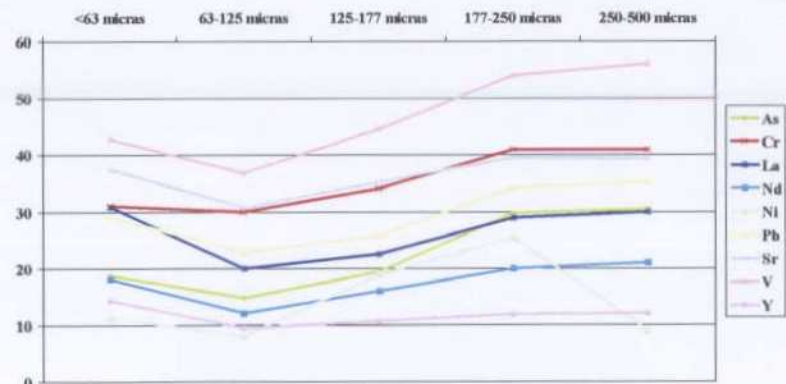


Figura 137c. Mapa Geoquímico de Cantabria. Campaña de orientación.  
Zona 1. Muestra de sedimento de corriente CA-1.  
Distribución de contenidos de elementos traza en distintas fracciones granulométricas

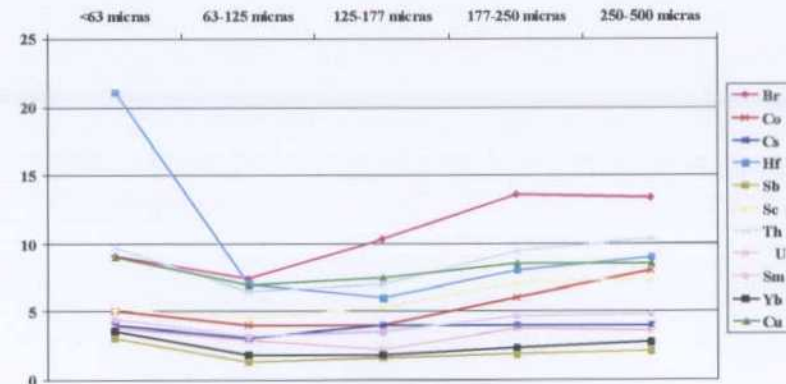


Figura 137d. Mapa Geoquímico de Cantabria. Campaña de orientación.  
Zona 1. Muestra de sedimento de corriente CA-1.  
Distribución de contenidos de elementos traza en distintas fracciones granulométricas

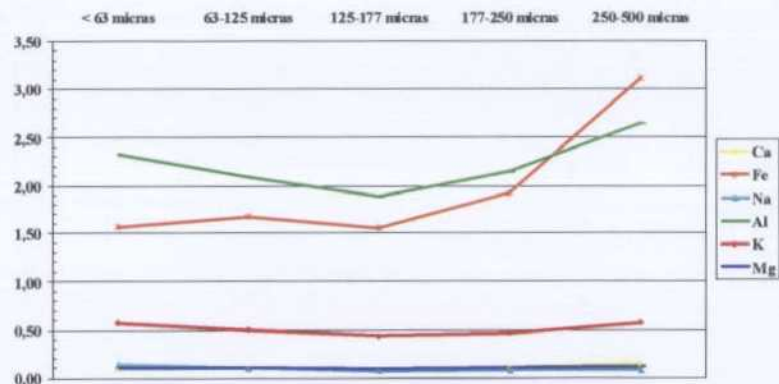


Figura 138a. Mapa Geoquímico De Cantabria. Campaña de orientación.  
Zona 1. Muestra CA-2. Sedimento de corriente.  
Distribución de contenidos de elementos traza en distintas fracciones granulométricas

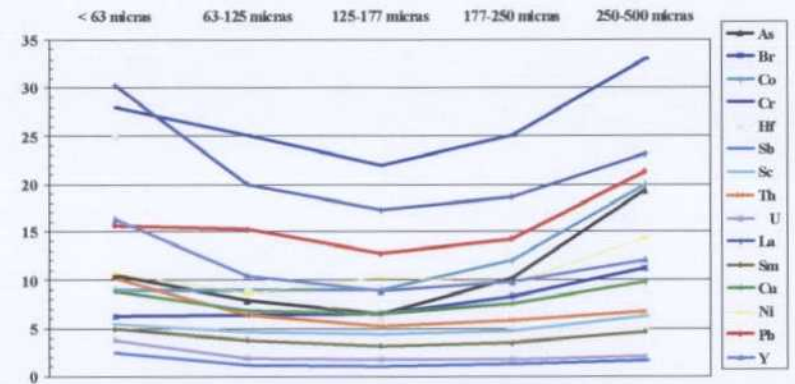


Figura 138b. Mapa Geoquímico De Cantabria. Campaña de orientación.  
Zona 1. Muestra CA-2. Sedimento de corriente.  
Distribución de contenidos de elementos traza en distintas fracciones granulométricas

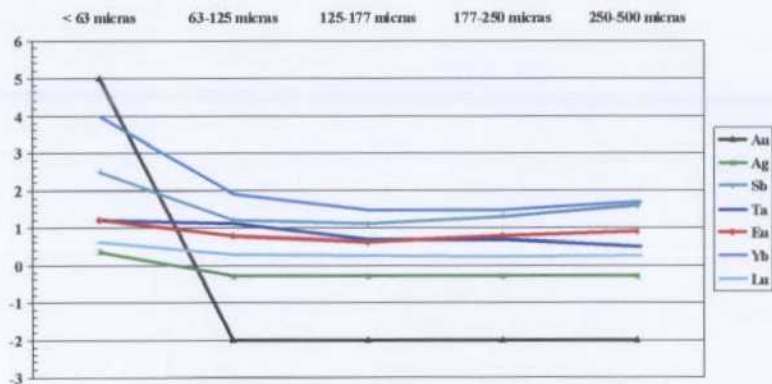


Figura 138c. Mapa Geoquímico De Cantabria. Campaña de orientación.  
Zona 1. Muestra CA-2. Sedimento de corriente.  
Distribución de contenidos de elementos traza en distintas fracciones granulométricas

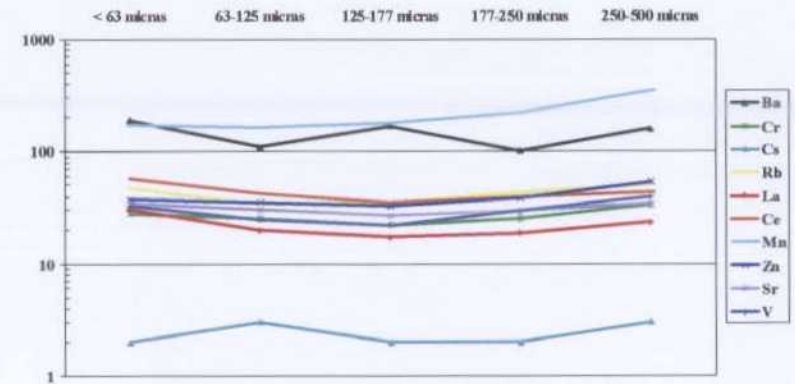


Figura 138d. Mapa Geoquímico De Cantabria. Campaña de orientación.  
Zona 1. Muestra CA-2. Sedimento de corriente.  
Distribución de contenidos de elementos traza en distintas fracciones granulométricas

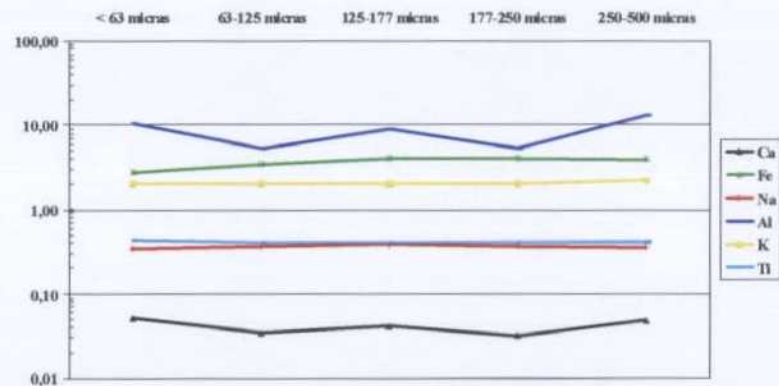


Figura 139a. Mapa Geoquímico de Cantabria. Campaña de orientación.  
Muestra CA-3  
Distribución de contenidos de elementos mayores y menores en distintas fracciones granulométricas

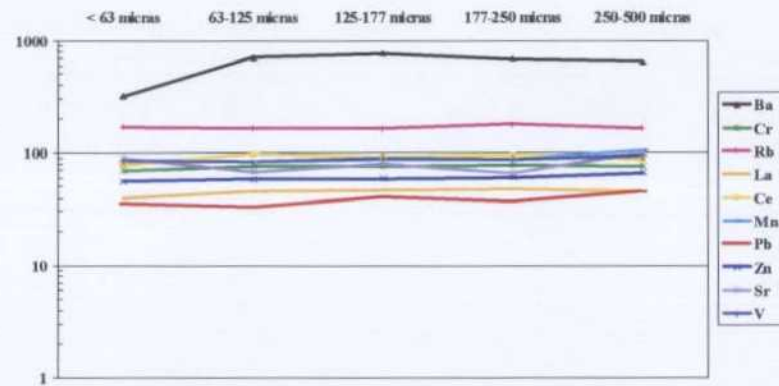


Figura 139b. Mapa Geoquímico de Cantabria. Campaña de orientación.  
Muestra CA-3  
Distribución de contenidos de elementos mayores y menores en distintas fracciones granulométricas

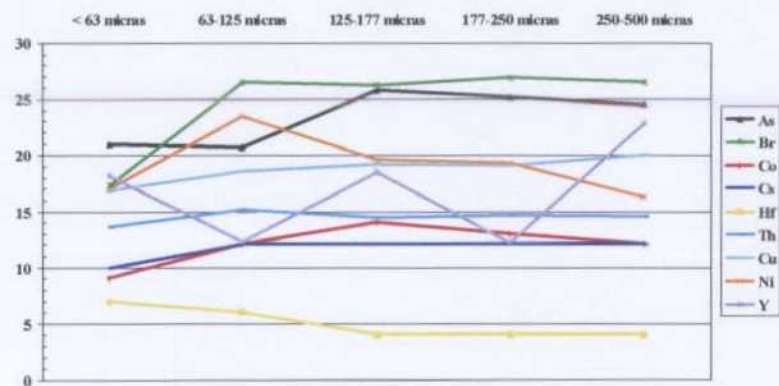


Figura 139c. Mapa Geoquímico de Cantabria. Campaña de orientación.  
Muestra CA-3  
Distribución de contenidos de elementos mayores y menores en distintas fracciones granulométricas

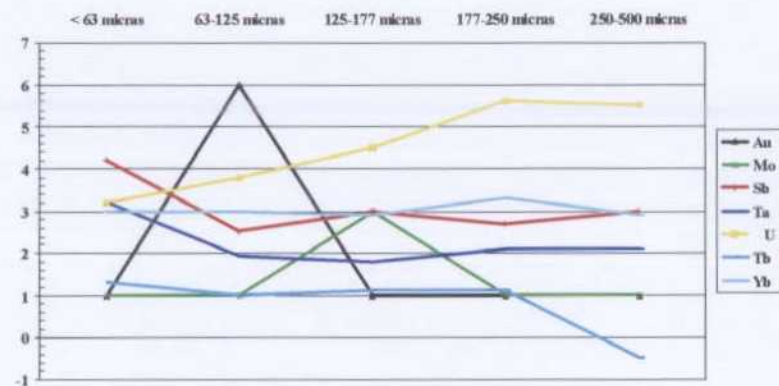


Figura 139d. Mapa Geoquímico de Cantabria. Campaña de orientación.  
Muestra CA-3  
Distribución de contenidos de elementos mayores y menores en distintas fracciones granulométricas

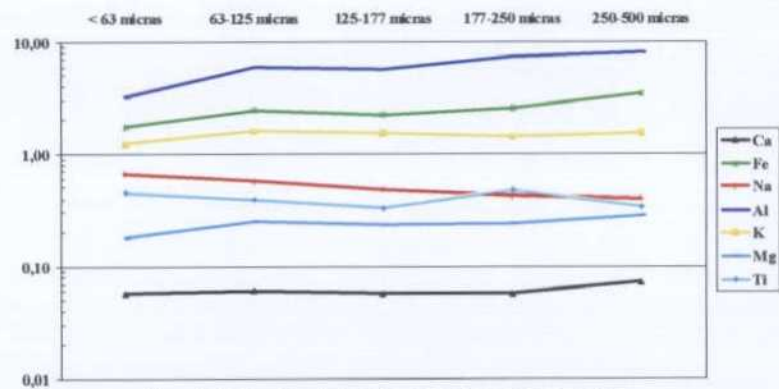


Figura 140a. Mapa Geoquímico de Cantabria. Campaña de orientación.  
Muestra CA-4  
Distribución de contenidos de elementos mayores y menores en distintas fracciones granulométricas

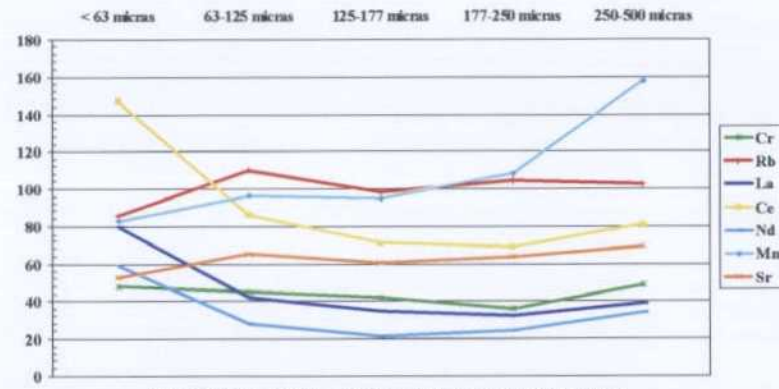


Figura 140b. Mapa Geoquímico de Cantabria. Campaña de orientación.  
Muestra CA-4  
Distribución de contenidos de elementos traza en distintas fracciones granulométricas

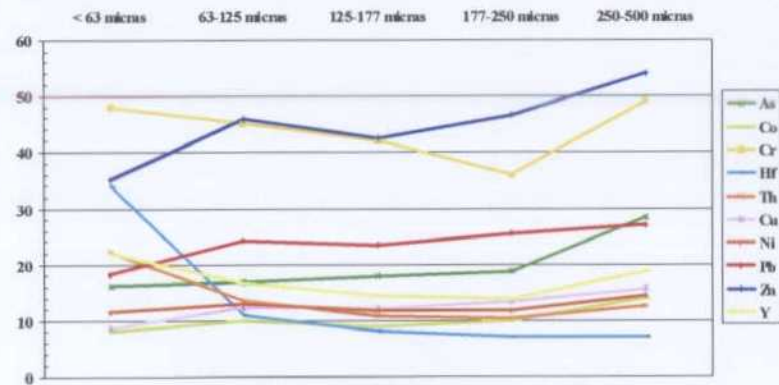


Figura 140c. Mapa Geoquímico de Cantabria. Campaña de orientación.  
Muestra CA-4  
Distribución de contenidos de elementos traza en distintas fracciones granulométricas

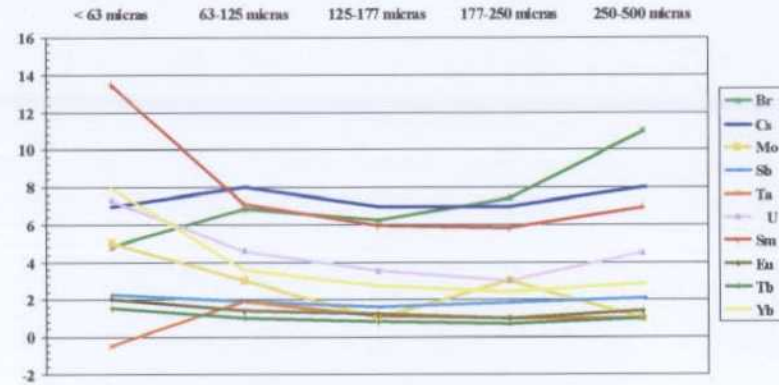


Figura 140d. Mapa Geoquímico de Cantabria. Campaña de orientación.  
Zona 2. Muestra de sedimento de corriente CA-4.  
Distribución de contenidos de elementos traza en distintas fracciones granulométricas



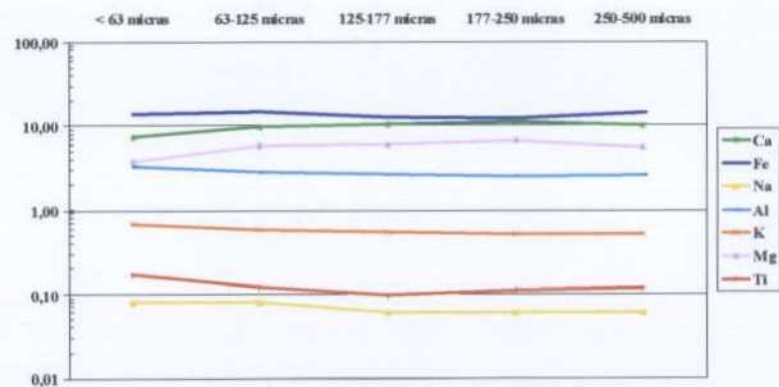


Figura 141a. Mapa Geoquímico de Cantabria. Campaña de orientación.  
Muestra CA-5  
Distribución de contenidos de elementos mayores y menores en distintas fracciones granulométricas

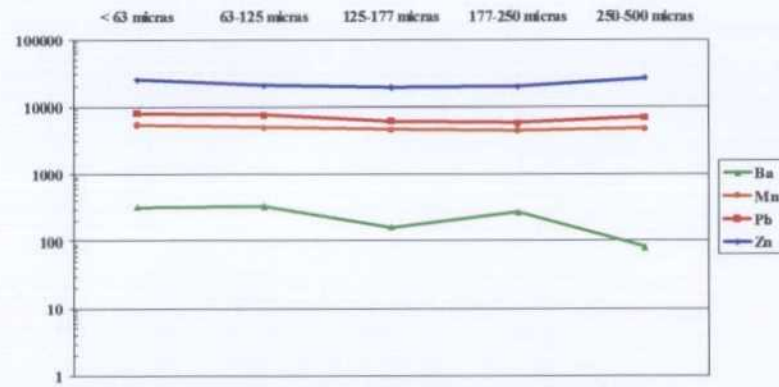


Figura 141b. Mapa Geoquímico de Cantabria. Campaña de orientación.  
Muestra CA-5  
Distribución de contenidos de elementos traza en distintas fracciones granulométricas

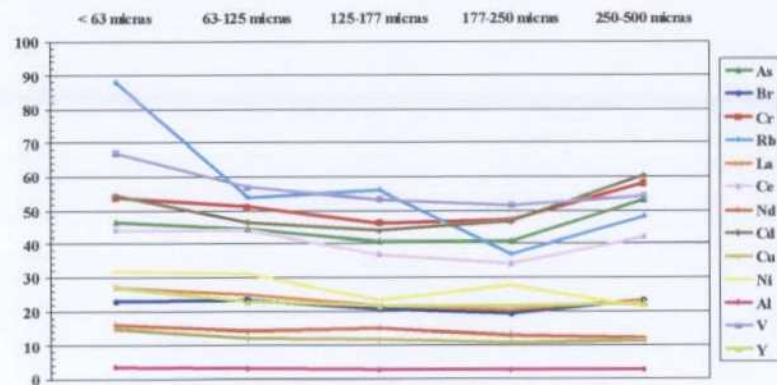


Figura 141c. Mapa Geoquímico de Cantabria. Campaña de orientación.  
Muestra CA-5  
Distribución de contenidos de elementos traza en distintas fracciones granulométricas

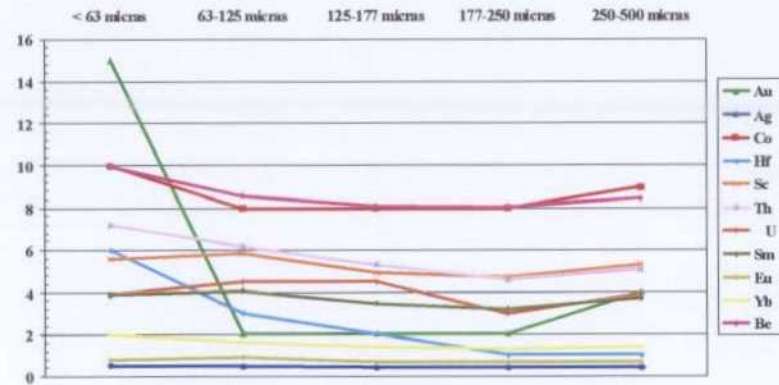


Figura 141d. Mapa Geoquímico de Cantabria. Campaña de orientación.  
Muestra CA-5  
Distribución de contenidos de elementos traza en distintas fracciones granulométricas

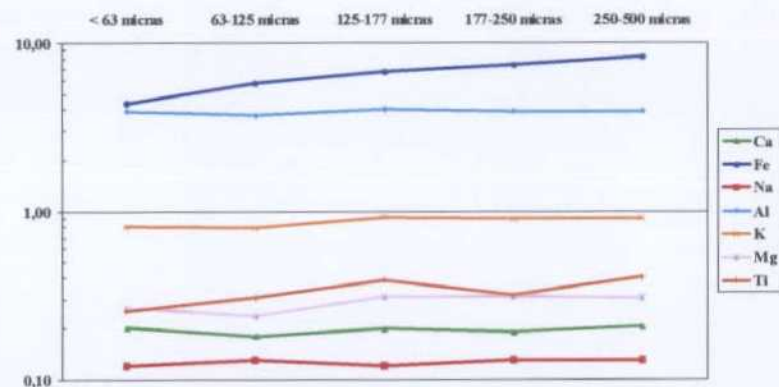


Figura 142a. Mapa Geoquímico de Cantabria. Campaña de orientación.  
Muestra CA-6  
Distribución de contenidos de elementos mayores y menores en distintas fracciones granulométricas

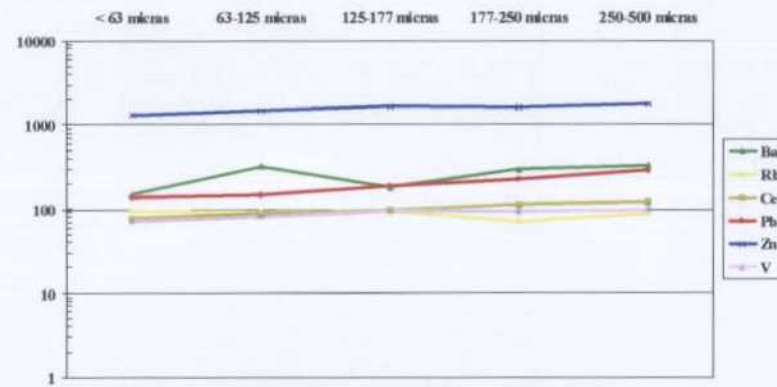


Figura 142b. Mapa Geoquímico de Cantabria. Campaña de orientación.  
Zona 3. Muestra CA-6  
Distribución de contenidos de elementos traza en distintas fracciones granulométricas

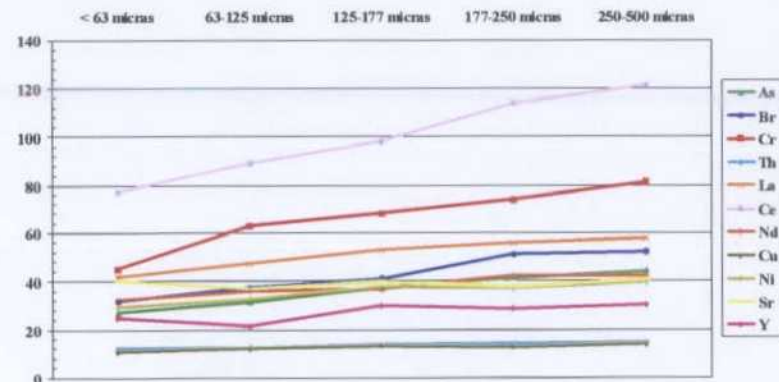


Figura 142c. Mapa Geoquímico de Cantabria. Campaña de orientación.  
Zona 3. Muestra CA-6  
Distribución de contenidos de elementos traza en distintas fracciones granulométricas

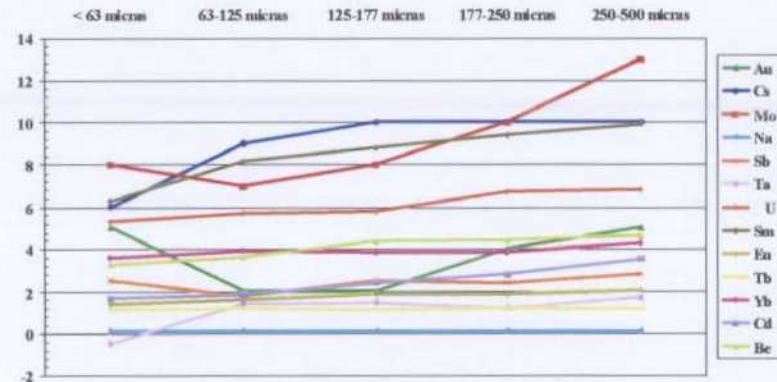


Figura 142d. Mapa Geoquímico de Cantabria. Campaña de orientación.  
Zona 3. Muestra CA-6  
Distribución de contenidos de elementos traza en distintas fracciones granulométricas

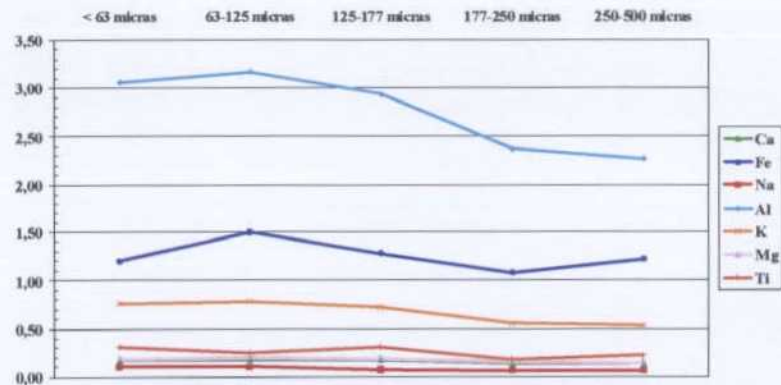


Figura 143a. Mapa Geoquímico de Cantabria. Campaña de orientación.  
Muestra CA-7  
Distribución de contenidos de elementos mayores y menores en distintas fracciones granulométricas

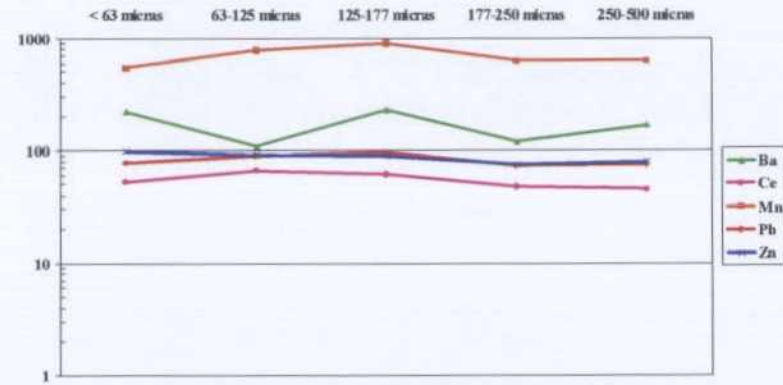


Figura 143b. Mapa Geoquímico de Cantabria. Campaña de orientación.  
Muestra CA-7  
Distribución de contenidos de elementos traza en distintas fracciones granulométricas

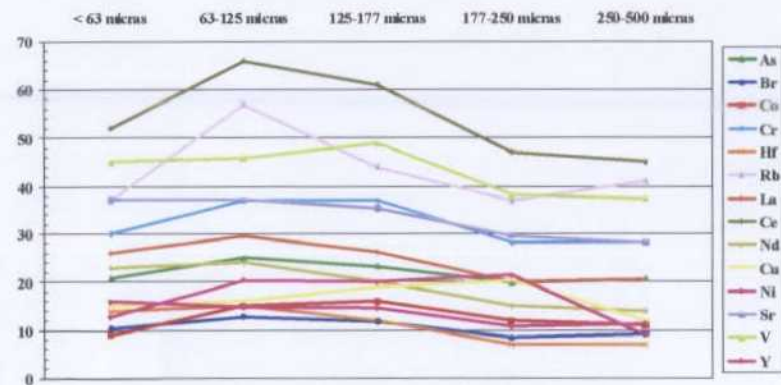


Figura 143c. Mapa Geoquímico de Cantabria. Campaña de orientación.  
Muestra CA-7  
Distribución de contenidos de elementos traza en distintas fracciones granulométricas

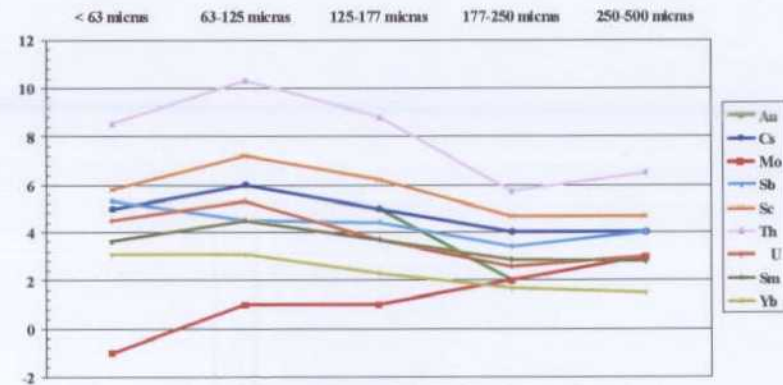


Figura 143d. Mapa Geoquímico de Cantabria. Campaña de orientación.  
Muestra CA-7  
Distribución de contenidos de elementos traza en distintas fracciones granulométricas

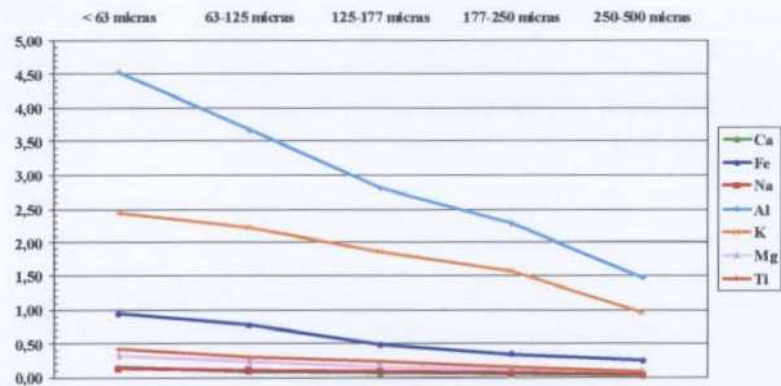


Figura 144a. Mapa Geoquímico de Cantabria. Campaña de orientación.  
Muestra CA-8  
Distribución de contenidos de elementos mayores y menores en distintas fracciones granulométricas

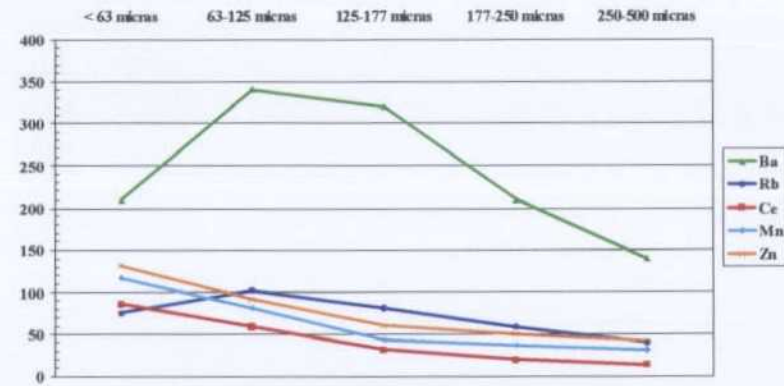


Figura 144b. Mapa Geoquímico de Cantabria. Campaña de orientación.  
Muestra CA-8  
Distribución de contenidos de elementos traza en distintas fracciones granulométricas

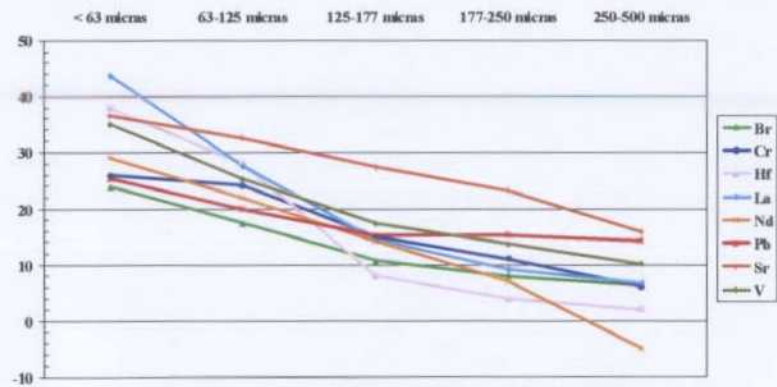


Figura 144c. Mapa Geoquímico de Cantabria. Campaña de orientación.  
Muestra CA-8  
Distribución de contenidos de elementos traza en distintas fracciones granulométricas

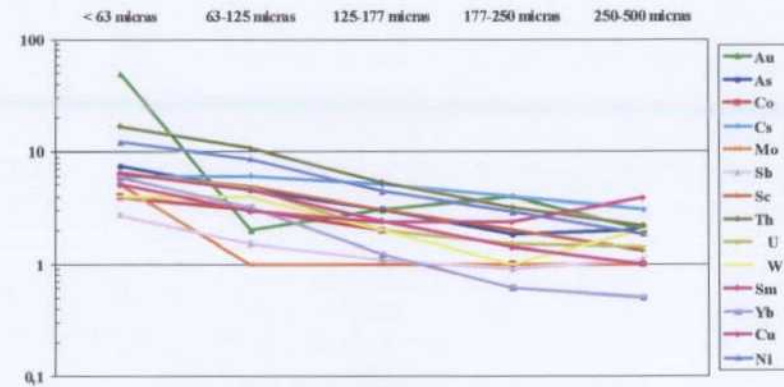


Figura 144d. Mapa Geoquímico de Cantabria. Campaña de orientación.  
Muestra CA-8  
Distribución de contenidos de elementos traza en distintas fracciones granulométricas

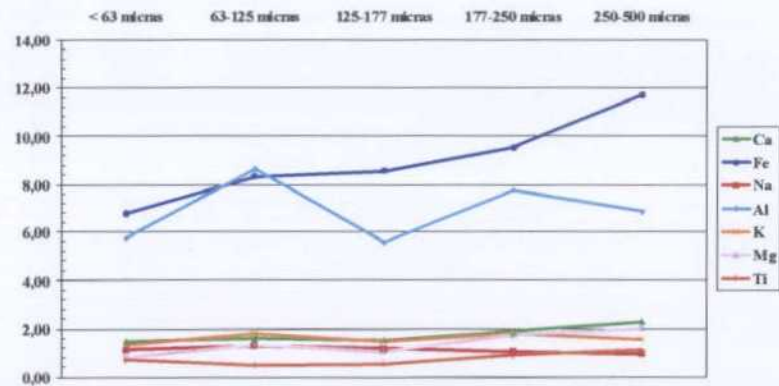


Figura 145a. Mapa Geoquímico de Cantabria. Campaña de orientación.  
Muestra CA-9  
Distribución de contenidos de elementos mayores y menores en distintas fracciones granulométricas

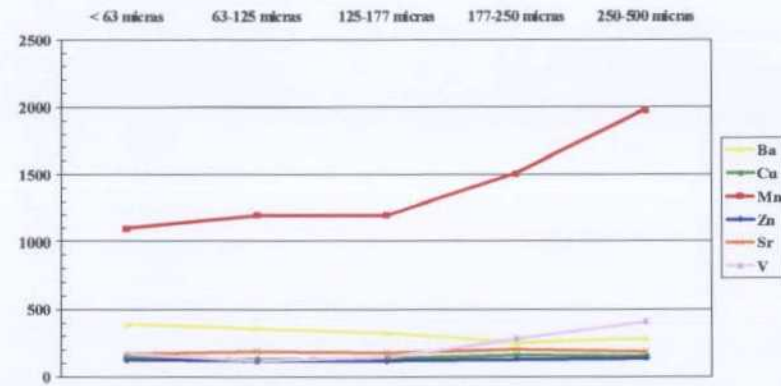


Figura 145b. Mapa Geoquímico de Cantabria. Campaña de orientación.  
Zona 7. Muestra CA-9  
Distribución de contenidos de elementos traza en distintas fracciones granulométricas

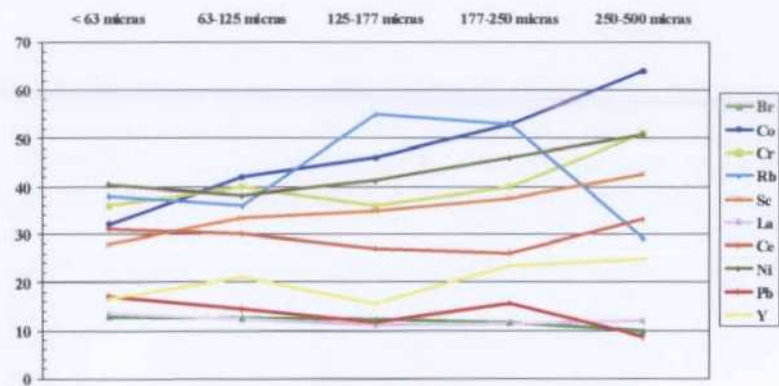


Figura 145c. Mapa Geoquímico de Cantabria. Campaña de orientación.  
Zona 7. Muestra CA-9  
Distribución de contenidos de elementos traza en distintas fracciones granulométricas

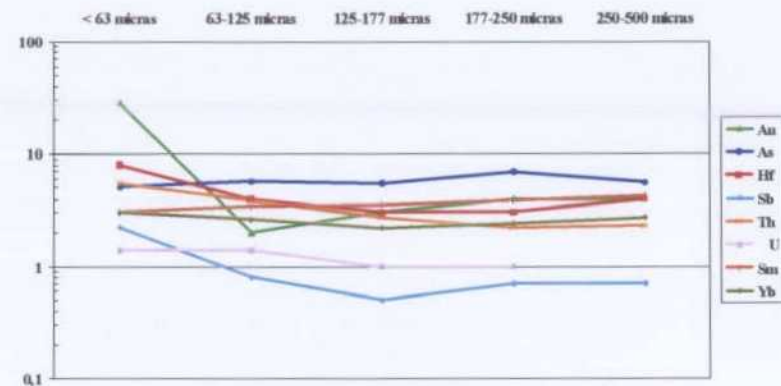


Figura 145d. Mapa Geoquímico de Cantabria. Campaña de orientación.  
Zona 7. Muestra CA-9  
Distribución de contenidos de elementos traza en distintas fracciones granulométricas

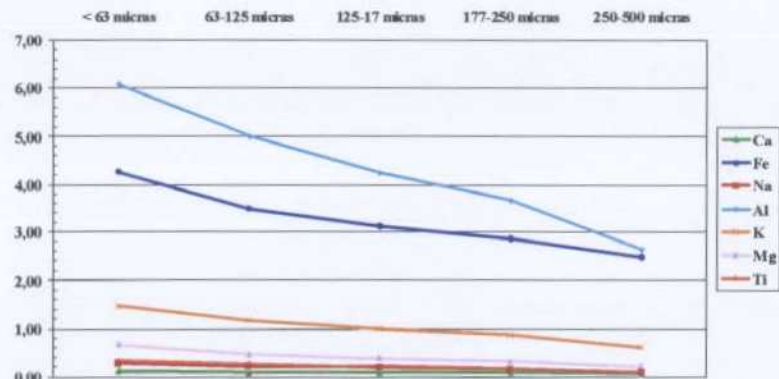


Figura 146a. Mapa Geoquímico de Cantabria. Campaña de orientación.  
Muestra CA-10  
Distribución de contenidos de elementos mayor y menores en distintas fracciones granulométricas

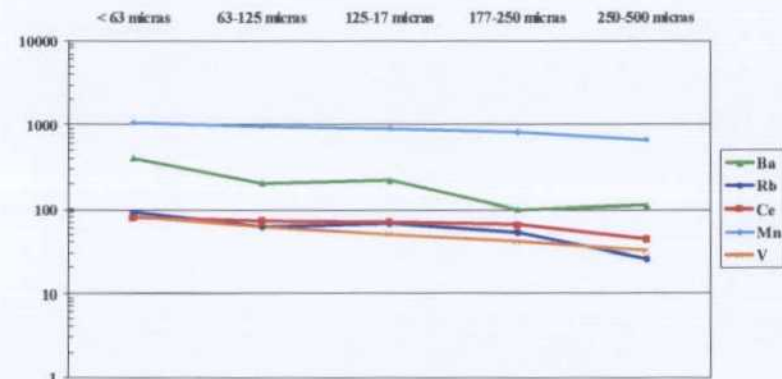


Figura 146b. Mapa Geoquímico de Cantabria. Campaña de orientación.  
Muestra CA-10  
Distribución de contenidos de elementos traza en distintas fracciones granulométricas

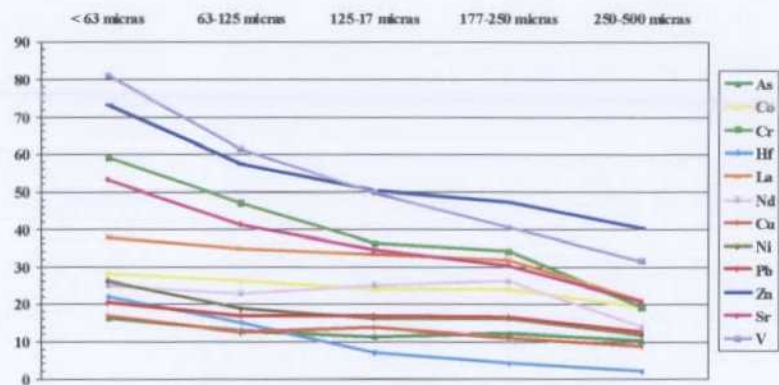


Figura 146c. Mapa Geoquímico de Cantabria. Campaña de orientación.  
Muestra CA-10  
Distribución de contenidos de elementos traza en distintas fracciones granulométricas

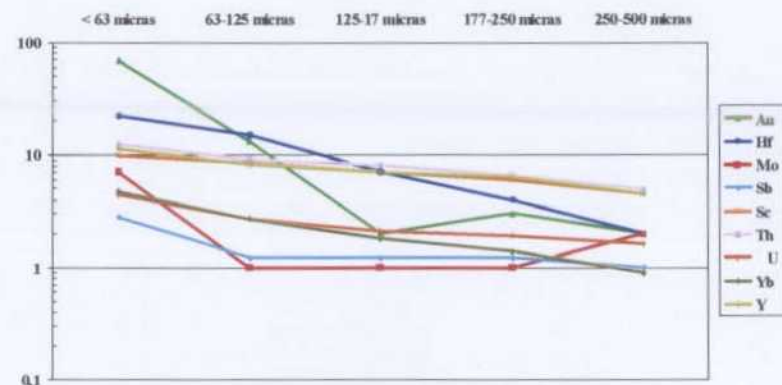


Figura 146d. Mapa Geoquímico de Cantabria. Campaña de orientación.  
Muestra CA-10  
Distribución de contenidos de elementos traza en distintas fracciones granulométricas

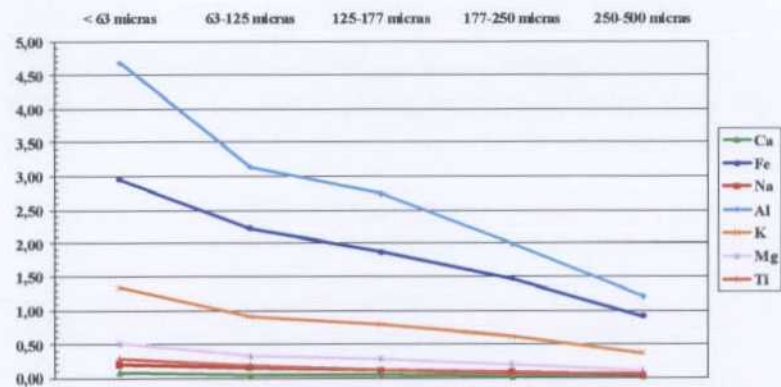


Figura 147a. Mapa Geoquímico de Cantabria. Campaña de orientación.  
Muestra CA-11  
Distribución de contenidos de elementos mayores y menores en distintas fracciones granulométricas

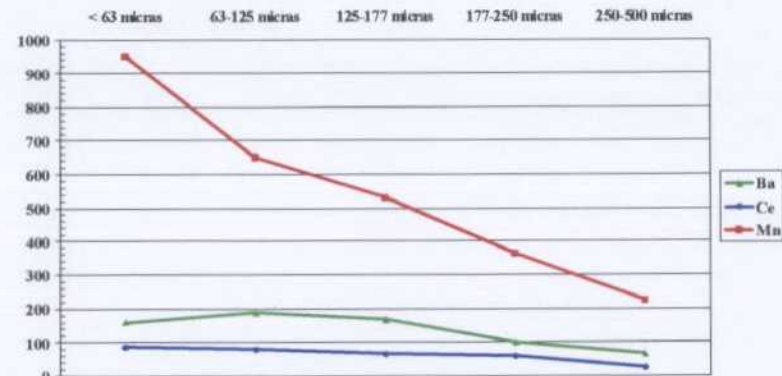


Figura 147b. Mapa Geoquímico de Cantabria. Campaña de orientación.  
Muestra CA-11  
Distribución de contenidos de elementos traza en distintas fracciones granulométricas

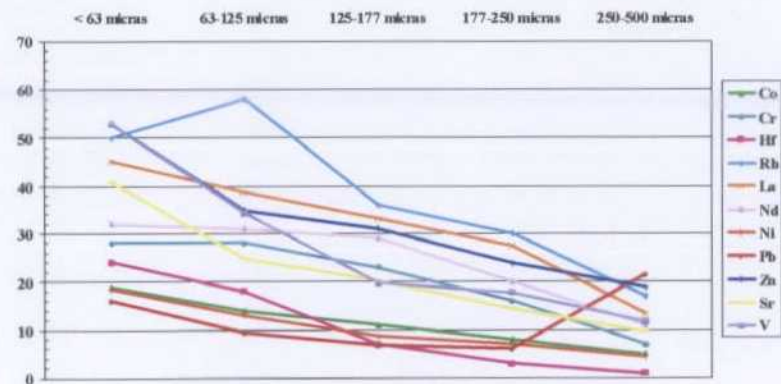


Figura 147c. Mapa Geoquímico de Cantabria. Campaña de orientación.  
Muestra CA-11  
Distribución de contenidos de elementos traza en distintas fracciones granulométricas

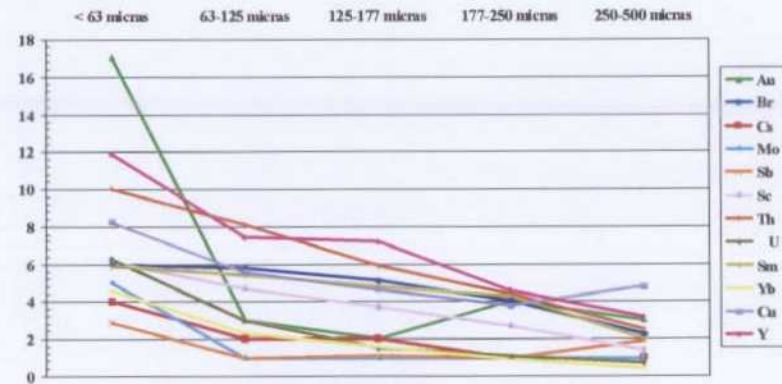


Figura 147d. Mapa Geoquímico de Cantabria. Campaña de orientación.  
Muestra CA-11  
Distribución de contenidos de elementos traza en distintas fracciones granulométricas

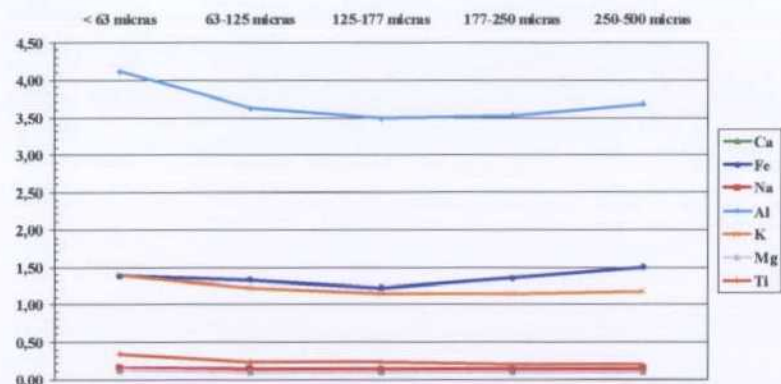


Figura 148a. Mapa Geoquímico de Cantabria. Campaña de orientación.  
Muestra CA-12

Distribución de contenidos de elementos mayores y menores en distintas fracciones granulométricas

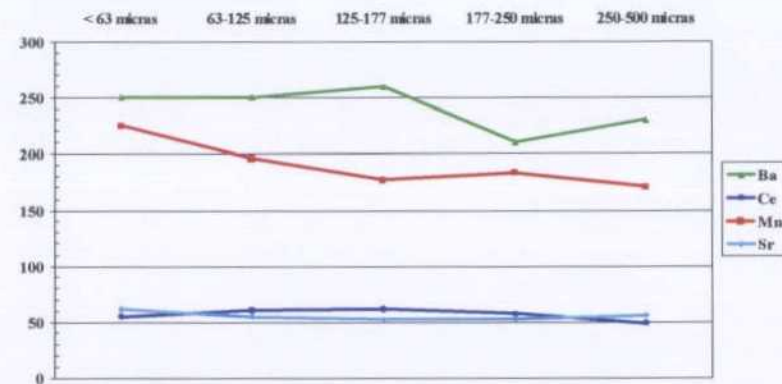


Figura 148b. Mapa Geoquímico de Cantabria. Campaña de orientación.  
Muestra CA-12

Distribución de contenidos de elementos traza en distintas fracciones granulométricas

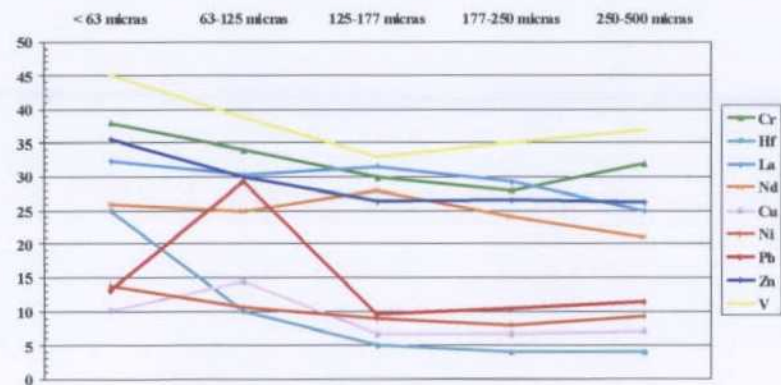


Figura 148c. Mapa Geoquímico de Cantabria. Campaña de orientación.  
Muestra CA-12

Distribución de contenidos de elementos traza en distintas fracciones granulométricas

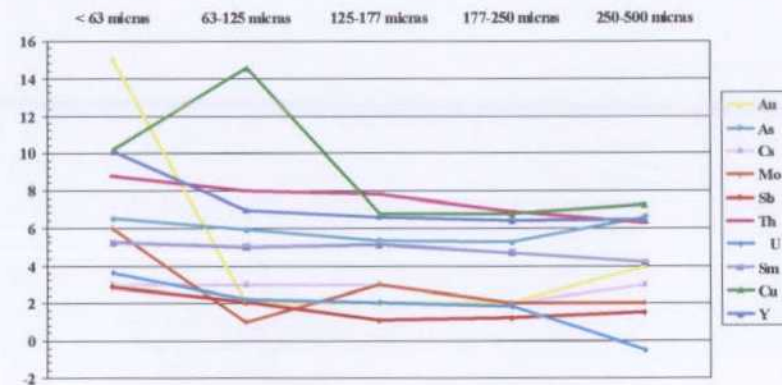


Figura 148d. Mapa Geoquímico de Cantabria. Campaña de orientación.  
Muestra CA-12

Distribución de contenidos de elementos traza en distintas fracciones granulométricas



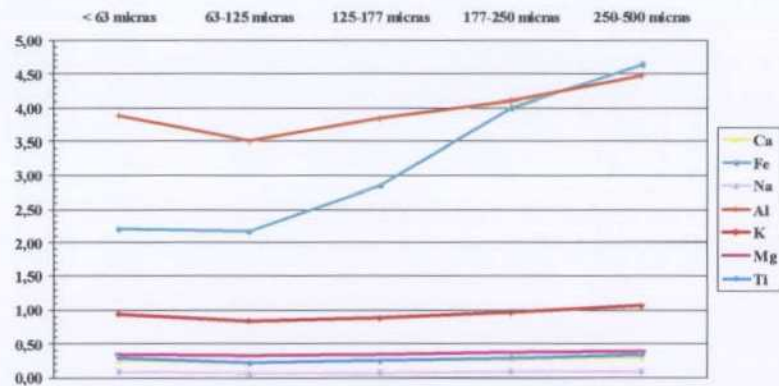


Figura 149a. Mapa Geoquímico de Cantabria. Campaña de orientación.  
Muestra CA-13  
Distribución de contenidos de elementos mayores y menores en distintas fracciones granulométricas

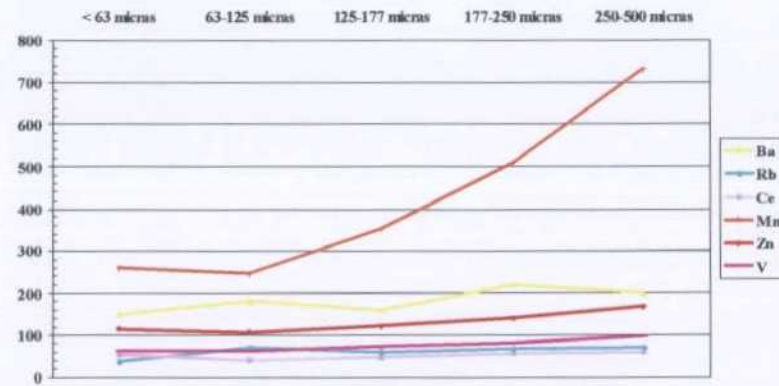


Figura 149b. Mapa Geoquímico de Cantabria. Campaña de orientación.  
Muestra CA-13  
Distribución de contenidos de elementos traza en distintas fracciones granulométricas

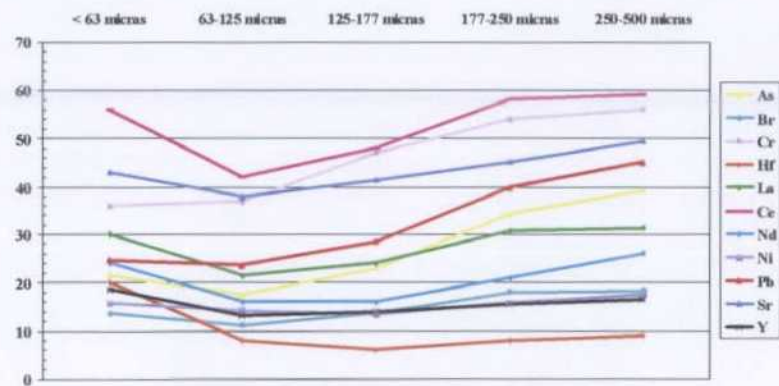


Figura 149c. Mapa Geoquímico de Cantabria. Campaña de orientación.  
Muestra CA-13  
Distribución de contenidos de elementos traza en distintas fracciones granulométricas

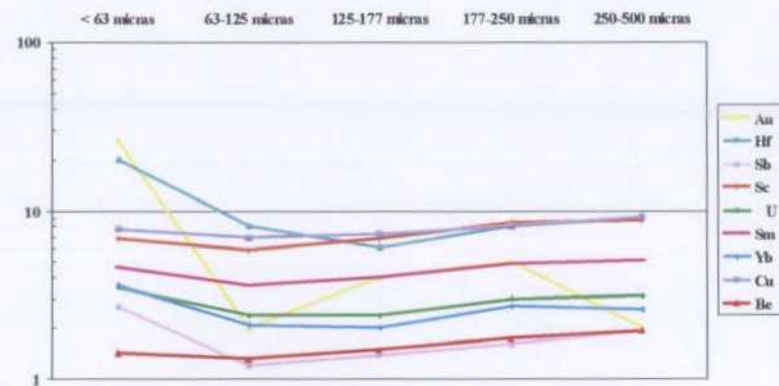


Figura 149d. Mapa Geoquímico de Cantabria. Campaña de orientación.  
Muestra CA-13  
Distribución de contenidos de elementos traza en distintas fracciones granulométricas

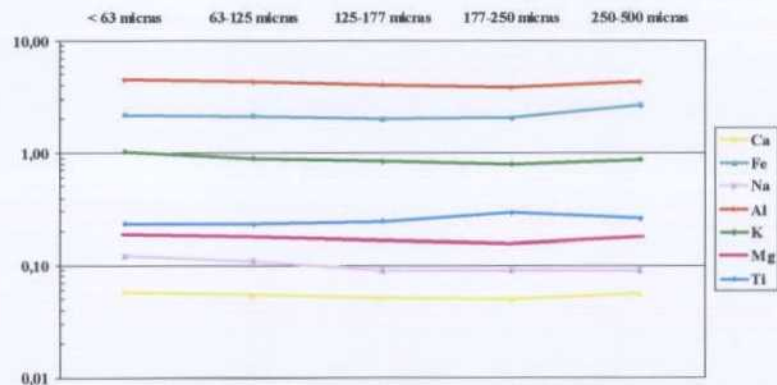


Figura 150a. Mapa Geoquímico de Cantabria. Campaña de orientación. Muestra CA-14. Distribución de contenidos de elementos mayores y menores en distintas fracciones granulométricas

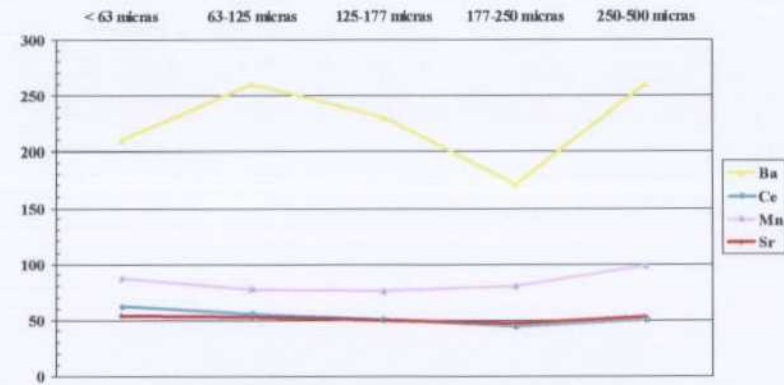


Figura 150b. Mapa Geoquímico de Cantabria. Campaña de orientación. Muestra CA-14. Distribución de contenidos de elementos traza en distintas fracciones granulométricas

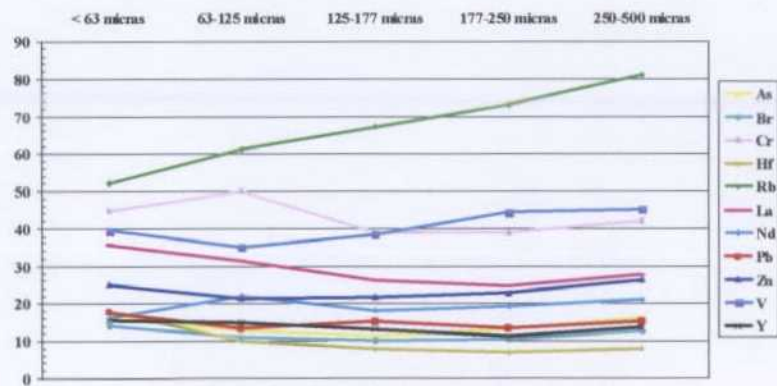


Figura 150c. Mapa Geoquímico de Cantabria. Campaña de orientación. Muestra CA-14. Distribución de contenidos de elementos traza en distintas fracciones granulométricas

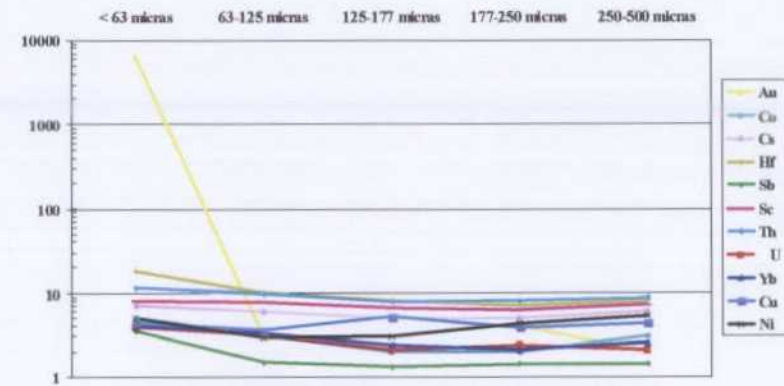


Figura 150d. Mapa Geoquímico de Cantabria. Campaña de orientación. Muestra CA-14. Distribución de contenidos de elementos traza en distintas fracciones granulométricas

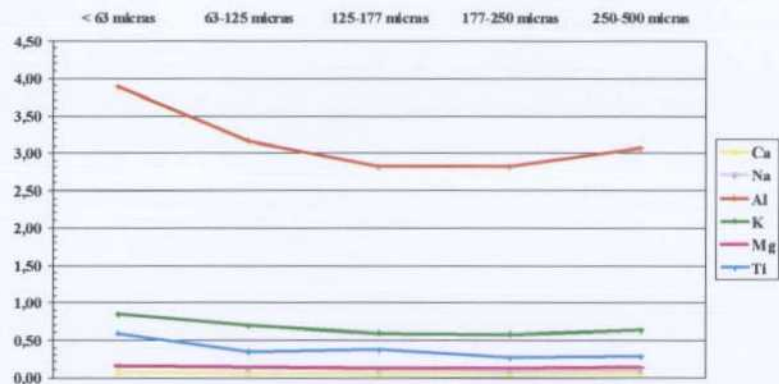


Figura 151a. Mapa Geoquímico de Cantabria. Campaña de orientación. Muestra CA-15  
Distribución de contenidos de elementos mayores y menores en distintas fracciones granulométricas

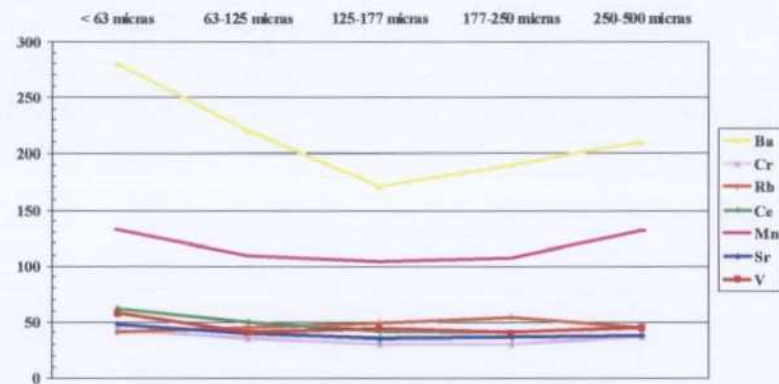


Figura 151b. Mapa Geoquímico de Cantabria. Campaña de orientación. Muestra CA-15  
Distribución de contenidos de elementos traza en distintas fracciones granulométricas

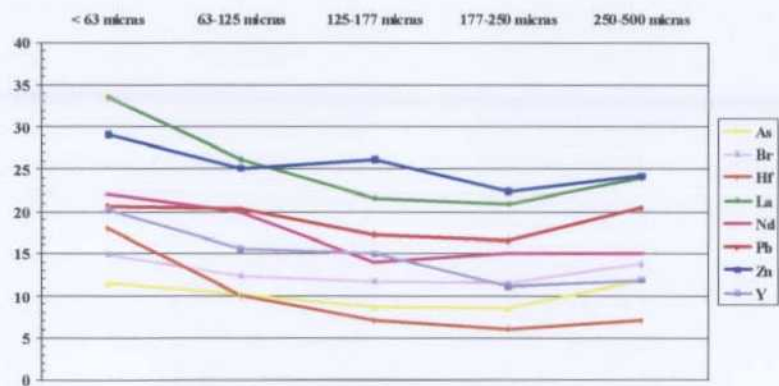


Figura 151c. Mapa Geoquímico de Cantabria. Campaña de orientación. Muestra CA-15  
Distribución de contenidos de elementos traza en distintas fracciones granulométricas

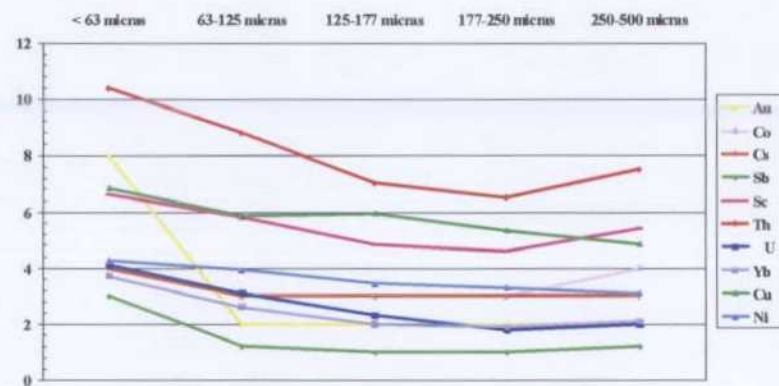


Figura 151d. Mapa Geoquímico de Cantabria. Campaña de orientación. Muestra CA-15  
Distribución de contenidos de elementos traza en distintas fracciones granulométricas

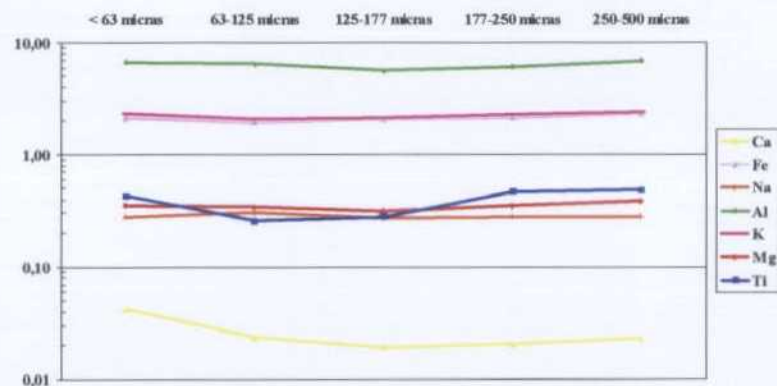


Figura 152a. Mapa Geoquímico de Cantabria. Campaña de orientación. Muestra CA-16  
Distribución de contenidos de elementos mayores y menores en distintas fracciones granulométricas

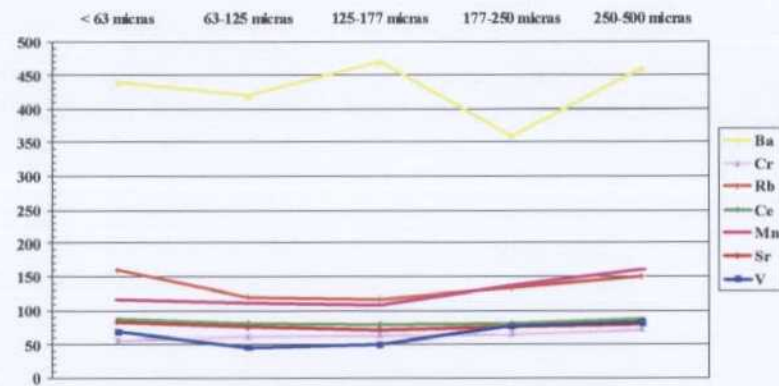


Figura 152b. Mapa Geoquímico de Cantabria. Campaña de orientación. Zona 2. Muestra CA-16  
Distribución de contenidos de elementos traza en distintas fracciones granulométricas

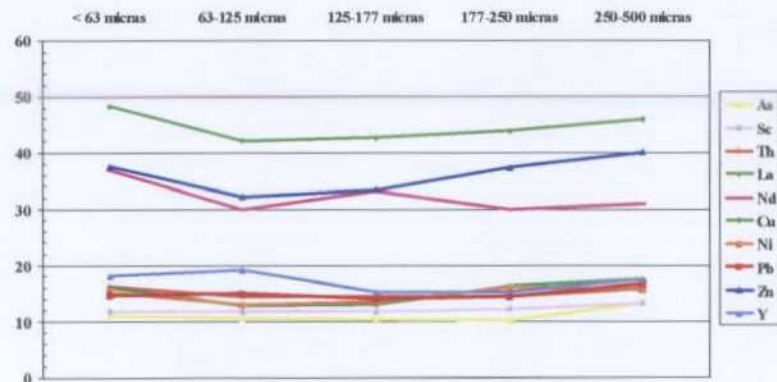


Figura 152c. Mapa Geoquímico de Cantabria. Campaña de orientación. Zona 2. Muestra CA-16  
Distribución de contenidos de elementos traza en distintas fracciones granulométricas

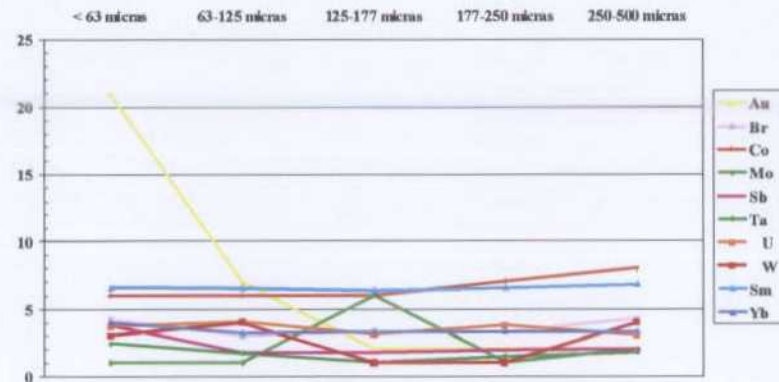


Figura 152d. Mapa Geoquímico de Cantabria. Campaña de orientación. Zona 2. Muestra CA-16  
Distribución de contenidos de elementos traza en distintas fracciones granulométricas

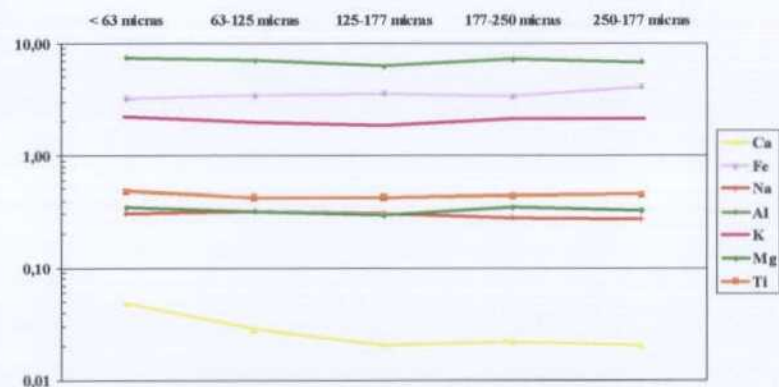


Figura 153a. Mapa Geoquímico de Cantabria. Campaña de orientación.  
Muestra CA-17  
Distribución de contenidos de elementos mayores y menores en distintas fracciones granulométricas

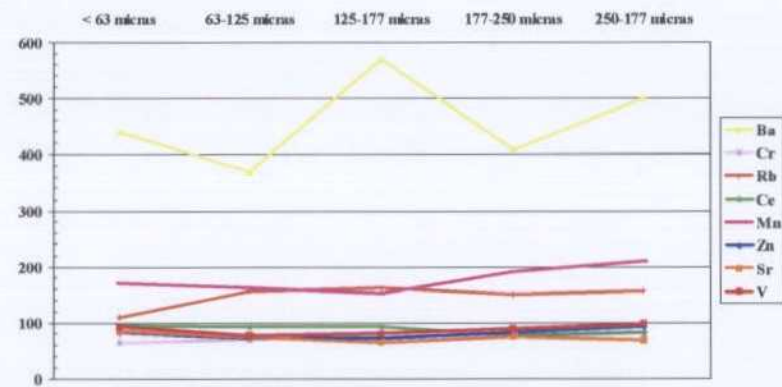


Figura 153b. Mapa Geoquímico de Cantabria. Campaña de orientación.  
Muestra CA-17  
Distribución de contenidos de elementos traza en distintas fracciones granulométricas

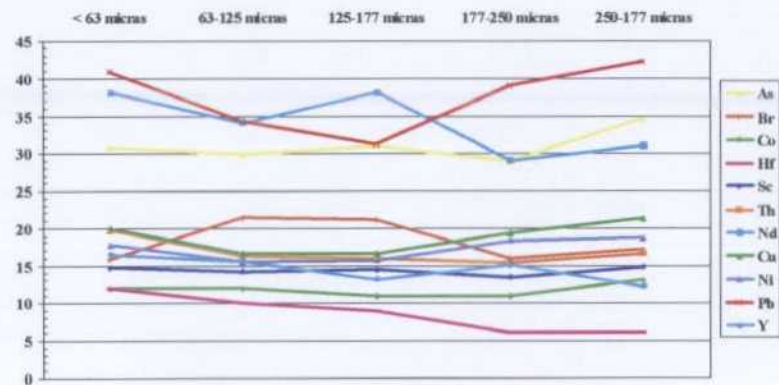


Figura 153c. Mapa Geoquímico de Cantabria. Campaña de orientación.  
Muestra CA-17  
Distribución de contenidos de elementos traza en distintas fracciones granulométricas

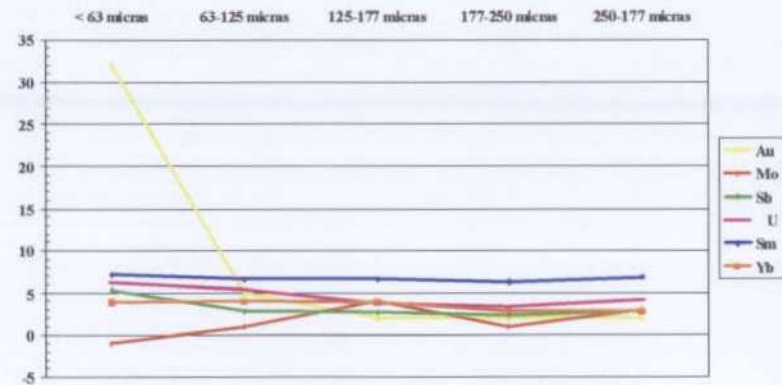


Figura 153d. Mapa Geoquímico de Cantabria. Campaña de orientación.  
Muestra CA-17  
Distribución de contenidos de elementos traza en distintas fracciones granulométricas

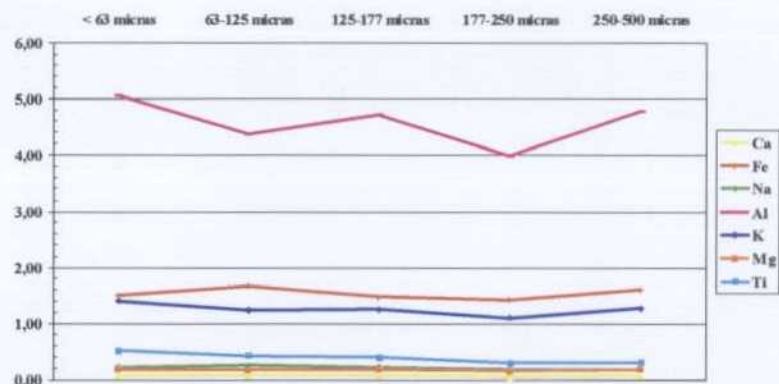


Figura 154a. Mapa Geoquímico de Cantabria. Campaña de orientación.  
Muestra CA-18  
Distribución de contenidos de elementos mayores y menores en distintas fracciones granulométricas

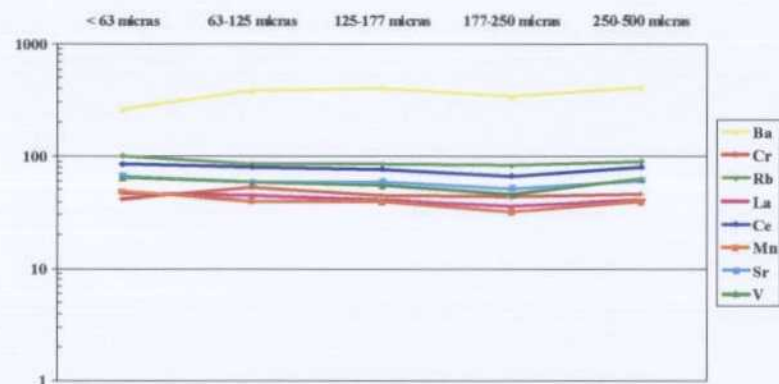


Figura 154b. Mapa Geoquímico de Cantabria. Campaña de orientación.  
Muestra CA-18  
Distribución de contenidos de elementos traza en distintas fracciones granulométricas

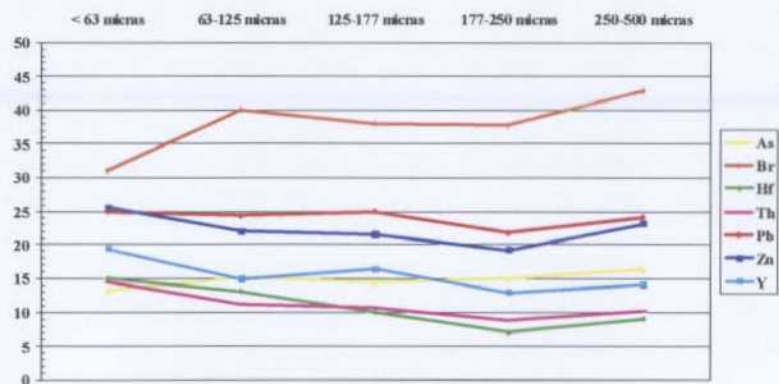


Figura 154c. Mapa Geoquímico de Cantabria. Campaña de orientación.  
Muestra CA-18  
Distribución de contenidos de elementos traza en distintas fracciones granulométricas

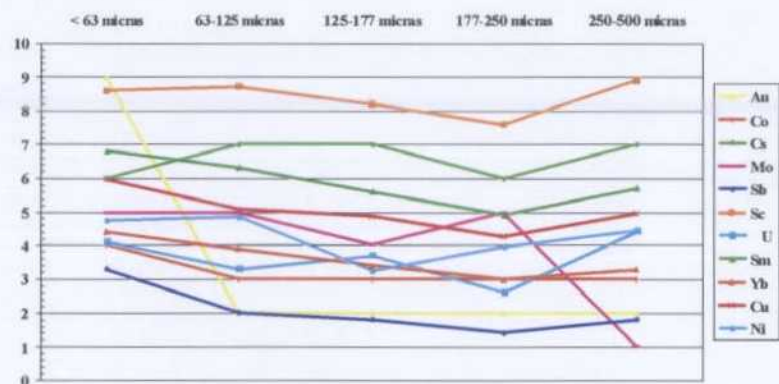


Figura 154d. Mapa Geoquímico de Cantabria. Campaña de orientación.  
Muestra CA-18  
Distribución de contenidos de elementos traza en distintas fracciones granulométricas

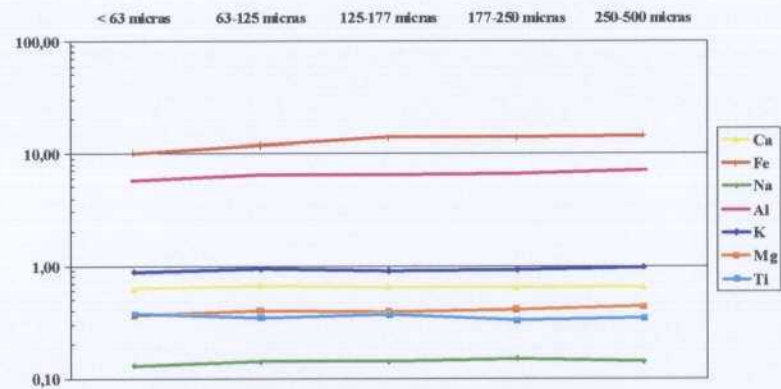


Figura 155a. Mapa Geoquímico de Cantabria. Campaña de orientación.  
Muestra CA-19  
Distribución de contenidos de elementos mayores y menores en distintas fracciones granulométricas

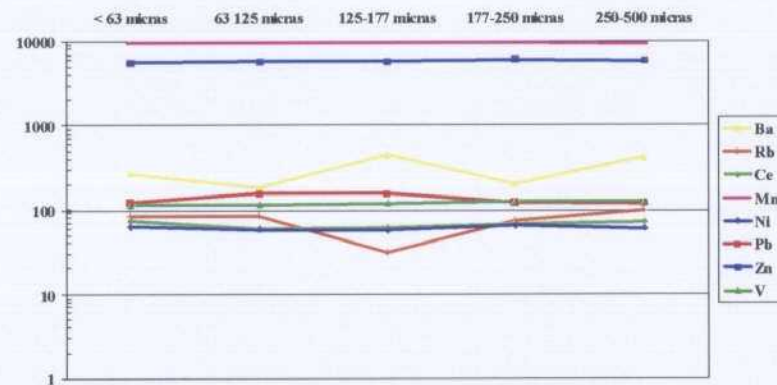


Figura 155b. Mapa Geoquímico de Cantabria. Campaña de orientación.  
Muestra CA-19  
Distribución de contenidos de elementos traza en distintas fracciones granulométricas

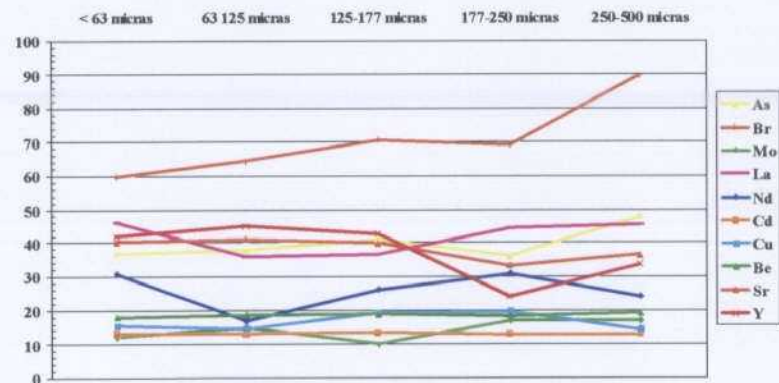


Figura 155c. Mapa Geoquímico de Cantabria. Campaña de orientación.  
Muestra CA-19  
Distribución de contenidos de elementos traza en distintas fracciones granulométricas

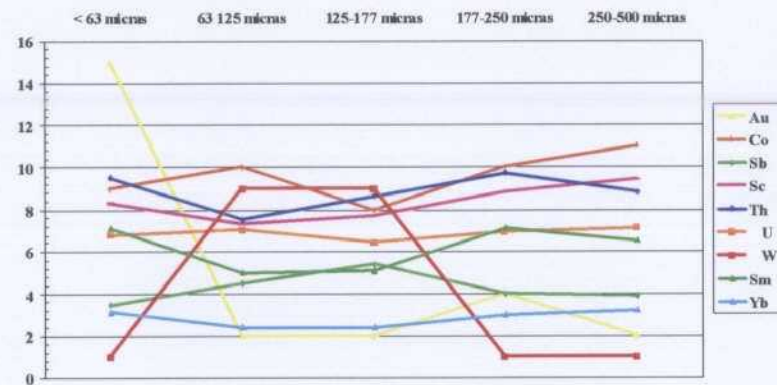


Figura 155d. Mapa Geoquímico de Cantabria. Campaña de orientación.  
Muestra CA-19  
Distribución de contenidos de elementos traza en distintas fracciones granulométricas

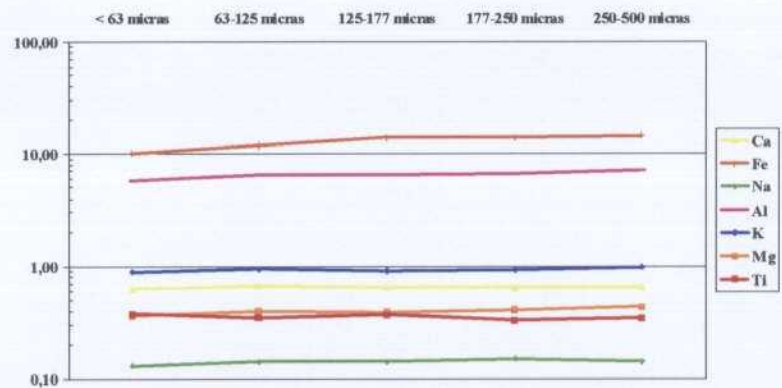


Figura 156a. Mapa Geoquímico de Cantabria. Campaña de orientación.  
Muestra CA-20  
Distribución de contenidos de elementos mayores y menores en distintas fracciones granulométricas

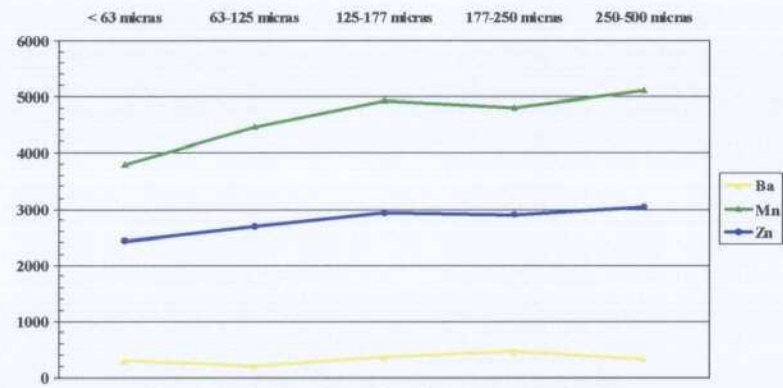


Figura 156b. Mapa Geoquímico de Cantabria. Campaña de orientación.  
Muestra CA-20  
Distribución de contenidos de elementos traza en distintas fracciones granulométricas

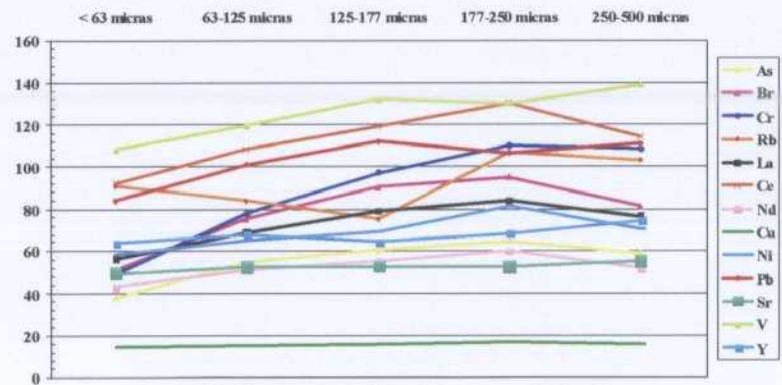


Figura 156c. Mapa Geoquímico de Cantabria. Campaña de orientación.  
Muestra CA-20  
Distribución de contenidos de elementos traza en distintas fracciones granulométricas

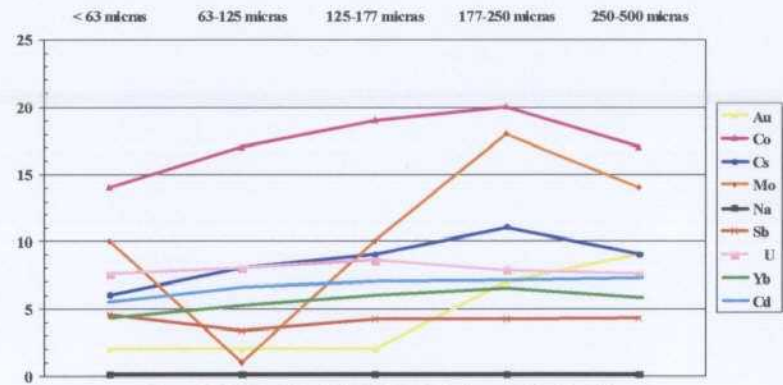


Figura 156d. Mapa Geoquímico de Cantabria. Campaña de orientación.  
Muestra CA-20  
Distribución de contenidos de elementos traza en distintas fracciones granulométricas



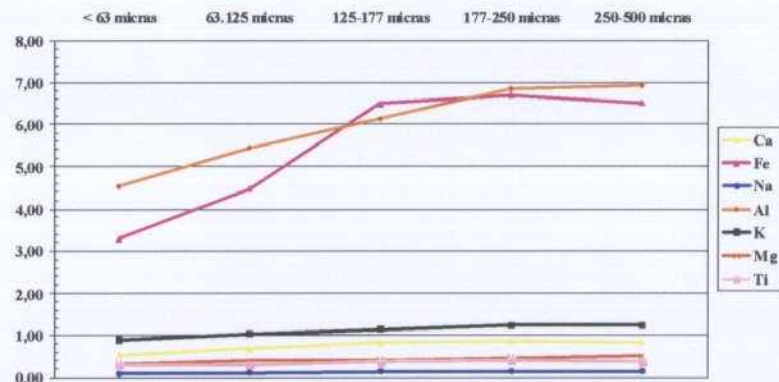


Figura 157a. Mapa Geoquímico de Cantabria. Campaña de orientación. Muestra CA-21  
Distribución de contenidos de elementos mayores y menores en distintas fracciones granulométricas

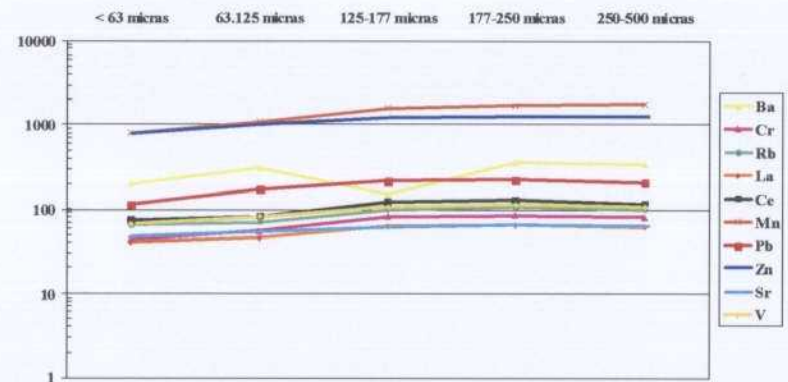


Figura 157b. Mapa Geoquímico de Cantabria. Campaña de orientación. Muestra CA-21  
Distribución de contenidos de elementos traza en distintas fracciones granulométricas

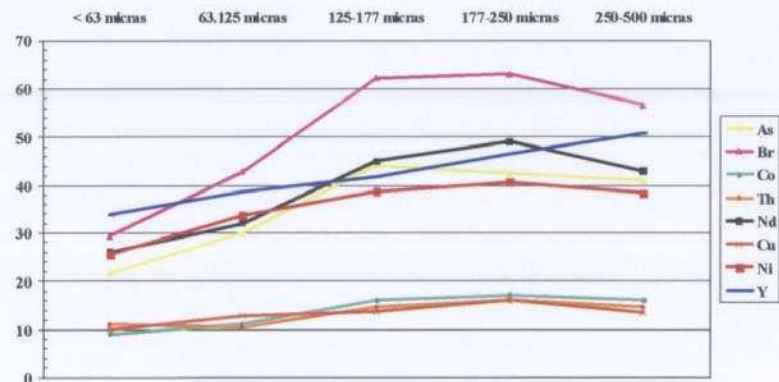


Figura 157c. Mapa Geoquímico de Cantabria. Campaña de orientación. Muestra CA-21  
Distribución de contenidos de elementos traza en distintas fracciones granulométricas

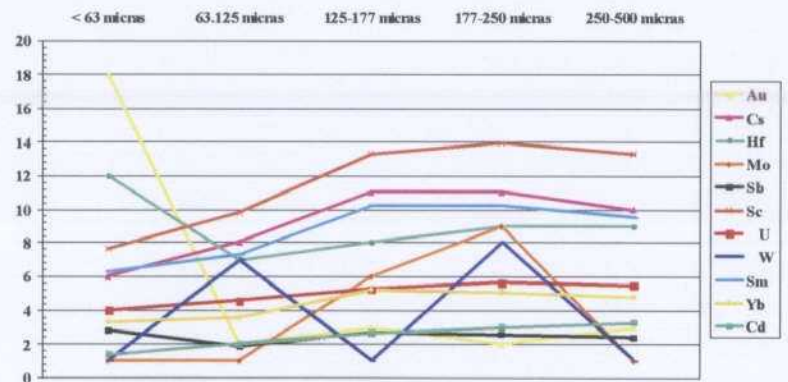


Figura 157d. Mapa Geoquímico de Cantabria. Campaña de orientación. Muestra CA-21  
Distribución de contenidos de elementos traza en distintas fracciones granulométricas

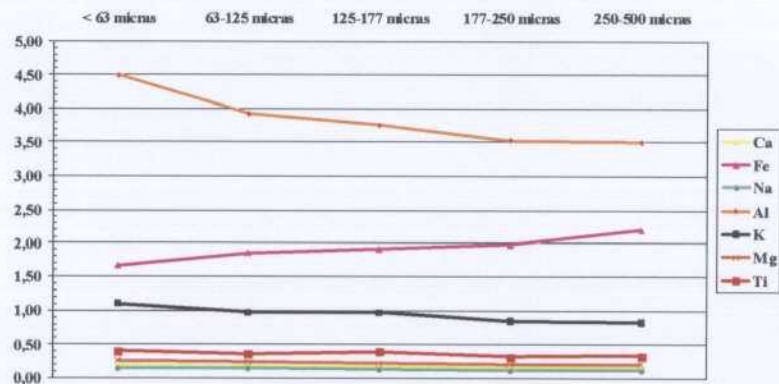


Figura 158a. Mapa Geoquímico de Cantabria. Campaña de orientación.  
Muestra CA-22  
Distribución de contenidos de elementos mayores y menores en distintas fracciones granulométricas

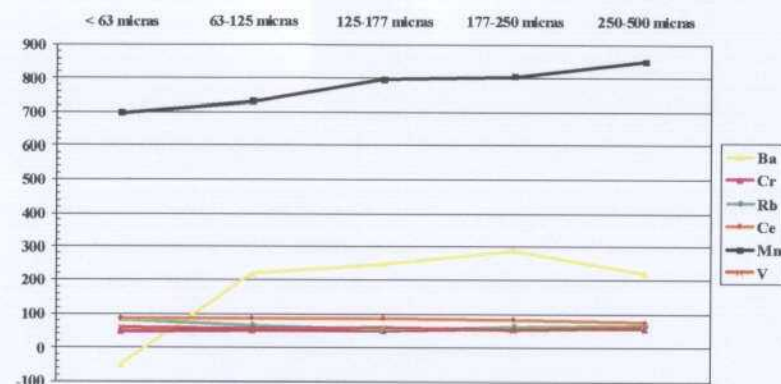


Figura 158b. Mapa Geoquímico de Cantabria. Campaña de orientación.  
Muestra CA-22  
Distribución de contenidos de elementos traza en distintas fracciones granulométricas

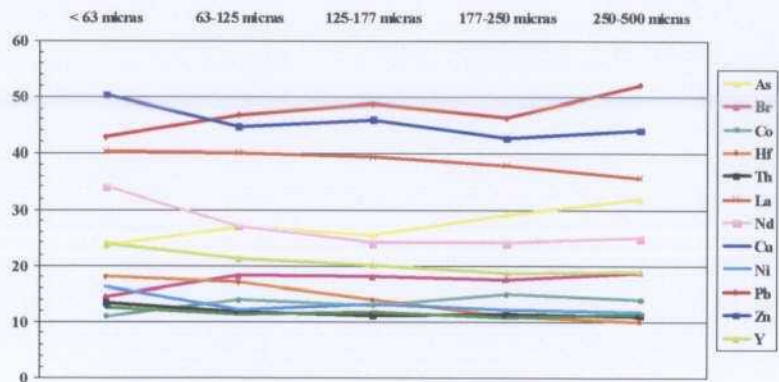


Figura 158c. Mapa Geoquímico de Cantabria. Campaña de orientación.  
Muestra CA-22  
Distribución de contenidos de elementos traza en distintas fracciones granulométricas

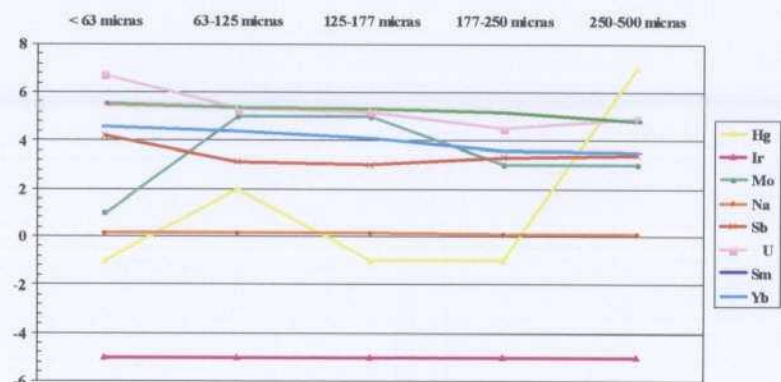


Figura 158d. Mapa Geoquímico de Cantabria. Campaña de orientación.  
Muestra CA-22  
Distribución de contenidos de elementos traza en distintas fracciones granulométricas

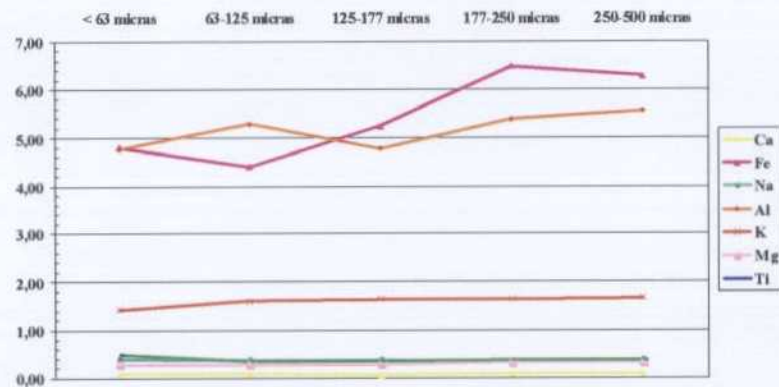


Figura 159a. Mapa Geoquímico de Cantabria. Campaña de orientación.  
Muestra CA-23  
Distribución de contenidos de elementos mayores y menores en distintas fracciones granulométricas

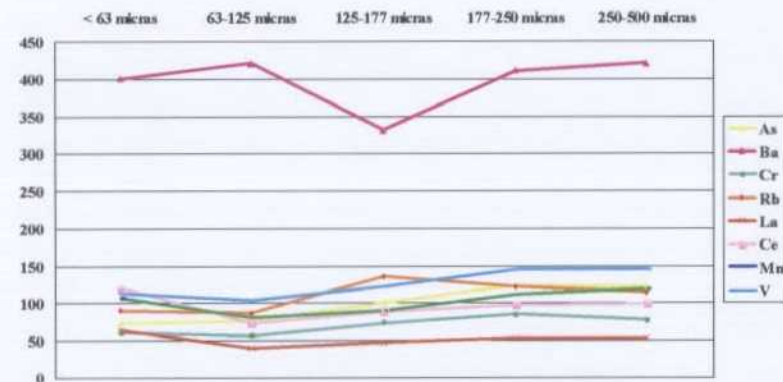


Figura 159b. Mapa Geoquímico de Cantabria. Campaña de orientación.  
Muestra CA-23  
Distribución de contenidos de elementos traza en distintas fracciones granulométricas

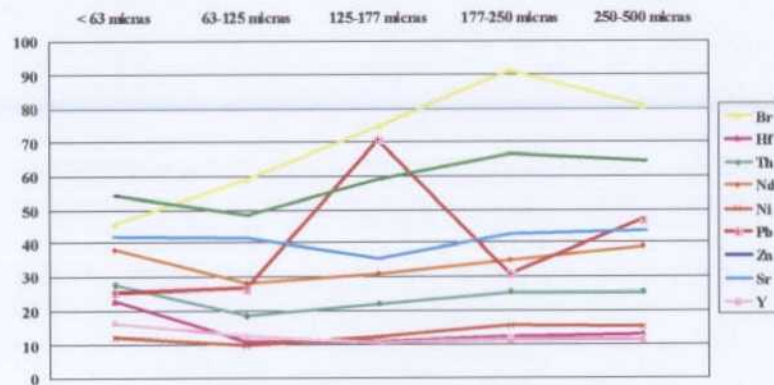


Figura 159c. Mapa Geoquímico de Cantabria. Campaña de orientación.  
Muestra CA-23  
Distribución de contenidos de elementos traza en distintas fracciones granulométricas

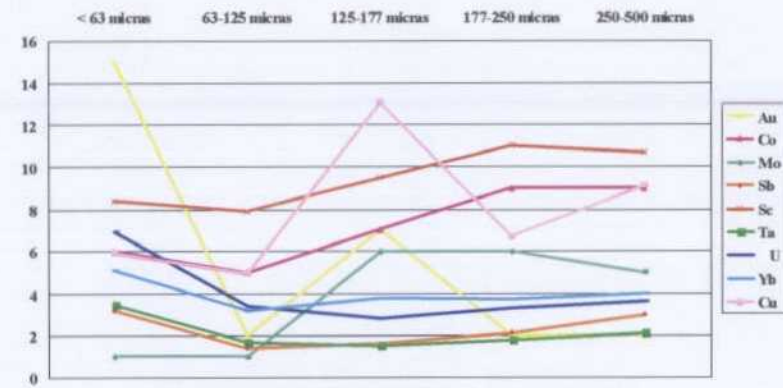


Figura 159d. Mapa Geoquímico de Cantabria. Campaña de orientación.  
Muestra CA-23  
Distribución de contenidos de elementos traza en distintas fracciones granulométricas

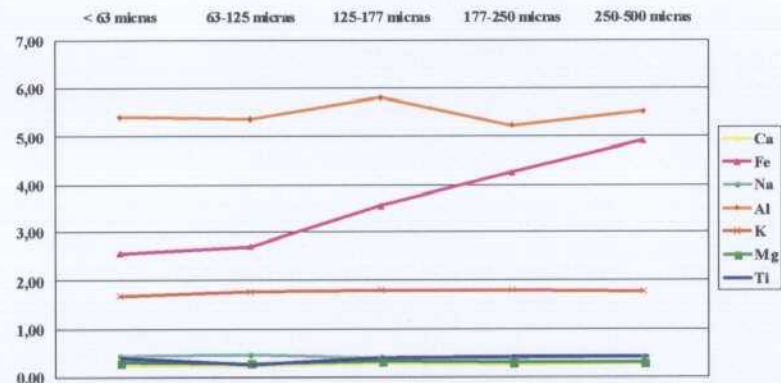


Figura 160a. Mapa Geoquímico de Cantabria. Campaña de orientación. Muestra CA-24  
Distribución de contenidos de elementos mayores y menores en distintas fracciones granulométricas

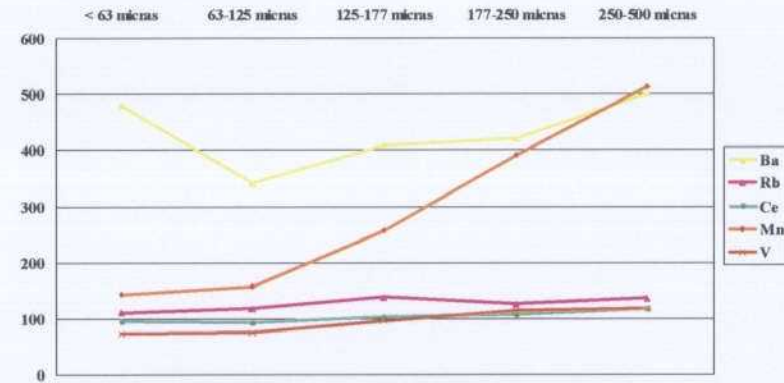


Figura 160b. Mapa Geoquímico de Cantabria. Campaña de orientación. Muestra CA-24  
Distribución de contenidos de elementos traza en distintas fracciones granulométricas

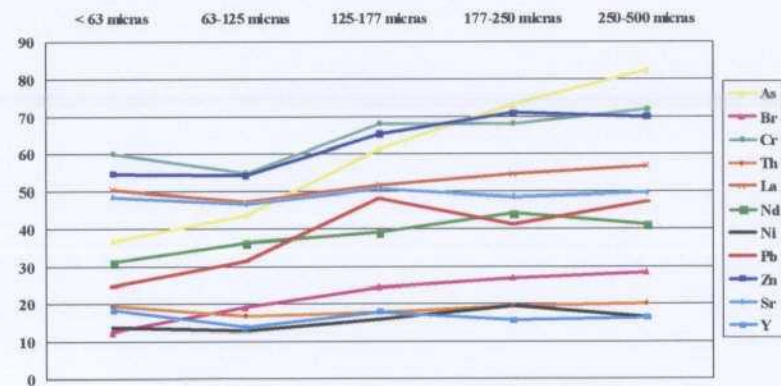


Figura 160c. Mapa Geoquímico de Cantabria. Campaña de orientación. Muestra CA-24  
Distribución de contenidos de elementos traza en distintas fracciones granulométricas

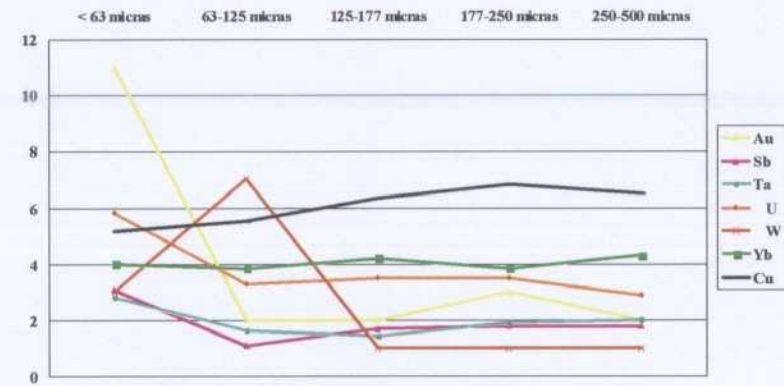


Figura 160d. Mapa Geoquímico de Cantabria. Campaña de orientación. Muestra CA-24  
Distribución de contenidos de elementos traza en distintas fracciones granulométricas

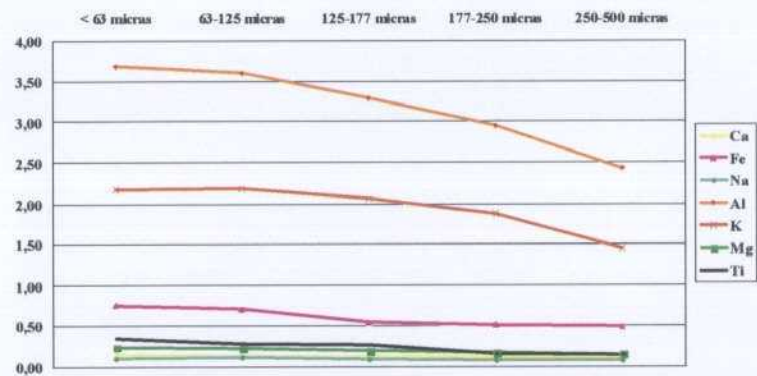


Figura 161a. Mapa Geoquímico de Cantabria. Campaña de orientación. Muestra CA-25. Distribución de contenidos de elementos mayores y menores en distintas fracciones granulométricas

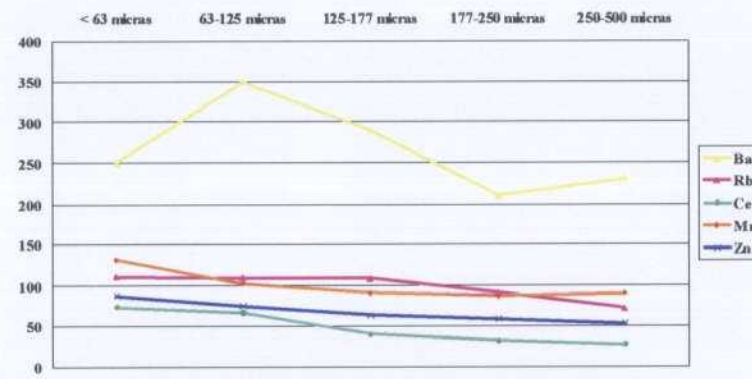


Figura 161b. Mapa Geoquímico de Cantabria. Campaña de orientación. Muestra CA-25. Distribución de contenidos de elementos traza en distintas fracciones granulométricas

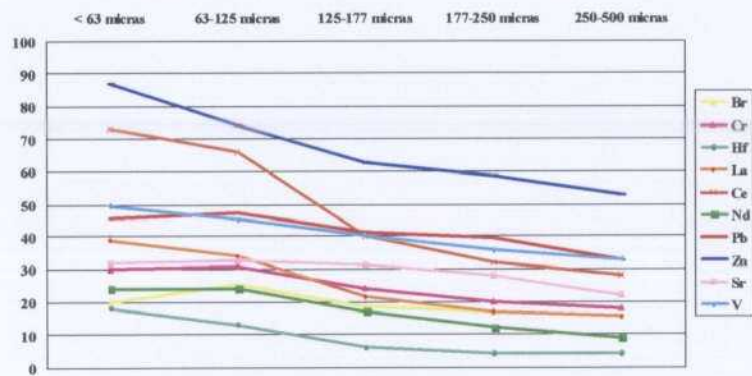


Figura 161c. Mapa Geoquímico de Cantabria. Campaña de orientación. Muestra CA-25. Distribución de contenidos de elementos traza en distintas fracciones granulométricas

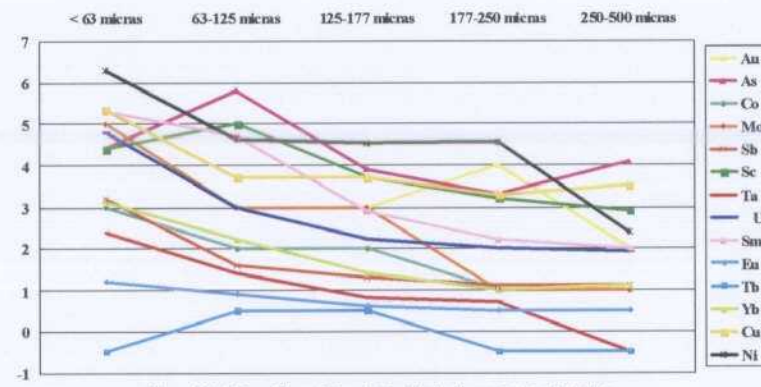


Figura 161d. Mapa Geoquímico de Cantabria. Campaña de orientación. Muestra CA-25. Distribución de contenidos de elementos traza en distintas fracciones granulométricas

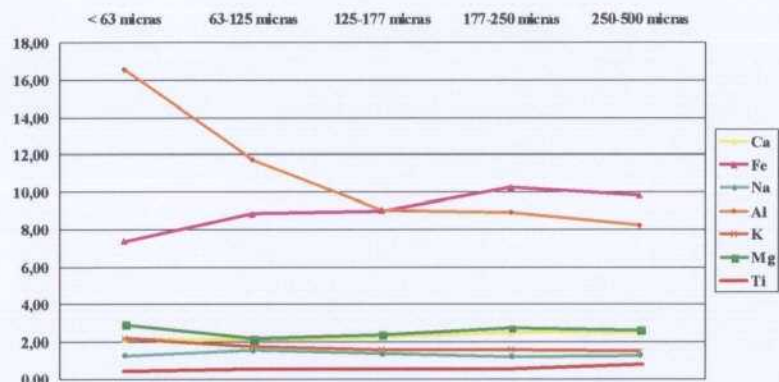


Figura 162a. Mapa Geoquímico de Cantabria. Campaña de orientación. Muestra CA-26  
Distribución de contenidos de elementos mayores y menores en distintas fracciones granulométricas

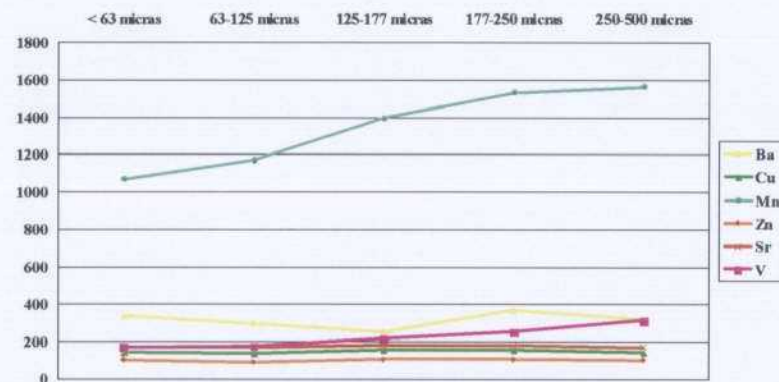


Figura 162b. Mapa Geoquímico de Cantabria. Campaña de orientación. Muestra CA-26  
Distribución de contenidos de elementos traza en distintas fracciones granulométricas

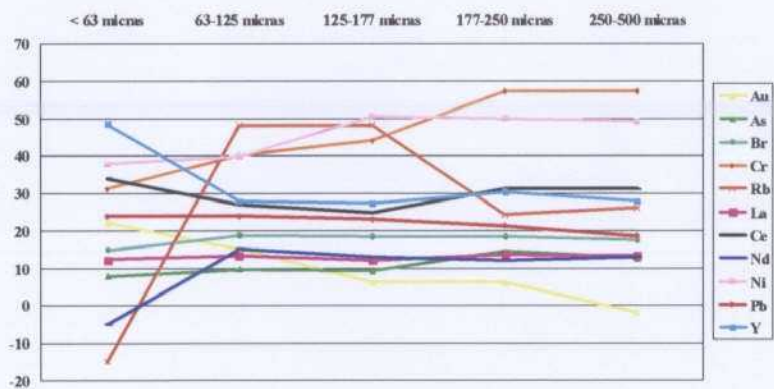


Figura 162c. Mapa Geoquímico de Cantabria. Campaña de orientación. Muestra CA-26  
Distribución de contenidos de elementos traza en distintas fracciones granulométricas

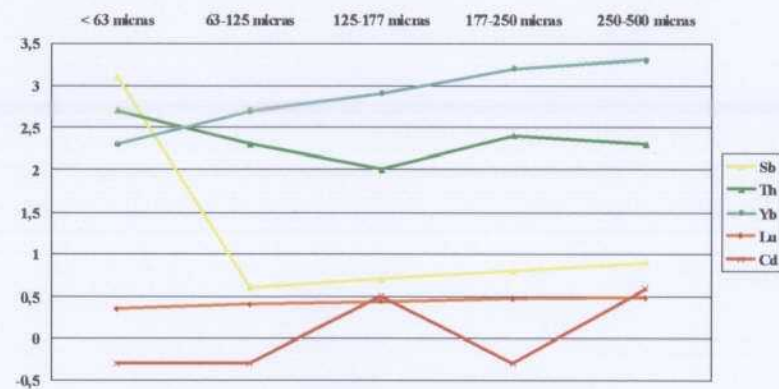


Figura 162d. Mapa Geoquímico de Cantabria. Campaña de orientación. Muestra CA-26  
Distribución de contenidos de elementos traza en distintas fracciones granulométricas

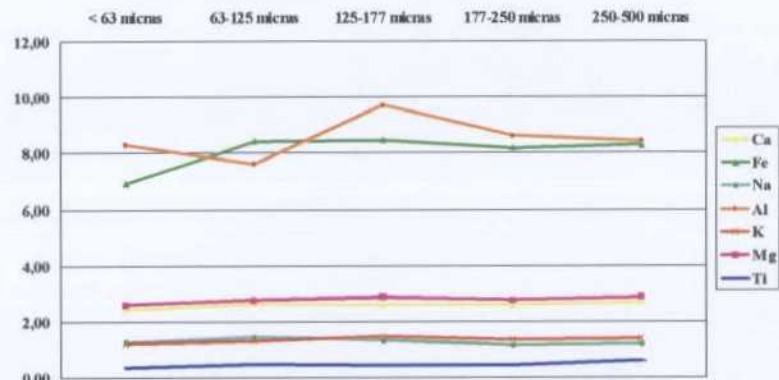


Figura 163a. Mapa Geoquímico de Cantabria. Campaña de orientación. Muestra CA-27. Distribución de contenidos de elementos mayores y menores en distintas fracciones granulométricas

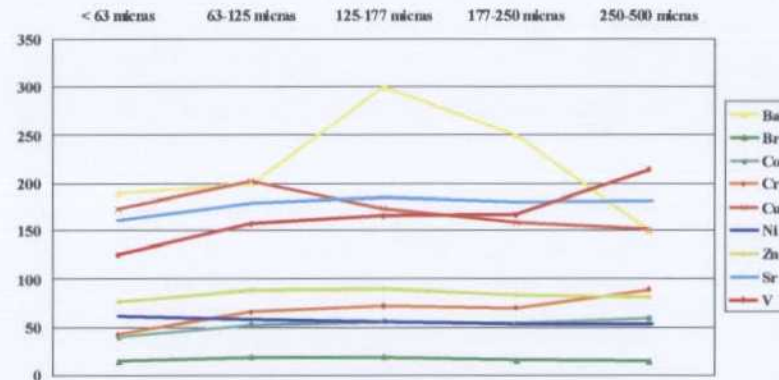


Figura 163b. Mapa Geoquímico de Cantabria. Campaña de orientación. Muestra CA-27. Distribución de contenidos de elementos traza en distintas fracciones granulométricas

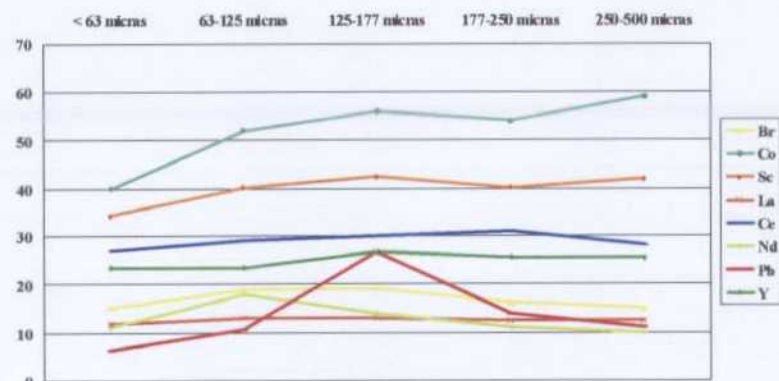


Figura 163c. Mapa Geoquímico de Cantabria. Campaña de orientación. Muestra CA-27. Distribución de contenidos de elementos traza en distintas fracciones granulométricas

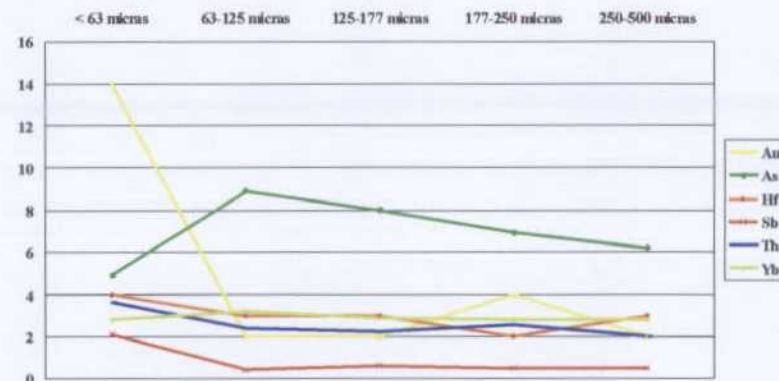


Figura 163d. Mapa Geoquímico de Cantabria. Campaña de orientación. Muestra CA-27. Distribución de contenidos de elementos traza en distintas fracciones granulométricas

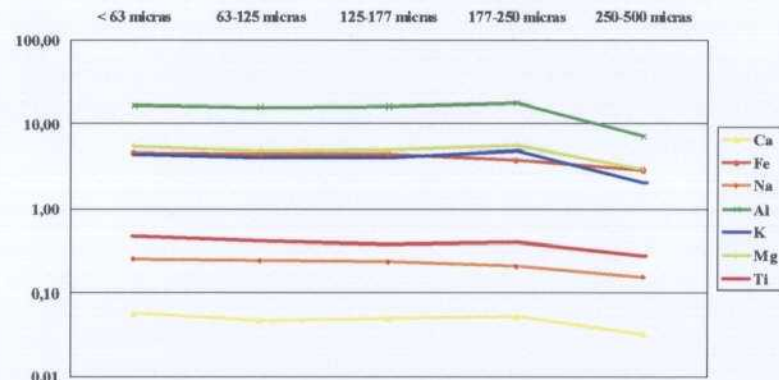


Figura 164a. Mapa Geoquímico de Cantabria. Campaña de orientación.  
Muestra CA-28  
Distribución de contenidos de elementos mayores y menores en distintas fracciones granulométricas

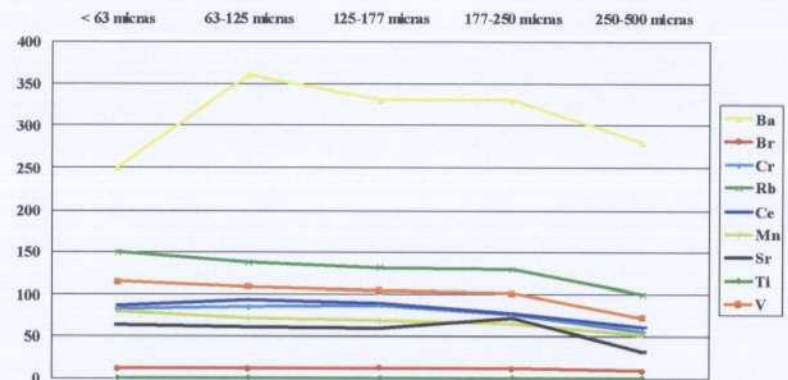


Figura 164b. Mapa Geoquímico de Cantabria. Campaña de orientación.  
Muestra CA-28  
Distribución de contenidos de elementos traza en distintas fracciones granulométricas

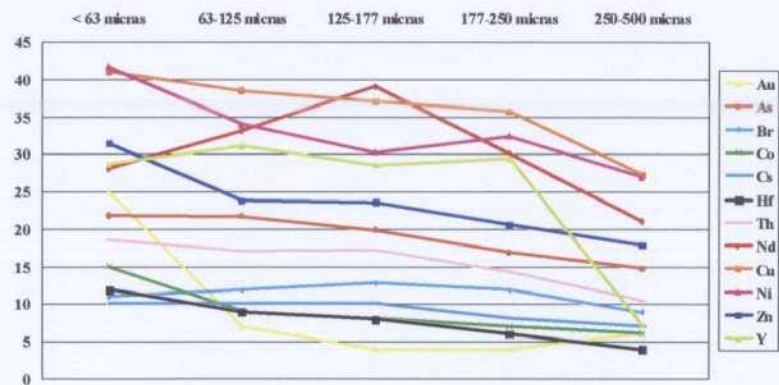


Figura 164c. Mapa Geoquímico de Cantabria. Campaña de orientación.  
Muestra CA-28  
Distribución de contenidos de elementos traza en distintas fracciones granulométricas

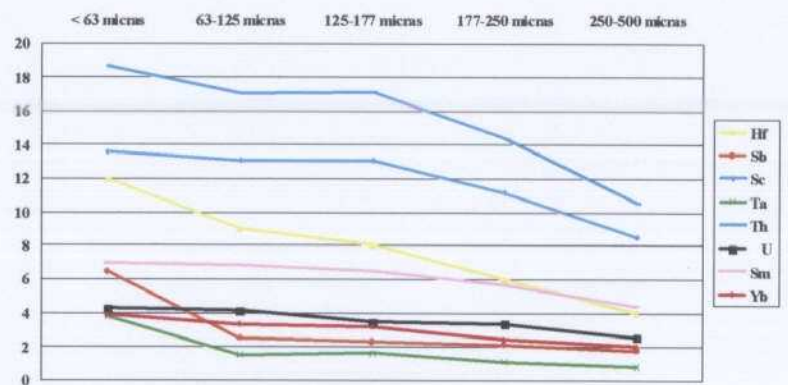


Figura 164d. Mapa Geoquímico de Cantabria. Campaña de orientación.  
Muestra CA-28  
Distribución de contenidos de elementos traza en distintas fracciones granulométricas



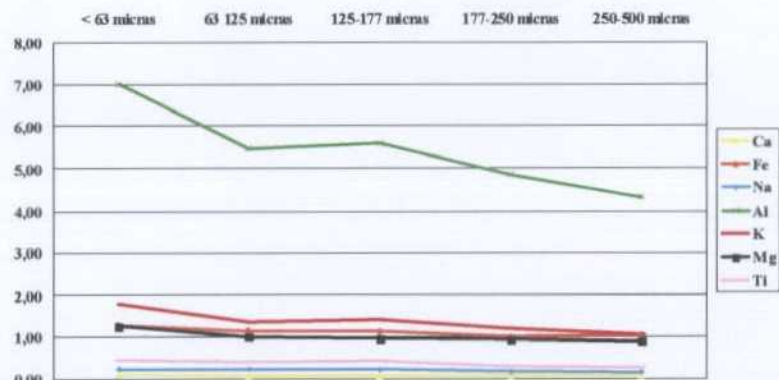


Figura 165a. Mapa Geoquímico de Cantabria. Campaña de orientación.  
Muestra CA-29  
Distribución de contenidos de elementos mayores y menores en distintas fracciones granulométricas

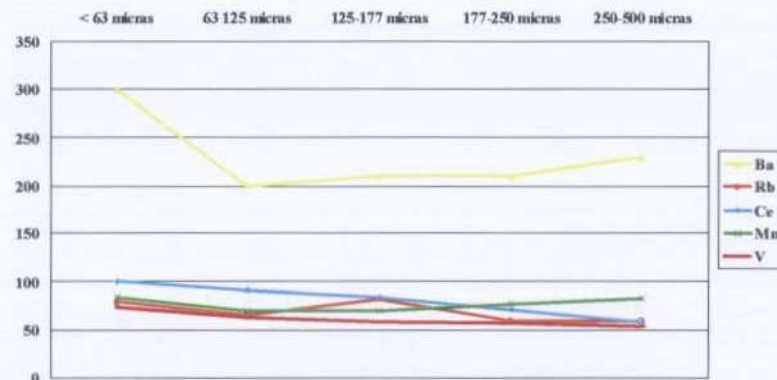


Figura 165b. Mapa Geoquímico de Cantabria. Campaña de orientación.  
Muestra CA-29  
Distribución de contenidos de elementos traza en distintas fracciones granulométricas

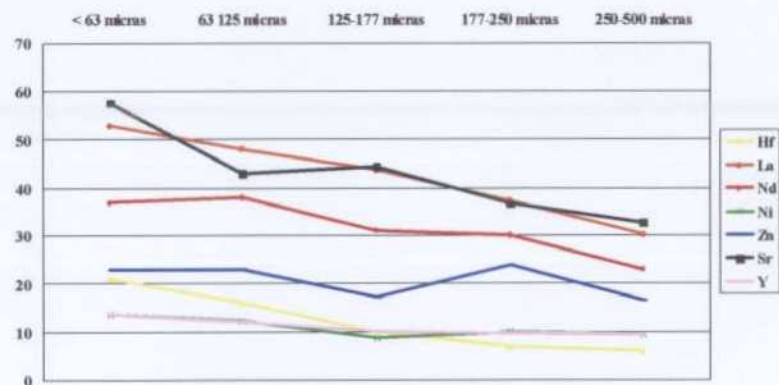


Figura 165c. Mapa Geoquímico de Cantabria. Campaña de orientación.  
Muestra CA-29  
Distribución de contenidos de elementos traza en distintas fracciones granulométricas

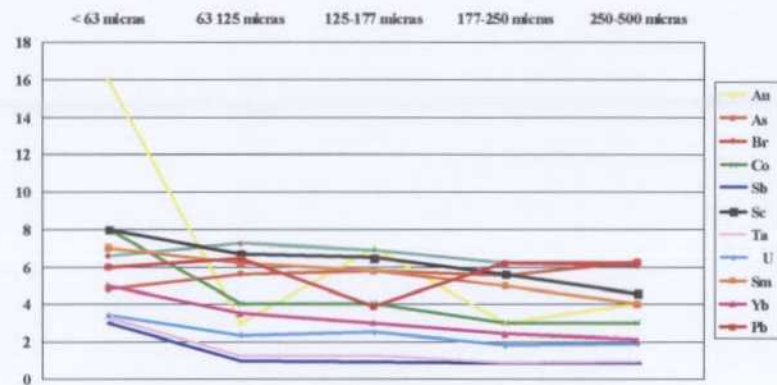


Figura 165d. Mapa Geoquímico de Cantabria. Campaña de orientación.  
Muestra CA-29  
Distribución de contenidos de elementos traza en distintas fracciones granulométricas

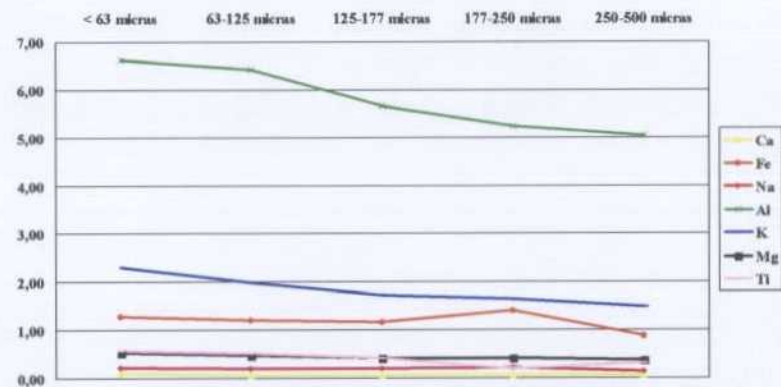


Figura 33-a. Mapa Geoquímico de Cantabria. Campaña de orientación.  
Muestra CA-30  
Distribución de contenidos de elementos mayores y menores en distintas fracciones granulométricas

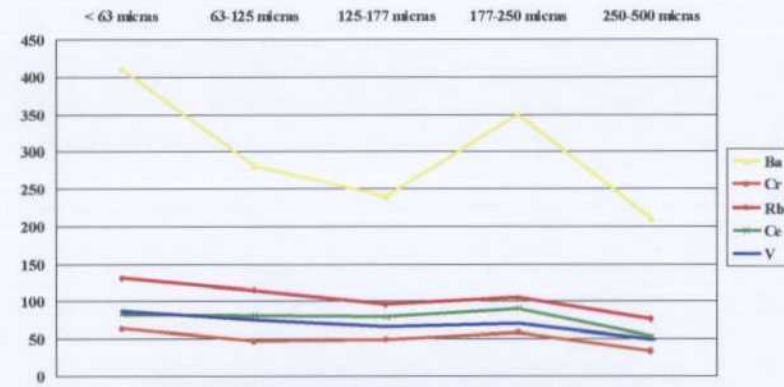


Figura 166b. Mapa Geoquímico de Cantabria. Campaña de orientación.  
Muestra CA-30  
Distribución de contenidos de elementos traza en distintas fracciones granulométricas

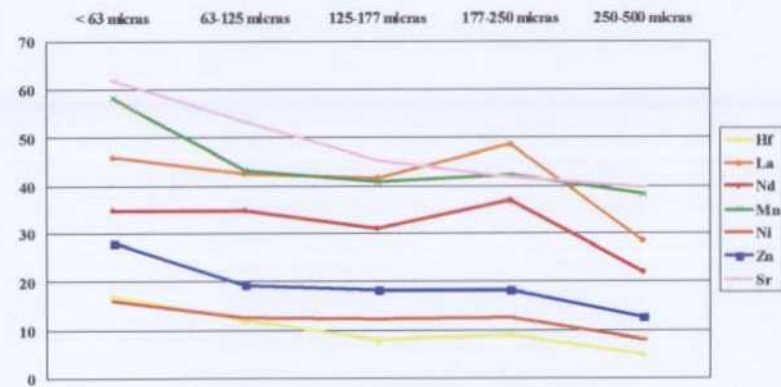


Figura 166c. Mapa Geoquímico de Cantabria. Campaña de orientación.  
Muestra CA-30  
Distribución de contenidos de elementos traza en distintas fracciones granulométricas



Figura 166d. Mapa Geoquímico de Cantabria. Campaña de orientación.  
Muestra CA-30  
Distribución de contenidos de elementos traza en distintas fracciones granulométricas



Figura 167a. Mapa Geoquímico de Cantabria. Campaña de orientación.  
Muestra CA-31  
Distribución de contenidos de elementos mayores y menores en distintas fracciones granulométricas

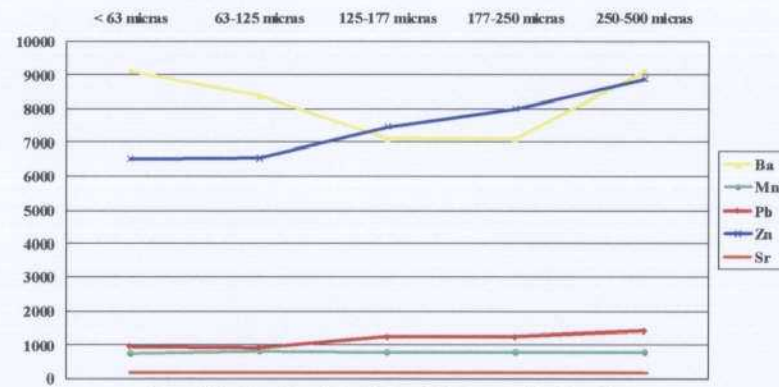


Figura 167b. Mapa Geoquímico de Cantabria. Campaña de orientación.  
Muestra CA-31  
Distribución de contenidos de elementos traza en distintas fracciones granulométricas

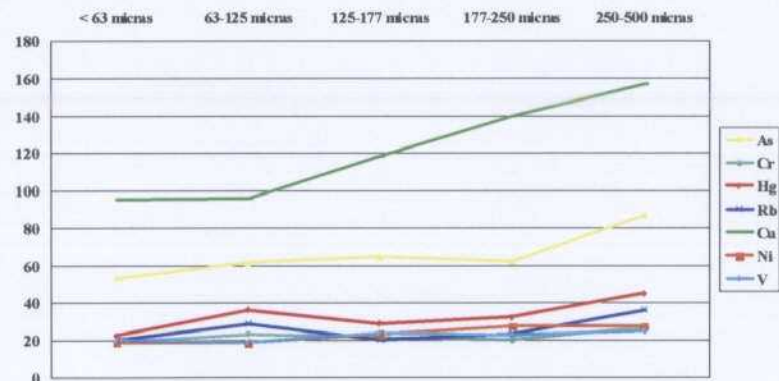


Figura 167c. Mapa Geoquímico de Cantabria. Campaña de orientación.  
Muestra CA-31  
Distribución de contenidos de elementos traza en distintas fracciones granulométricas

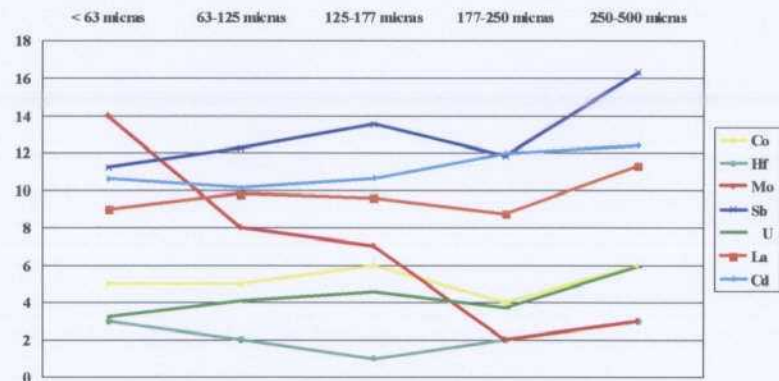


Figura 167d. Mapa Geoquímico de Cantabria. Campaña de orientación.  
Muestra CA-31  
Distribución de contenidos de elementos traza en distintas fracciones granulométricas

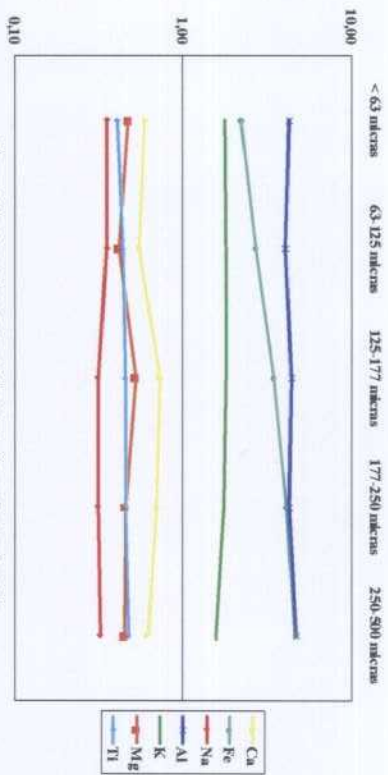


Figura 168a. Mapa Geoquímico de Cantabria. Campaña de orientación. Muestra CA-32. Distribución de contenidos de elementos mayores y menores en distintas fracciones granulométricas

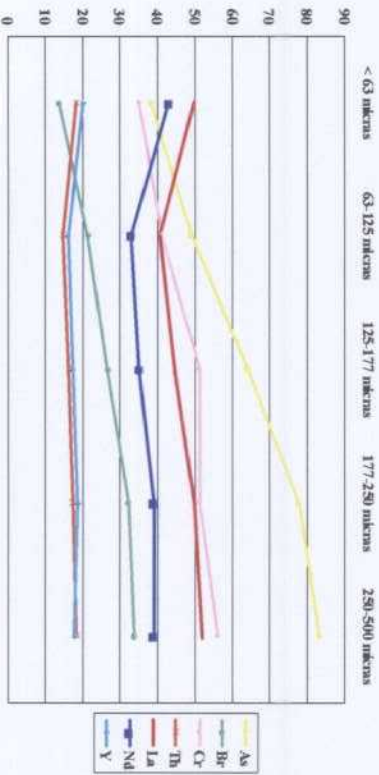


Figura 168c. Mapa Geoquímico de Cantabria. Campaña de orientación. Muestra CA-32. Distribución de contenidos de elementos traza en distintas fracciones granulométricas

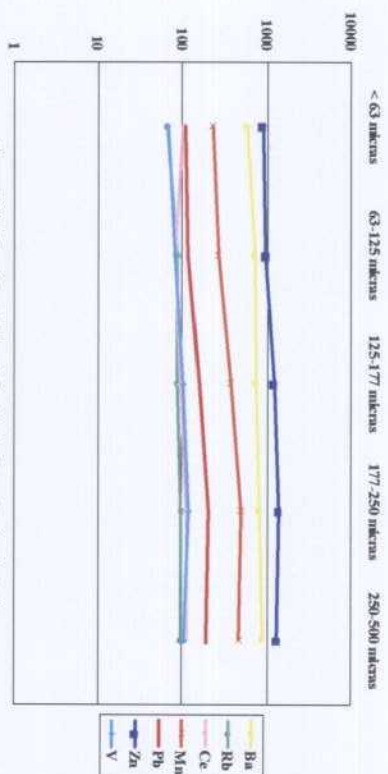


Figura 168b. Mapa Geoquímico de Cantabria. Campaña de orientación. Muestra CA-32. Distribución de contenidos de elementos traza en distintas fracciones granulométricas

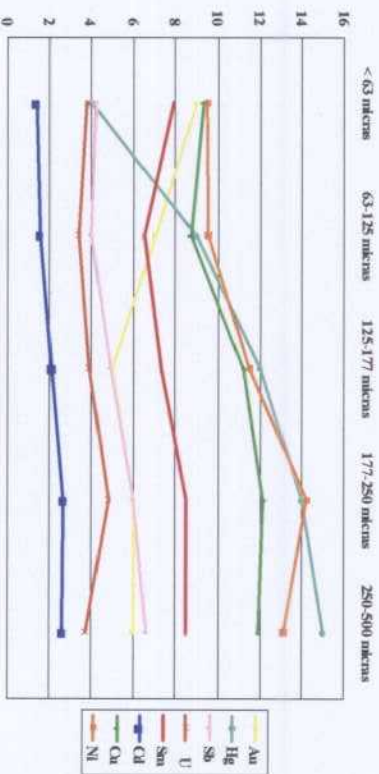
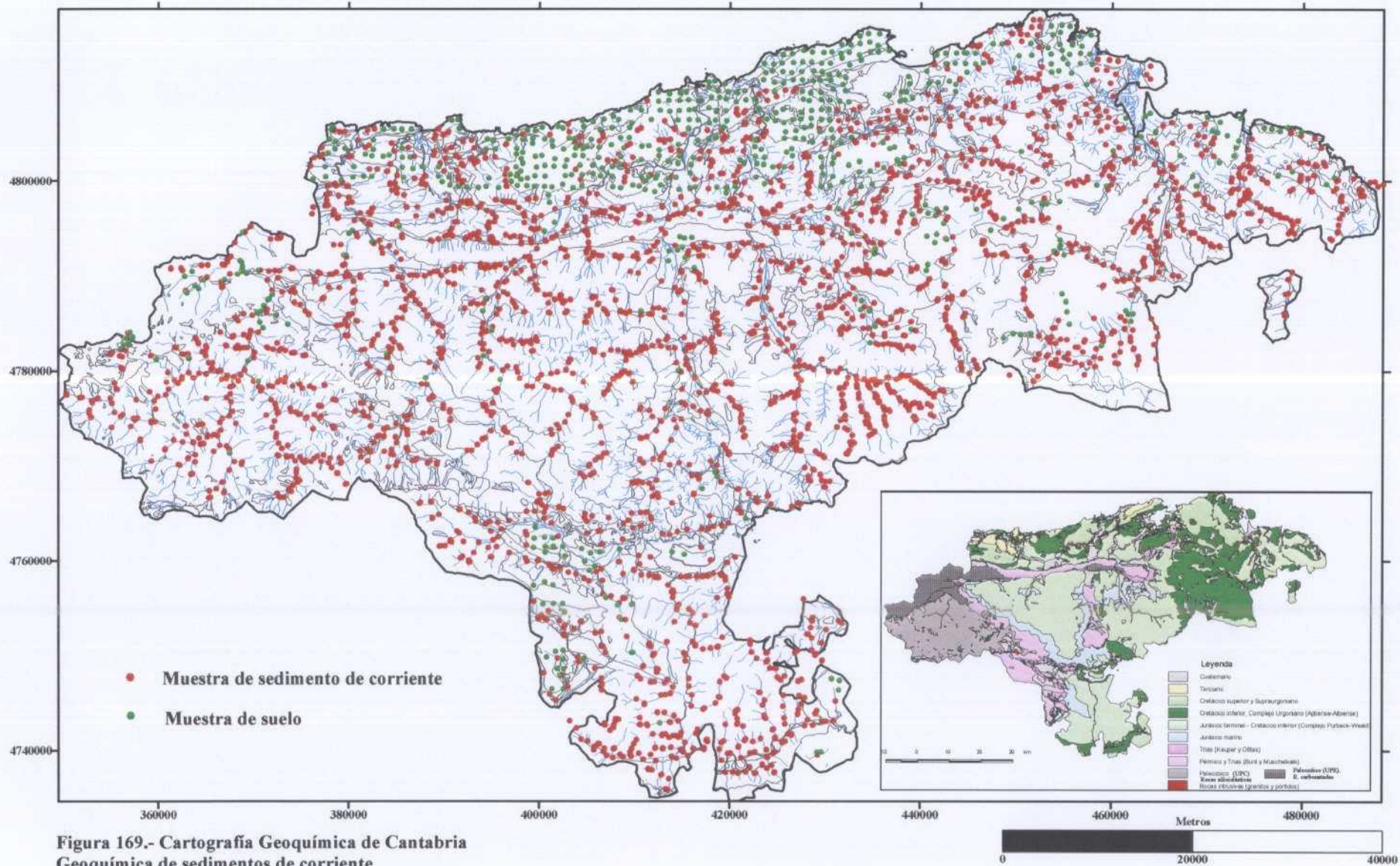


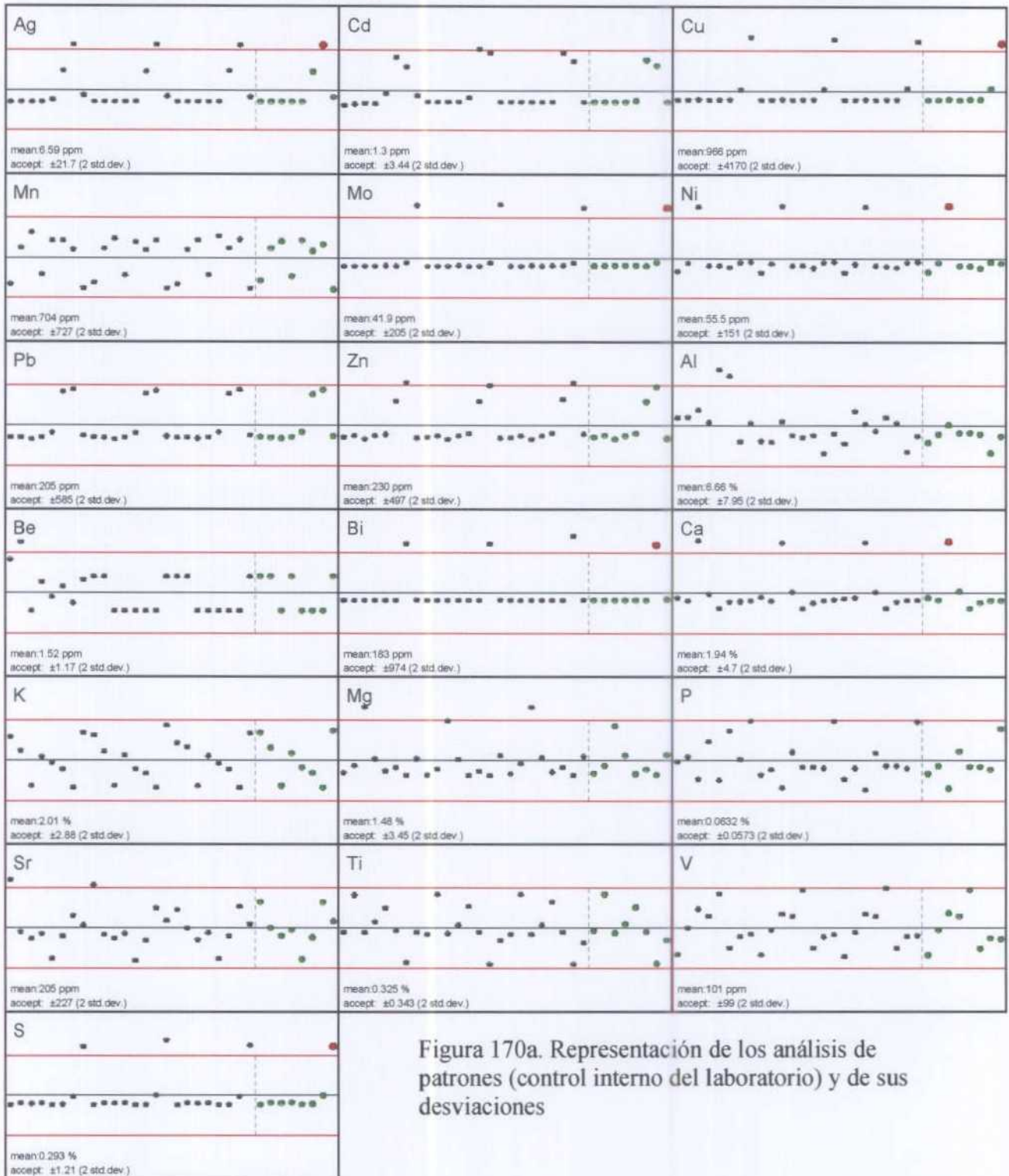
Figura 168d. Mapa Geoquímico de Cantabria. Campaña de orientación. Muestra CA-32. Distribución de contenidos de elementos traza en distintas fracciones granulométricas



**Figura 169.- Cartografía Geoquímica de Cantabria**  
 Geoquímica de sedimentos de corriente  
 Situación de muestras de sedimentos y de suelos

### Muestras patrón laboratorio (Bloque 21537)

Fail: ● +/-2 std. dev.  
 Pass: ●  
 Historic: ●



Muestras patrón laboratorio (Bloque 21611)

Fail: ● +/-2 std. dev.  
 Pass: ●  
 Historic: ●

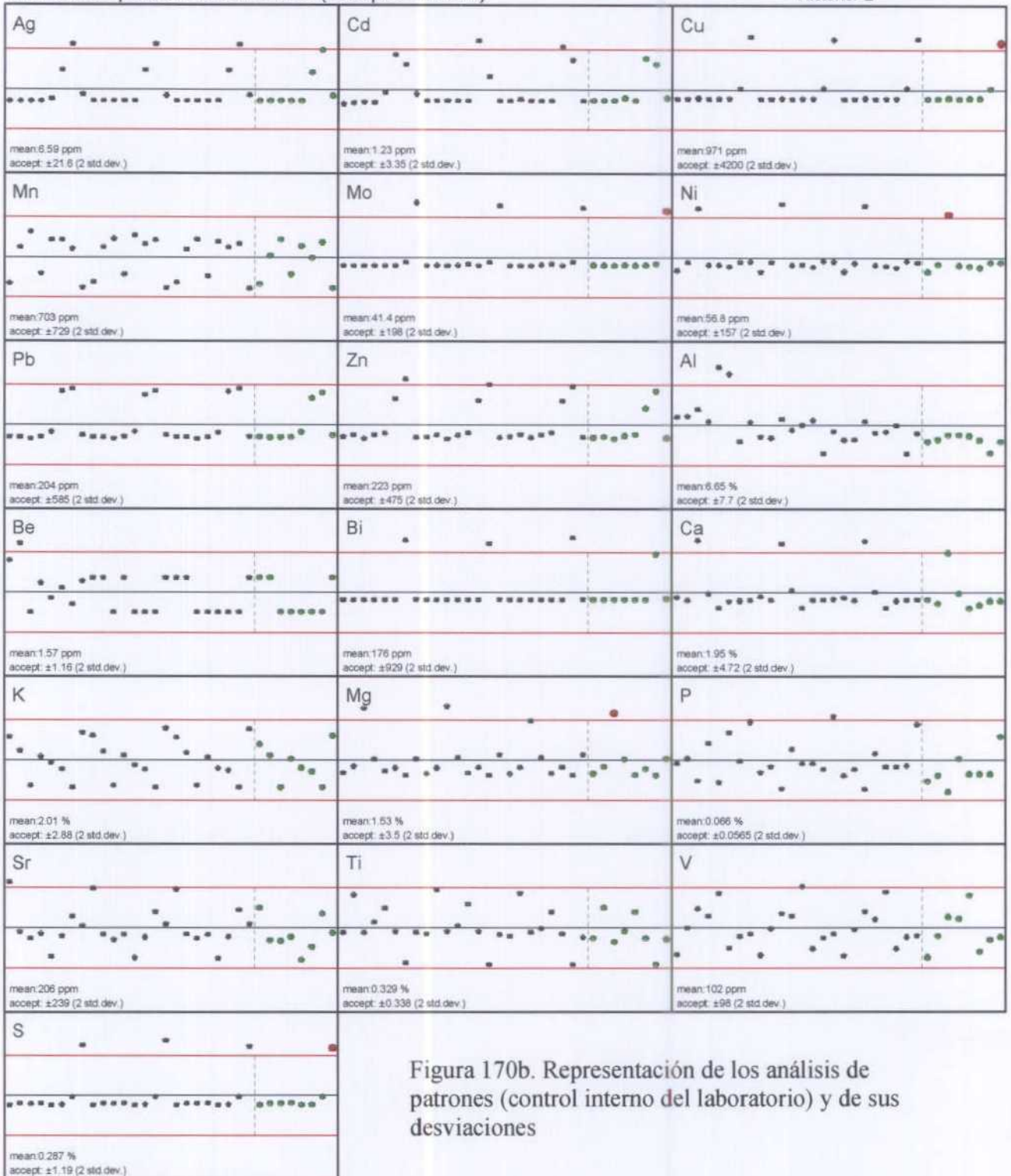


Figura 170b. Representación de los análisis de patrones (control interno del laboratorio) y de sus desviaciones

Muestras patrón laboratorio (Bloque 21817)

Fail: ● +/-2 std. dev.  
 Pass: ●  
 Historic: ●

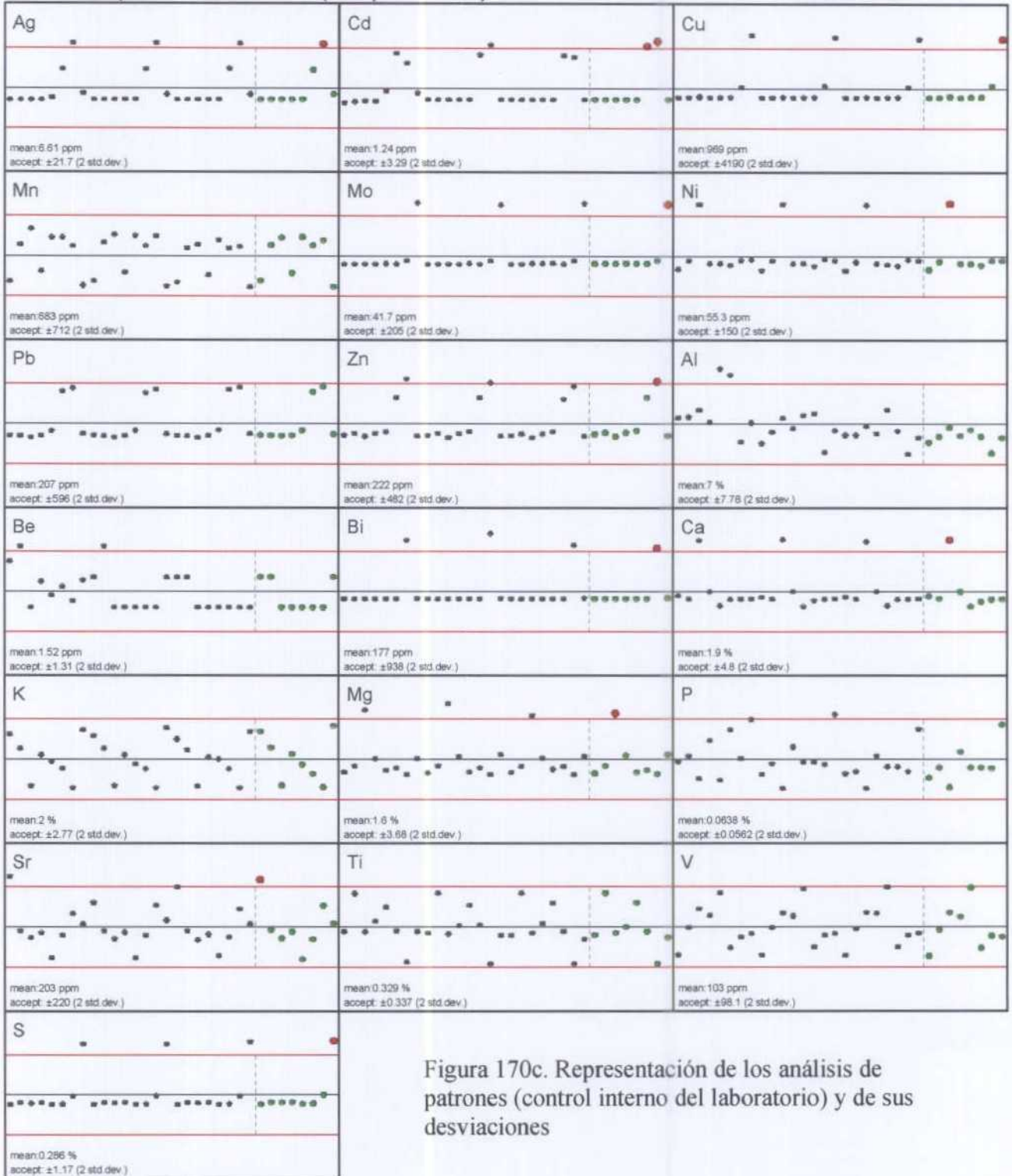


Figura 170c. Representación de los análisis de patrones (control interno del laboratorio) y de sus desviaciones



Muestras patrón laboratorio (Bloque 21982)

Fail: ● +/-2 std. dev.  
 Pass: ●  
 Historic: ●

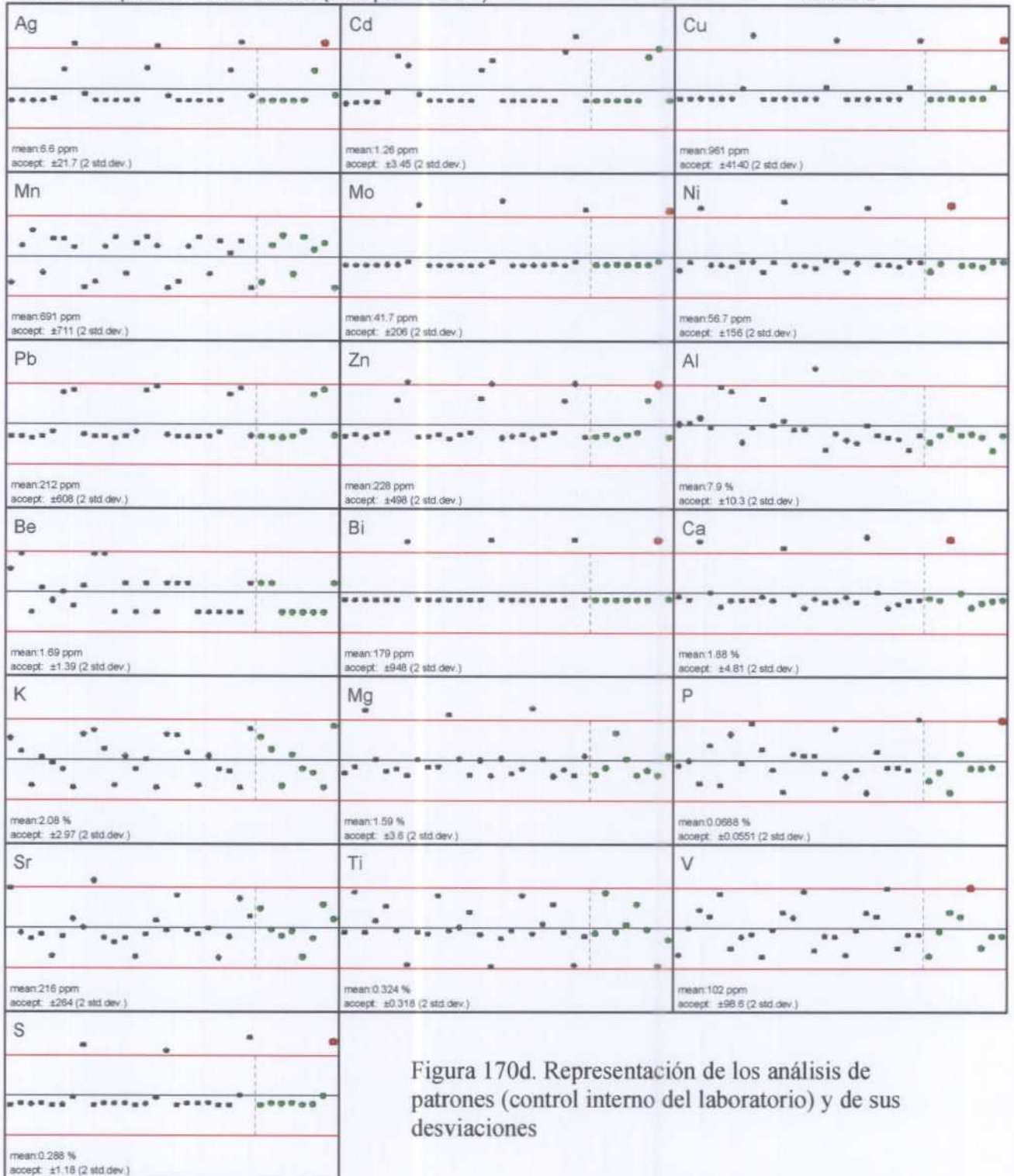


Figura 170d. Representación de los análisis de patrones (control interno del laboratorio) y de sus desviaciones

Muestras patrón laboratorio (Bloque 22244)

Fail: ● +/-2 std. dev.  
 Pass: ●  
 Historic: ●

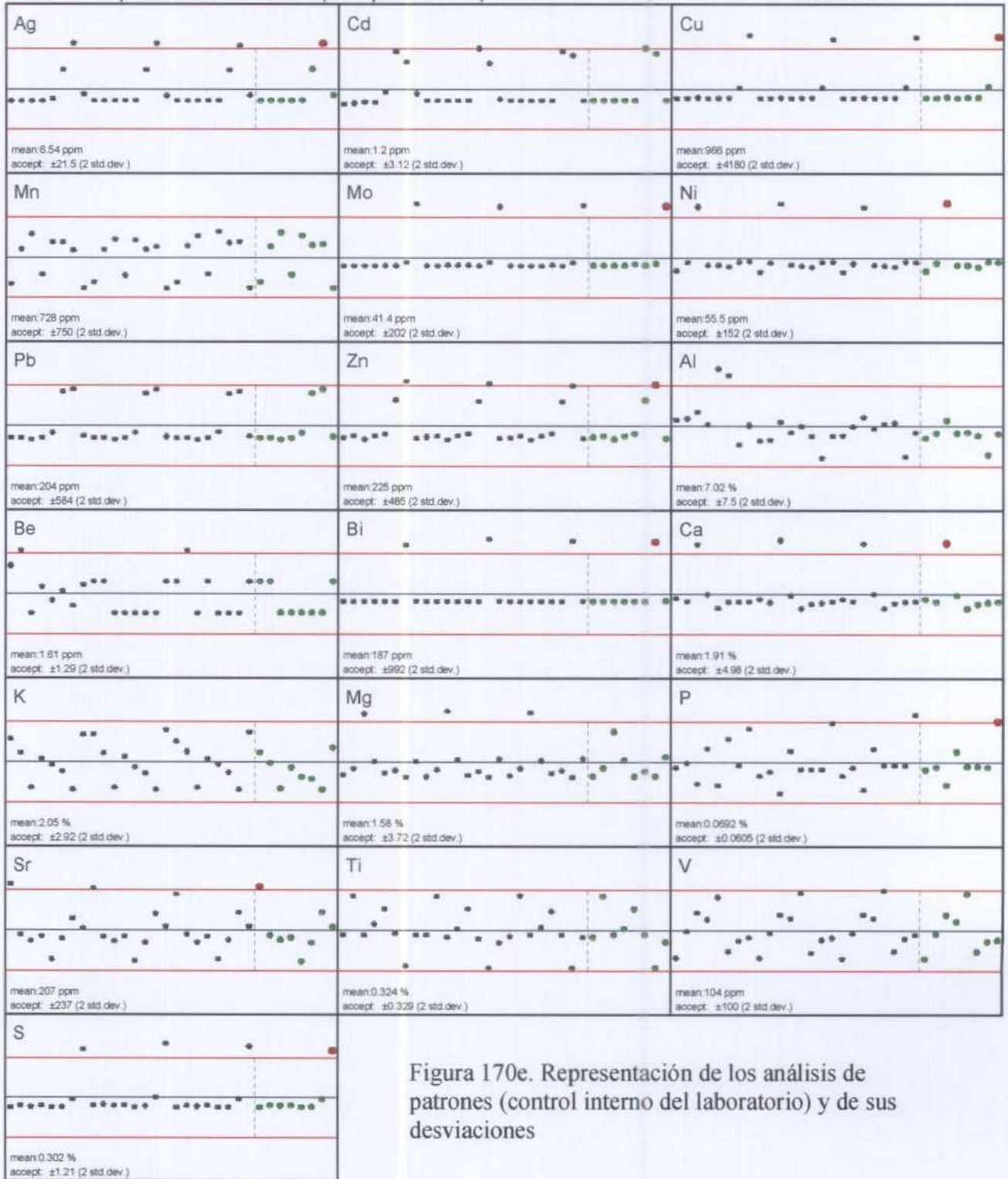


Figura 170e. Representación de los análisis de patrones (control interno del laboratorio) y de sus desviaciones

Muestras patrón laboratorio (Bloque 22280)

Fail: ● +/-2 std. dev.  
 Pass: ●  
 Historic: ●

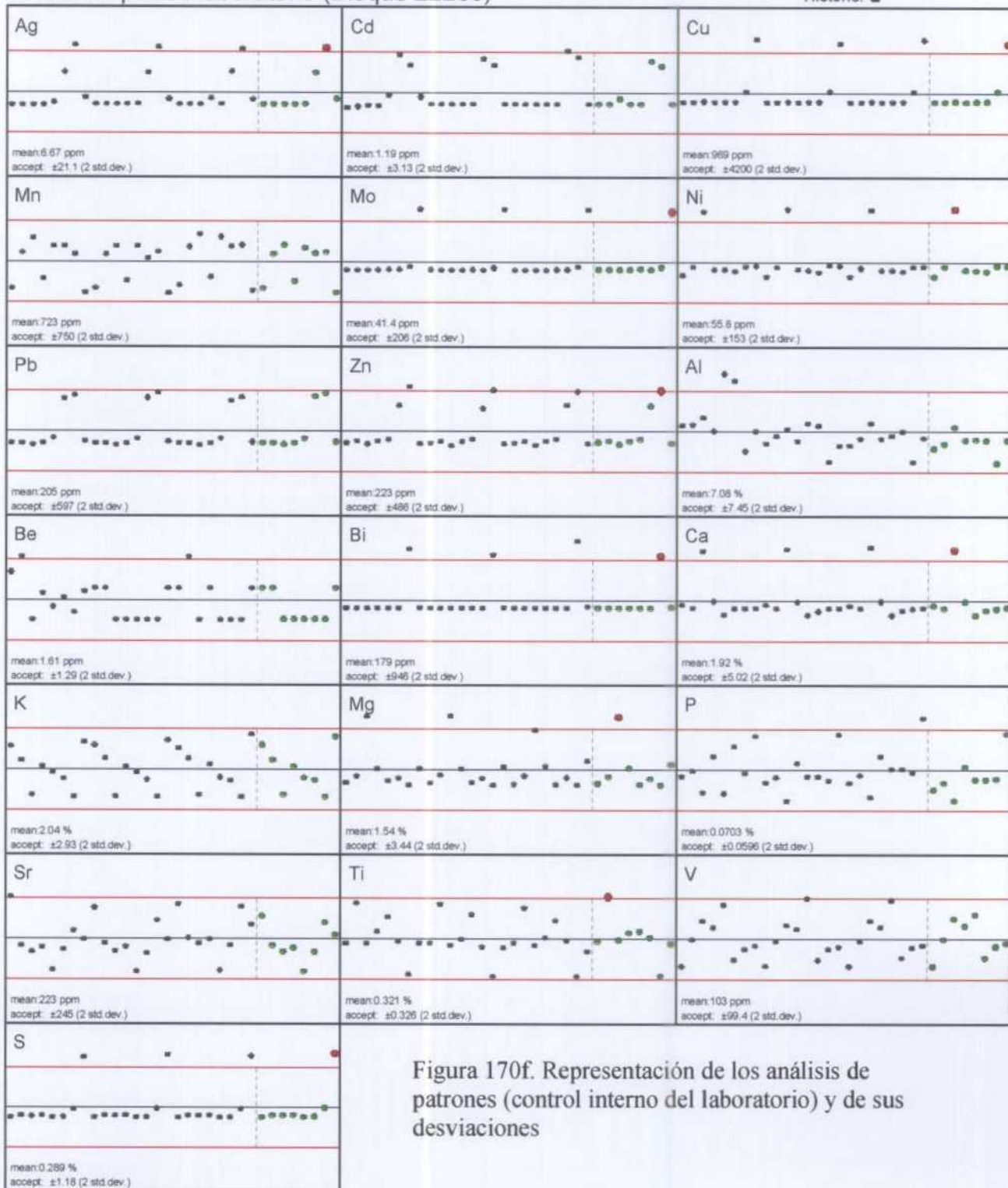


Figura 170f. Representación de los análisis de patrones (control interno del laboratorio) y de sus desviaciones

Muestras patrón laboratorio (Bloque 22351)

Fail: ● +/-2 std. dev.  
 Pass: ●  
 Historic: ■

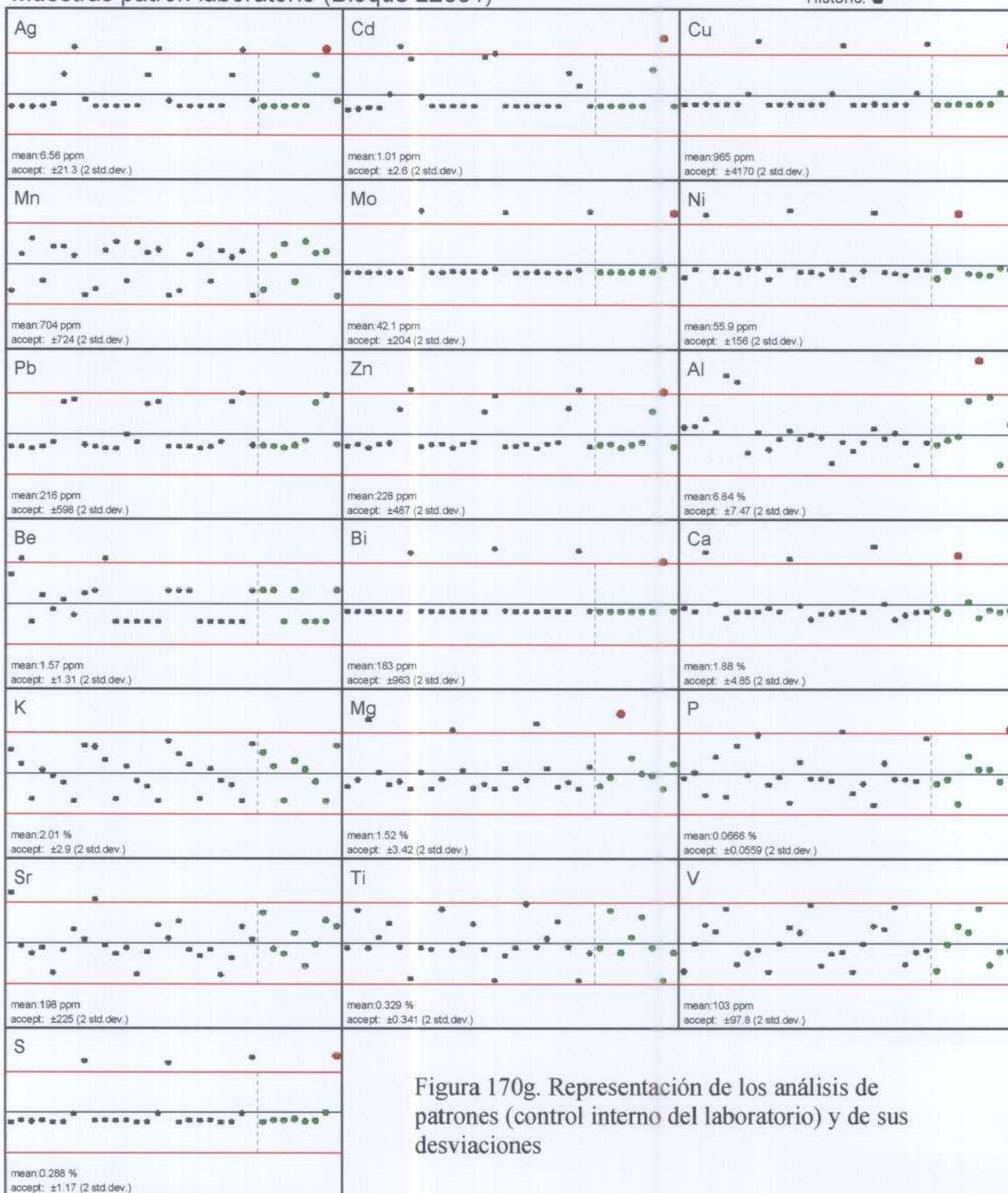


Figura 170g. Representación de los análisis de patrones (control interno del laboratorio) y de sus desviaciones

Duplicados laboratorio

Fail: ● +/-2 std. dev.  
 Pass: ●  
 Historic: ●

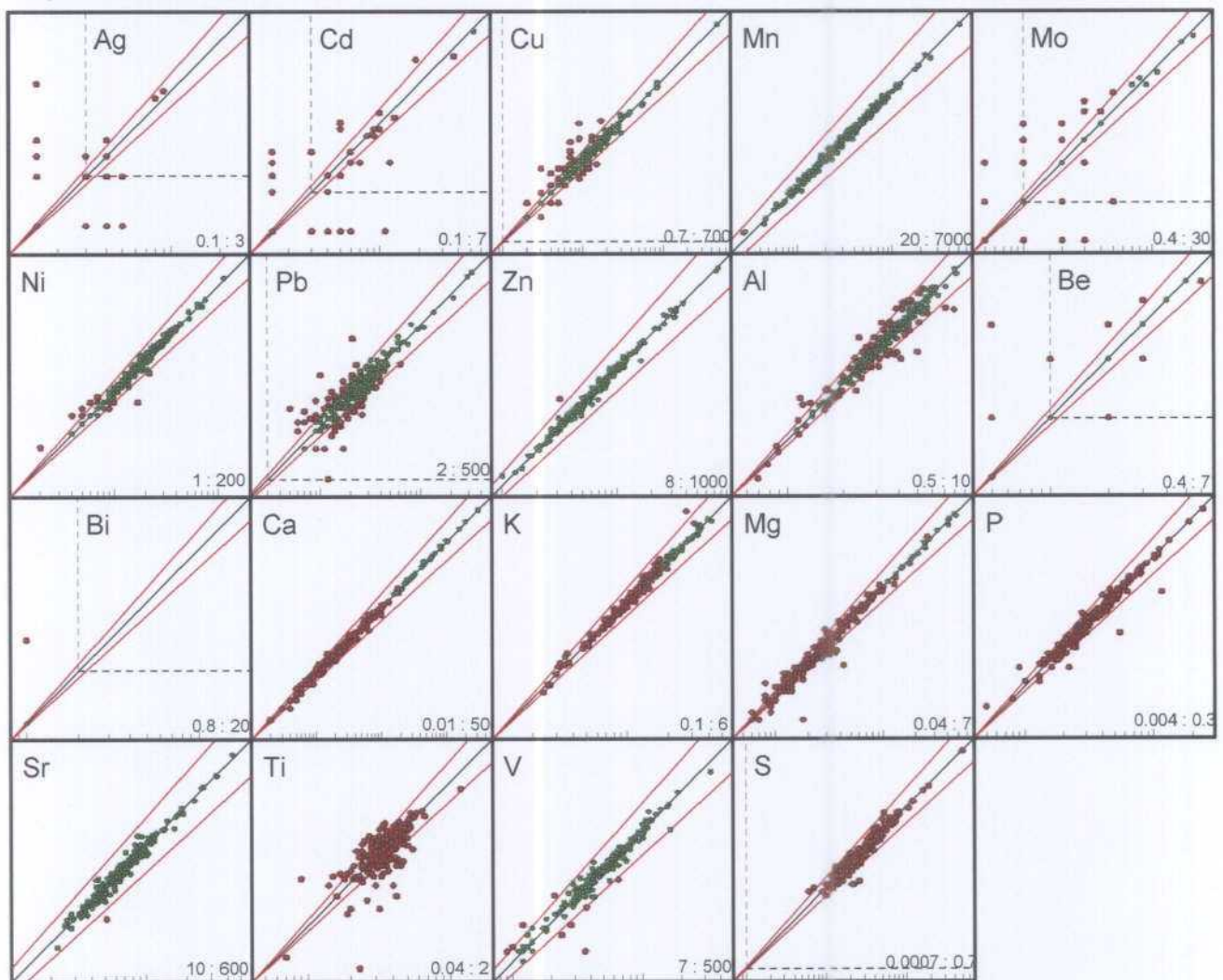


Figura 171. Diagramas de correlación de los análisis de las muestras duplicadas

Duplicados de campo

Fail: ● +/-2 std. dev.  
 Pass: ●  
 Historic: ●

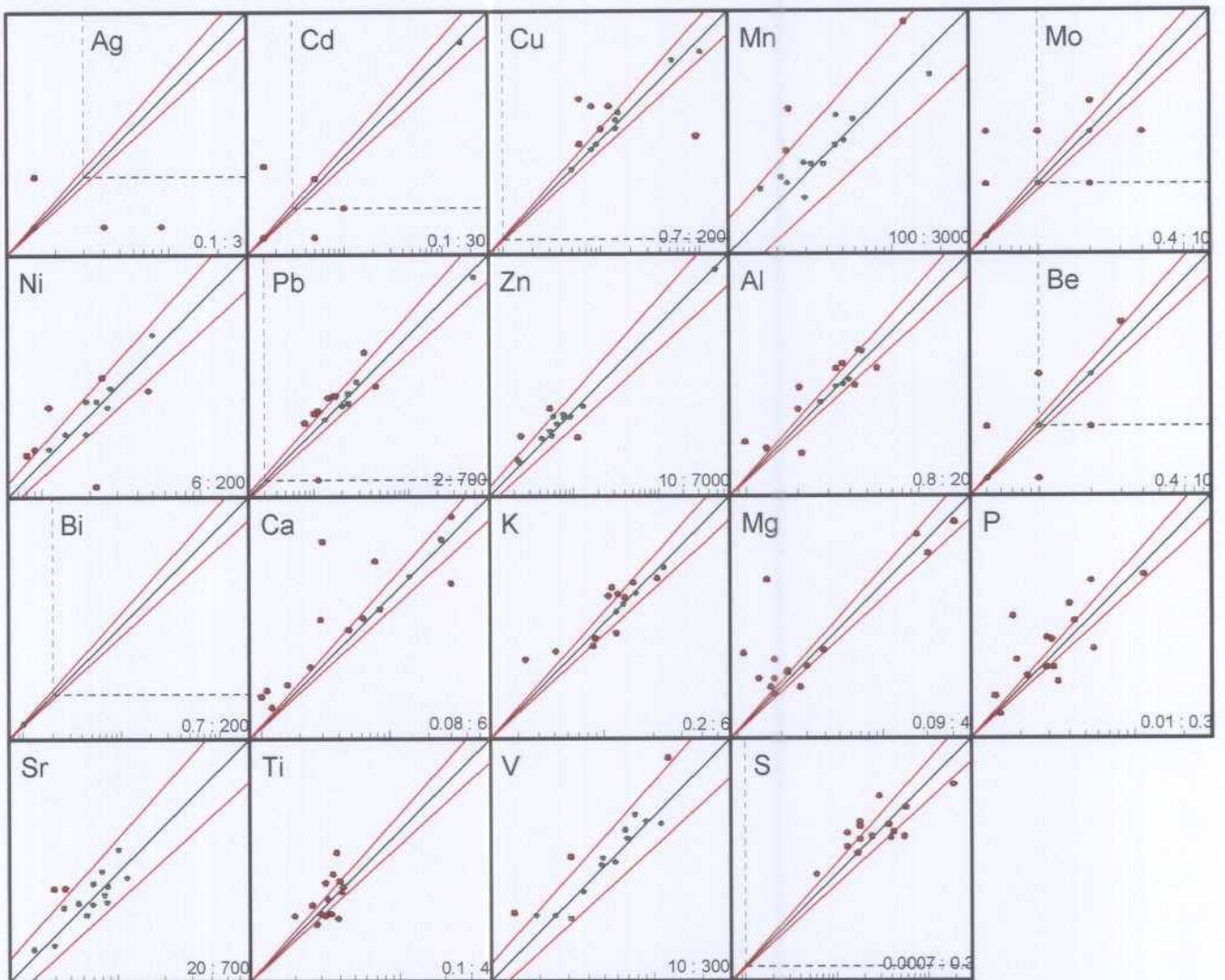
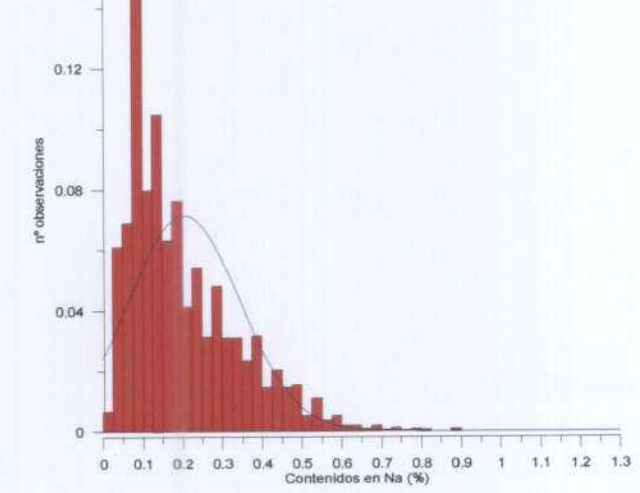
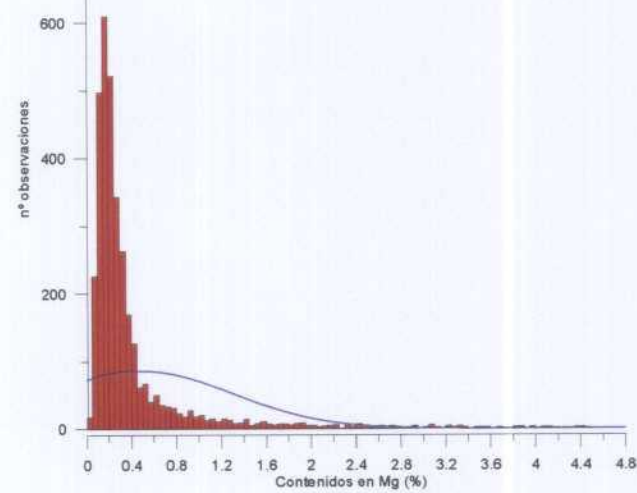
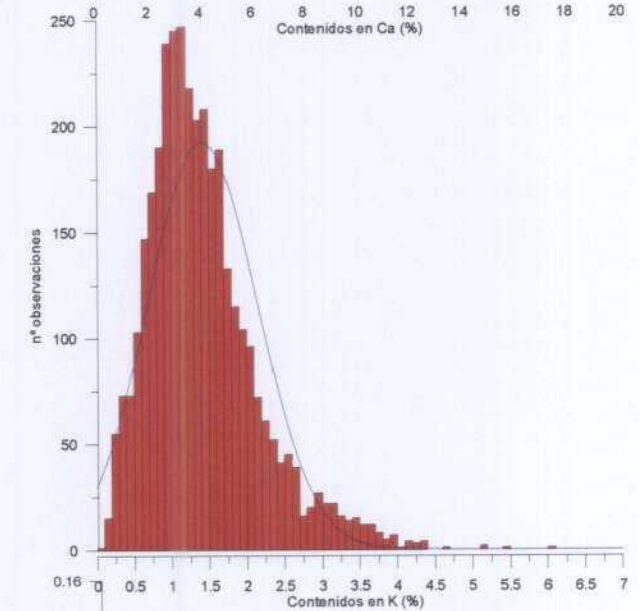
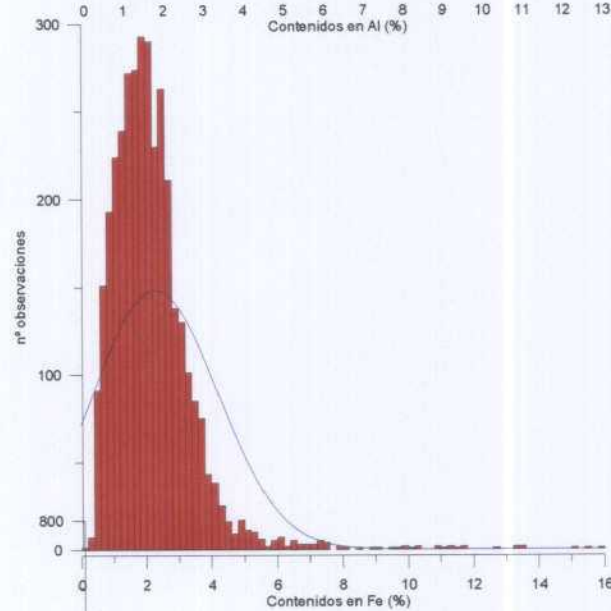
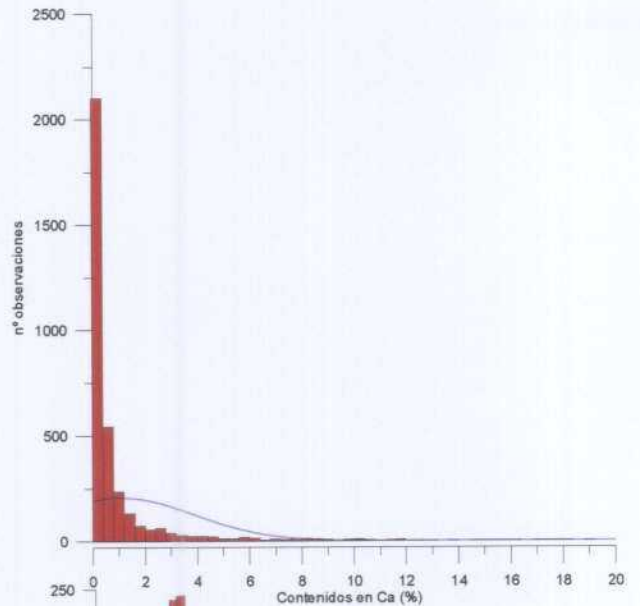
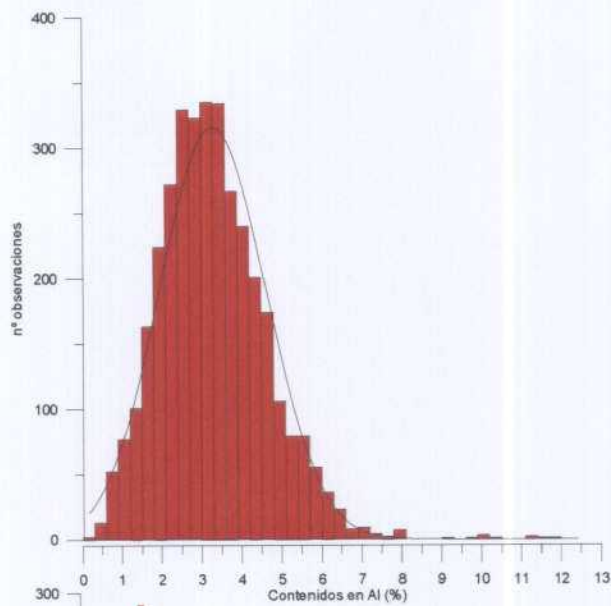
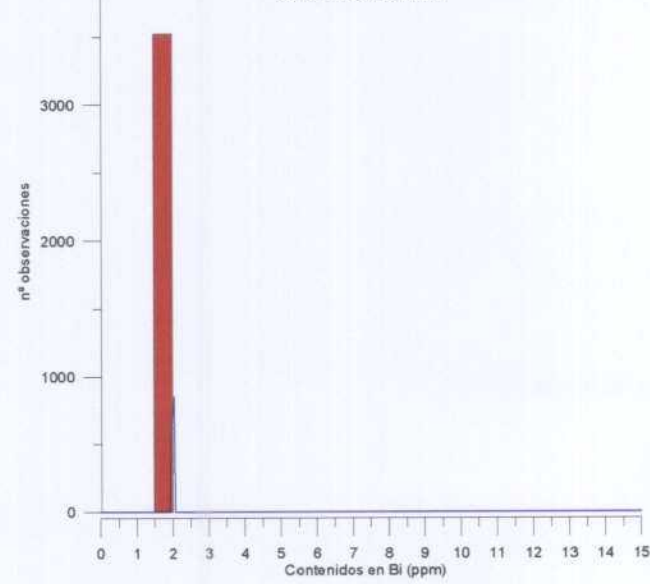
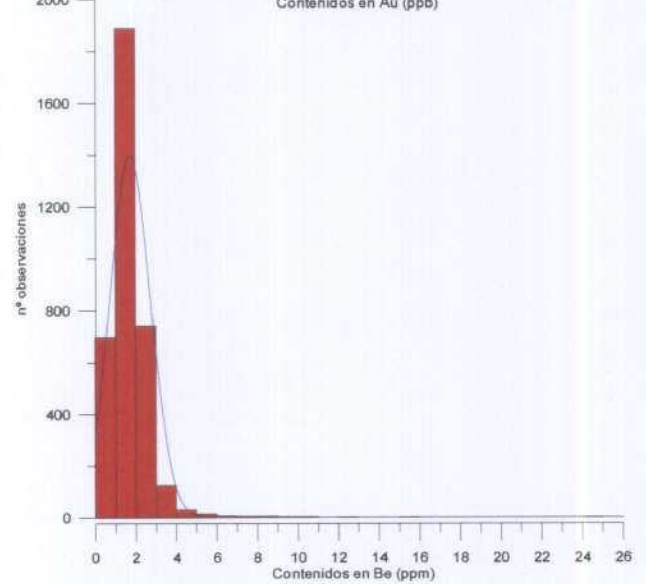
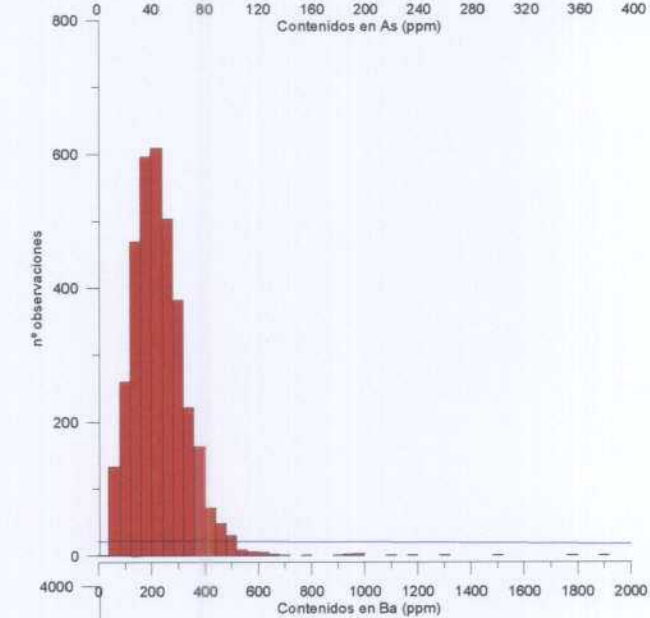
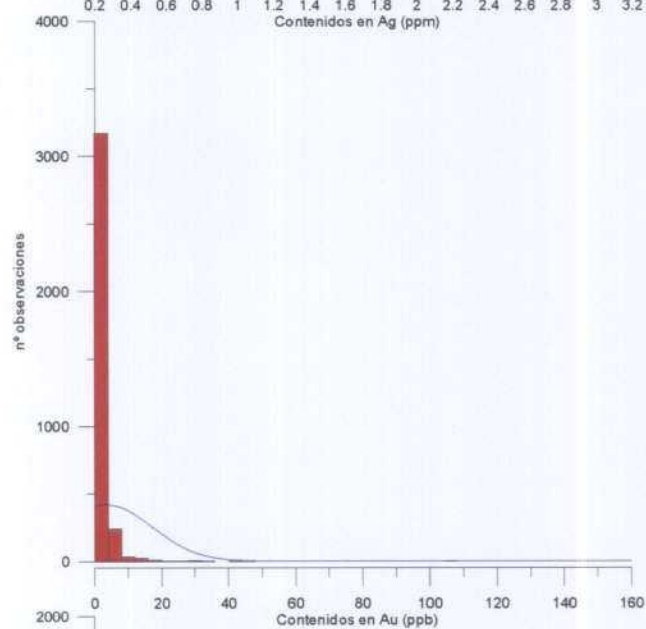
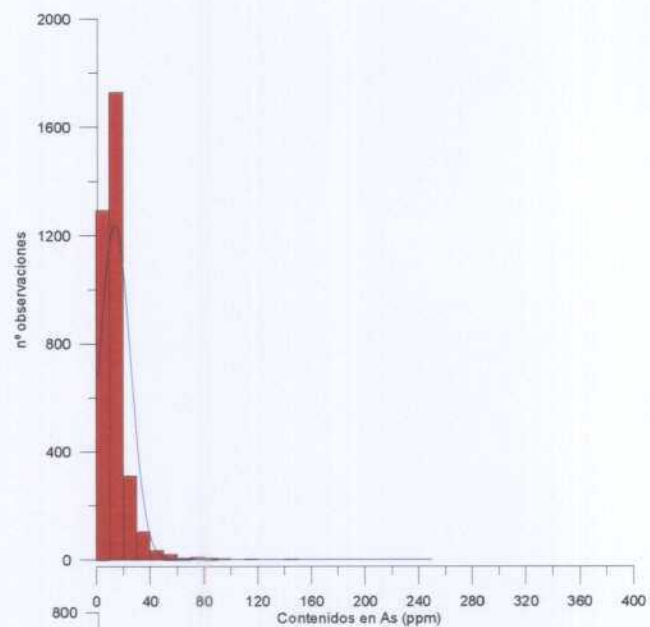
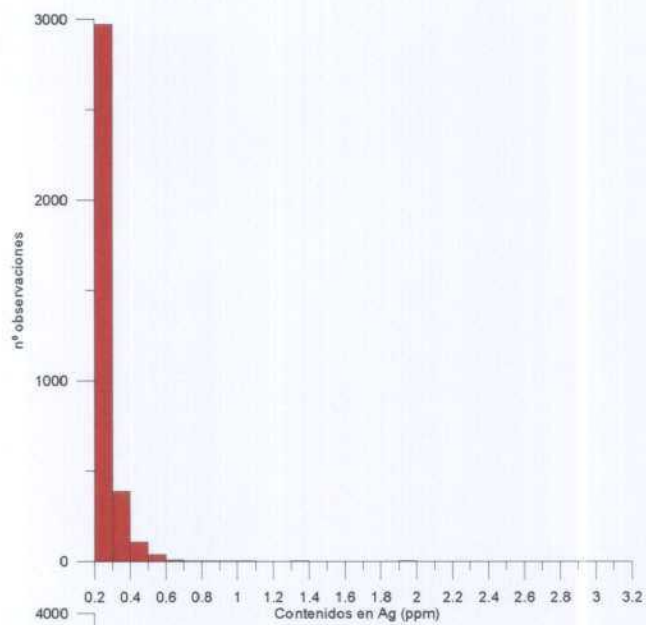


Figura 172. Diagramas de correlación de los análisis de las muestras con duplicados de campo



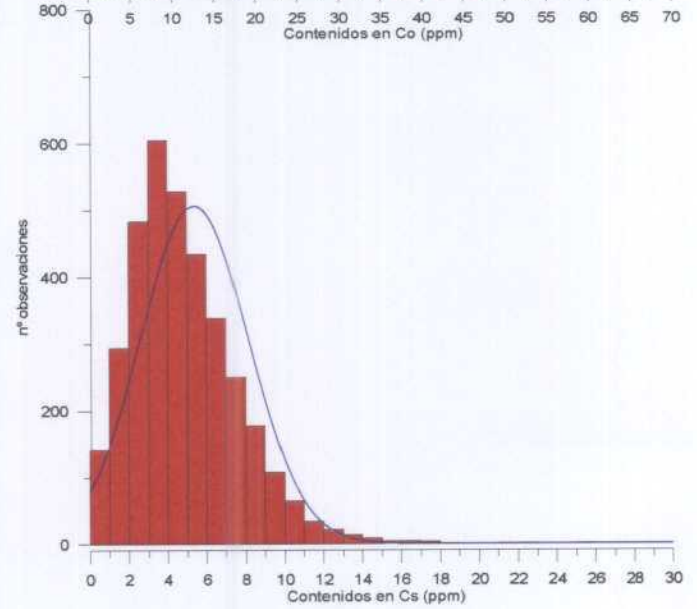
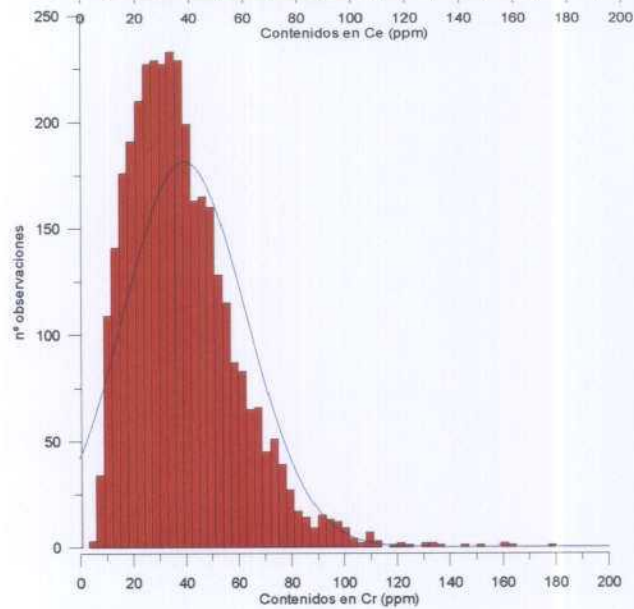
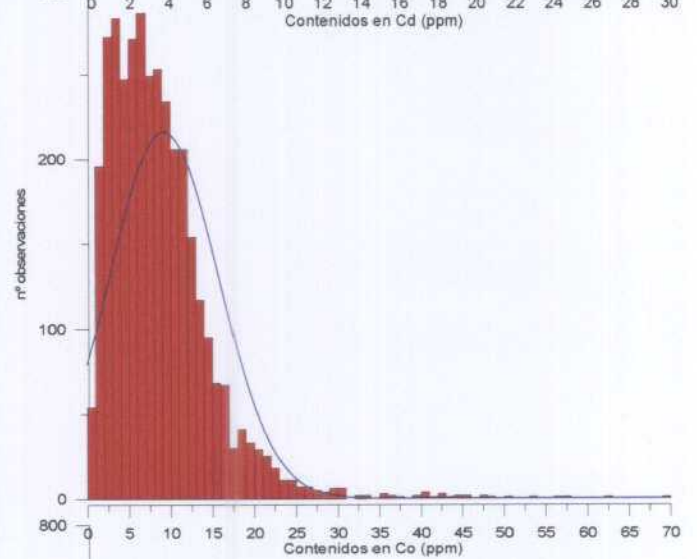
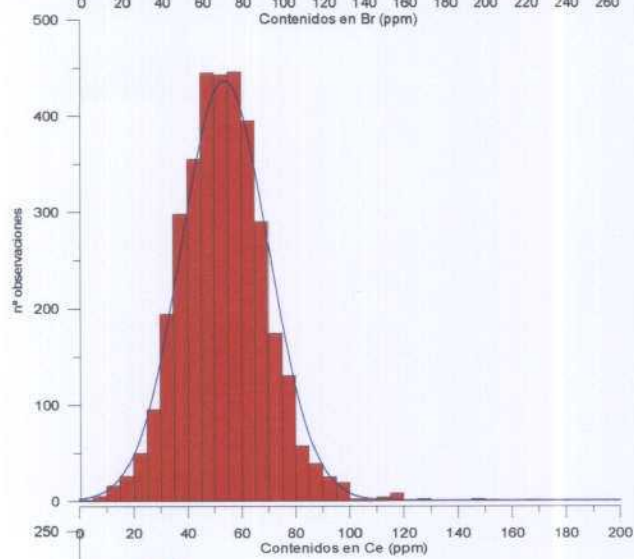
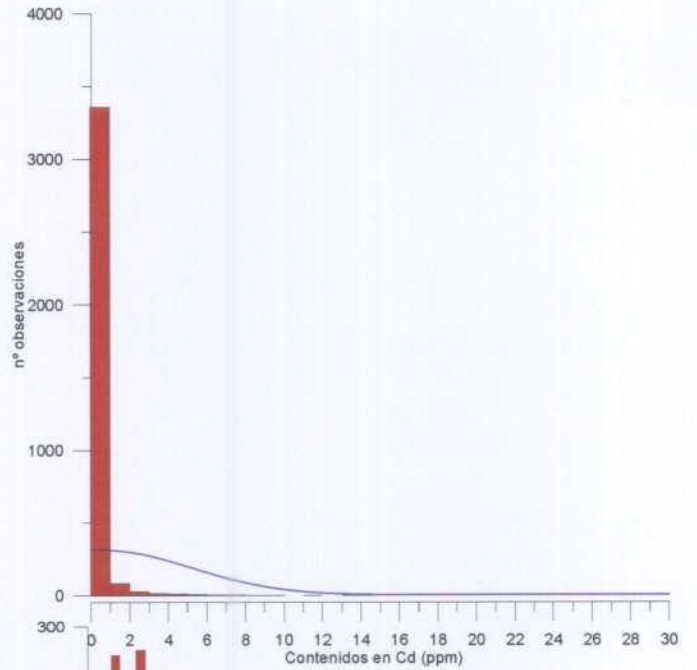
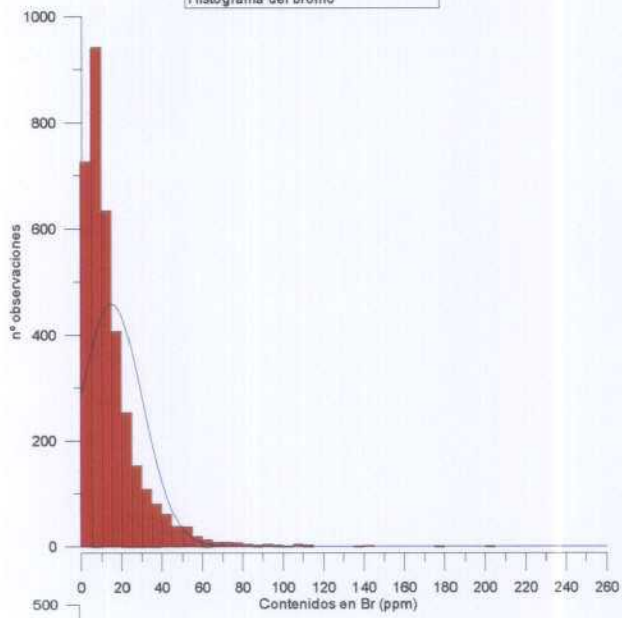
Figuras 173 a178. Histogramas de elementos mayores en la población total de sedimentos y suelos



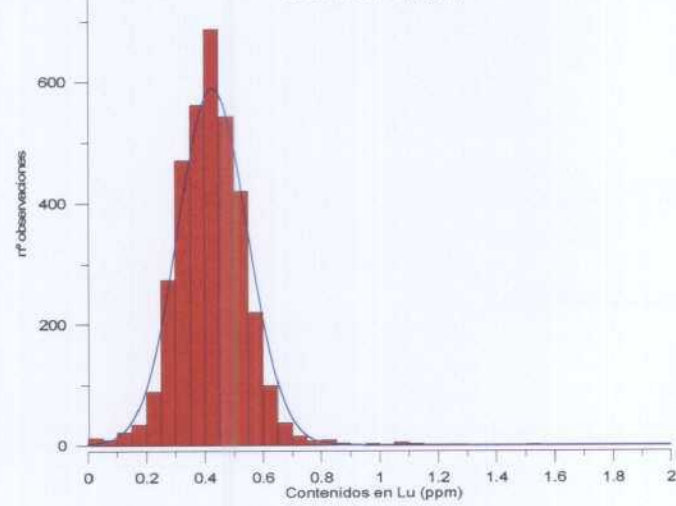
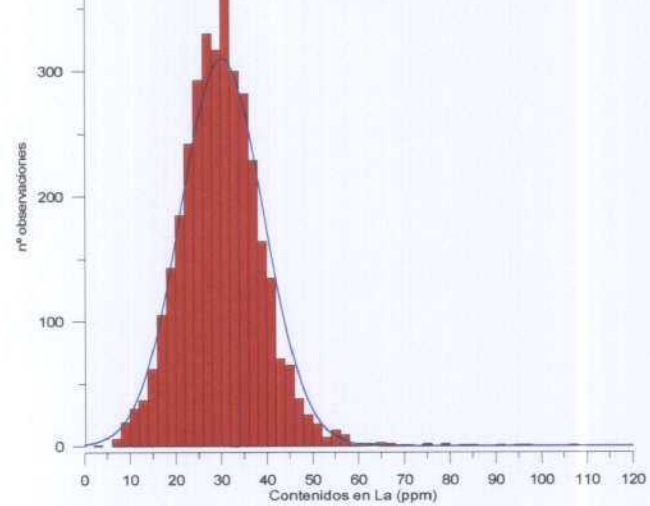
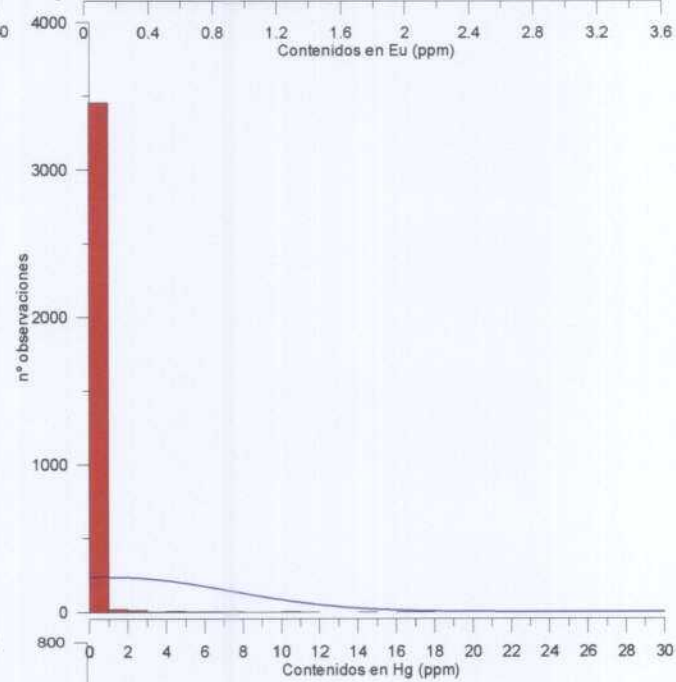
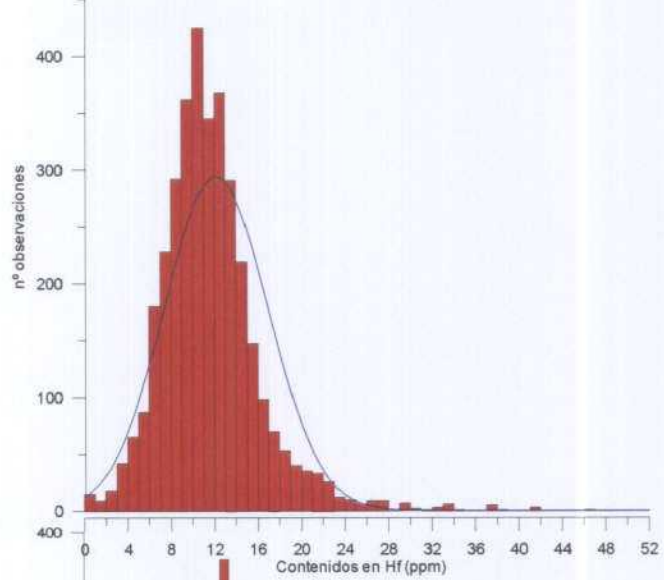
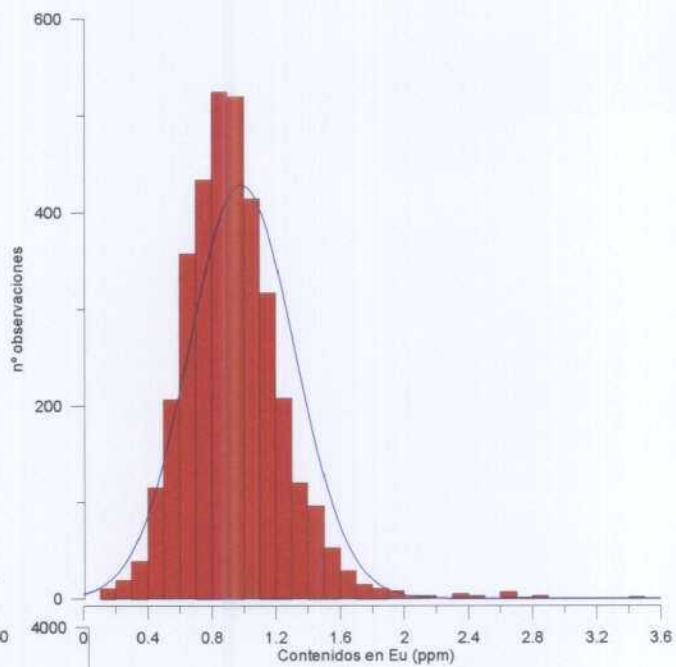
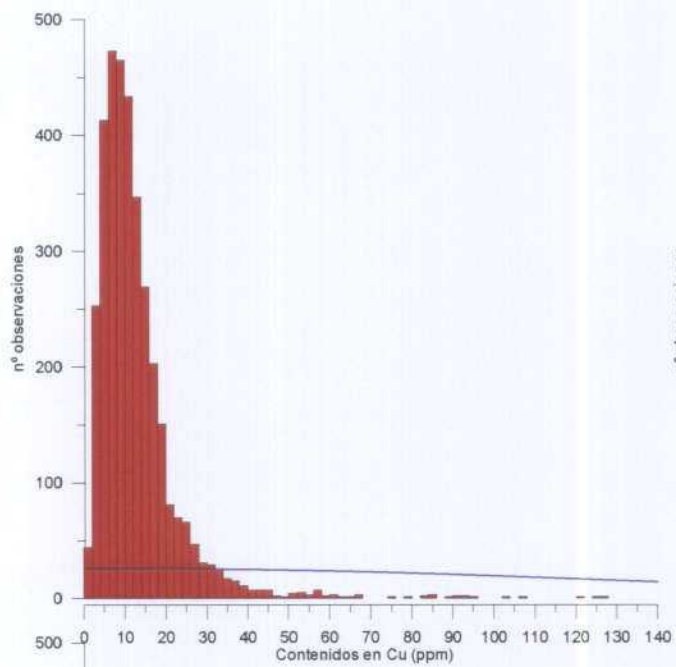
Figuras 179 a 184. Histogramas de elementos traza en la población total de sedimentos y suelos



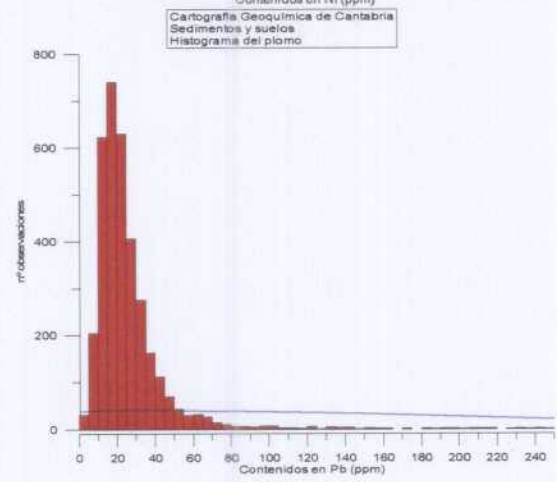
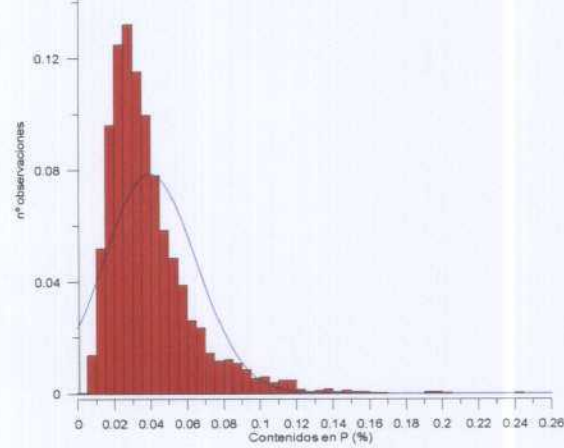
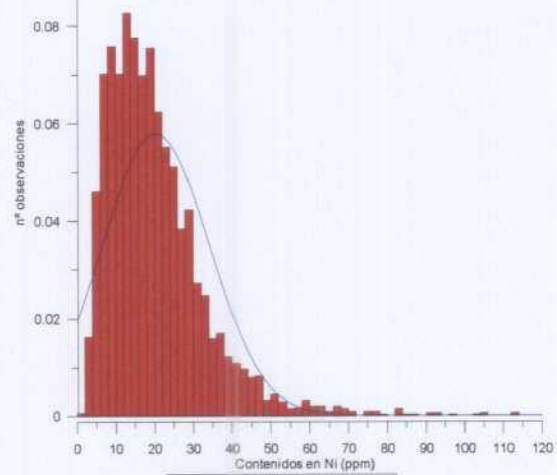
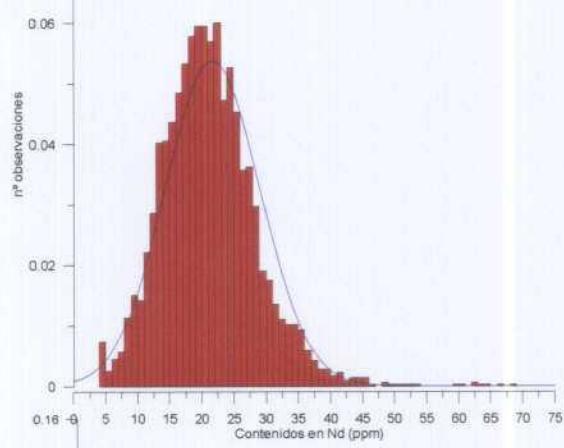
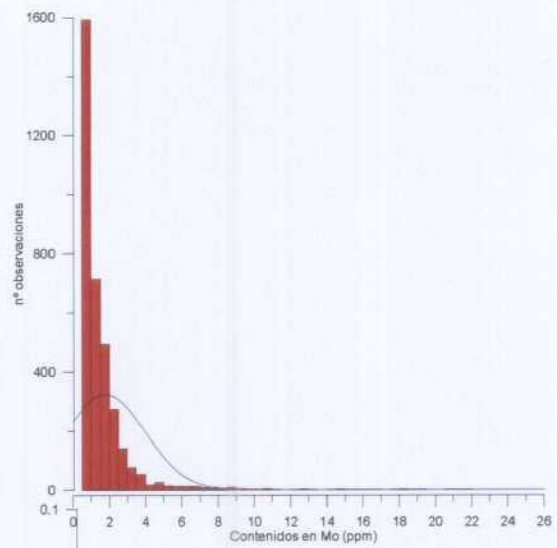
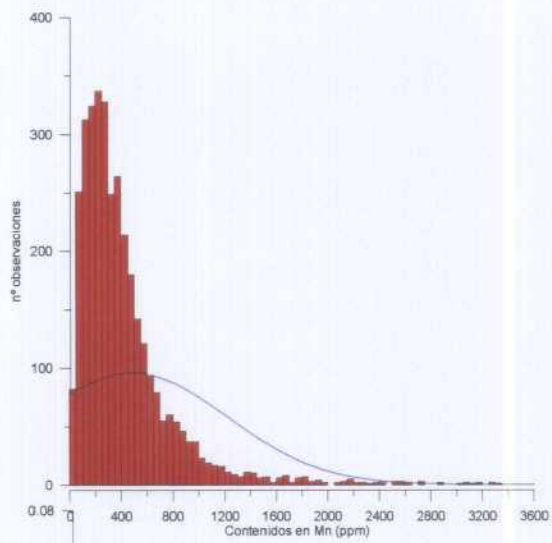
Cartografía Geoquímica de Cantabria  
Sedimentos y suelos  
Histograma del bromo



Figuras 185 a 190. Histogramas de elementos traza en la población total de sedimentos y suelos

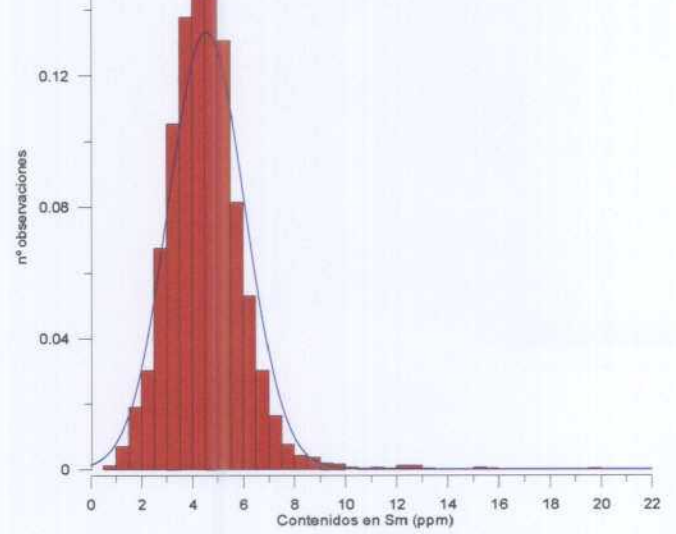
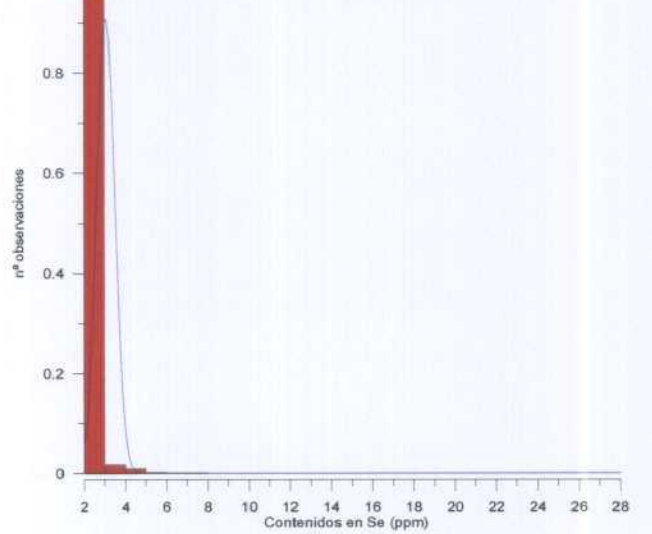
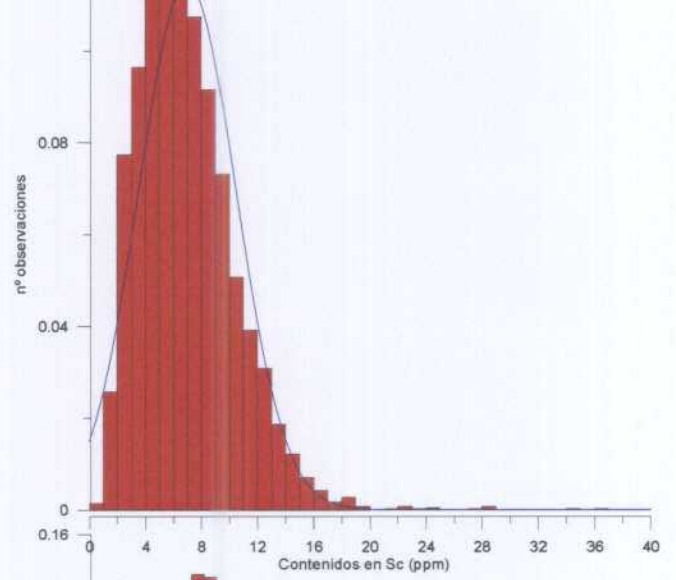
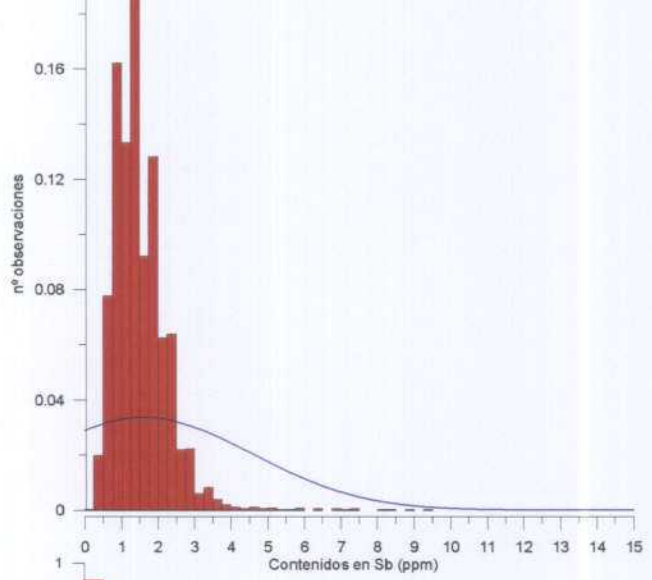
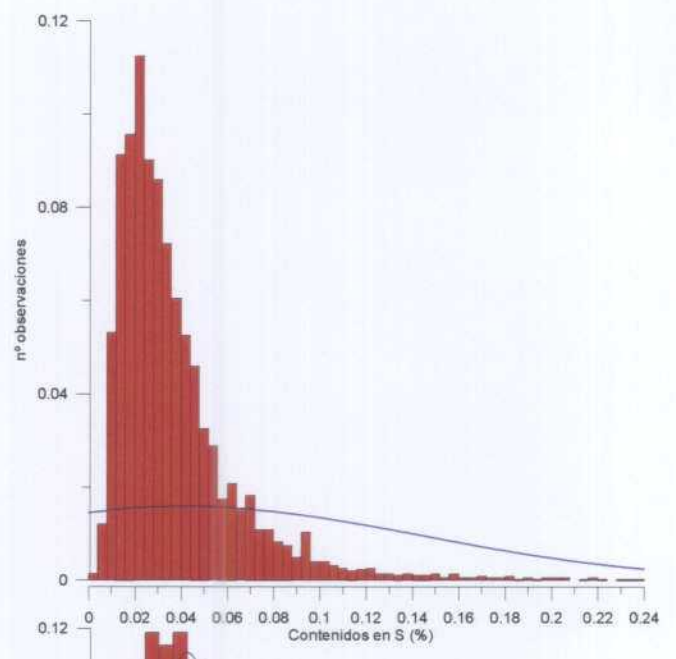
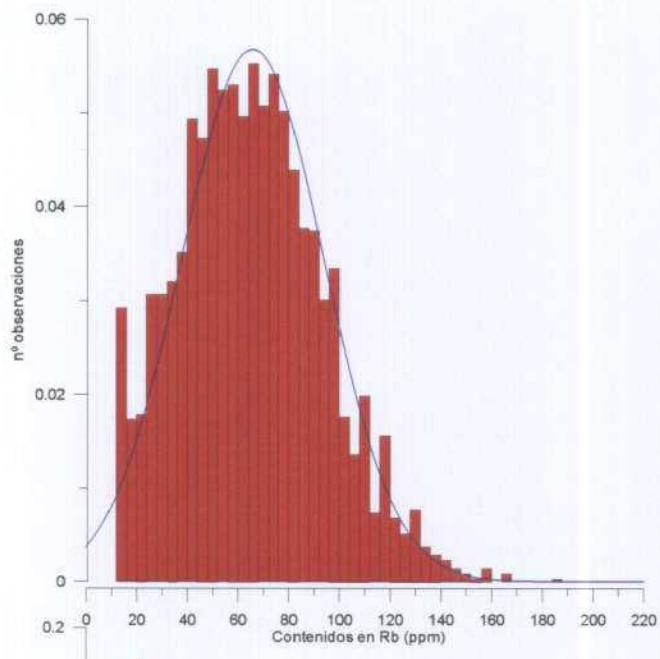


Figuras 191 a 196. Histogramas de elementos traza en la población total de sedimentos y suelos

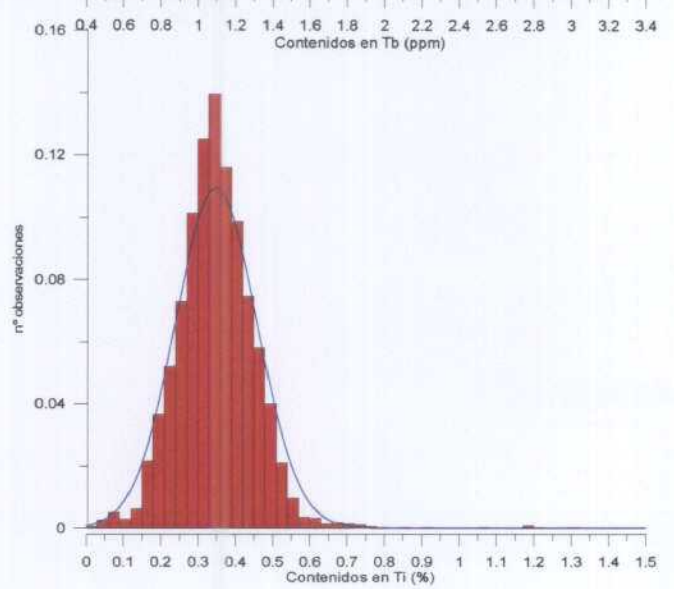
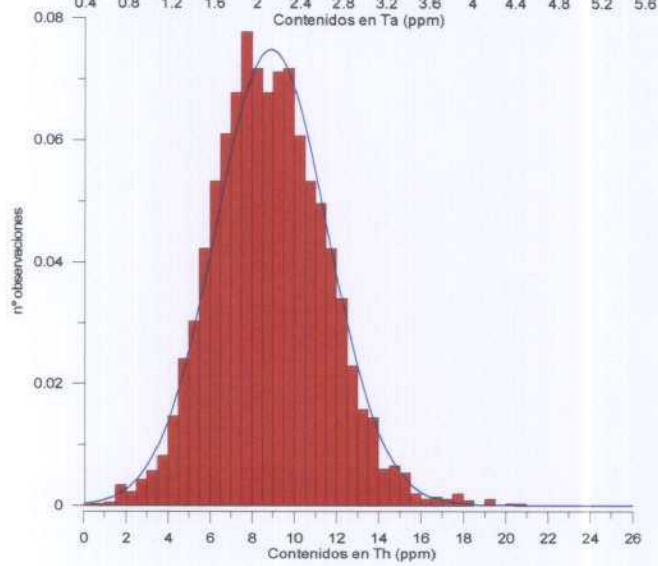
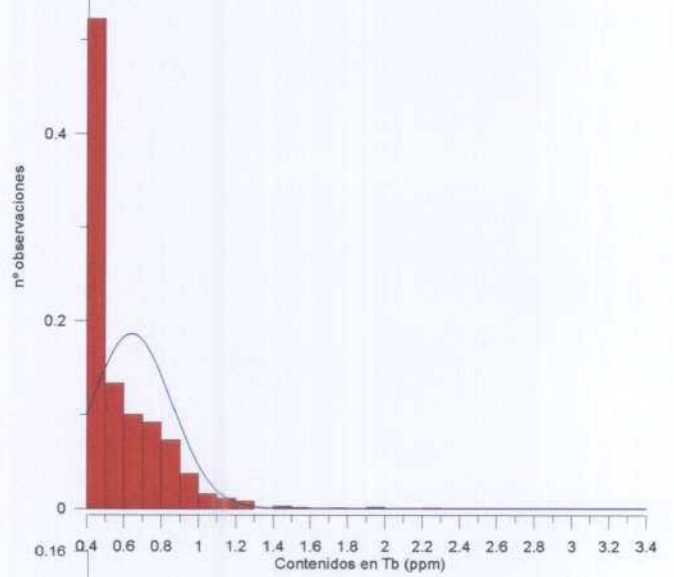
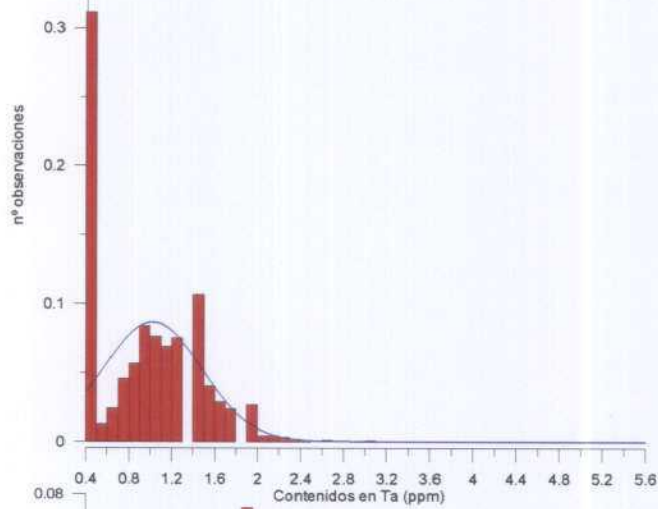
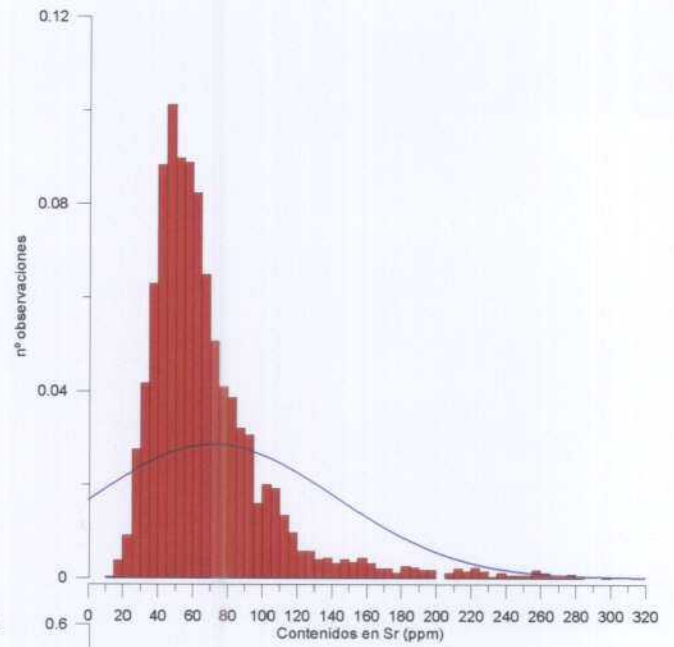
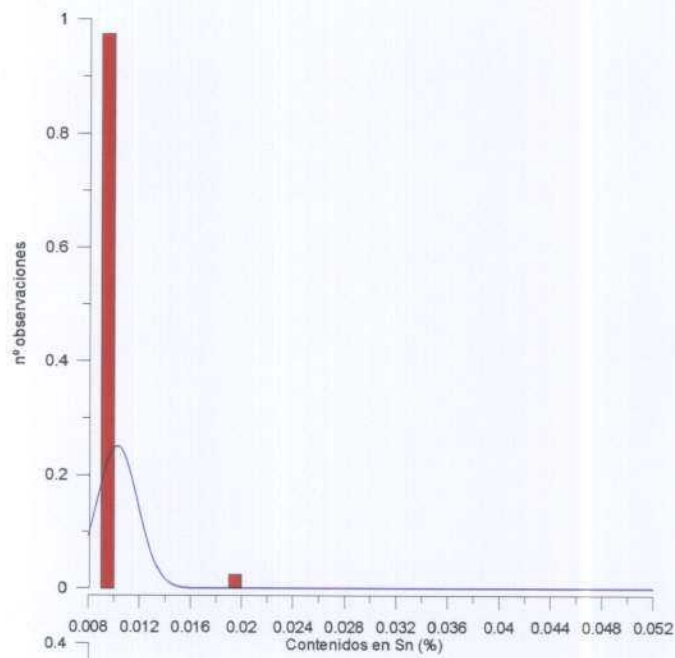


Cartografía Geoquímica de Cantabria  
Sedimentos y suelos  
Histograma del plomo

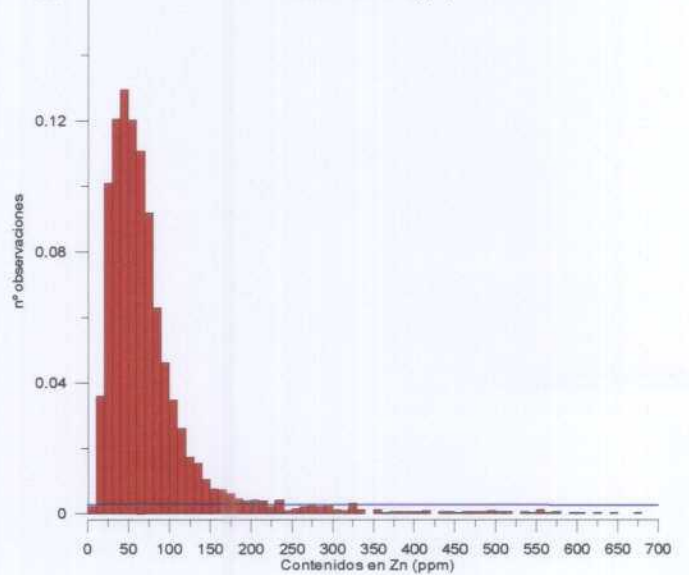
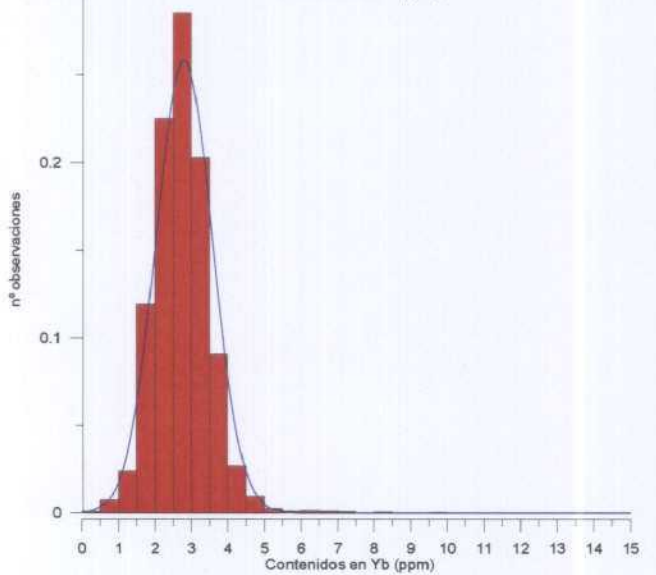
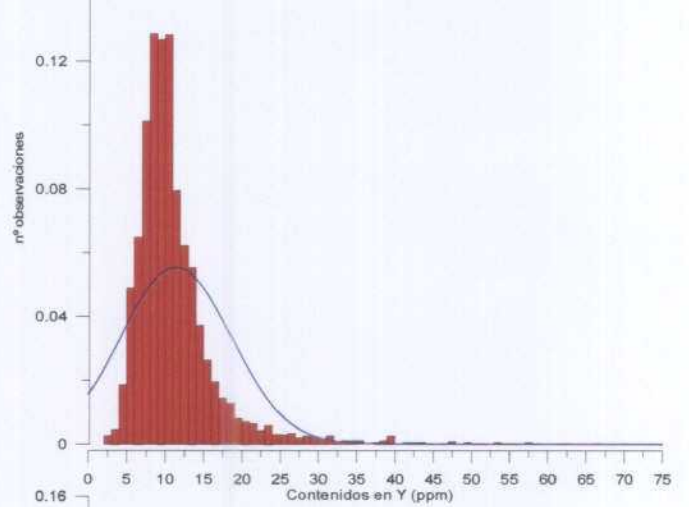
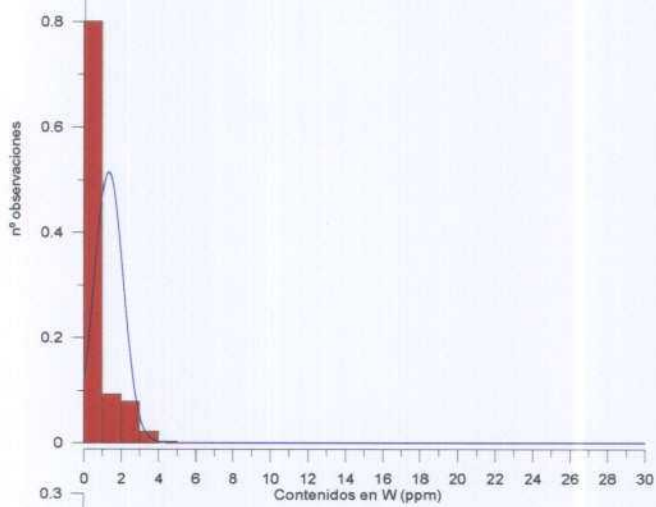
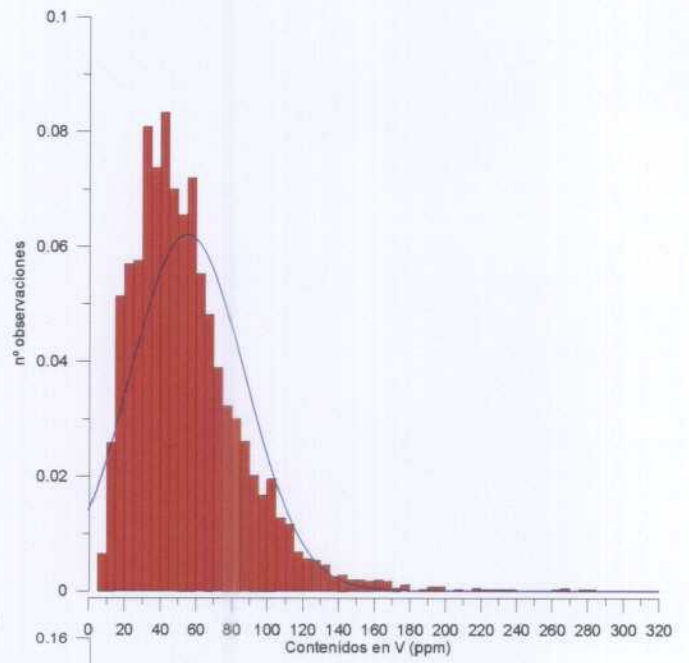
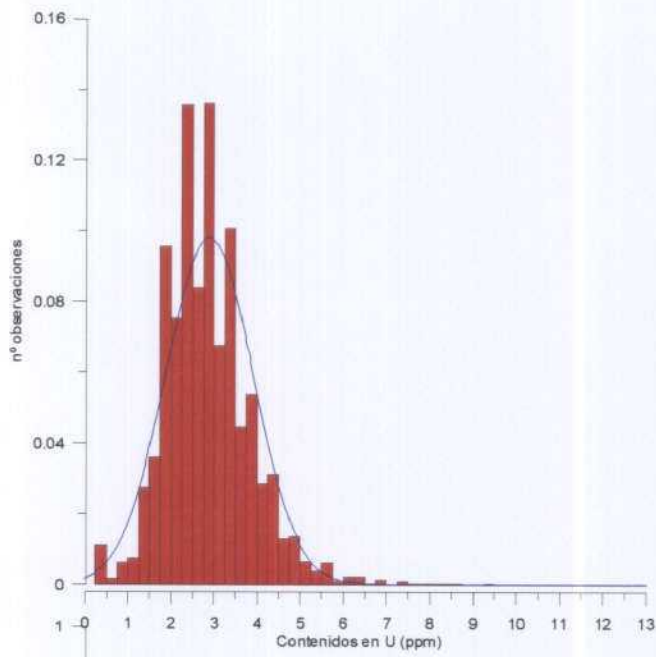
Figuras 197 a 202. Histogramas de elementos traza en la población total de sedimentos y suelos



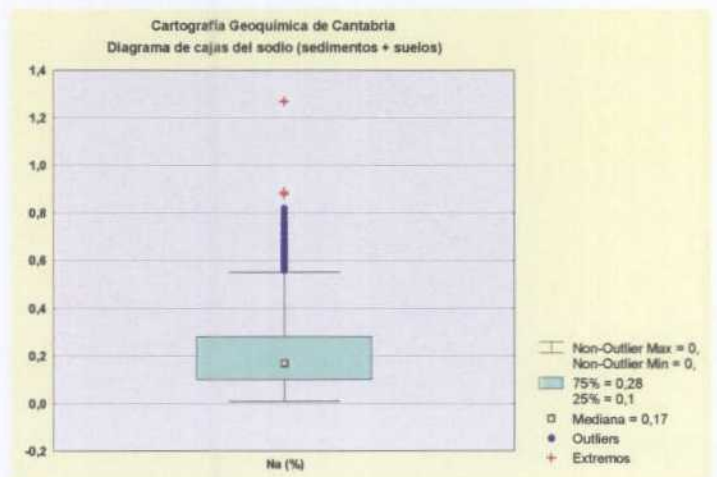
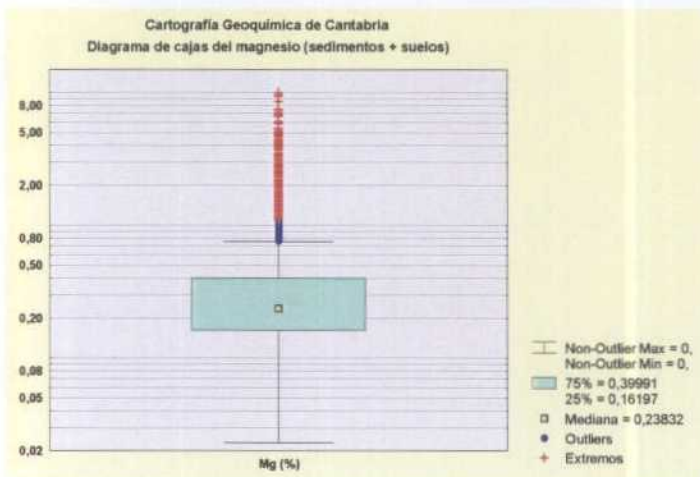
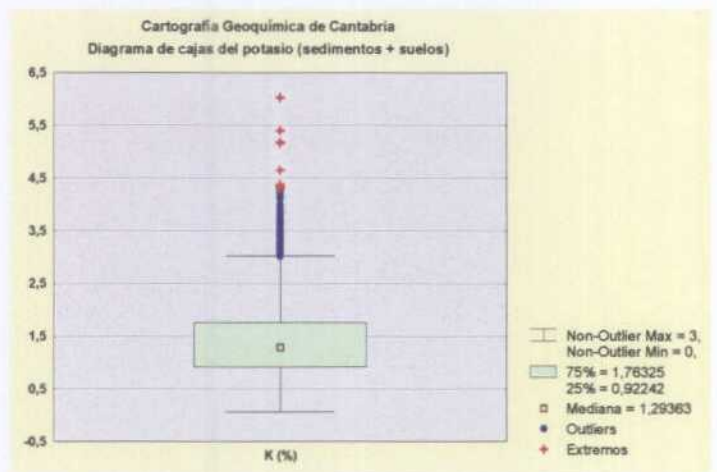
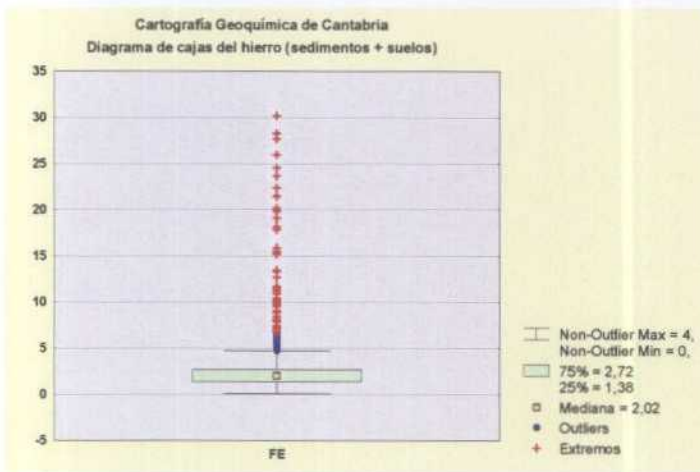
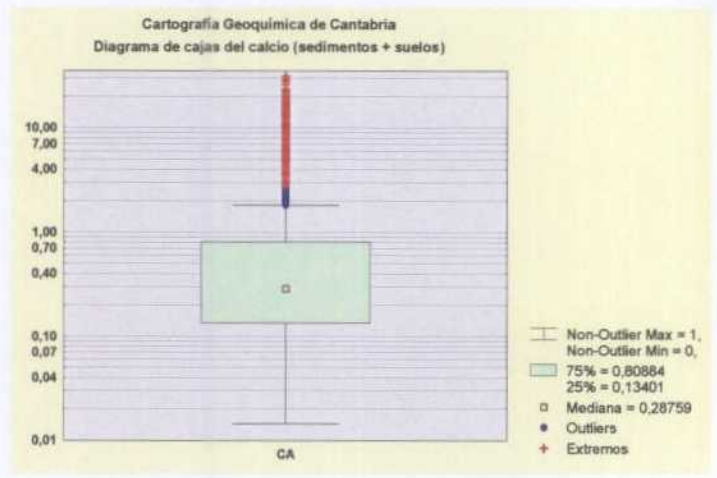
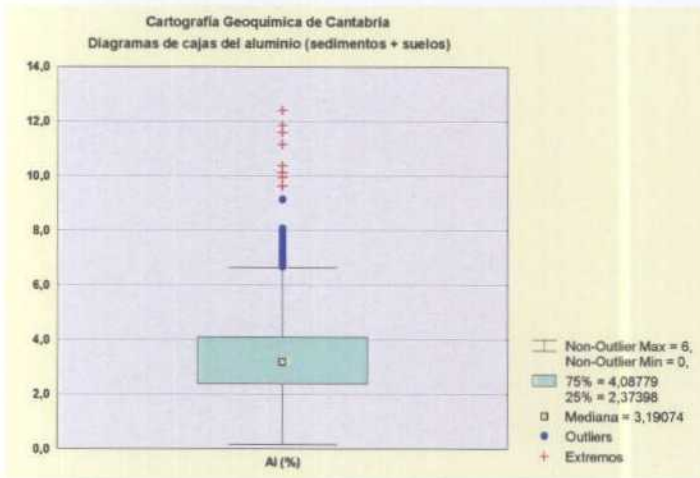
Figuras 203 a 208. Histogramas de elementos traza en la población total de sedimentos y suelos



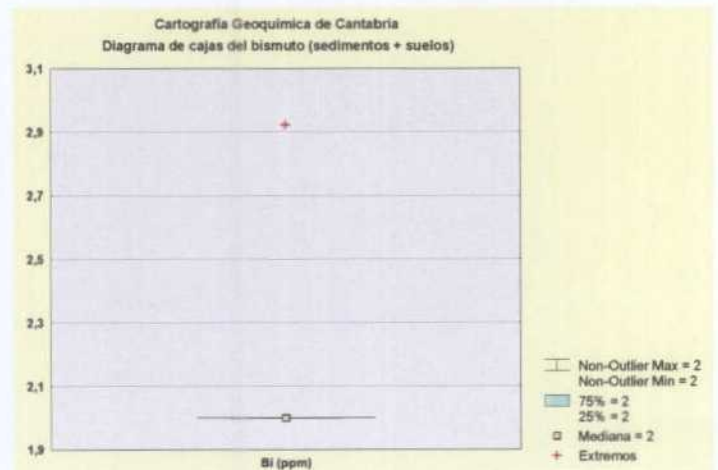
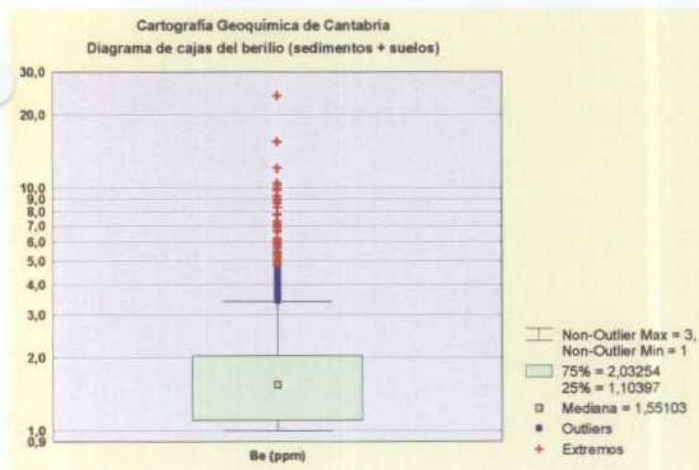
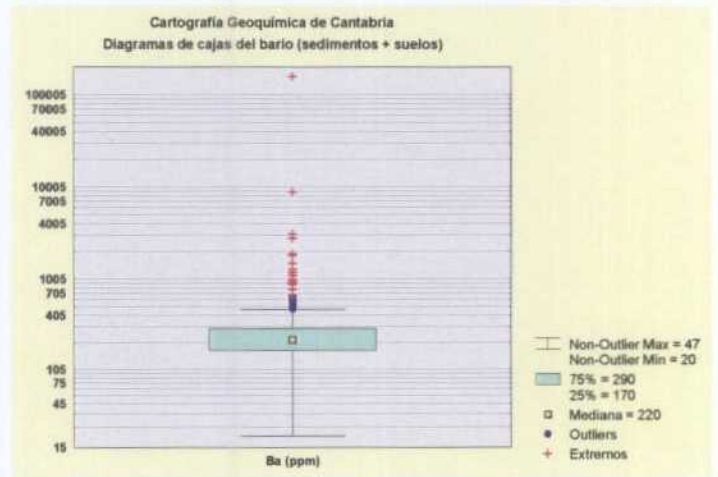
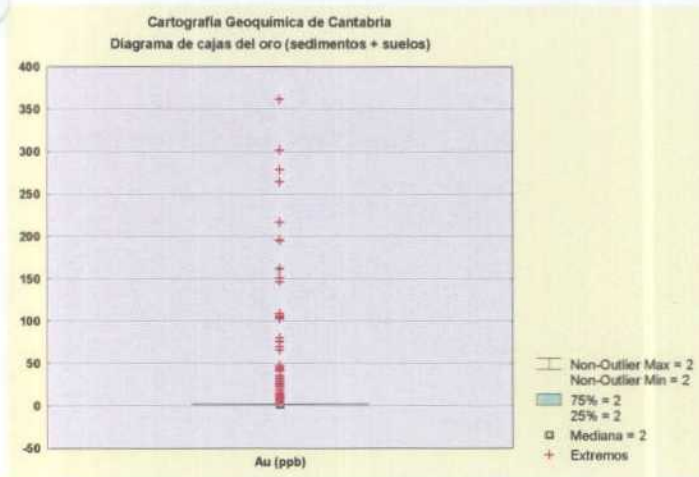
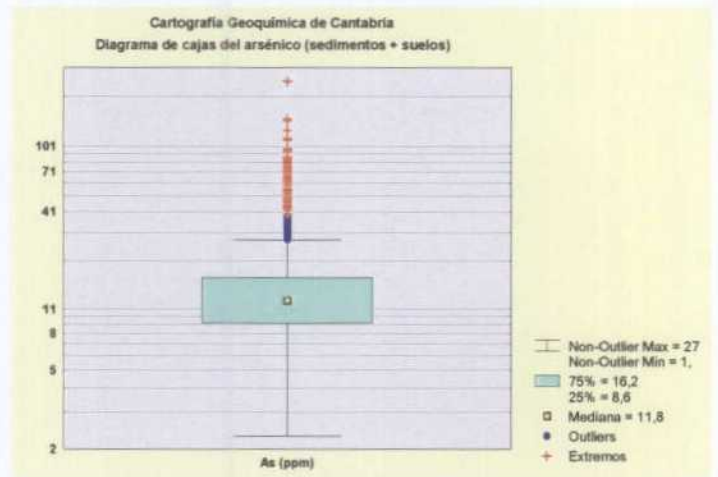
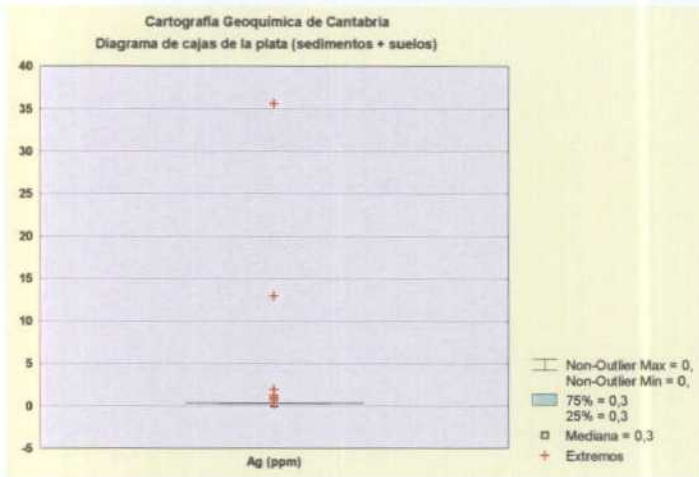
Figuras 209 a 214. Histogramas de elementos traza en la población total de sedimentos y suelos



Figuras 215 a 220. Histogramas de elementos traza en la población total de sedimentos y suelos

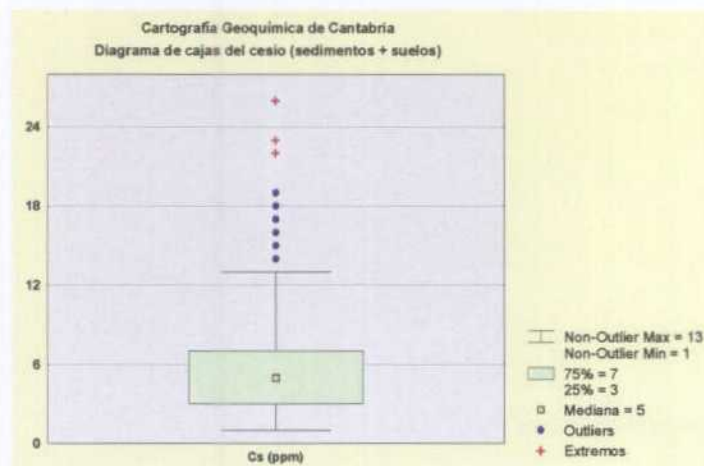
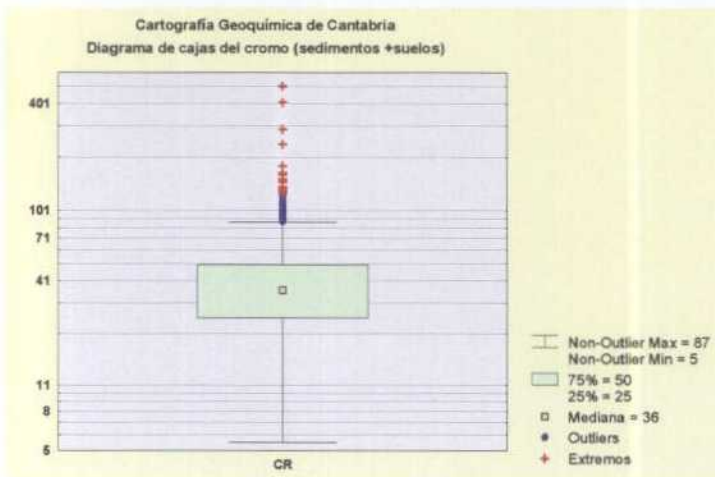
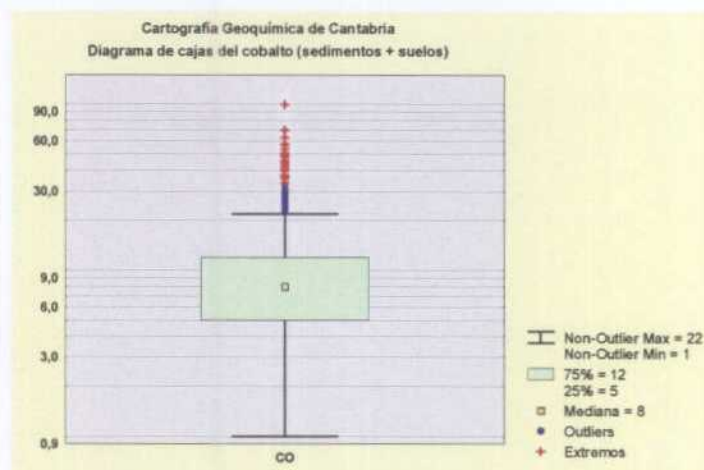
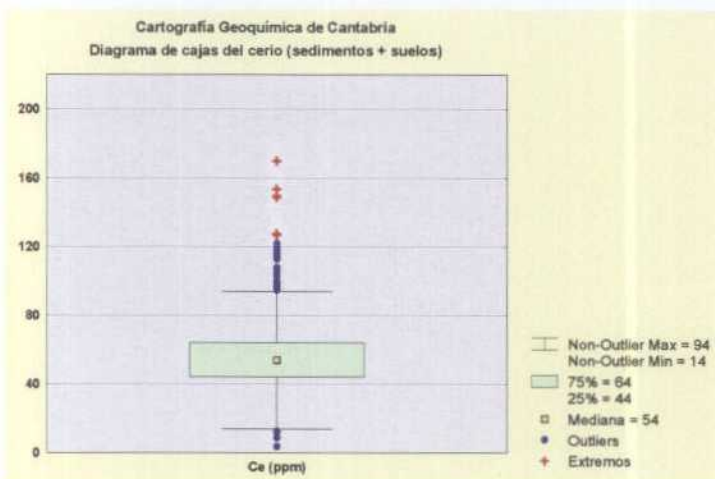
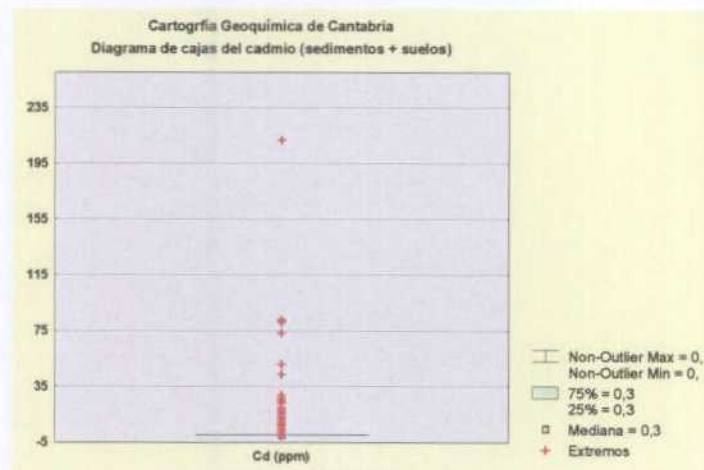
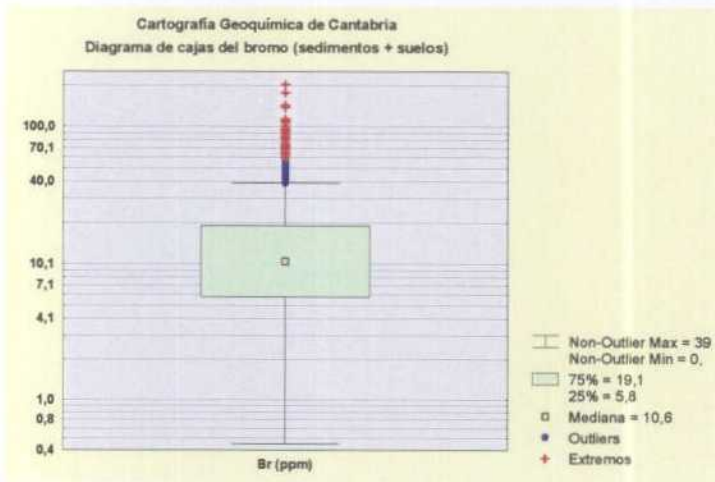


Figuras 227 a 232. Diagramas de cajas de elementos mayores en la población total (suelos y sedimentos)

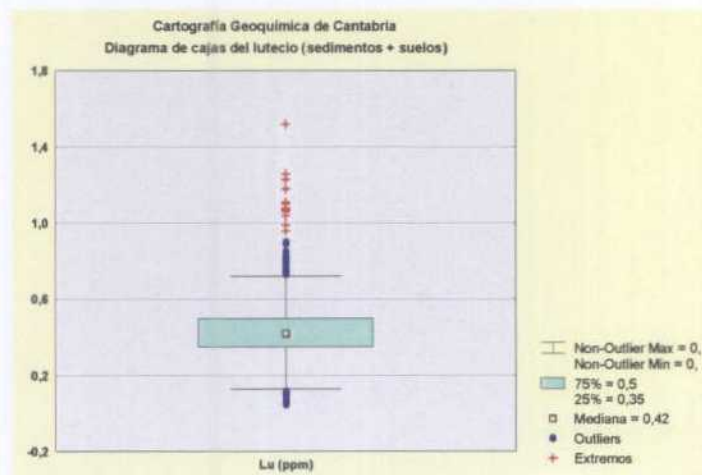
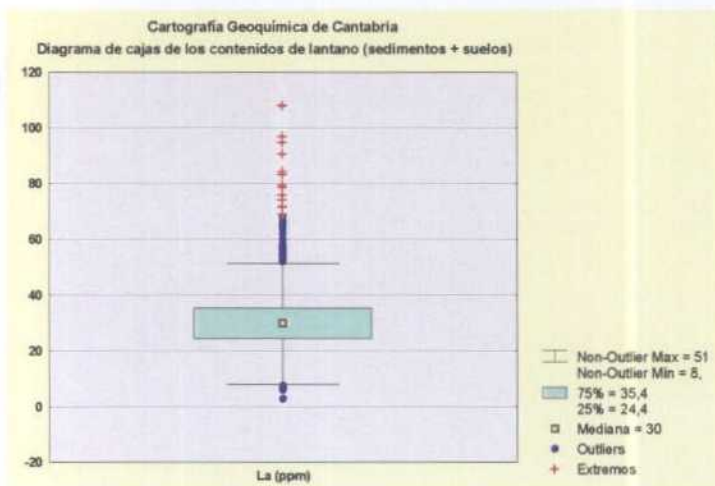
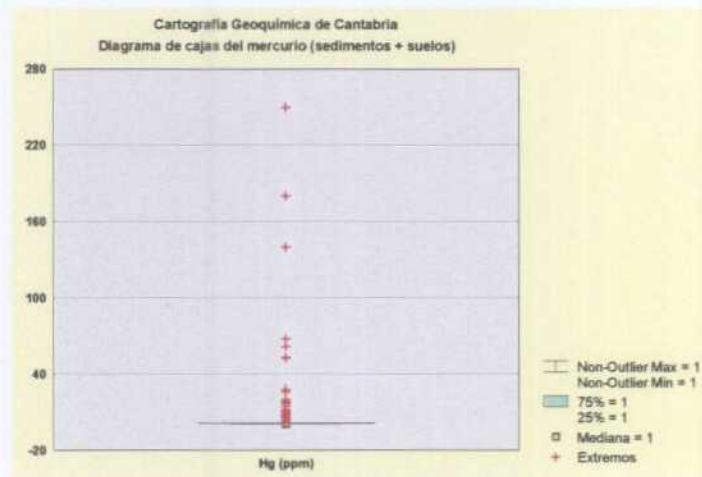
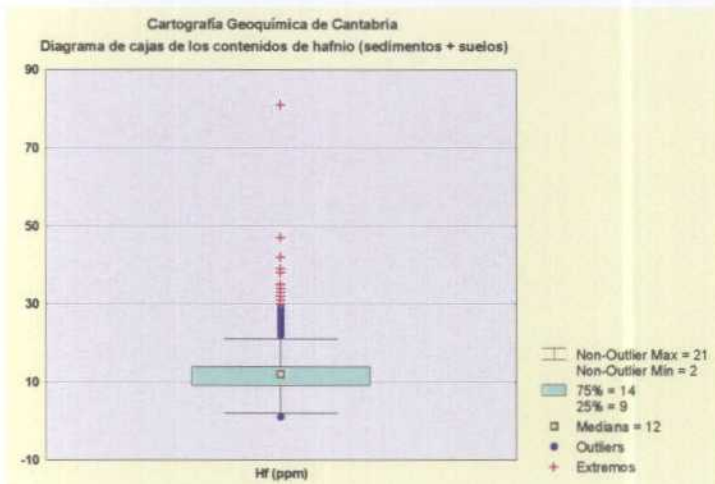
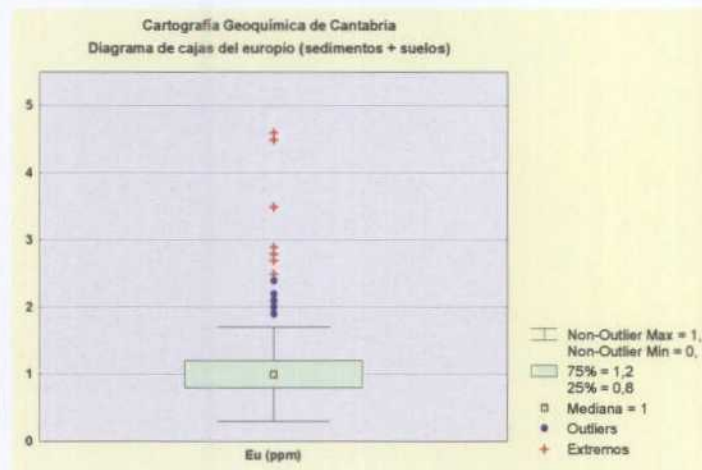
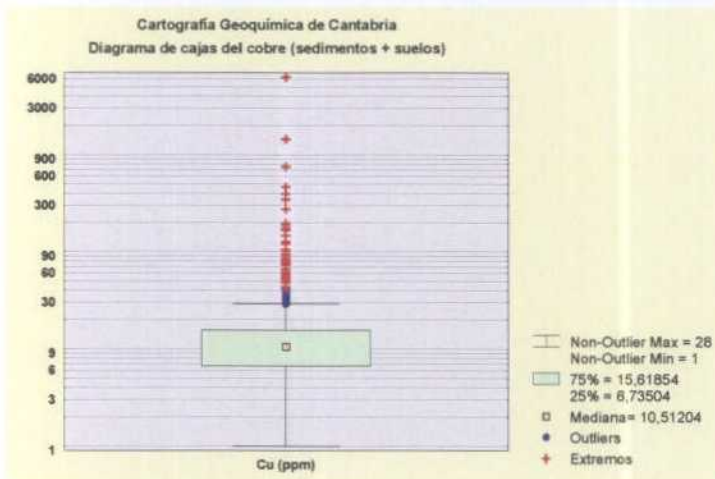


Figuras 233 a 238. Diagramas de cajas de elementos traza en la población total (suelos y sedimentos)

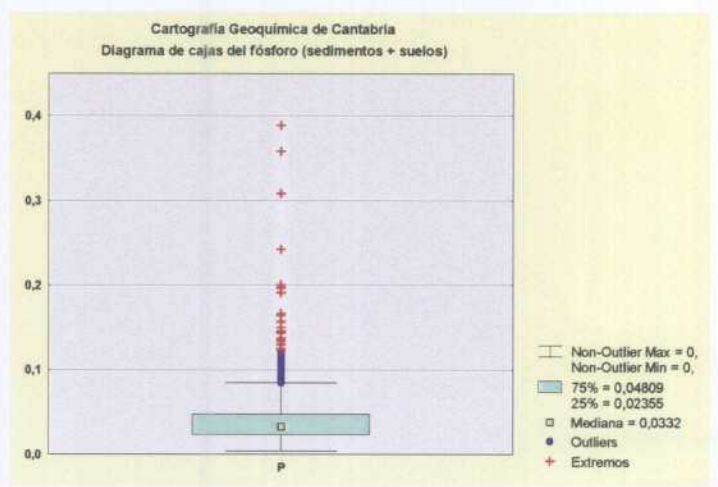
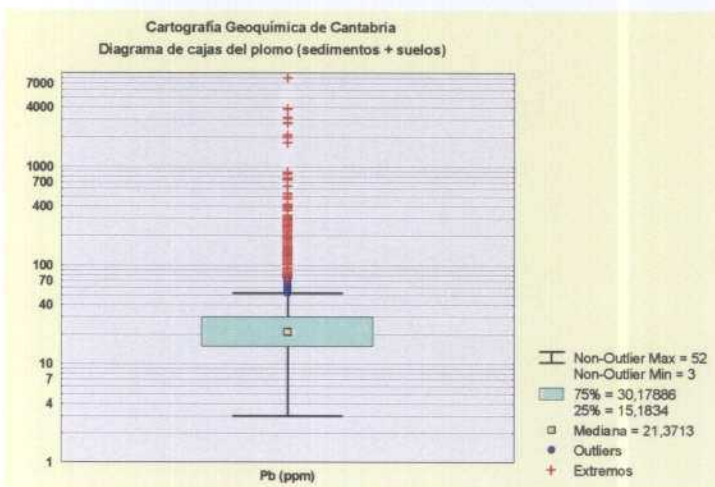
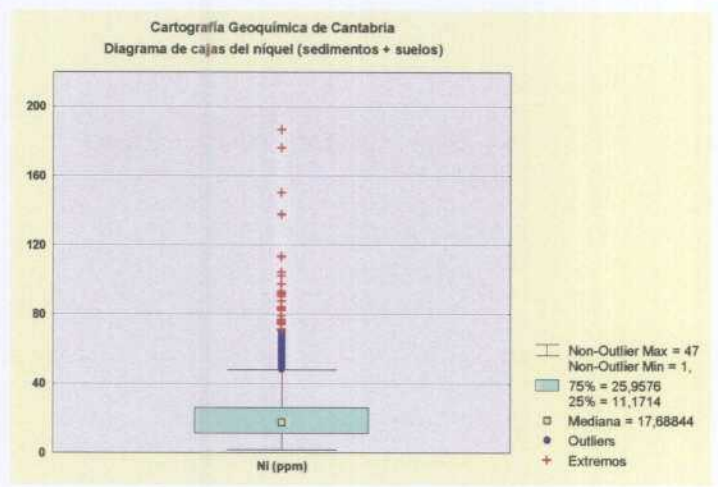
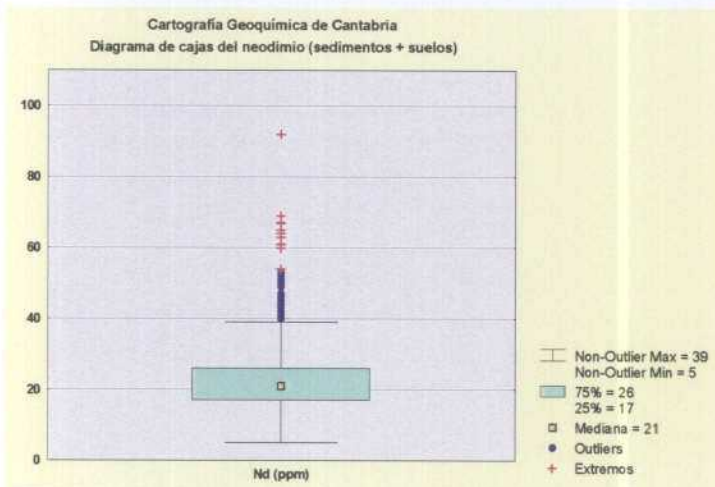
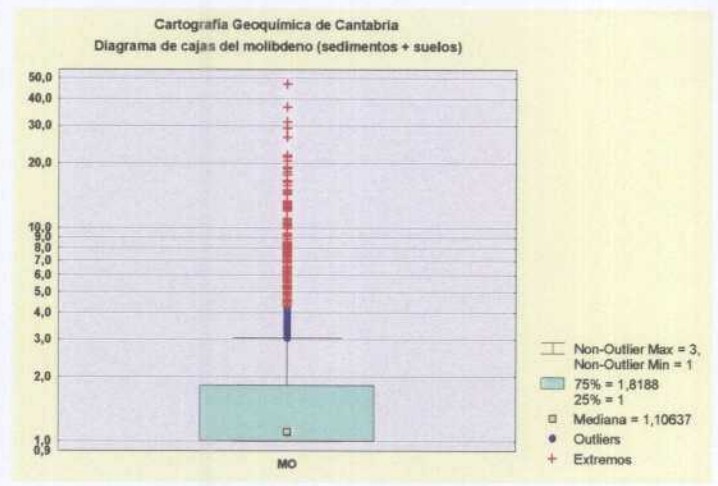
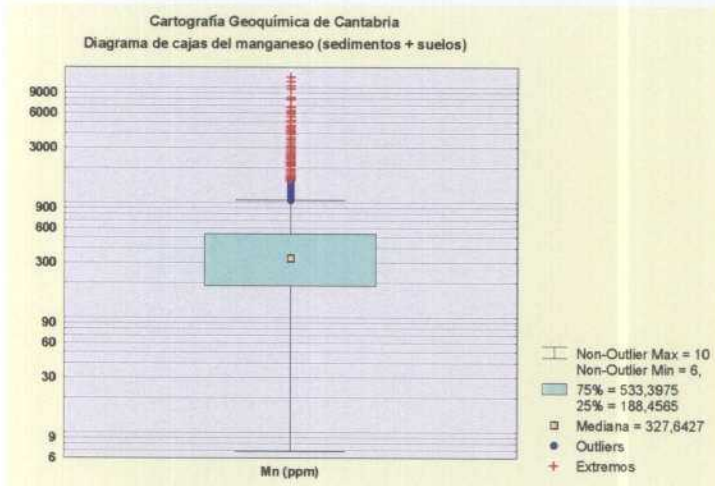




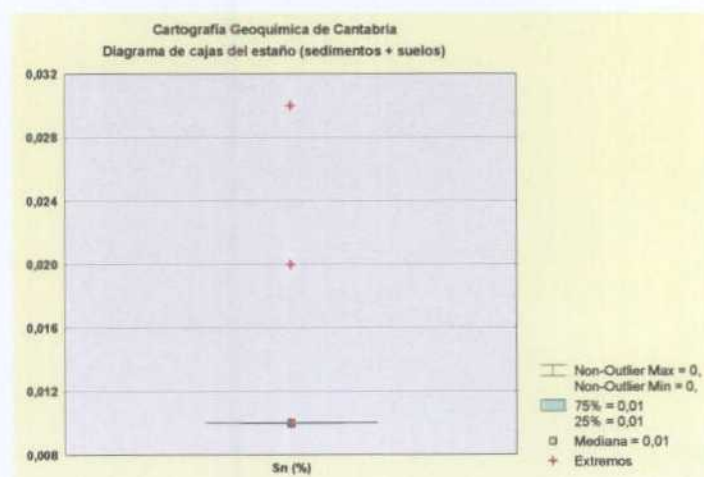
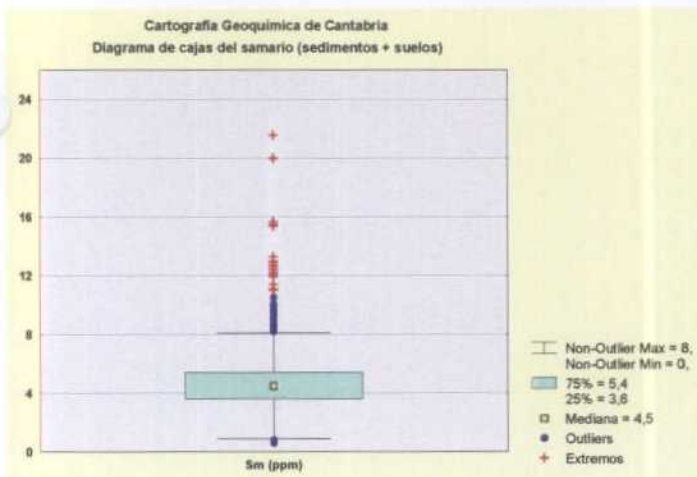
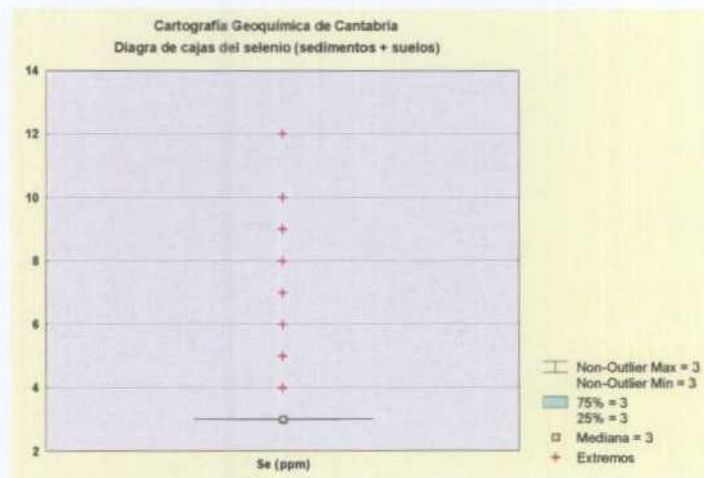
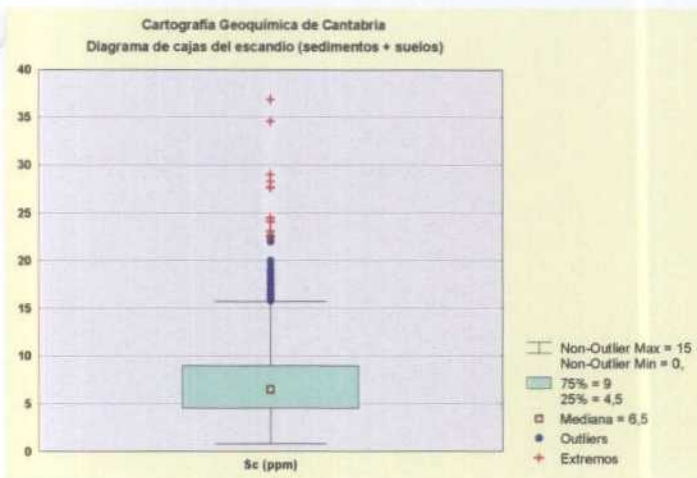
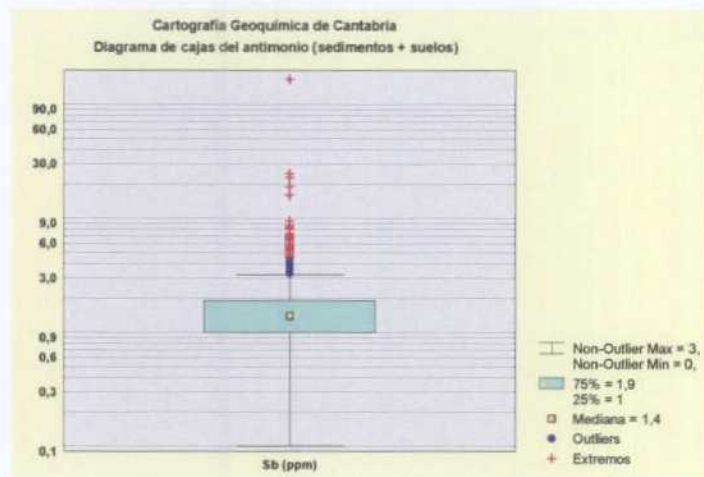
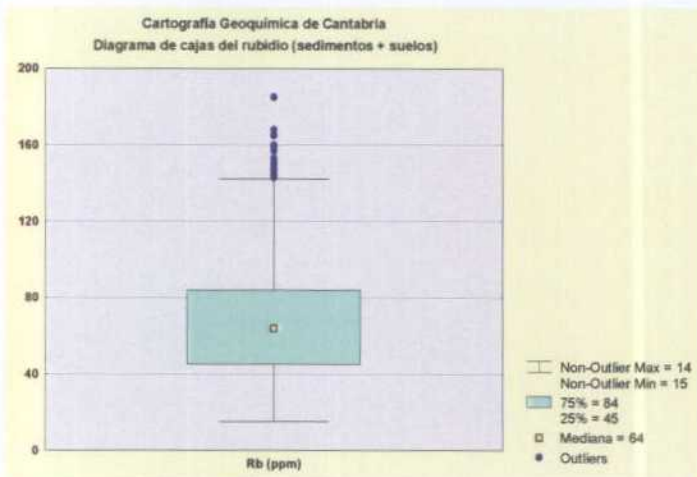
Figuras 239 a 244. Diagramas de cajas de elementos traza en la población total (suelos y sedimentos)



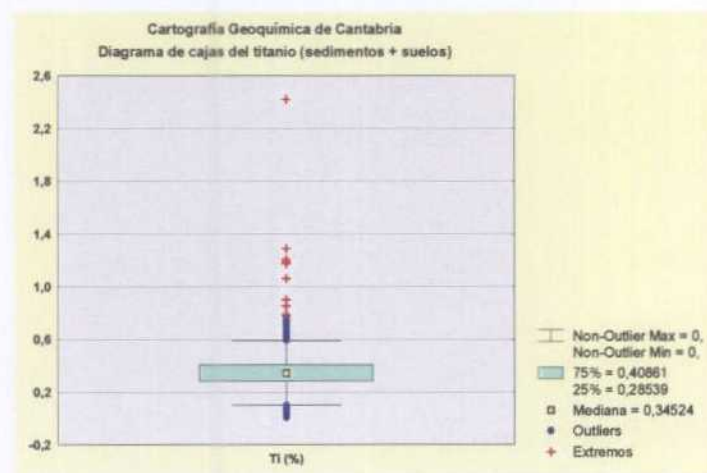
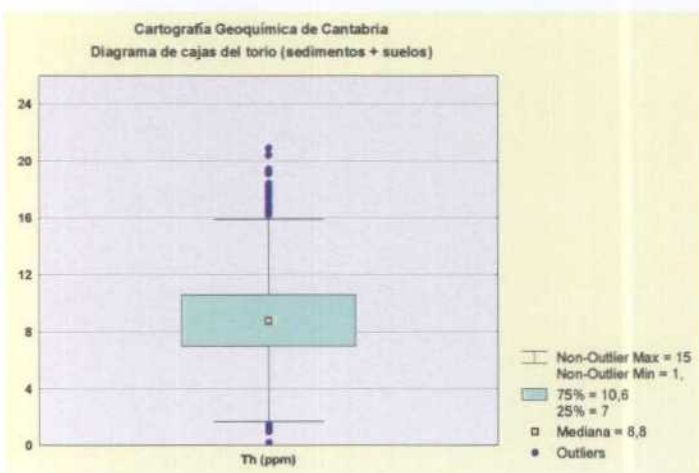
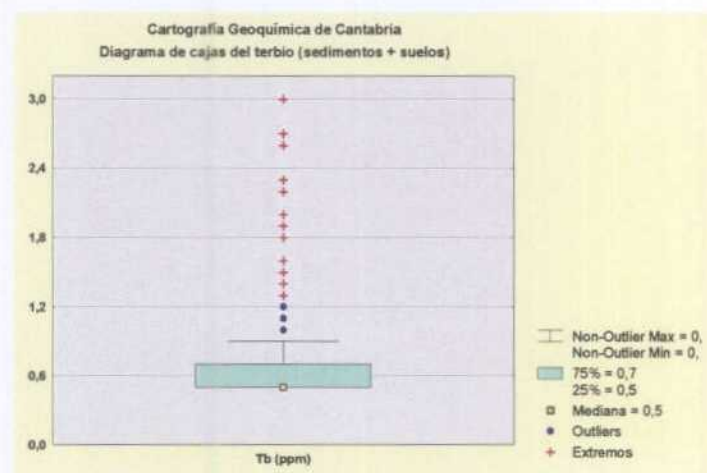
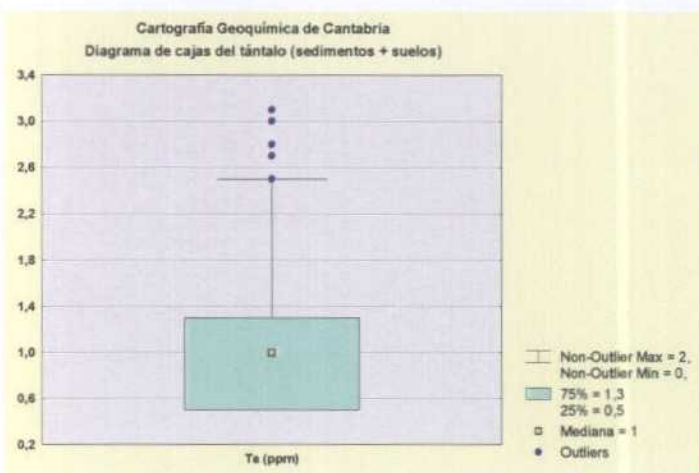
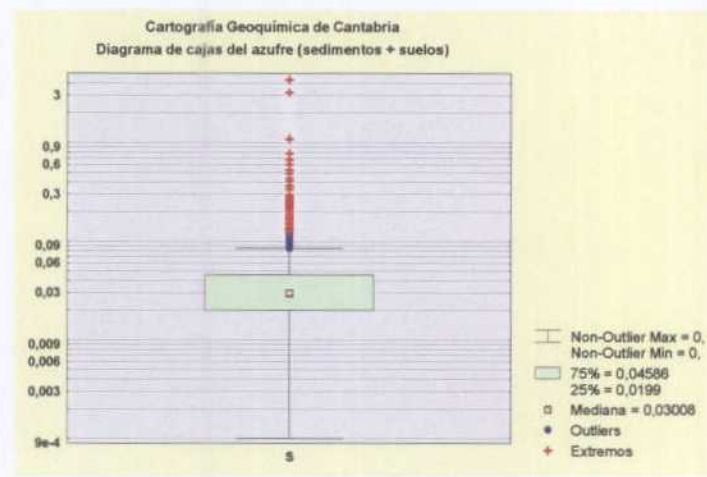
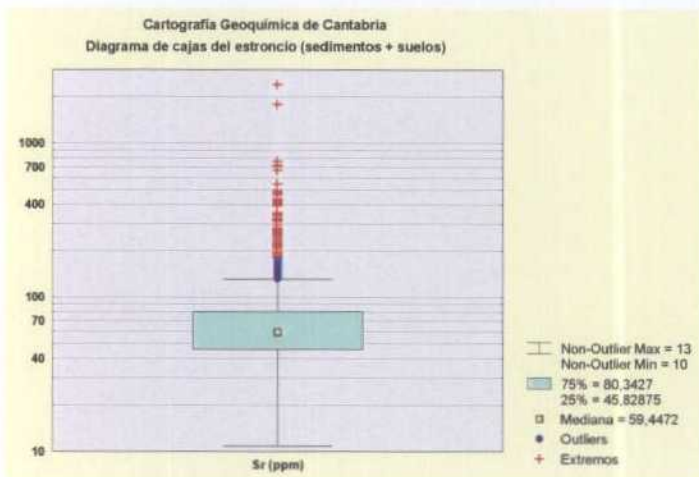
Figuras 245 a 250. Diagramas de cajas de elementos traza en la población total (suelos y sedimentos)



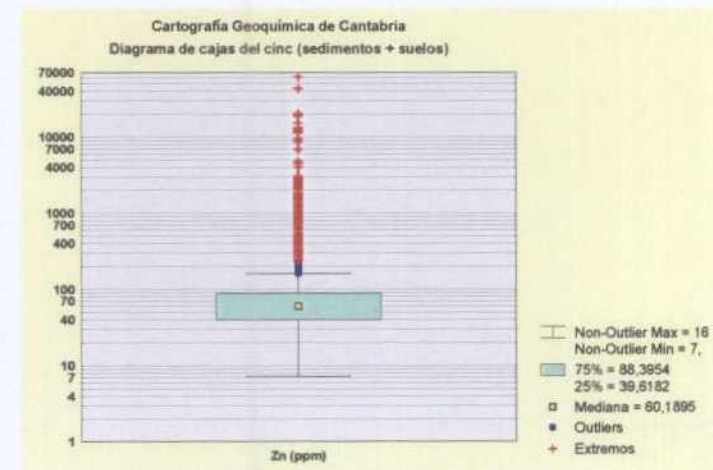
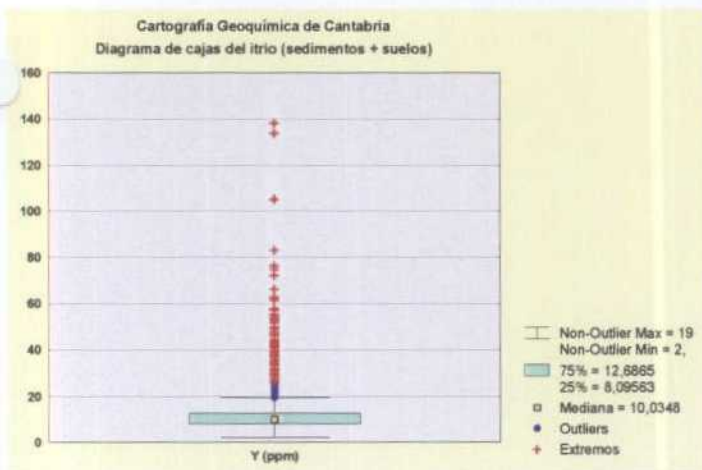
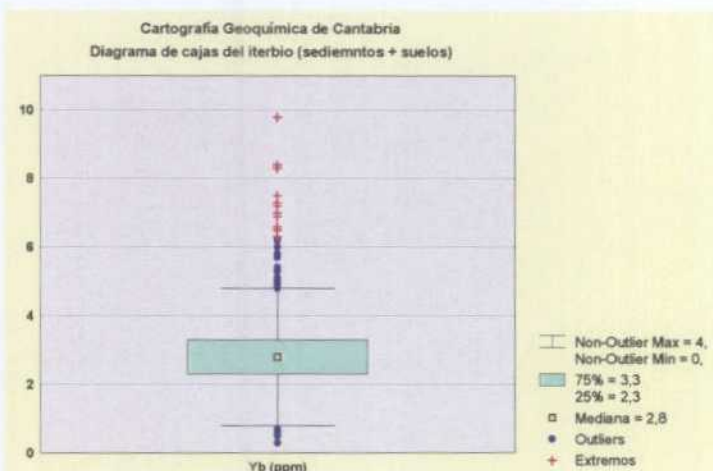
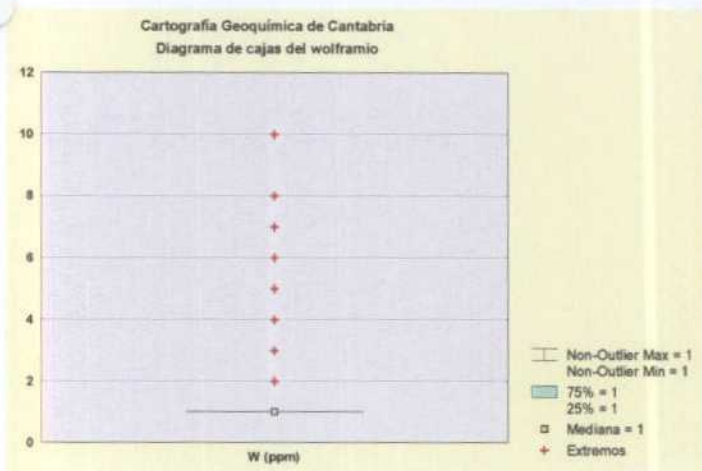
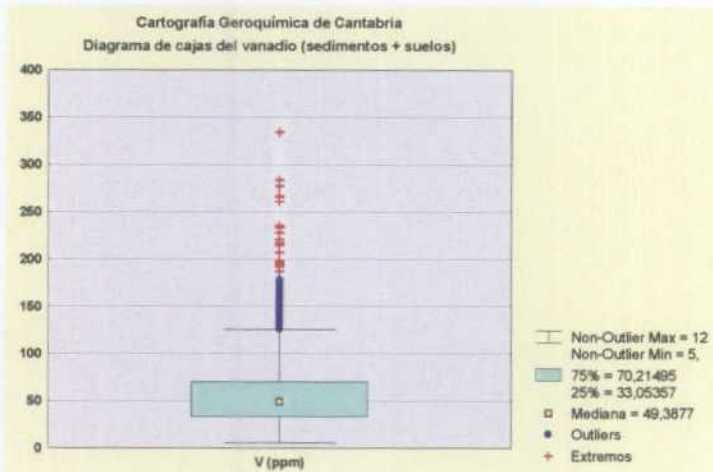
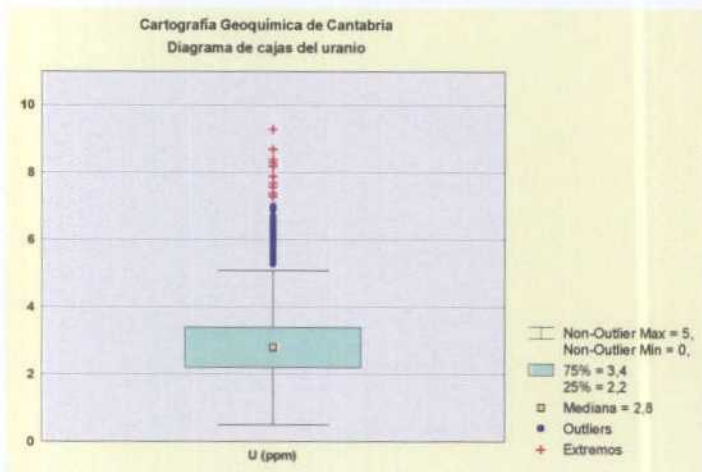
Figuras 251 a 256. Diagramas de cajas de elementos traza en la población total (suelos y sedimentos)



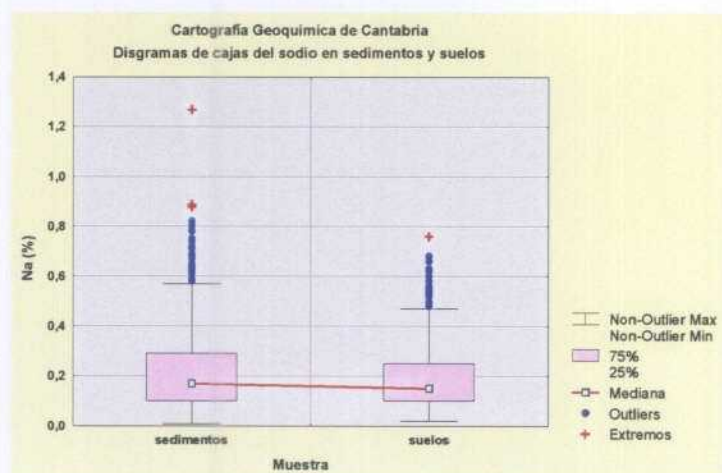
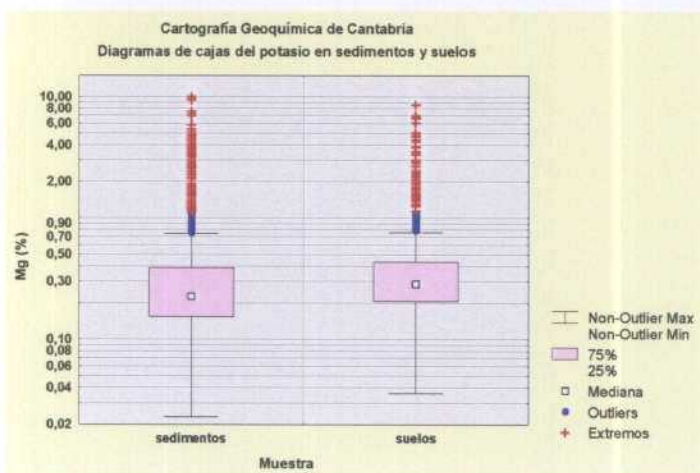
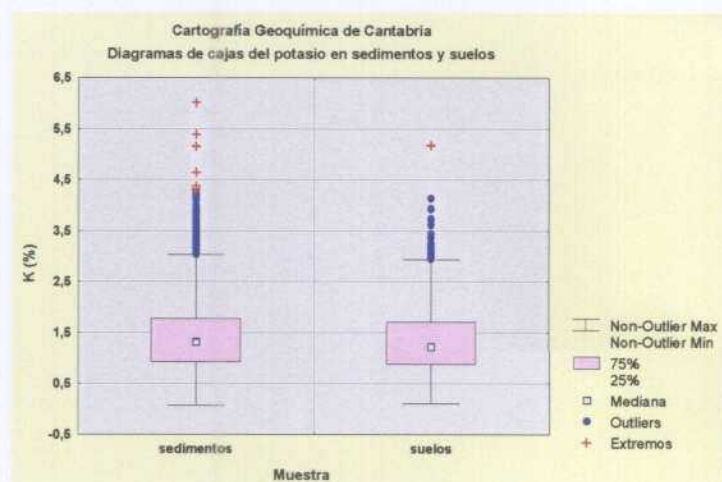
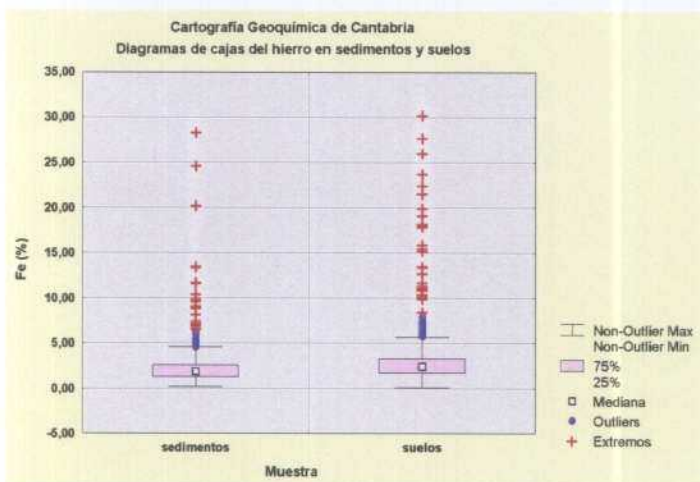
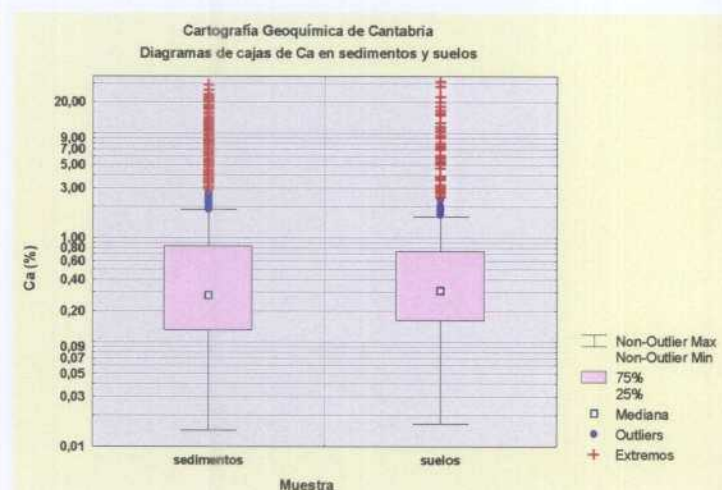
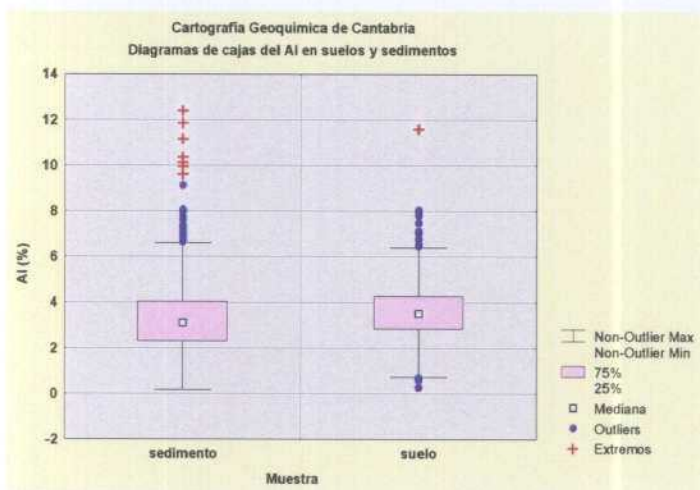
Figuras 257 a 262. Diagramas de cajas de elementos traza en la población total (suelos y sedimentos)



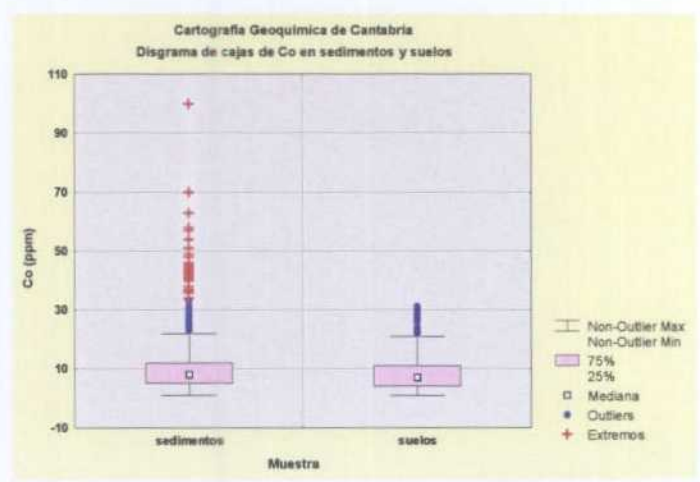
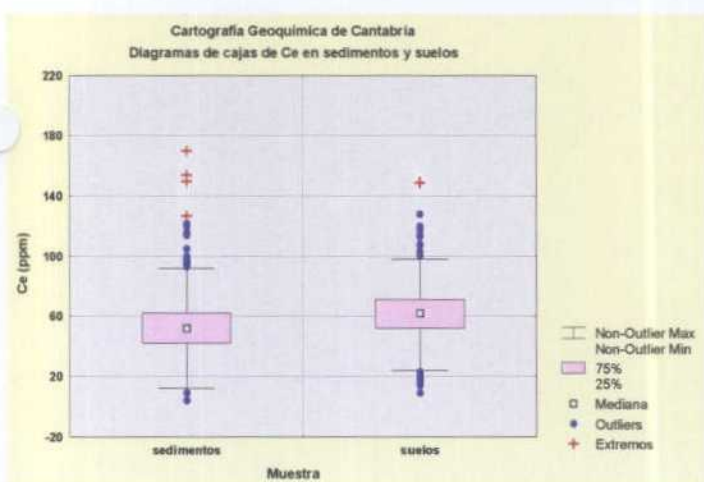
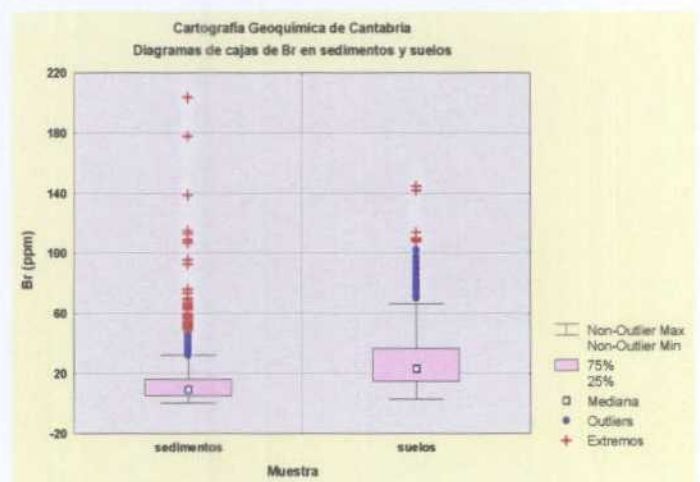
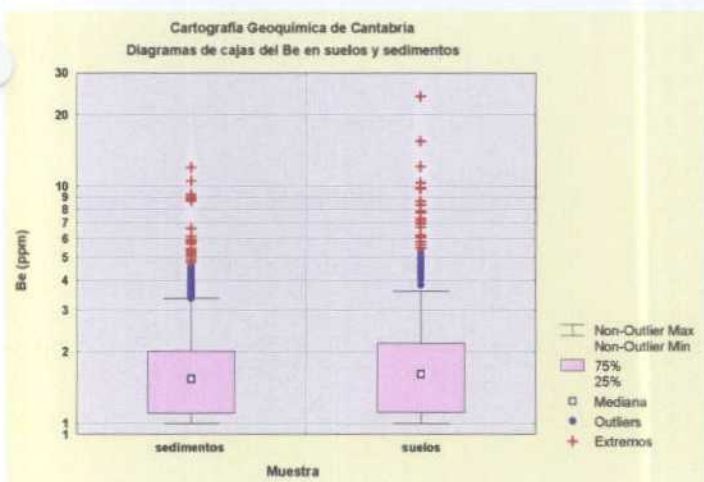
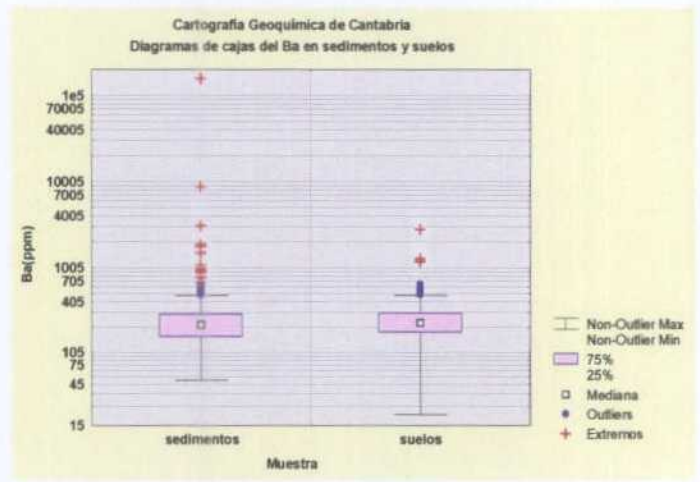
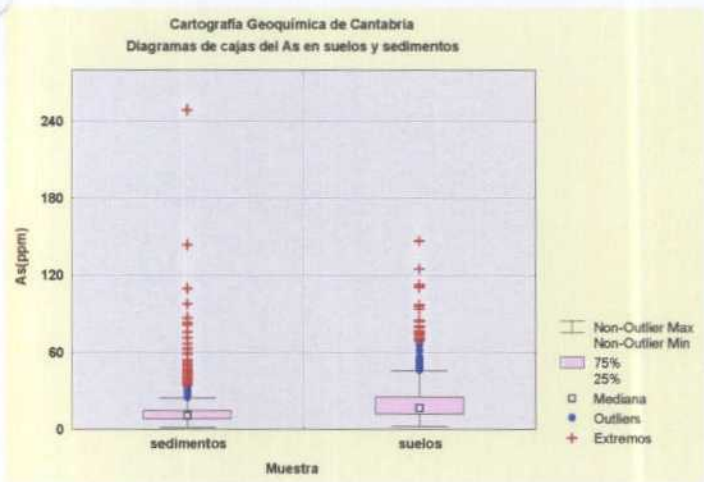
Figuras 263 a 268. Diagramas de cajas de elementos traza en la población total (suelos y sedimentos)



Figuras 269 a 274. Diagramas de cajas de elementos traza en la población total (suelos y sedimentos)

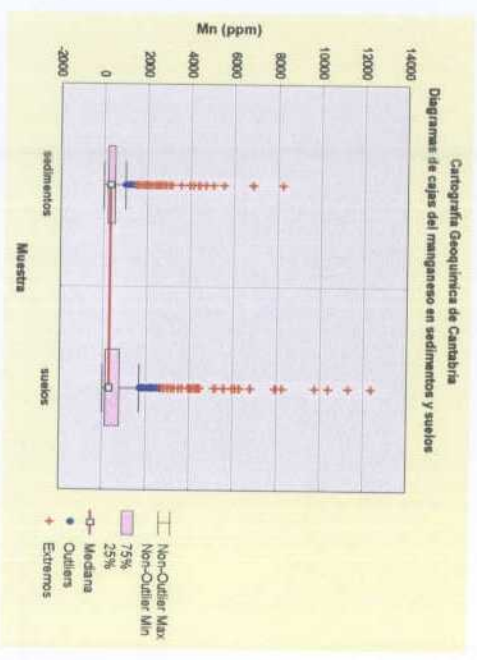
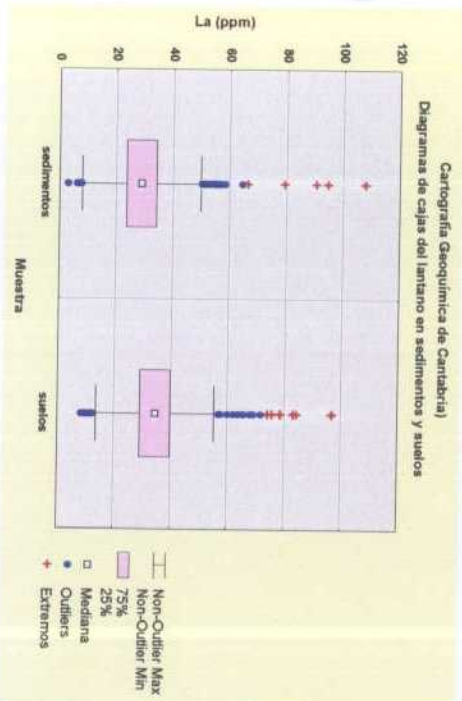
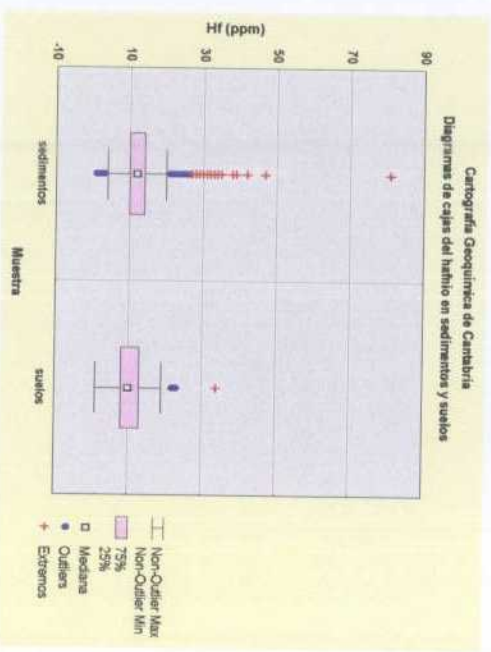
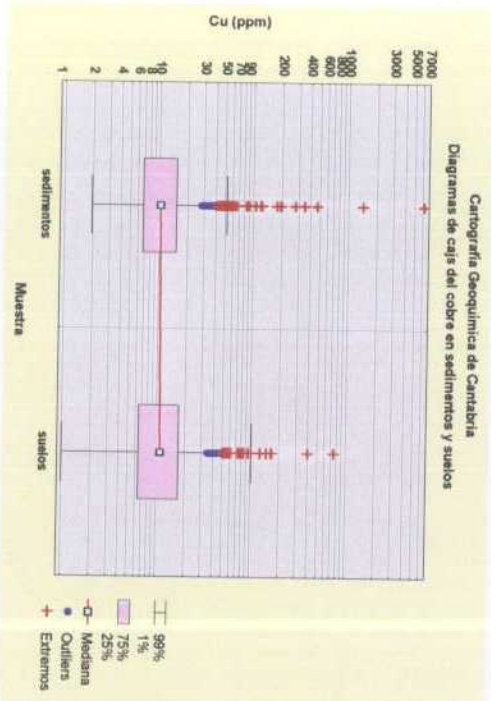
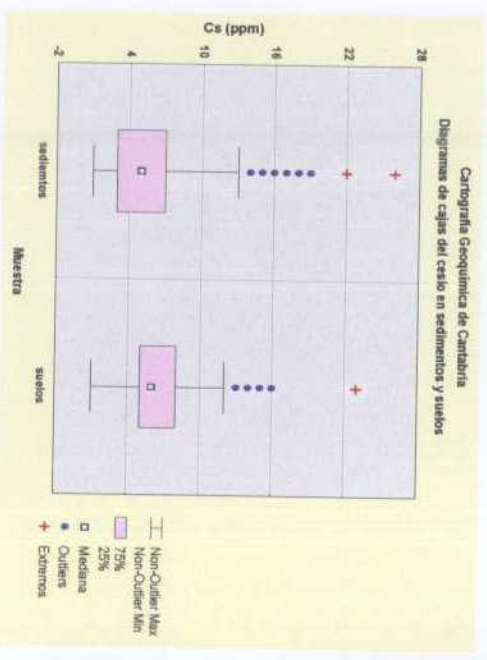
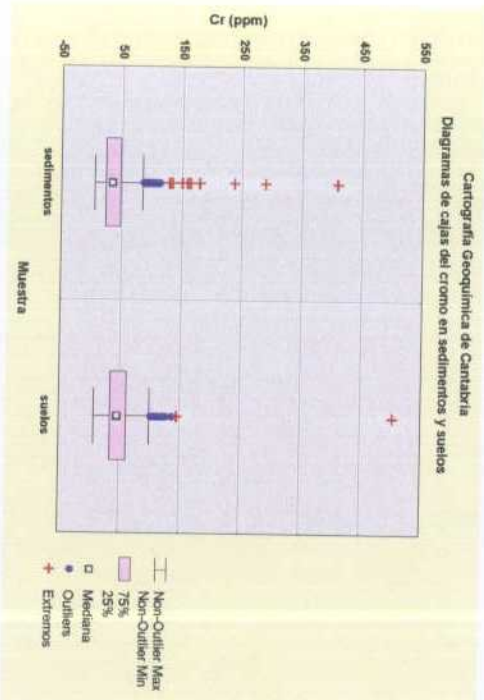


Figuras 275 a 280. Diagramas de cajas de elementos mayores por tipo de muestra.

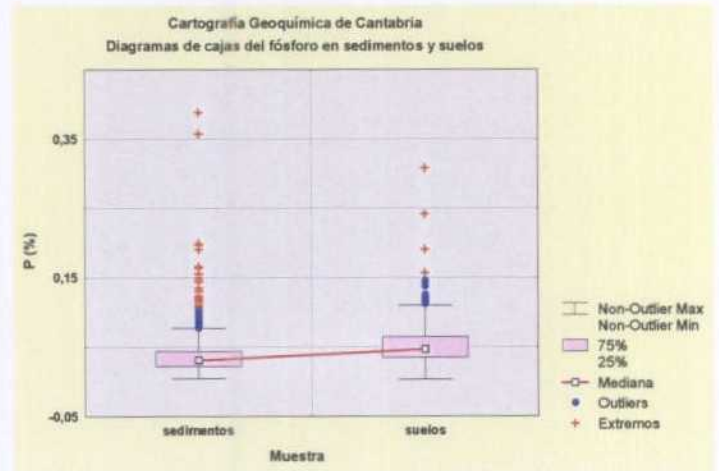
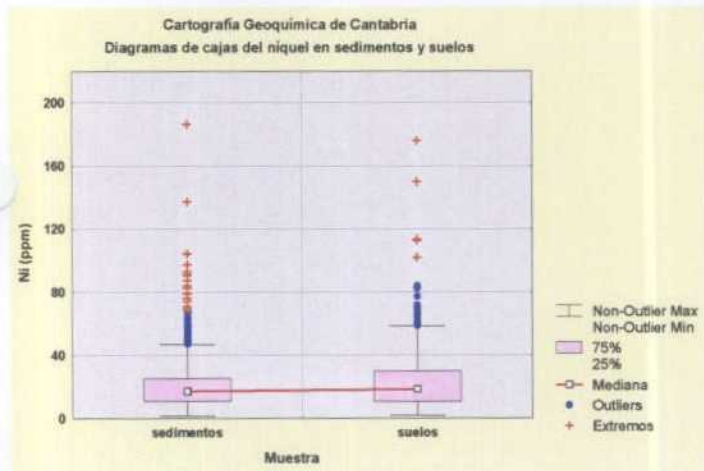
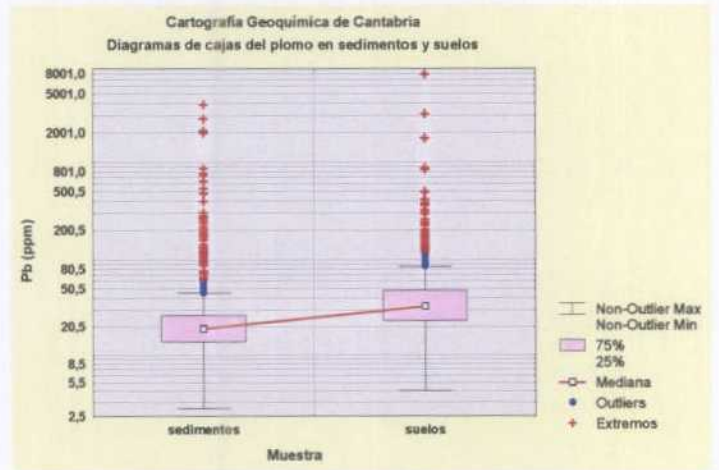
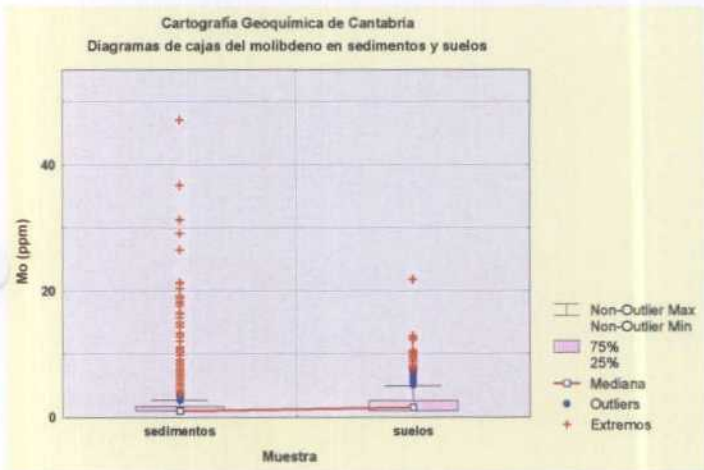


Figuras 281 a 286. Diagramas de cajas de elementos traza por tipo de muestra.

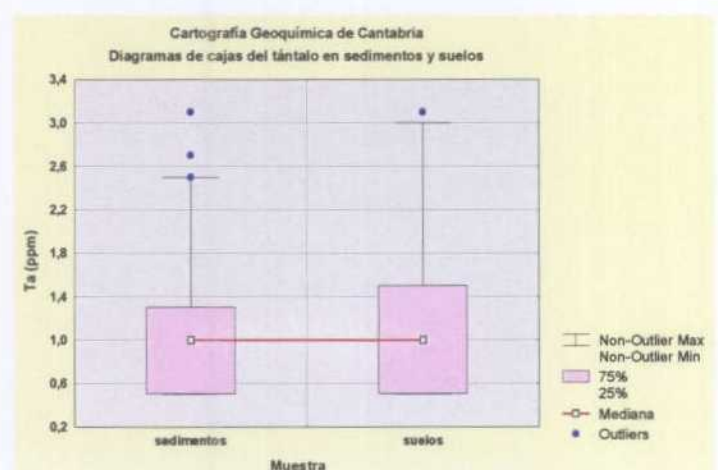
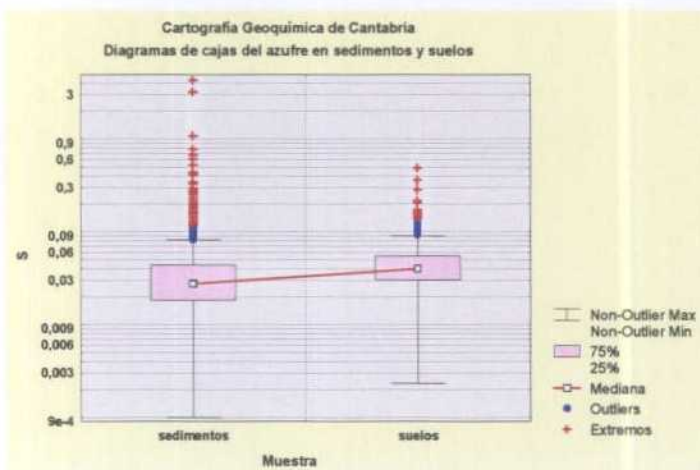
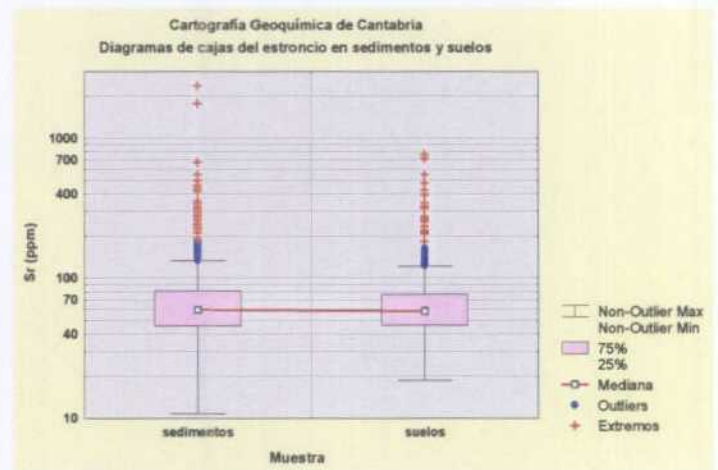
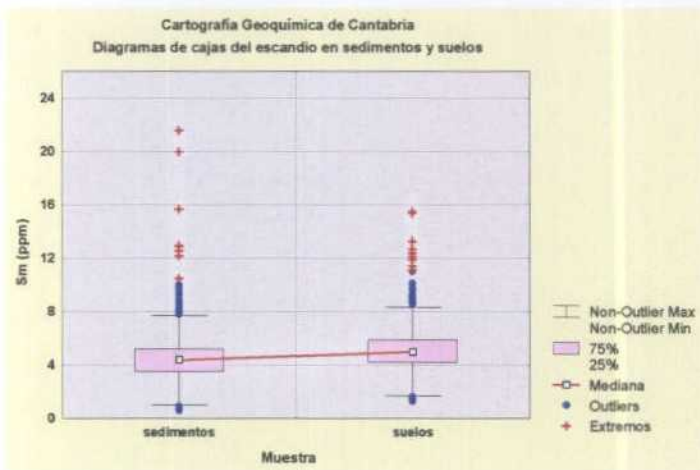
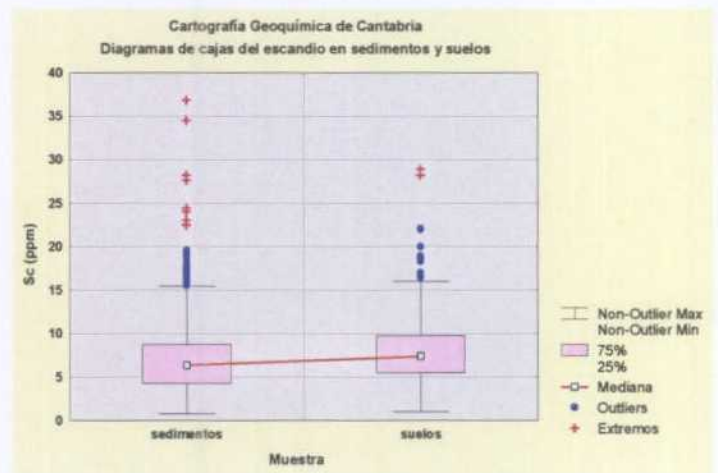
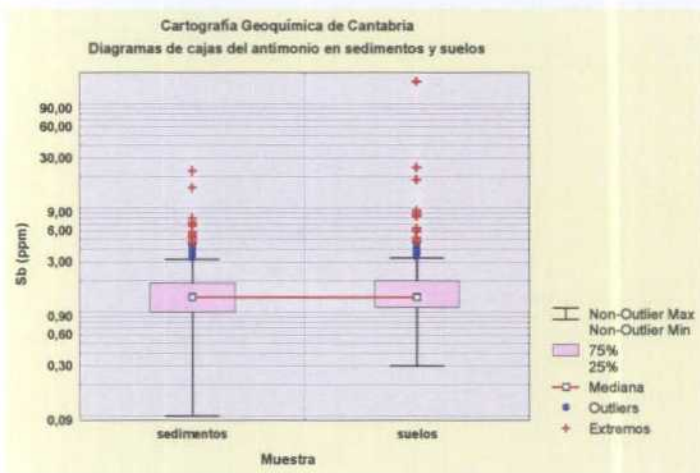




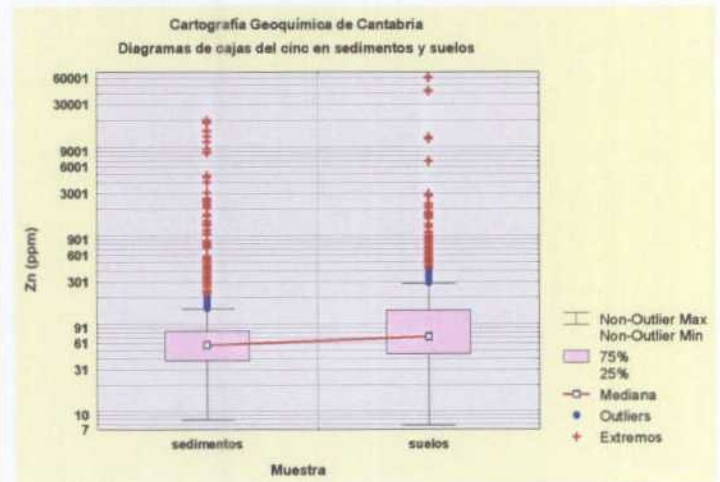
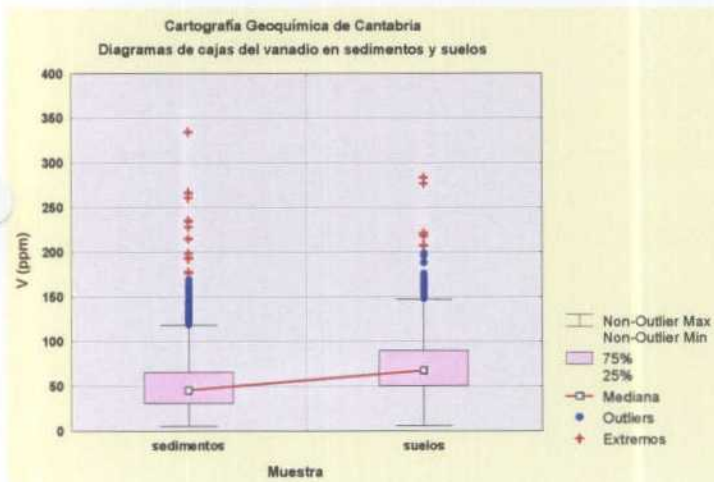
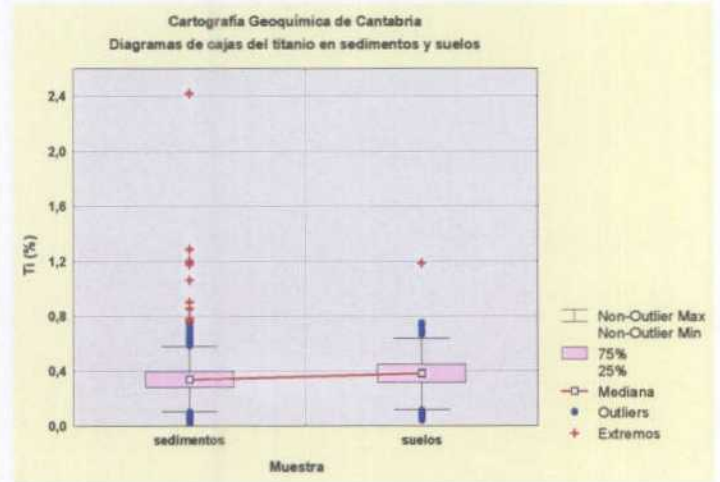
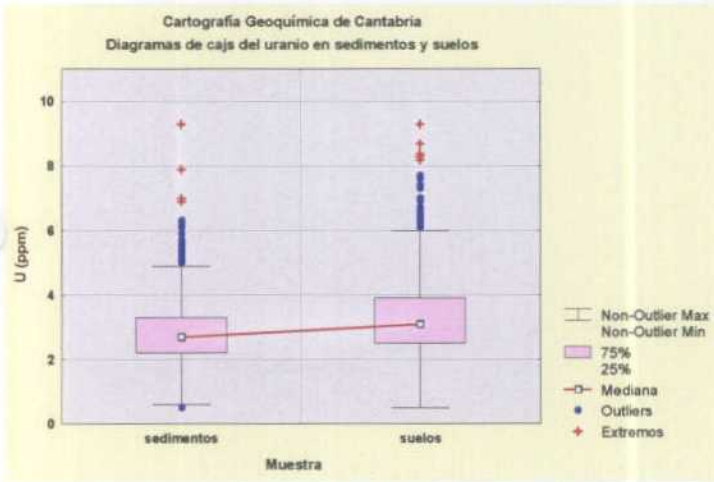
Figuras 287 a 292. Diagramas de cajas de elementos traza por tipo de muestra.



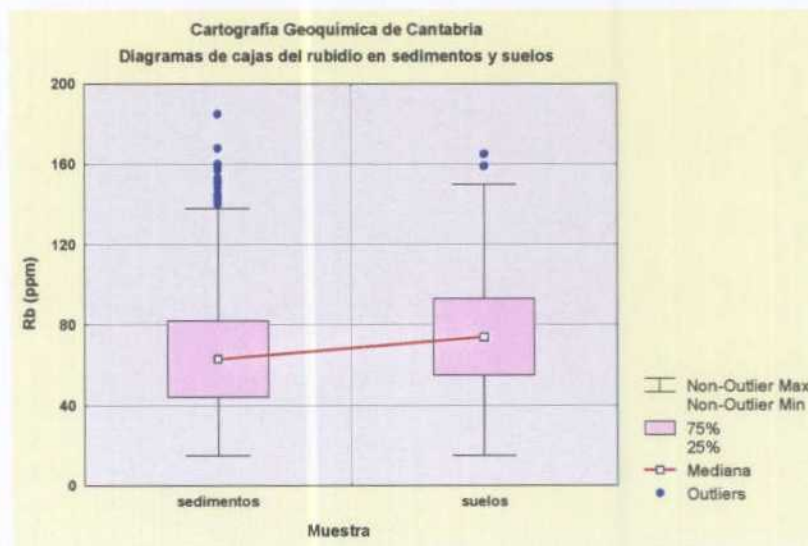
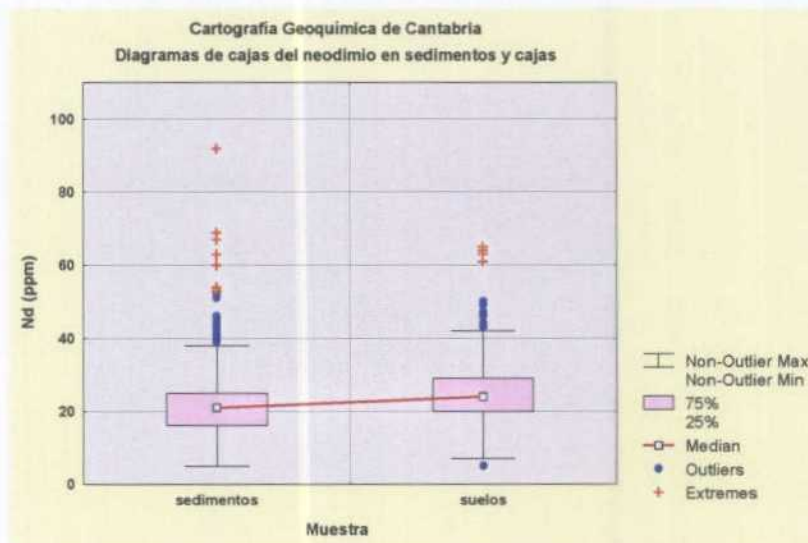
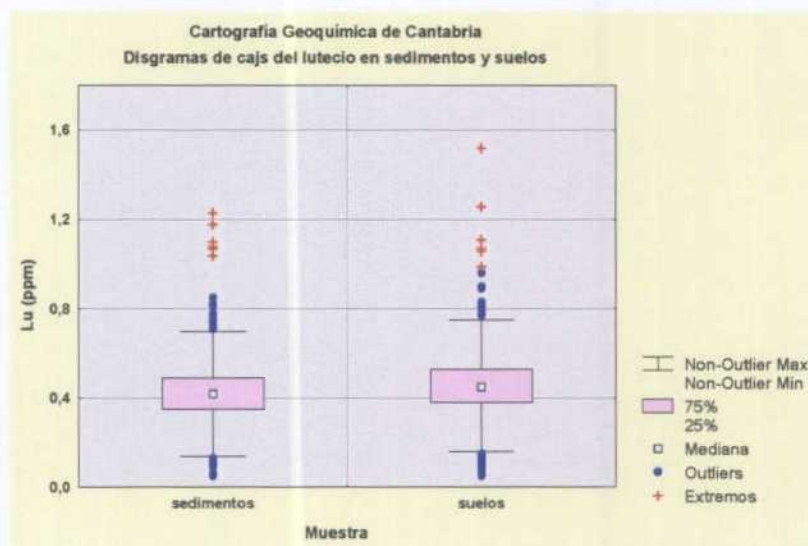
Figuras 293 a 296. Diagramas de cajas de elementos traza por tipo de muestra.



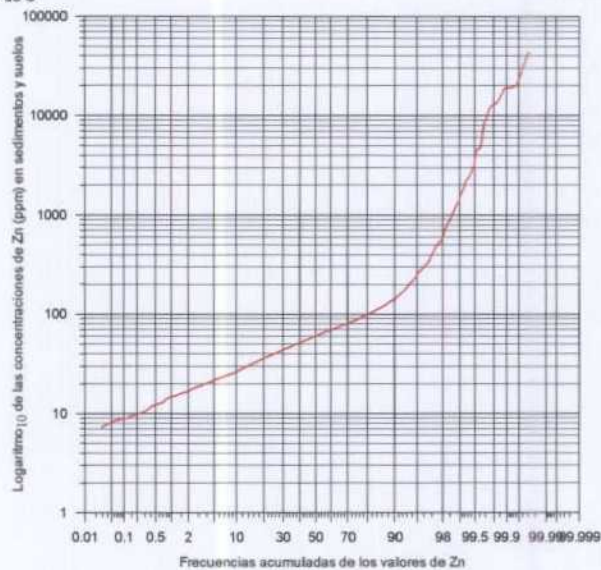
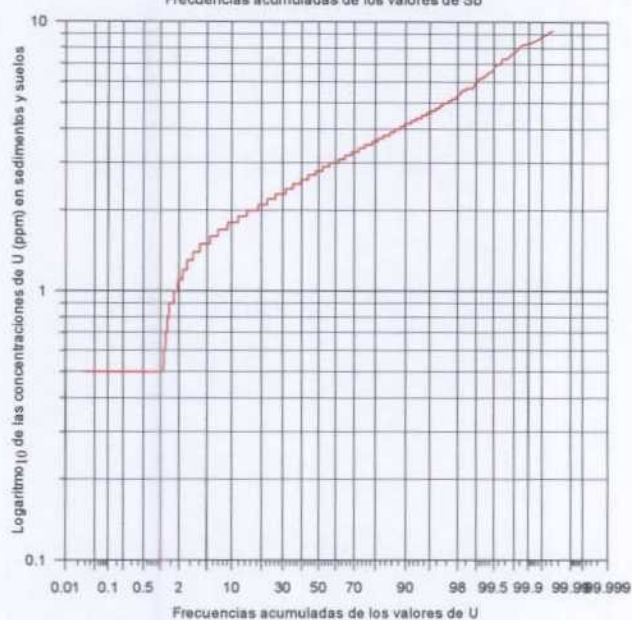
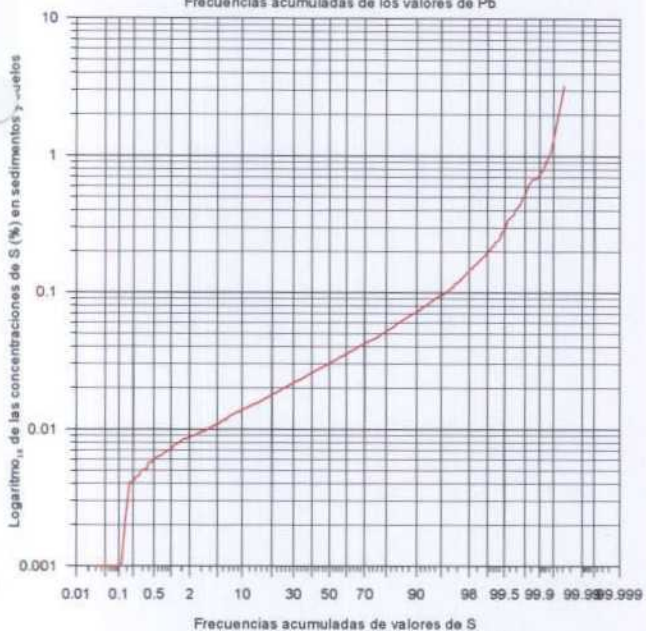
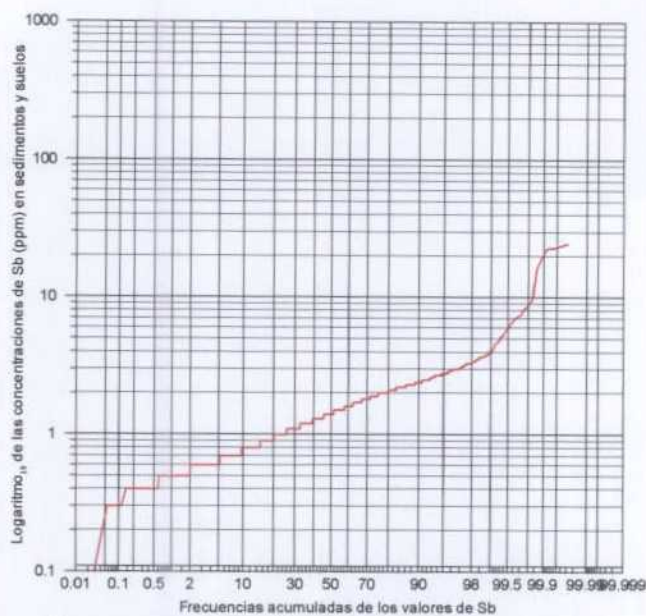
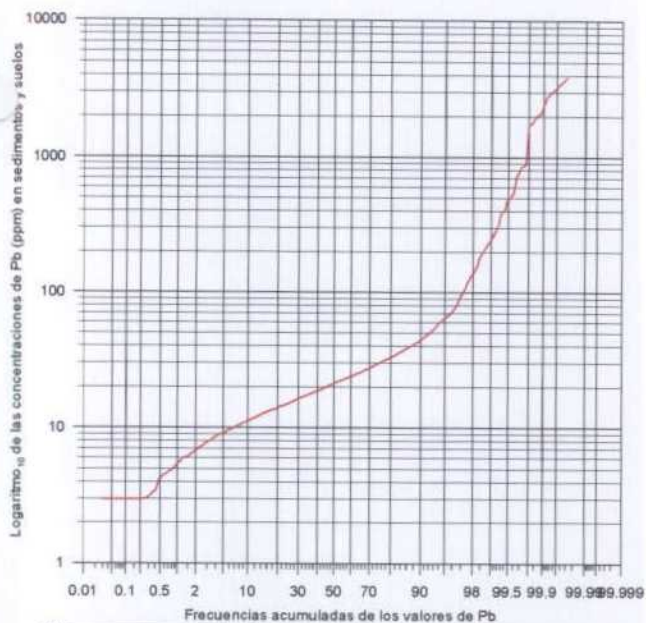
Figuras 297 a 302. Diagramas de cajas de elementos traza por tipo de muestra.



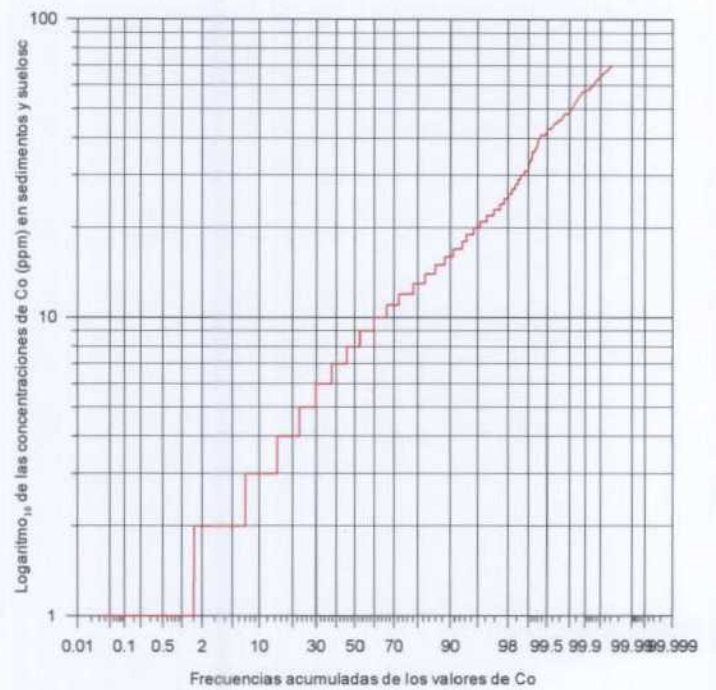
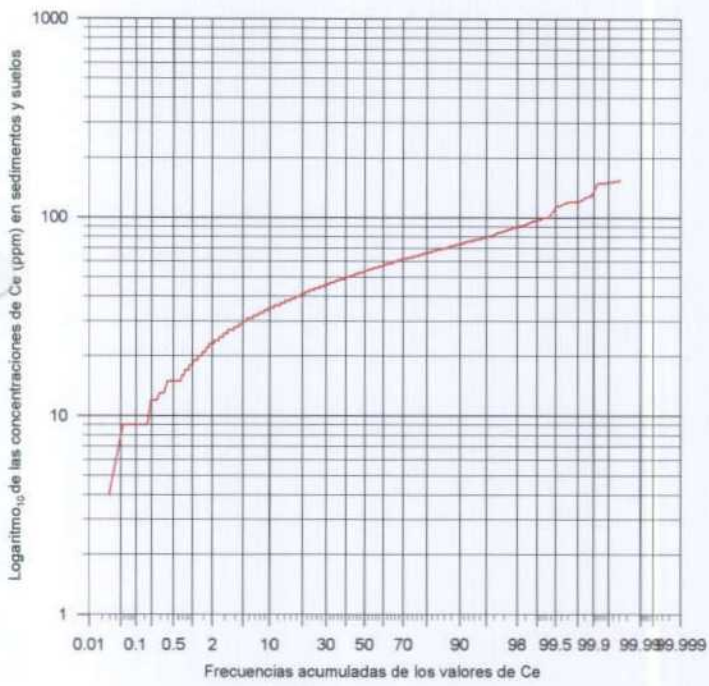
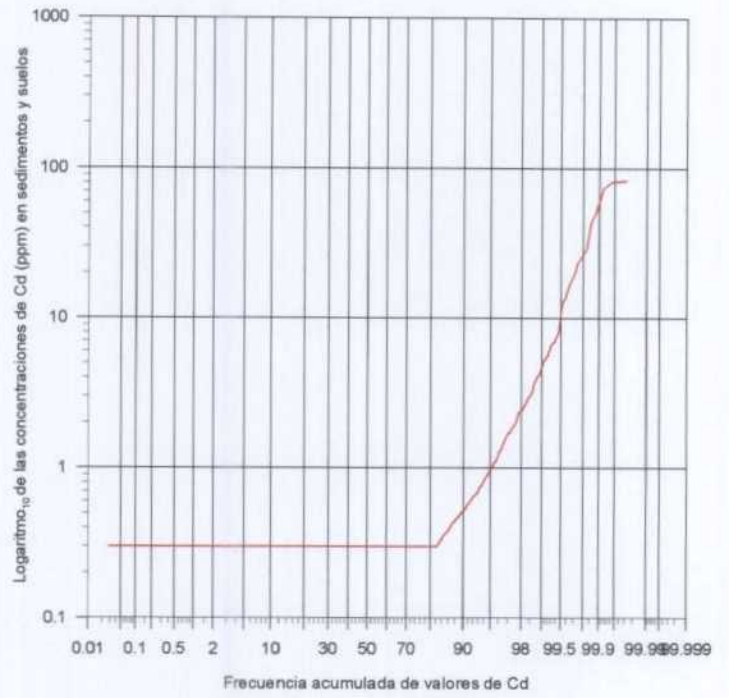
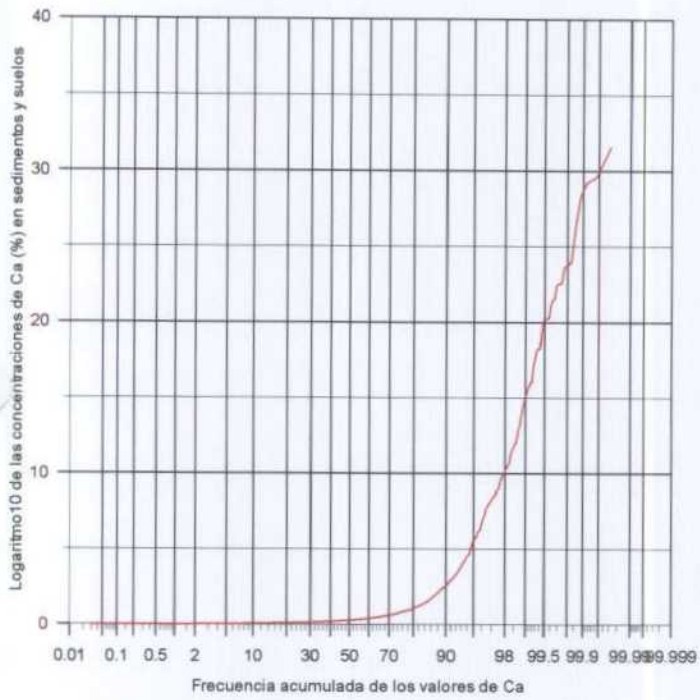
Figuras 303 a 306. Diagramas de cajas de elementos traza por tipo de muestra.



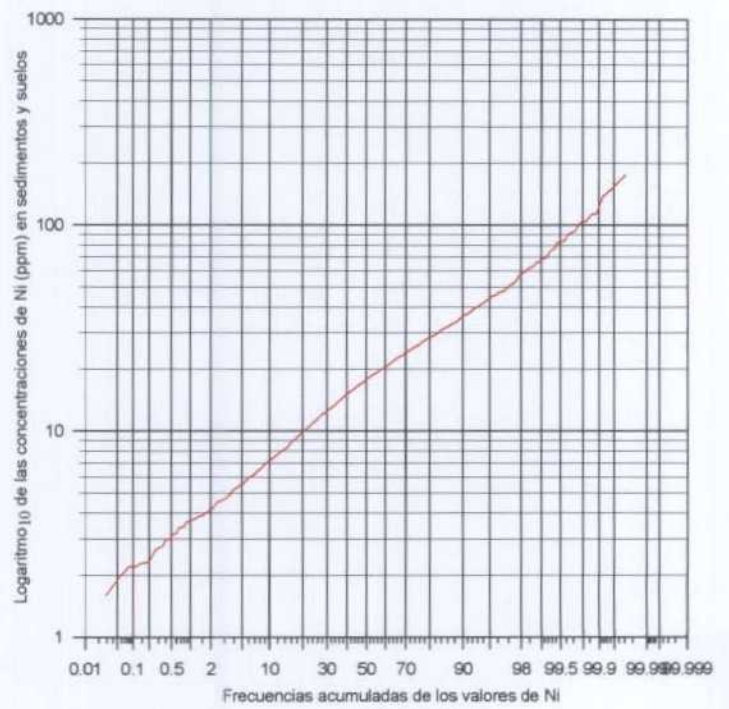
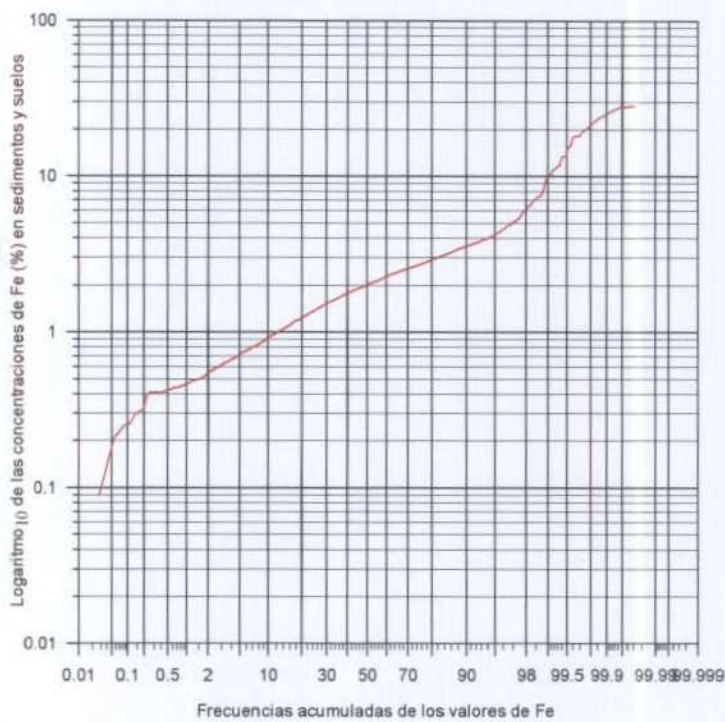
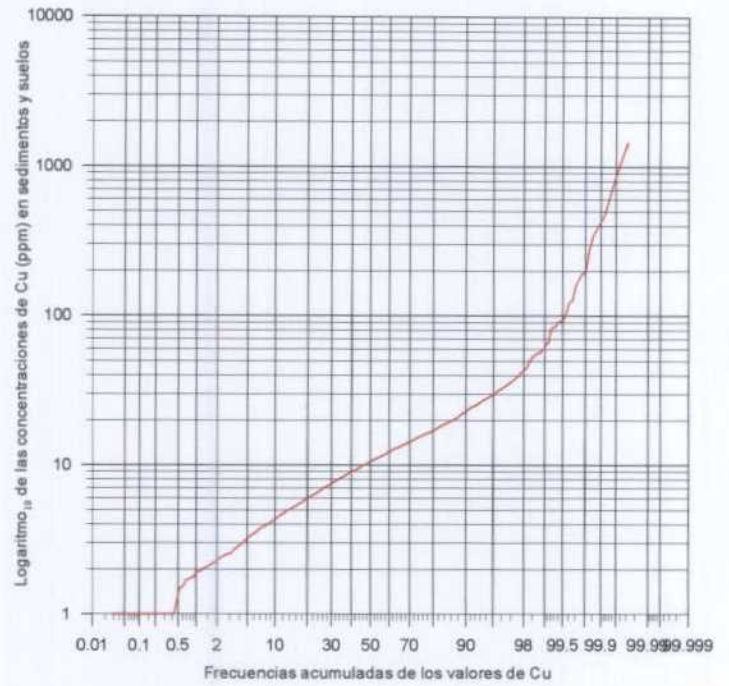
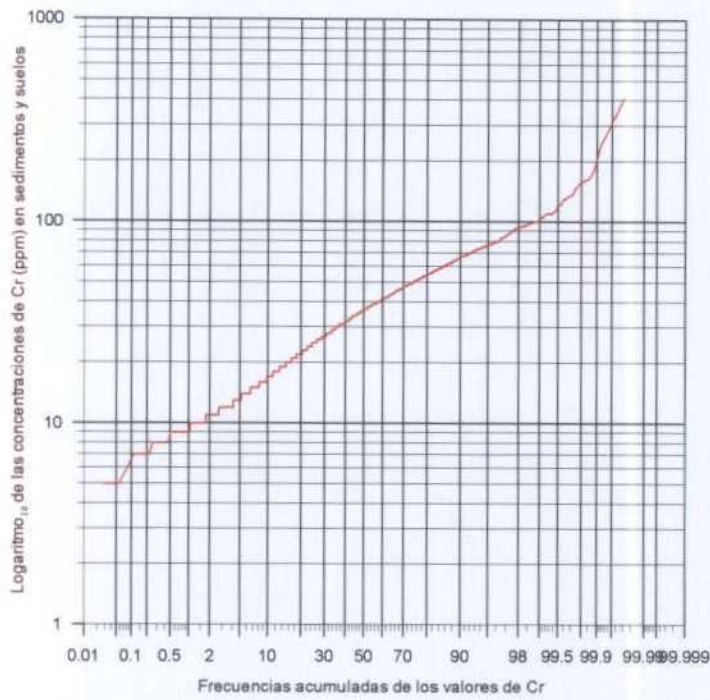
Figuras 307 a 309. Diagramas de cajas de elementos traza por tipo de muestra.



Figuras 310-4.a, b, c, d, e. Rectas de Henry de las distribuciones de los elementos en la población total ( 4)



Figuras 310-2. a, b, c, d. Rectas de Henry de las distribuciones de los elementos en la población total (2)



Figuras 310-3. a, b, c, d. Rectas de Henry de las distribuciones de los elementos en la población total ( 3)



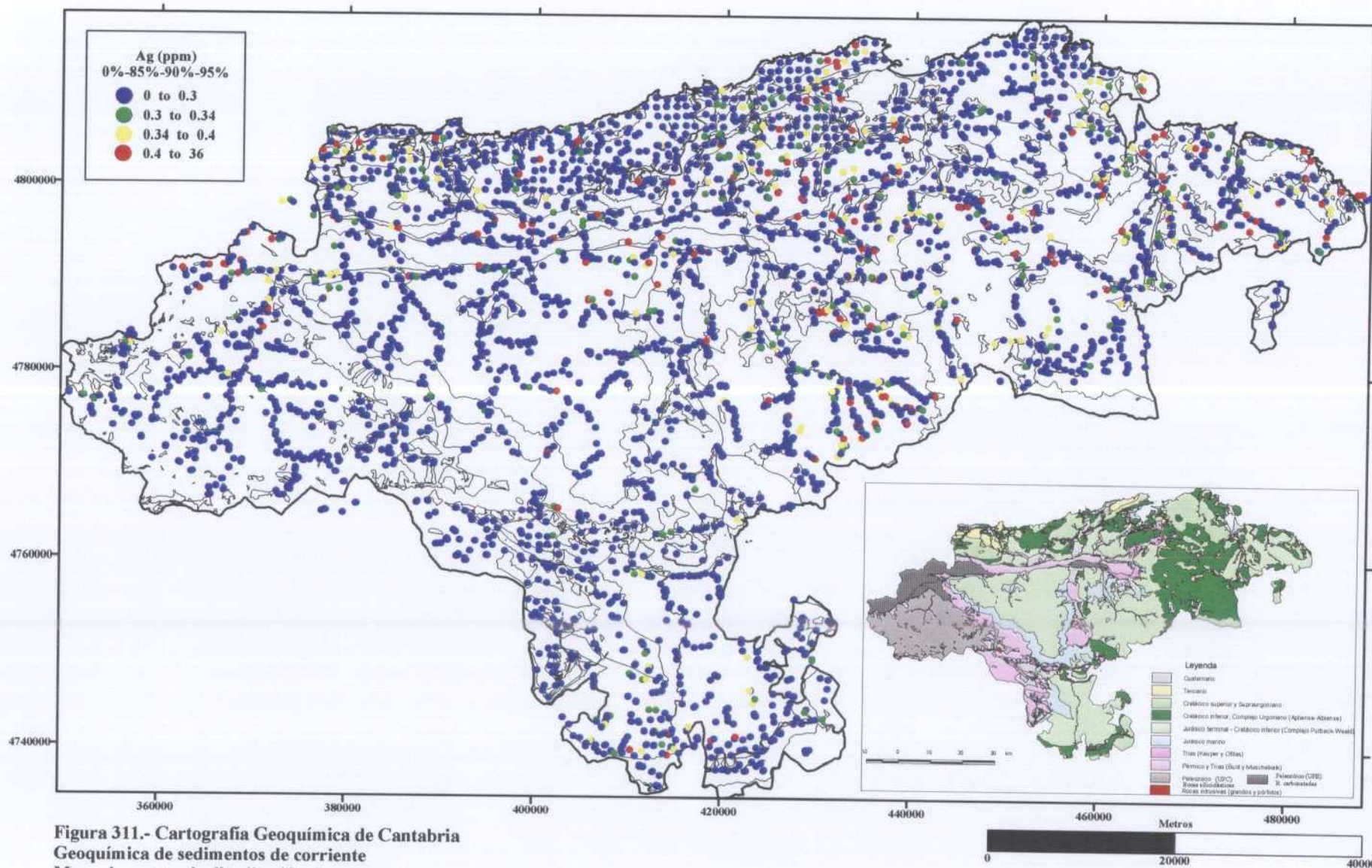
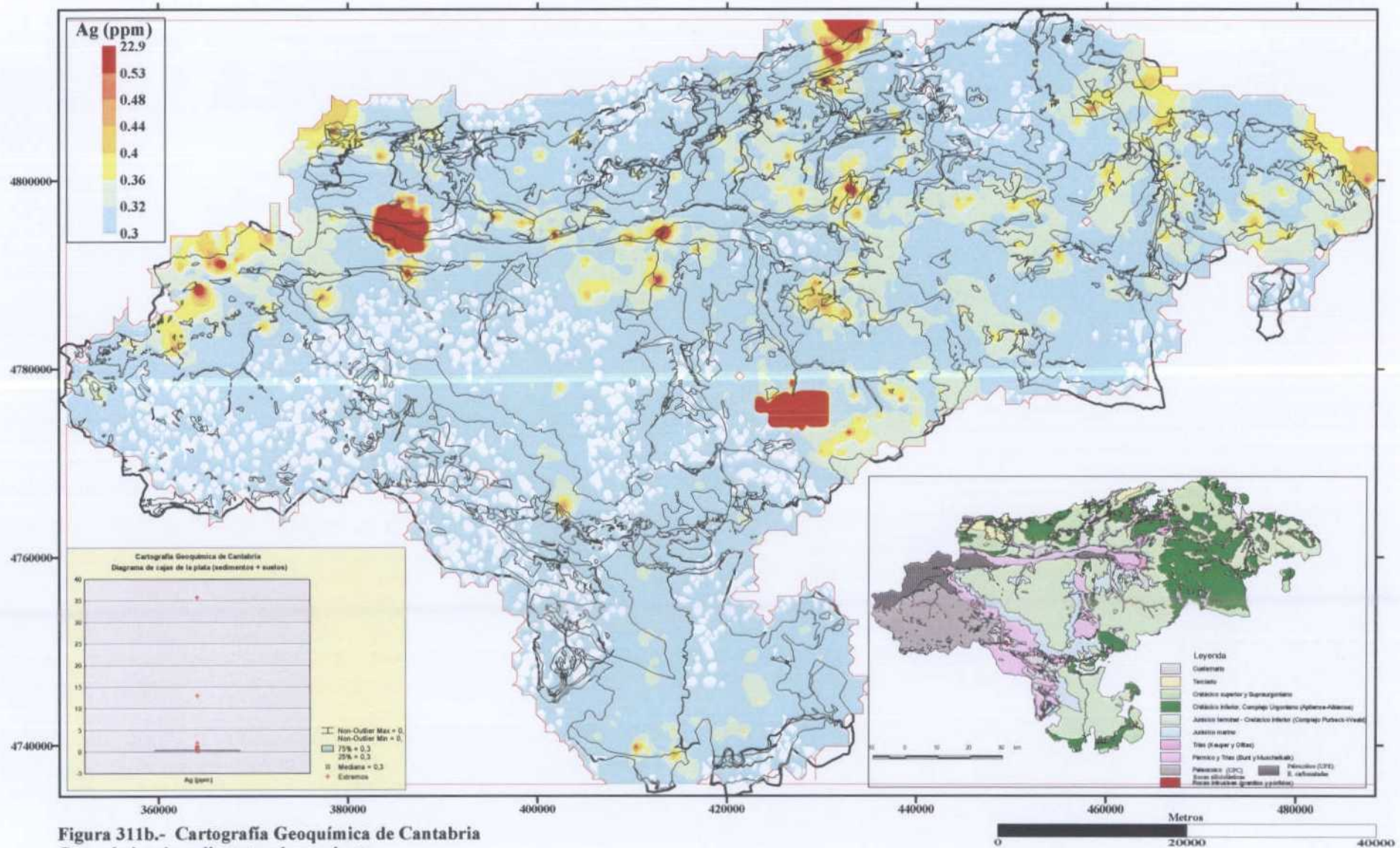
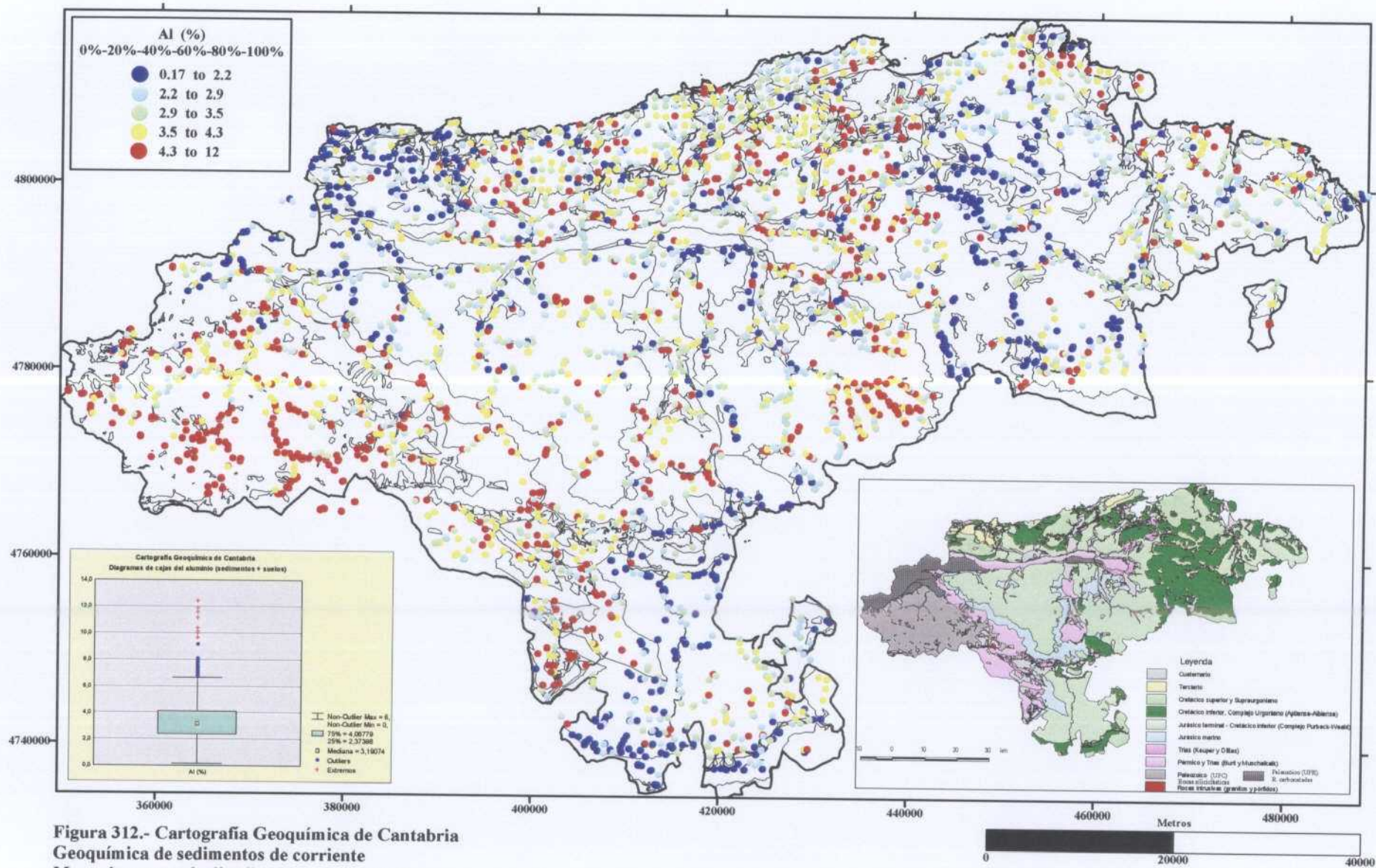


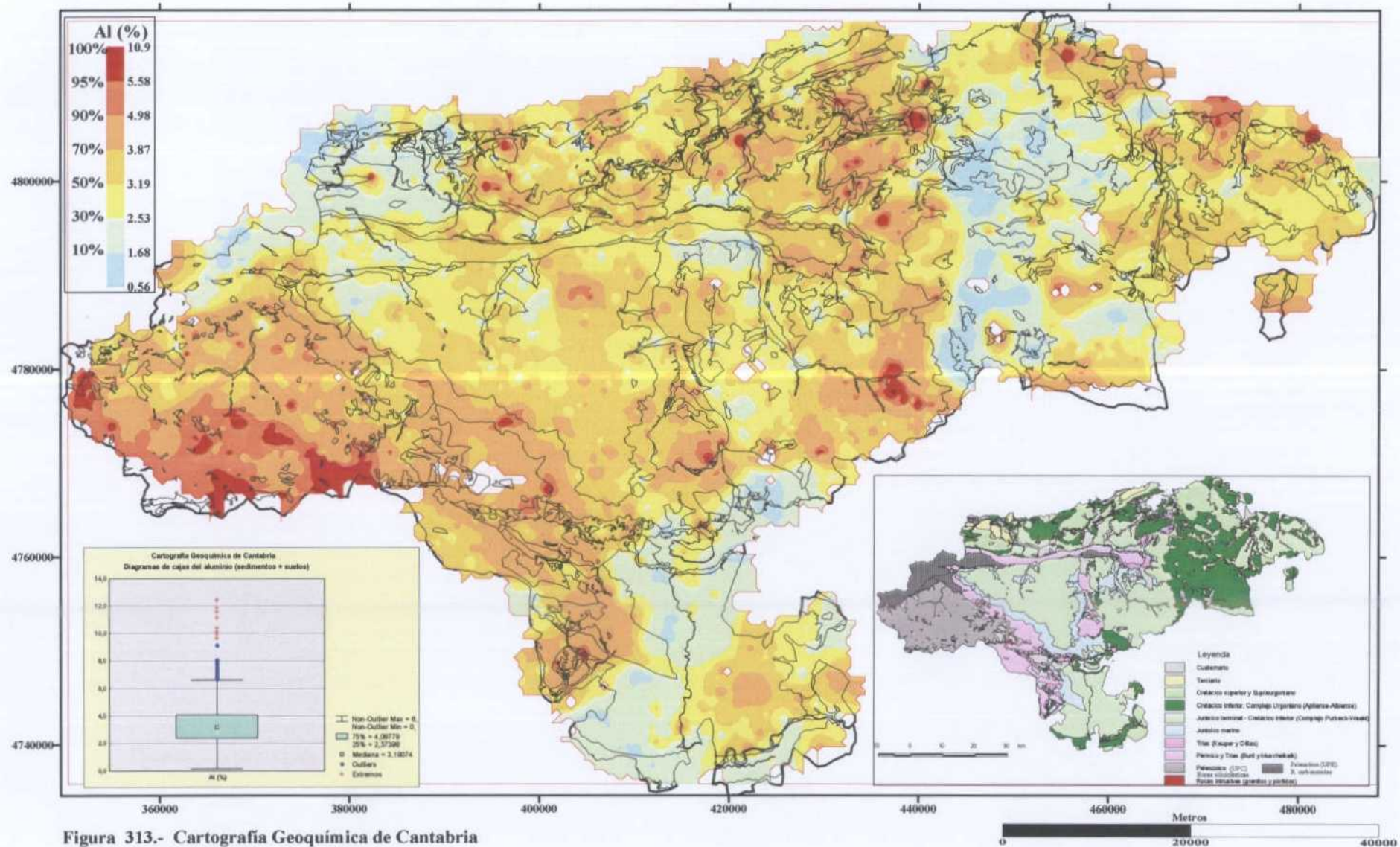
Figura 311.- Cartografía Geoquímica de Cantabria  
Geoquímica de sedimentos de corriente  
Mapa de puntos de distribución de la plata



**Figura 311b.- Cartografía Geoquímica de Cantabria**  
Geoquímica de sedimentos de corriente  
Mapa de contornos de distribución de la plata



**Figura 312.- Cartografía Geoquímica de Cantabria**  
Geoquímica de sedimentos de corriente  
Mapa de puntos de distribución del aluminio



**Figura 313.- Cartografía Geoquímica de Cantabria**  
Geoquímica de sedimentos de corriente  
Mapa de contornos de distribución del aluminio

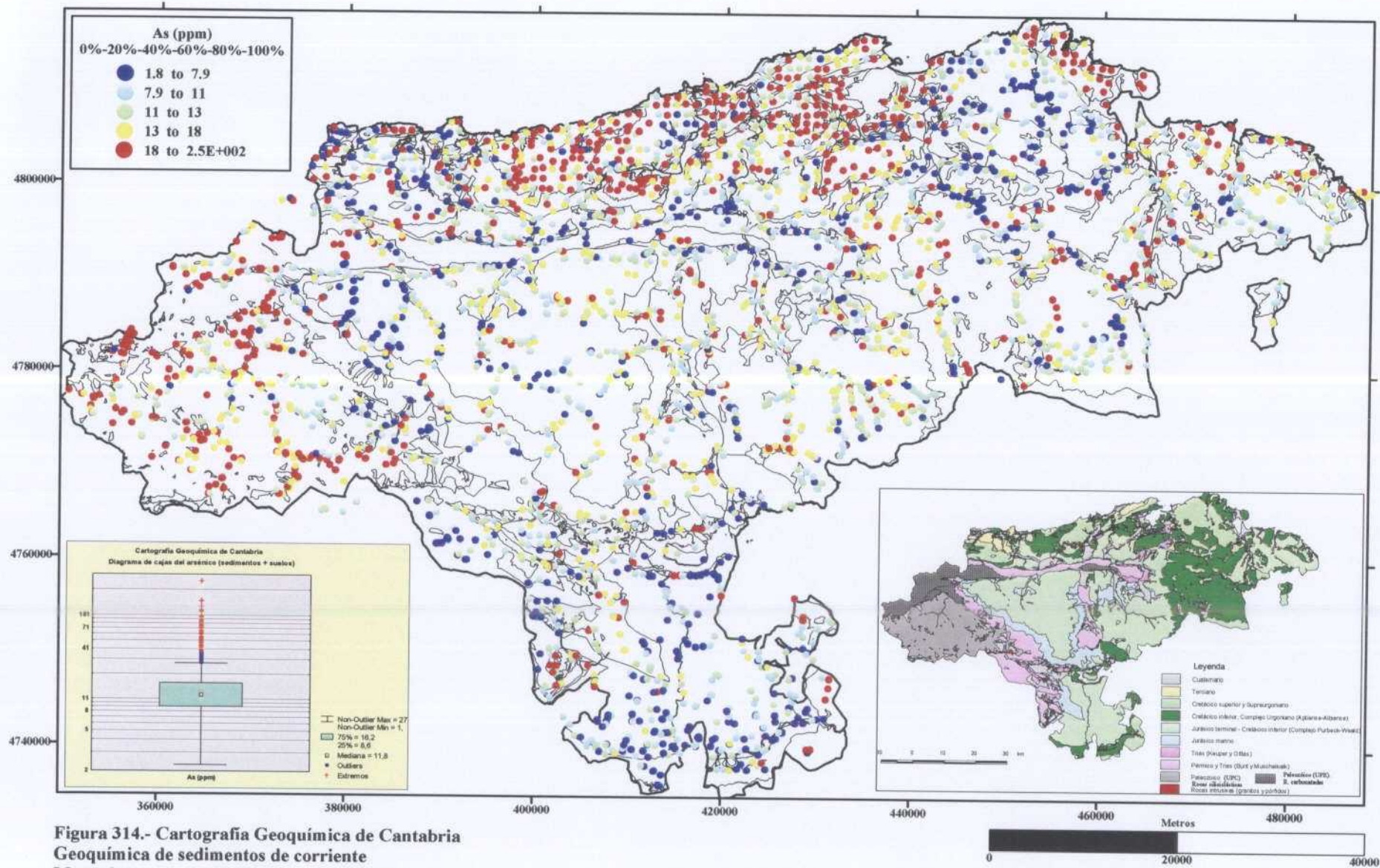


Figura 314.- Cartografía Geoquímica de Cantabria  
Geoquímica de sedimentos de corriente  
Mapa de puntos de distribución del arsénico

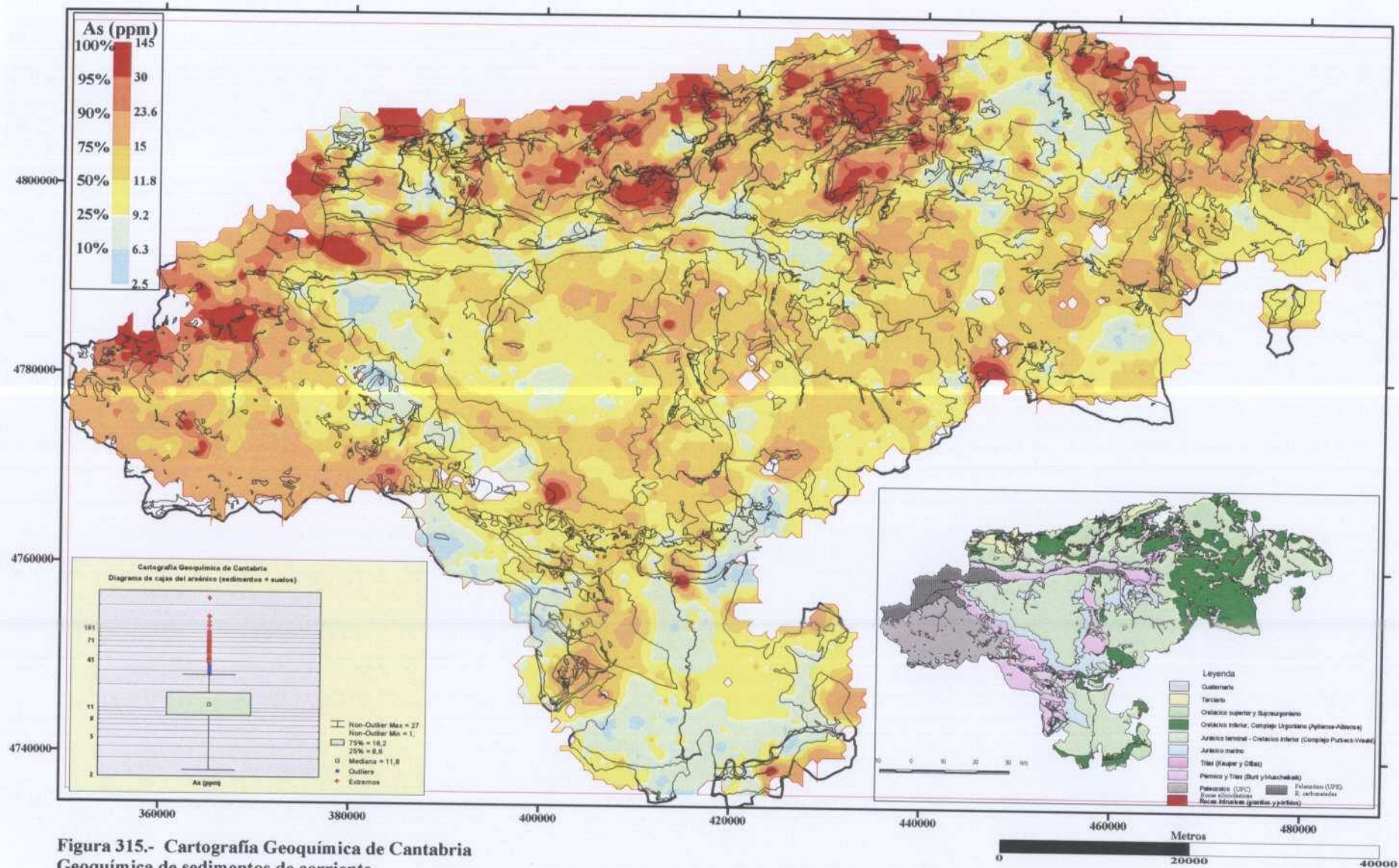


Figura 315.- Cartografía Geoquímica de Cantabria  
Geoquímica de sedimentos de corriente  
Mapa de contornos de distribución del arsénico

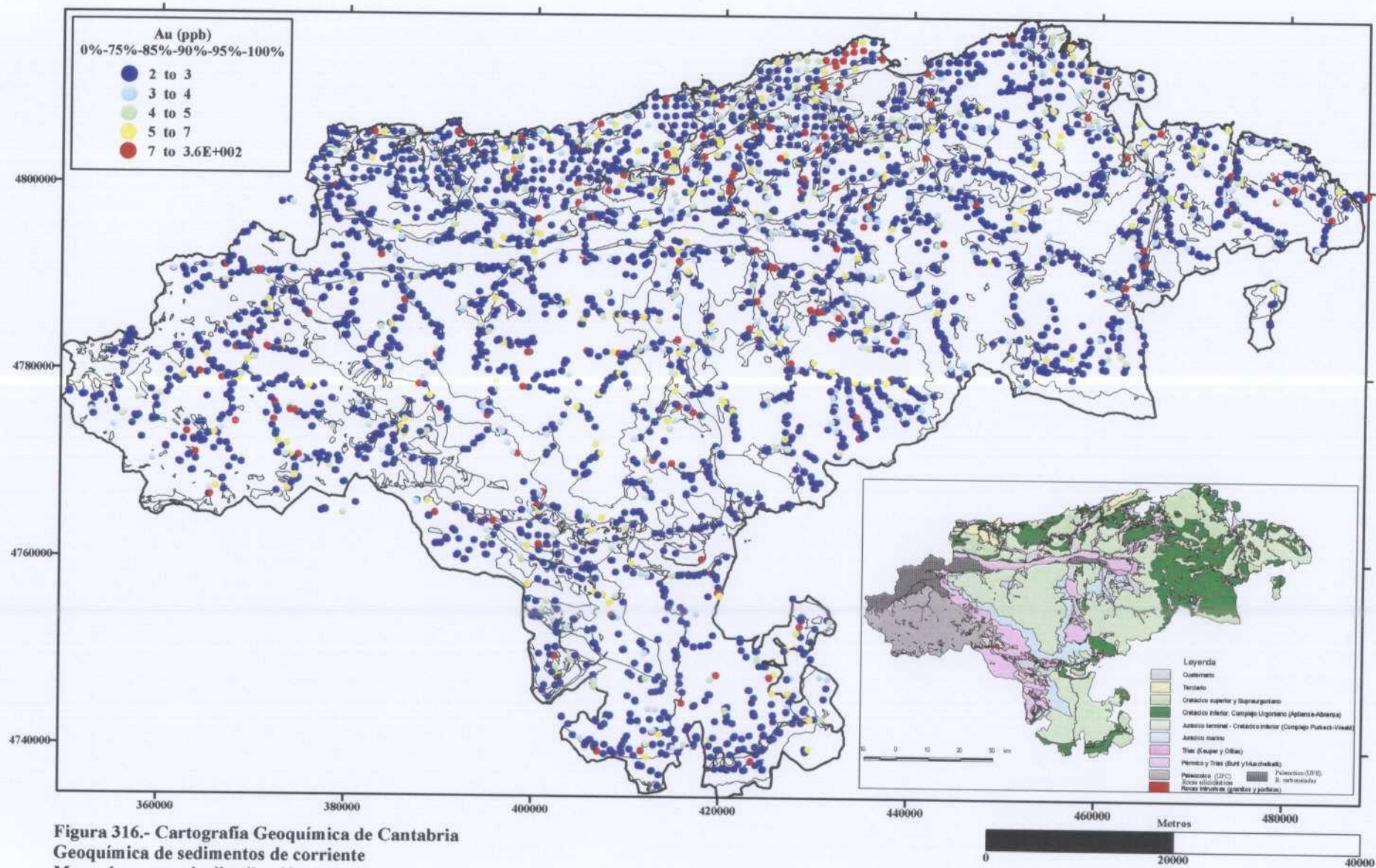
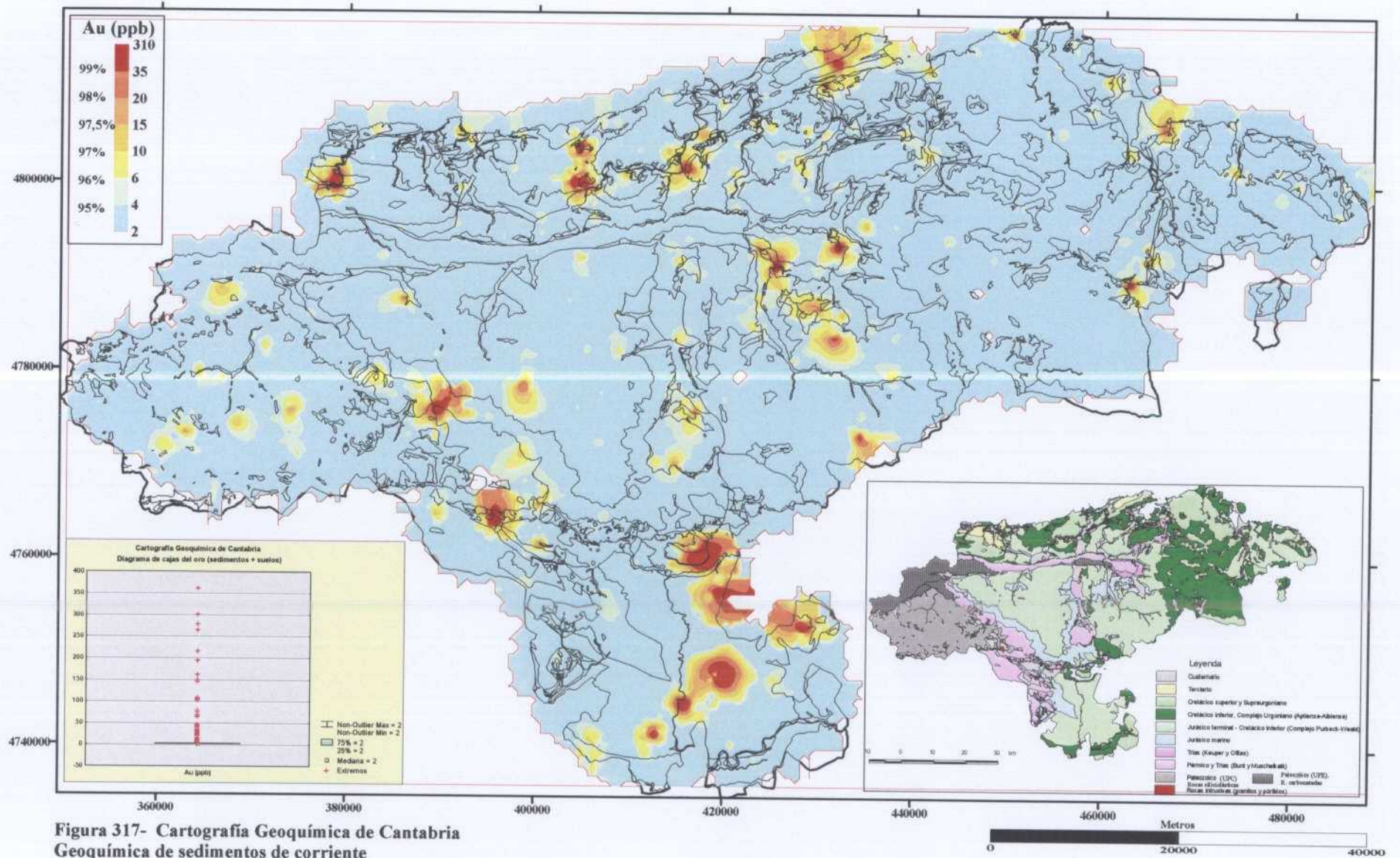


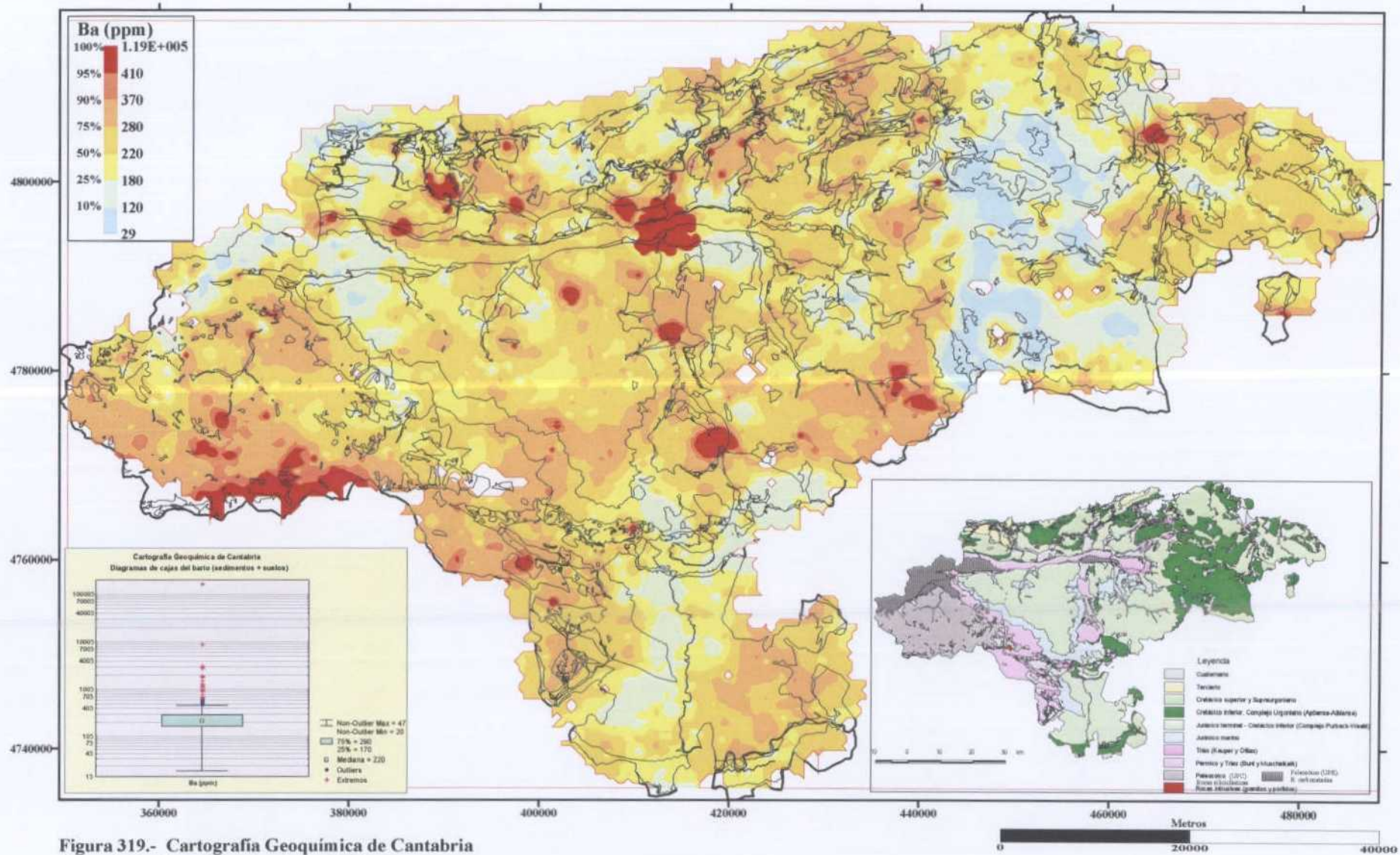
Figura 316.- Cartografía Geoquímica de Cantabria  
 Geoquímica de sedimentos de corriente  
 Mapa de puntos de distribución del oro



**Figura 317- Cartografía Geoquímica de Cantabria**  
Geoquímica de sedimentos de corriente  
Mapa de contornos de distribución del oro







**Figura 319.- Cartografía Geoquímica de Cantabria**  
**Geoquímica de sedimentos de corriente**  
**Mapa de contornos de distribución del bario**

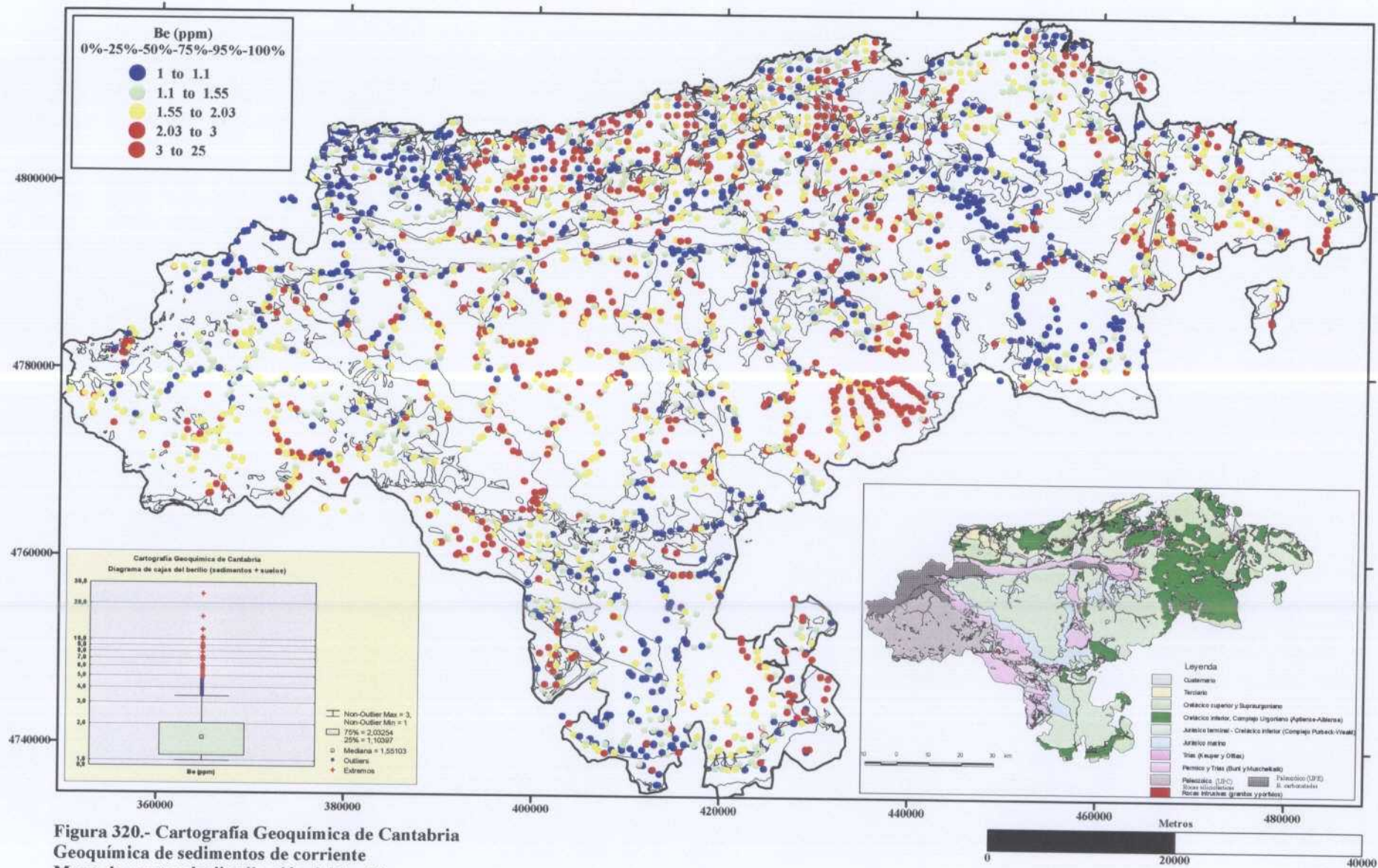
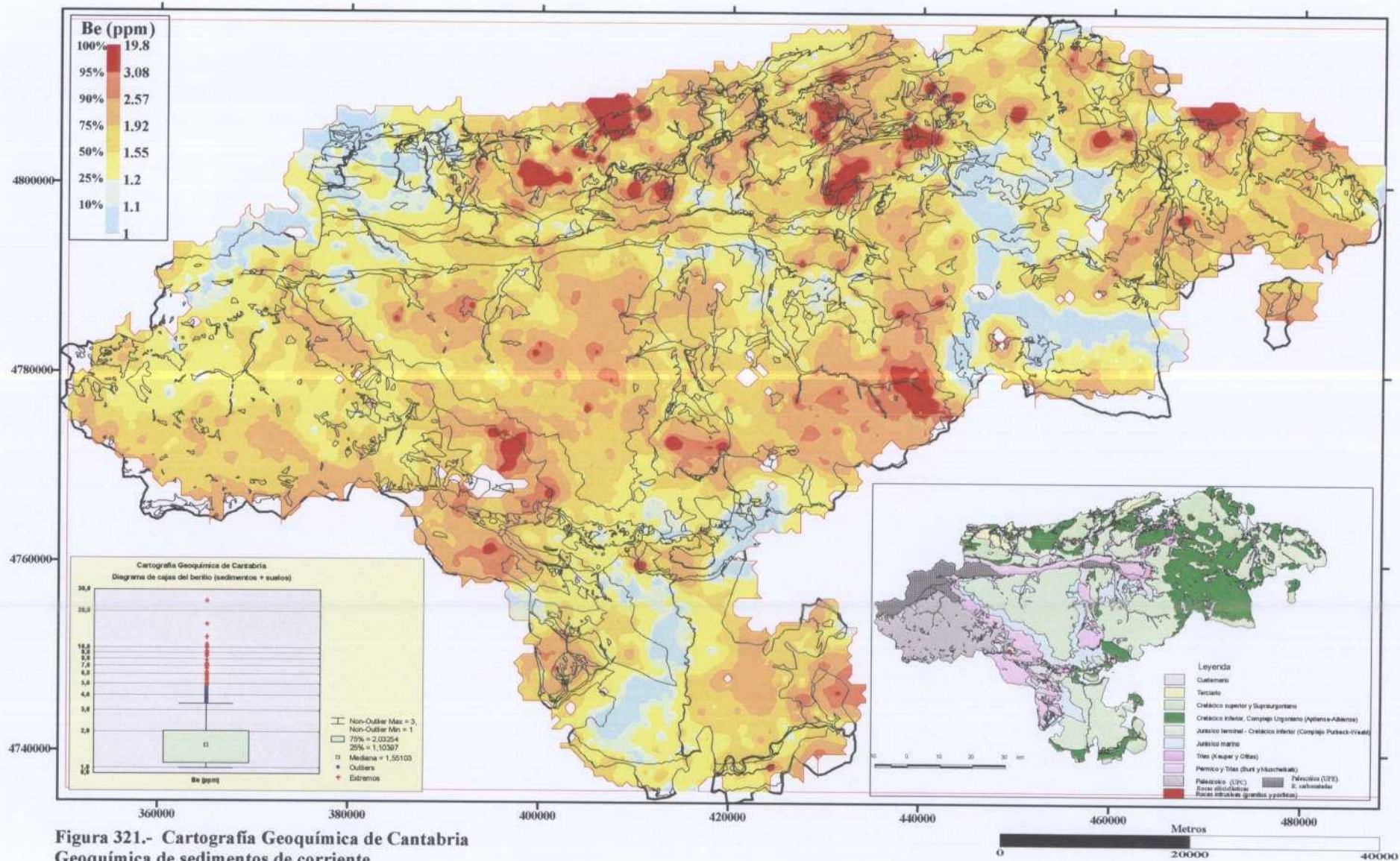


Figura 320.- Cartografía Geoquímica de Cantabria  
Geoquímica de sedimentos de corriente  
Mapa de puntos de distribución del berilio



**Figura 321.- Cartografía Geoquímica de Cantabria**  
Geoquímica de sedimentos de corriente  
Mapa de contornos de distribución del berilio

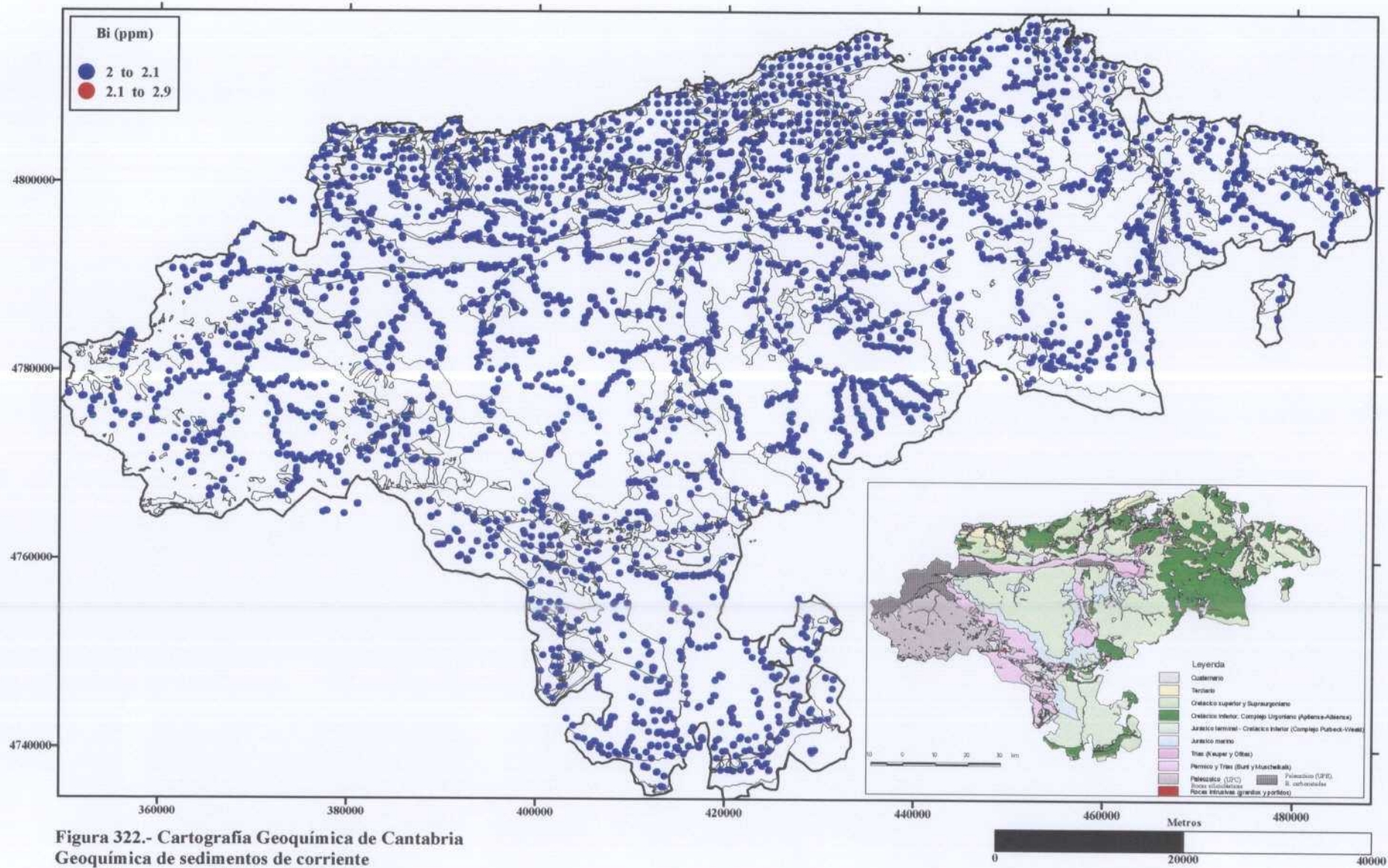


Figura 322.- Cartografía Geoquímica de Cantabria  
Geoquímica de sedimentos de corriente  
Mapa de puntos de distribución del bismuto

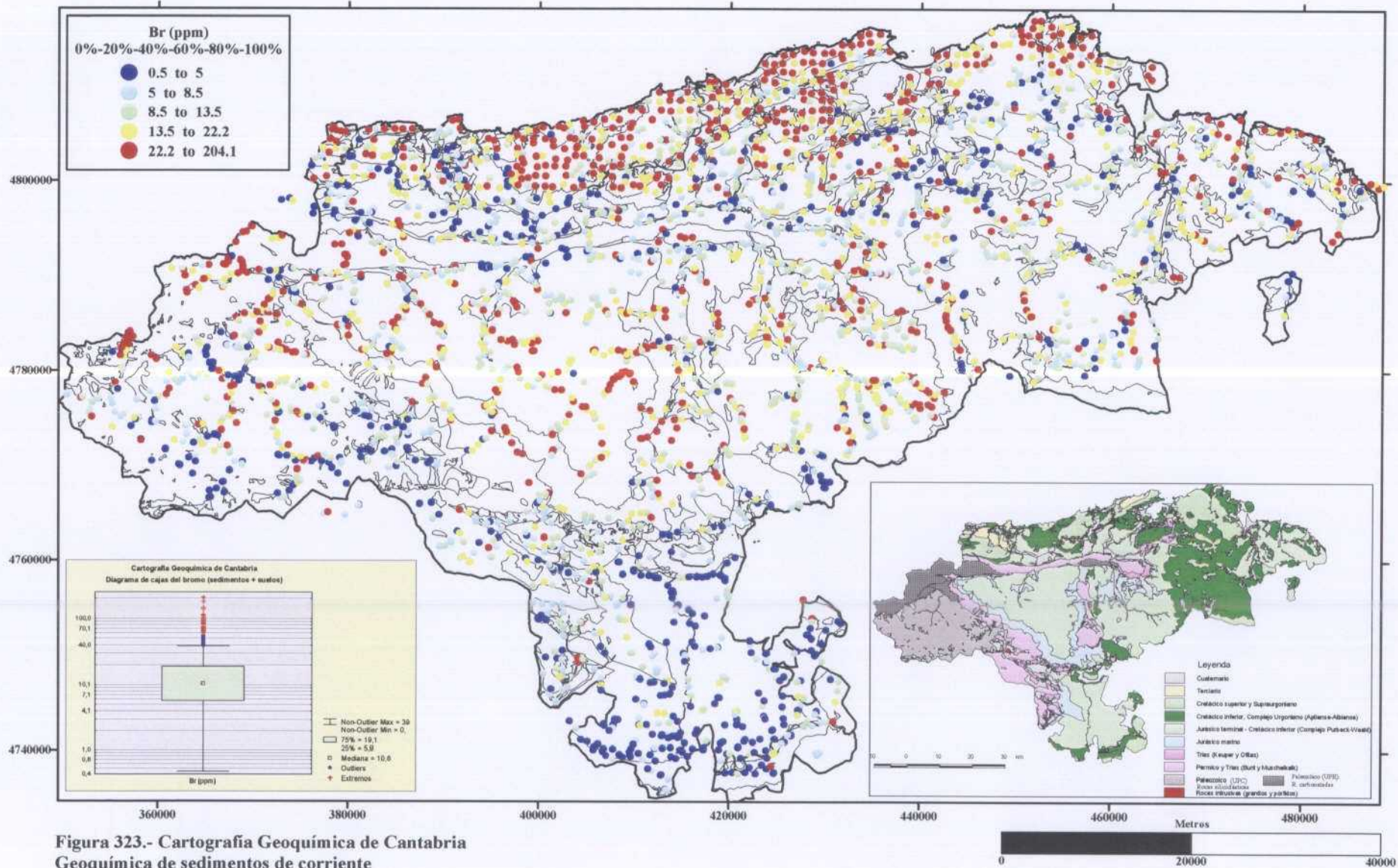


Figura 323.- Cartografía Geoquímica de Cantabria  
 Geoquímica de sedimentos de corriente  
 Mapa de puntos de distribución del bromo

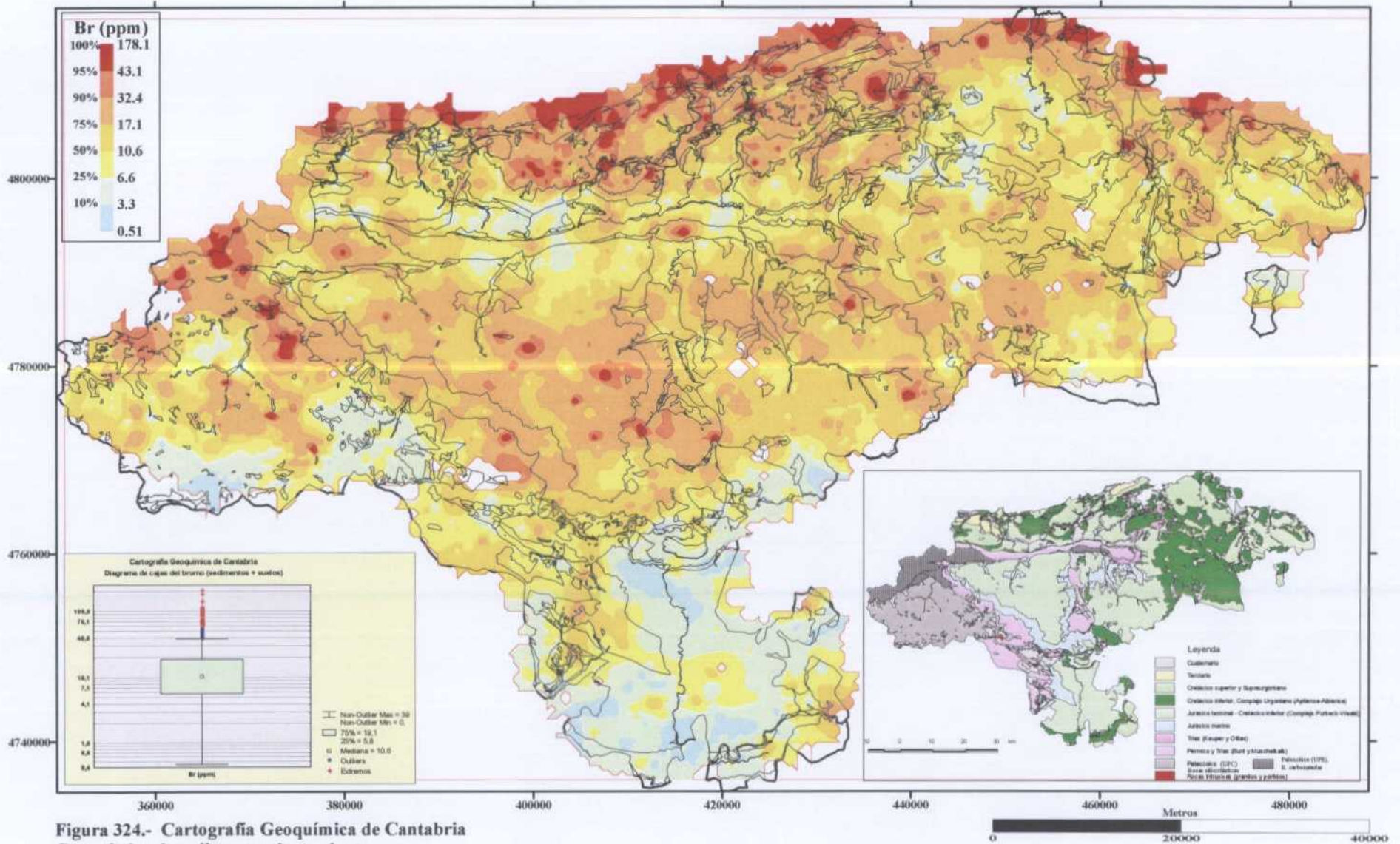


Figura 324.- Cartografía Geoquímica de Cantabria  
Geoquímica de sedimentos de corriente  
Mapa de contornos de distribución del bromo

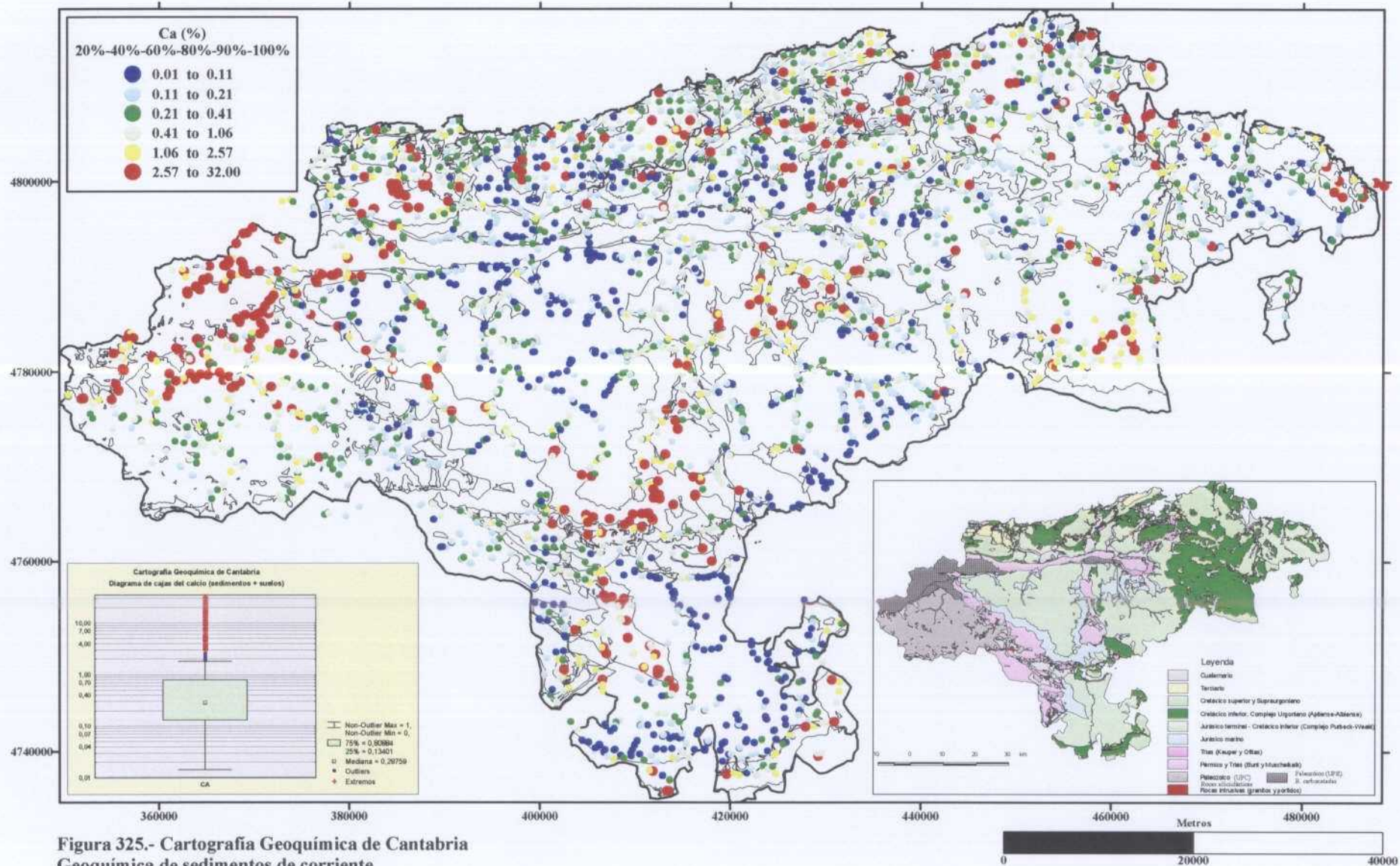
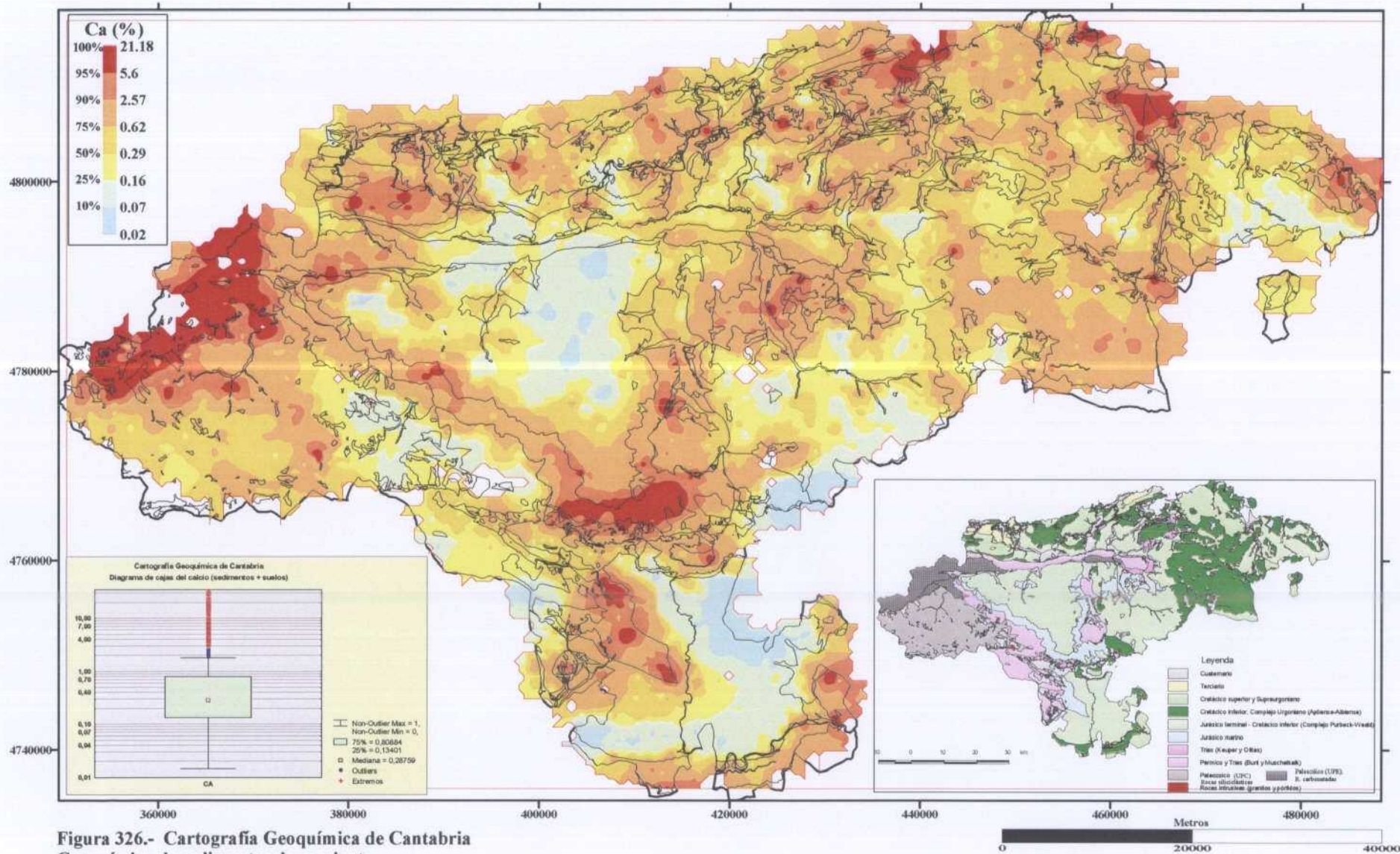


Figura 325.- Cartografía Geoquímica de Cantabria  
Geoquímica de sedimentos de corriente  
Mapa de puntos de distribución del calcio





**Figura 326.- Cartografía Geoquímica de Cantabria**  
Geoquímica de sedimentos de corriente  
Mapa de contornos de distribución del bromo

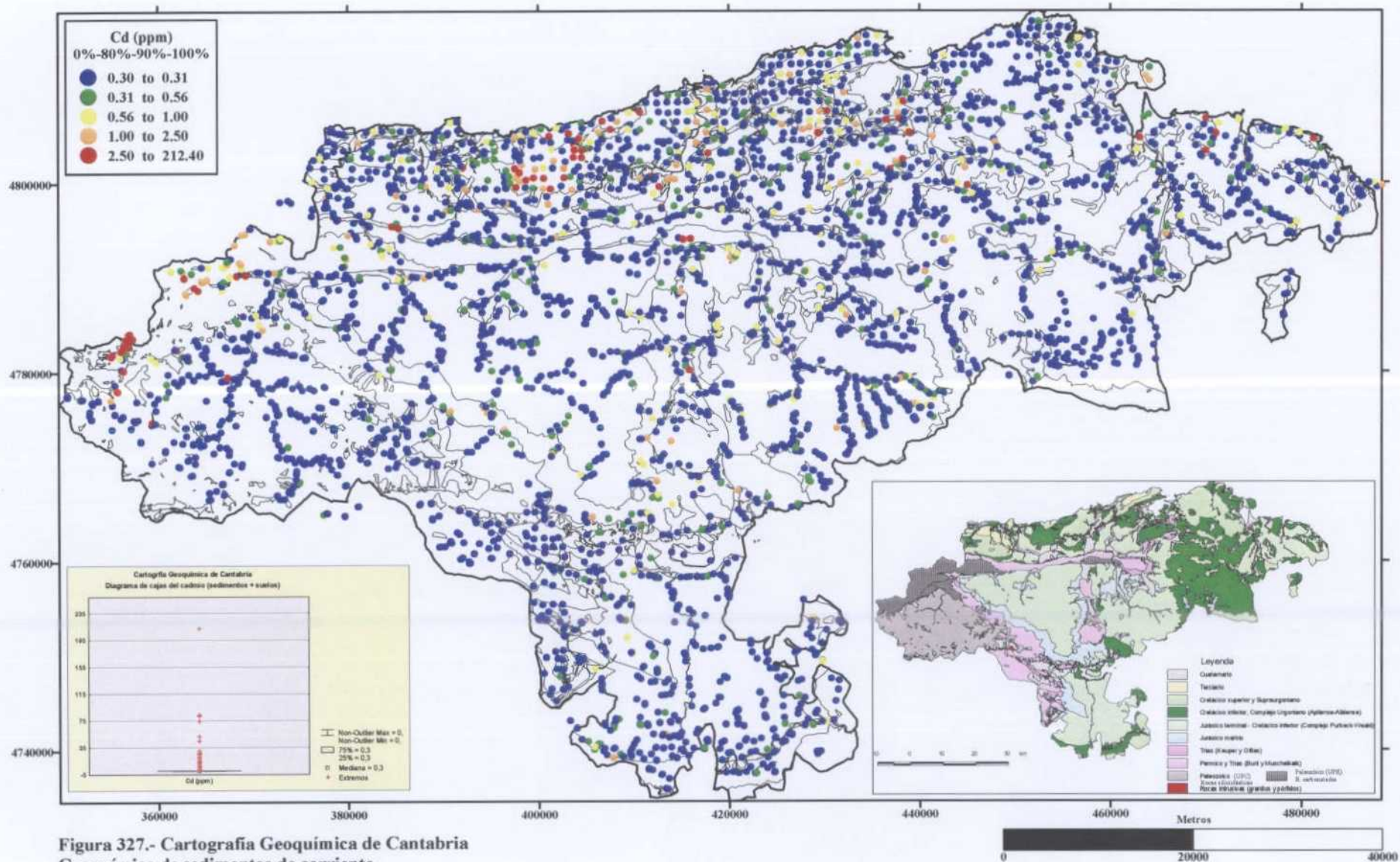
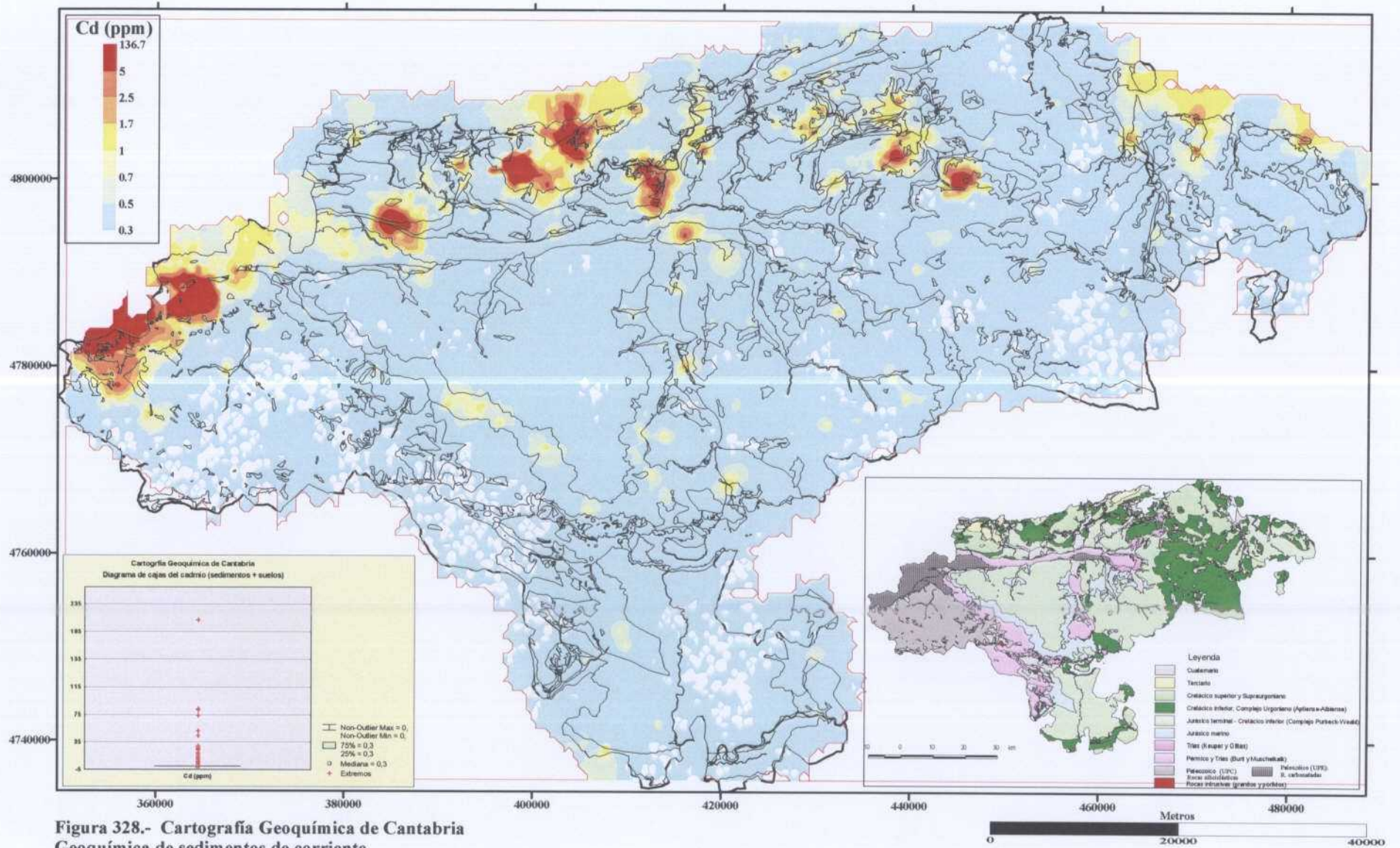


Figura 327.- Cartografía Geoquímica de Cantabria  
Geoquímica de sedimentos de corriente  
Mapa de puntos de distribución del cadmio



**Figura 328.- Cartografía Geoquímica de Cantabria**  
Geoquímica de sedimentos de corriente  
Mapa de contornos de distribución del cadmio

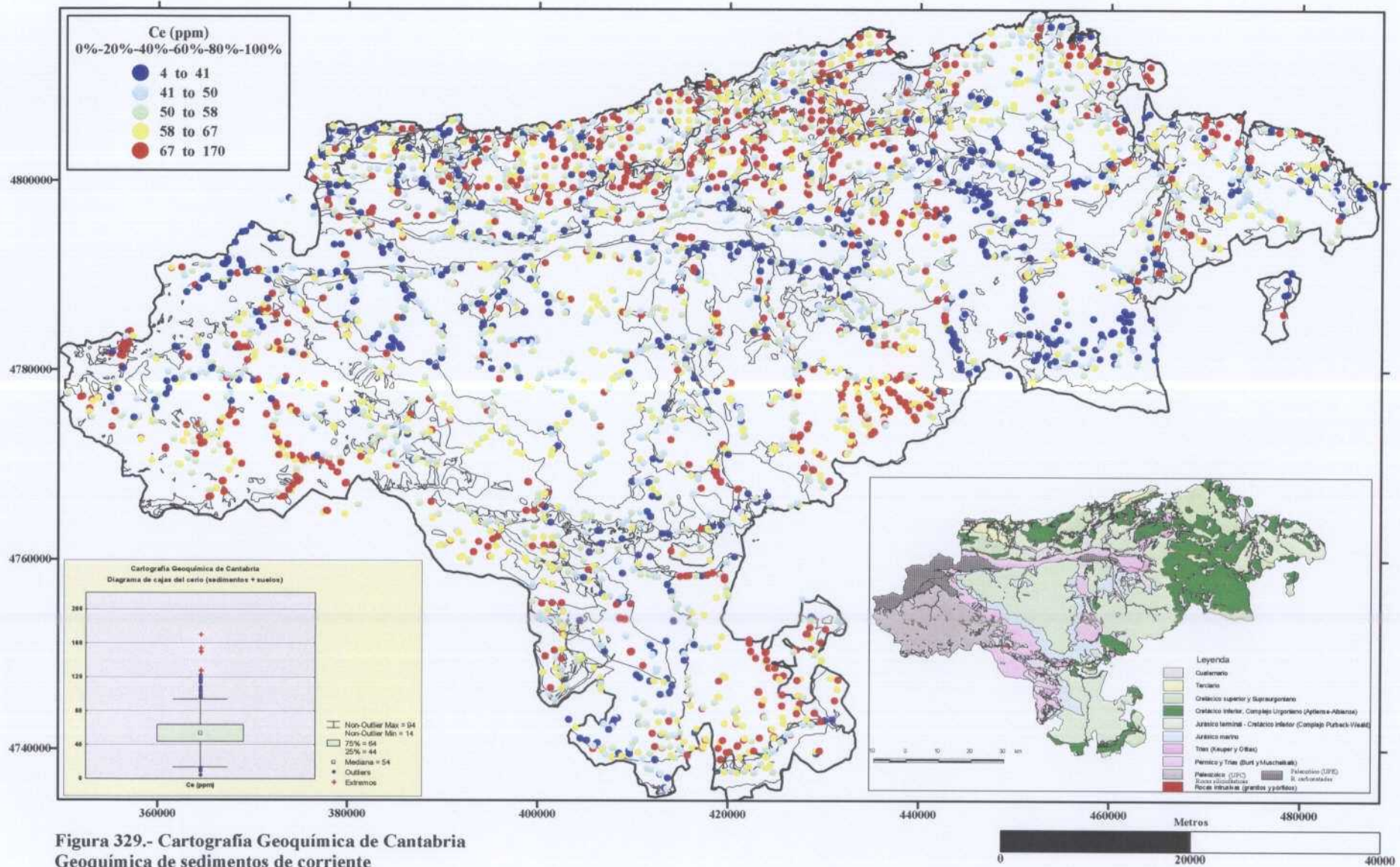
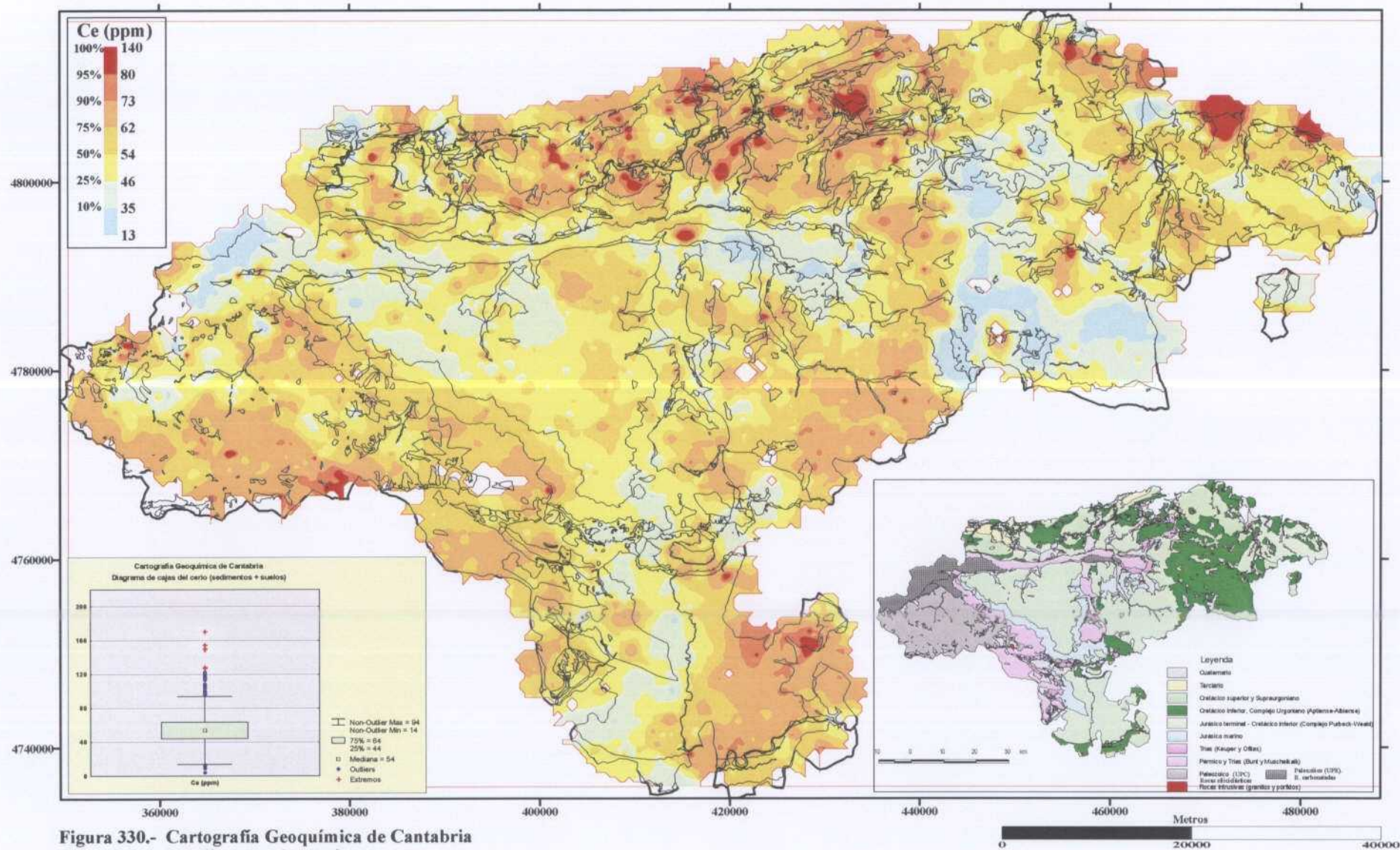
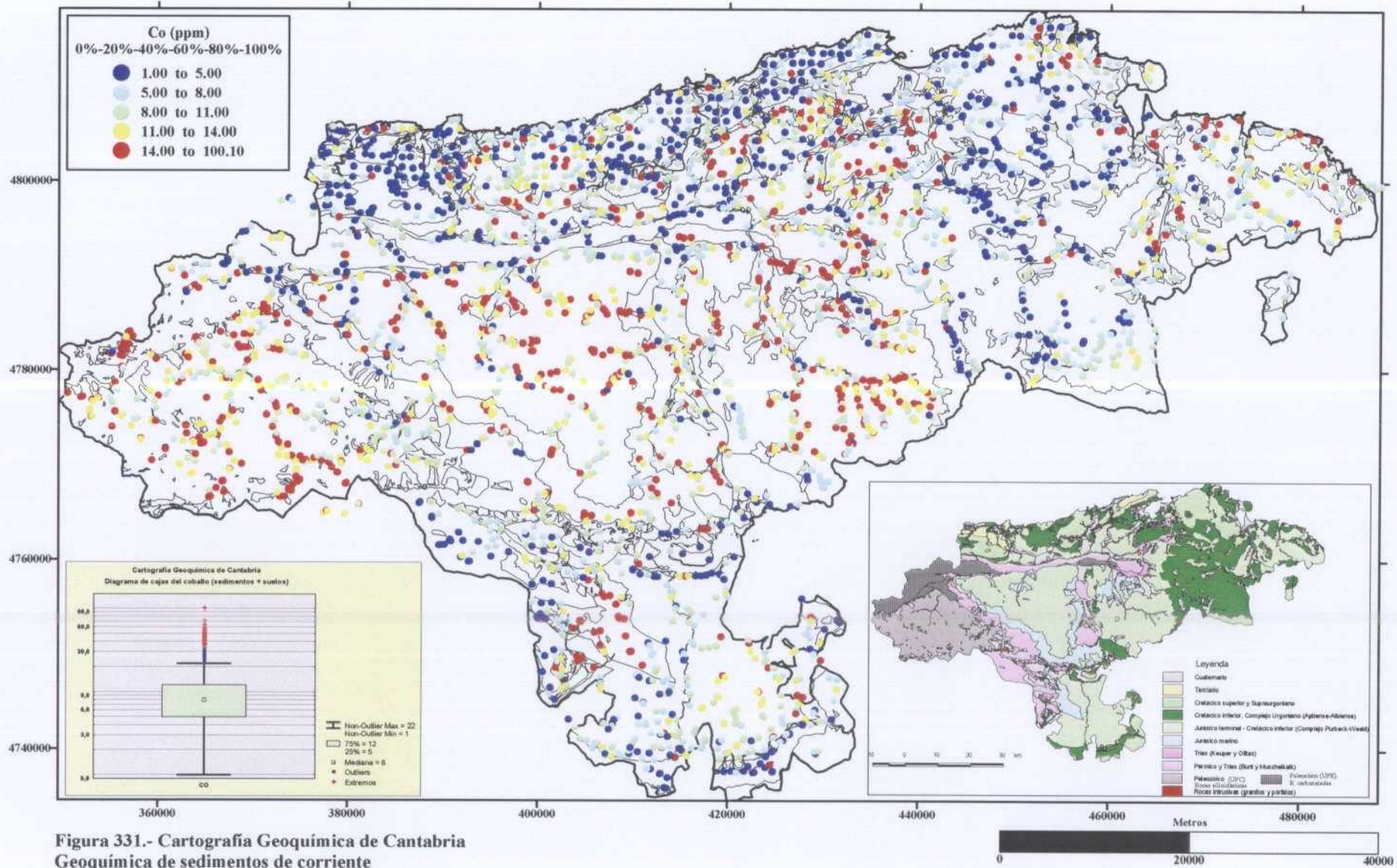


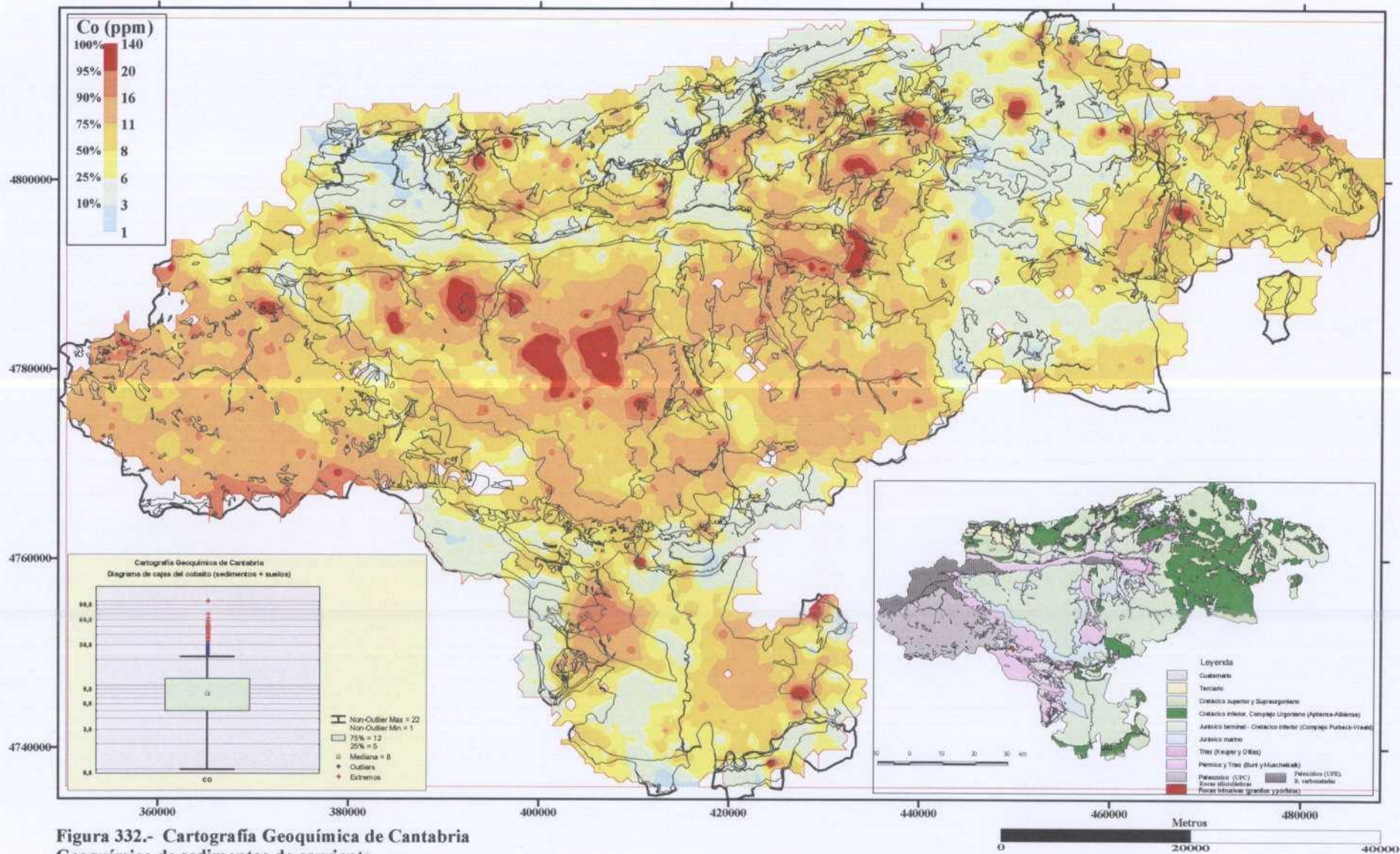
Figura 329.- Cartografía Geoquímica de Cantabria  
 Geoquímica de sedimentos de corriente  
 Mapa de puntos de distribución del cerio



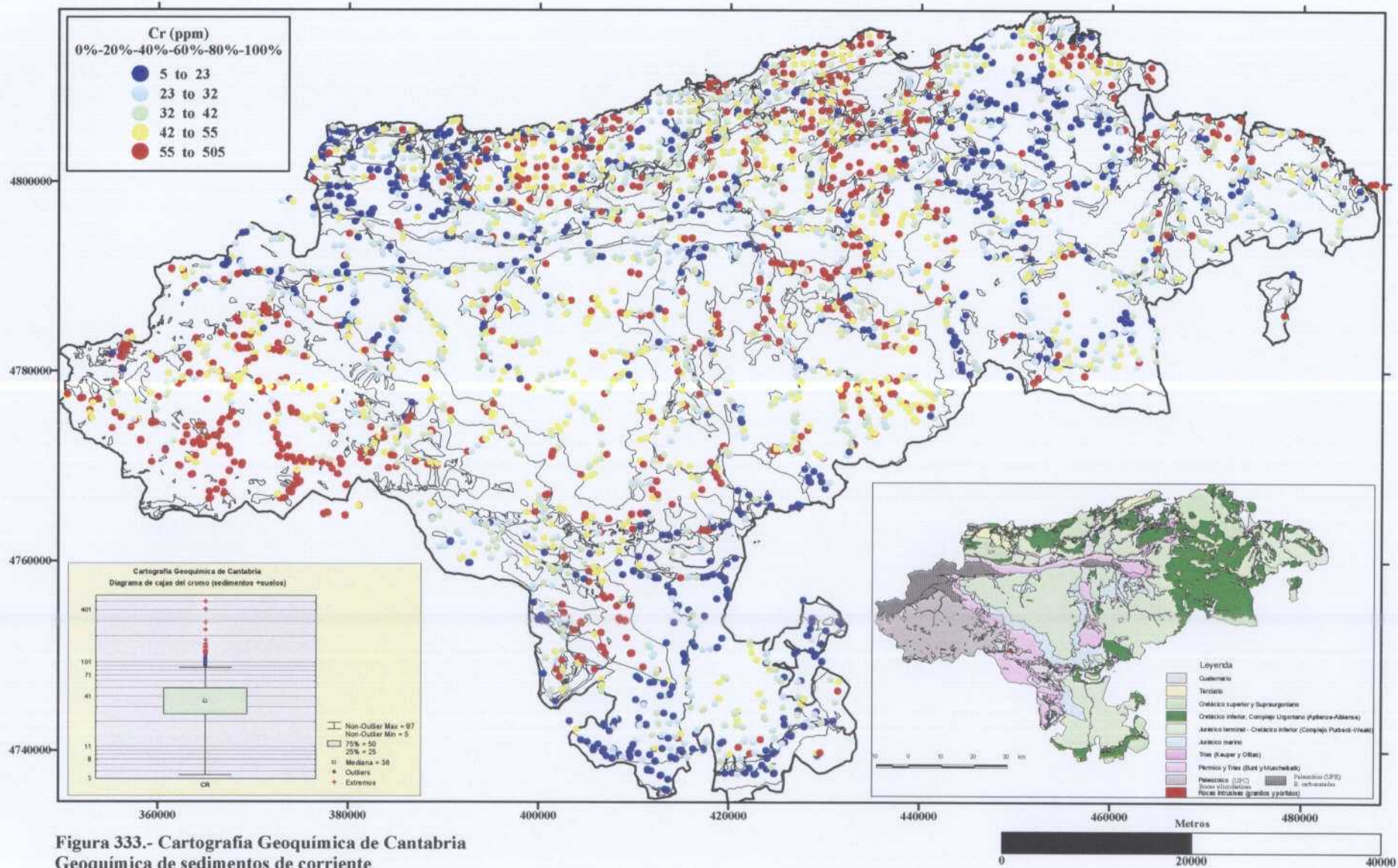
**Figura 330.- Cartografía Geoquímica de Cantabria**  
Geoquímica de sedimentos de corriente  
Mapa de contornos de distribución del cerio



**Figura 331.- Cartografía Geoquímica de Cantabria**  
Geoquímica de sedimentos de corriente  
Mapa de puntos de distribución del cobalto

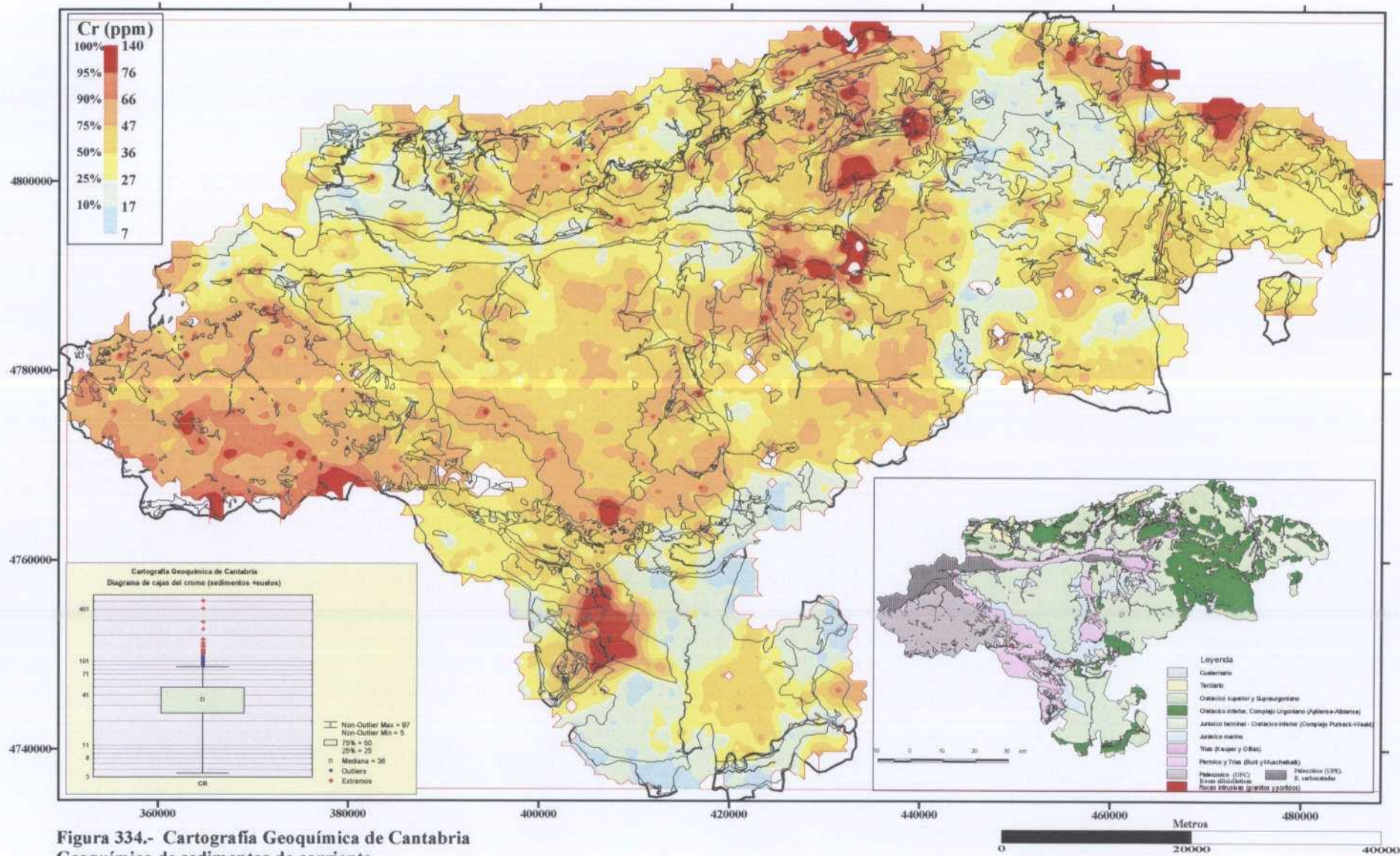


**Figura 332.- Cartografía Geoquímica de Cantabria**  
Geoquímica de sedimentos de corriente  
Mapa de contornos de distribución del cobalto



**Figura 333.- Cartografía Geoquímica de Cantabria**  
Geoquímica de sedimentos de corriente  
Mapa de puntos de distribución del cromo





**Figura 334.- Cartografía Geoquímica de Cantabria**  
Geoquímica de sedimentos de corriente  
Mapa de contornos de distribución del cromo

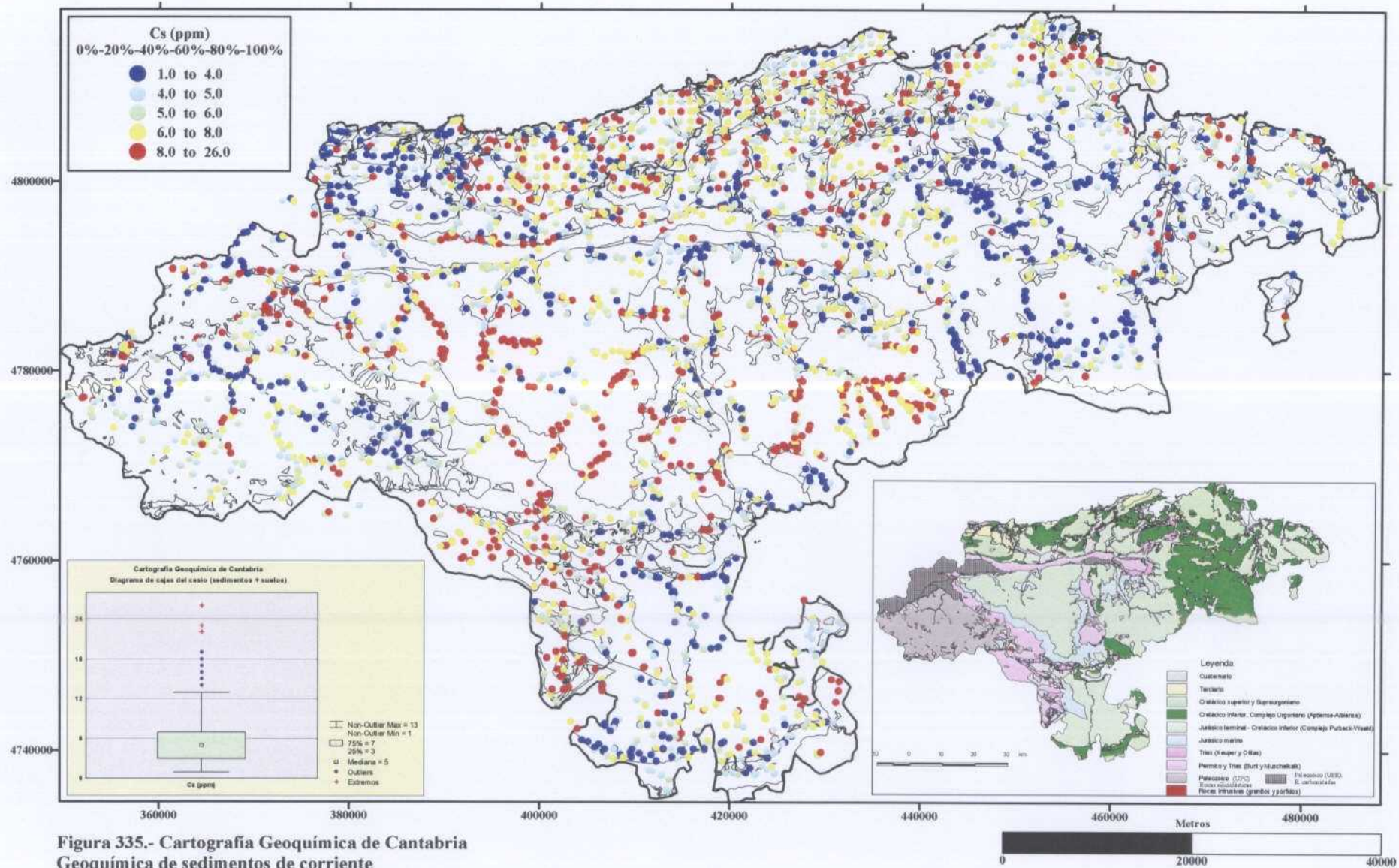
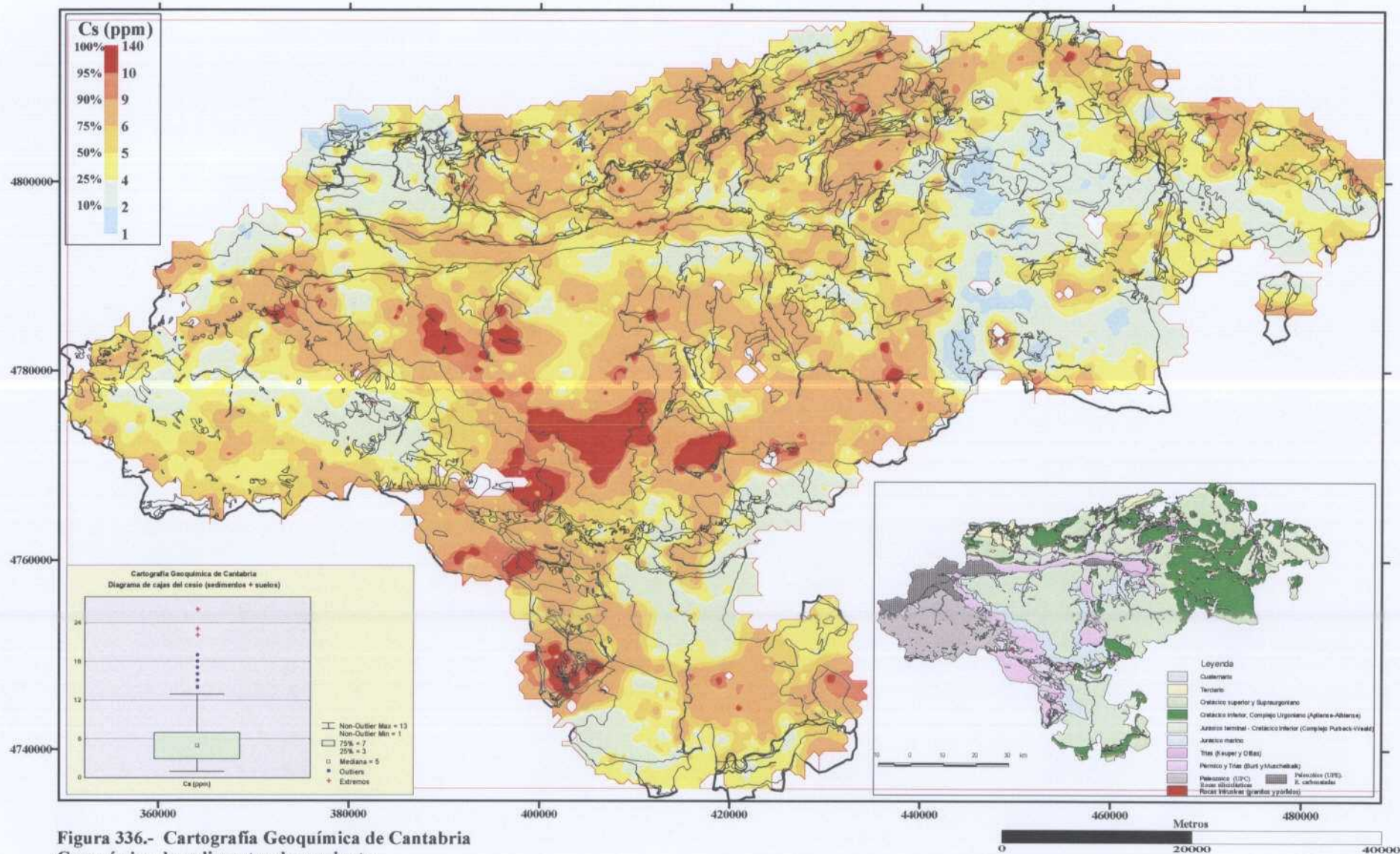


Figura 335.- Cartografía Geoquímica de Cantabria  
Geoquímica de sedimentos de corriente  
Mapa de puntos de distribución del cesio



**Figura 336.- Cartografía Geoquímica de Cantabria**  
Geoquímica de sedimentos de corriente  
Mapa de contornos de distribución del cesio

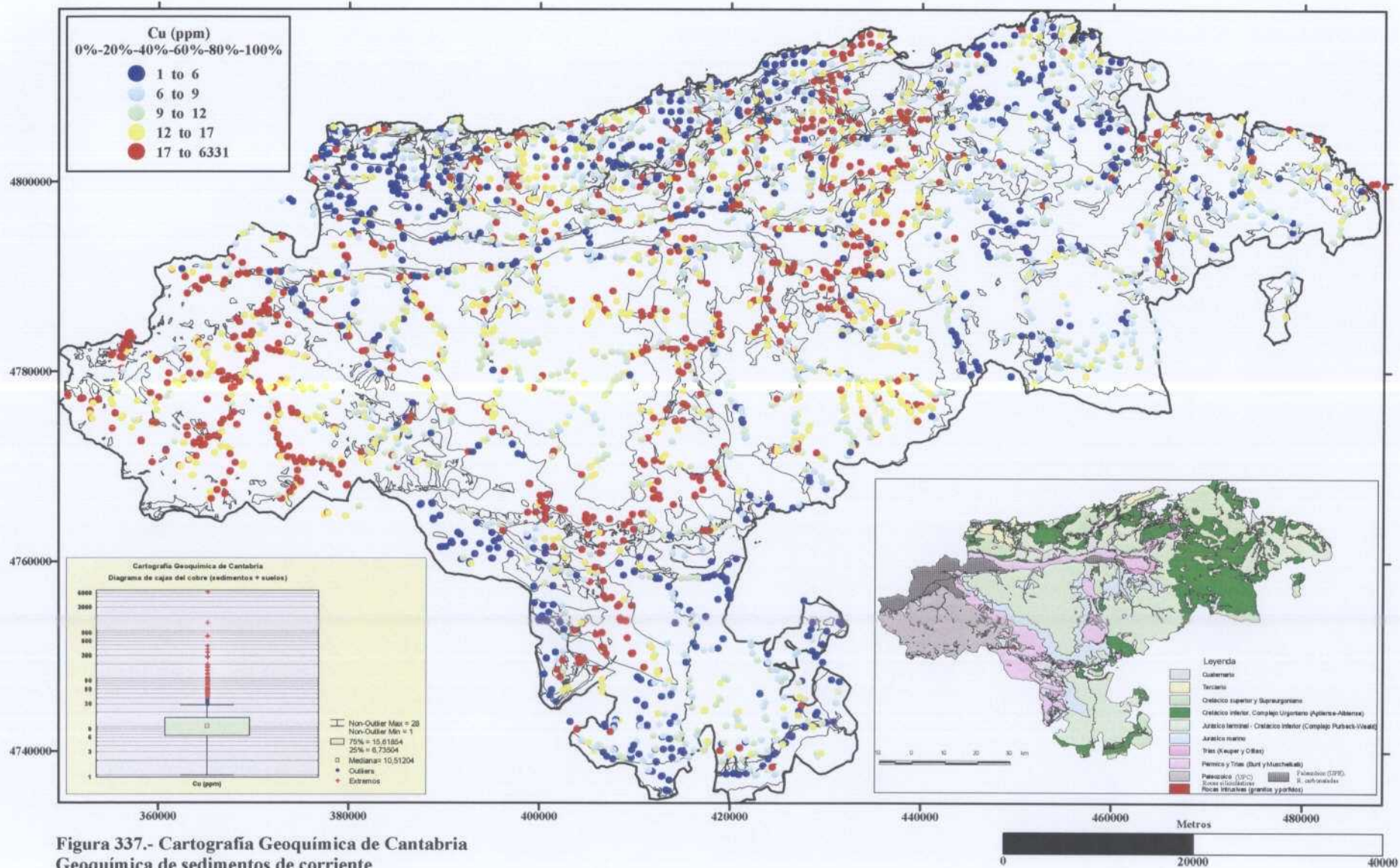
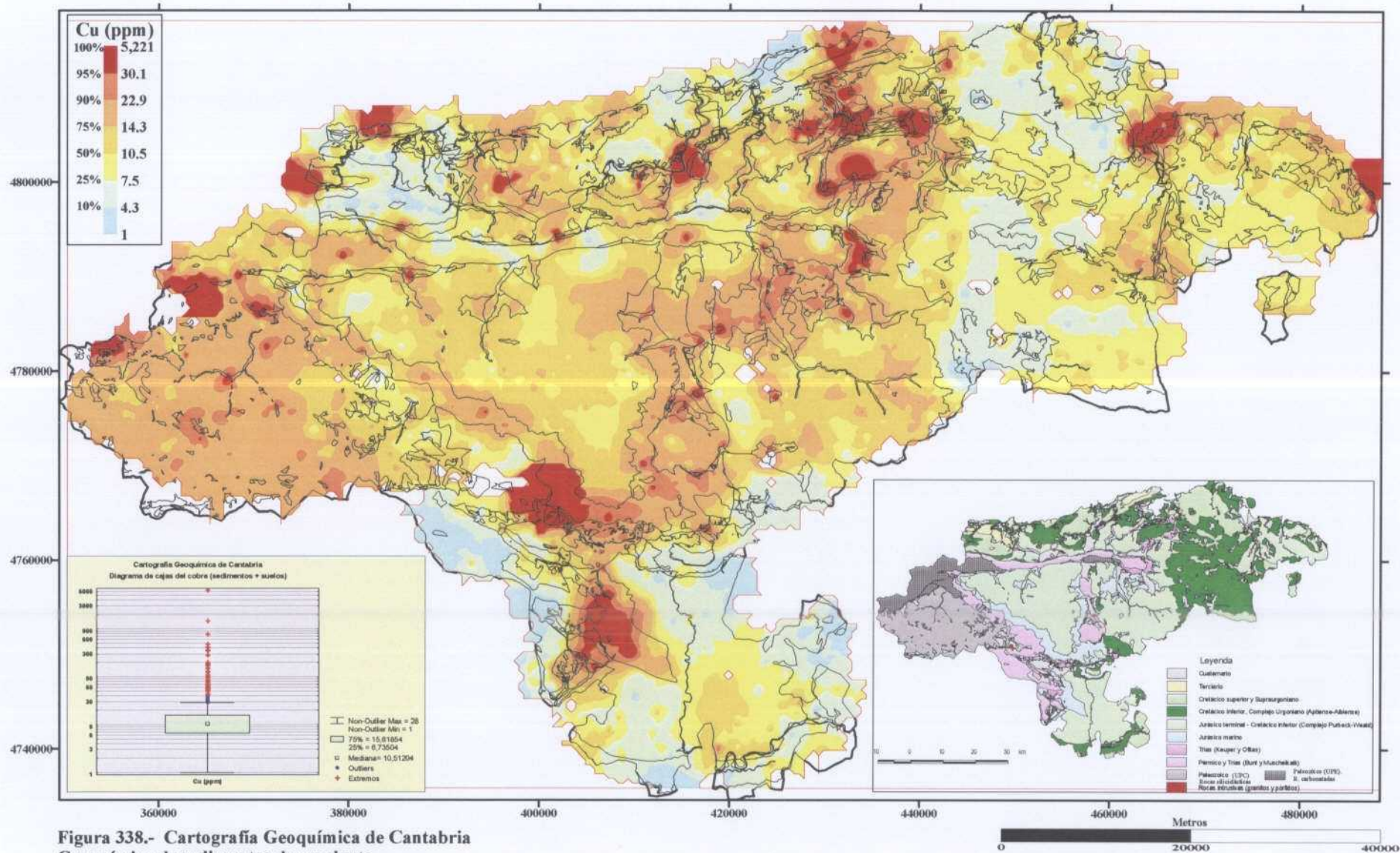


Figura 337.- Cartografía Geoquímica de Cantabria  
Geoquímica de sedimentos de corriente  
Mapa de puntos de distribución del cobre



**Figura 338.- Cartografía Geoquímica de Cantabria**  
Geoquímica de sedimentos de corriente  
Mapa de contornos de distribución del cobre

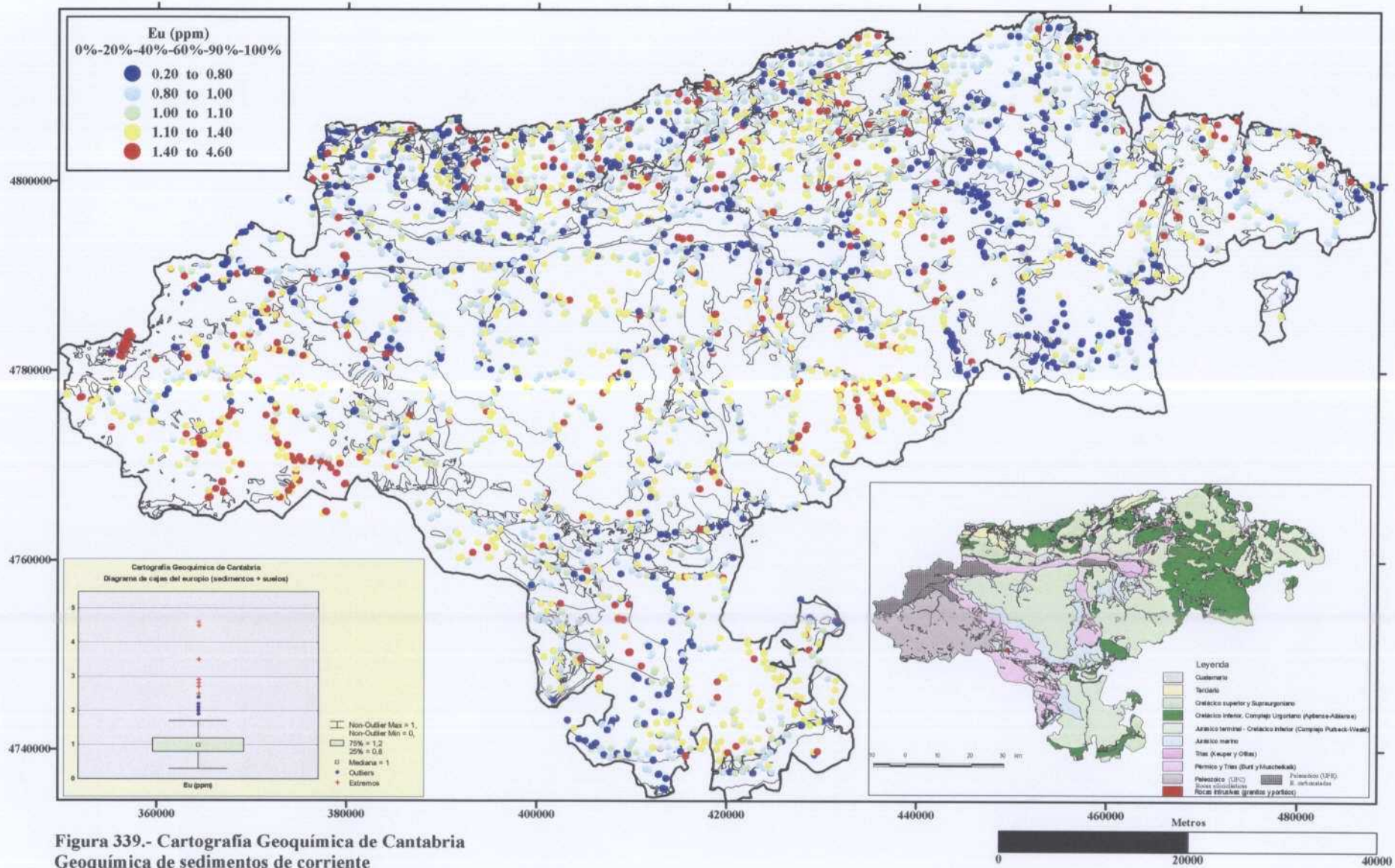
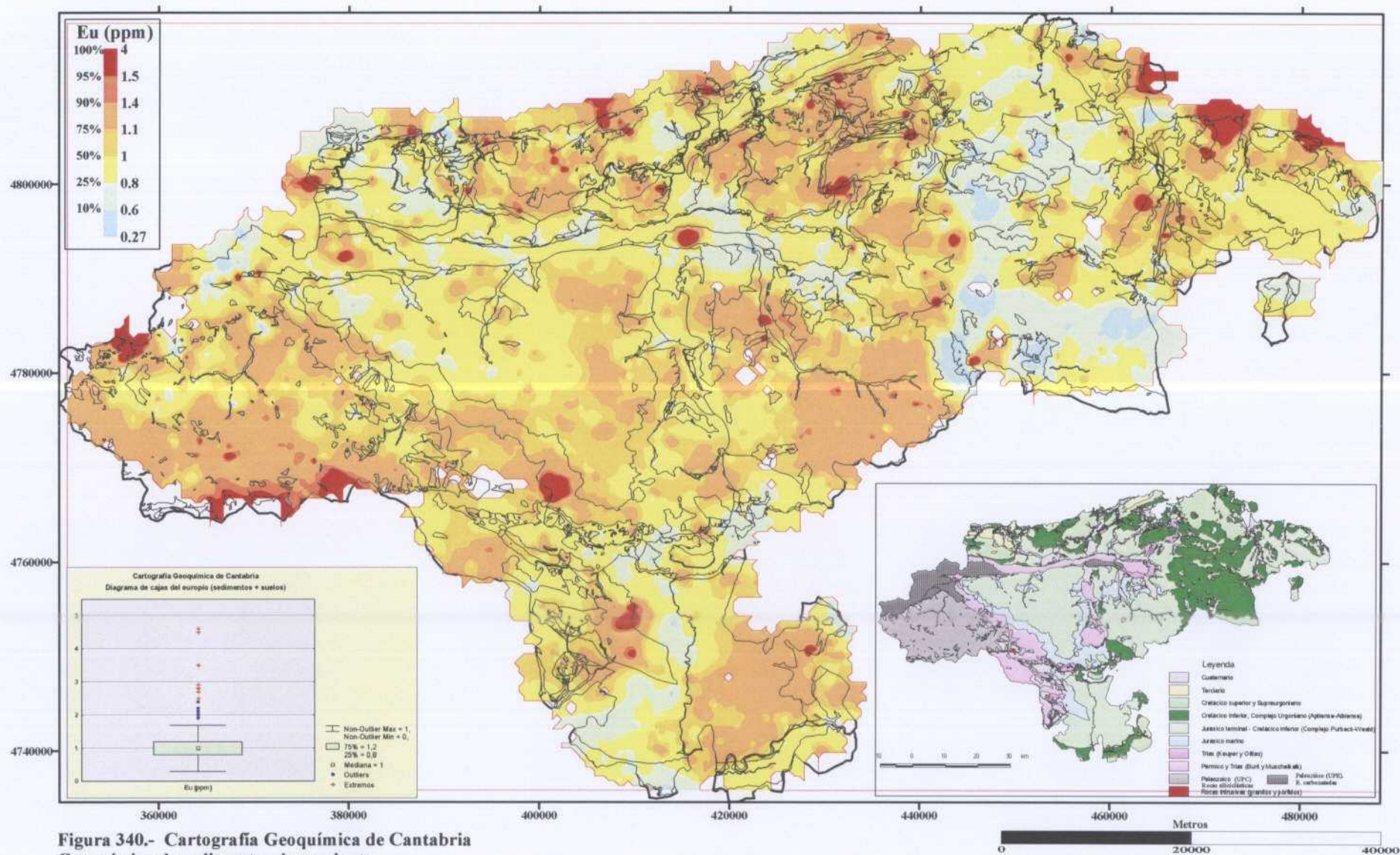
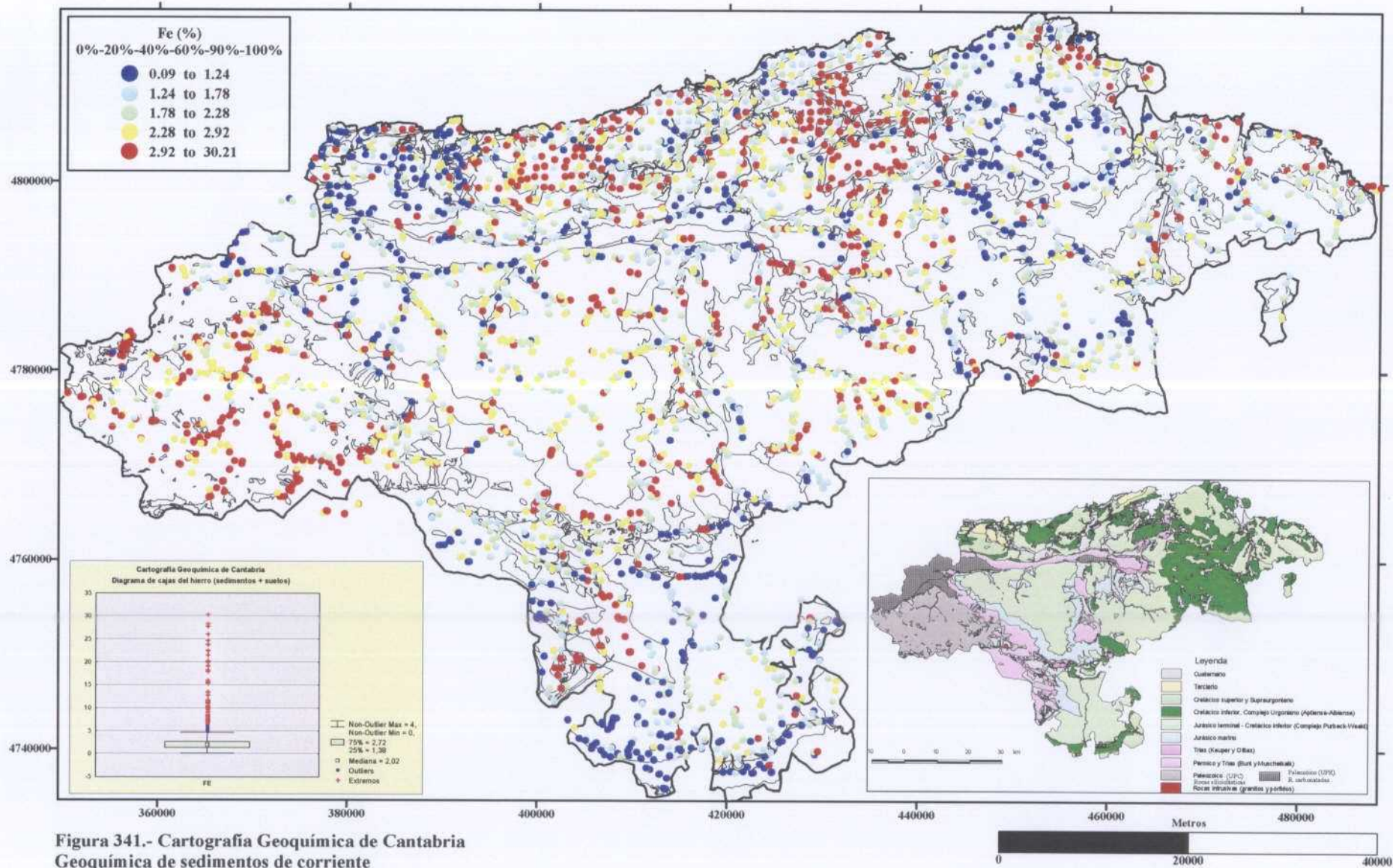


Figura 339.- Cartografía Geoquímica de Cantabria  
 Geoquímica de sedimentos de corriente  
 Mapa de puntos de distribución del europio

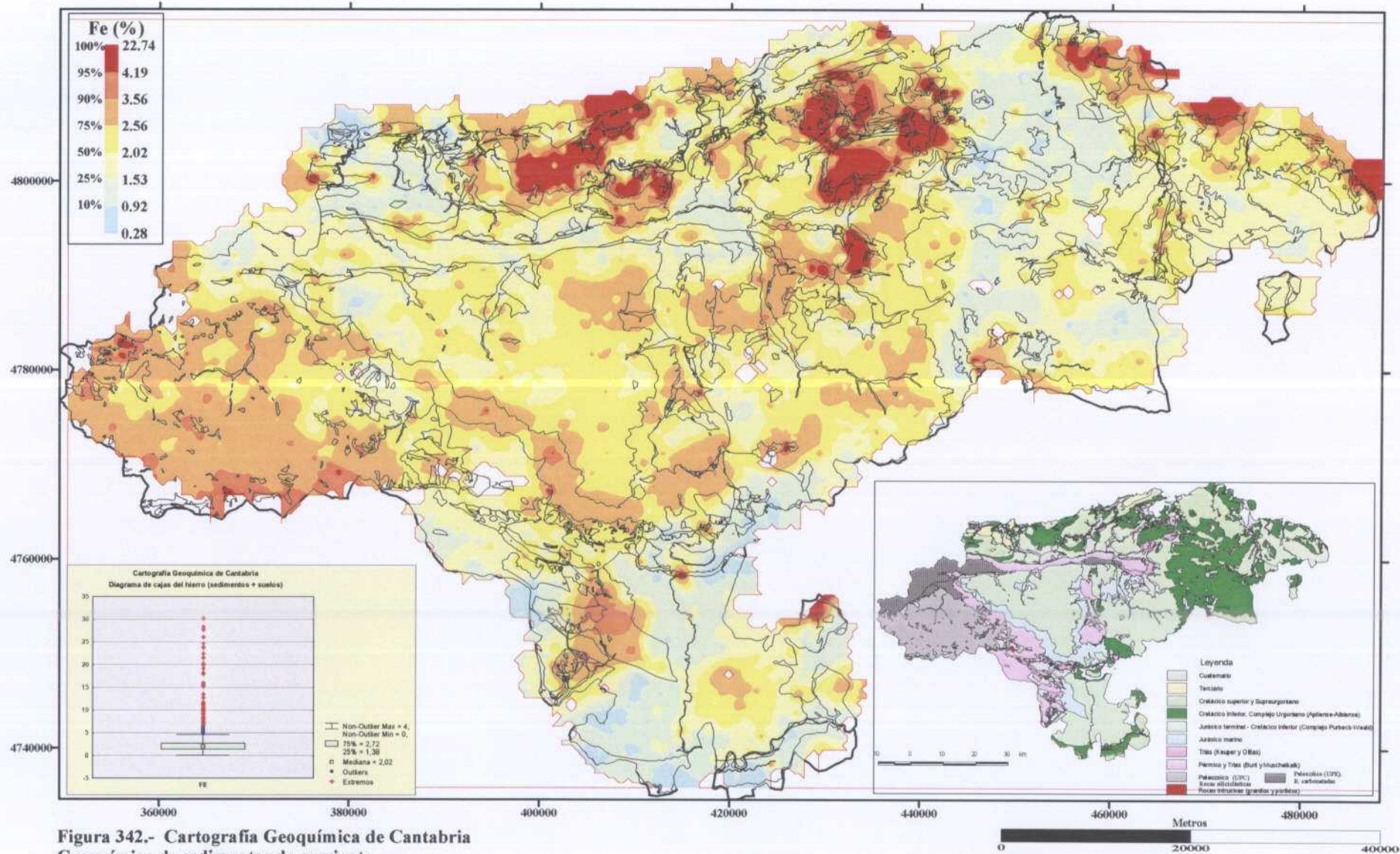


**Figura 340.- Cartografía Geoquímica de Cantabria**  
Geoquímica de sedimentos de corriente  
Mapa de contornos de distribución del europio



**Figura 341.- Cartografía Geoquímica de Cantabria**  
Geoquímica de sedimentos de corriente  
Mapa de puntos de distribución del hierro





**Figura 342.- Cartografía Geoquímica de Cantabria**  
Geoquímica de sedimentos de corriente  
Mapa de contornos de distribución del hierro

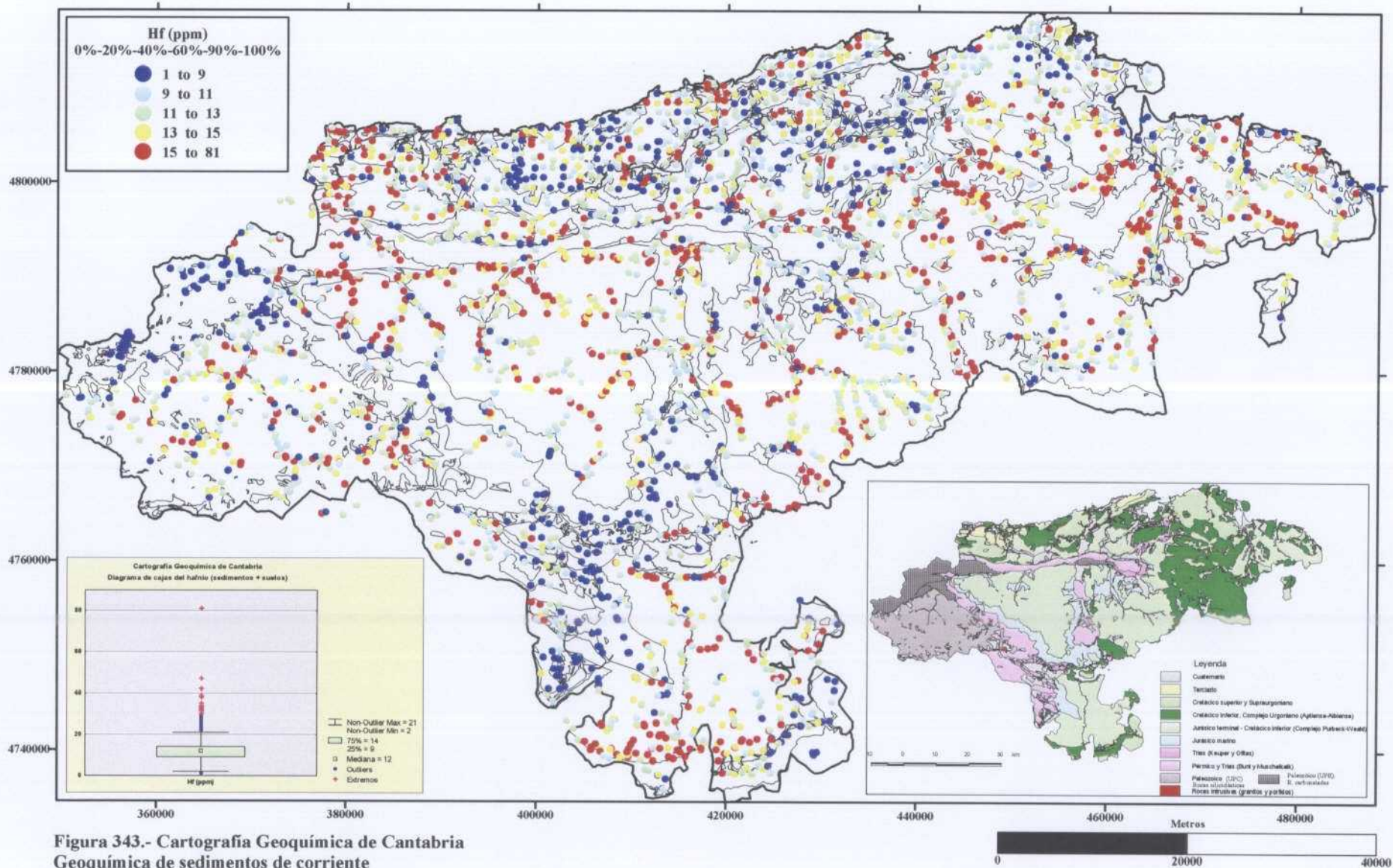


Figura 343.- Cartografía Geoquímica de Cantabria  
Geoquímica de sedimentos de corriente  
Mapa de puntos de distribución del hafnio

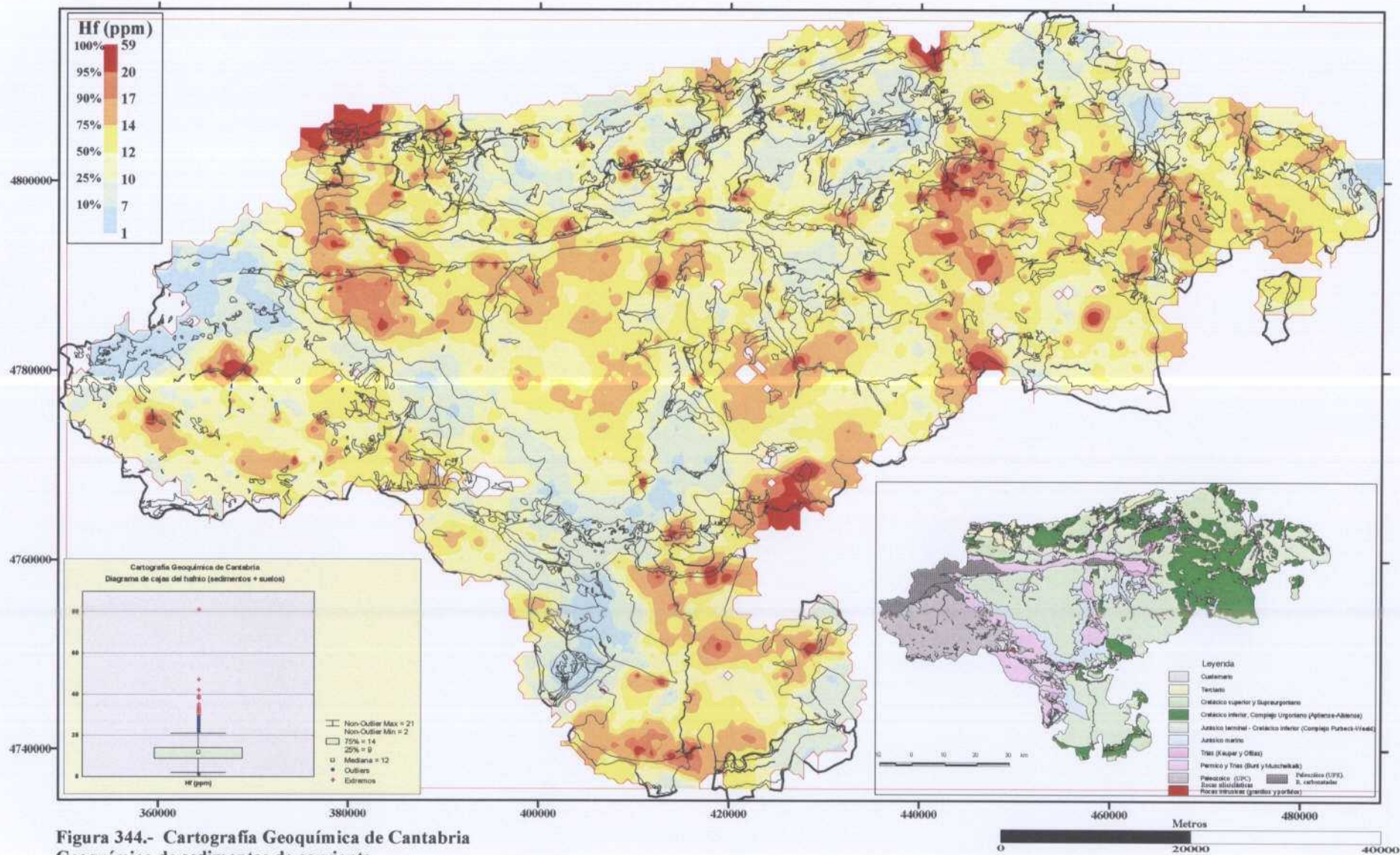


Figura 344.- Cartografía Geoquímica de Cantabria  
Geoquímica de sedimentos de corriente  
Mapa de contornos de distribución del hafnio

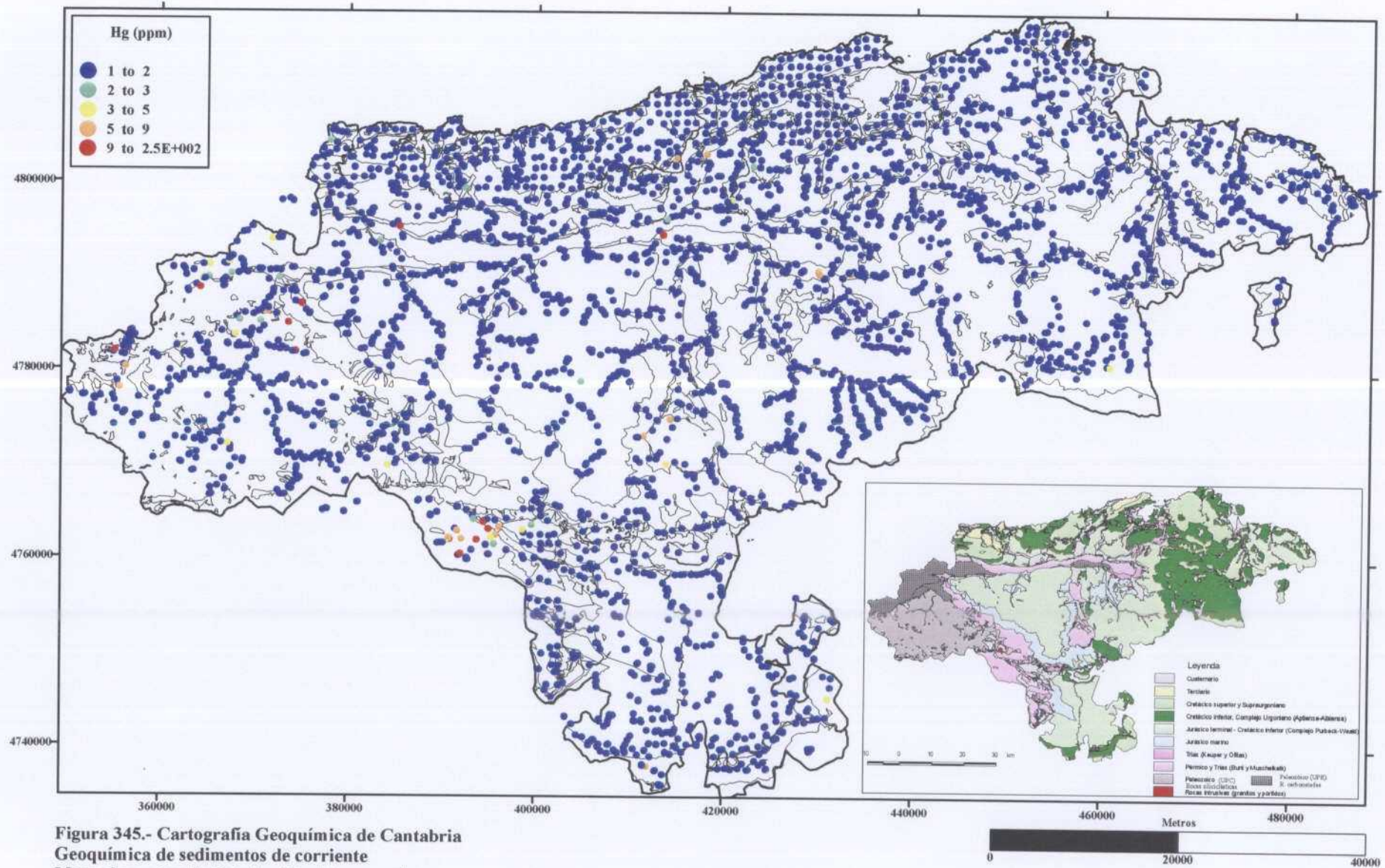


Figura 345.- Cartografía Geoquímica de Cantabria  
Geoquímica de sedimentos de corriente  
Mapa de puntos de distribución del mercurio

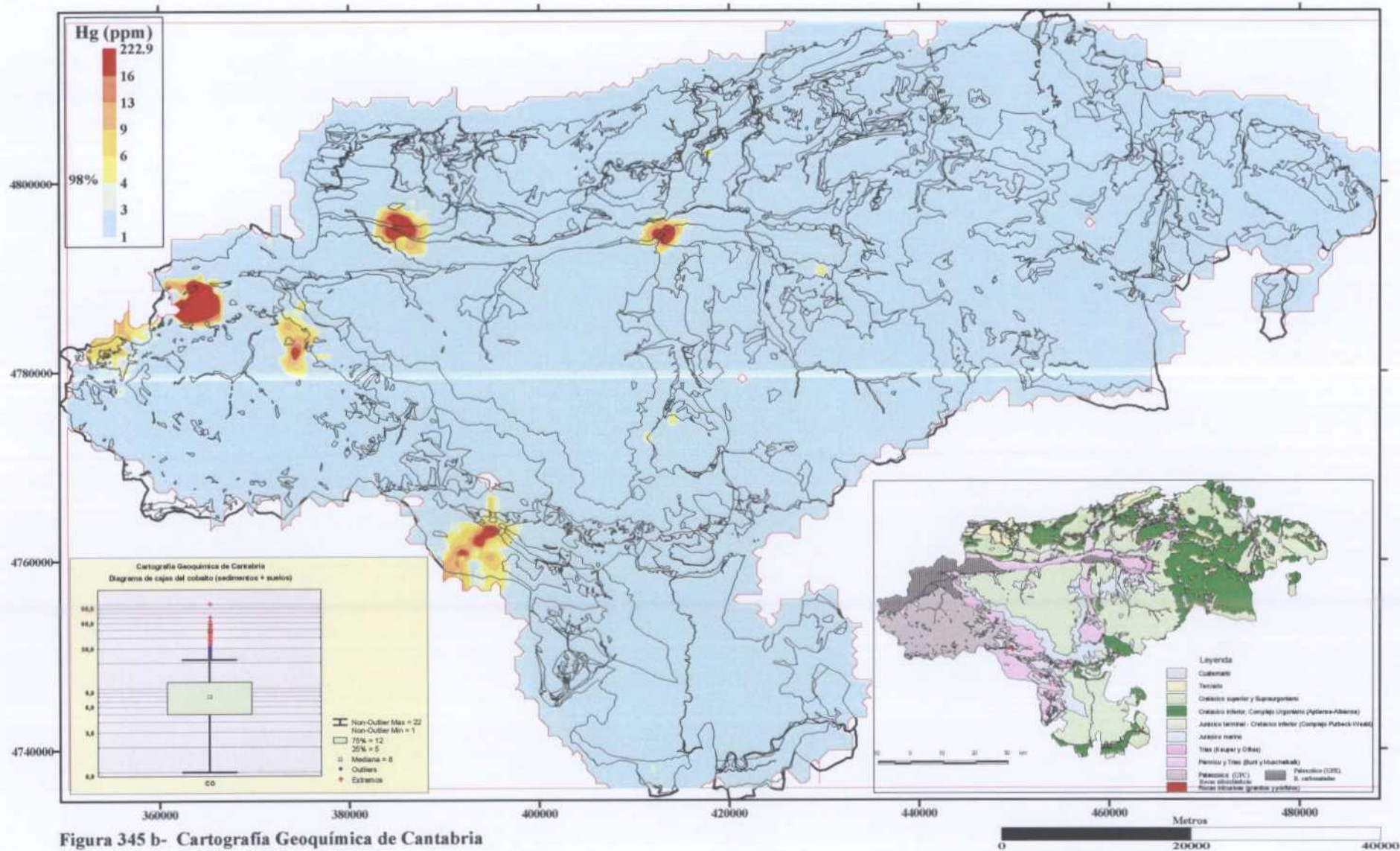


Figura 345 b- Cartografía Geoquímica de Cantabria  
Geoquímica de sedimentos de corriente  
Mapa de contornos de distribución del mercurio

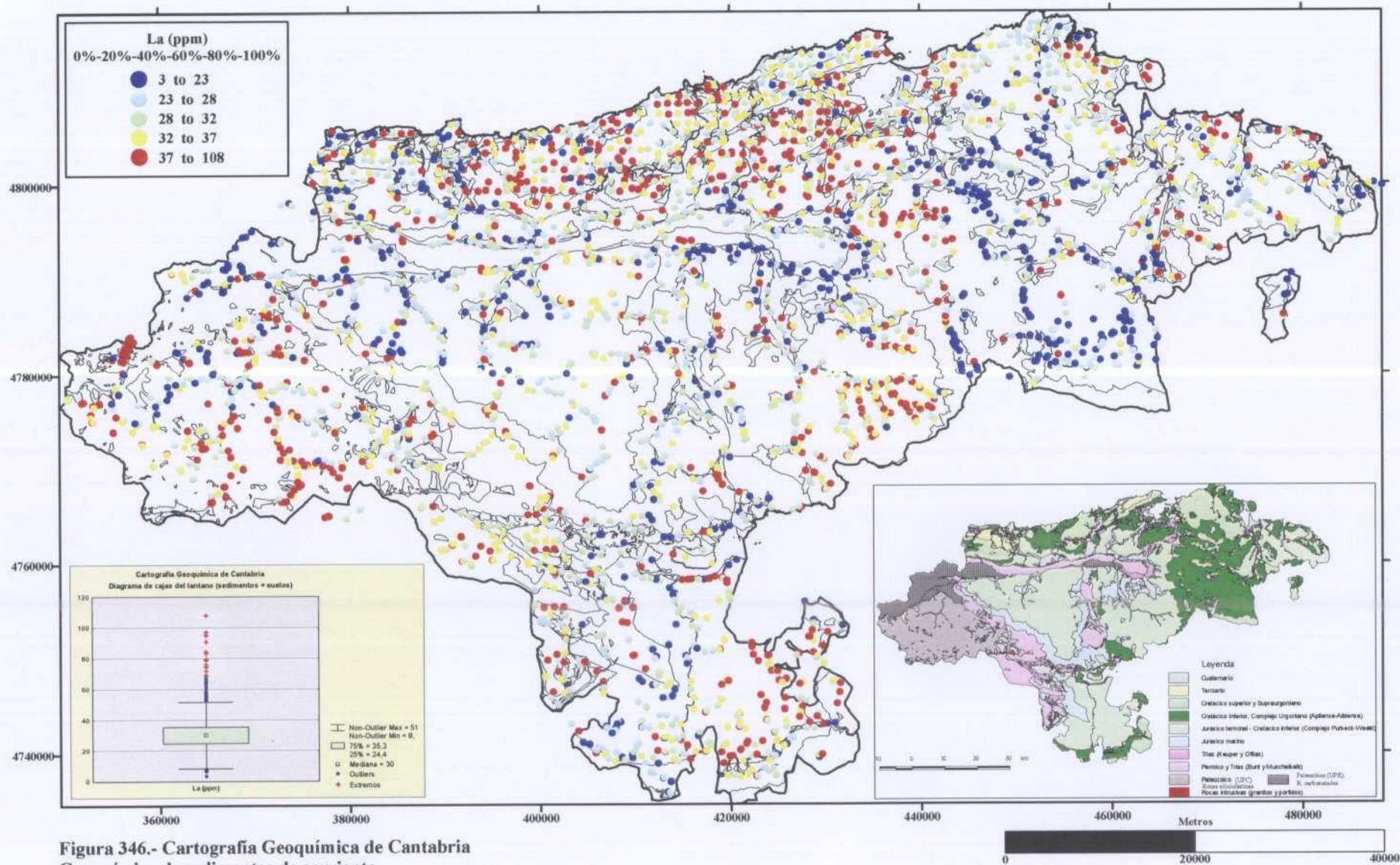
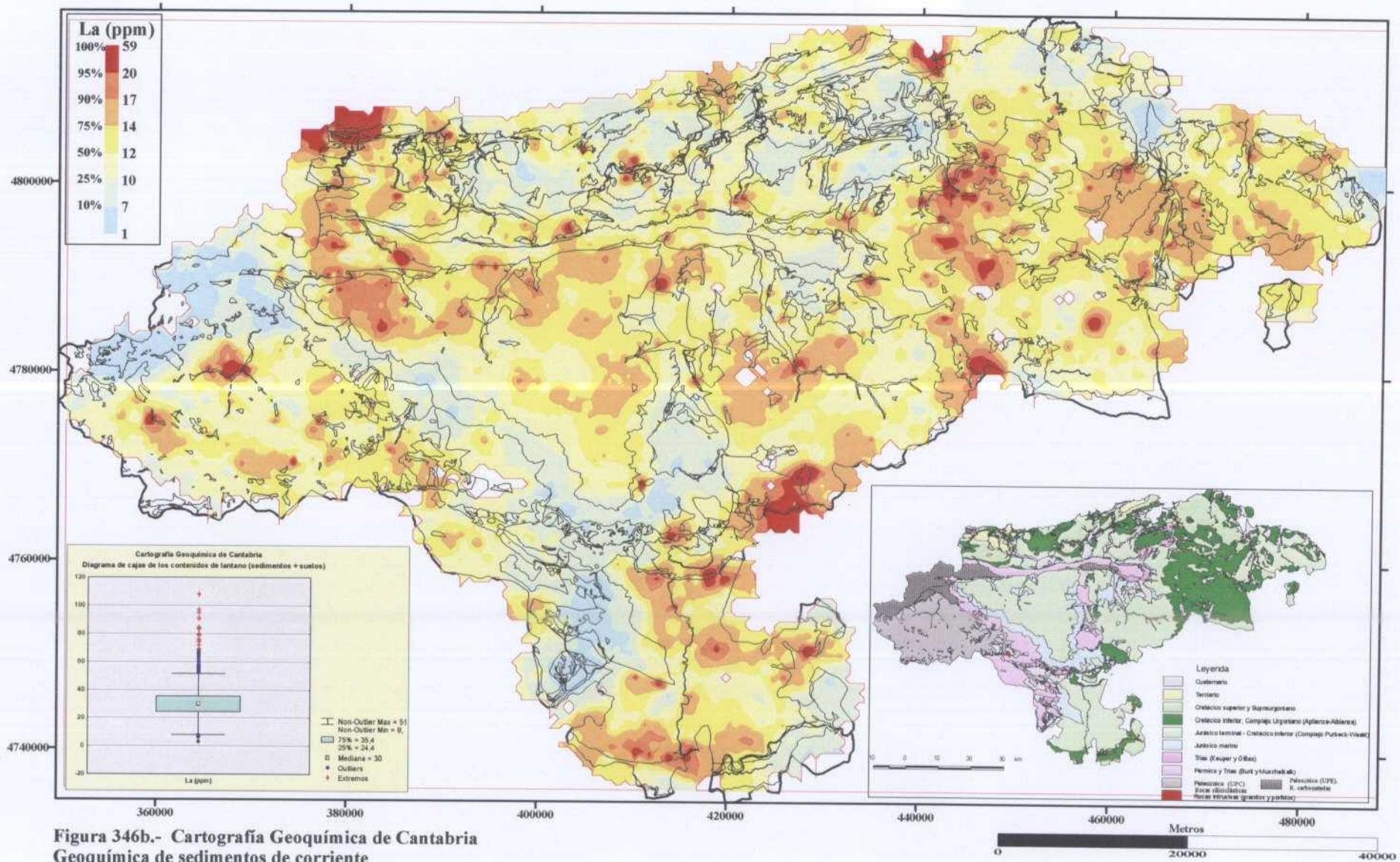


Figura 346.- Cartografía Geoquímica de Cantabria  
Geoquímica de sedimentos de corriente  
Mapa de puntos de distribución del lantano



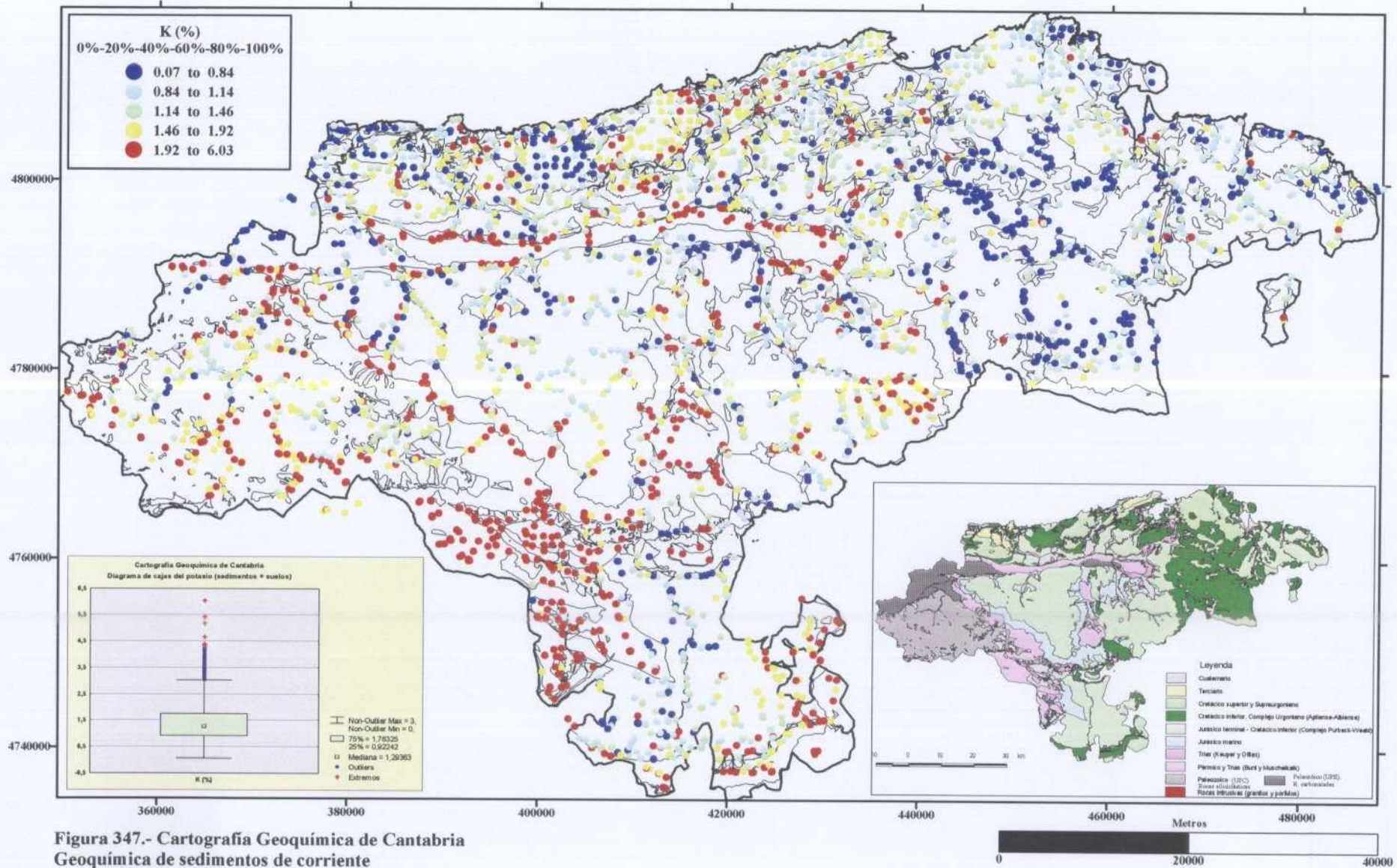
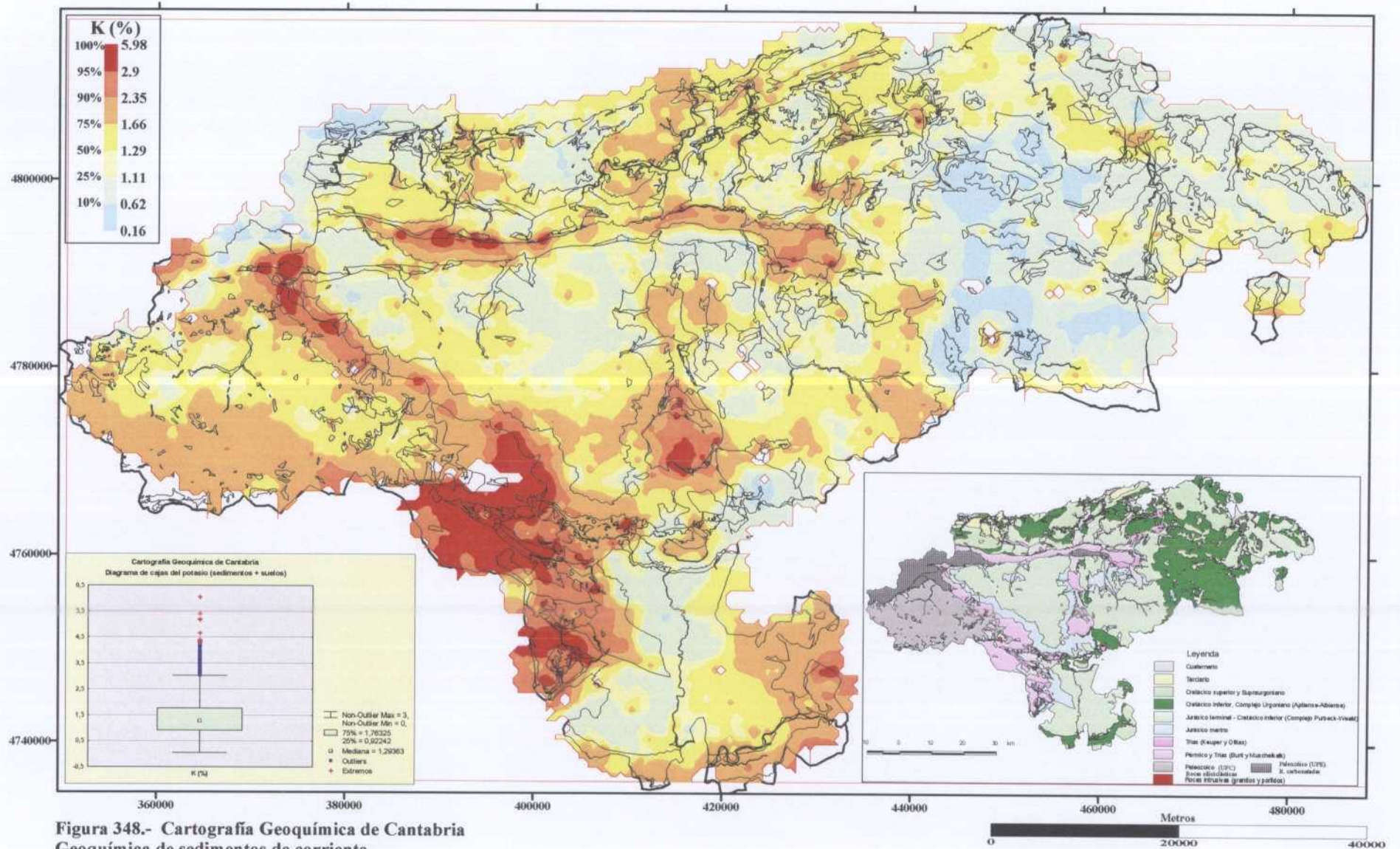


Figura 347.- Cartografía Geoquímica de Cantabria  
Geoquímica de sedimentos de corriente  
Mapa de puntos de distribución del potasio





**Figura 348.- Cartografía Geoquímica de Cantabria**  
Geoquímica de sedimentos de corriente  
Mapa de contornos de distribución del potasio

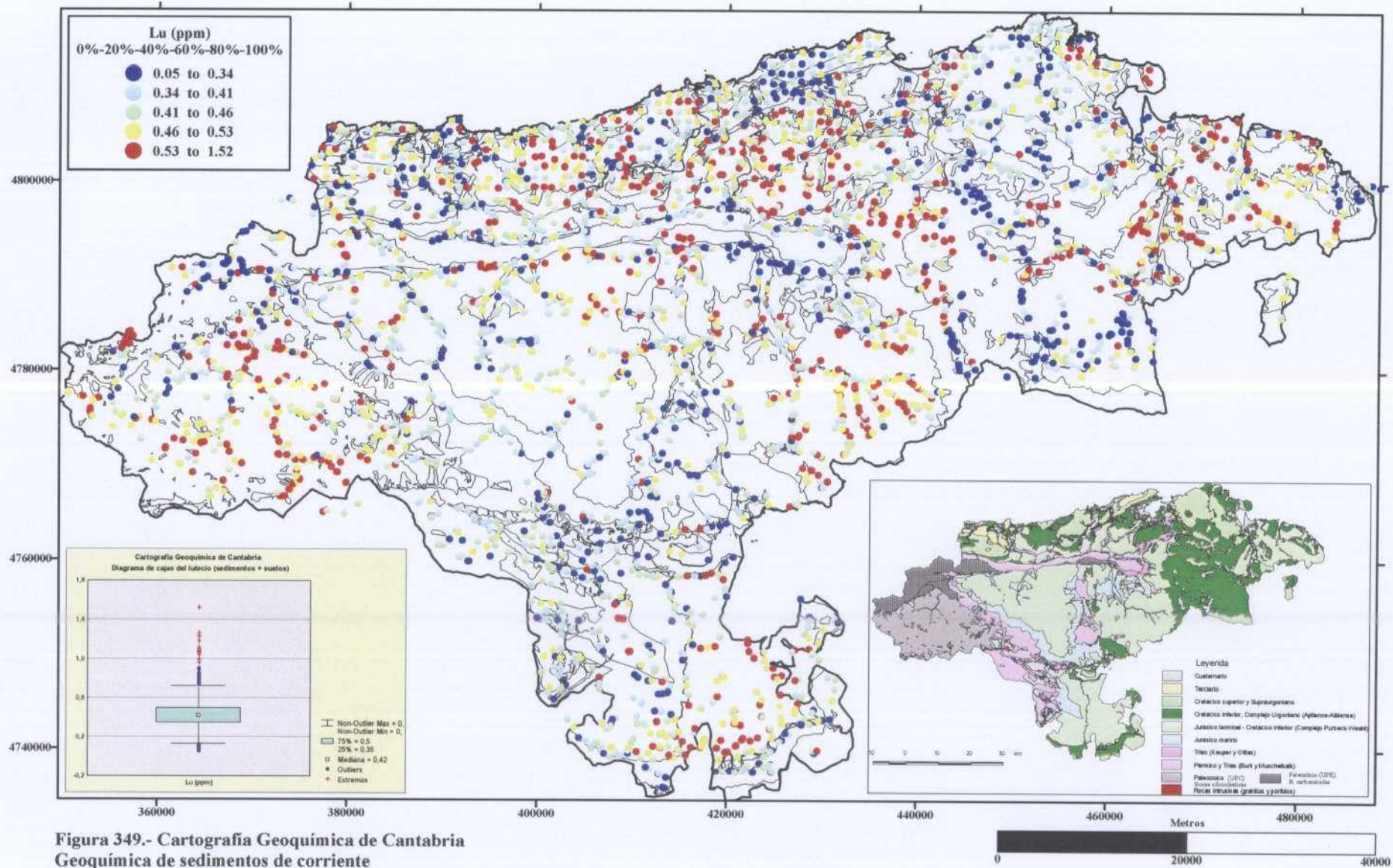


Figura 349.- Cartografía Geoquímica de Cantabria  
Geoquímica de sedimentos de corriente  
Mapa de puntos de distribución del lutecio

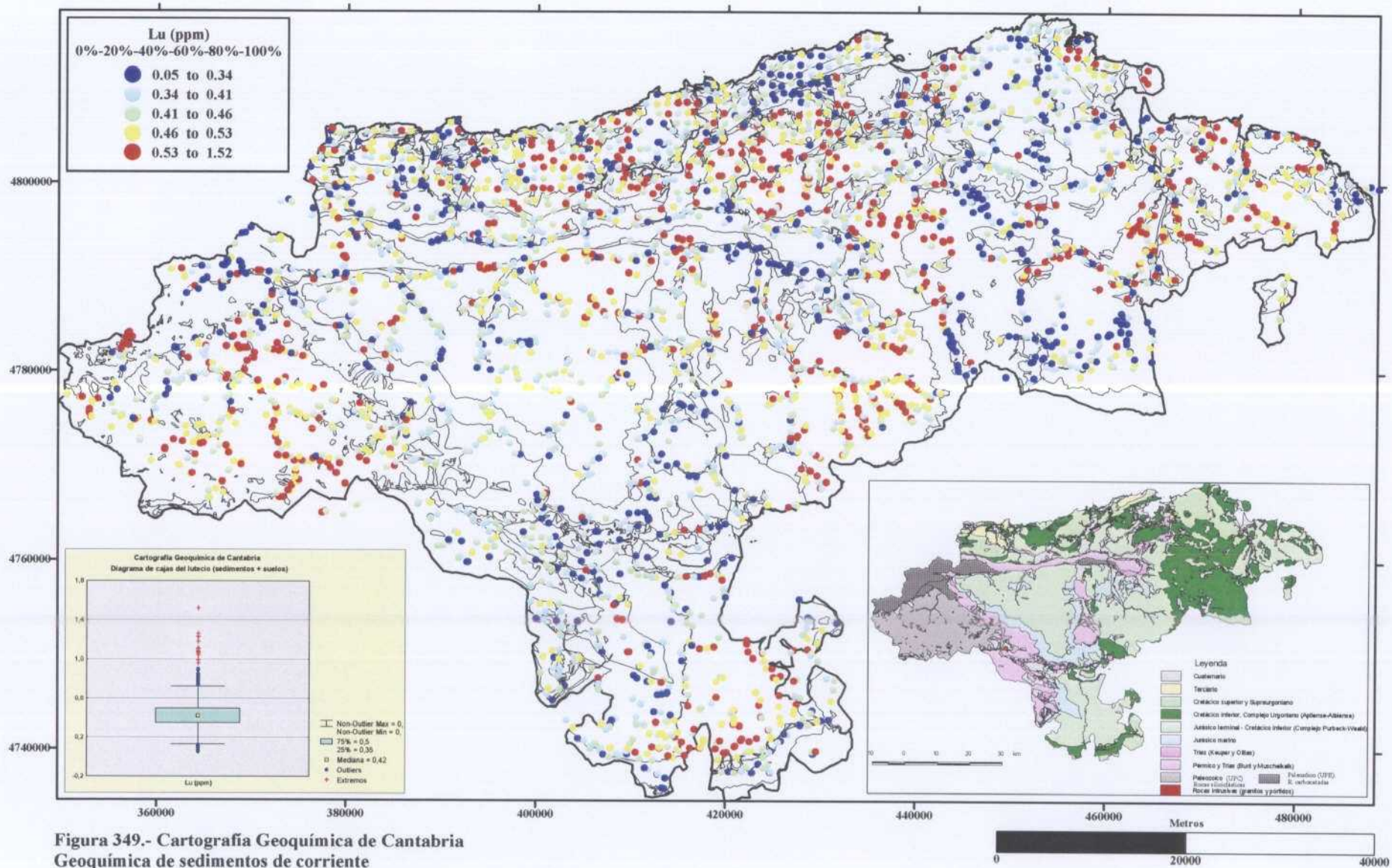
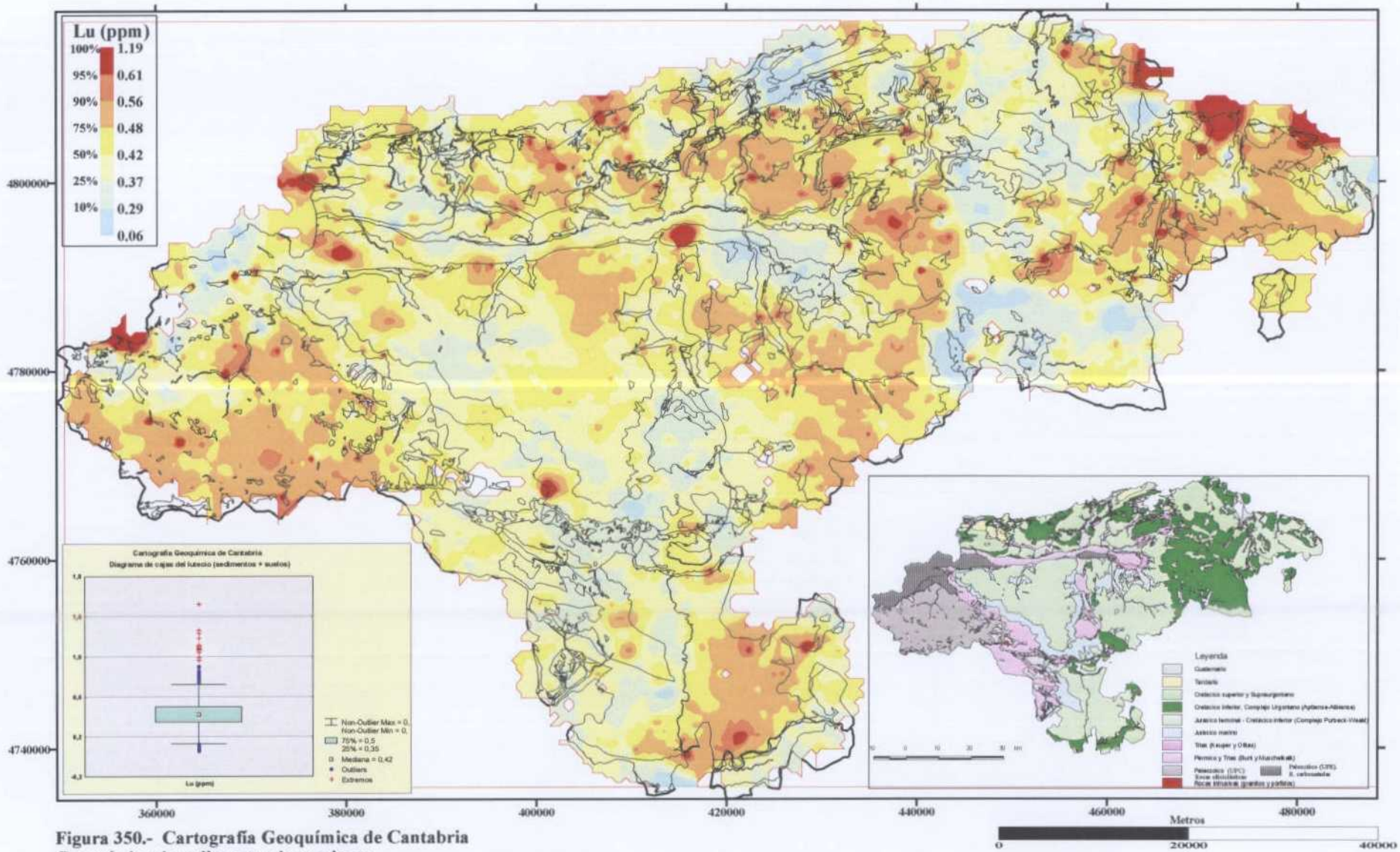


Figura 349.- Cartografía Geoquímica de Cantabria  
Geoquímica de sedimentos de corriente  
Mapa de puntos de distribución del lutecio



**Figura 350.- Cartografía Geoquímica de Cantabria**  
**Geoquímica de sedimentos de corriente**  
**Mapa de contornos de distribución del lutecio**

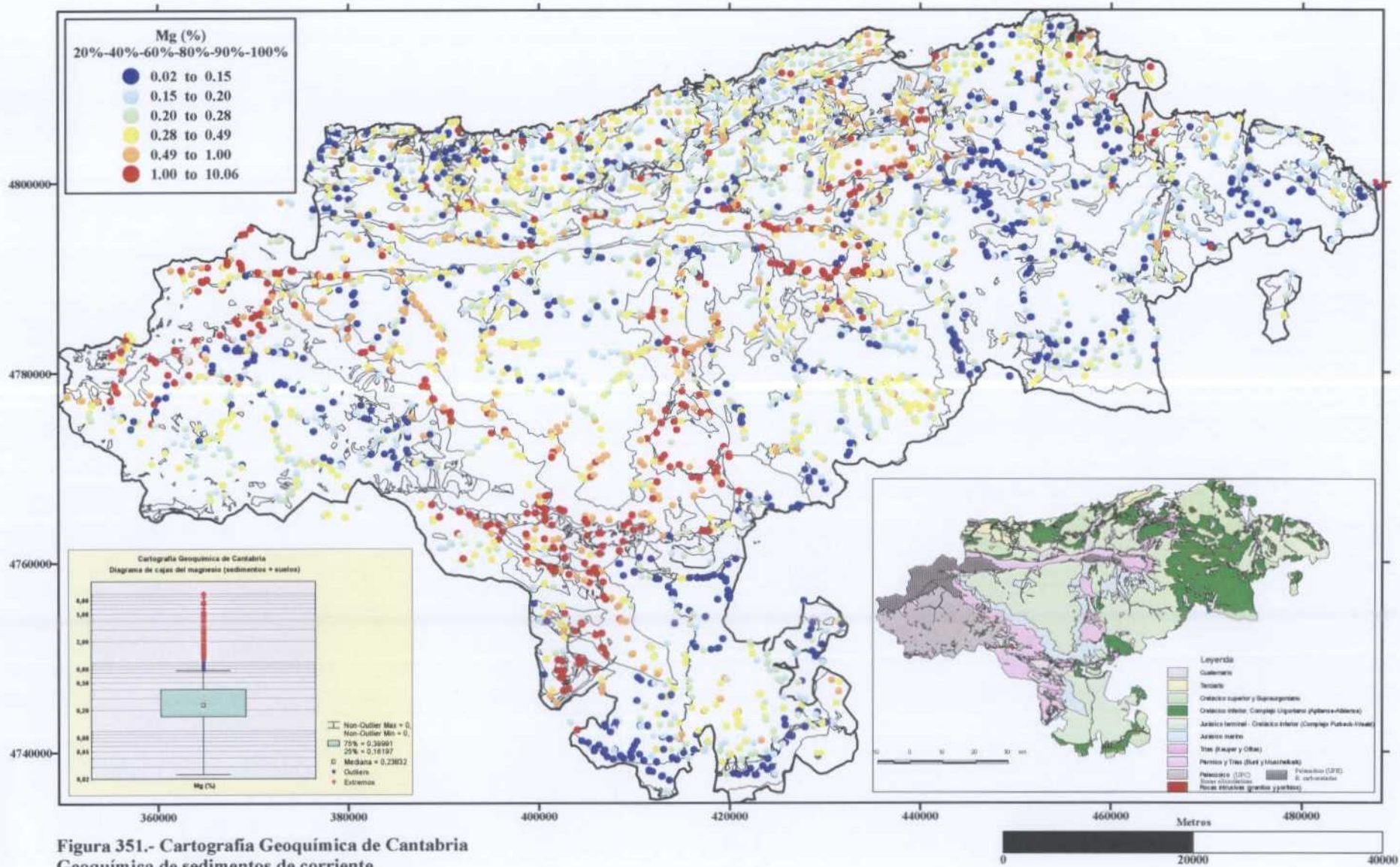
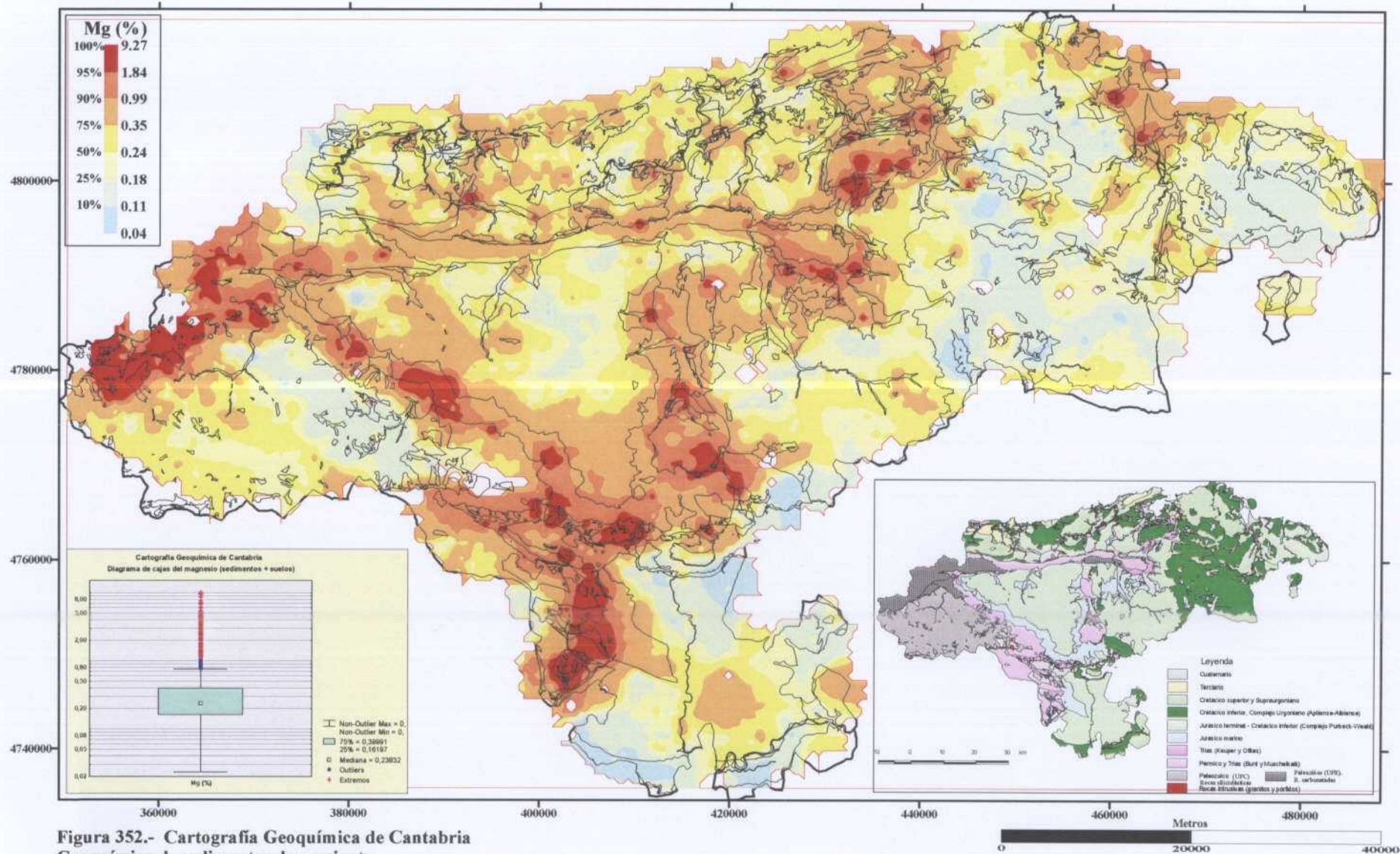
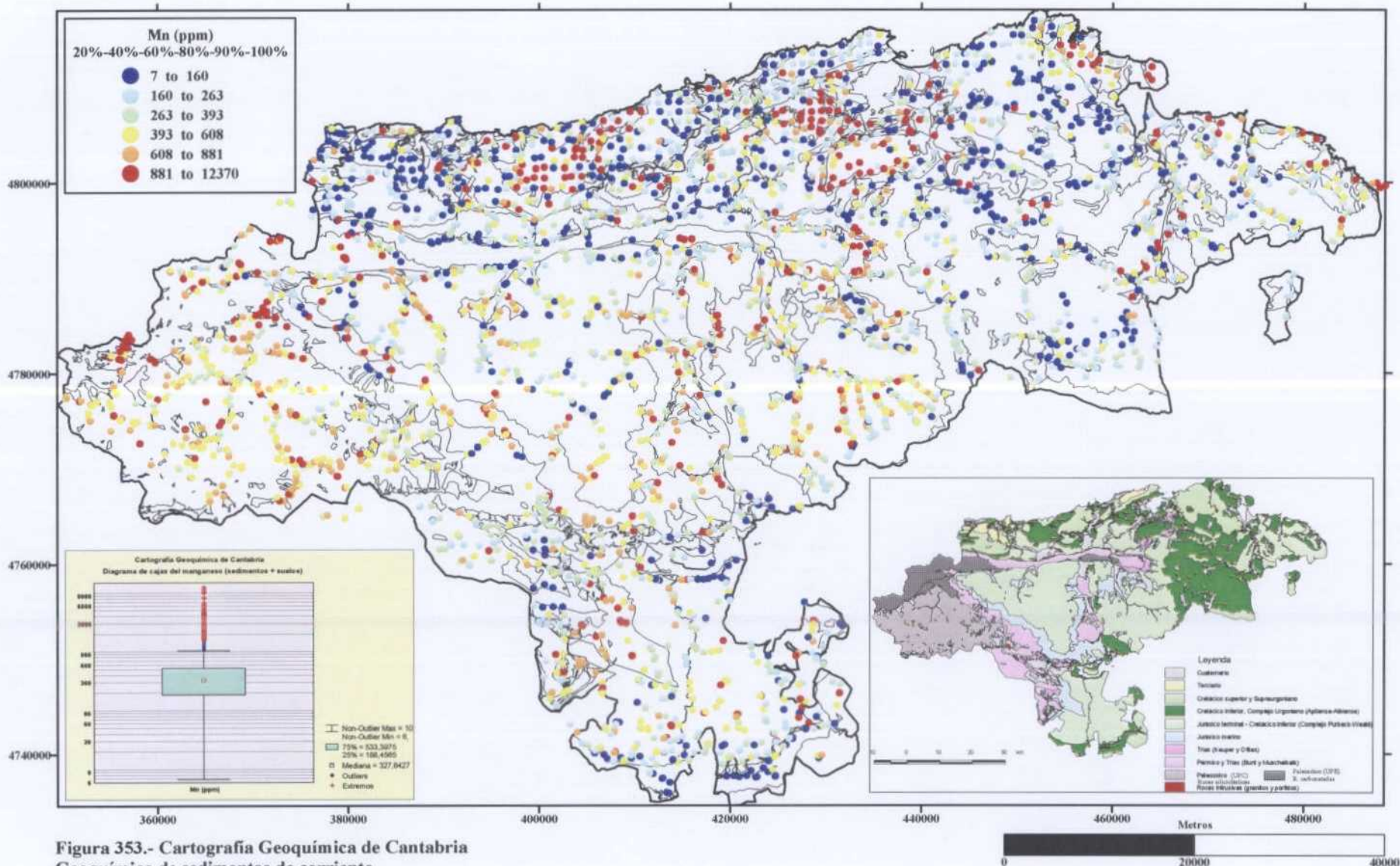


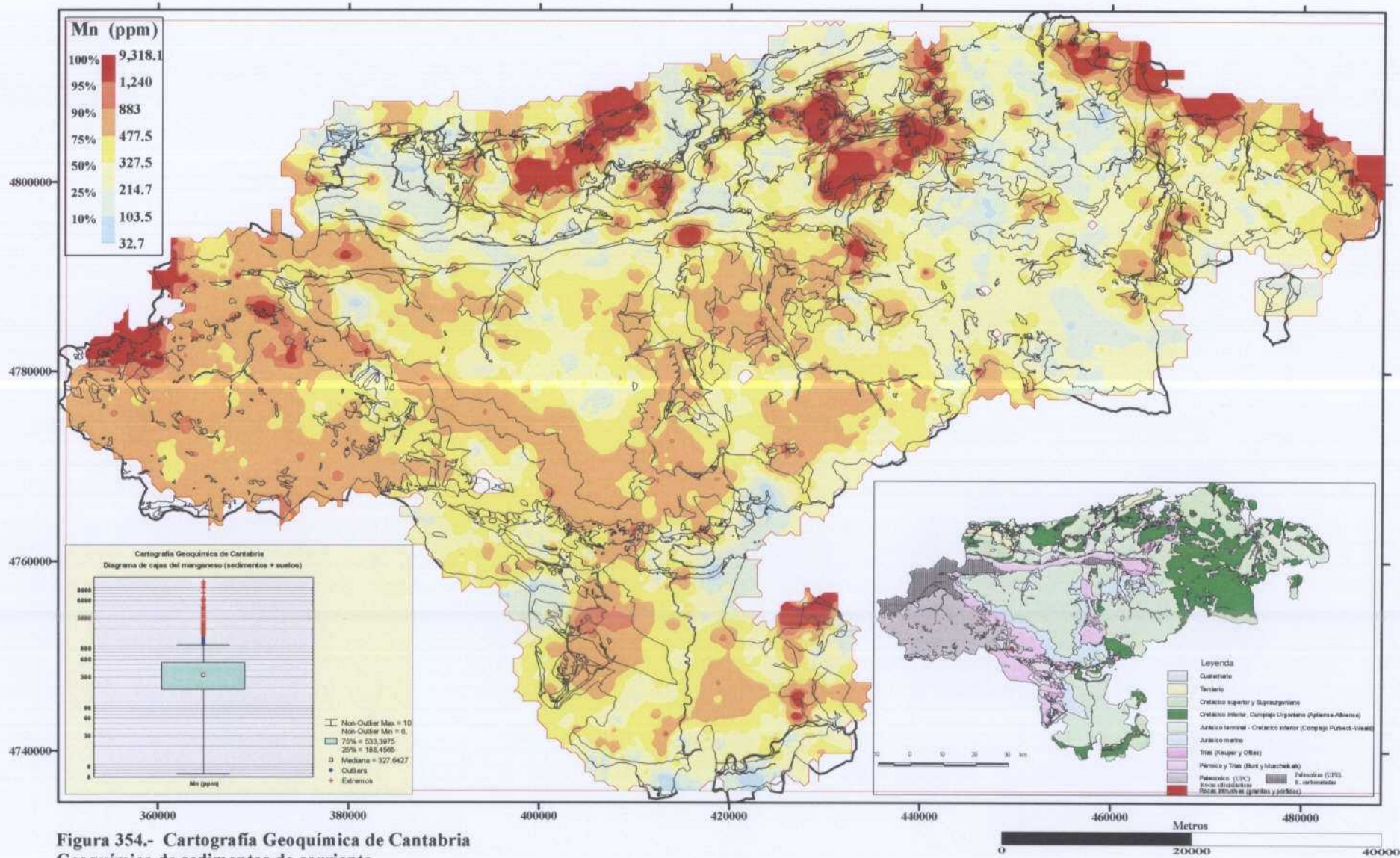
Figura 351.- Cartografía Geoquímica de Cantabria  
Geoquímica de sedimentos de corriente  
Mapa de puntos de distribución del magnesio



**Figura 352.- Cartografía Geoquímica de Cantabria**  
Geoquímica de sedimentos de corriente  
Mapa de contornos de distribución del magnesio



**Figura 353.- Cartografía Geoquímica de Cantabria**  
**Geoquímica de sedimentos de corriente**  
**Mapa de puntos de distribución del manganeso**



**Figura 354.- Cartografía Geoquímica de Cantabria**  
Geoquímica de sedimentos de corriente  
Mapa de contornos de distribución del manganeso



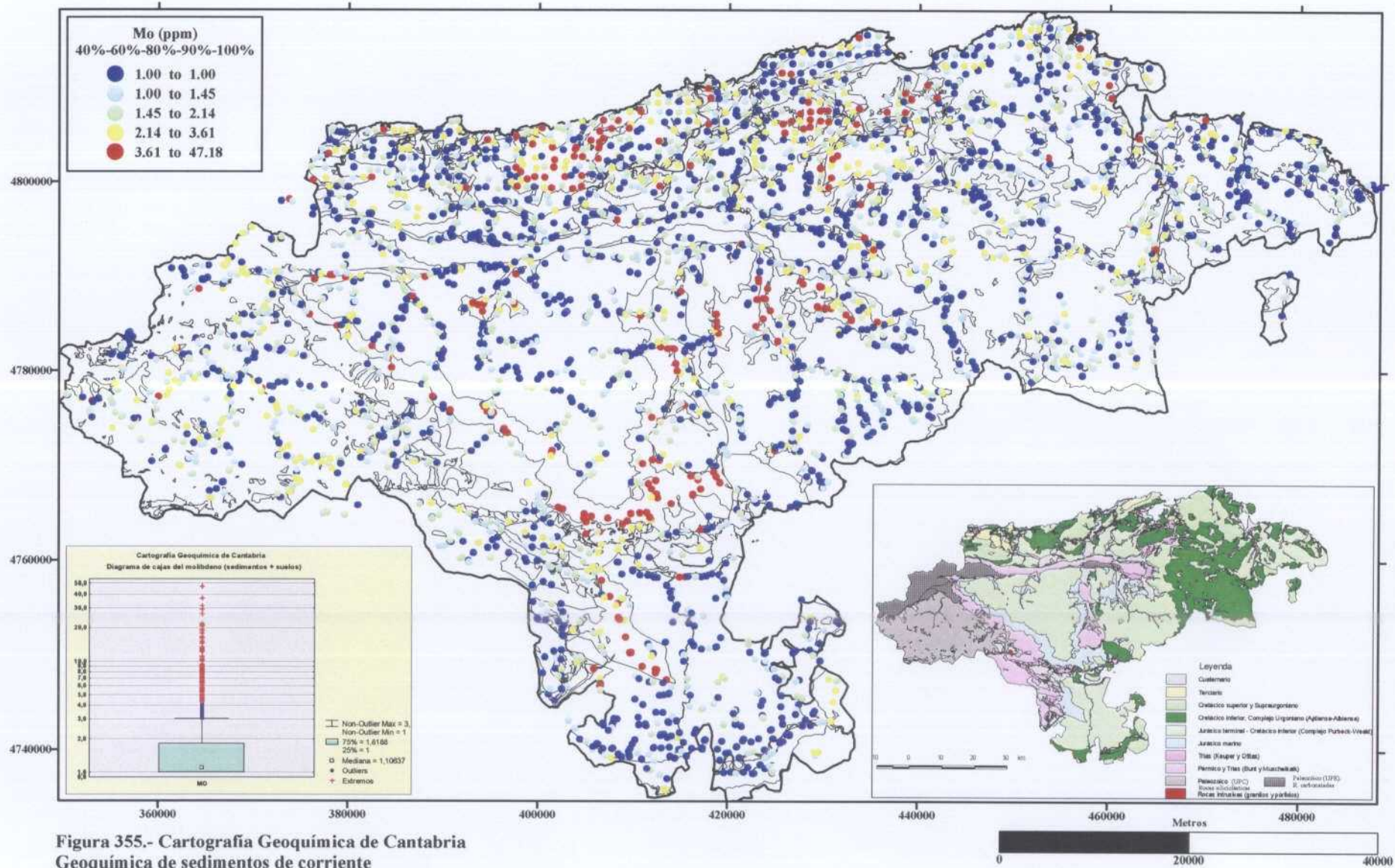
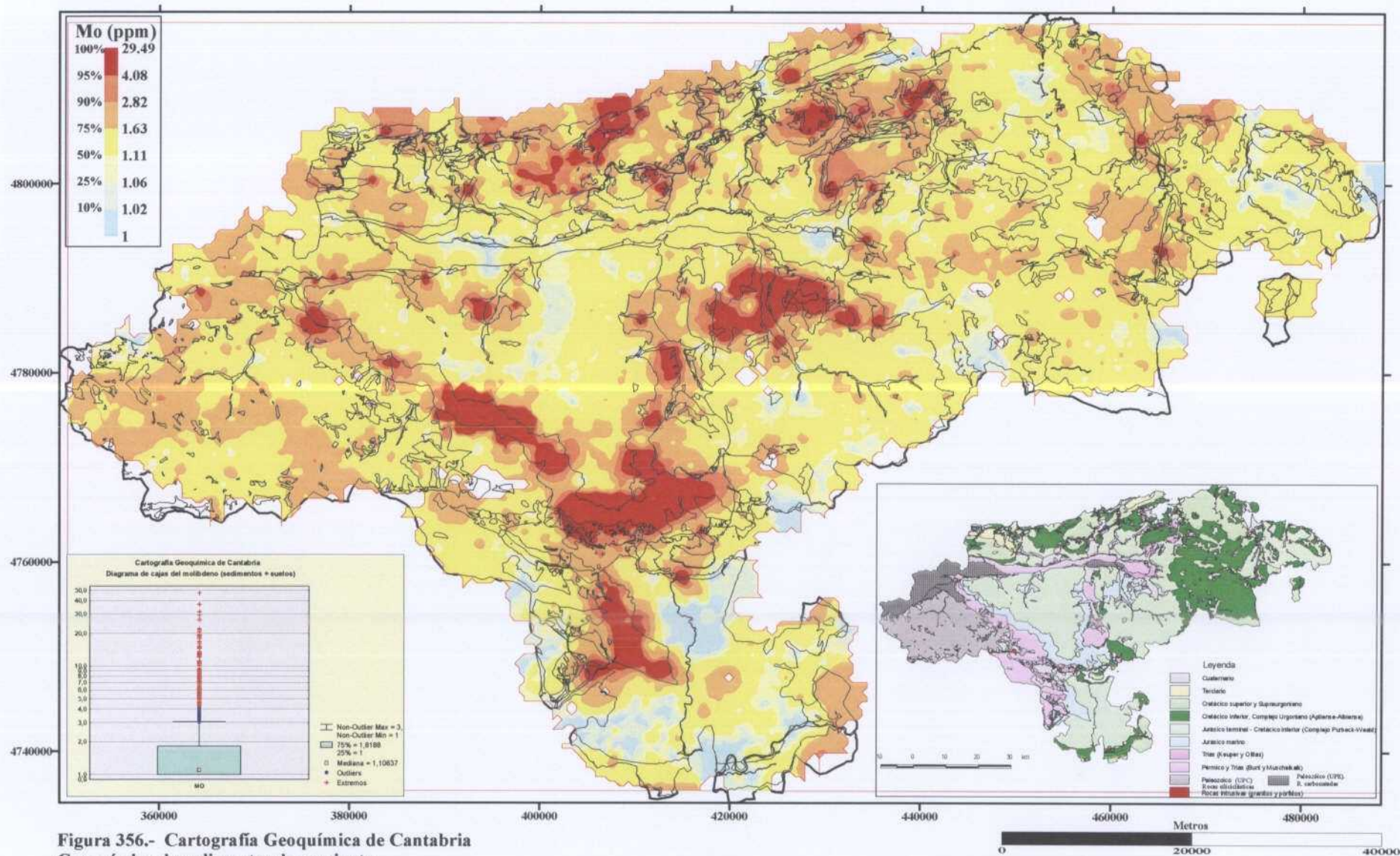


Figura 355.- Cartografía Geoquímica de Cantabria  
Geoquímica de sedimentos de corriente  
Mapa de puntos de distribución del molibdeno



**Figura 356.- Cartografía Geoquímica de Cantabria**  
**Geoquímica de sedimentos de corriente**  
**Mapa de contornos de distribución del molibdeno**

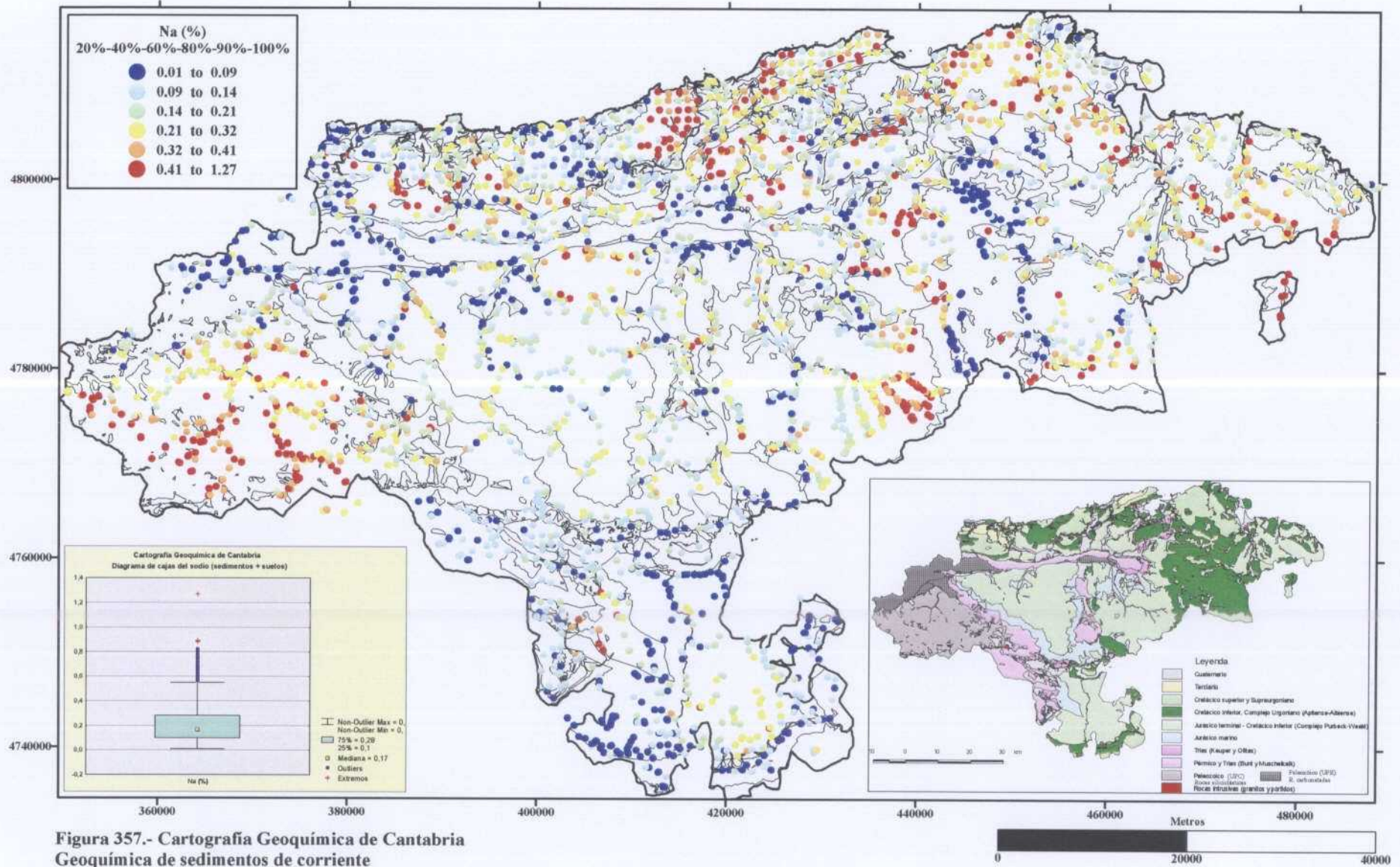
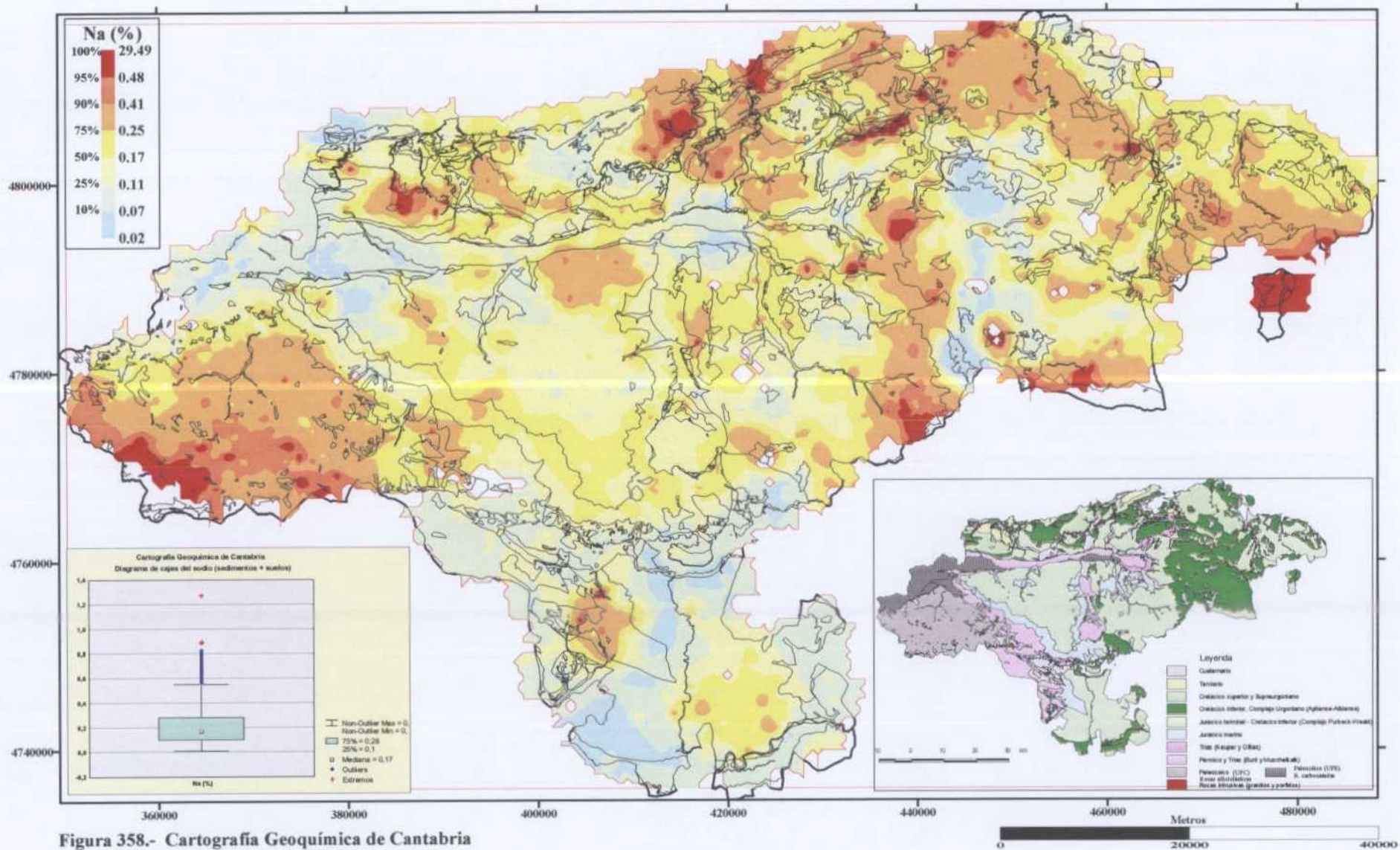
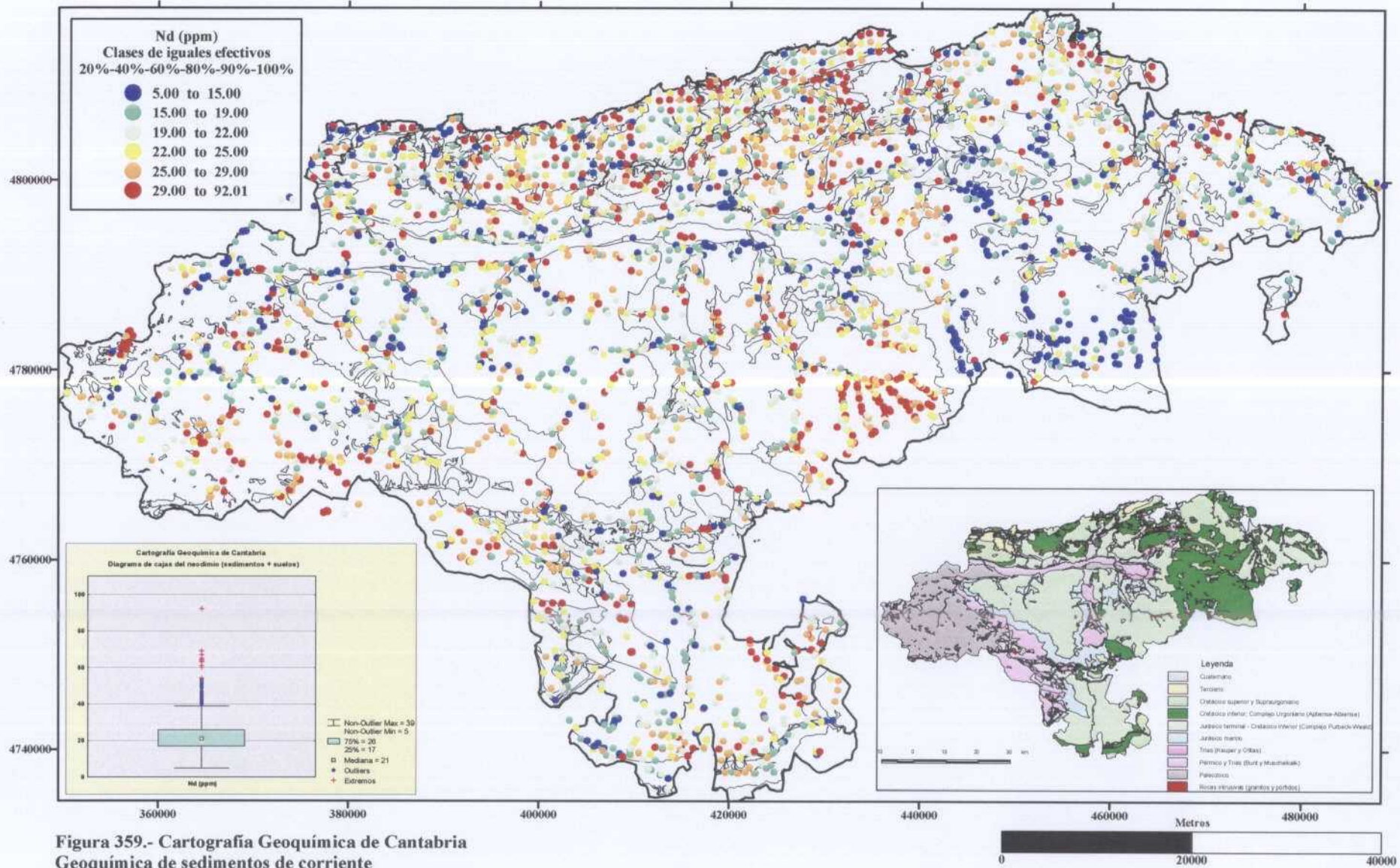
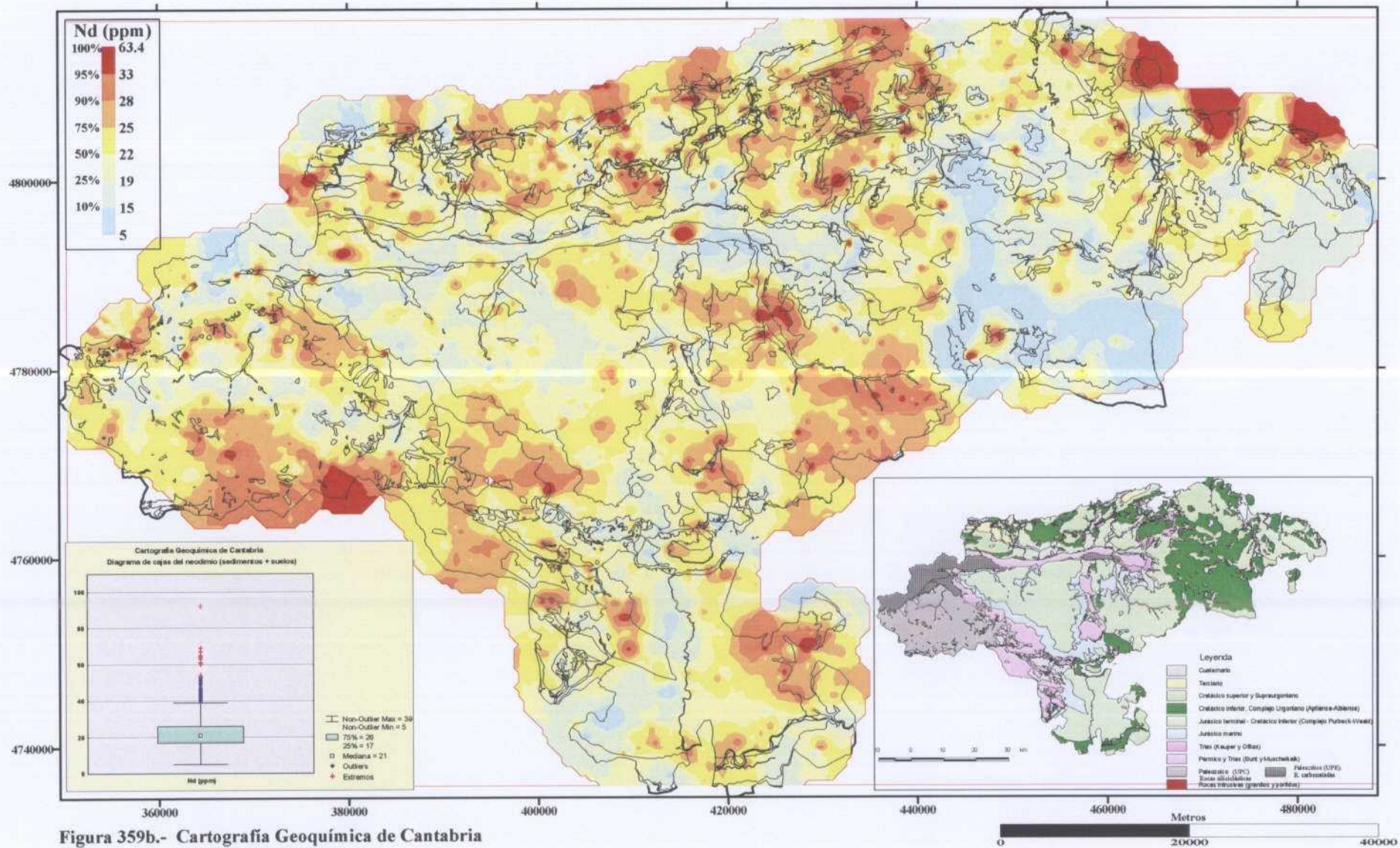


Figura 357.- Cartografía Geoquímica de Cantabria  
Geoquímica de sedimentos de corriente  
Mapa de puntos de distribución del sodio



**Figura 358.- Cartografía Geoquímica de Cantabria**  
Geoquímica de sedimentos de corriente  
Mapa de contornos de distribución del sodio





**Figura 359b.- Cartografía Geoquímica de Cantabria**  
Geoquímica de sedimentos de corriente  
Mapa de contornos de distribución del neodimio

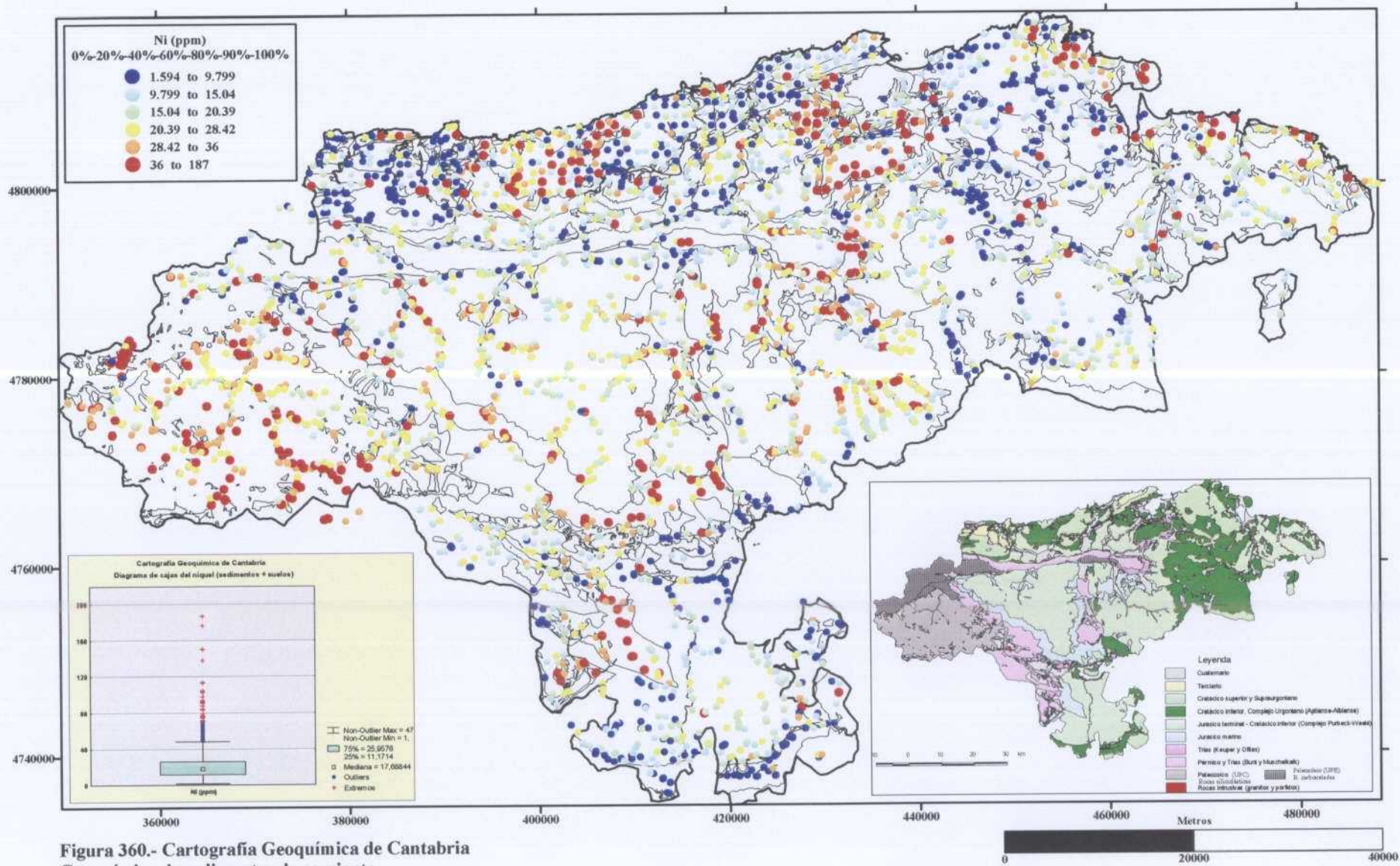
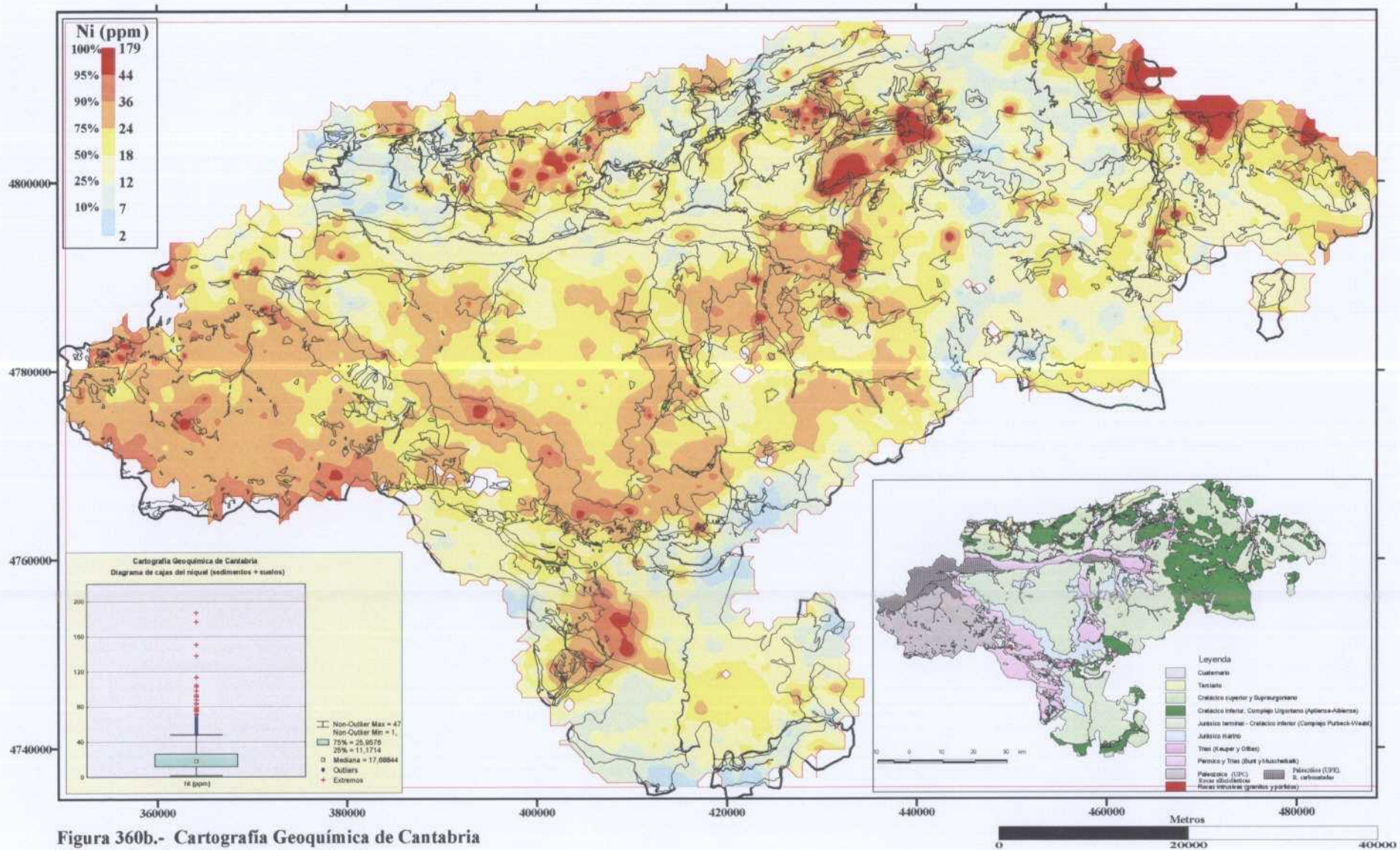


Figura 360.- Cartografía Geoquímica de Cantabria  
 Geoquímica de sedimentos de corriente  
 Mapa de puntos de distribución del níquel



**Figura 360b.- Cartografía Geoquímica de Cantabria**  
Geoquímica de sedimentos de corriente  
Mapa de contornos de distribución del níquel



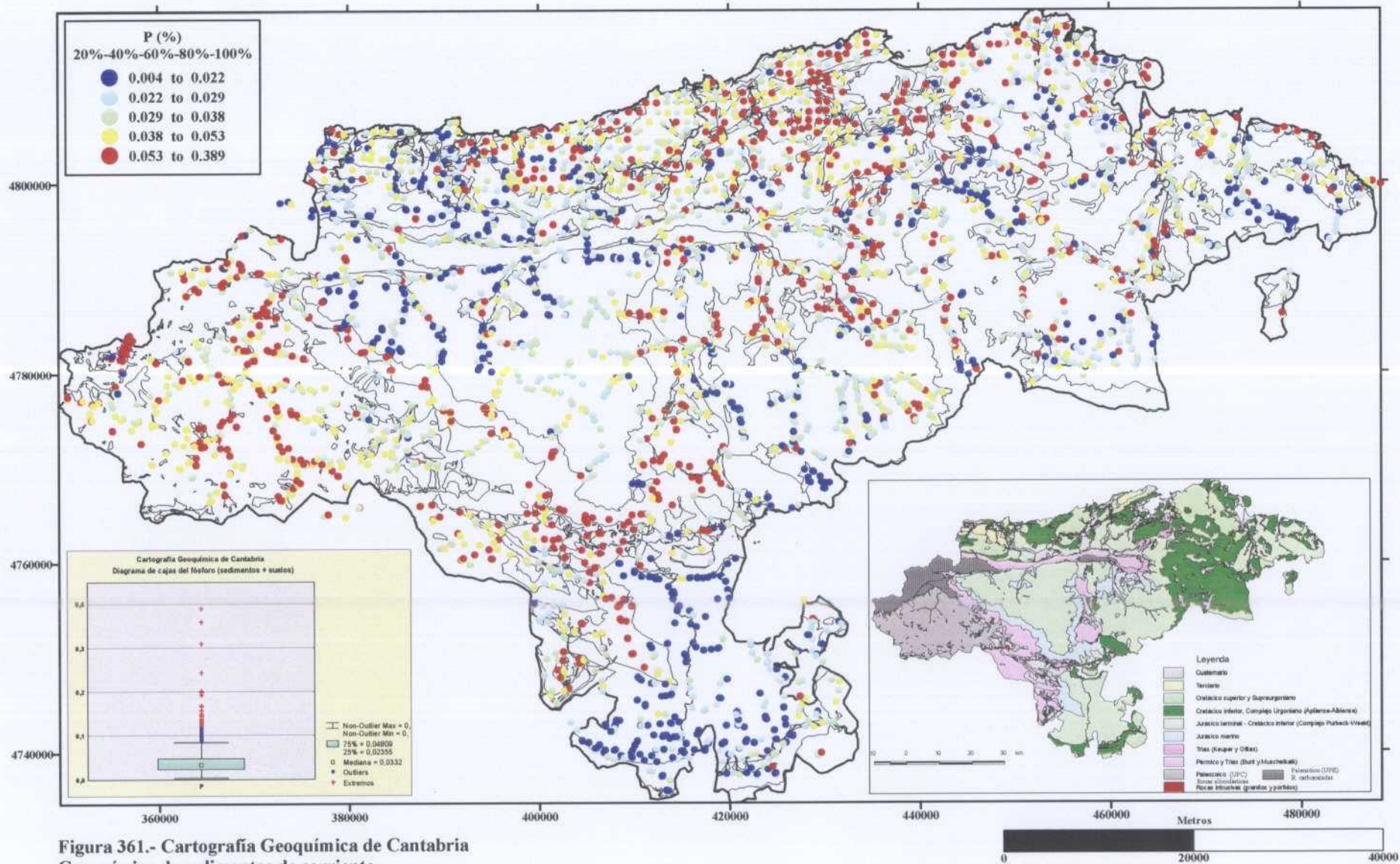


Figura 361.- Cartografía Geoquímica de Cantabria  
Geoquímica de sedimentos de corriente  
Mapa de puntos de distribución del fósforo

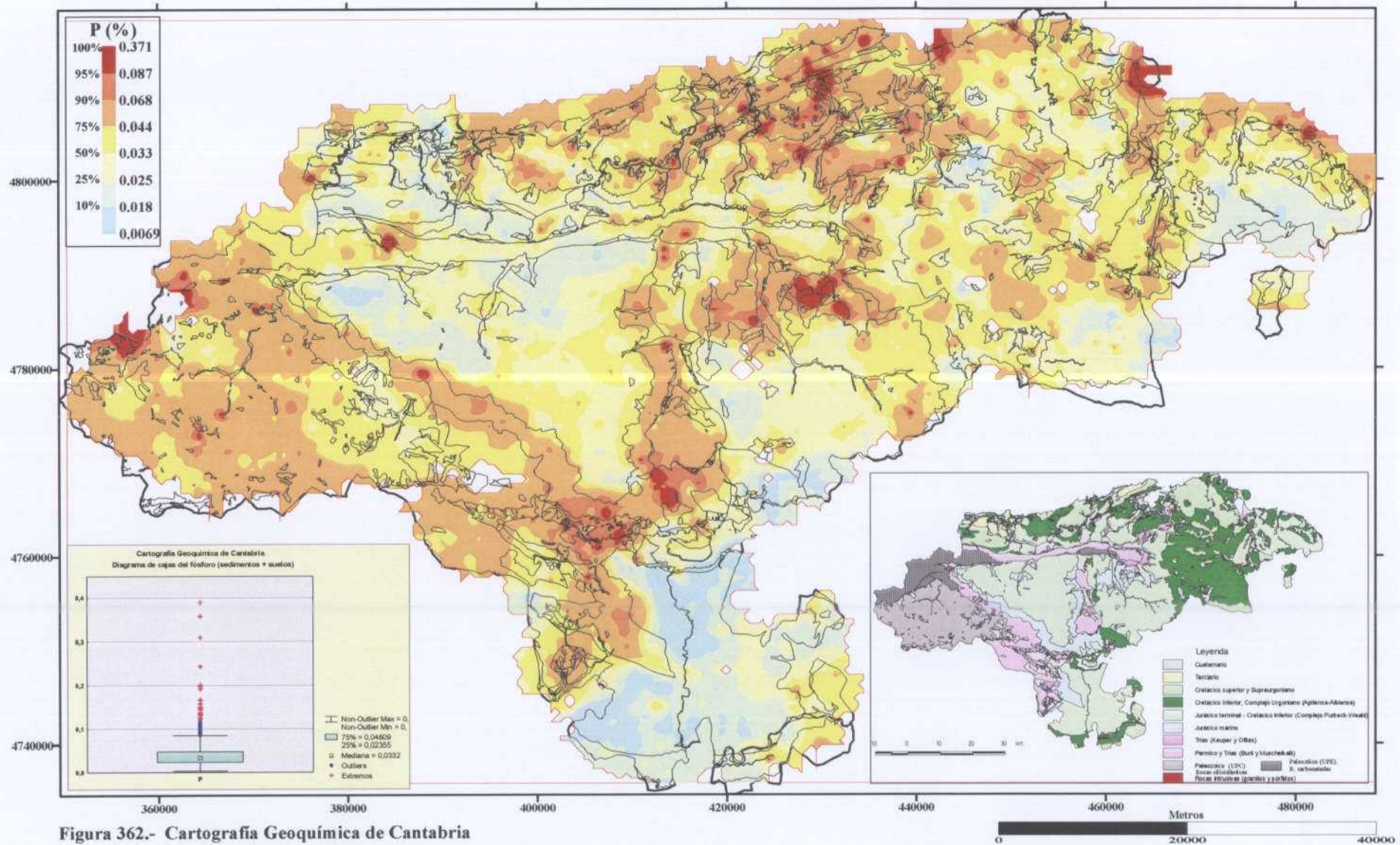


Figura 362.- Cartografía Geoquímica de Cantabria  
Geoquímica de sedimentos de corriente  
Mapa de contornos de distribución del fósforo

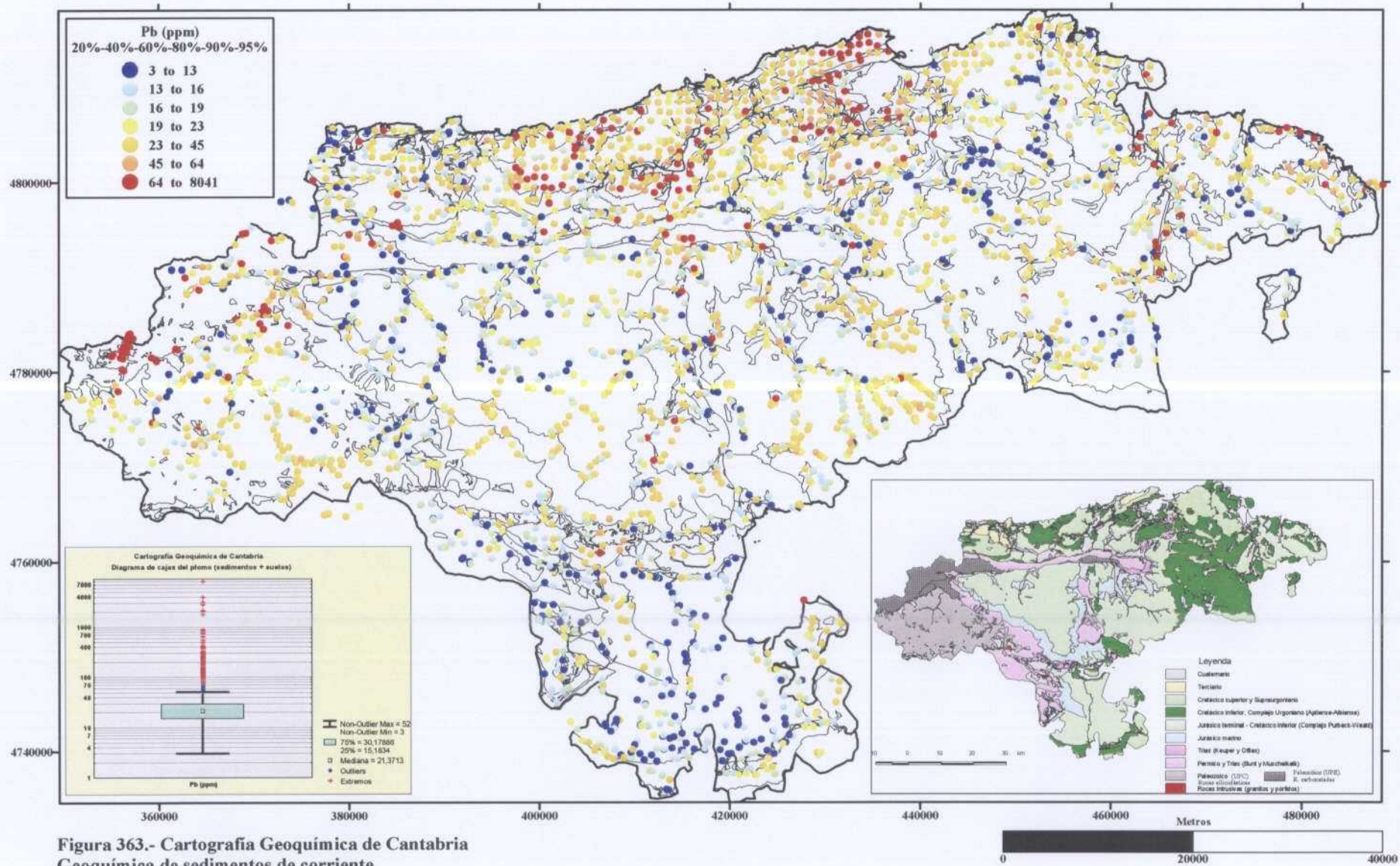


Figura 363.- Cartografía Geoquímica de Cantabria  
 Geoquímica de sedimentos de corriente  
 Mapa de puntos de distribución del plomo

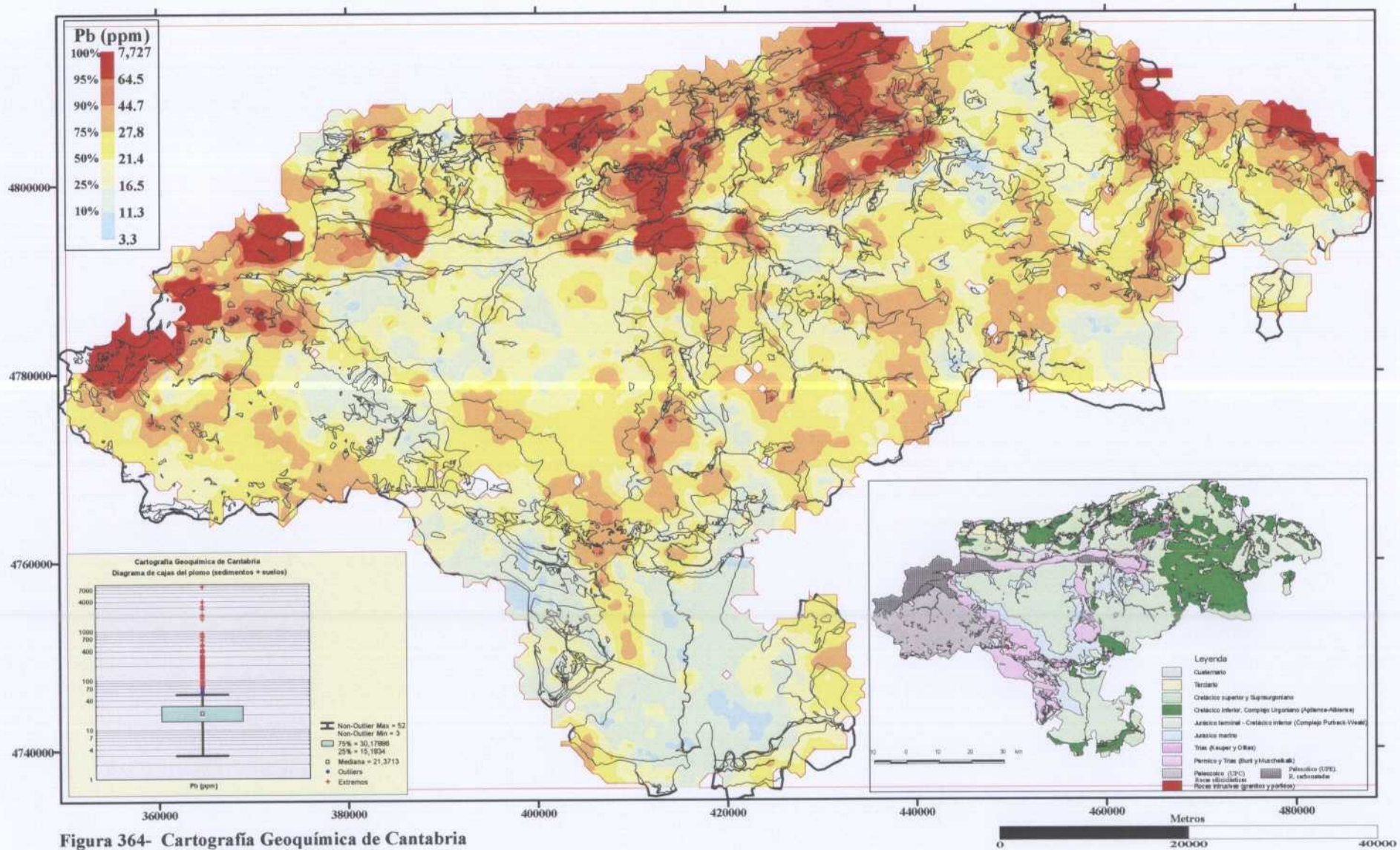


Figura 364- Cartografía Geoquímica de Cantabria  
Geoquímica de sedimentos de corriente  
Mapa de contornos de distribución del plomo

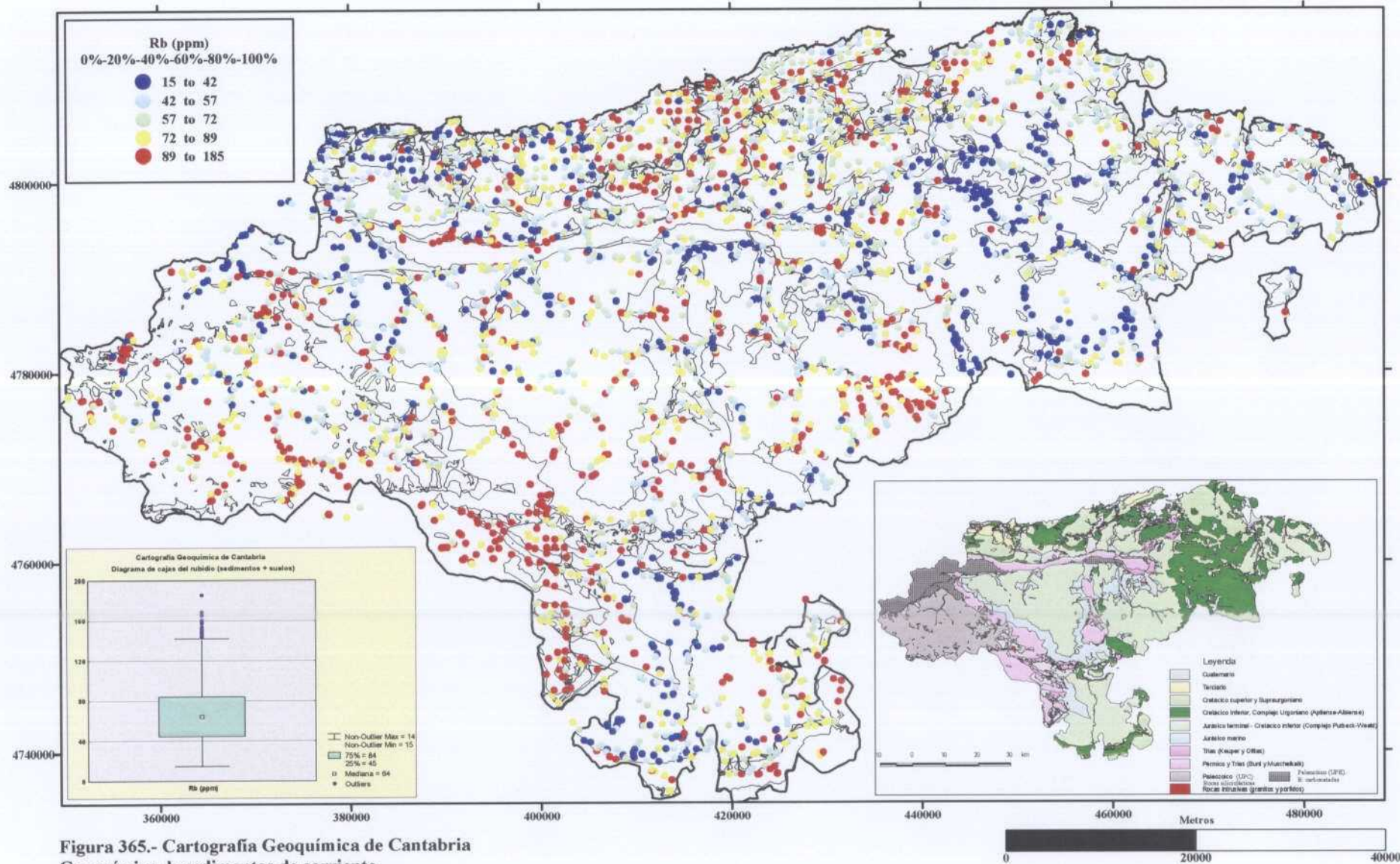
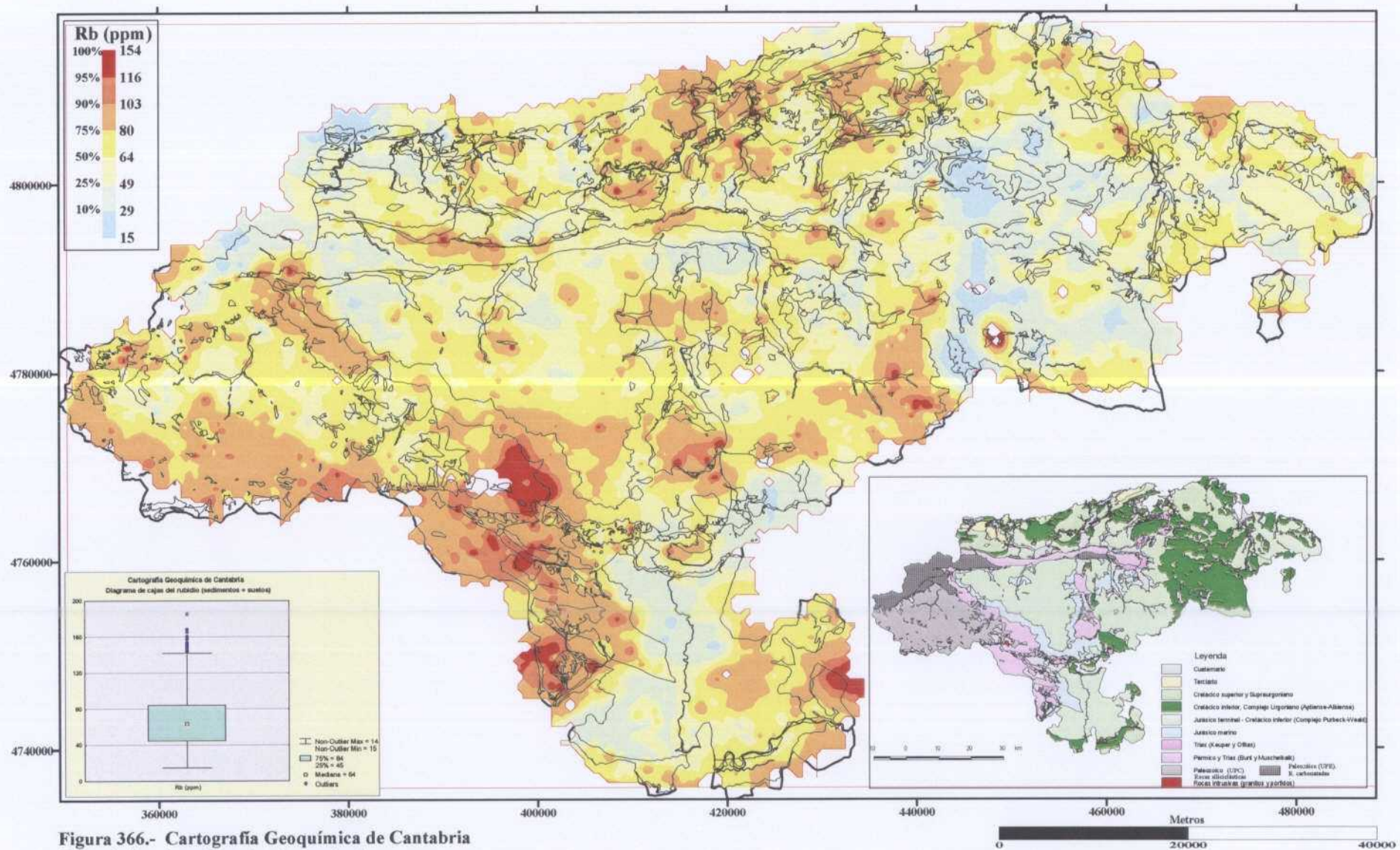


Figura 365.- Cartografía Geoquímica de Cantabria  
 Geoquímica de sedimentos de corriente  
 Mapa de puntos de distribución del rubidio



**Figura 366.- Cartografía Geoquímica de Cantabria**  
**Geoquímica de sedimentos de corriente**  
**Mapa de contornos de distribución del rubidio**

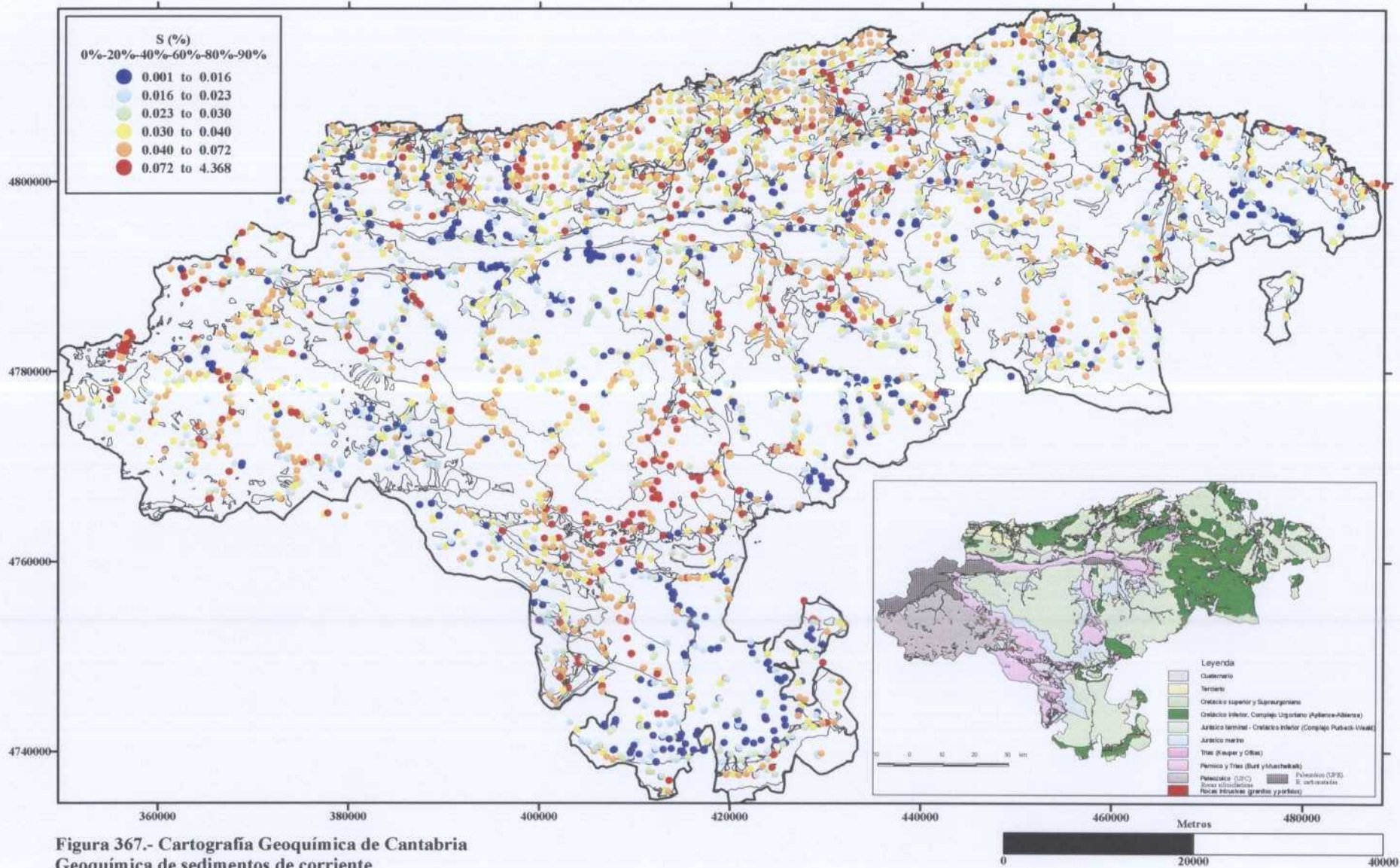


Figura 367.- Cartografía Geoquímica de Cantabria  
 Geoquímica de sedimentos de corriente  
 Mapa de puntos de distribución del azufre

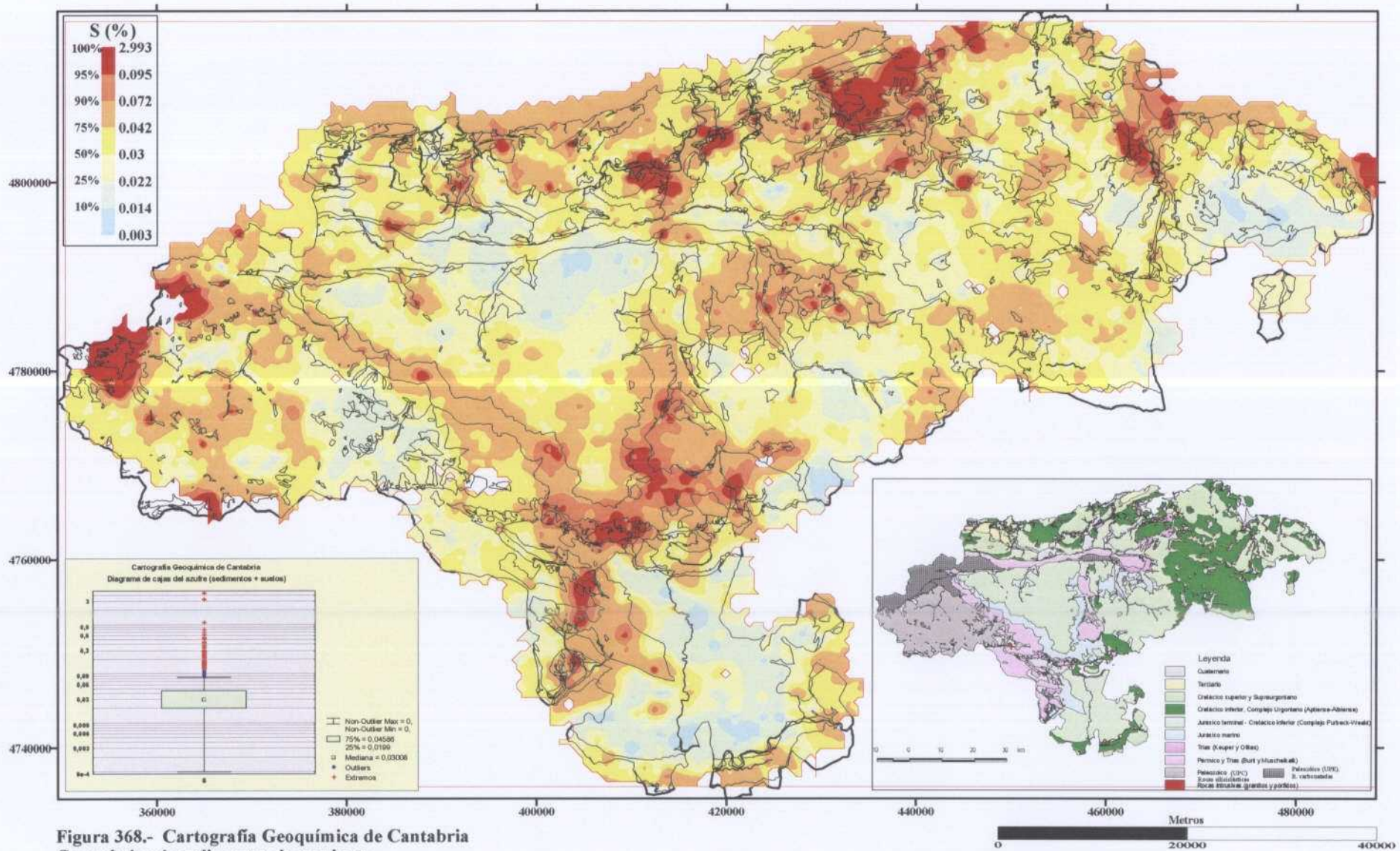


Figura 368.- Cartografía Geoquímica de Cantabria  
Geoquímica de sedimentos de corriente  
Mapa de contornos de distribución del azufre



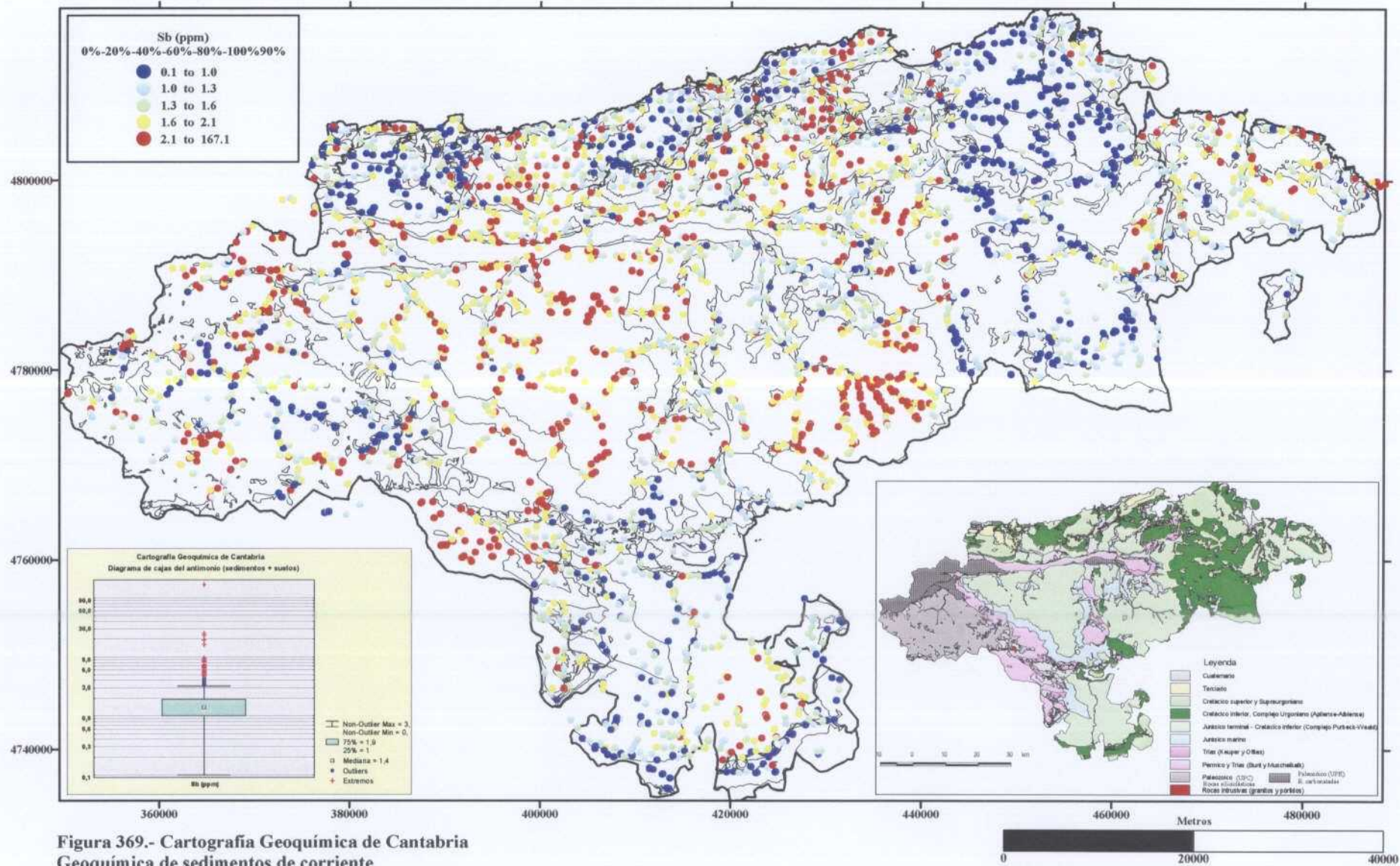
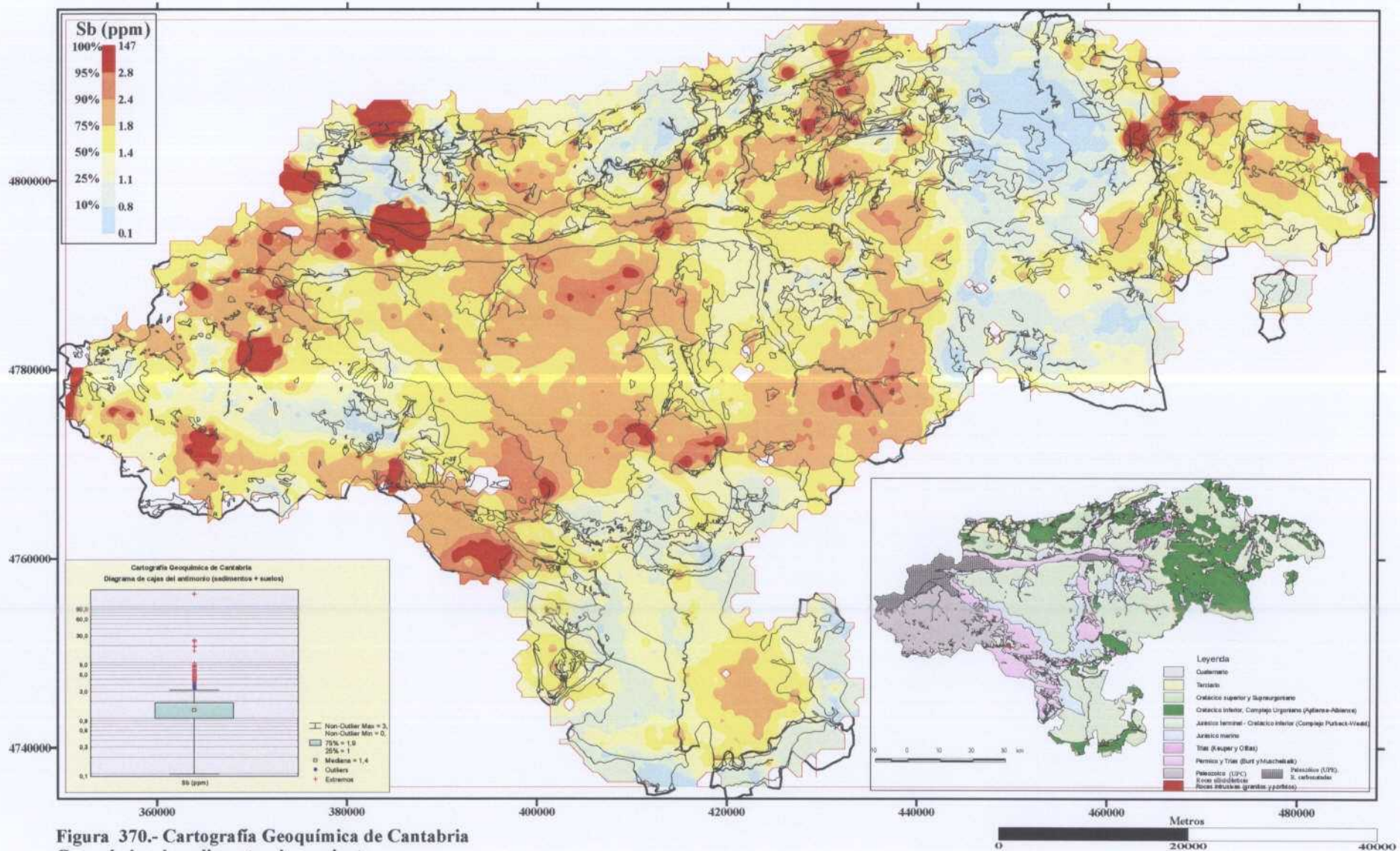


Figura 369.- Cartografía Geoquímica de Cantabria  
 Geoquímica de sedimentos de corriente  
 Mapa de puntos de distribución del antimonio



**Figura 370.- Cartografía Geoquímica de Cantabria**  
Geoquímica de sedimentos de corriente  
Mapa de contornos de distribución del antimonio

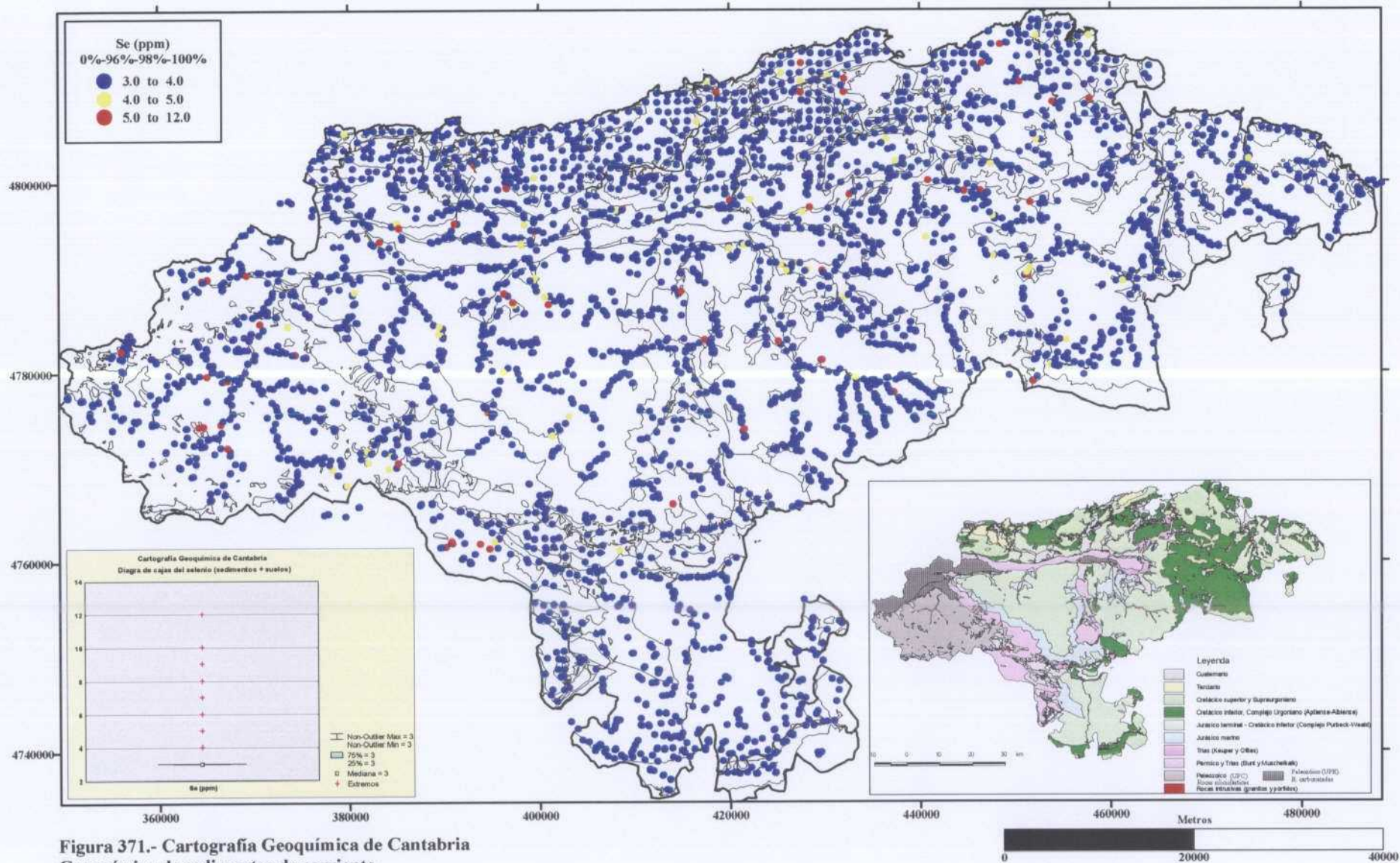


Figura 371.- Cartografía Geoquímica de Cantabria  
Geoquímica de sedimentos de corriente  
Mapa de puntos de distribución del selenio

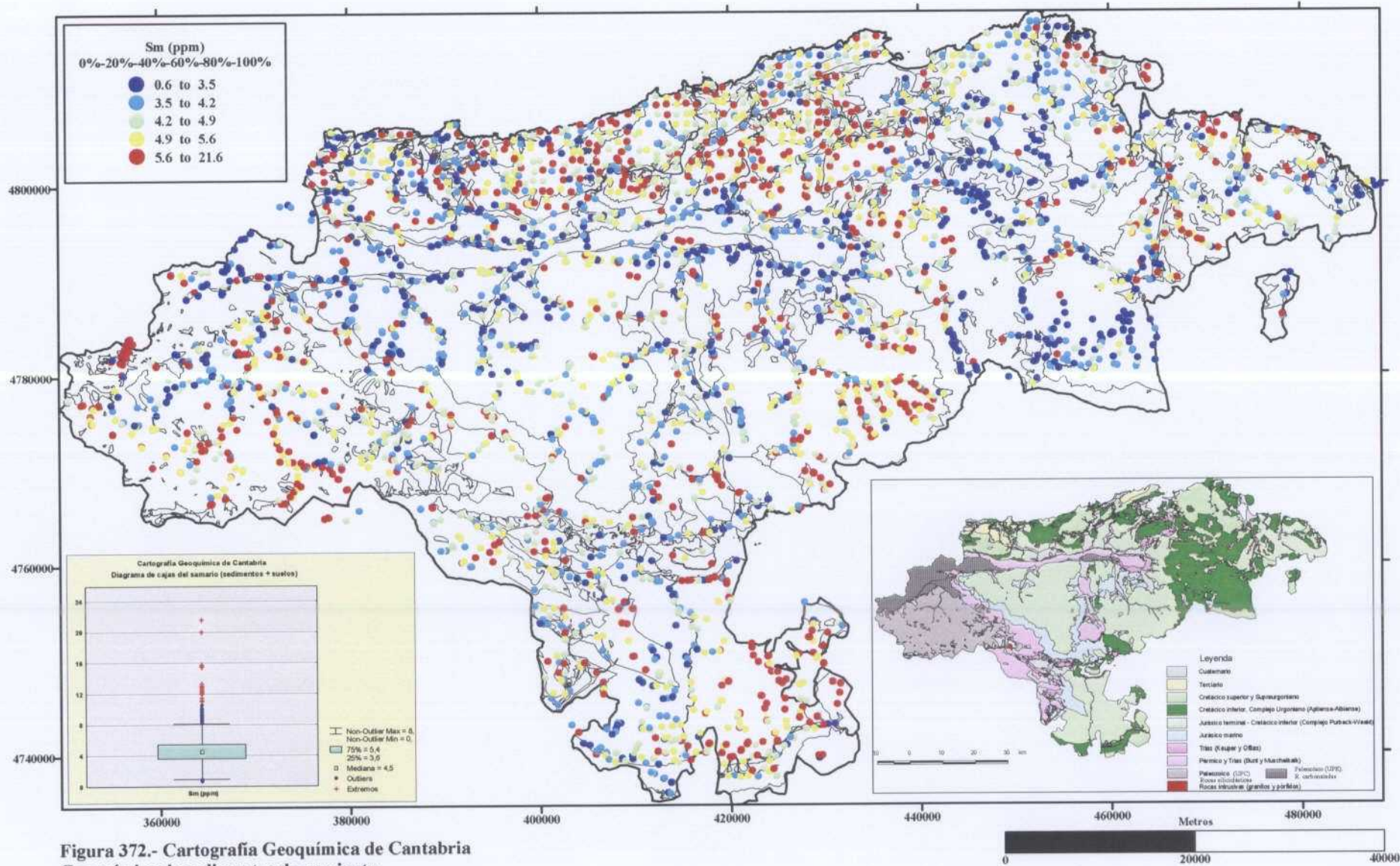


Figura 372.- Cartografía Geoquímica de Cantabria  
 Geoquímica de sedimentos de corriente  
 Mapa de puntos de distribución del samario

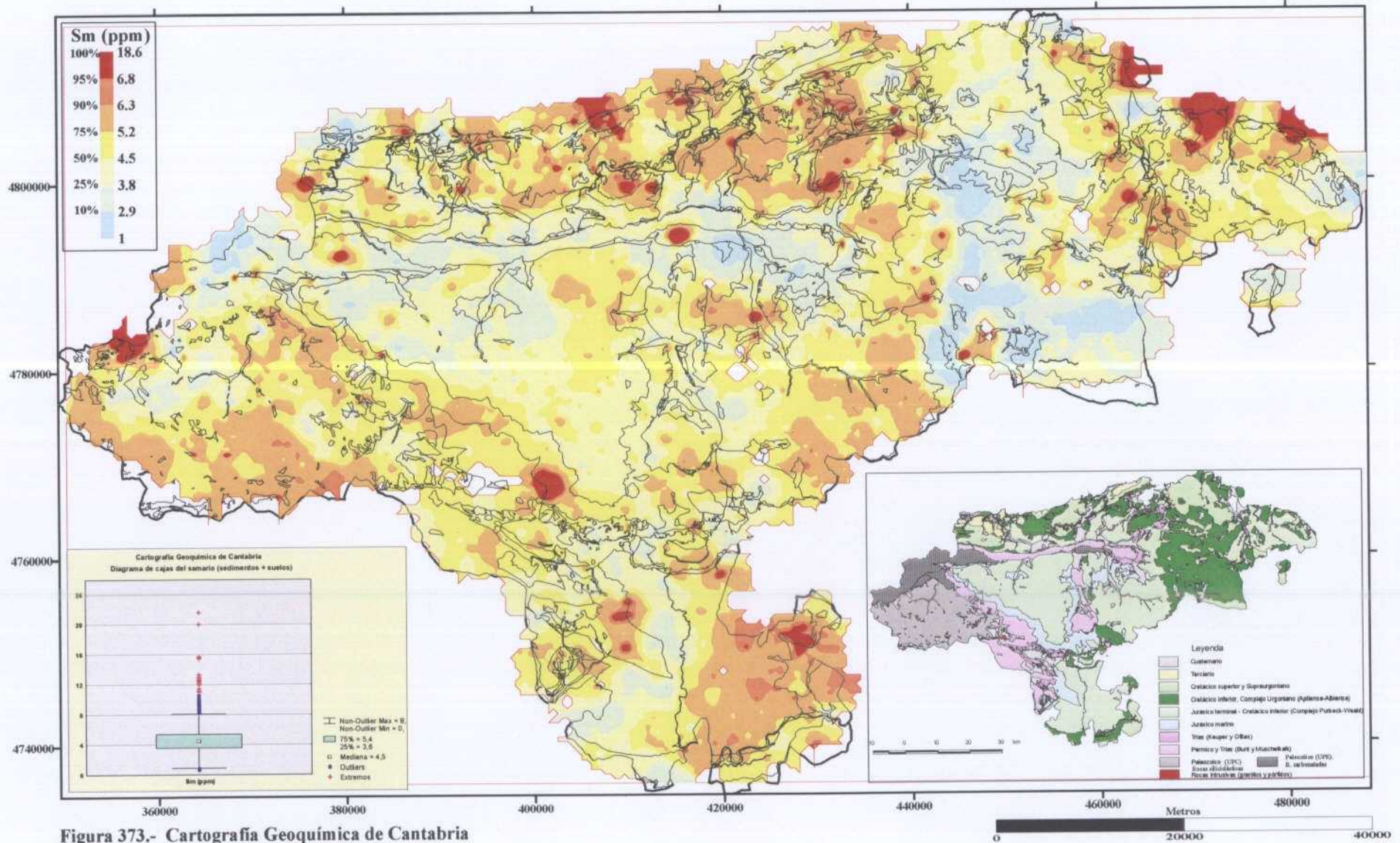


Figura 373.- Cartografía Geoquímica de Cantabria  
Geoquímica de sedimentos de corriente  
Mapa de contornos de distribución del samario

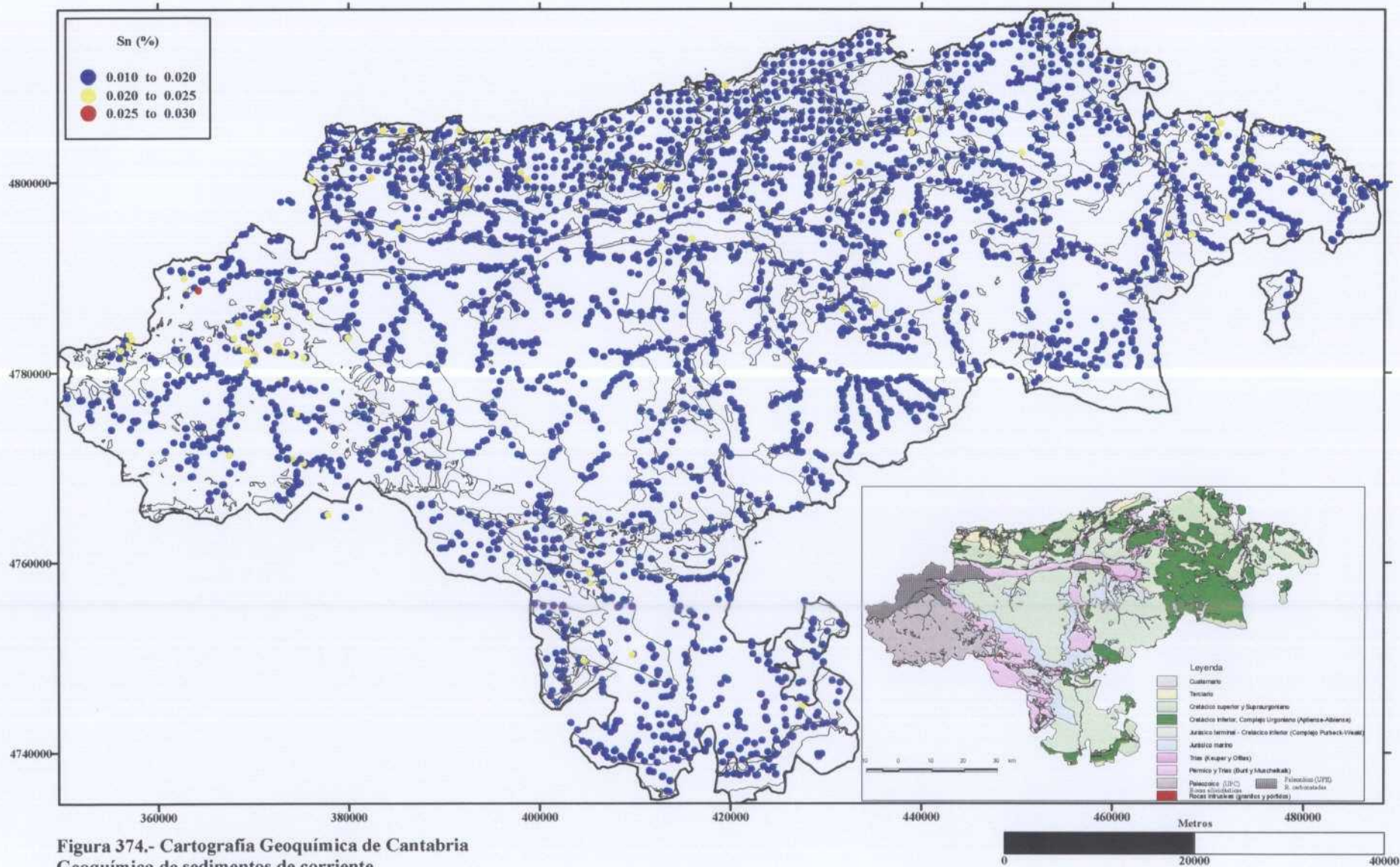


Figura 374.- Cartografía Geoquímica de Cantabria  
 Geoquímica de sedimentos de corriente  
 Mapa de puntos de distribución del estaño

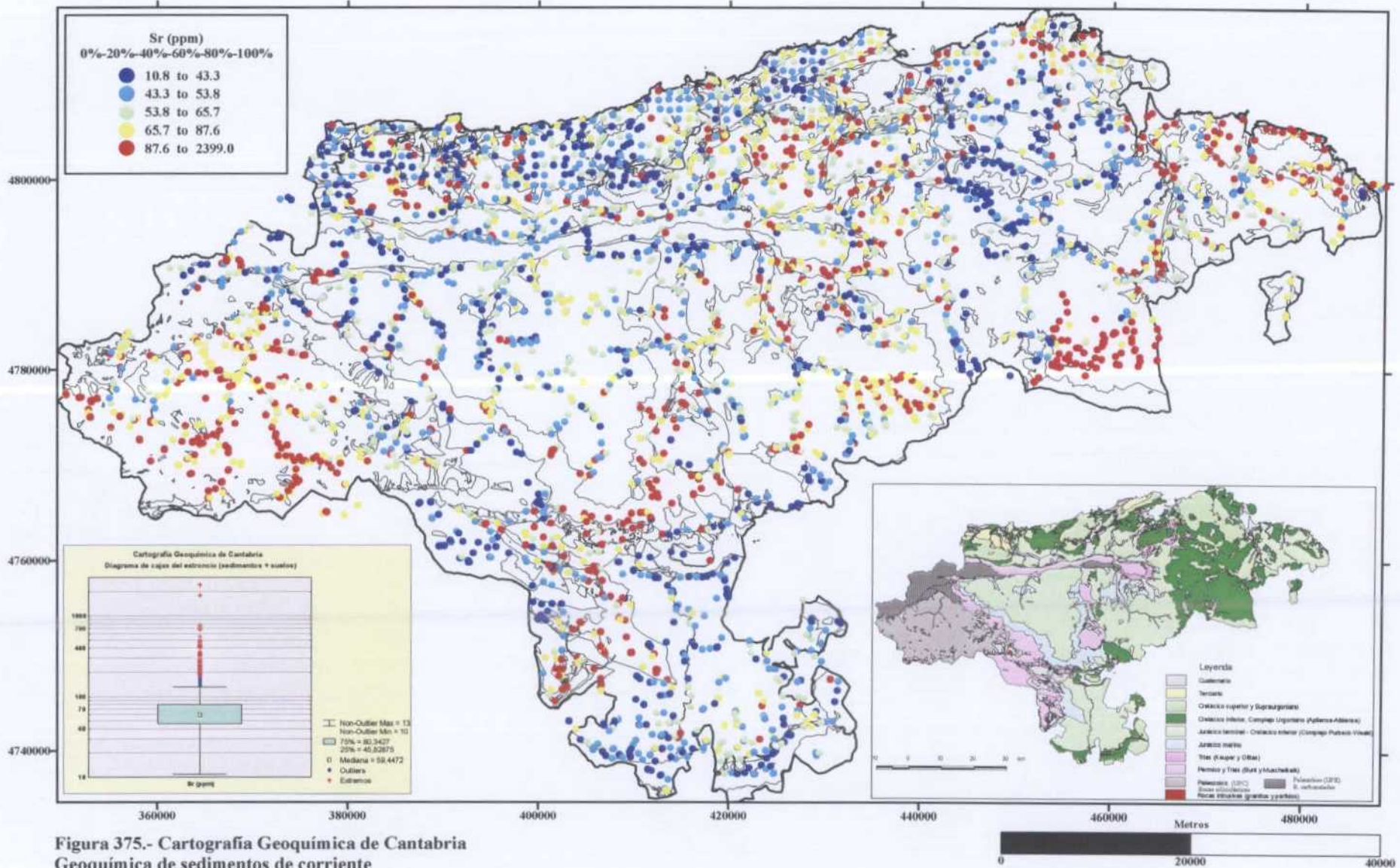
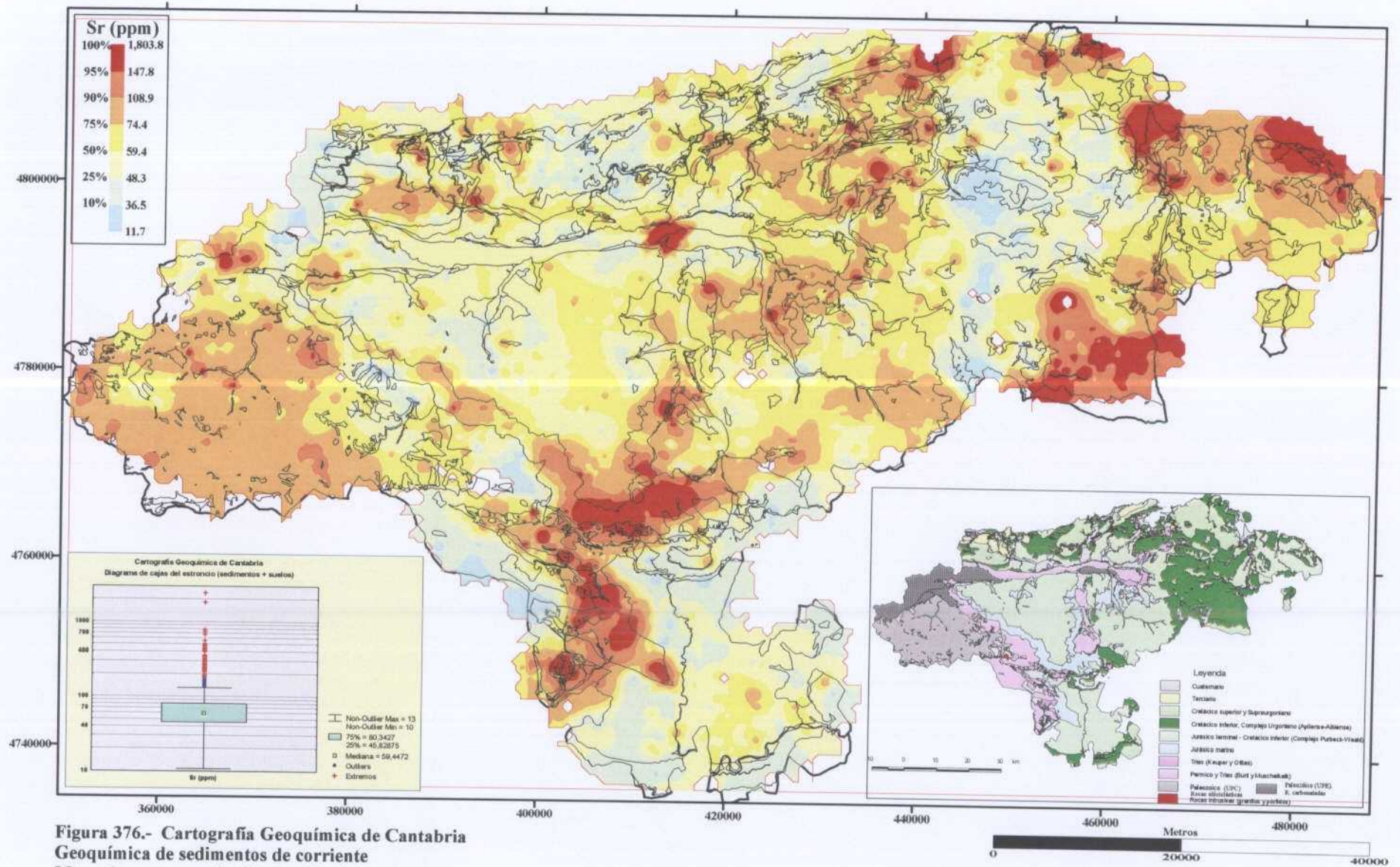


Figura 375.- Cartografía Geoquímica de Cantabria  
Geoquímica de sedimentos de corriente  
Mapa de puntos de distribución del estroncio



**Figura 376.- Cartografía Geoquímica de Cantabria**  
Geoquímica de sedimentos de corriente  
Mapa de contornos de distribución del estroncio



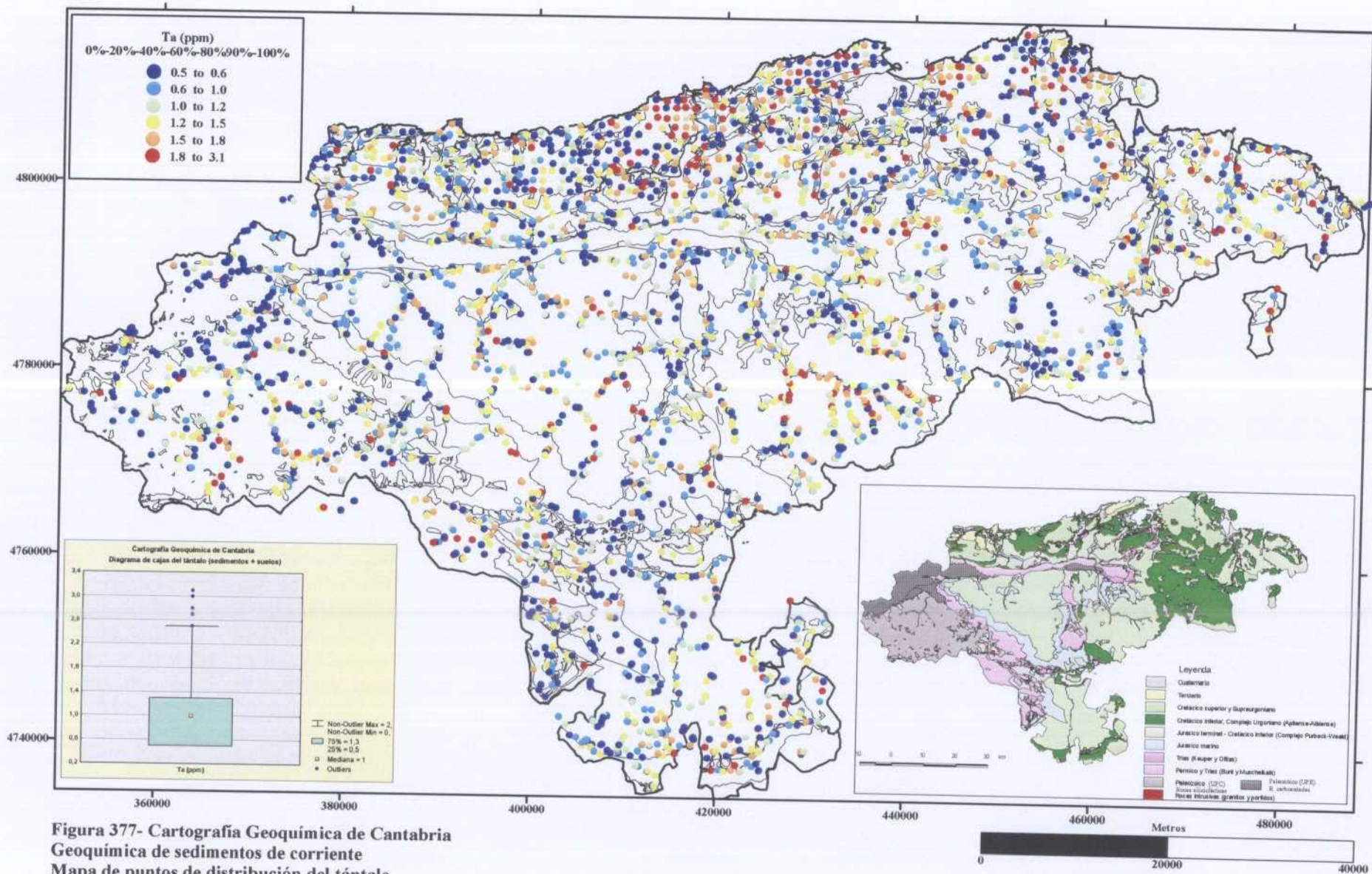
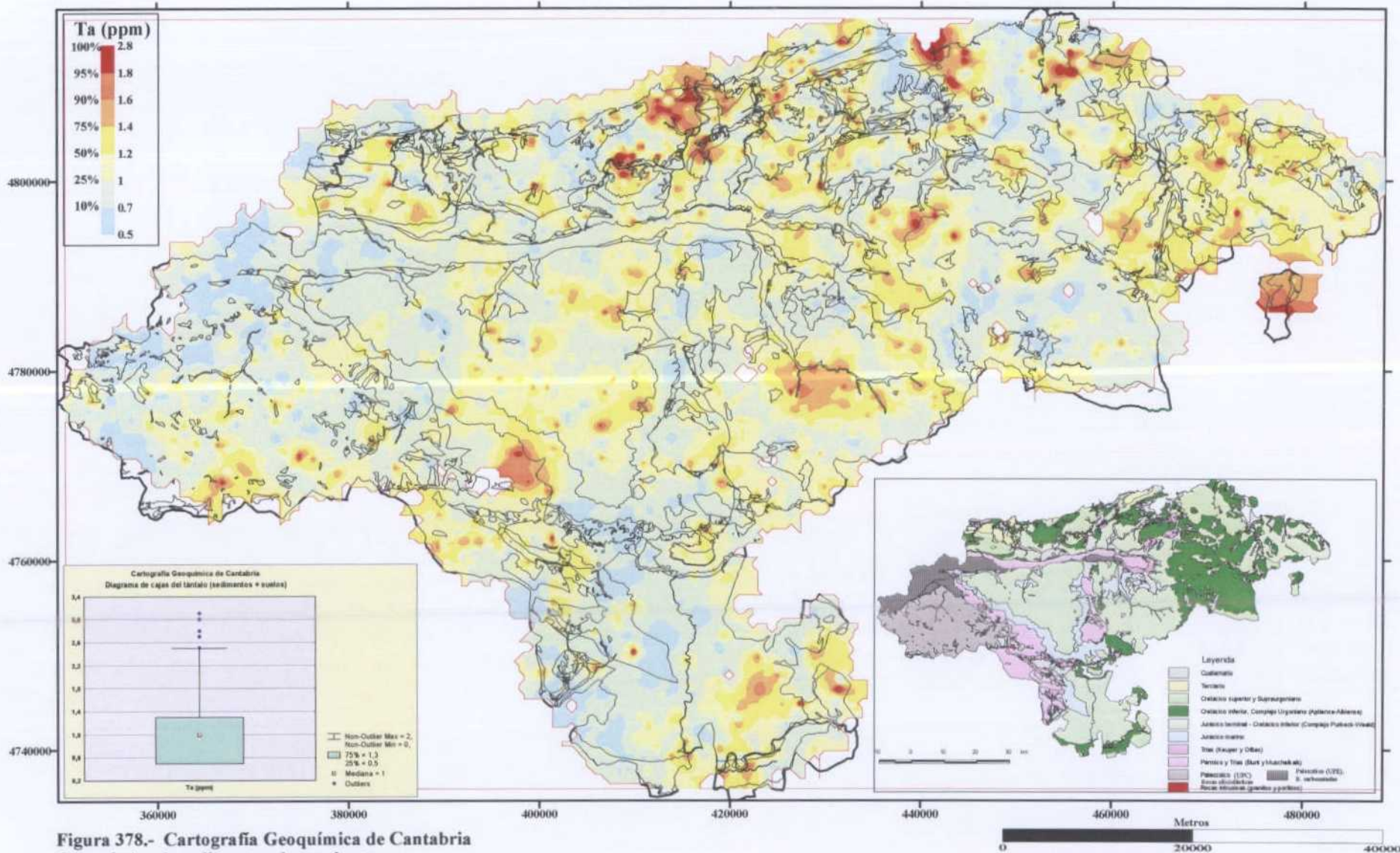
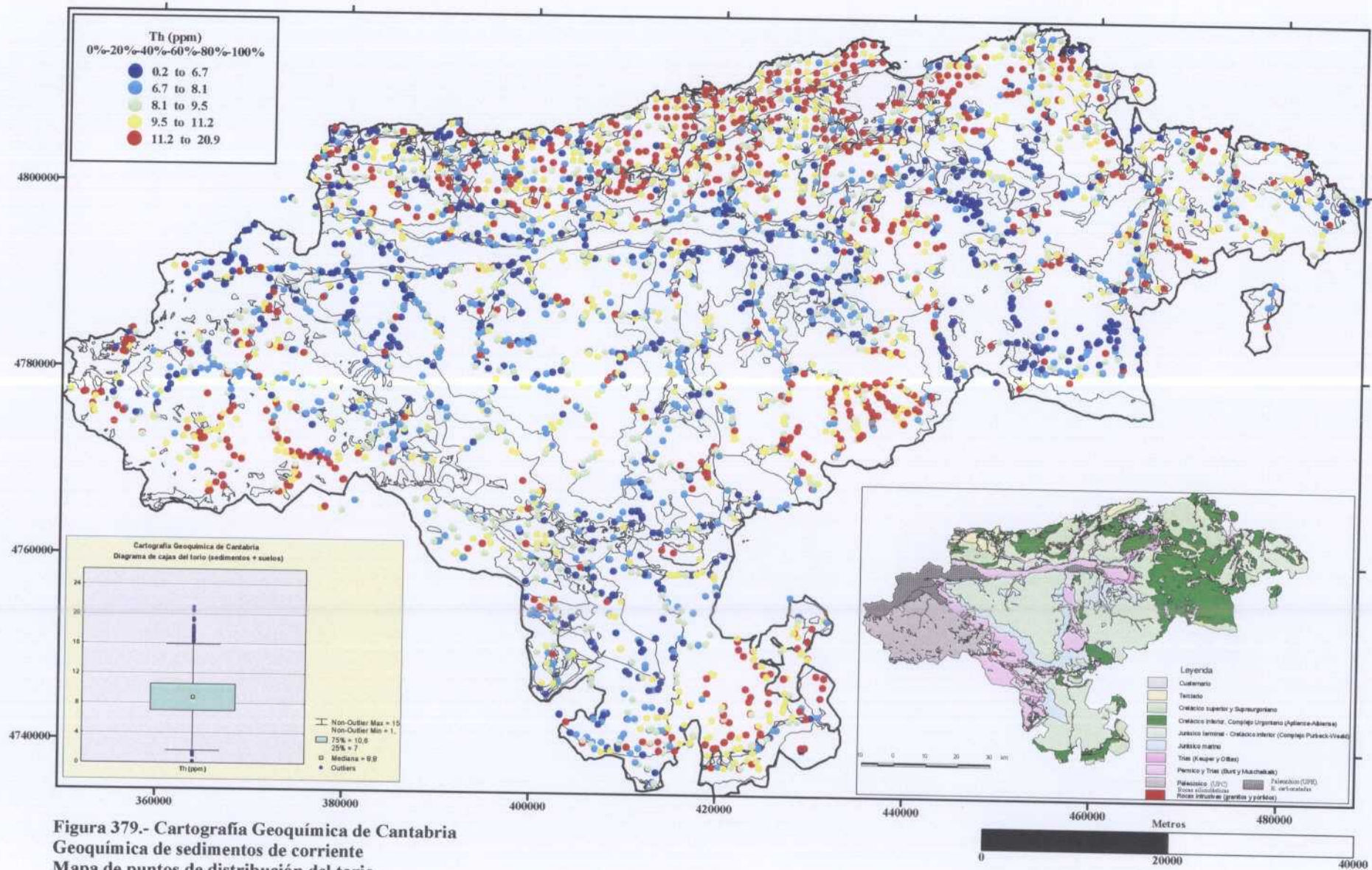


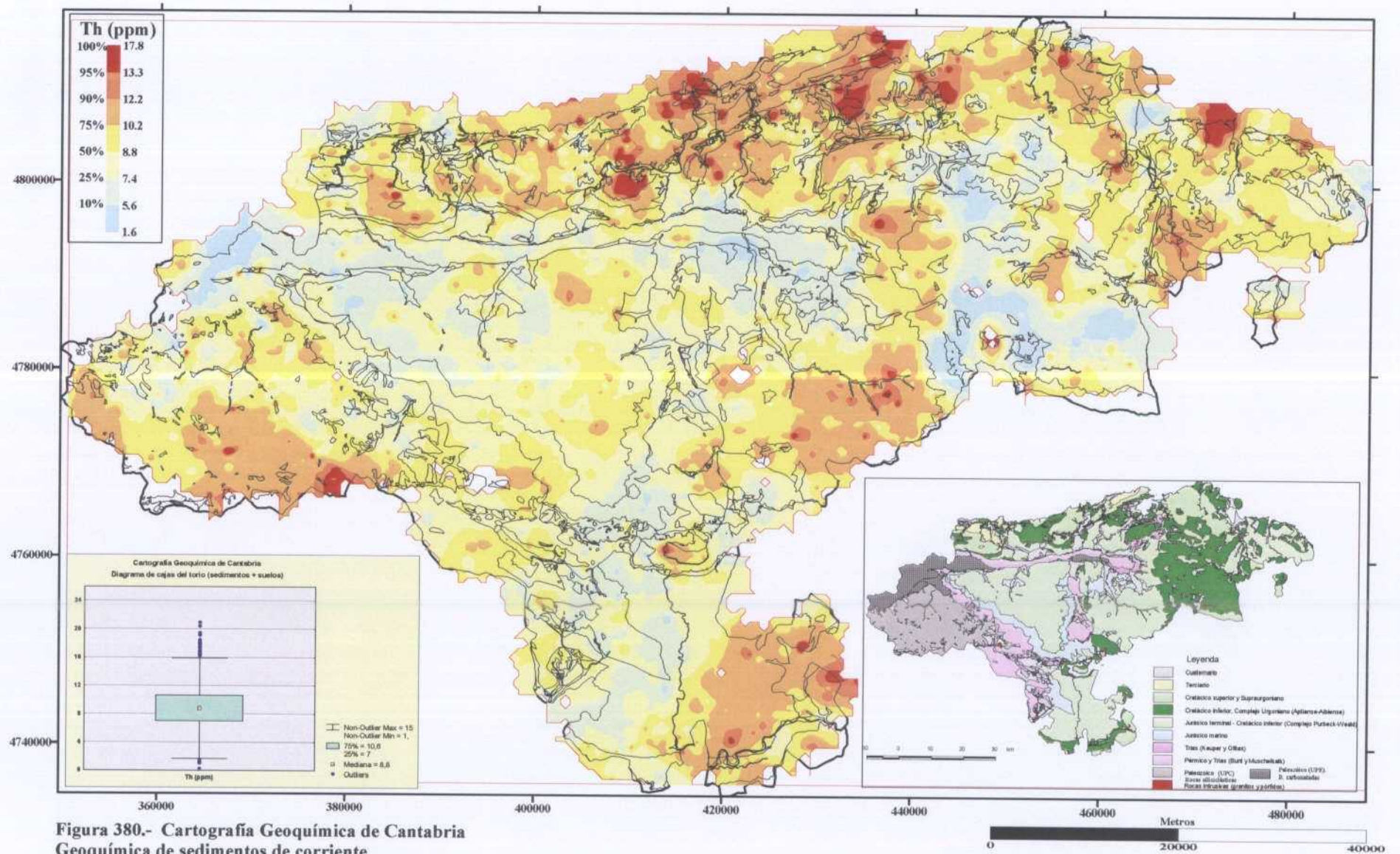
Figura 377- Cartografía Geoquímica de Cantabria  
 Geoquímica de sedimentos de corriente  
 Mapa de puntos de distribución del tántalo



**Figura 378.- Cartografía Geoquímica de Cantabria**  
Geoquímica de sedimentos de corriente  
Mapa de contornos de distribución del tántalo



**Figura 379.- Cartografía Geoquímica de Cantabria**  
 Geoquímica de sedimentos de corriente  
 Mapa de puntos de distribución del torio



**Figura 380.- Cartografía Geoquímica de Cantabria**  
**Geoquímica de sedimentos de corriente**  
**Mapa de contornos de distribución del torio**

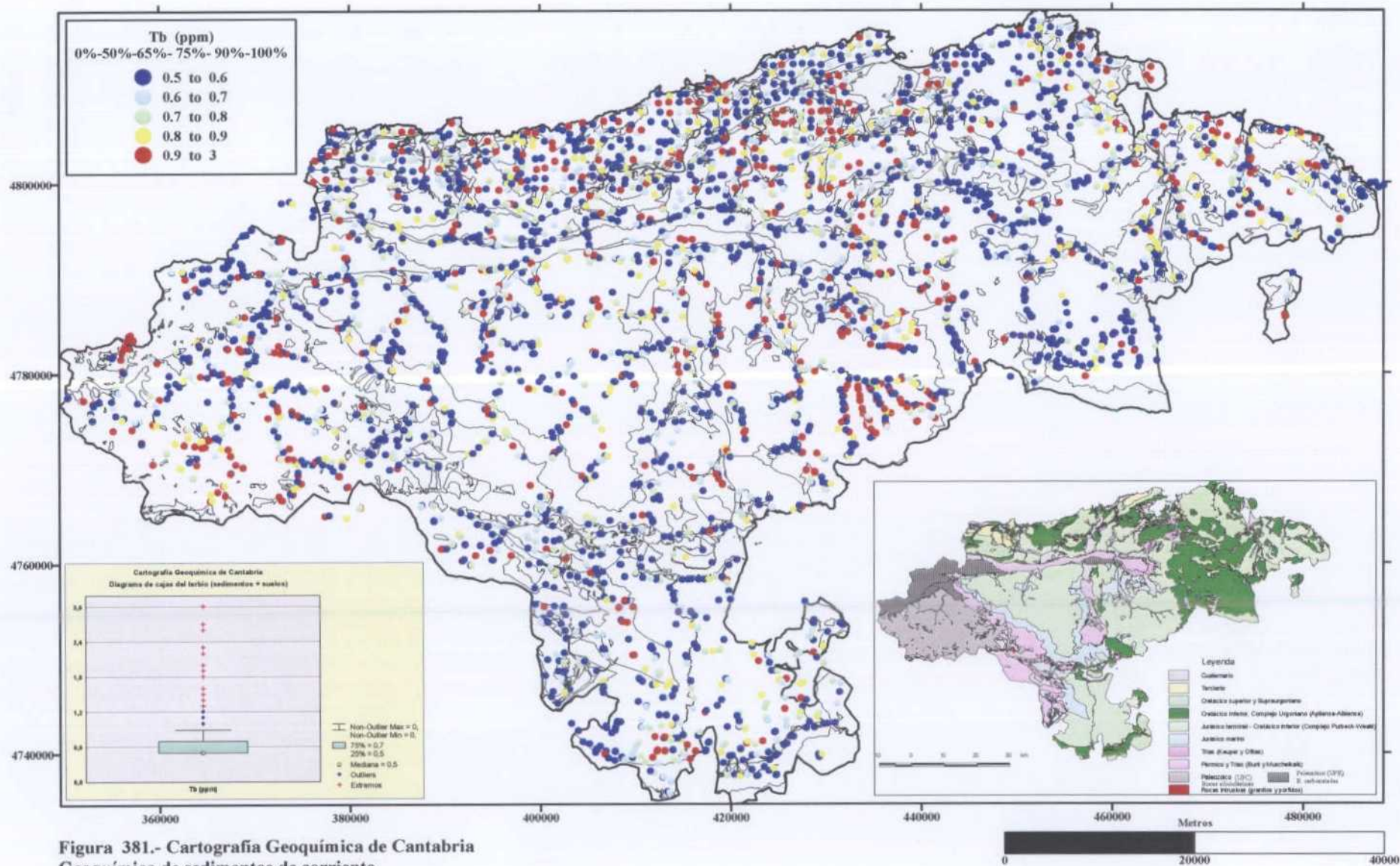


Figura 381.- Cartografía Geoquímica de Cantabria  
 Geoquímica de sedimentos de corriente  
 Mapa de puntos de distribución del terbio

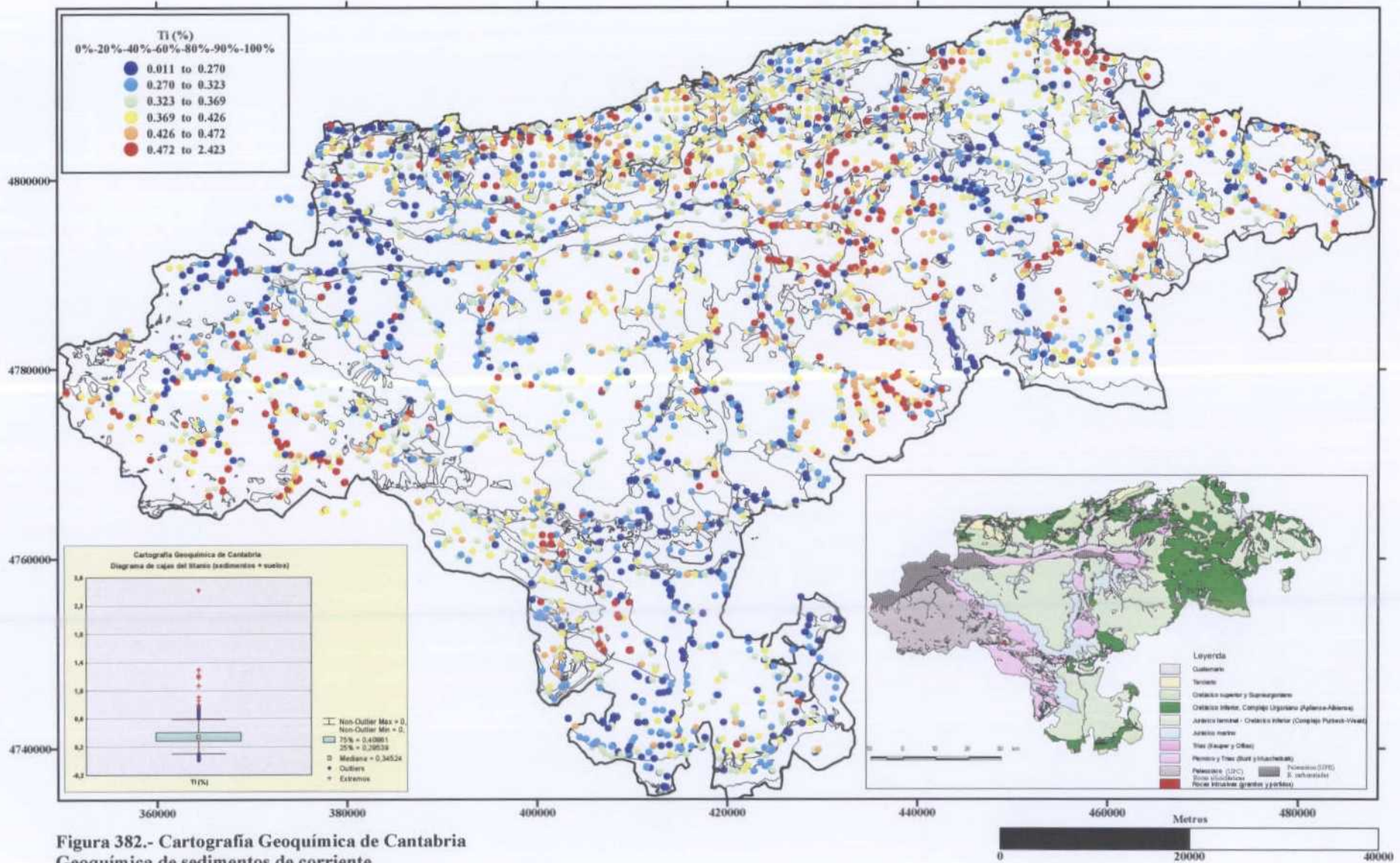
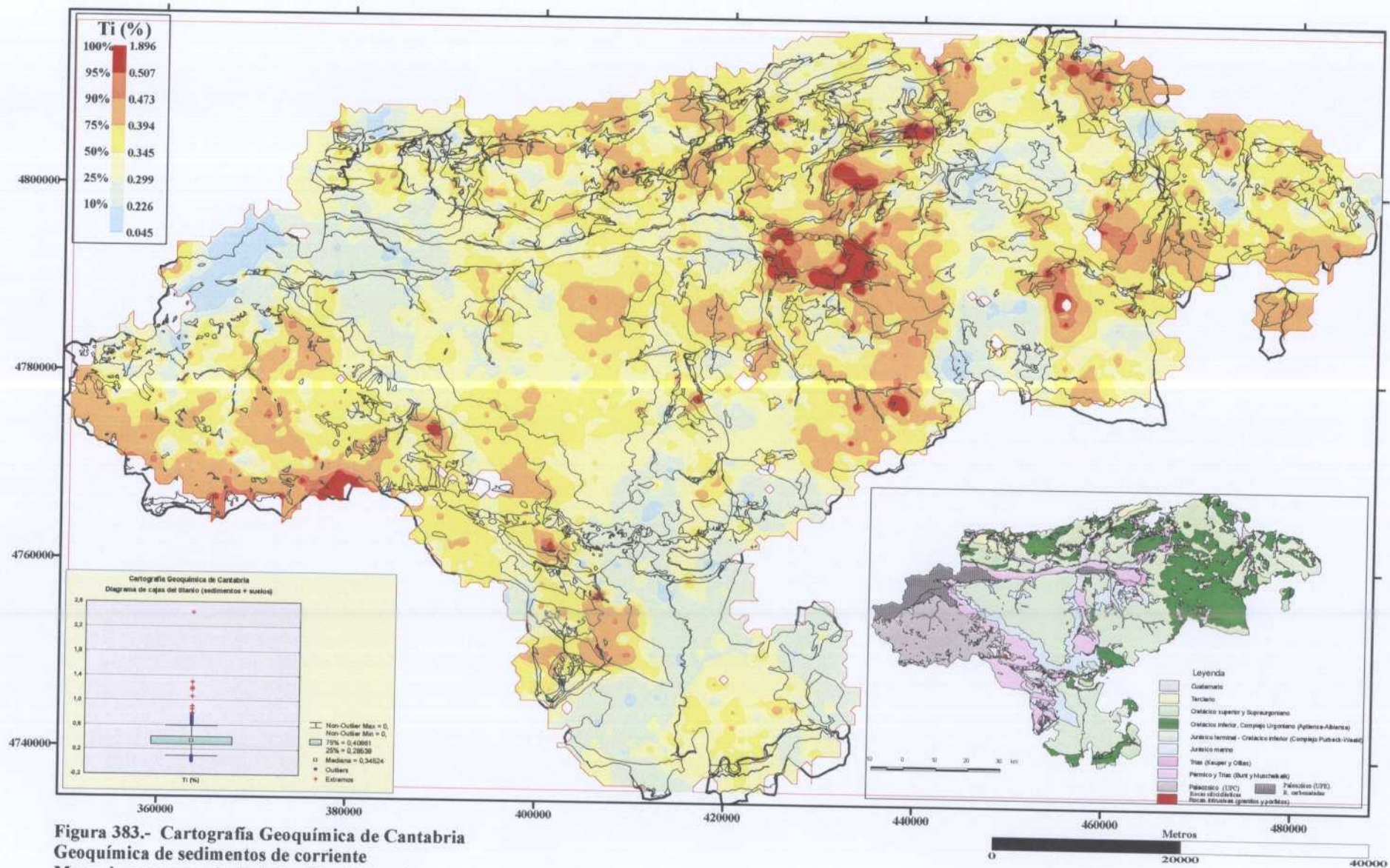


Figura 382.- Cartografía Geoquímica de Cantabria  
Geoquímica de sedimentos de corriente  
Mapa de puntos de distribución del titanio



**Figura 383.- Cartografía Geoquímica de Cantabria**  
Geoquímica de sedimentos de corriente  
Mapa de contornos de distribución del titanio

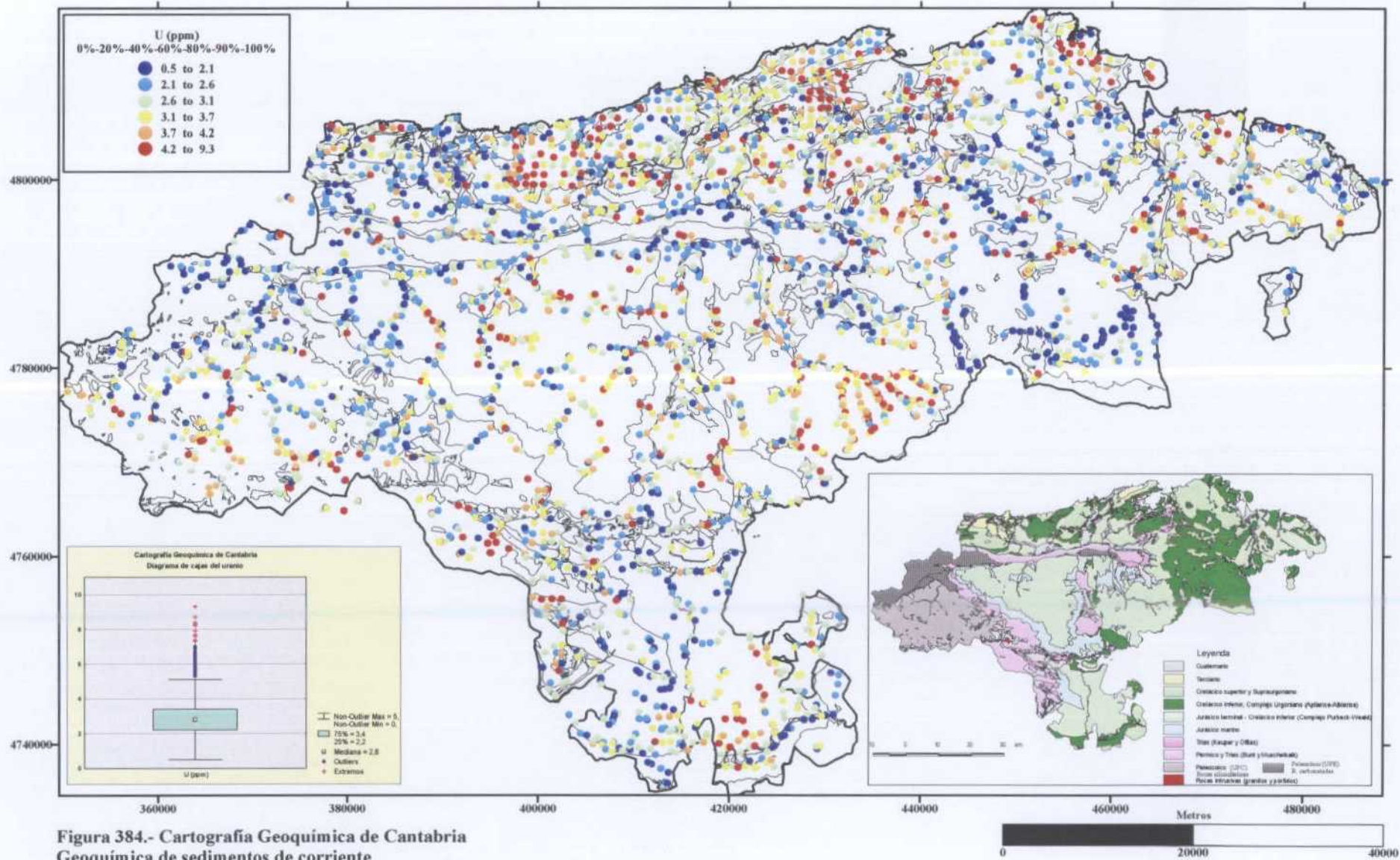


Figura 384.- Cartografía Geoquímica de Cantabria  
 Geoquímica de sedimentos de corriente  
 Mapa de puntos de distribución del uranio



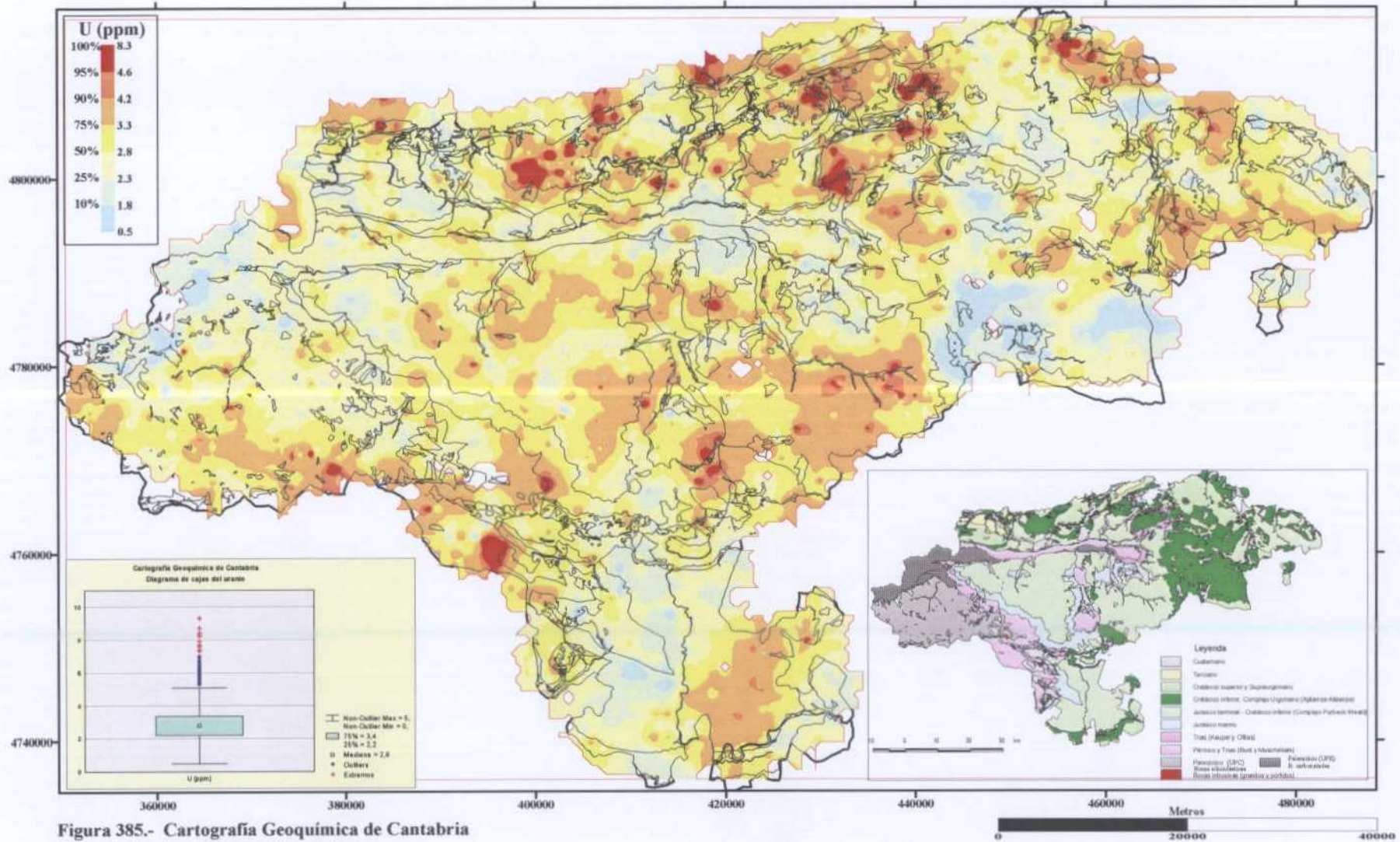


Figura 385.- Cartografía Geoquímica de Cantabria  
Geoquímica de sedimentos de corriente  
Mapa de contornos de distribución del uranio

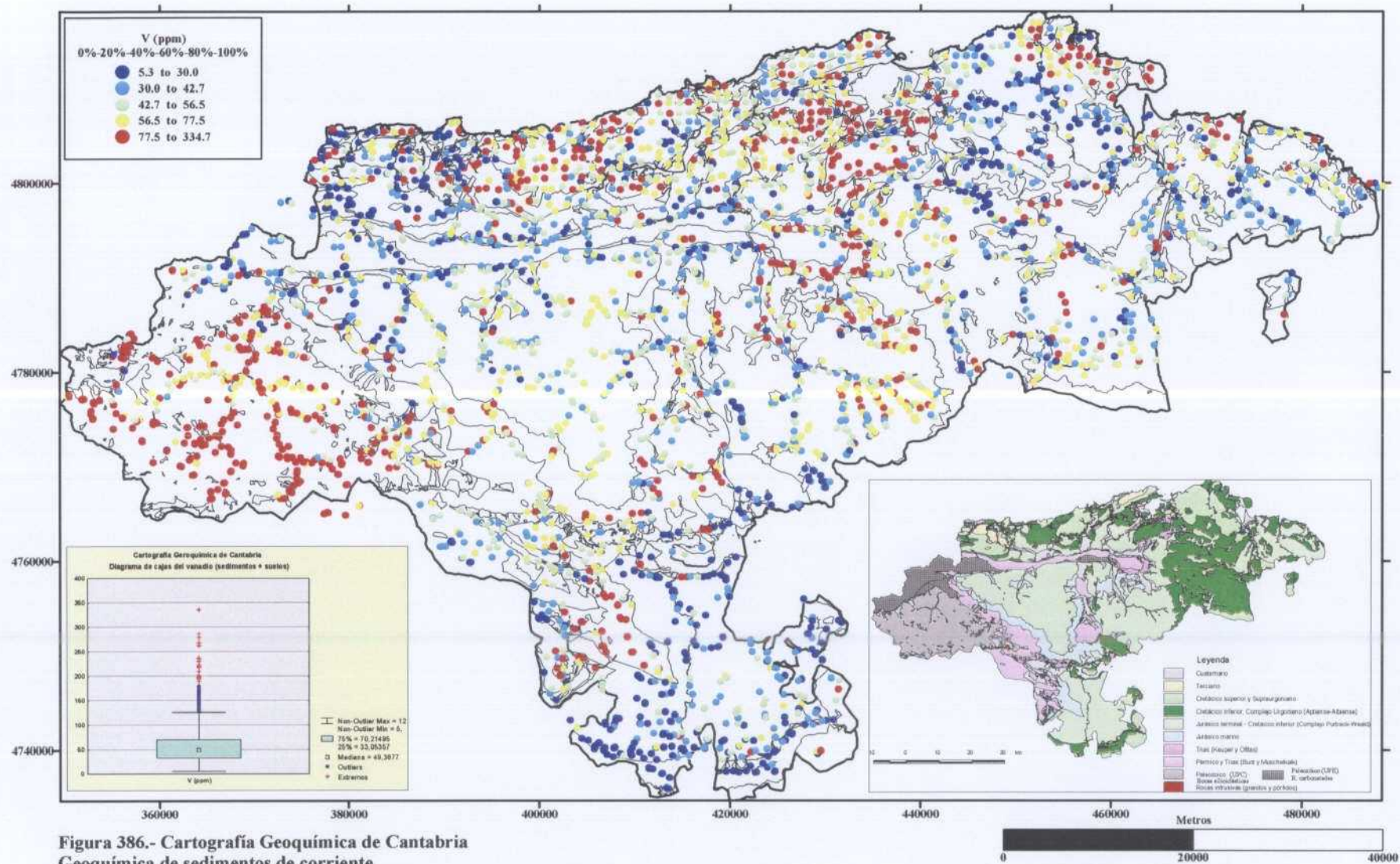
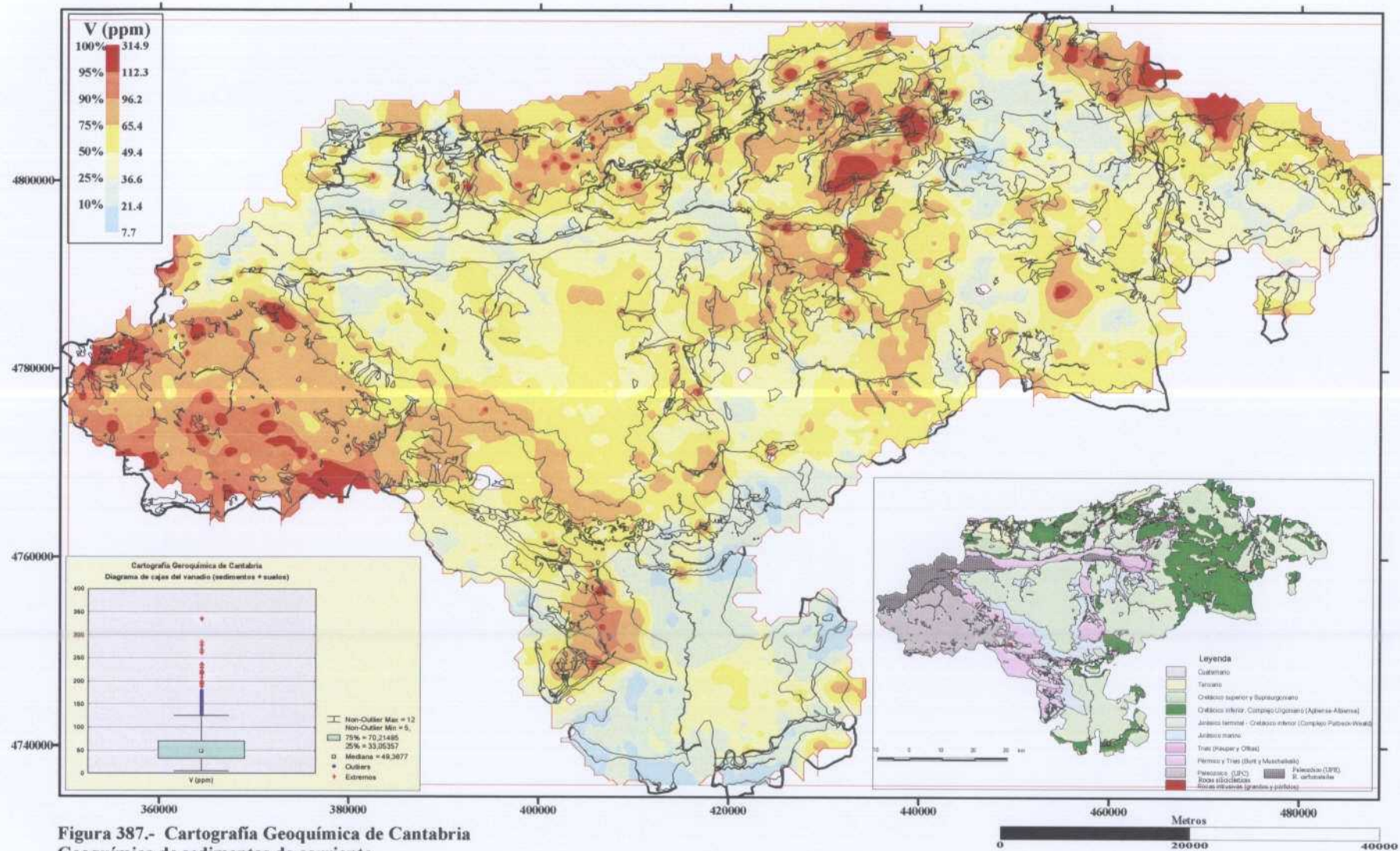


Figura 386.- Cartografía Geoquímica de Cantabria  
Geoquímica de sedimentos de corriente  
Mapa de puntos de distribución del vanadio



**Figura 387.- Cartografía Geoquímica de Cantabria**  
Geoquímica de sedimentos de corriente  
Mapa de contornos de distribución del vanadio

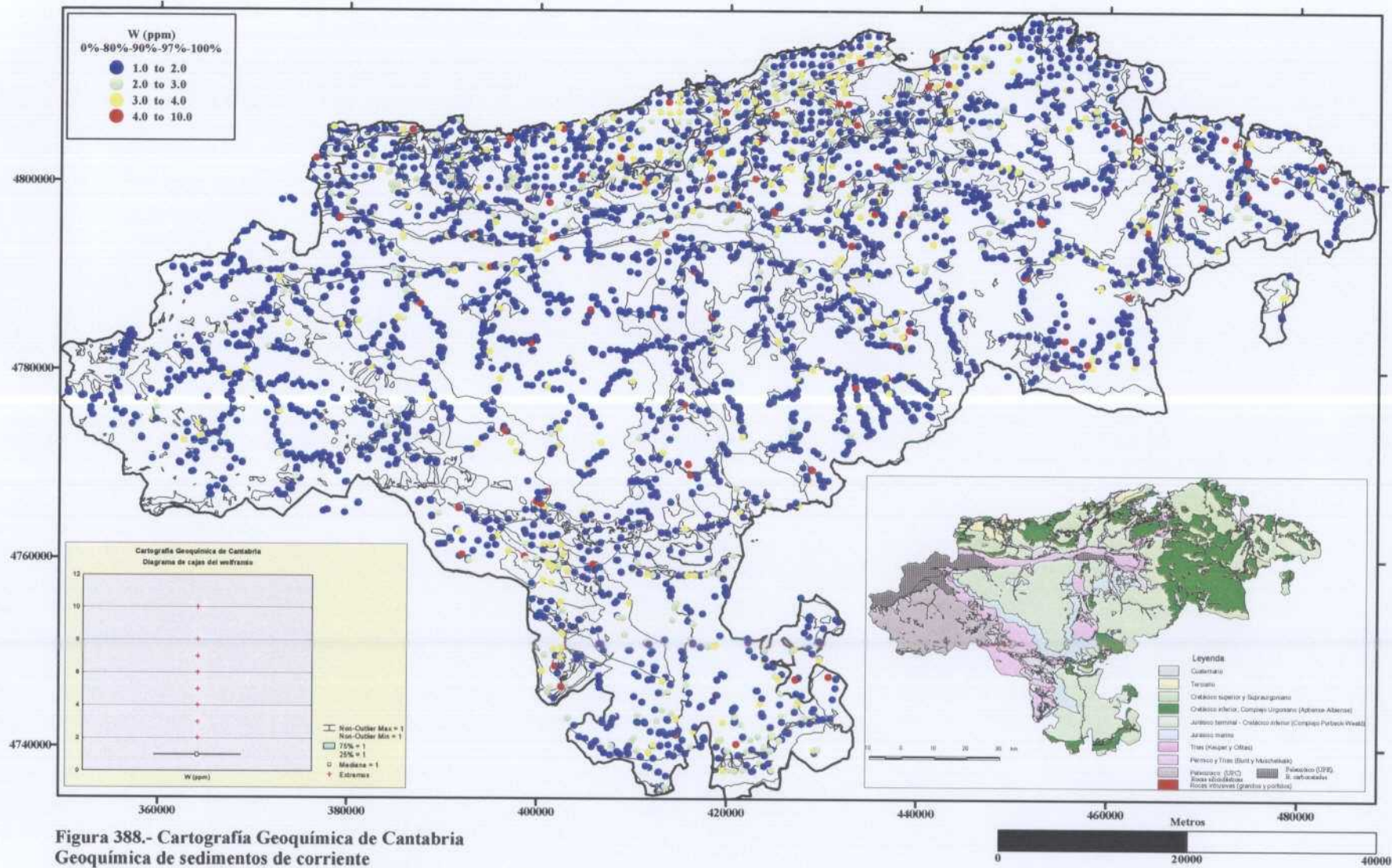
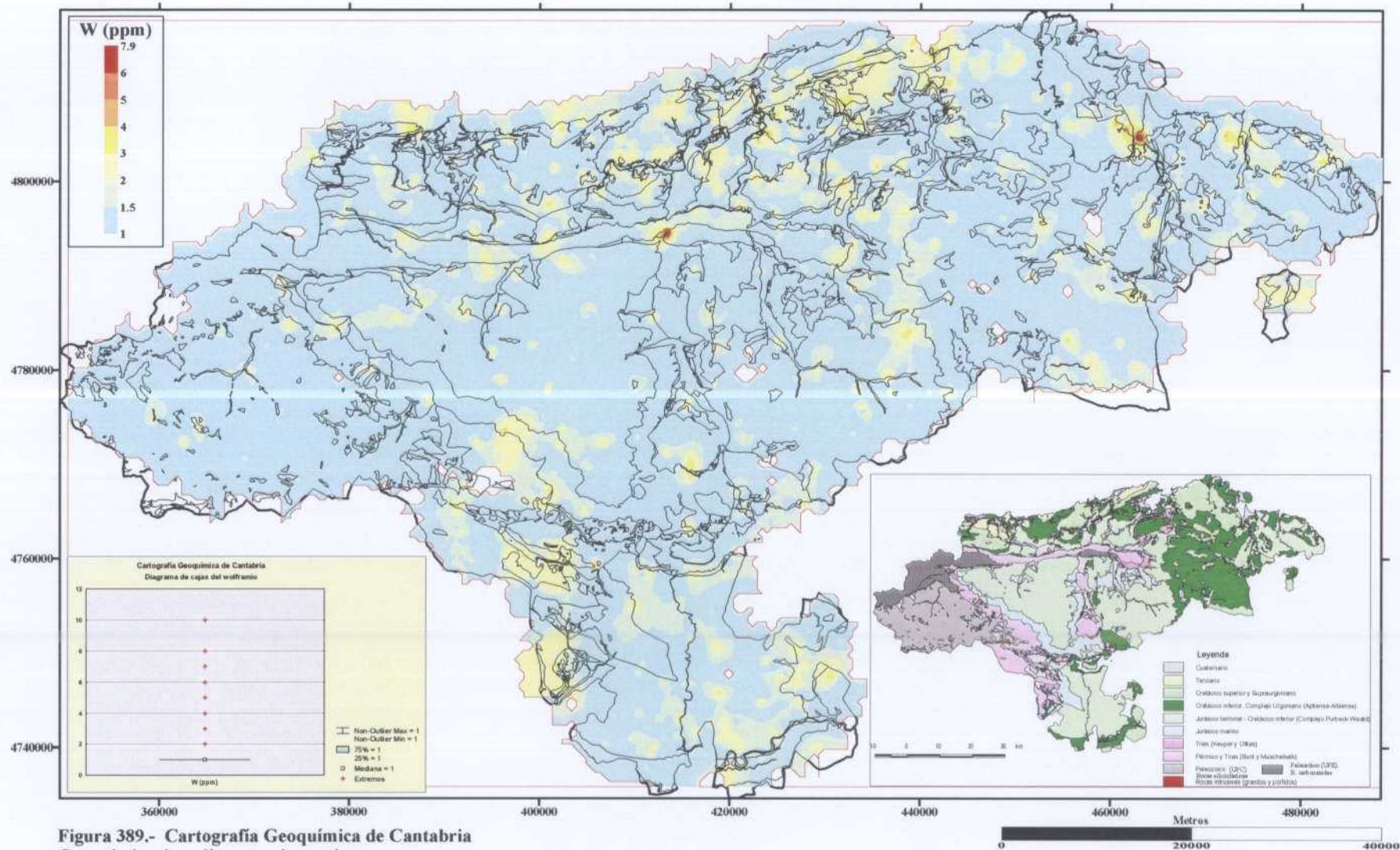


Figura 388.- Cartografía Geoquímica de Cantabria  
Geoquímica de sedimentos de corriente  
Mapa de puntos de distribución del wolframio



**Figura 389.- Cartografía Geoquímica de Cantabria**  
Geoquímica de sedimentos de corriente  
Mapa de contornos de distribución del wolframio

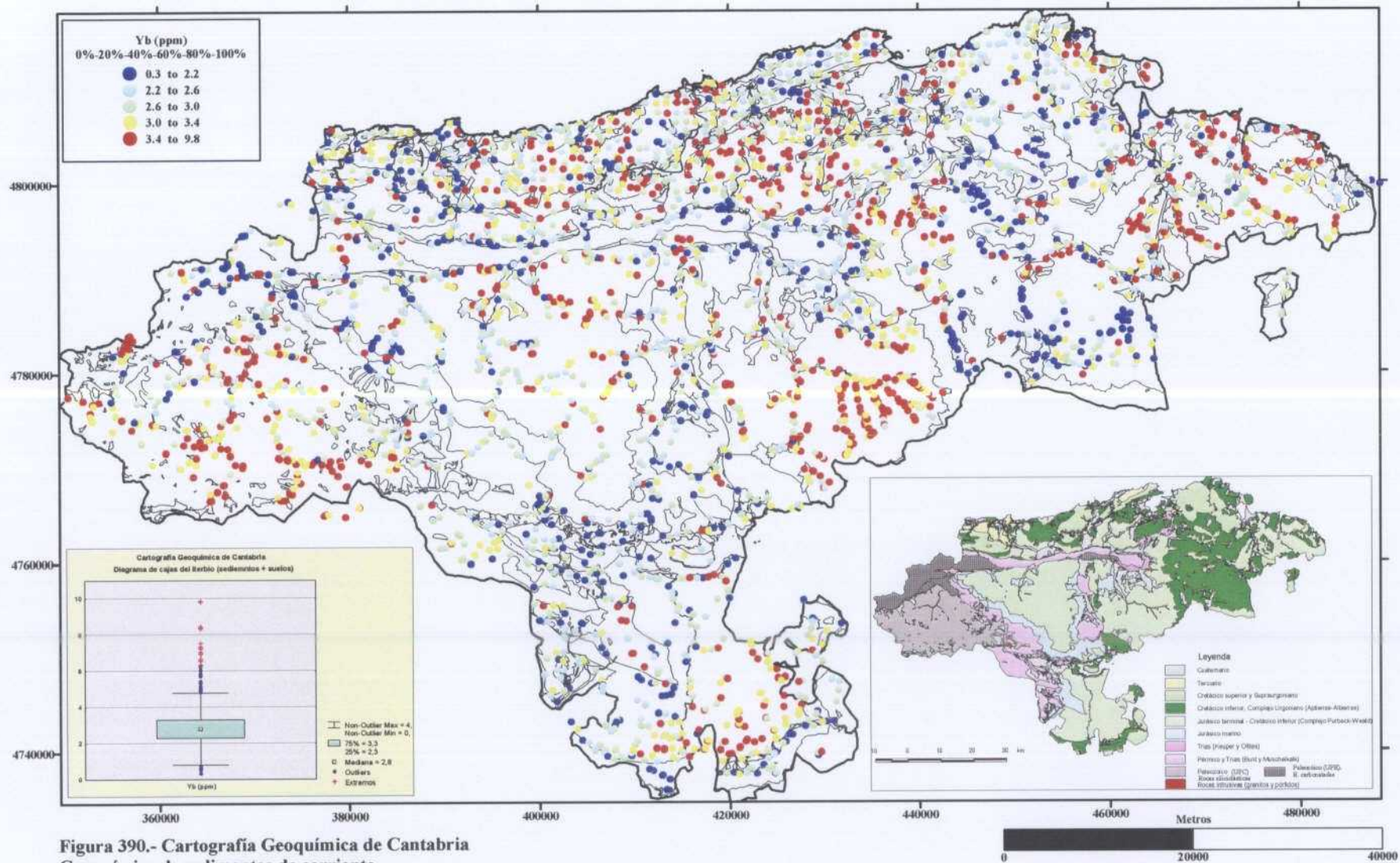


Figura 390.- Cartografía Geoquímica de Cantabria  
Geoquímica de sedimentos de corriente  
Mapa de puntos de distribución del iterbio

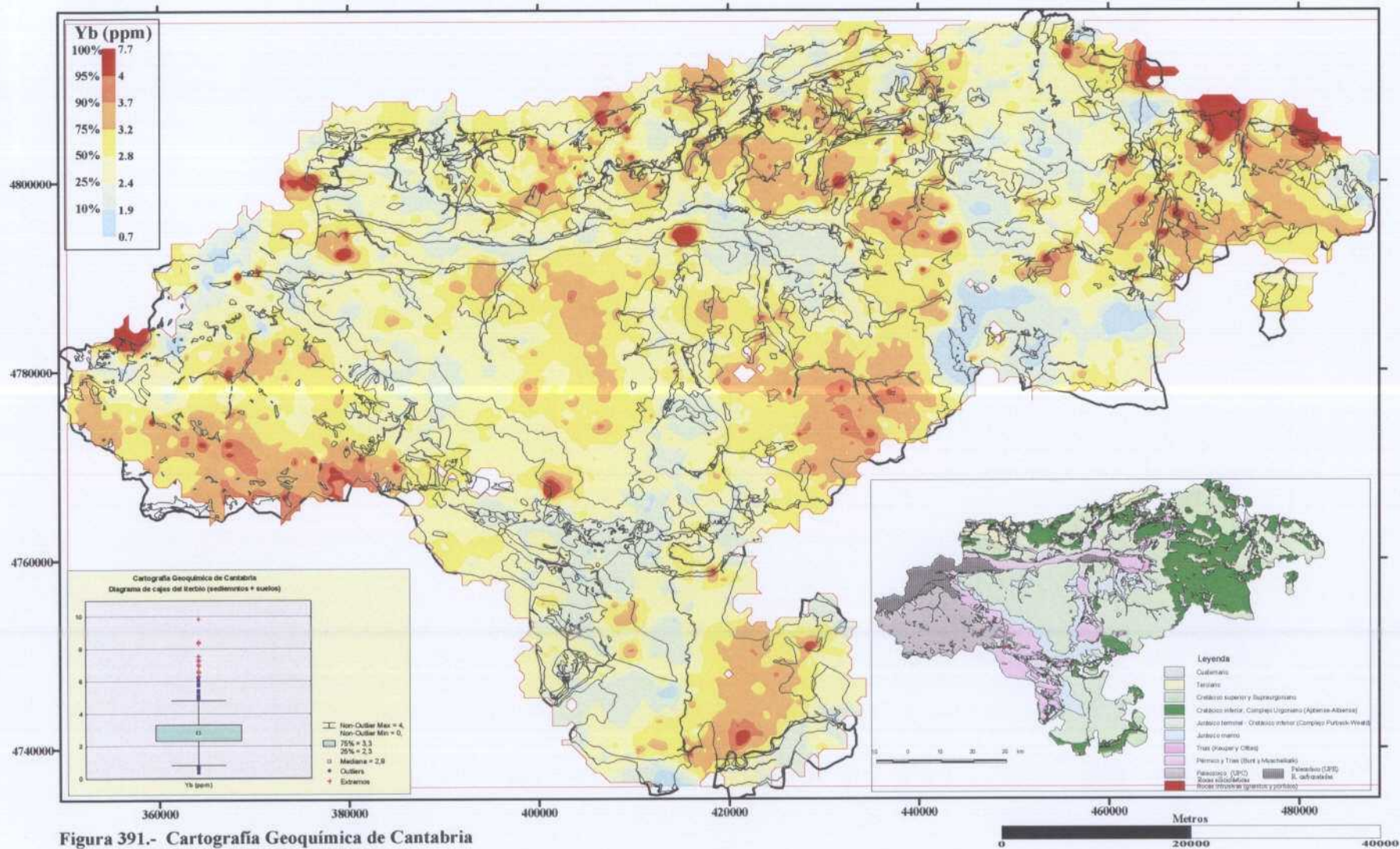


Figura 391.- Cartografía Geoquímica de Cantabria  
Geoquímica de sedimentos de corriente  
Mapa de contornos de distribución del iterbio

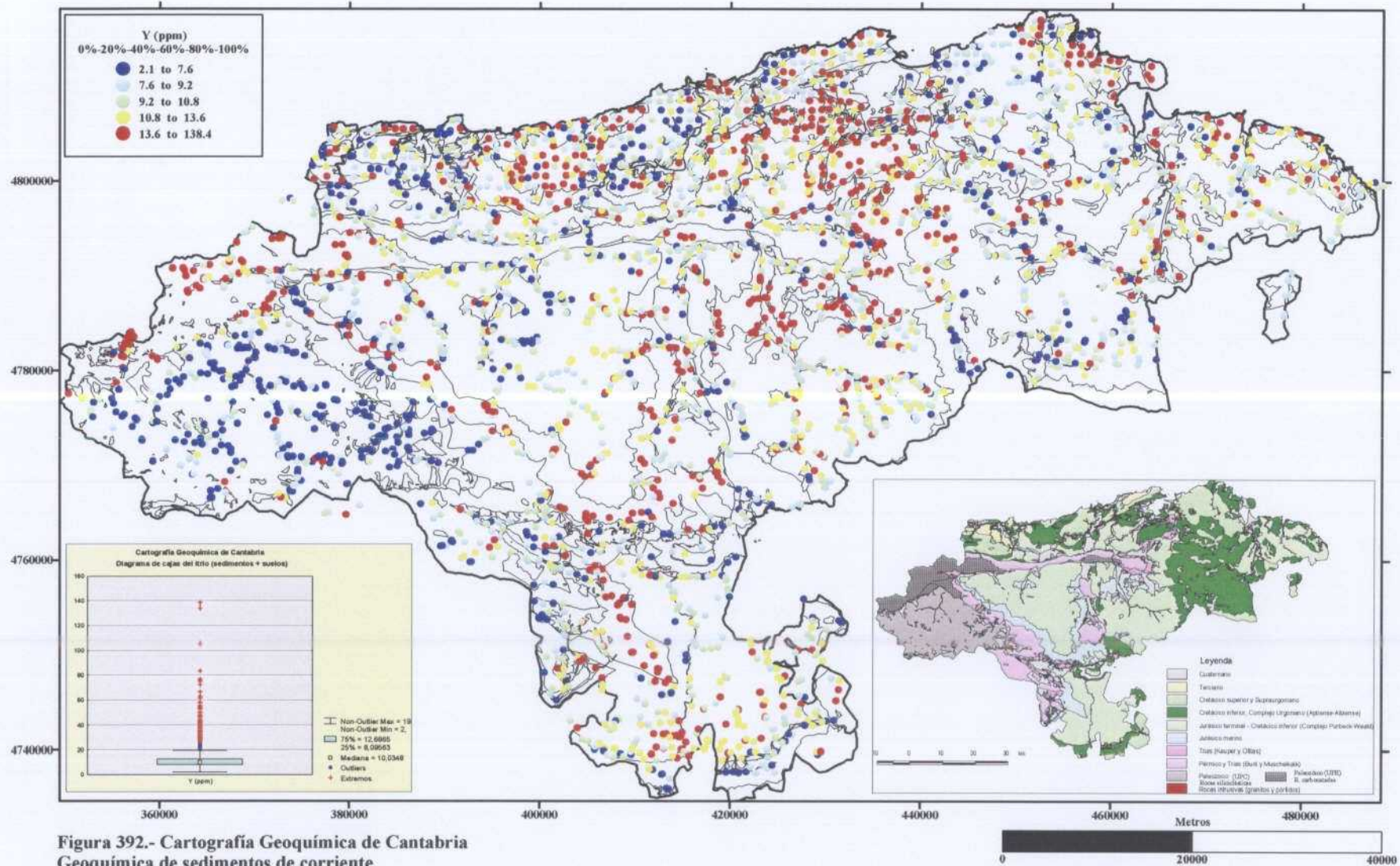
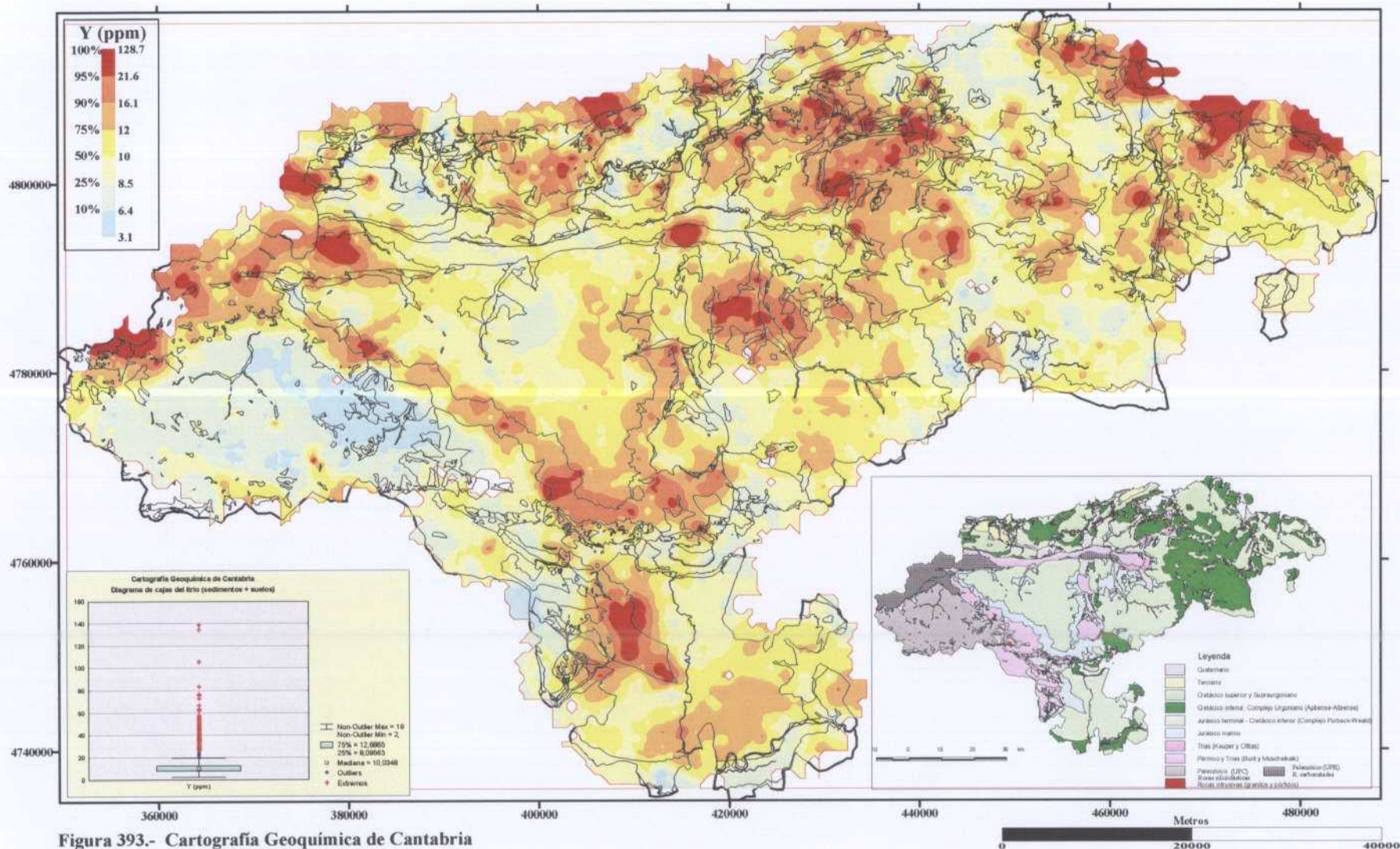


Figura 392.- Cartografía Geoquímica de Cantabria  
Geoquímica de sedimentos de corriente  
Mapa de puntos de distribución del Itrio





**Figura 393.- Cartografía Geoquímica de Cantabria**  
Geoquímica de sedimentos de corriente  
Mapa de contornos de distribución del Itrio

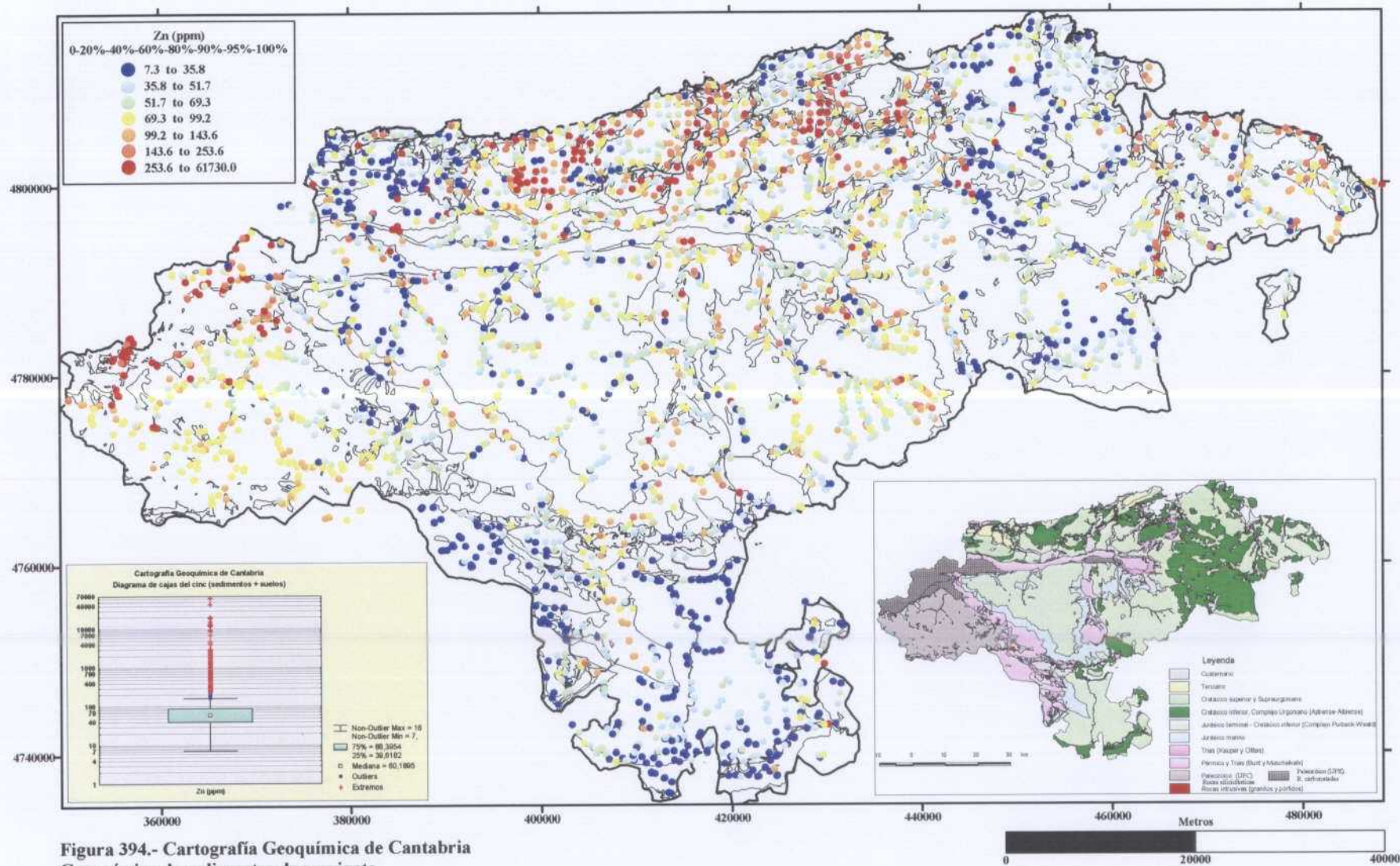


Figura 394.- Cartografía Geoquímica de Cantabria  
Geoquímica de sedimentos de corriente  
Mapa de puntos de distribución del cinc

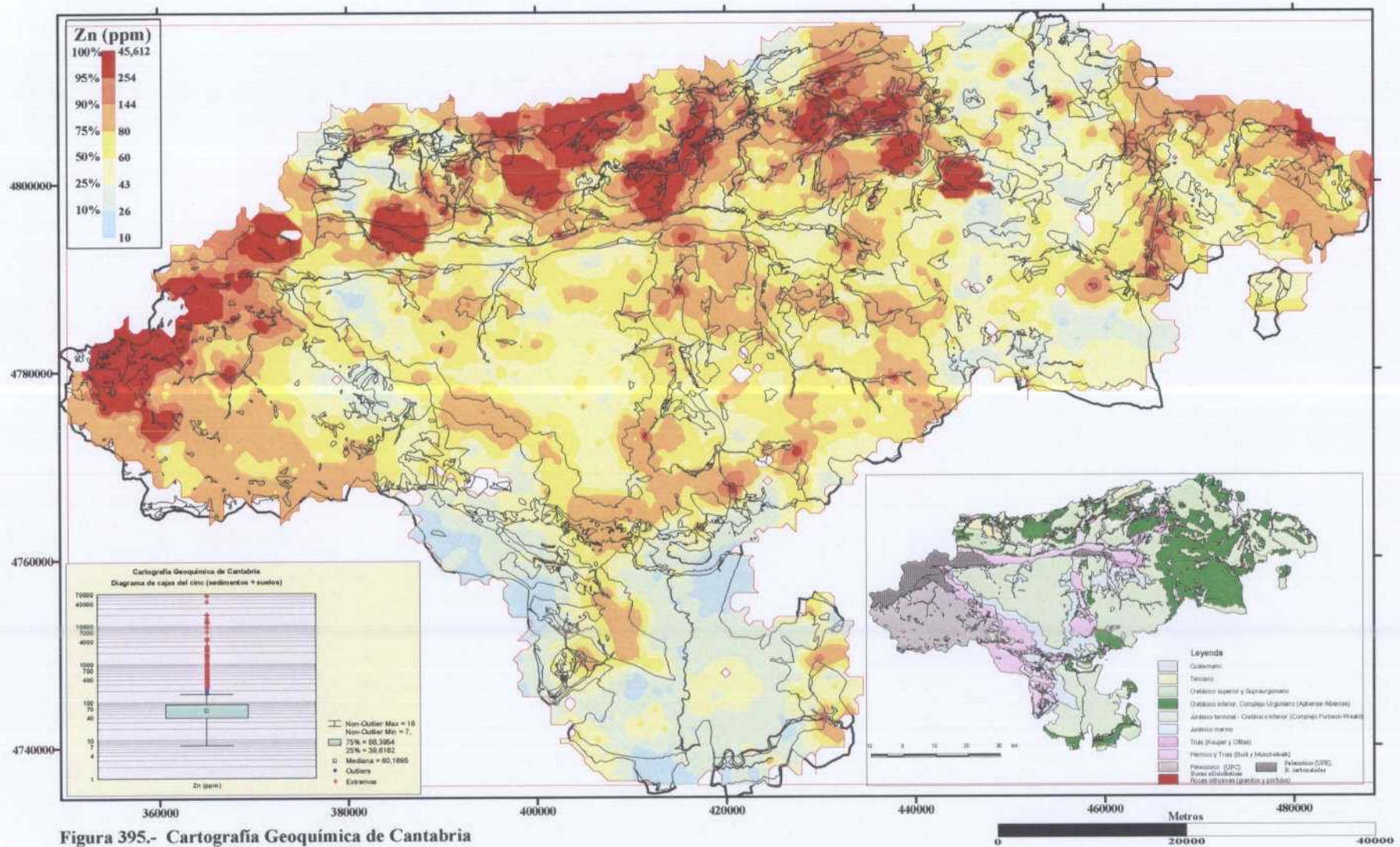
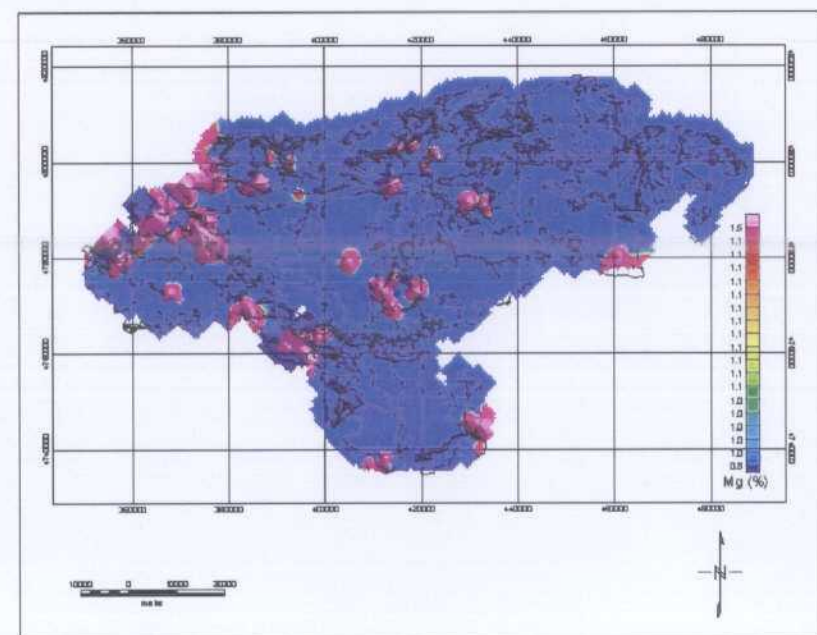
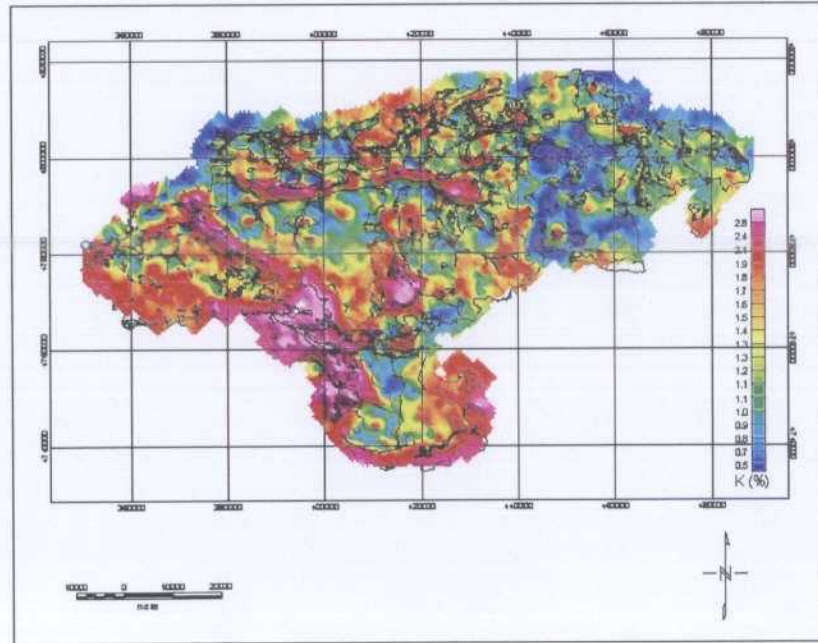
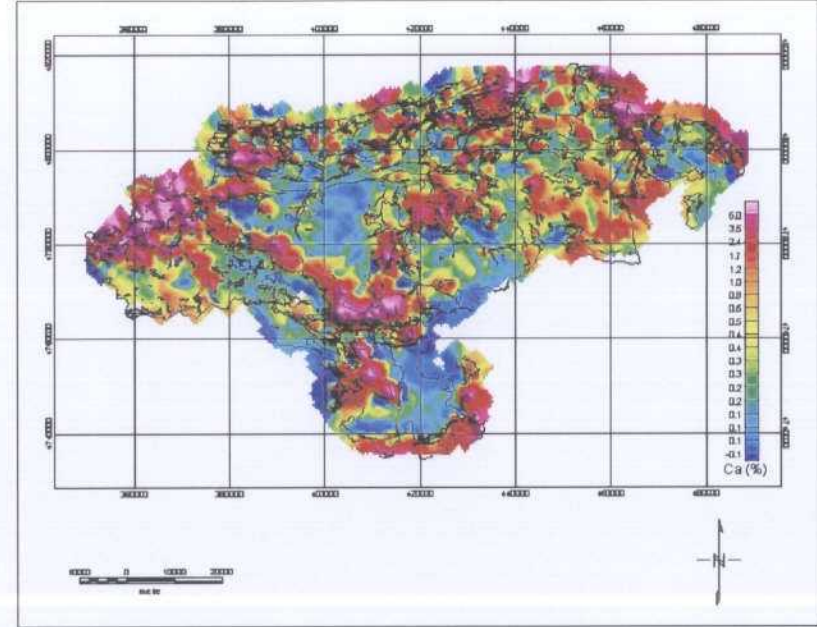
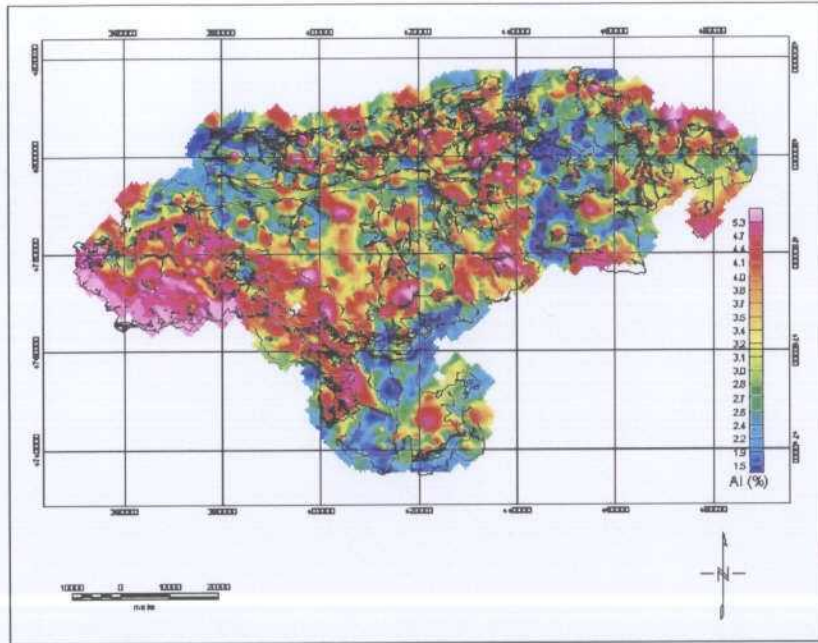
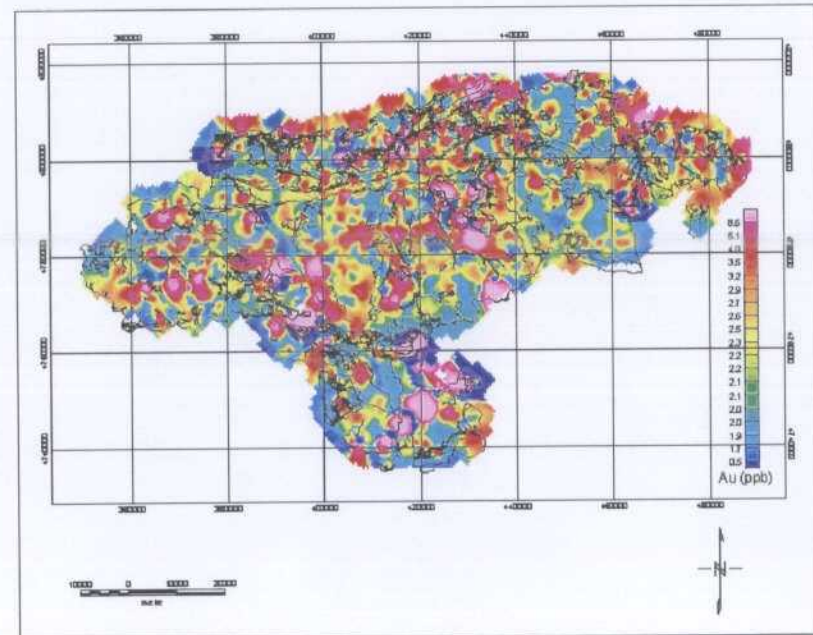
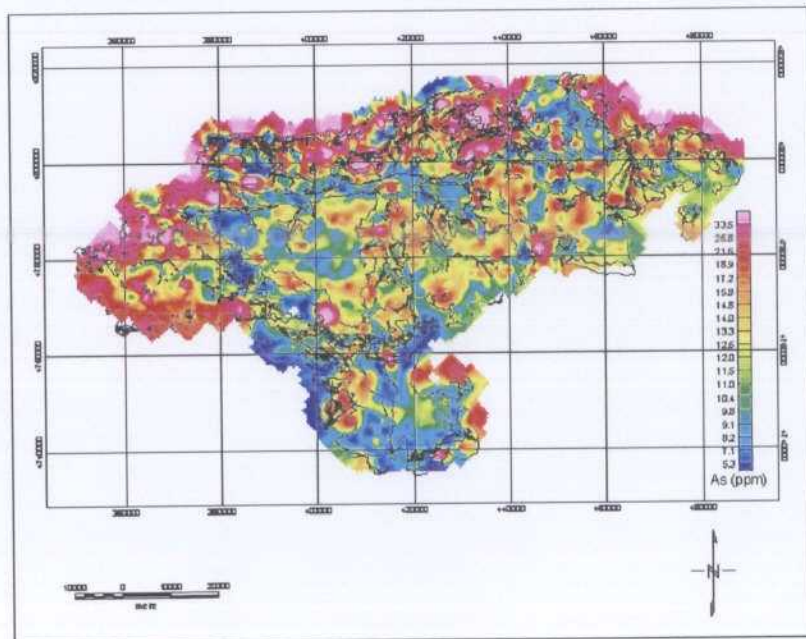
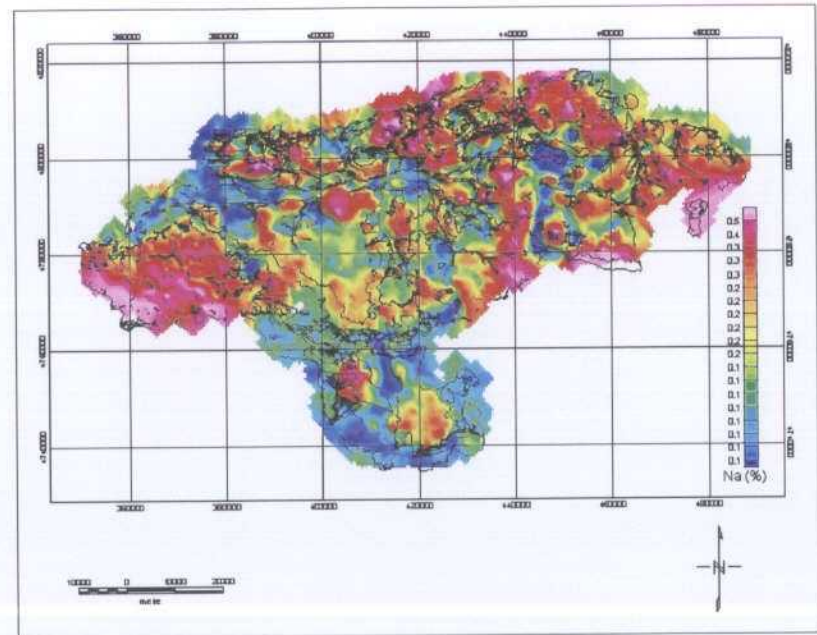
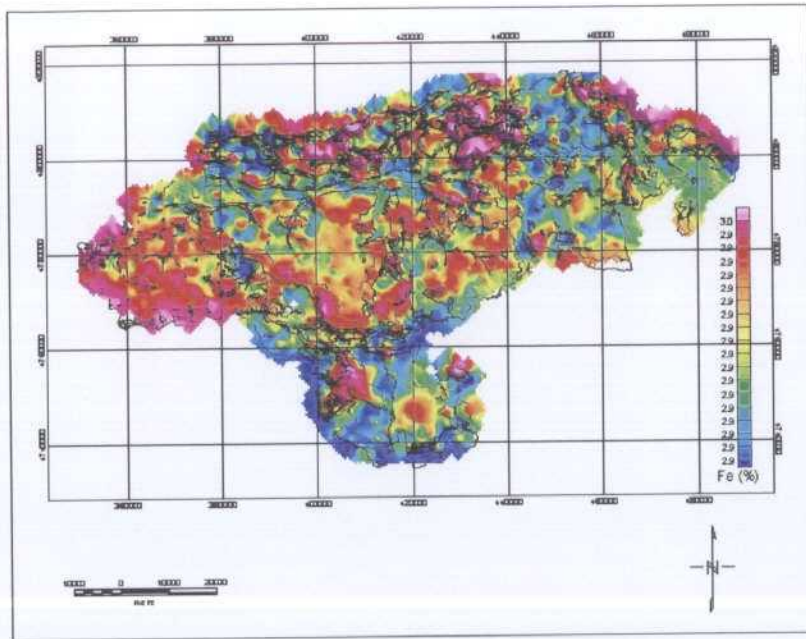


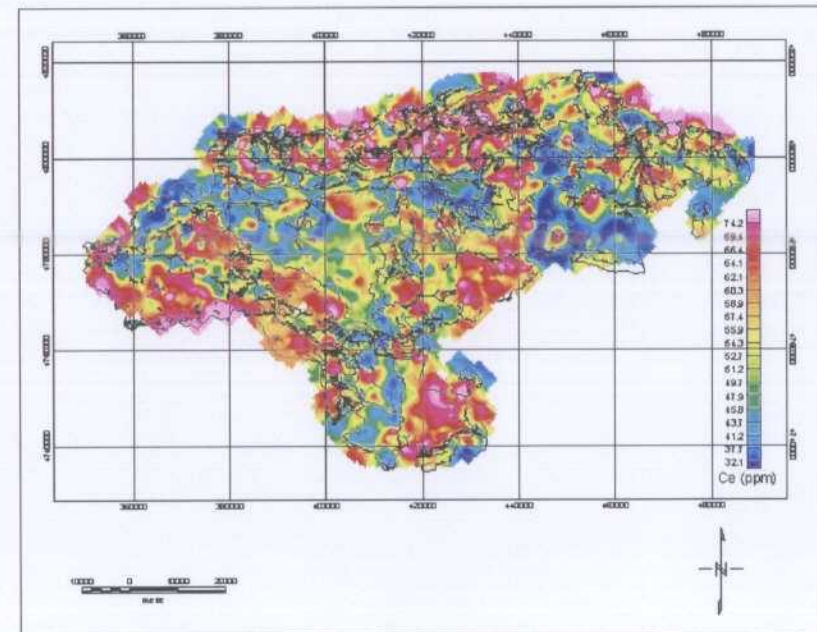
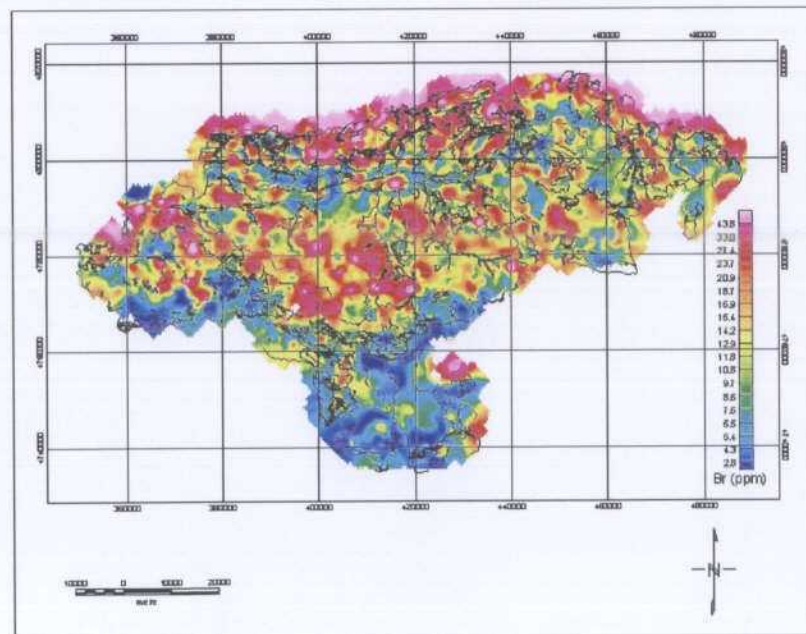
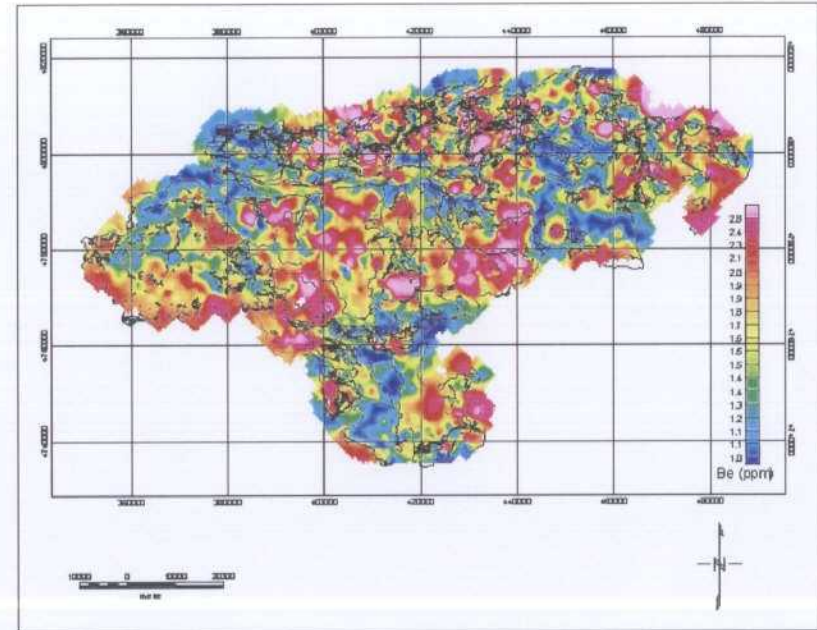
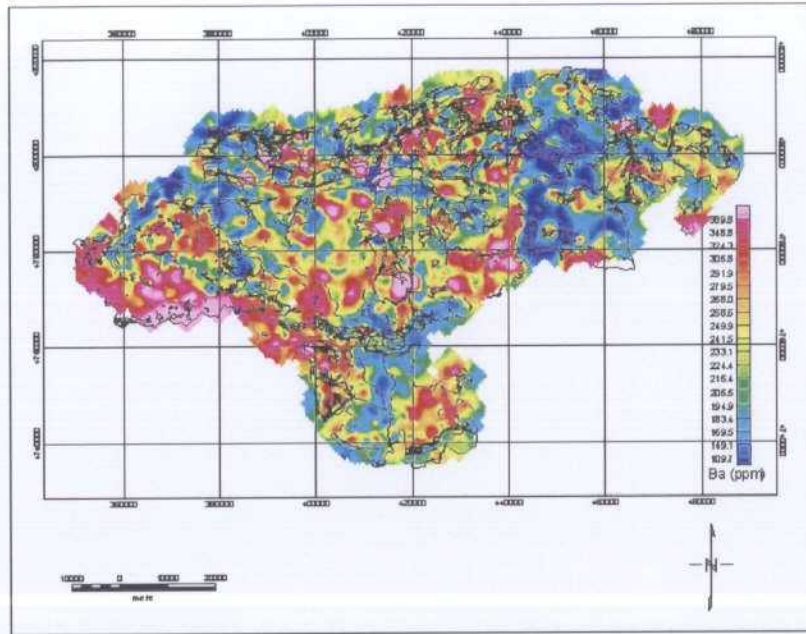
Figura 395.- Cartografía Geoquímica de Cantabria  
Geoquímica de sedimentos de corriente  
Mapa de contornos de distribución del cinc



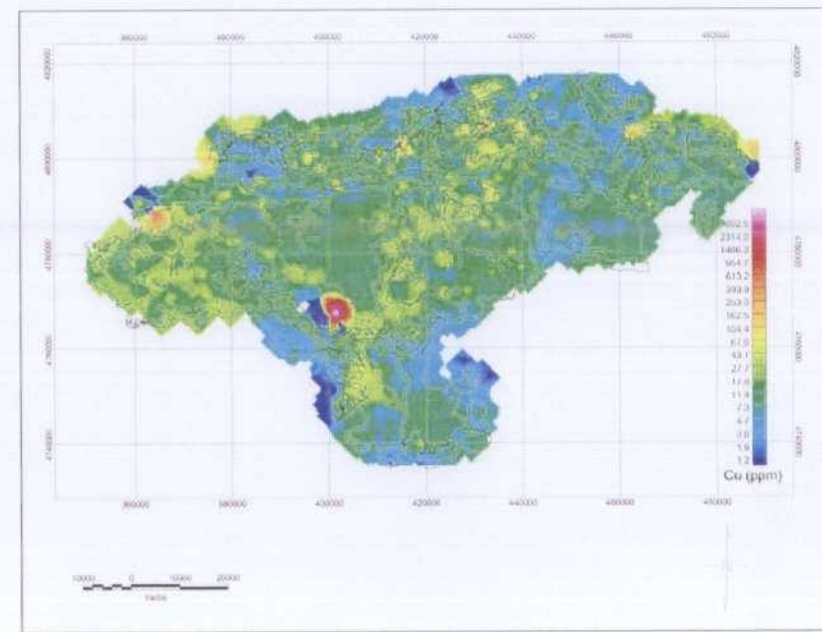
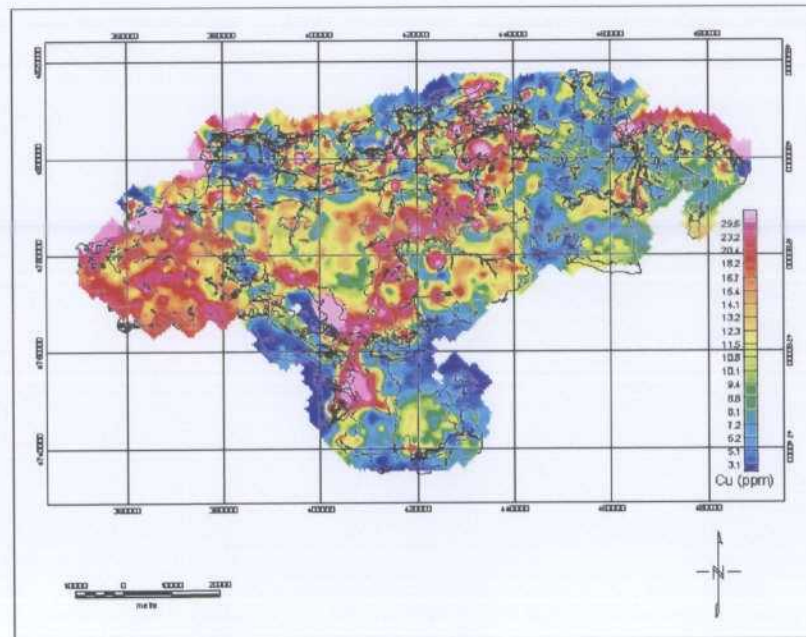
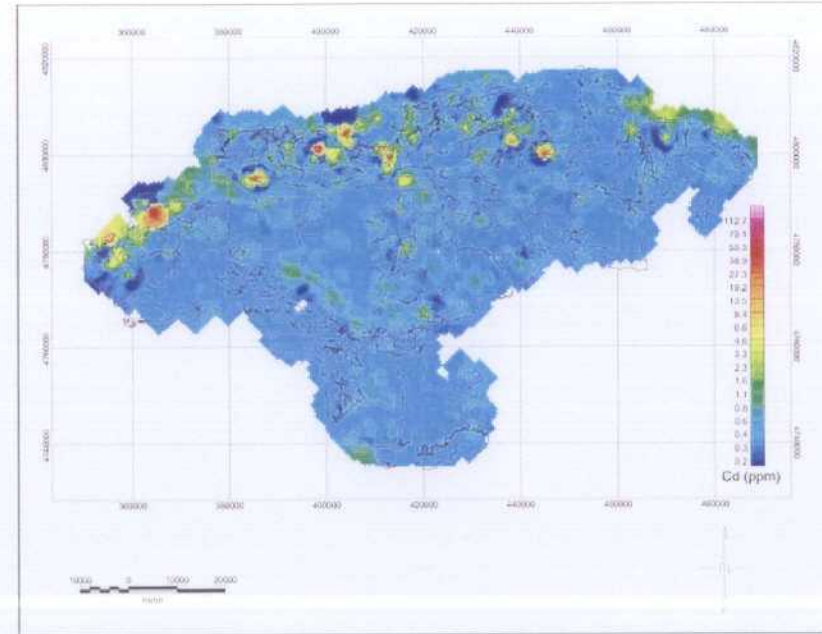
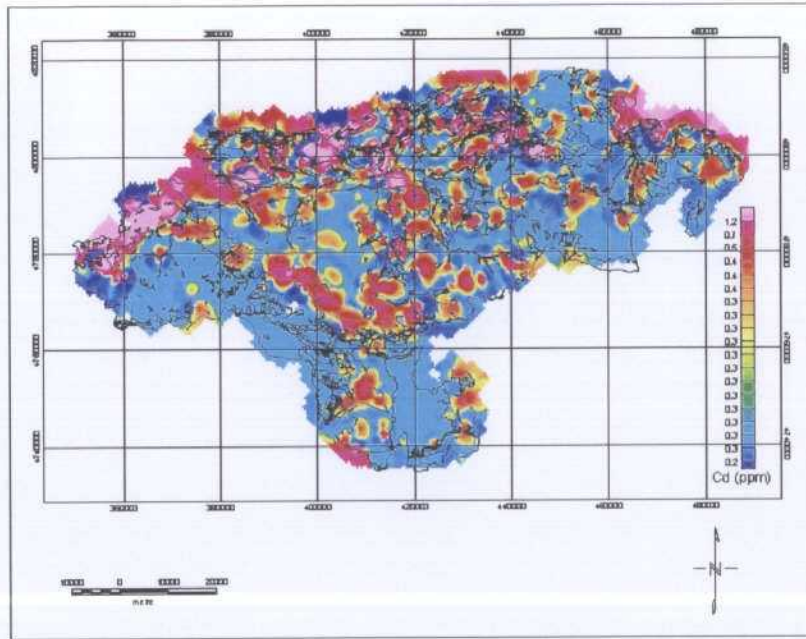
Figuras396 a 399. Mapas de distribución elemental de Al, Ca, K v Mg. Interpolación por Krigging.



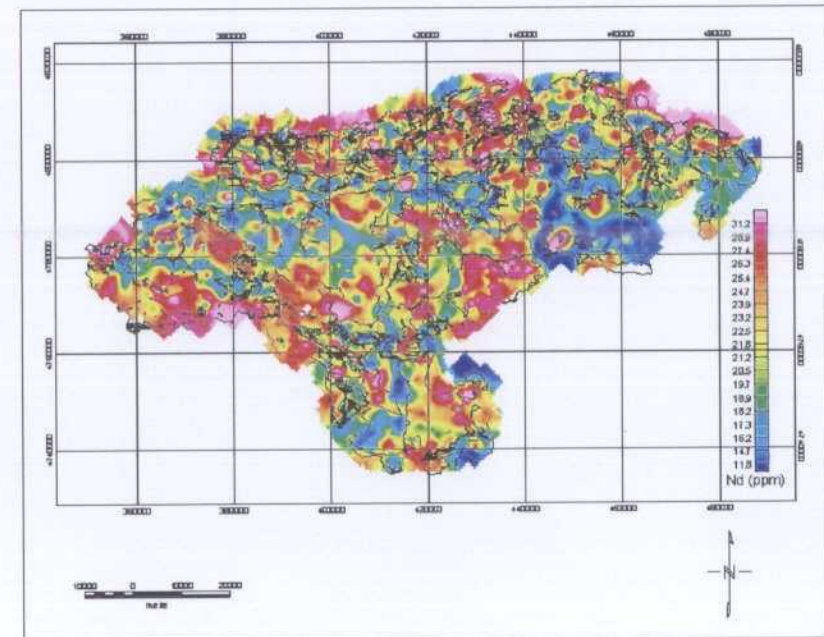
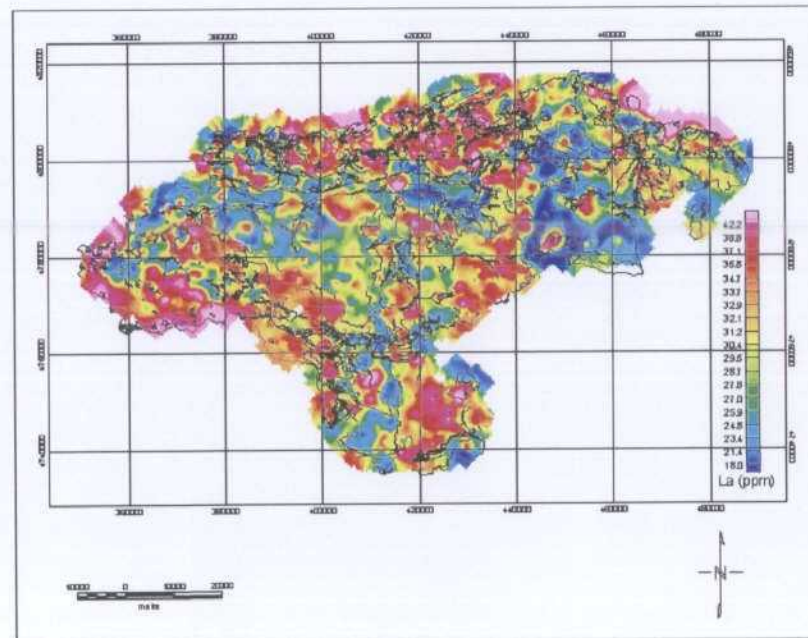
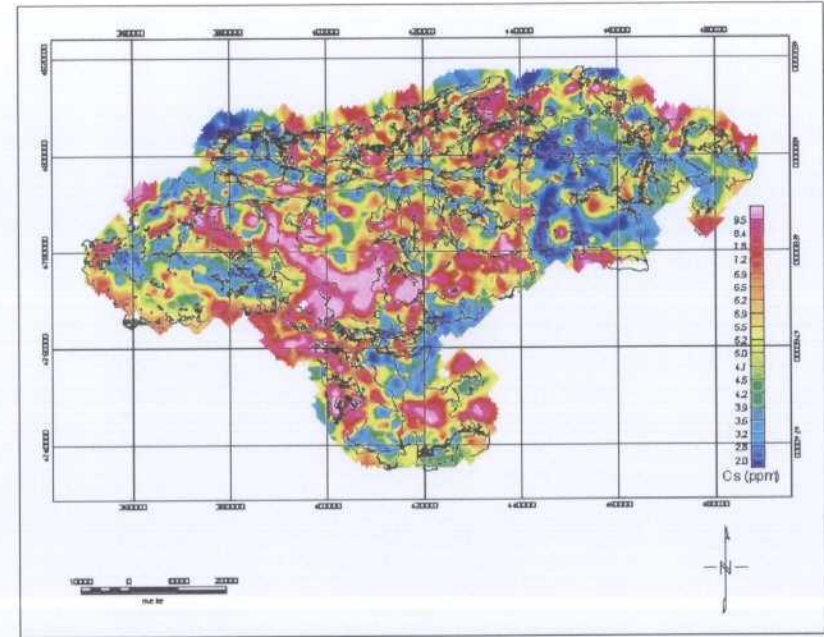
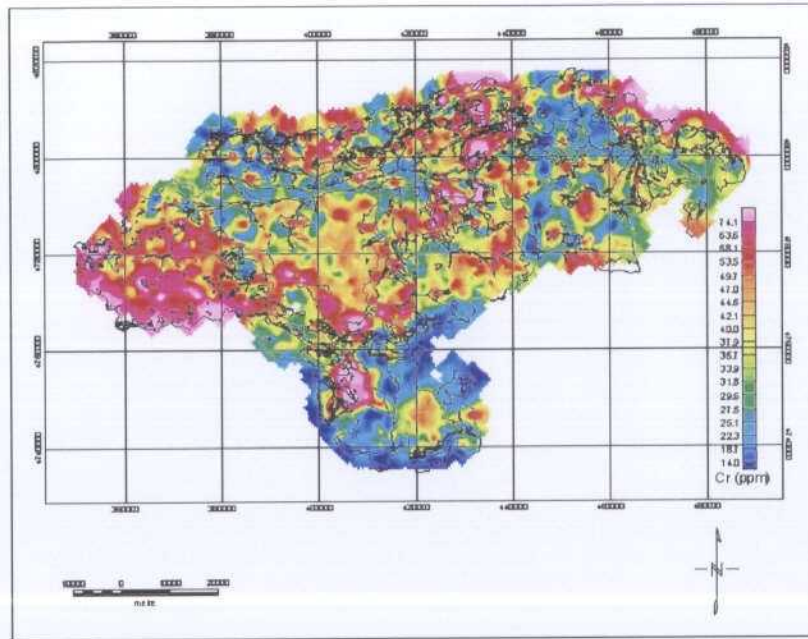
Figuras 400 a 403. Mapas de distribución elemental de Fe, Na, As y Au. Interpolación por Krigging.



Figuras 404 a 407. Mapas de distribución elemental de Ba, Be, Br y Ce. Interpolación por Krigging.

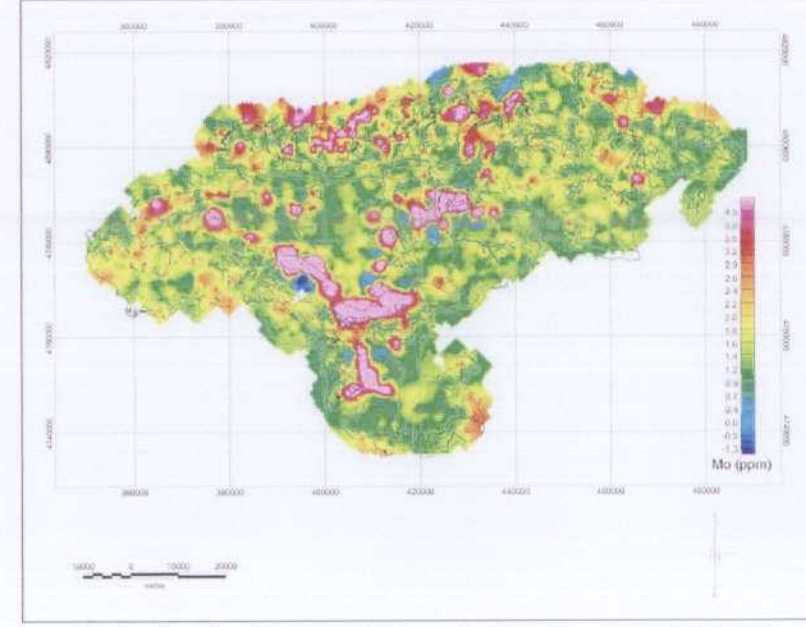
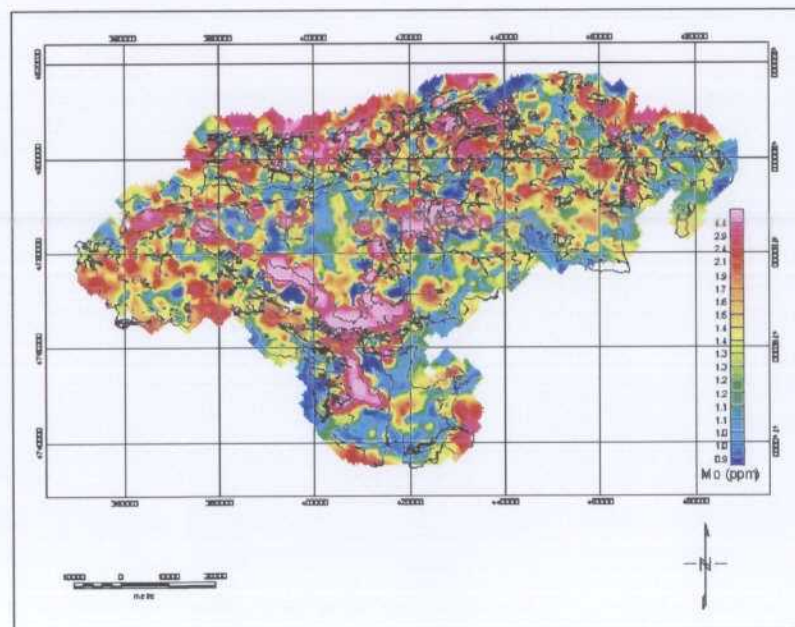
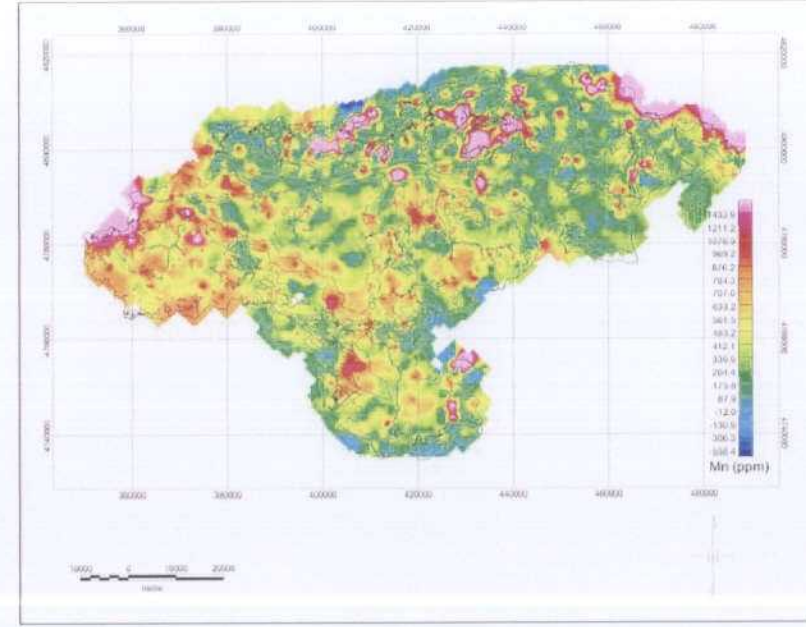
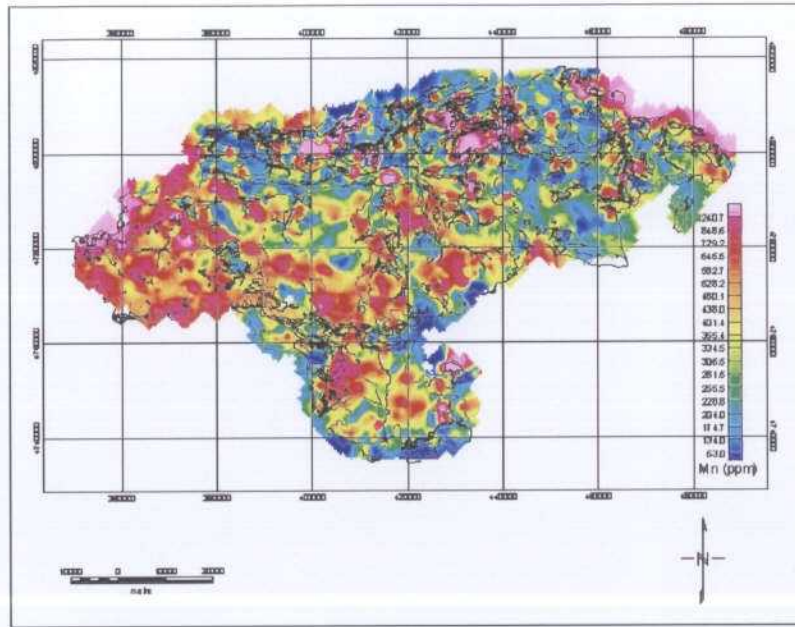


Figuras 408 a 411. Mapas de distribución elemental de Cd, Cd (con escala loglineal), Cu y Cu (escala loglineal). Interpolación por Krigging.

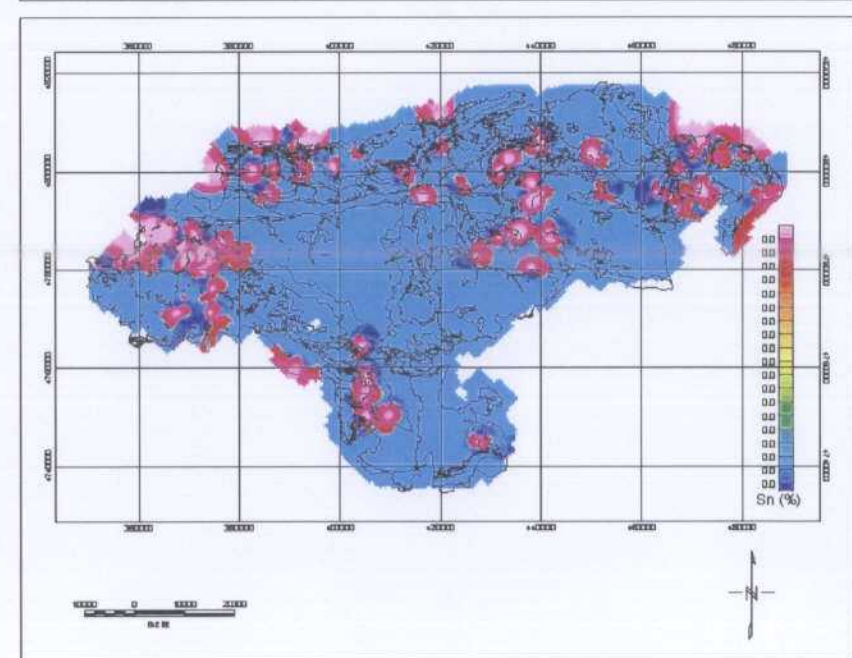
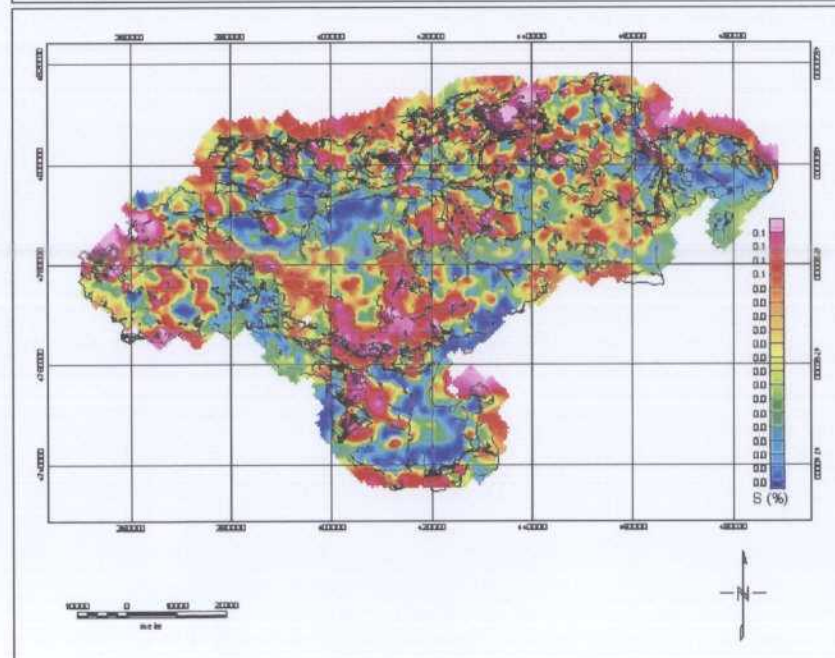
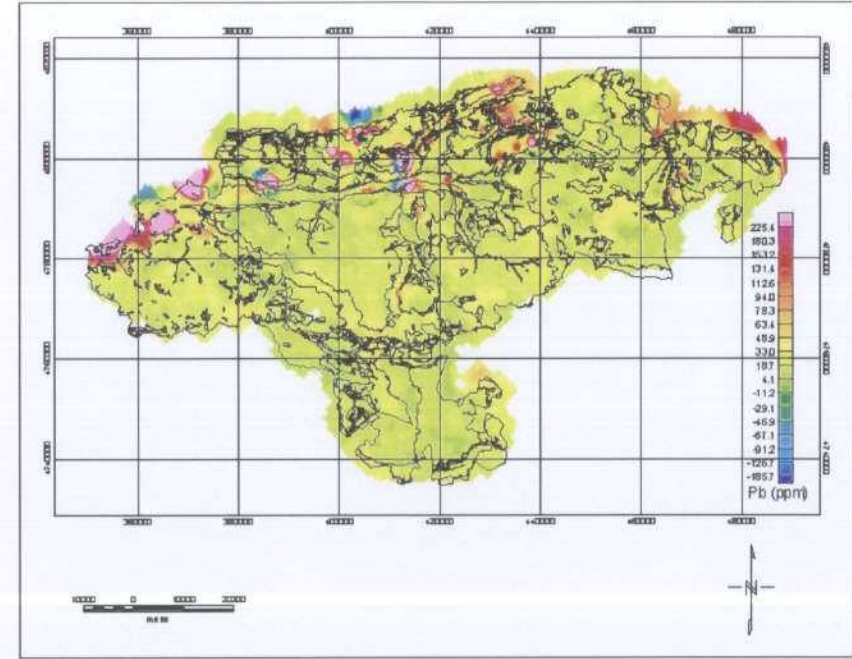
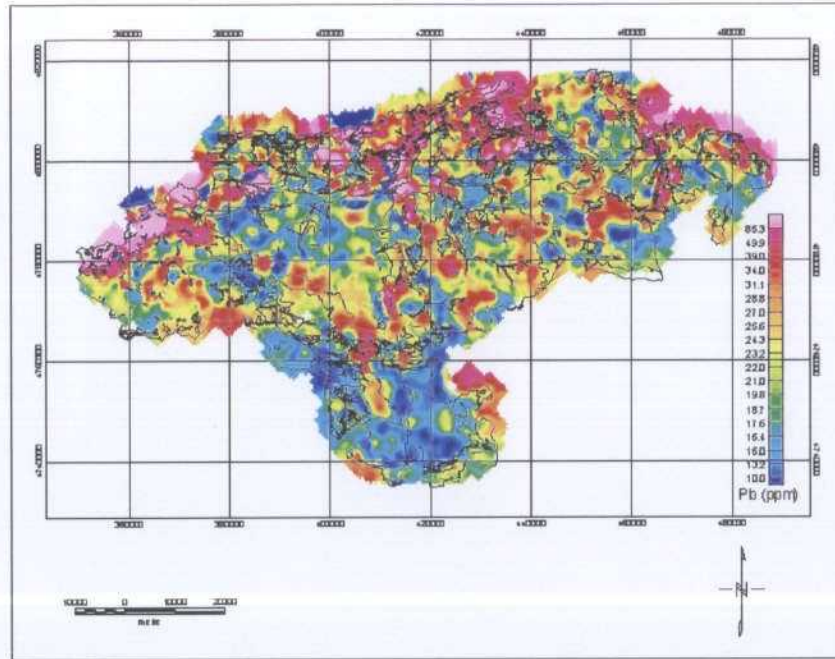


Figuras 412 a 415. Mapas de distribución elemental de Cr, Ce, La y Nd. Interpolación por Krigging.

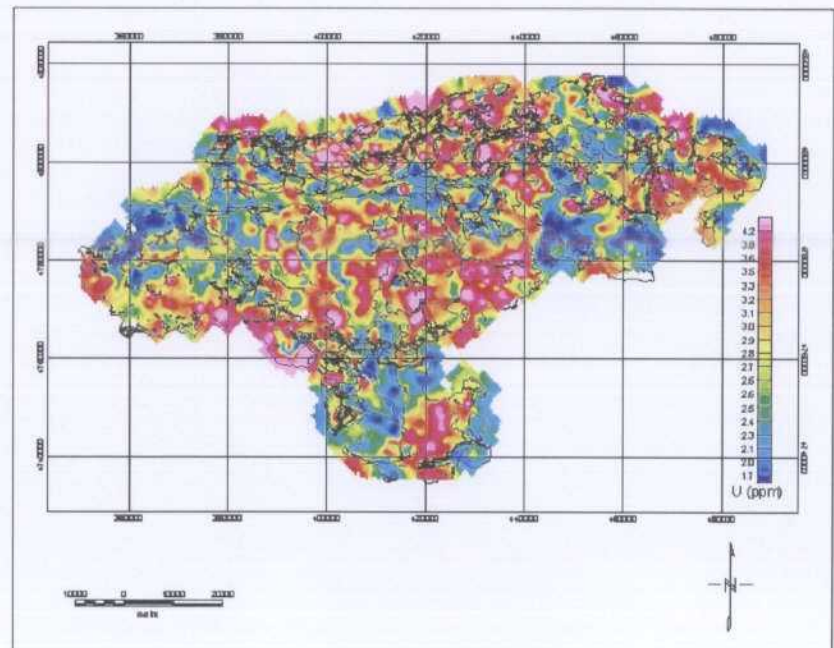
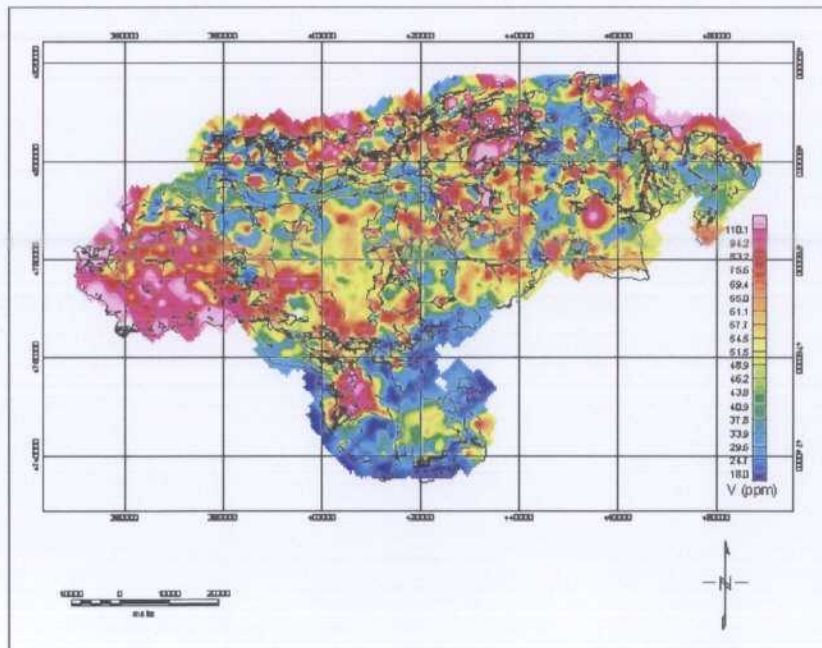
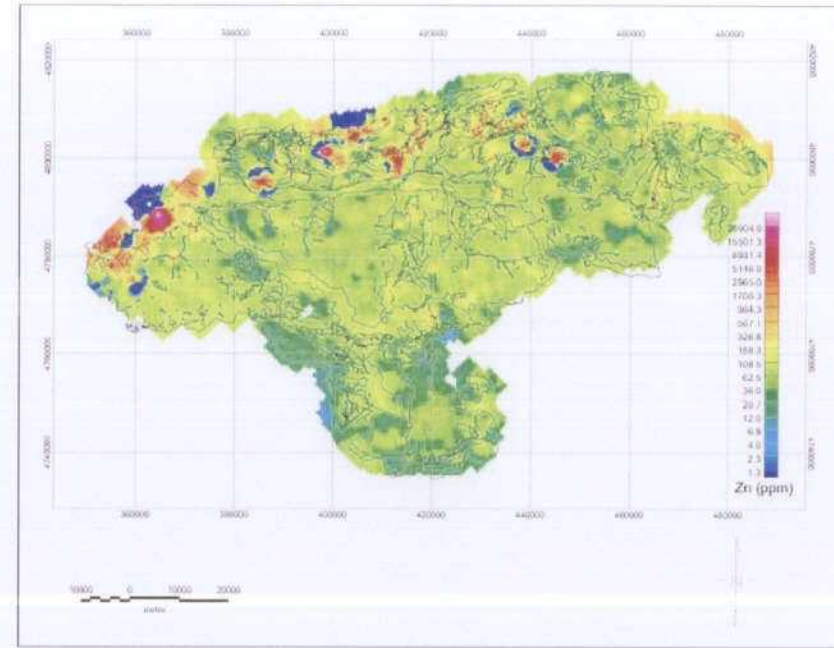
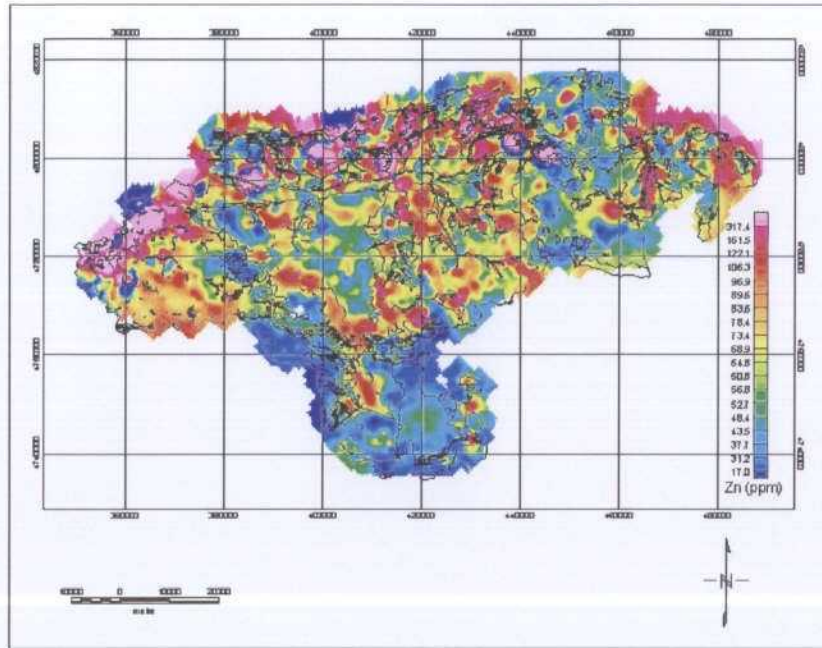




Figuras 416 a 419. Mapas de distribución elemental de Mn, Mn (aplicando escala normal), Mo, Mo (aplicando escala normal). Interpolación por Krigging.



Figuras 420 a 423. Mapas de distribución elemental de Pb, Pb (escala loglineal), S y Sn. Interpolación por Krigging.



Figuras 424 a 427. Mapas de distribución elemental de Zn, Zn (escala loglineal), V y U. Interpolación por Krigging.

### Diagramas de correlación binaria

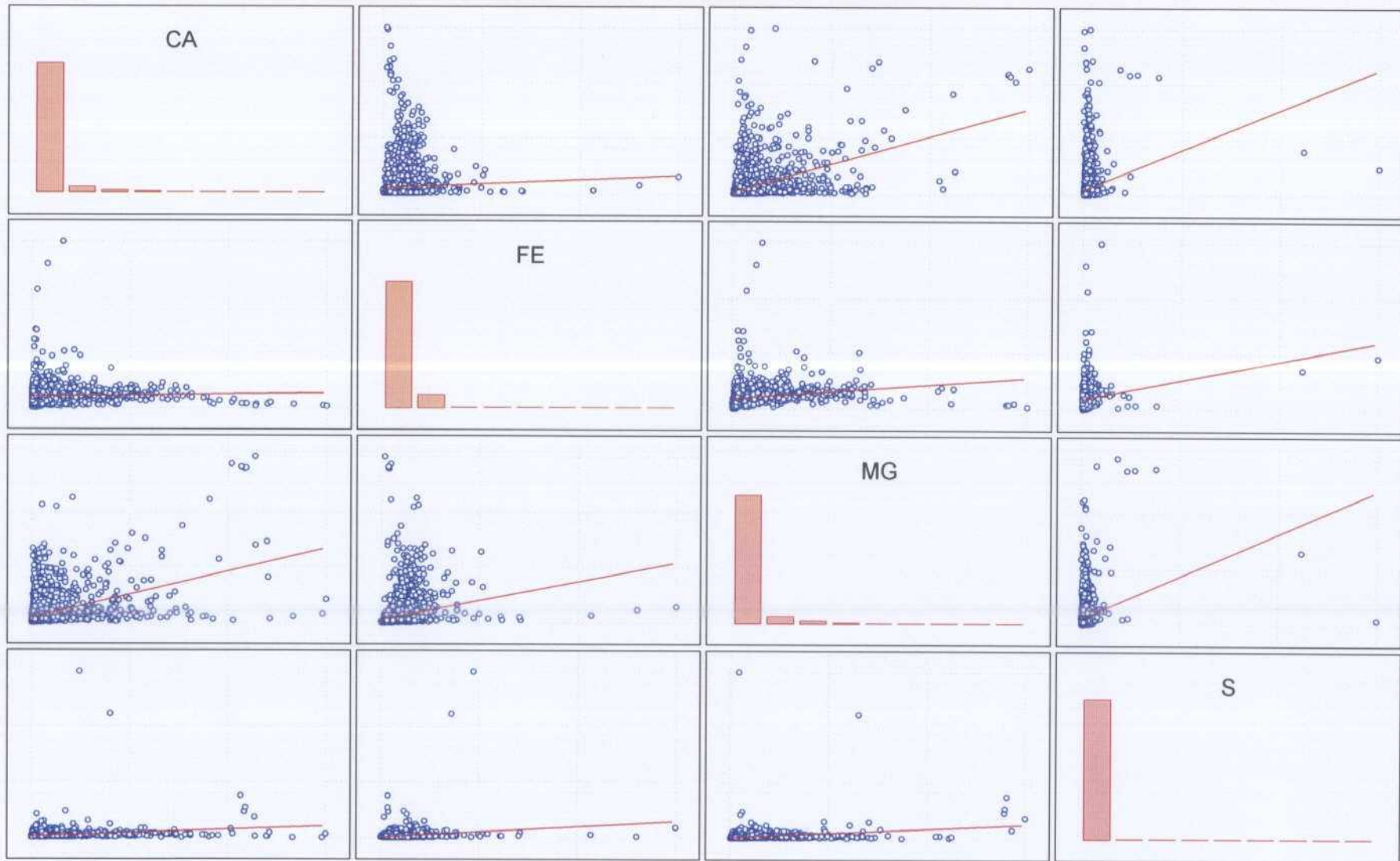


Figura 428. Diagramas de correlación binaria entre varios elementos en la población total

### Diagramas de correlación binaria (2)

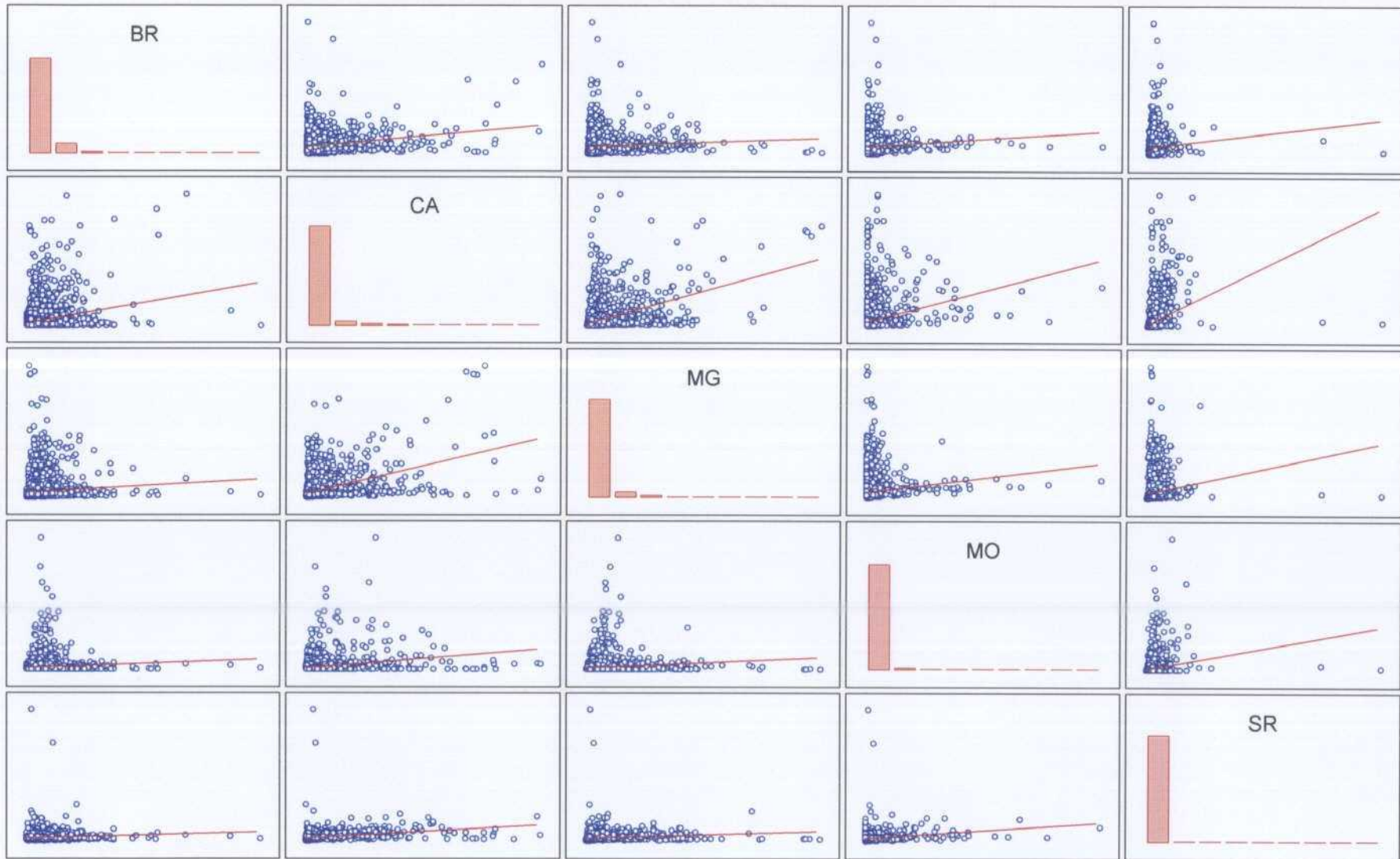


Figura 429. Diagramas de correlación binaria entre varios elementos en la población total

### Diagramas de correlación binaria (4)

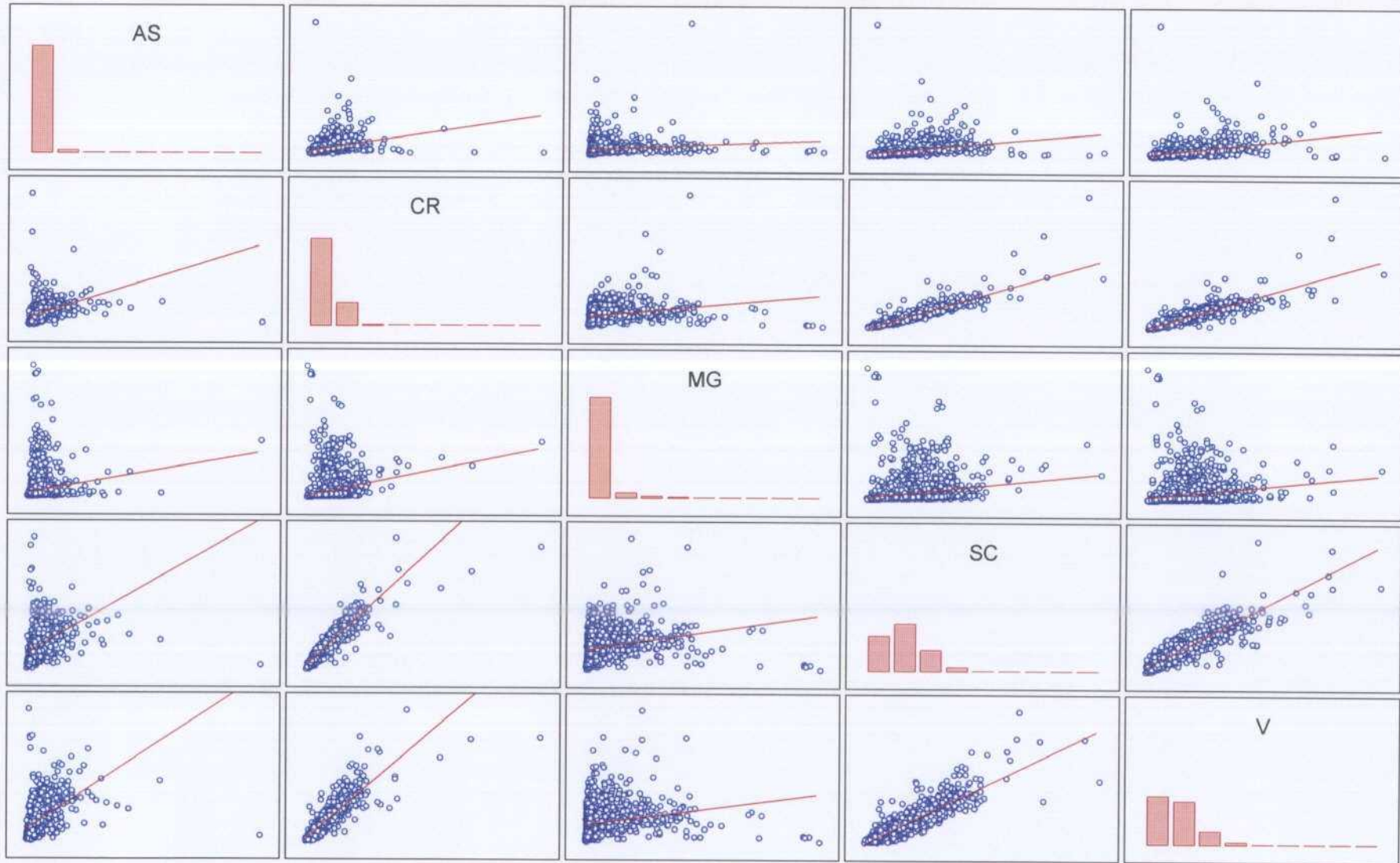


Figura 430. Diagramas de correlación binaria entre varios elementos en la población total

### Diagramas de correlación binaria (5)

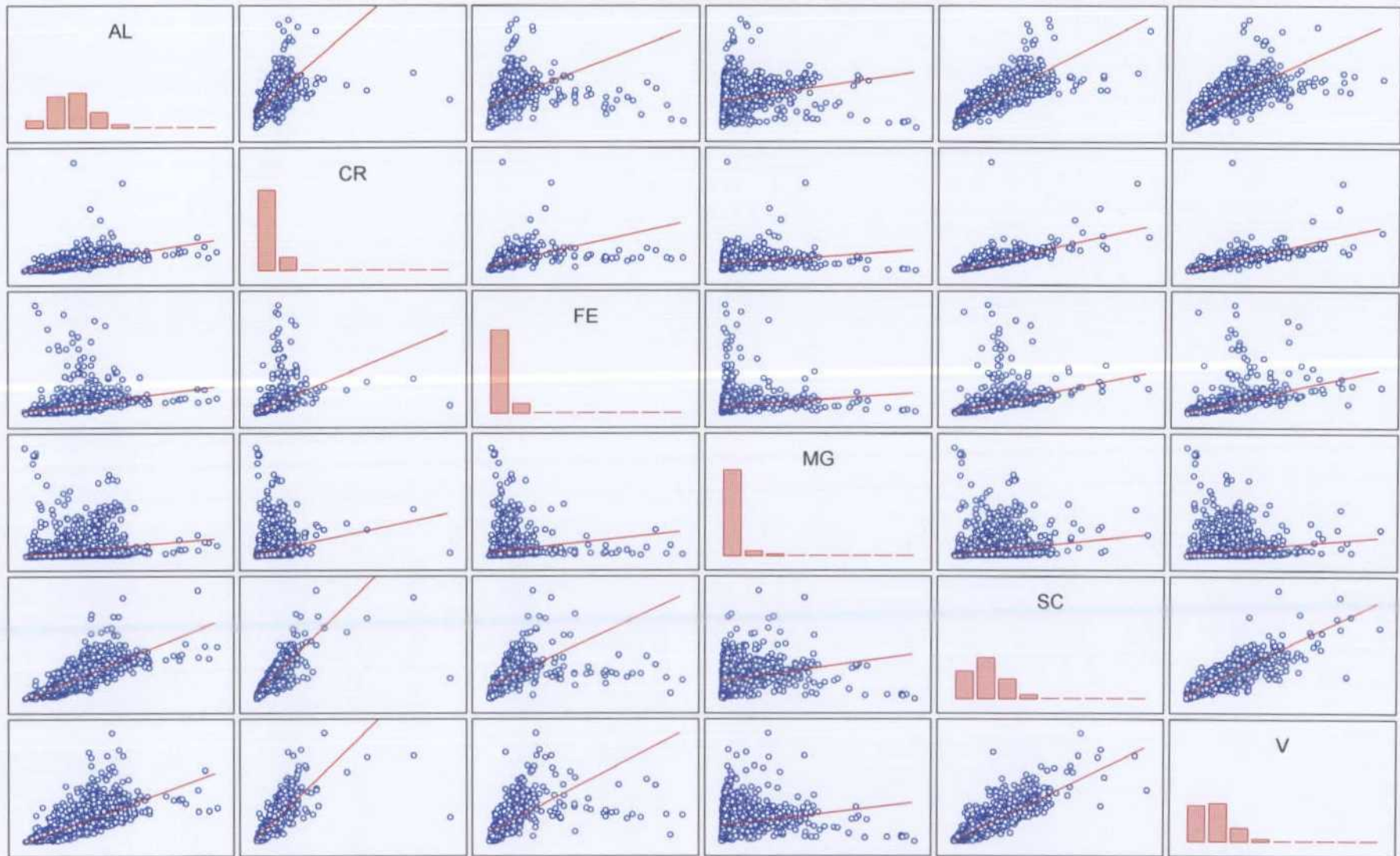


Figura 431. Diagramas de correlación binaria entre varios elementos en la población total

### Diagramas de correlación binaria (6)

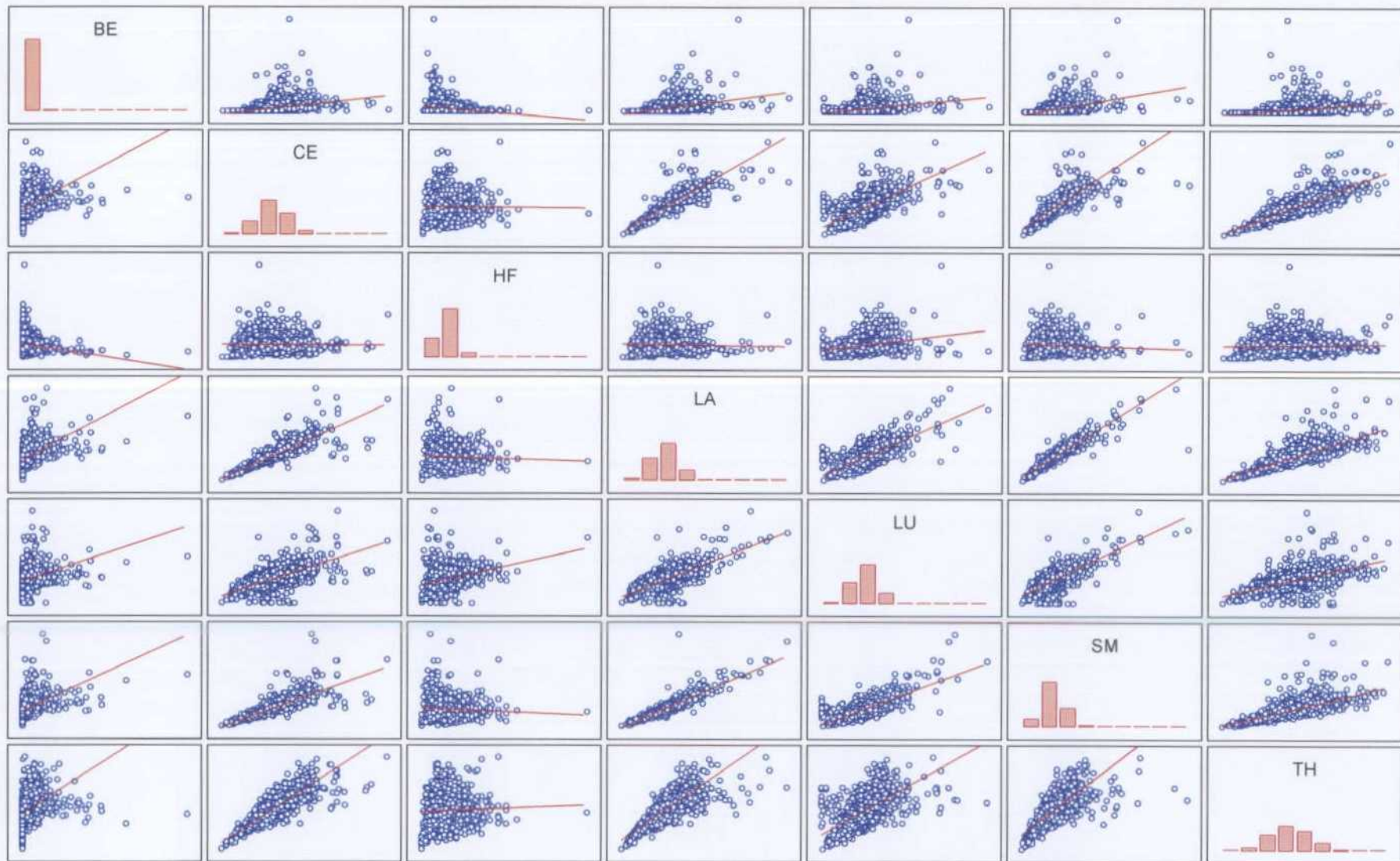


Figura 432. Diagramas de correlación binaria entre varios elementos en la población total



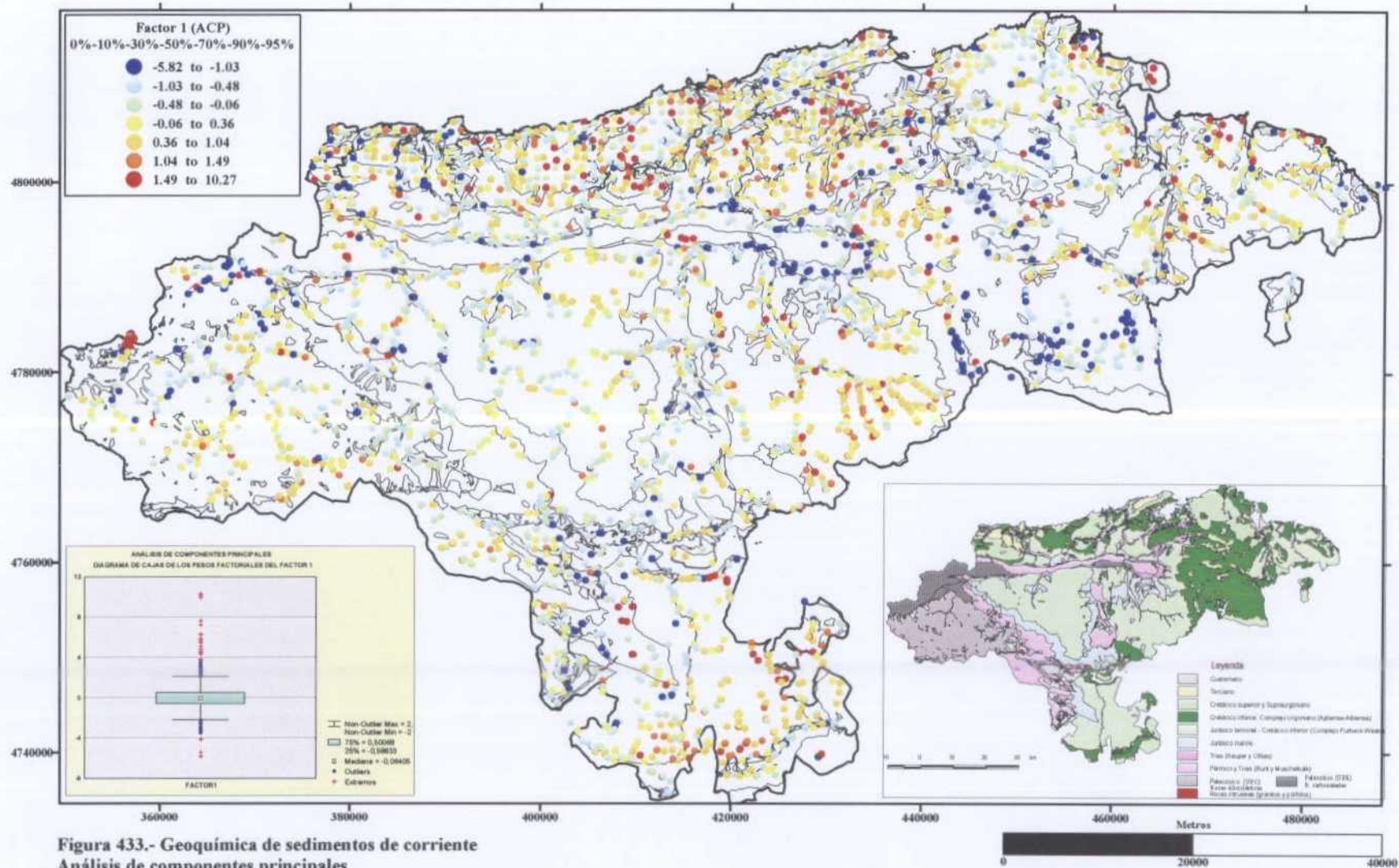
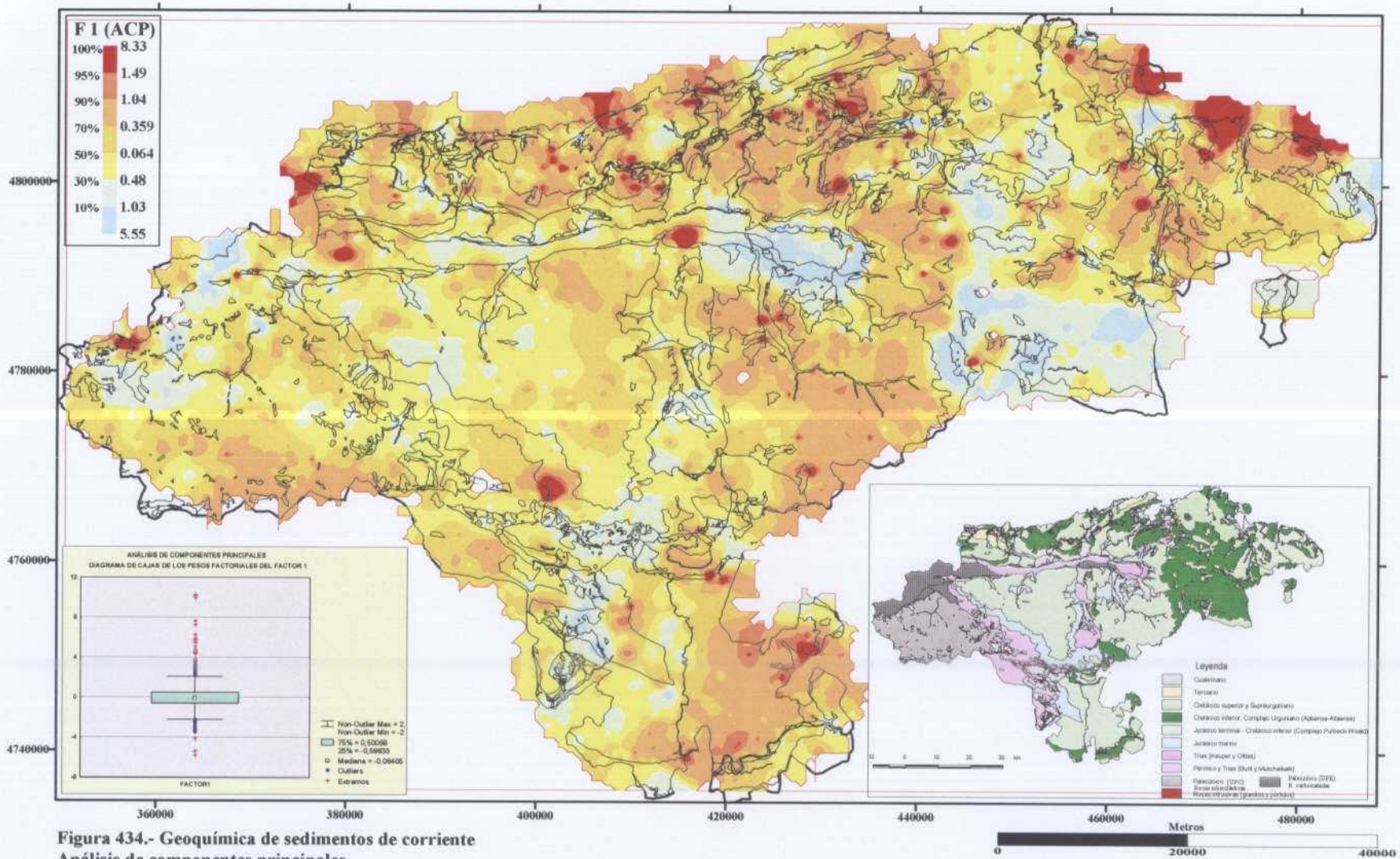


Figura 433.- Geoquímica de sedimentos de corriente  
Análisis de componentes principales  
Mapa de puntos de distribución del factor 1  
F 1 : Yb-Sm-La-Lu-Eu-Nd-Ce-Th-Tb-Y-U (As-Be-Rb-Cs-Sc-Al)



**Figura 434.-** Geoquímica de sedimentos de corriente  
**Análisis de componentes principales**  
**Mapa de contornos. Distribución del factor 1**  
**F 1 : Yb-Sm-La-Lu-Eu-Nd-Ce-Th-Tb-Y-U (As-Be-Rb-Cs-Sc-Al)**

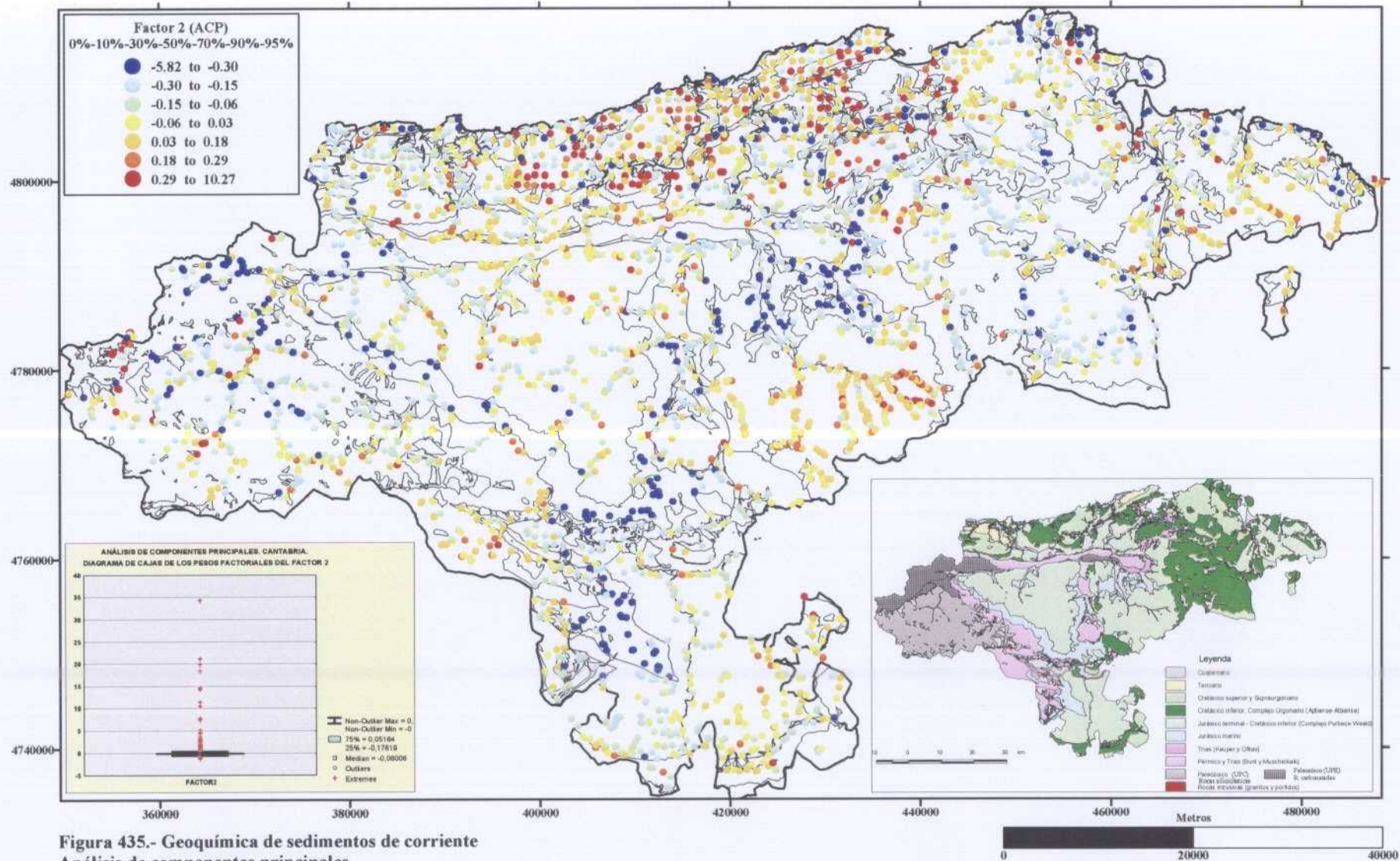


Figura 435.- Geoquímica de sedimentos de corriente  
Análisis de componentes principales  
Mapa de puntos de distribución del factor 2  
F 2 : Zn-Cd-Pb- (Sb-Fe-As-Mn)

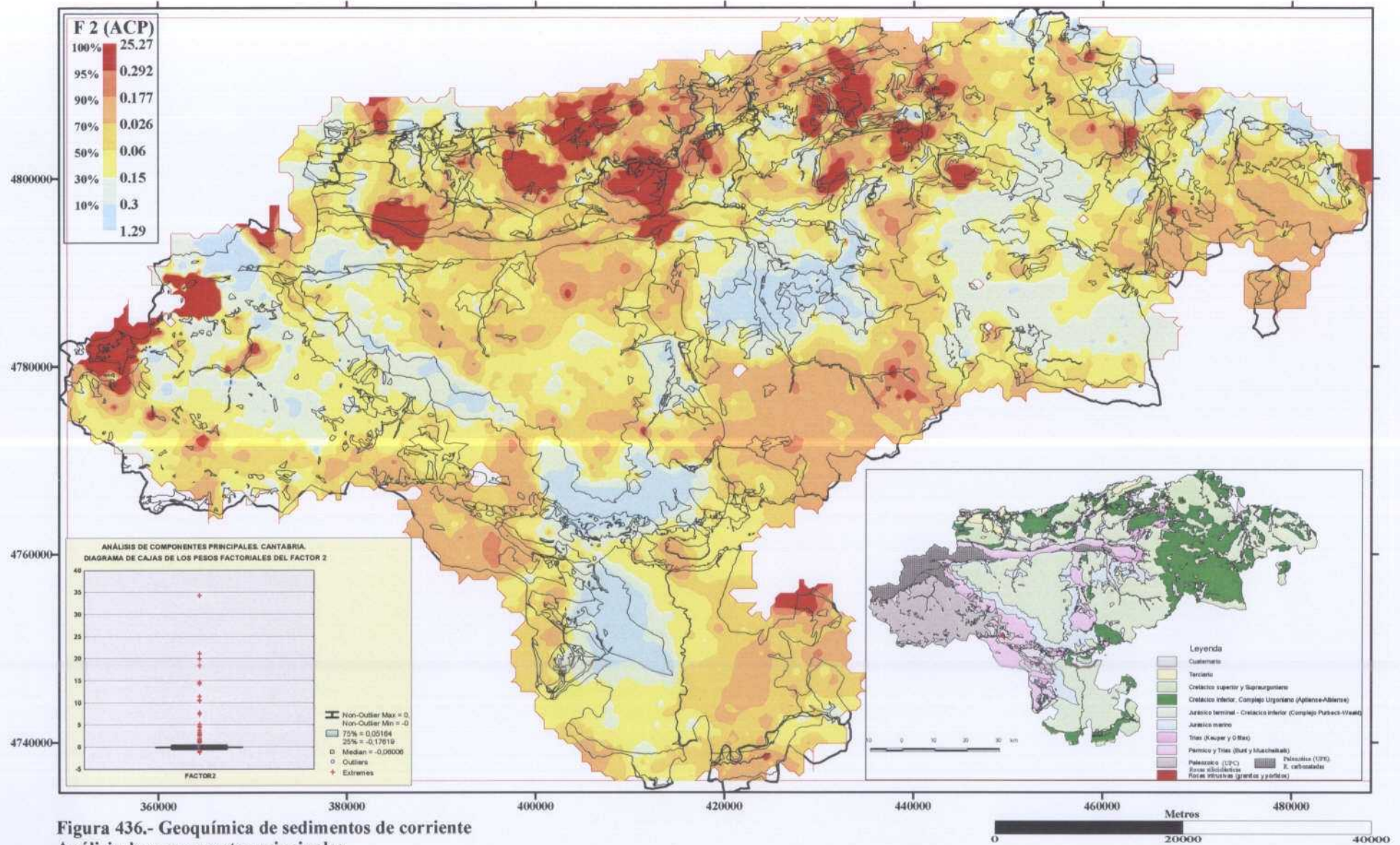


Figura 436.- Geoquímica de sedimentos de corriente  
 Análisis de componentes principales  
 Mapa de contornos. Distribución del factor 2  
 F 2 : Zn-Cd-Pb- (Sb-Fe-As-Mn)

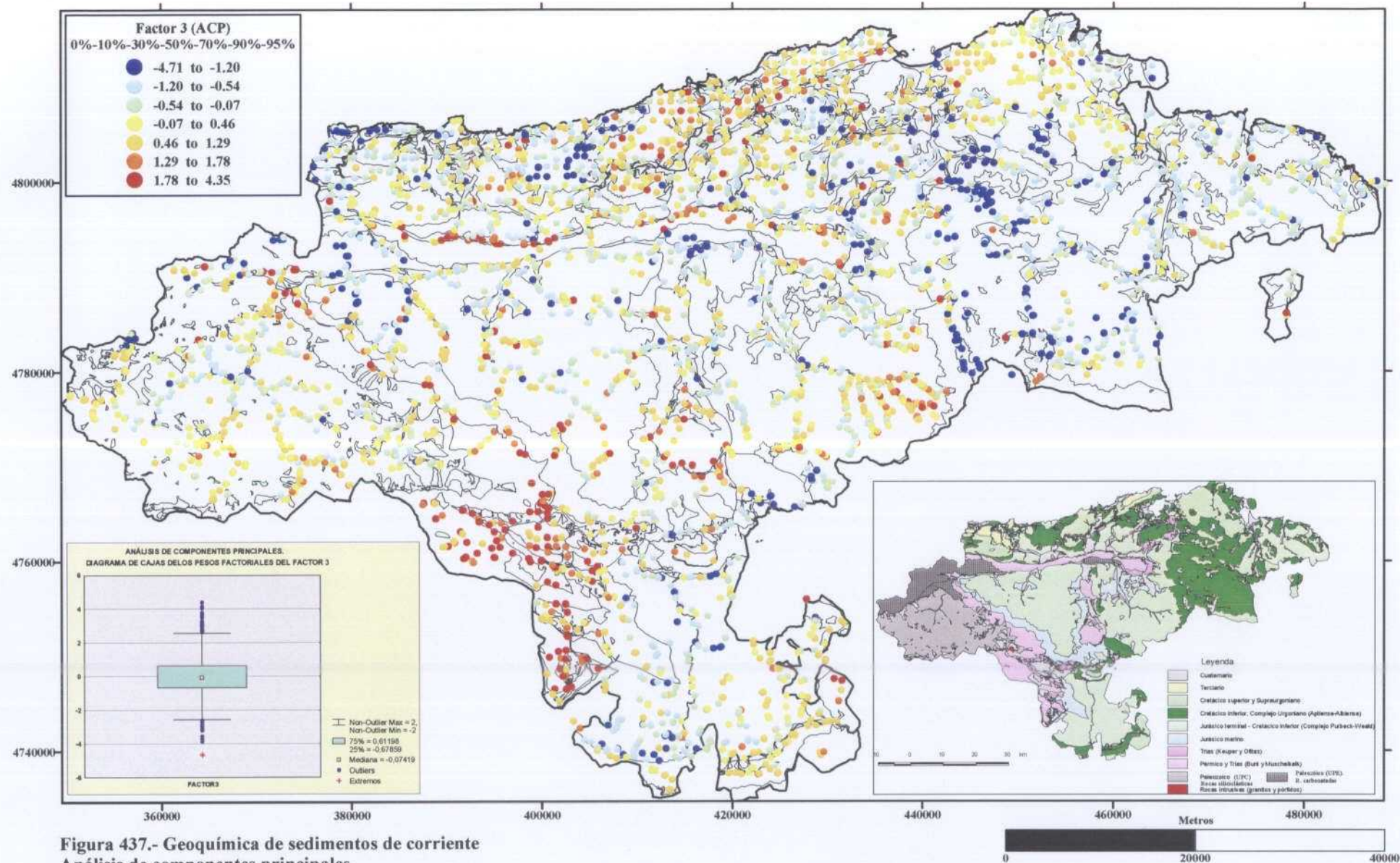


Figura 437.- Geoquímica de sedimentos de corriente  
Análisis de componentes principales  
Mapa de puntos de distribución del factor 3  
F 3 : K-Rb-Cs-Al-(Th-Ce-Sc-La-Na-Nd-Sm-Ta-Ti)

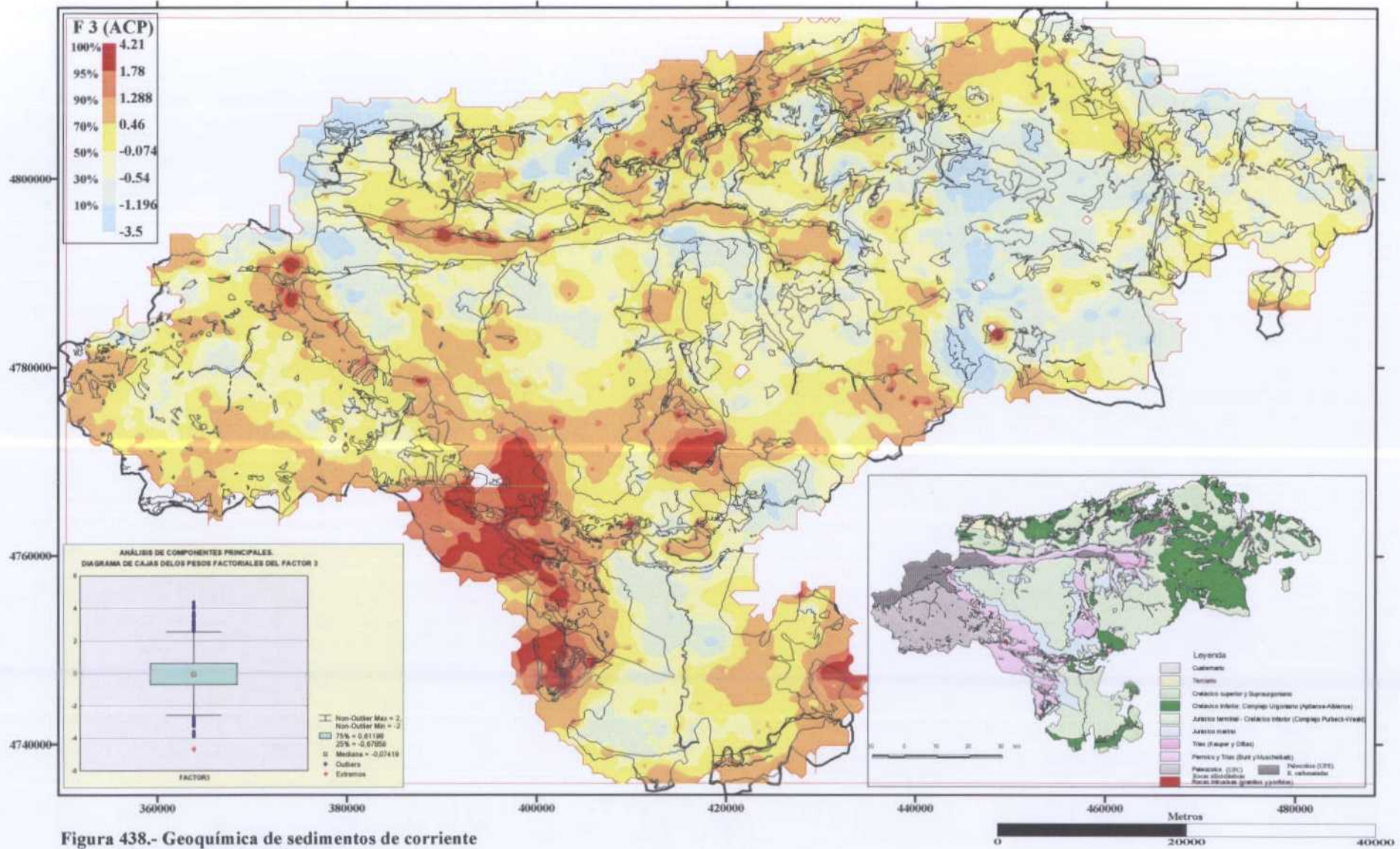


Figura 438.- Geoquímica de sedimentos de corriente  
Análisis de componentes principales  
Mapa de contornos. Distribución del factor 3  
F 3 : K-Rb-Cs-Al-(Th-Ce-Sc-La-Na-Nd-Sm-Ta-Ti)

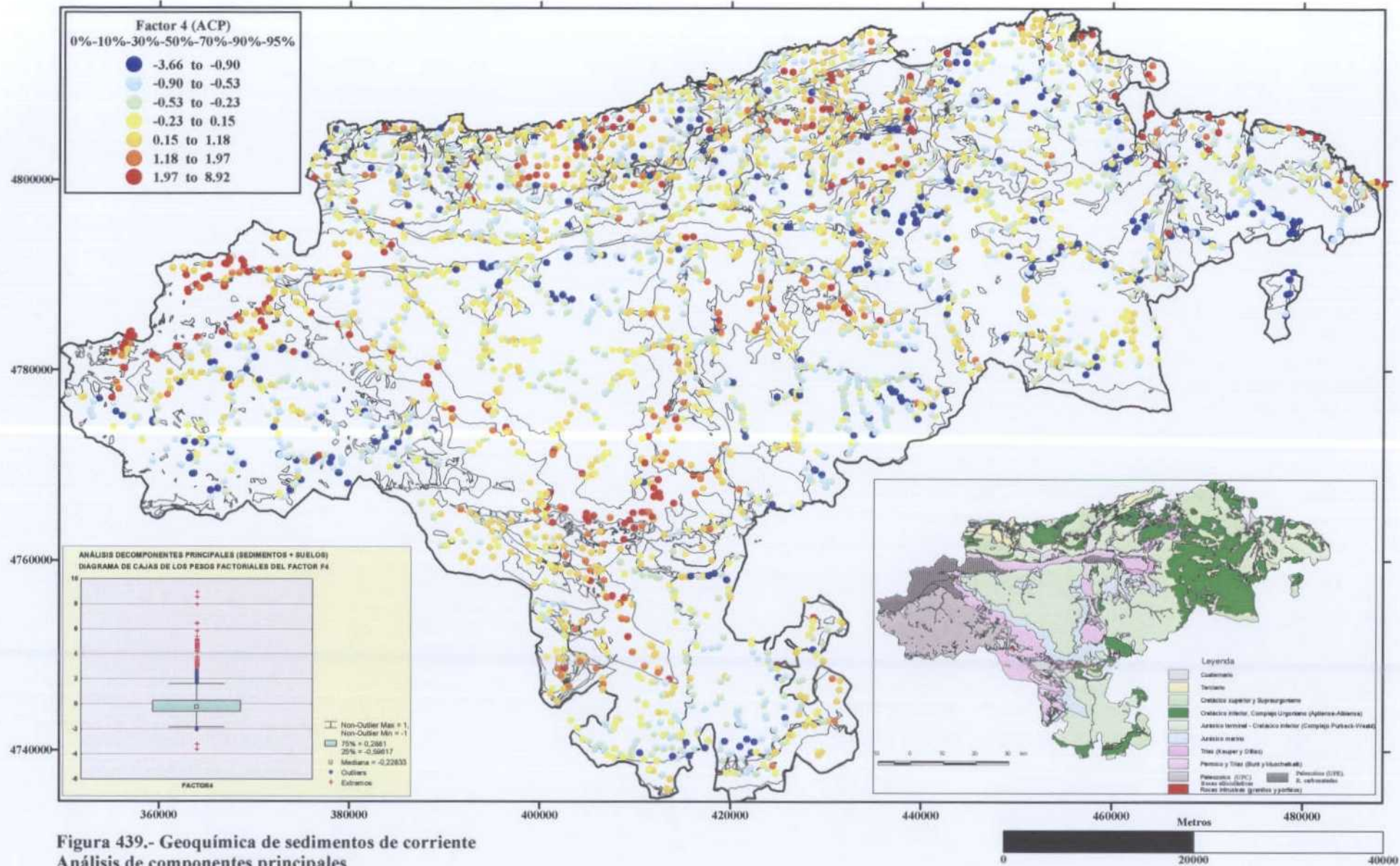


Figura 439.- Geoquímica de sedimentos de corriente  
 Análisis de componentes principales  
 Mapa de puntos de distribución del factor 4  
 F 4 : Ca-Mg-P-(Y-Mo-As-Br-Mn-S-Ni)

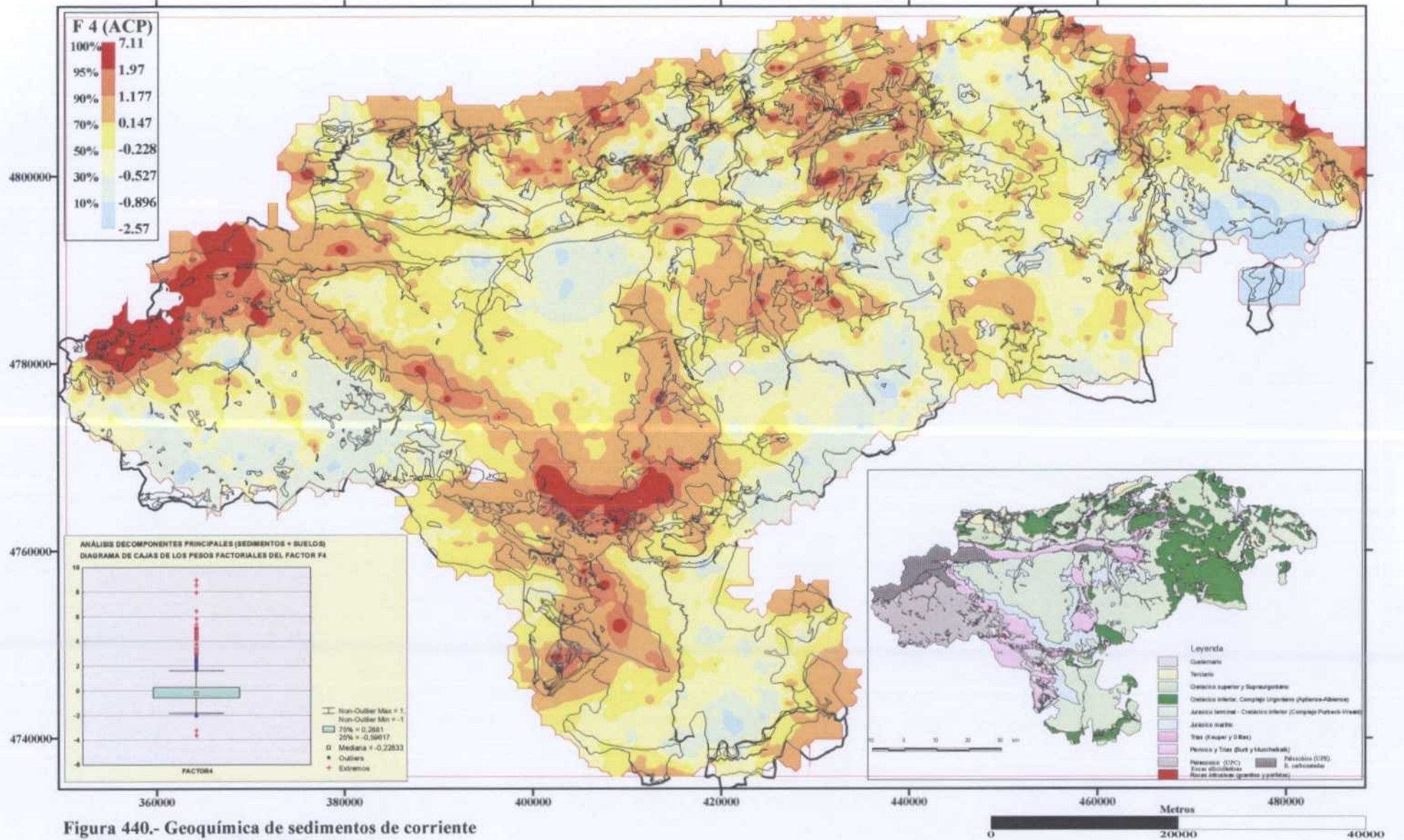


Figura 440.- Geoquímica de sedimentos de corriente  
 Análisis de componentes principales  
 Mapa de contornos. Distribución del factor 4  
 F 4: Ca-Mg-P-(Y-Mo-As-Br-Mn-S-Ni)



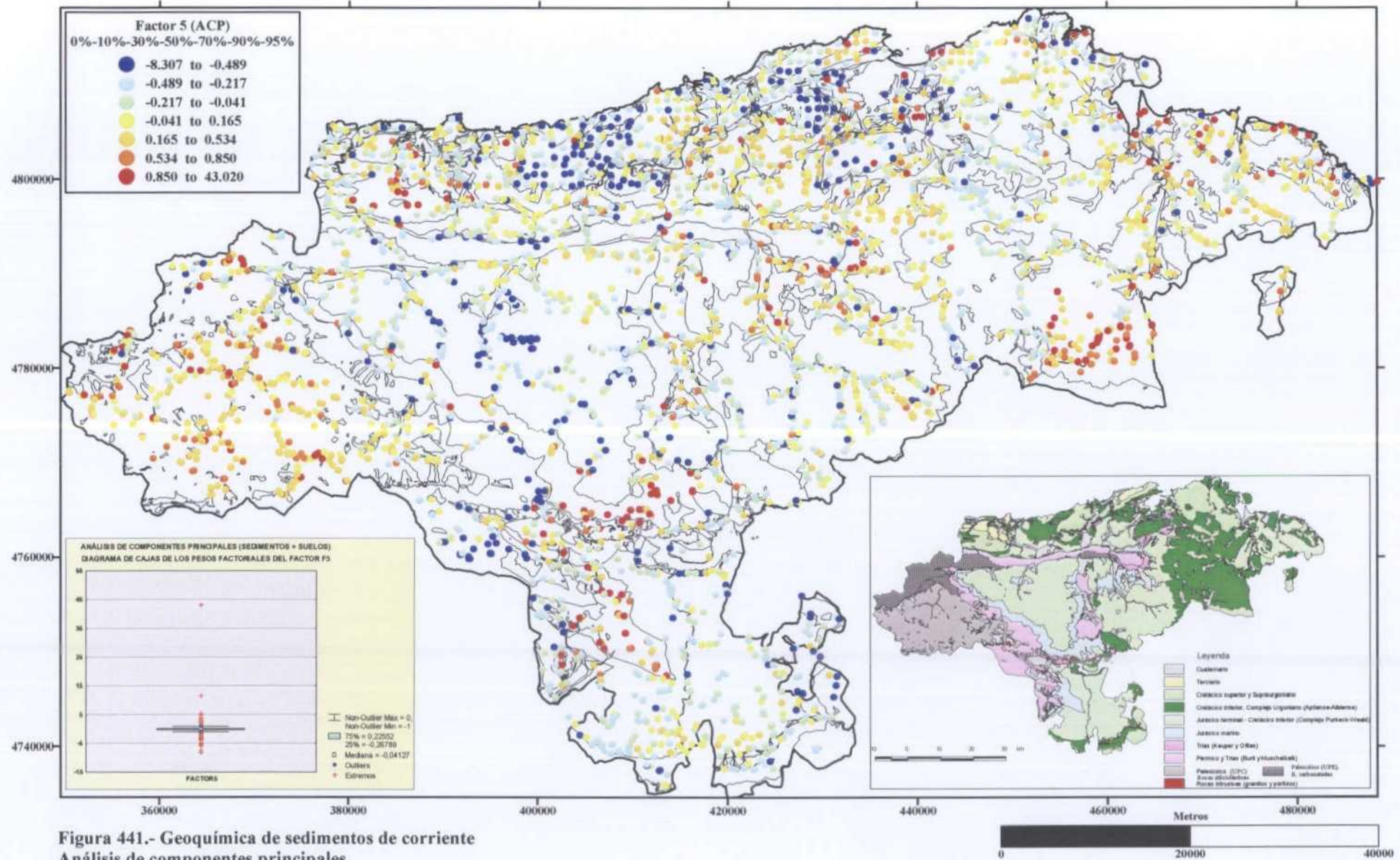
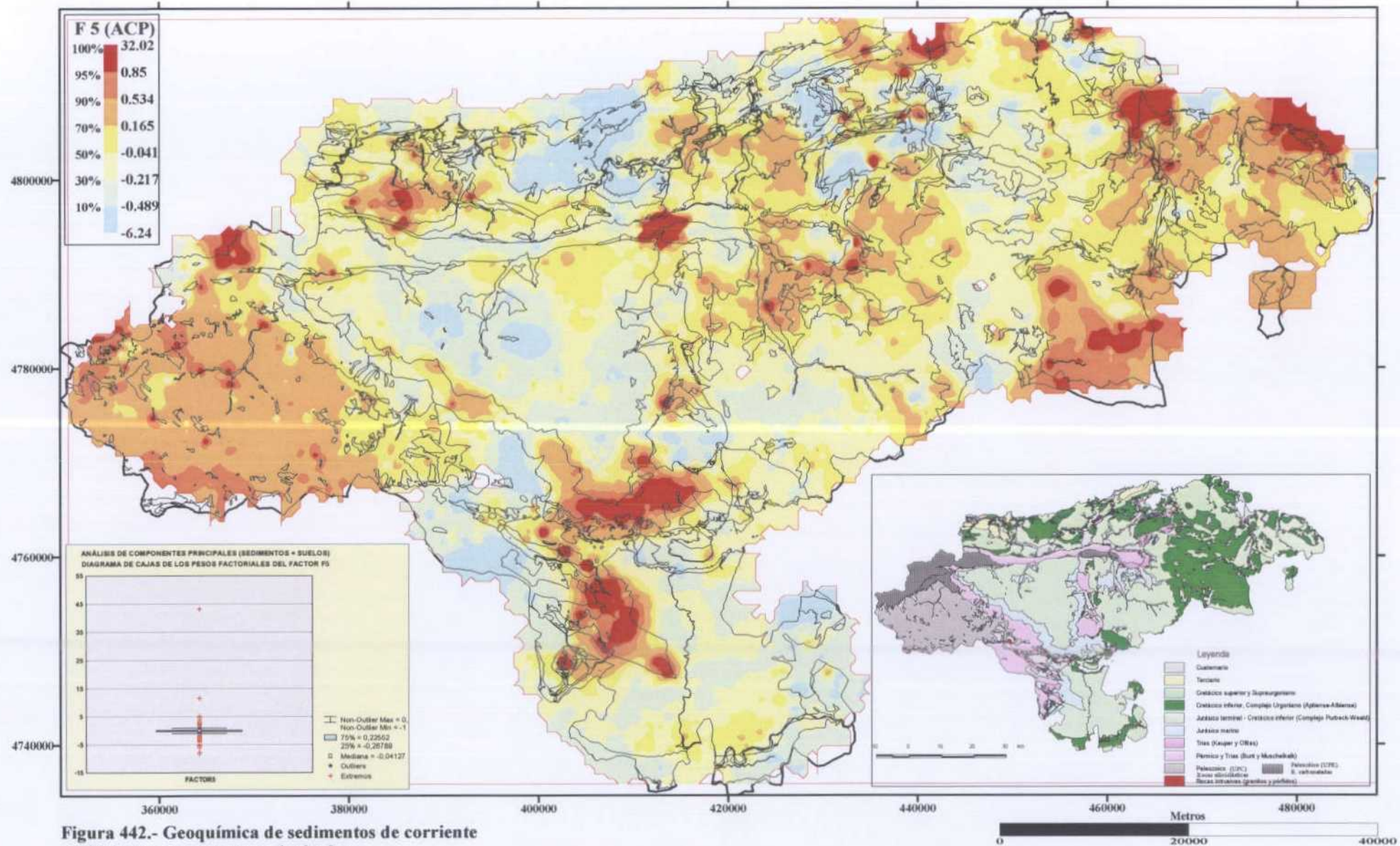
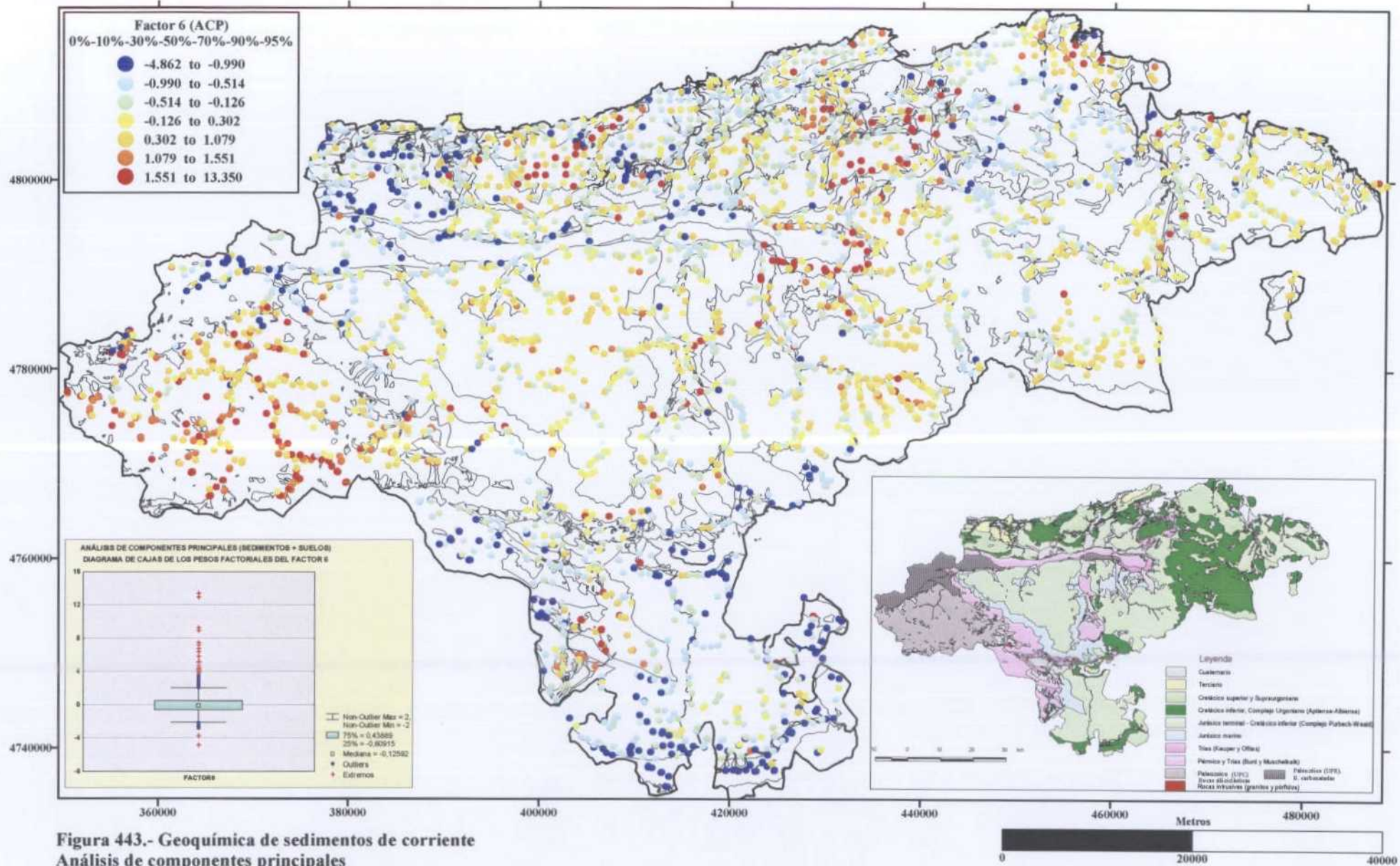


Figura 441.- Geoquímica de sedimentos de corriente  
 Análisis de componentes principales  
 Mapa de puntos de distribución del factor 5  
 F 5 : Sr-Ba-(Ca-Pb)



**Figura 442.- Geoquímica de sedimentos de corriente**  
**Análisis de componentes principales**  
**Mapa de contornos. Distribución del factor 5**  
**F 5 : Sr-Ba-(Ca-Pb)**



**Figura 443.- Geoquímica de sedimentos de corriente**  
**Análisis de componentes principales**  
**Mapa de puntos de distribución del factor 6**  
**F 6 : V-Sc-Cr-Ni-Co-Ti-Fe-Al-(Mn-Na-Be-Eu-P-As)**

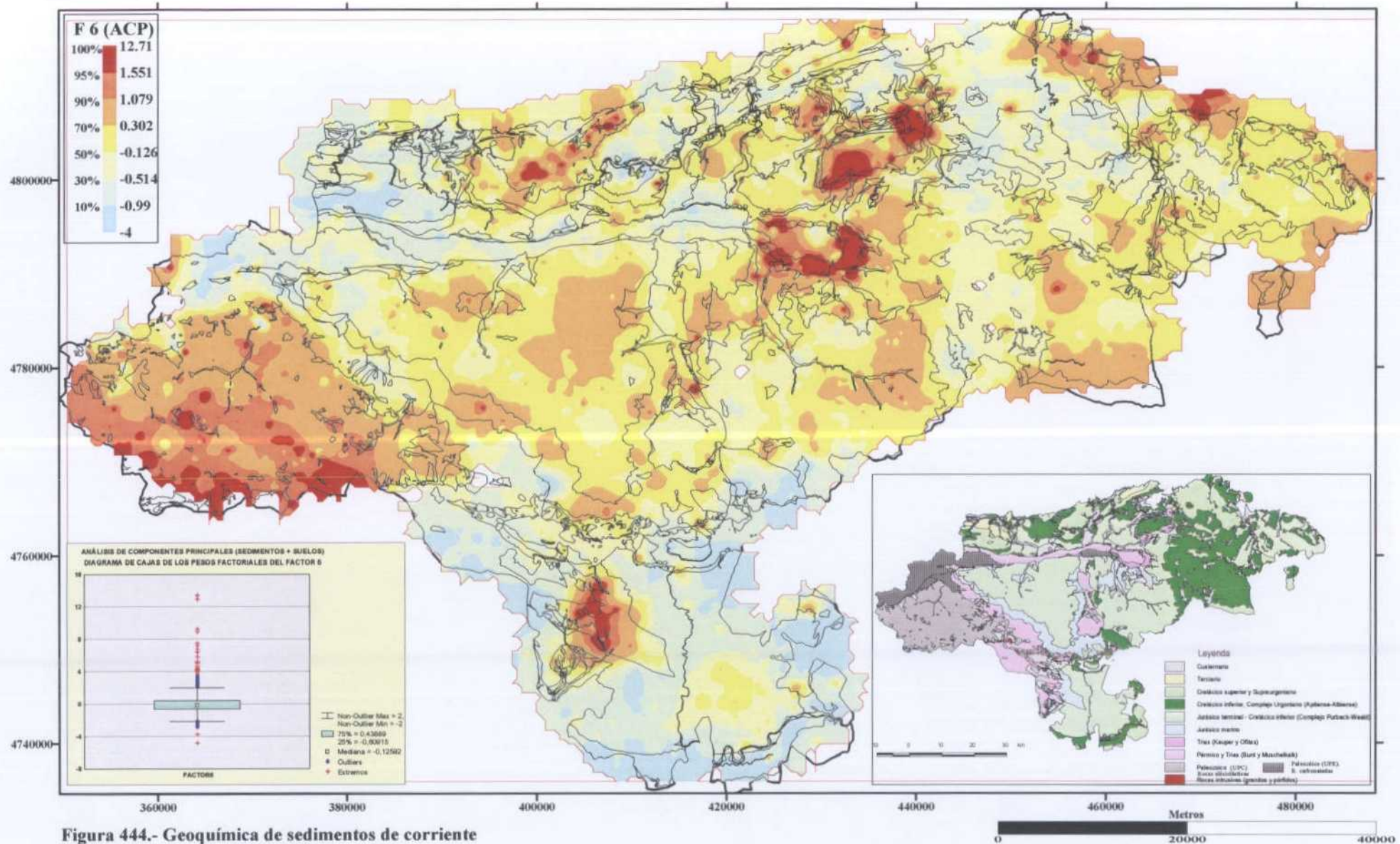
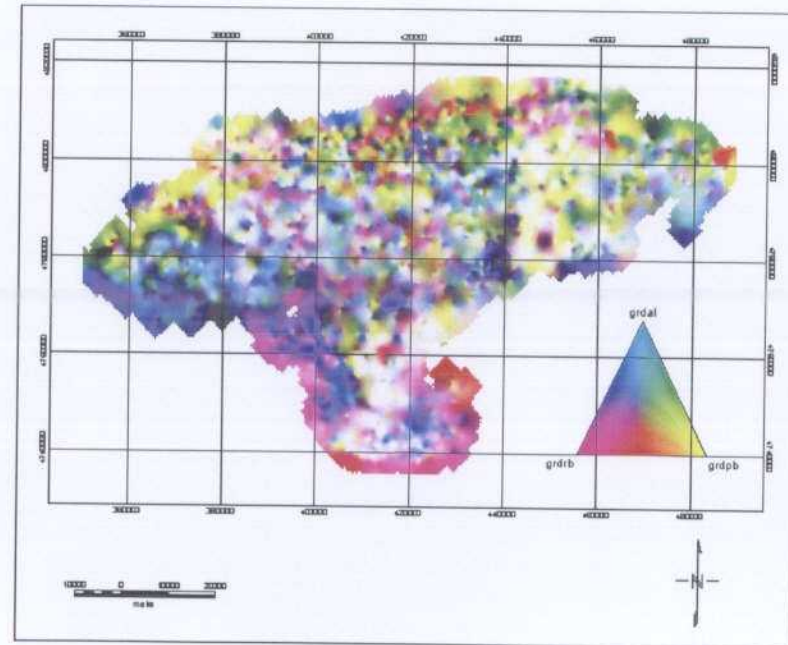
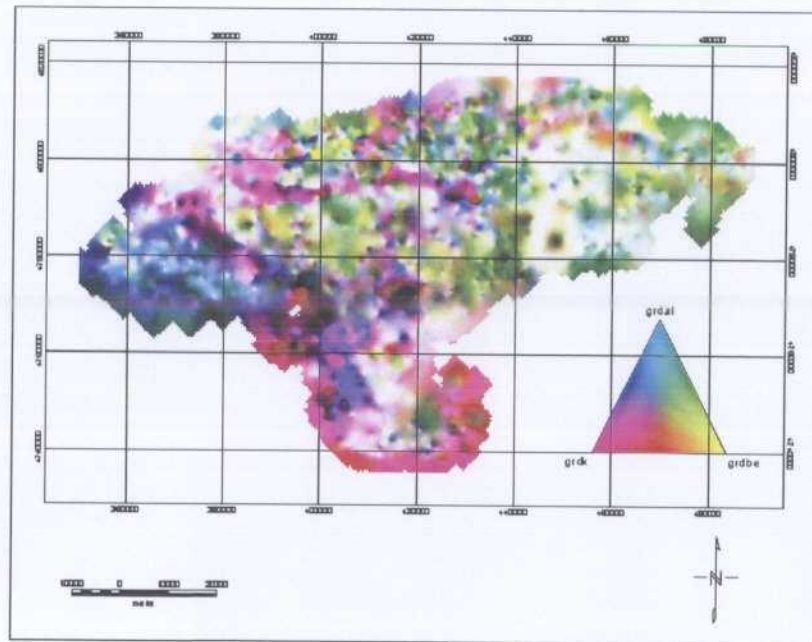
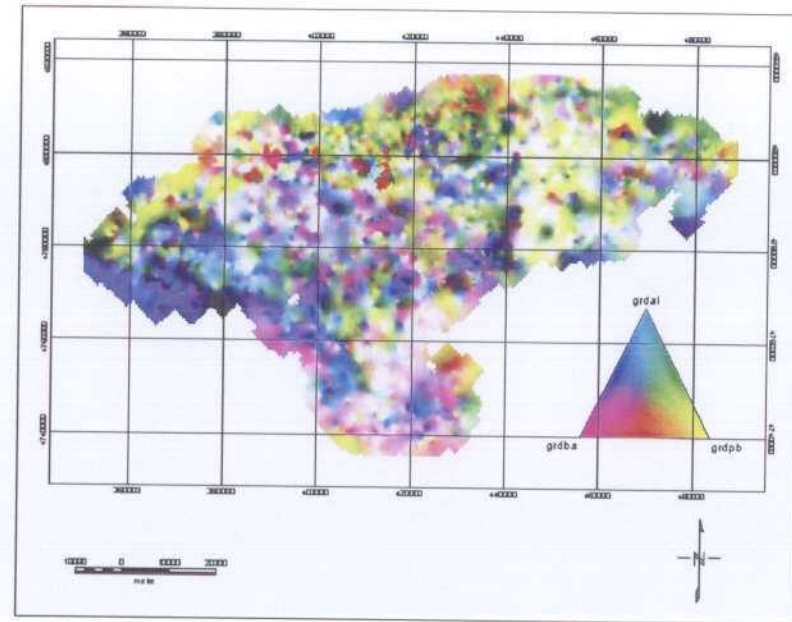
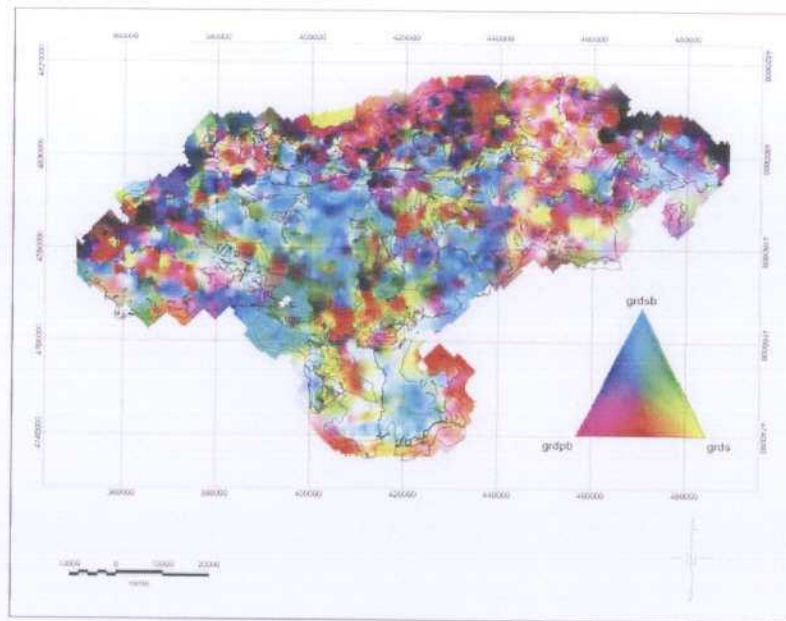
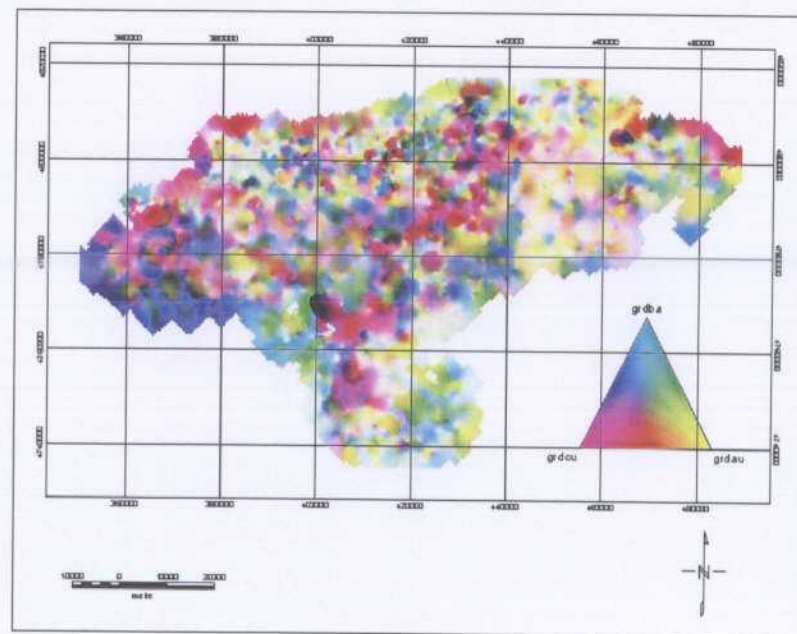
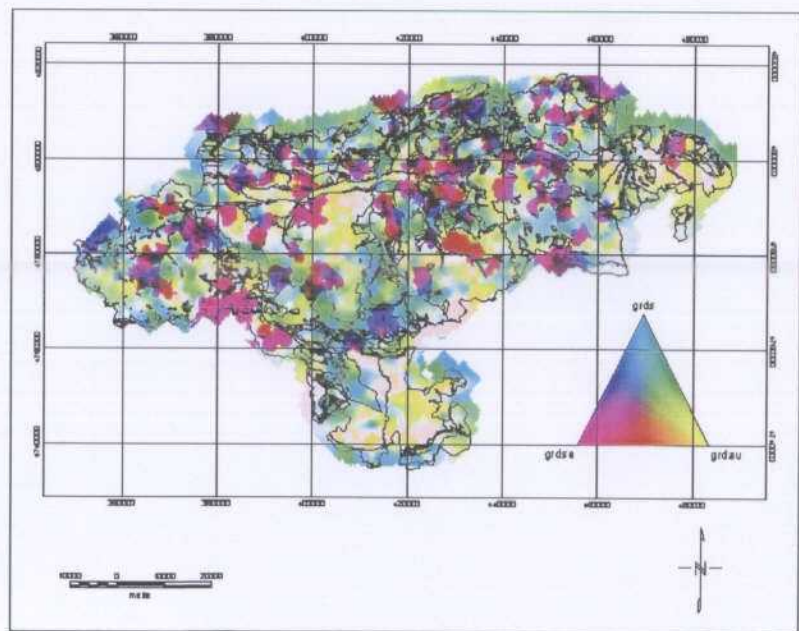
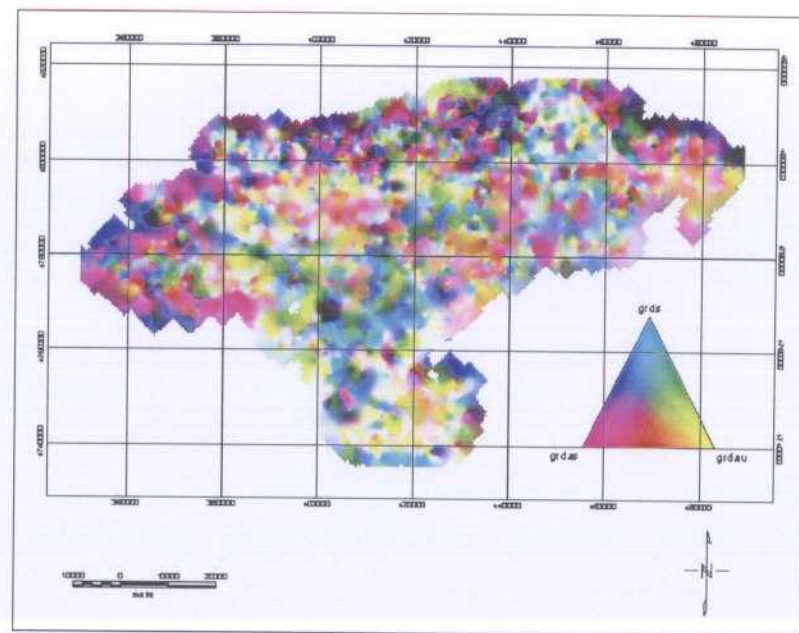
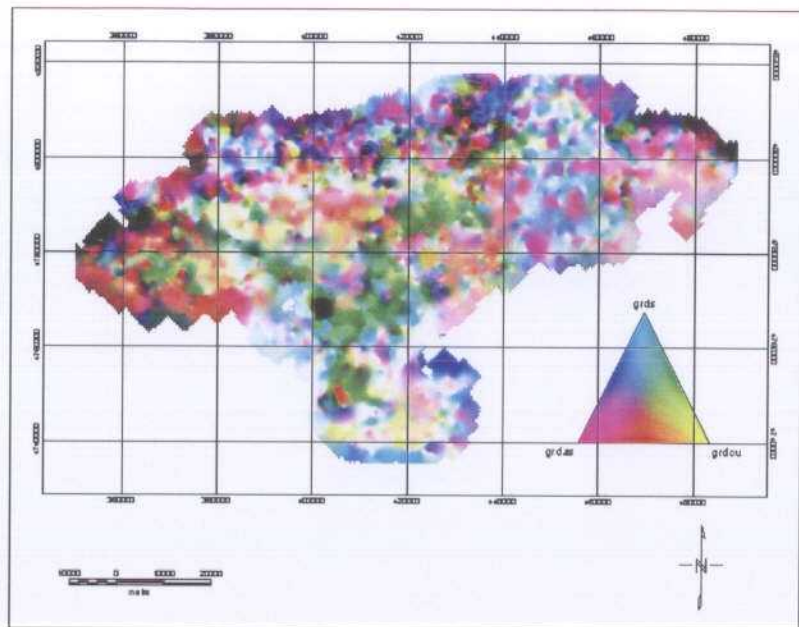


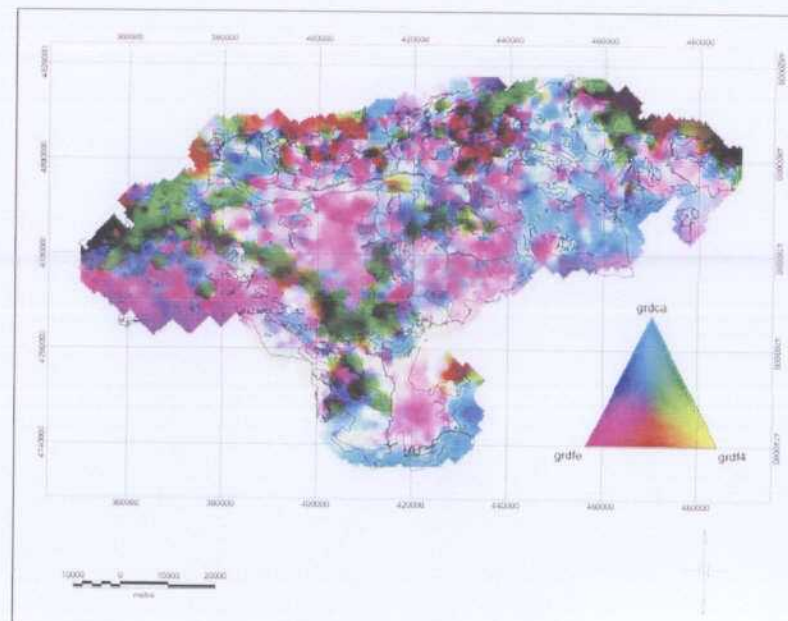
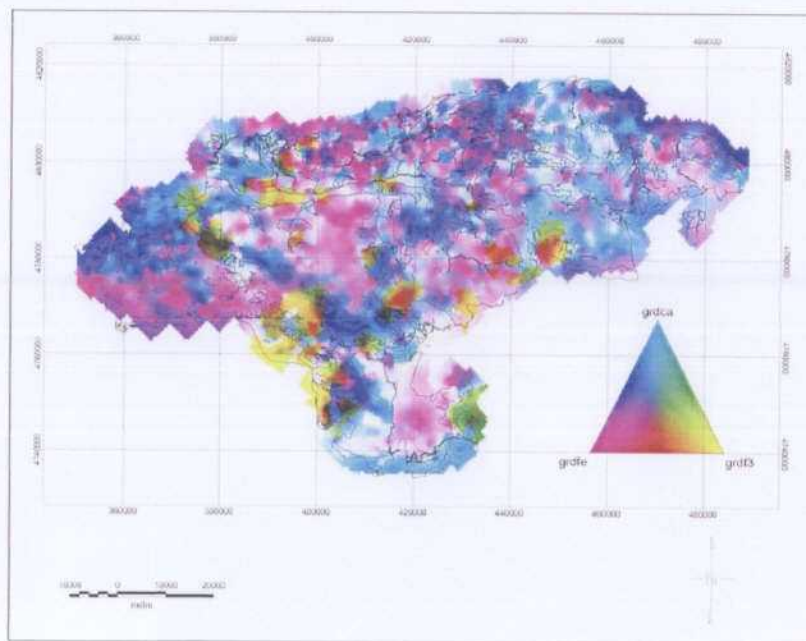
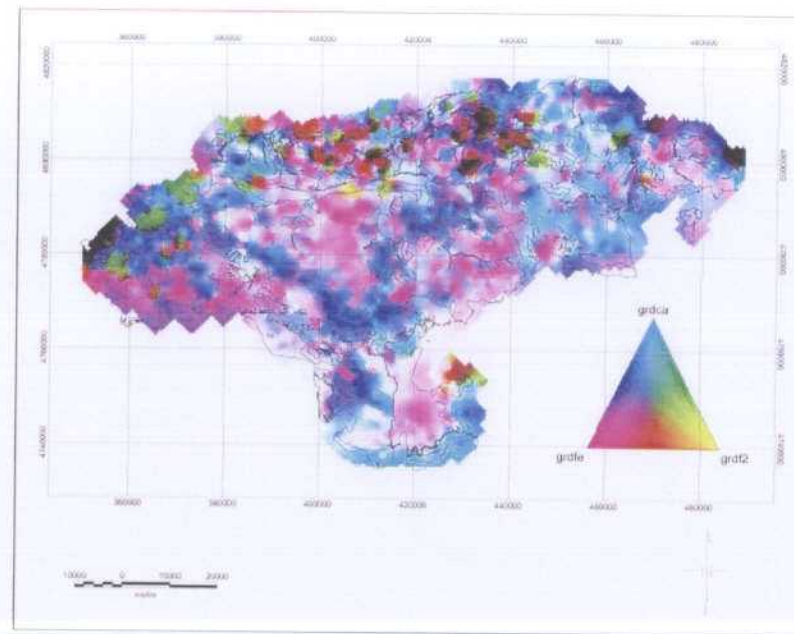
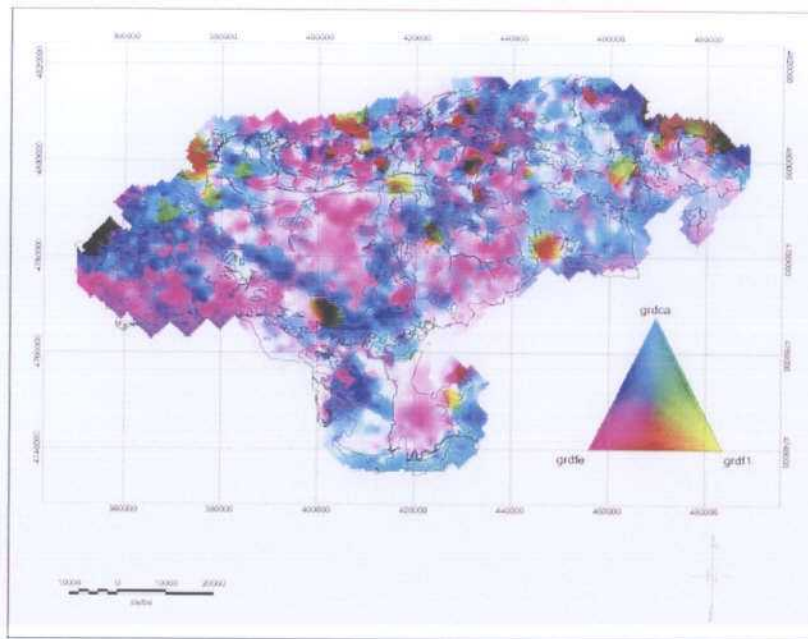
Figura 444.- Geoquímica de sedimentos de corriente  
Análisis de componentes principales  
Mapa de contornos. Distribución del factor 6  
F 6 : V-Sc-Cr-Ni-Co-Ti-Fe-Al-(Mn-Na-Be-Eu-P-As)



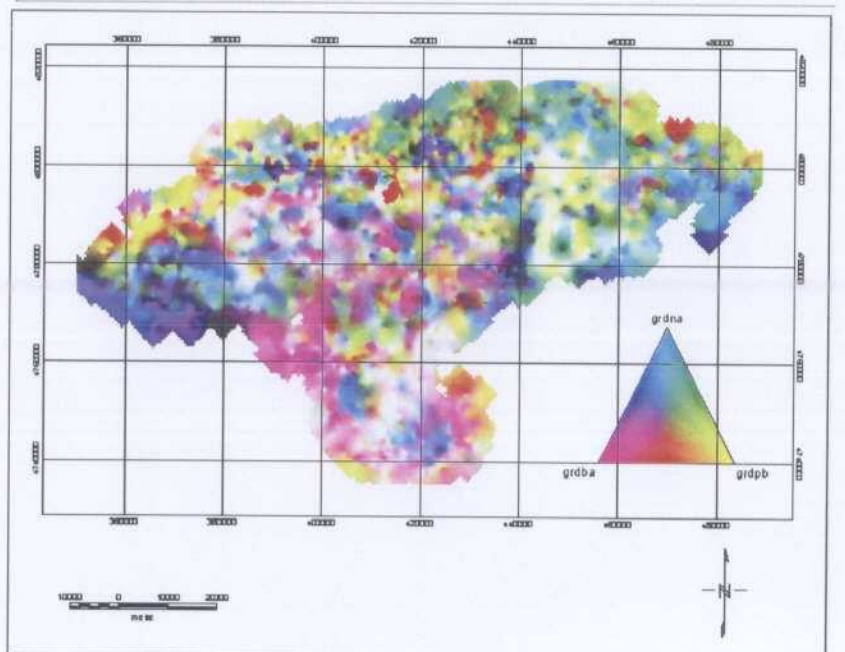
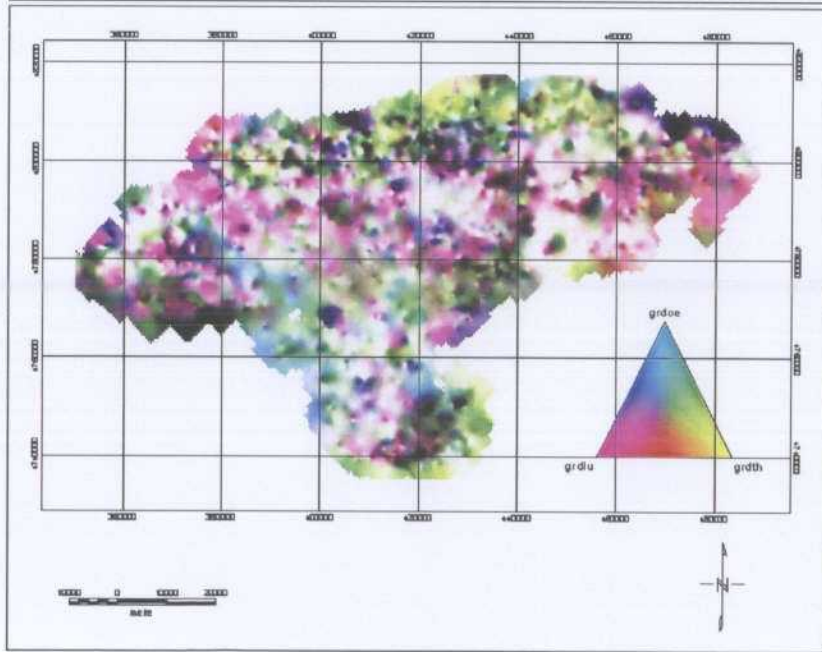
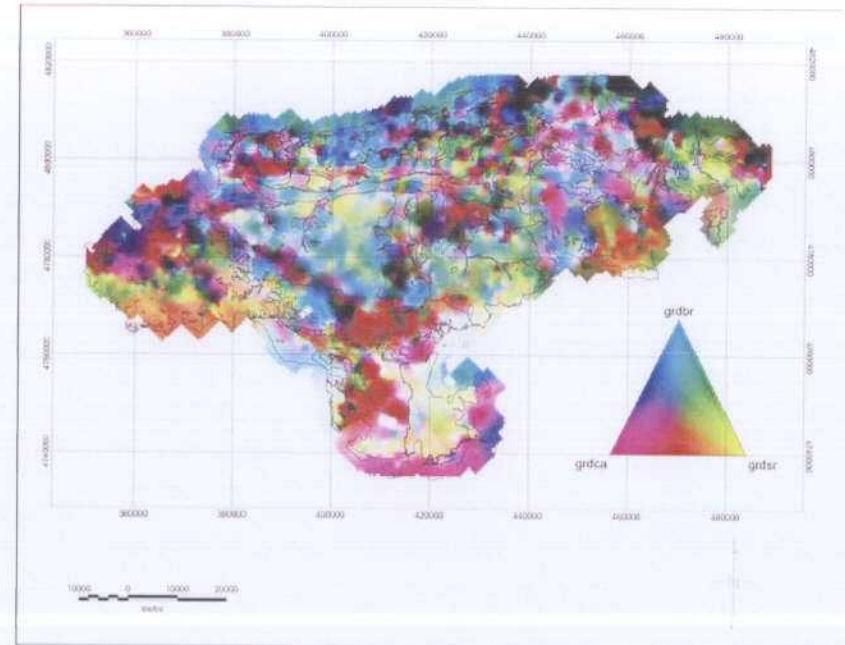
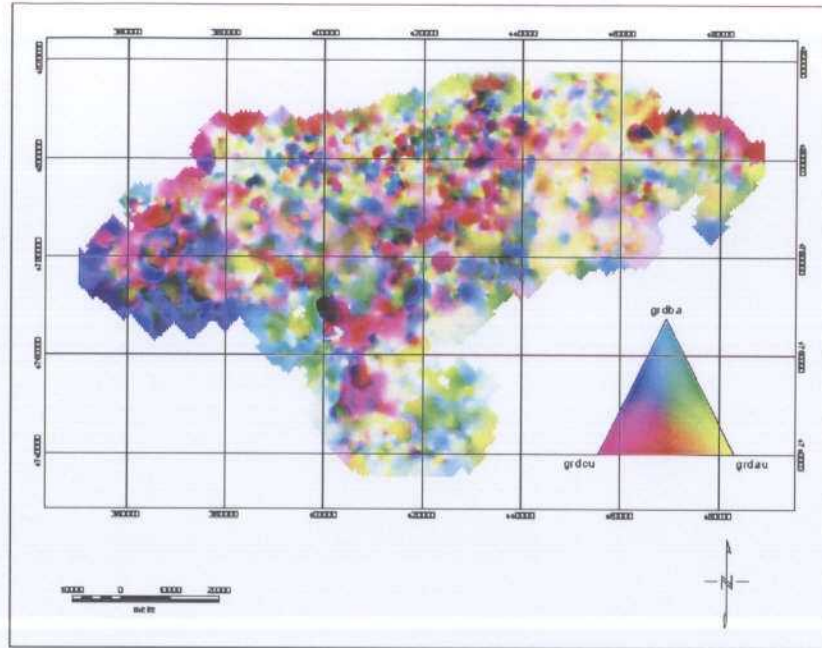
Figuras 445 a 448. Mapas ternarios de Pb (magenta)-Sb(cian)-S(amarillo) ; Ba-Al-Pb ; K-Al-Be ; Rb-Al-Pb



Figuras 449 a 452. Mapas ternarios de As(magenta)-S(cian)-Cu(amarillo) ; As-S-Au ; Se-S-Au ; Cu-Ba-Au

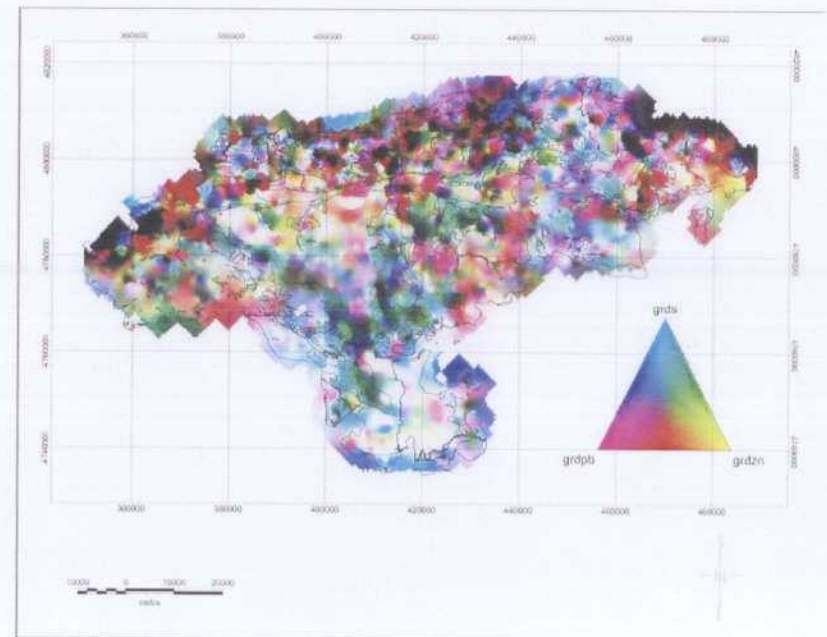
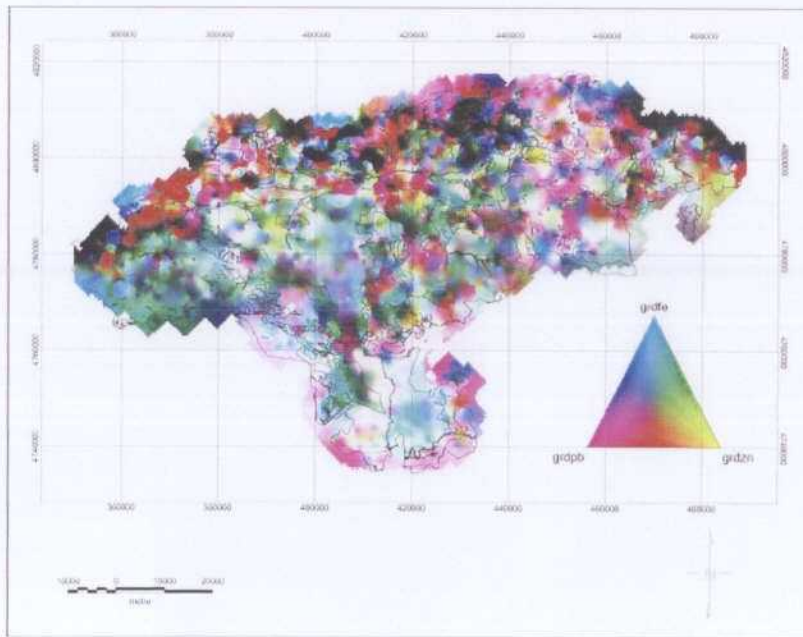
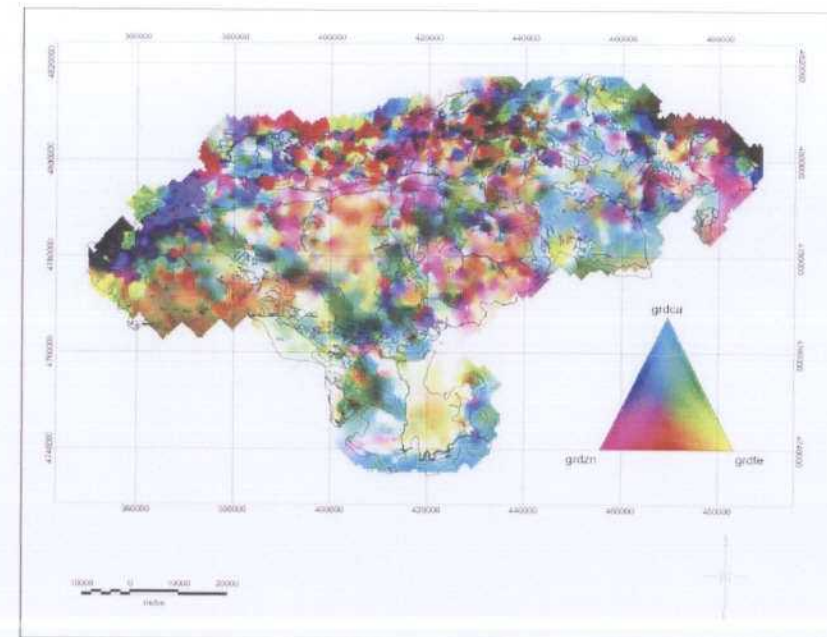
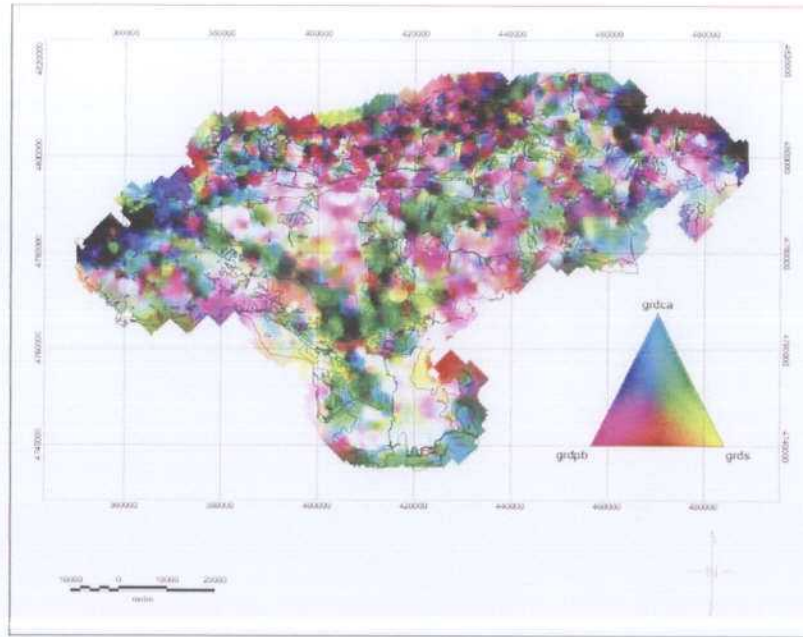


Figuras 453 a 456. Mapas ternarios de Fe(magenta)-Ca(cian)-F1 de ACP(amarillo) ; Fe-Ca-F2 ; Fe-Ca-F3; Fe-Ca-F4

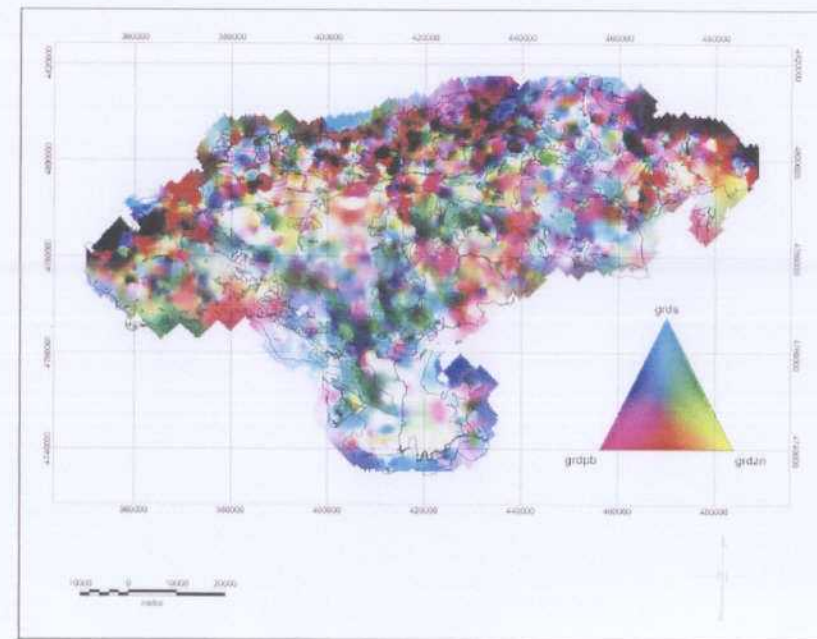
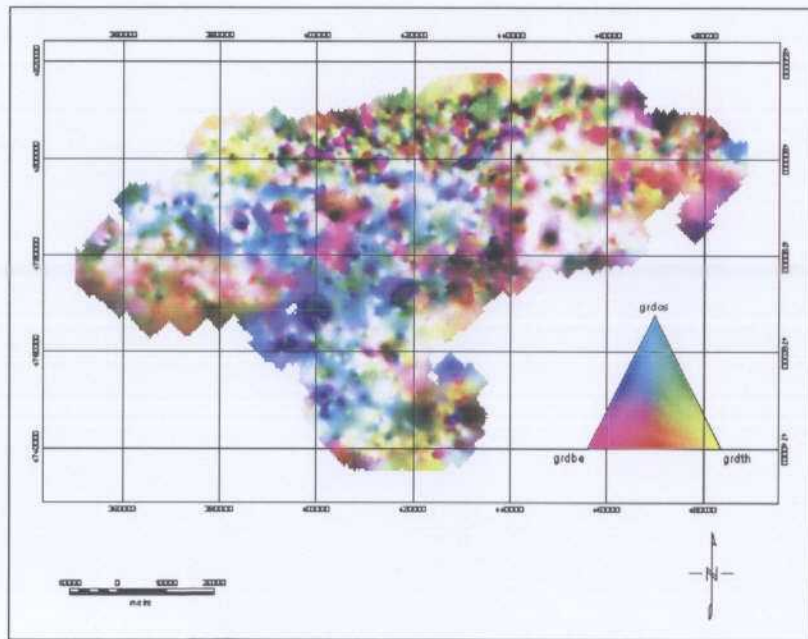
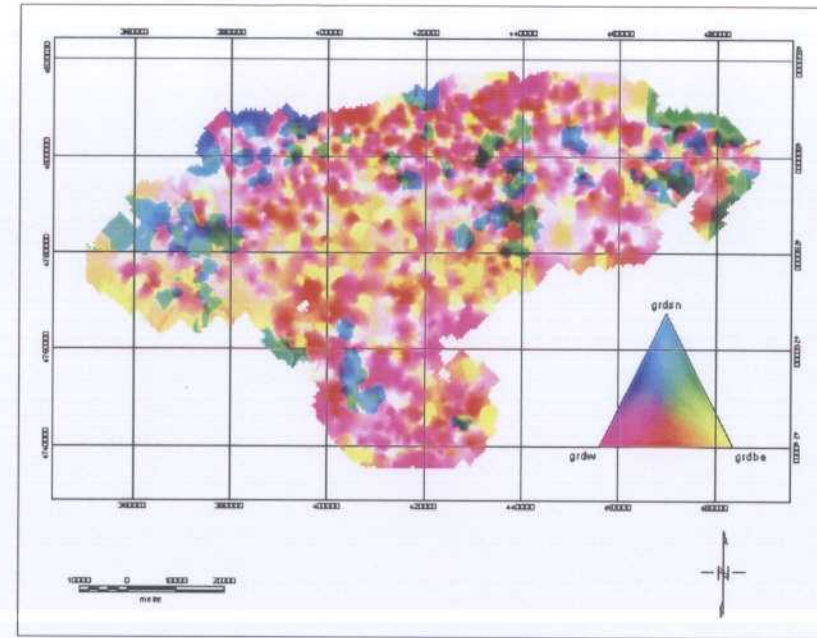
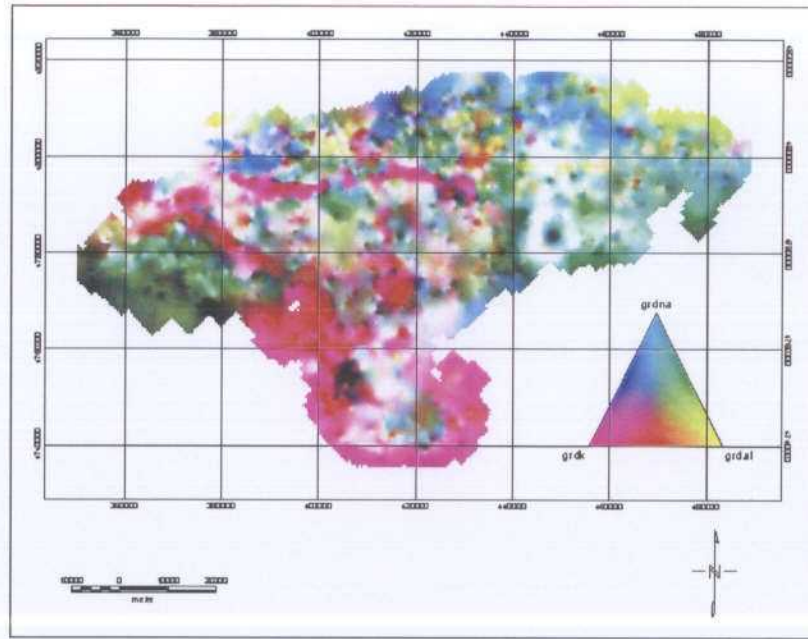


Figuras 457 a 460. Mapas ternarios de Cu(magenta)-Ba(cian)-Au(amarillo) ; Ca-Br-Sr ; Lu-Ce-Th ; Ba-Na-Pb

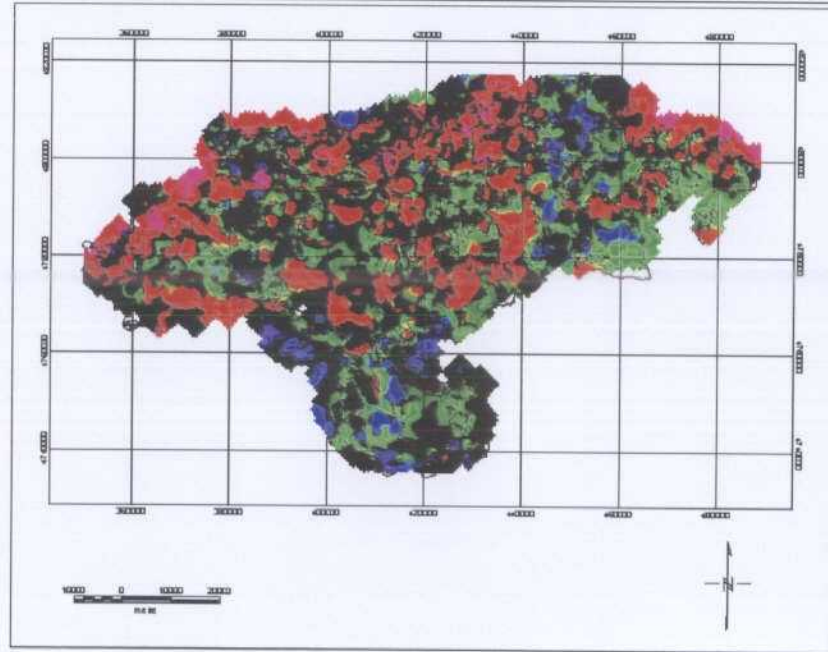
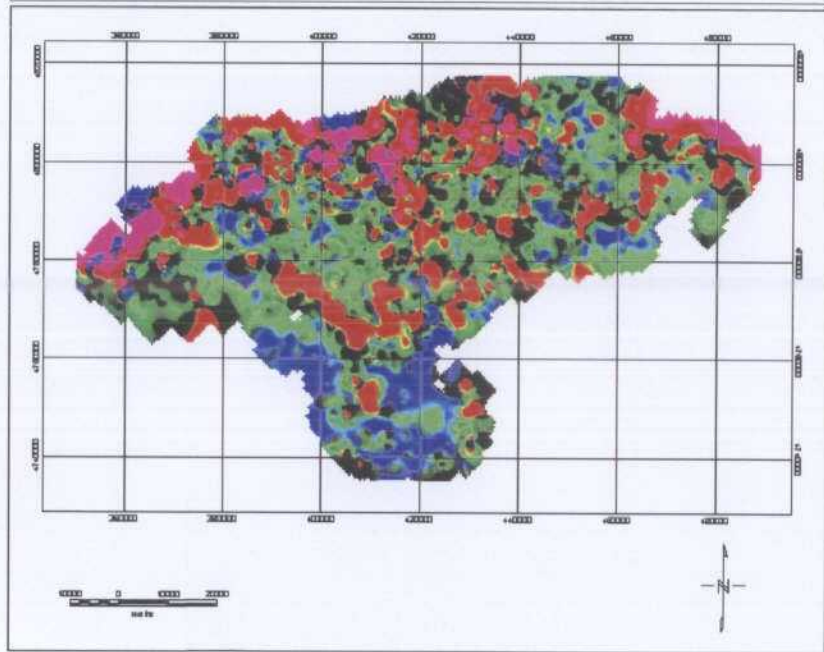
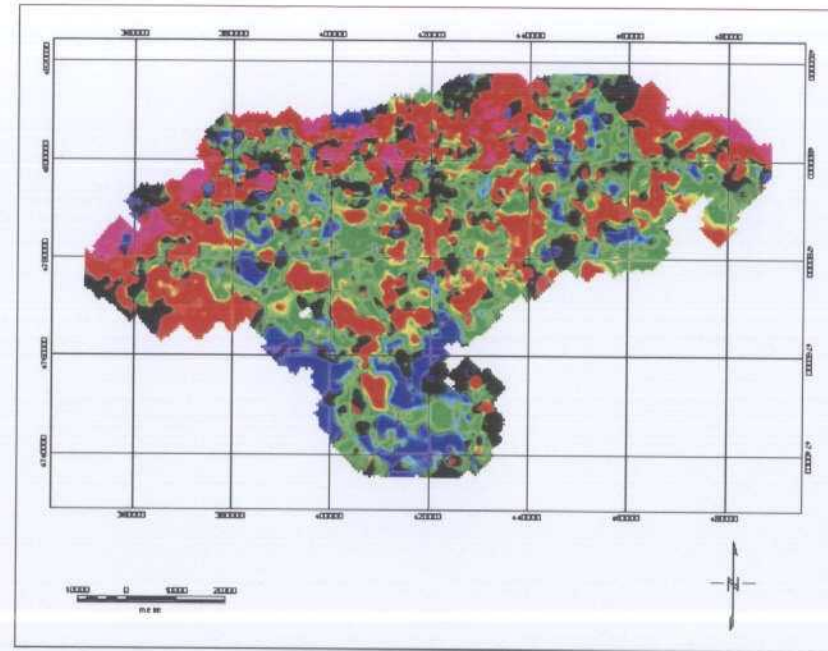
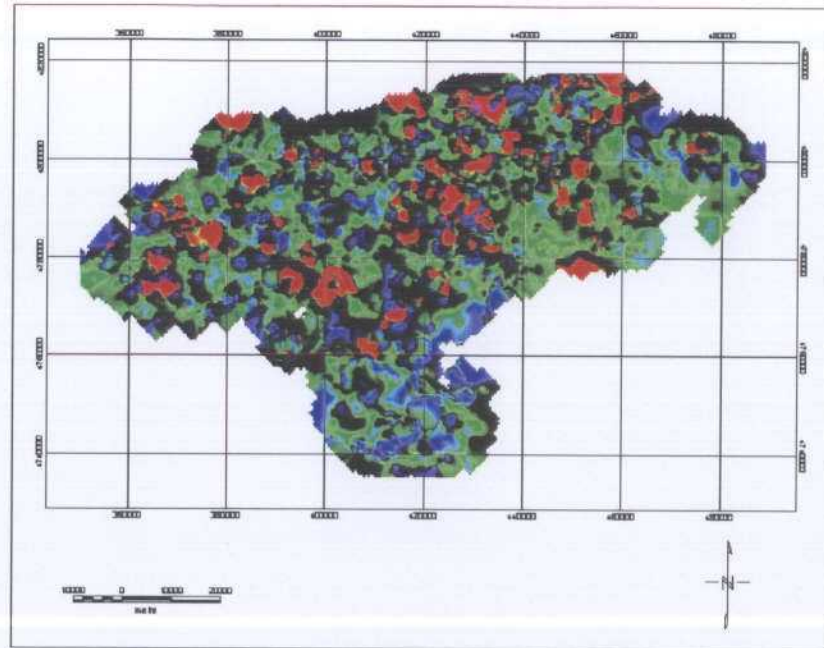




Figuras 461 a 464. Mapas ternarios de Pb(magenta)-Ca(cian)-S(amarillo) ; Zn-Ca-Fe ; Pb-Fe-Zn ; Pb-S-Zn



Figuras 465 a 468. Mapas ternarios de K(magenta)-Na(cian)-Al(amarillo) ; W-Sn-Be ; Th-Be-Cs ; Pb-S-Zn



Figuras 469a 472. Mapas de superposición o suma de elementos : Au-Se ; Au-Se-S ; Zn-Pb-Cd ; As-Sb-Pb-Zn

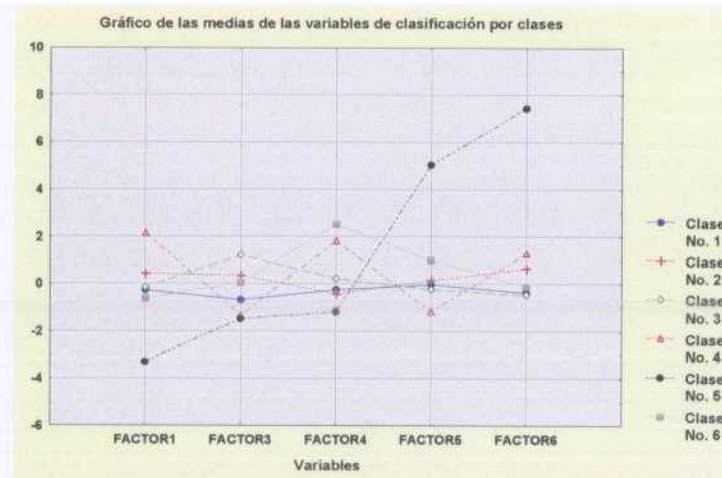
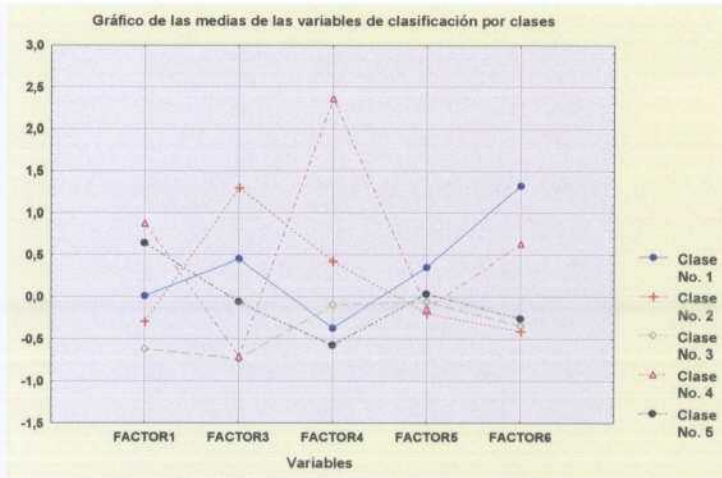
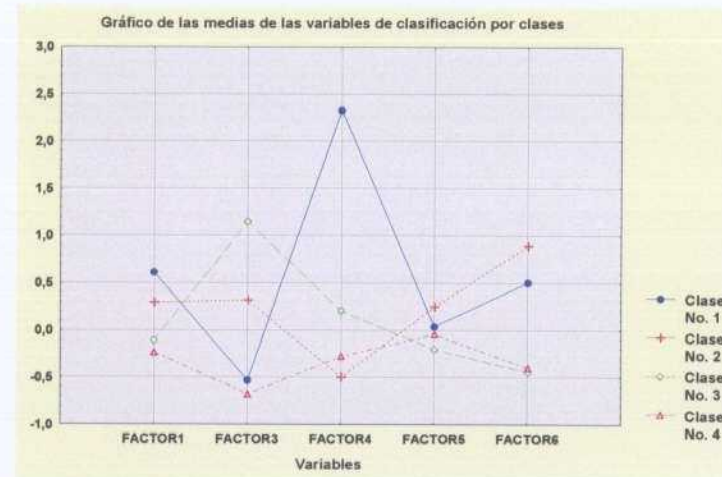
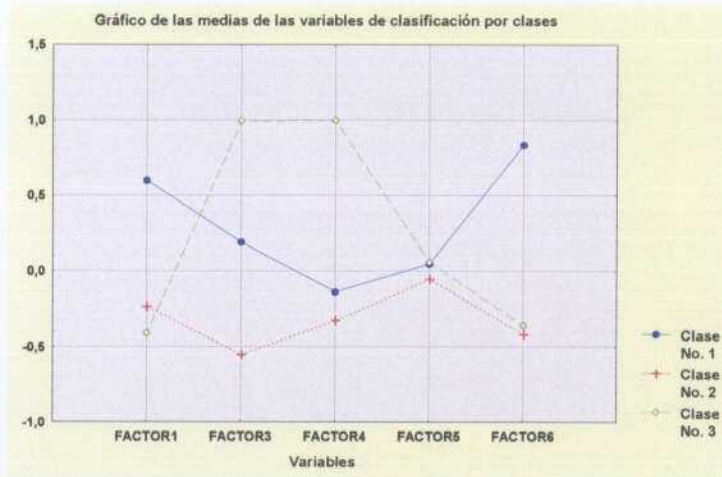


Figura 473. Diagramas de las medias de las variables de clasificación (factores) por clases

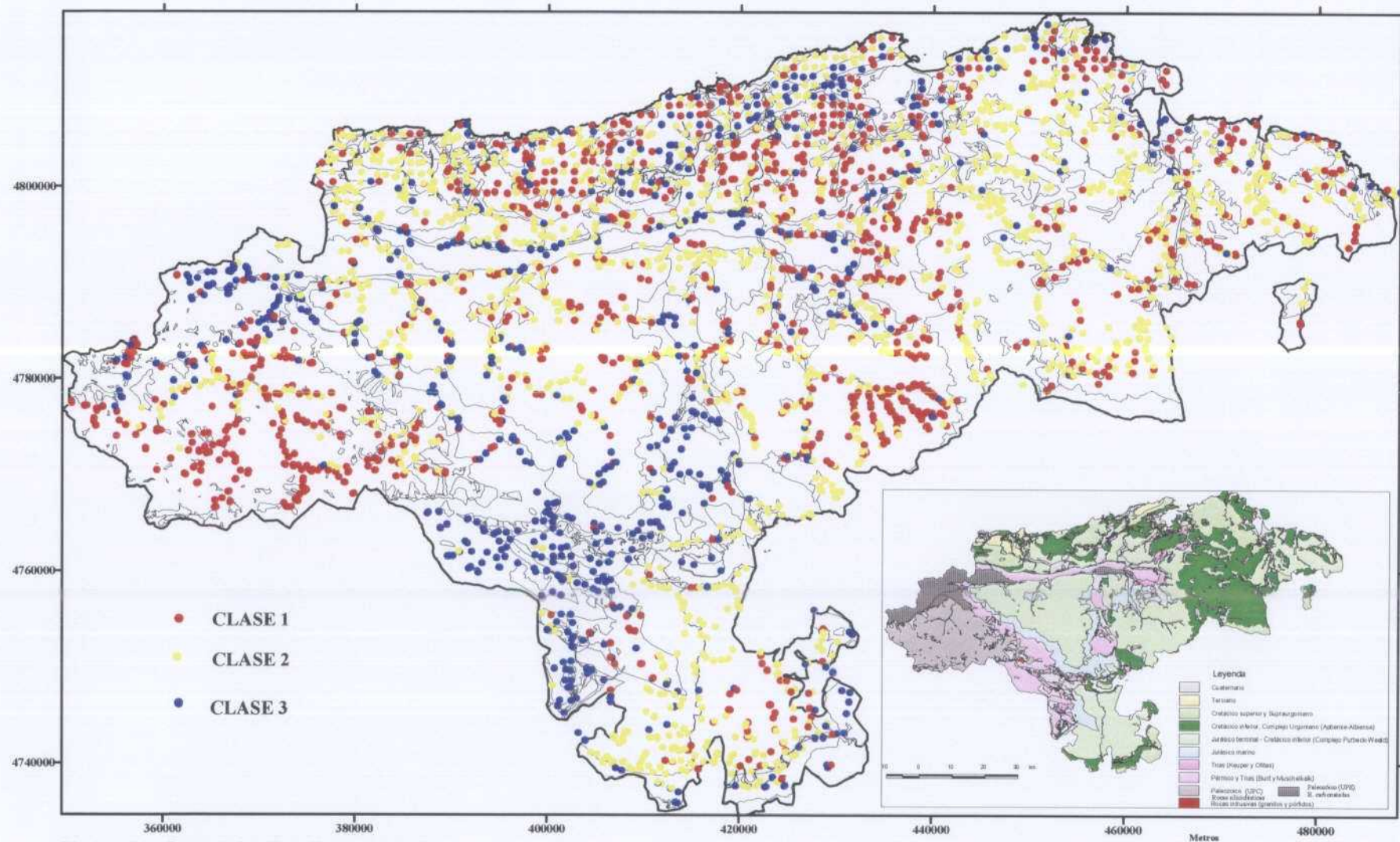
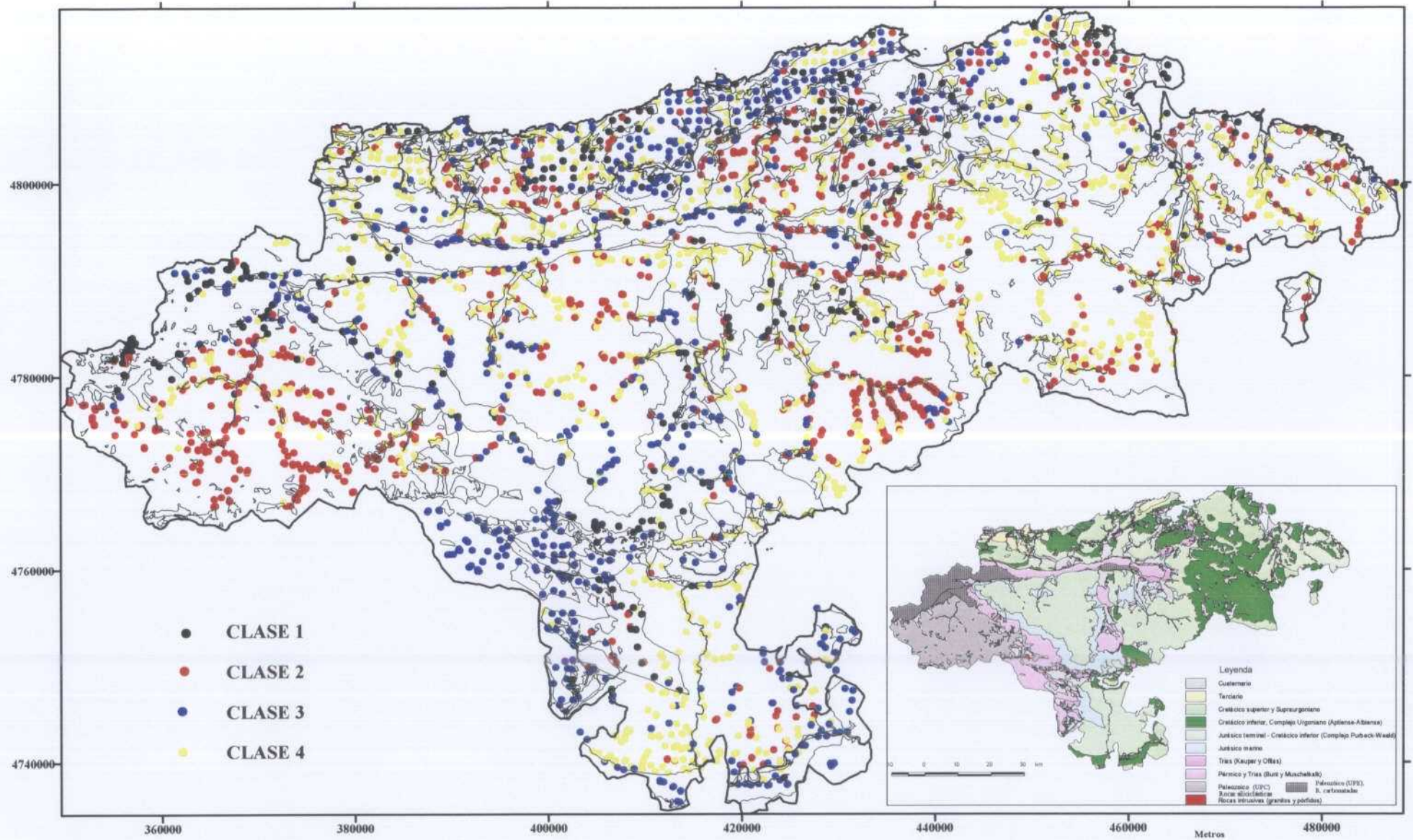


Figura 474.- Geoquímica de sedimentos y suelos  
Distribución de clases geoquímicas. Tres clases



**Figura 475.- Geoquímica de sedimentos y suelos**  
**Clasificación de la población en cuatro clases**  
**Distribución de las clases geoquímicas**

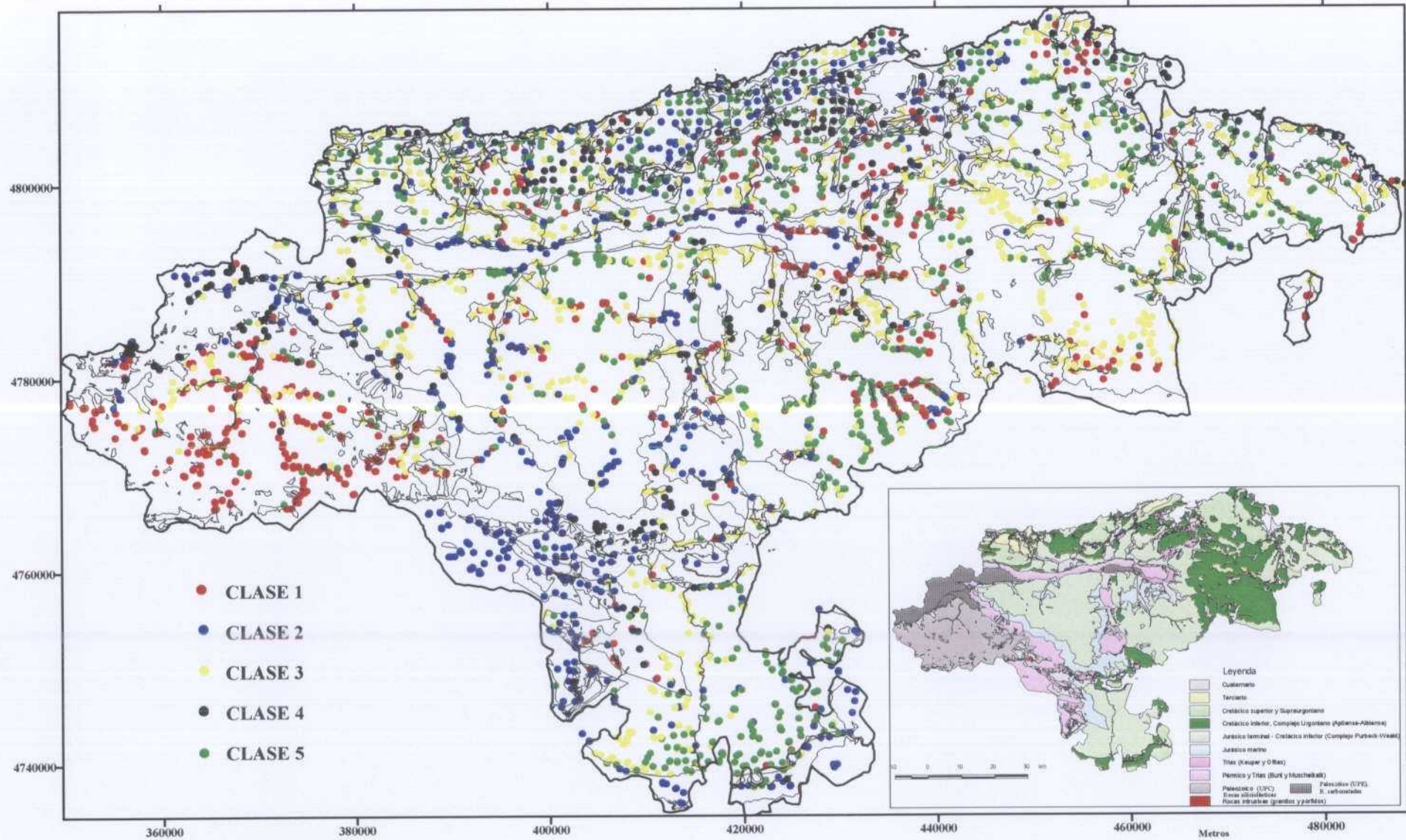


Figura 476.- Geoquímica de sedimentos y suelos  
 Clasificación de la población en cinco clases  
 Distribución de las clases geoquímicas

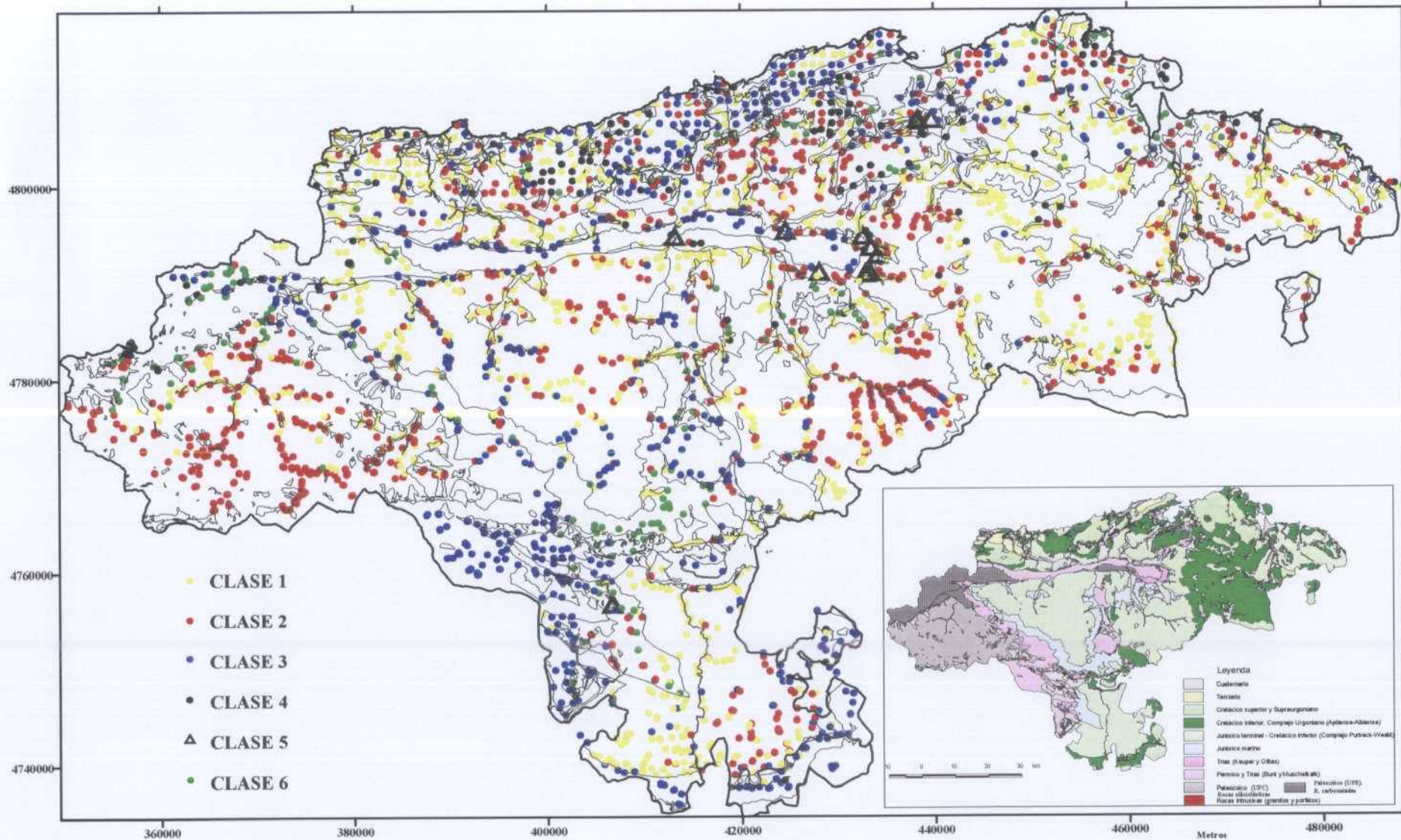
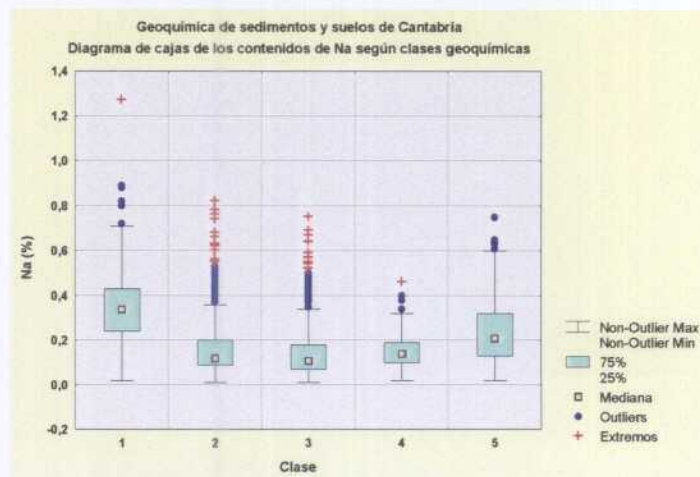
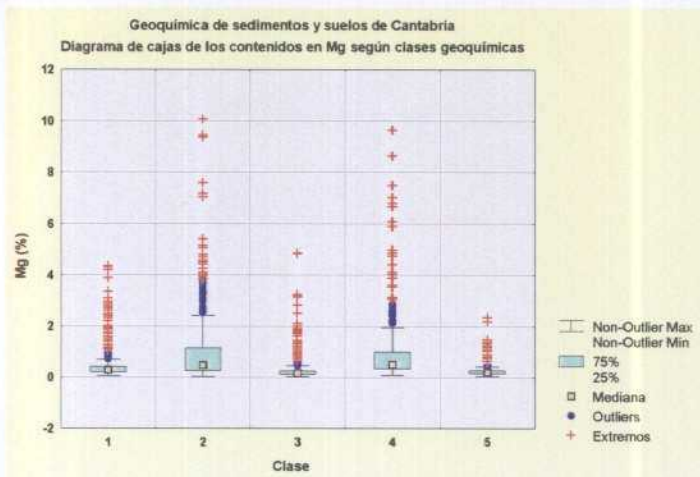
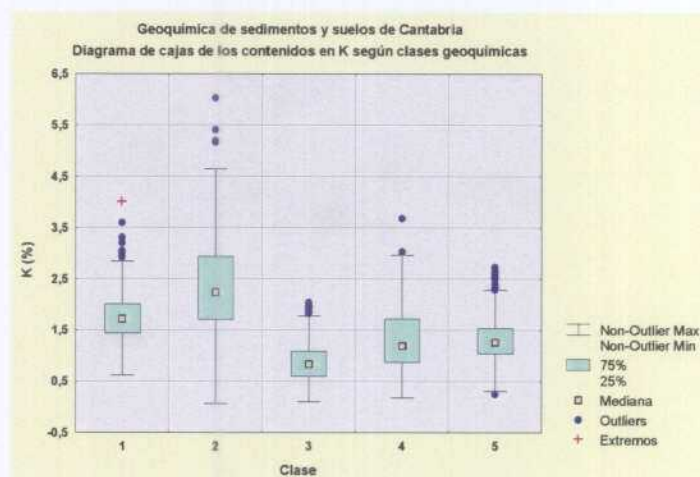
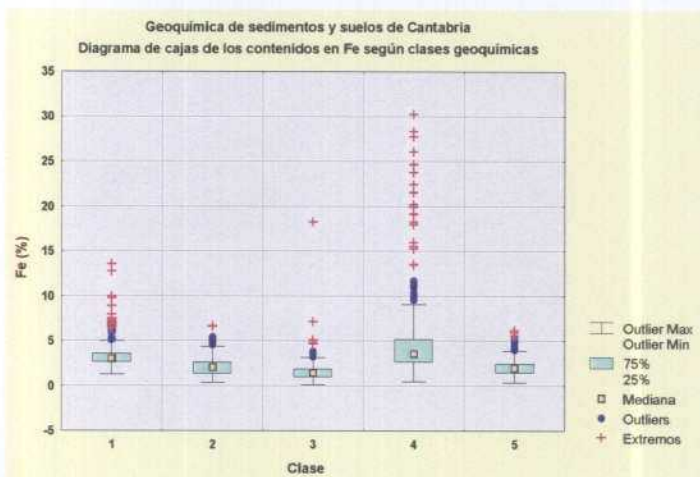
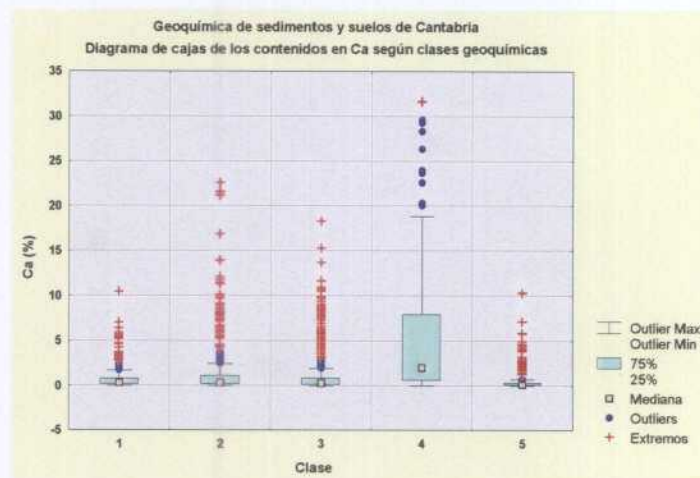
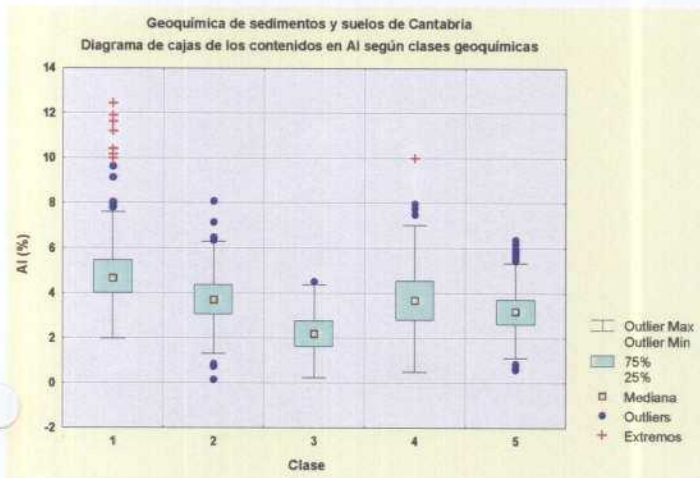
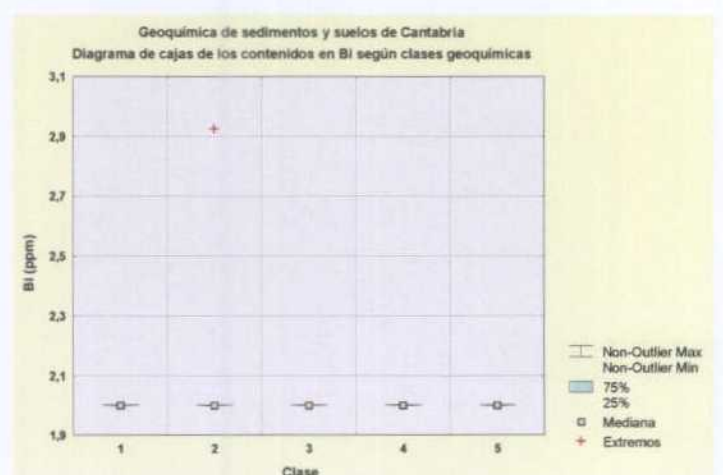
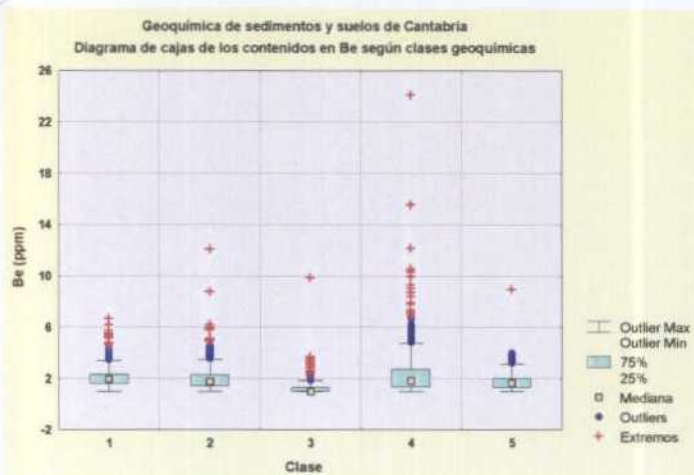
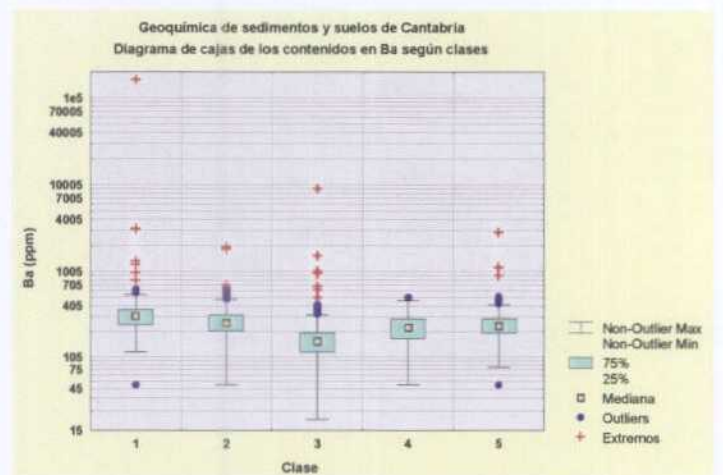
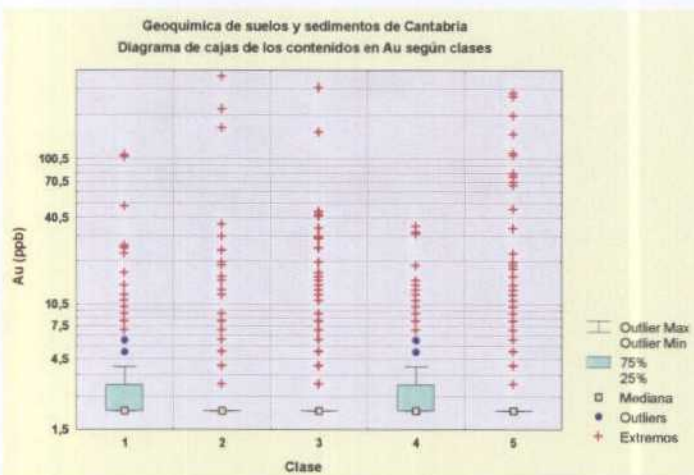
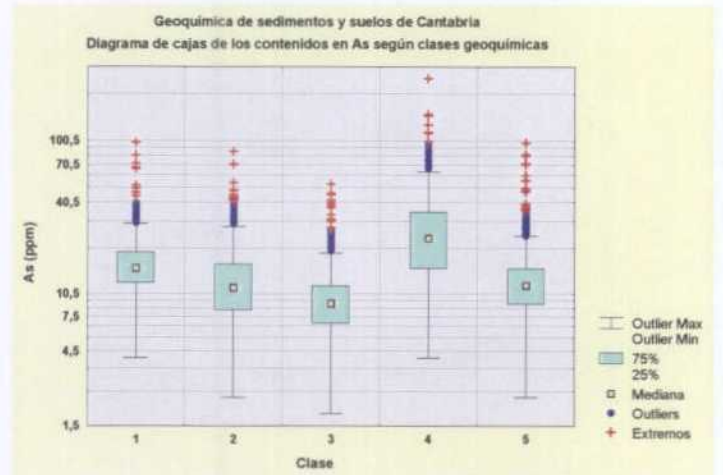
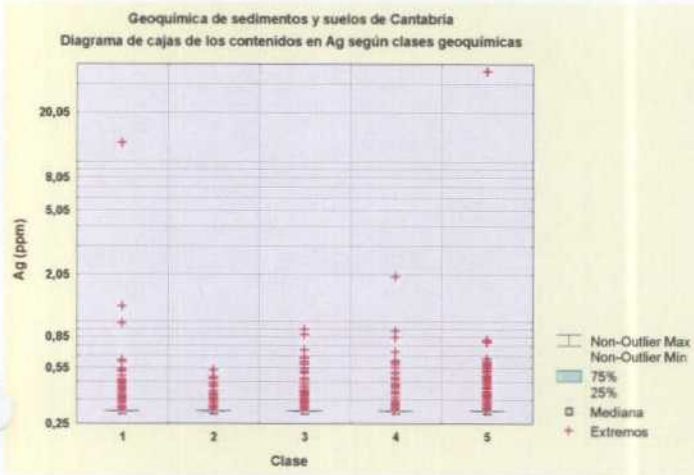


Figura 477.- Geoquímica de sedimentos y suelos  
 Clasificación de la población en seis clases  
 Distribución de las clases geoquímicas

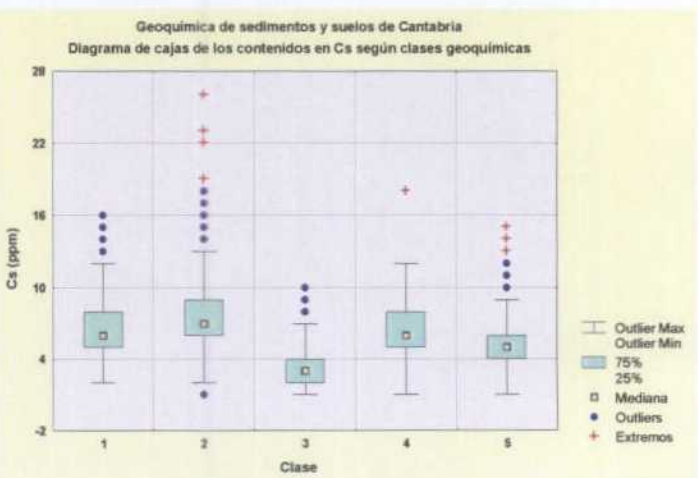
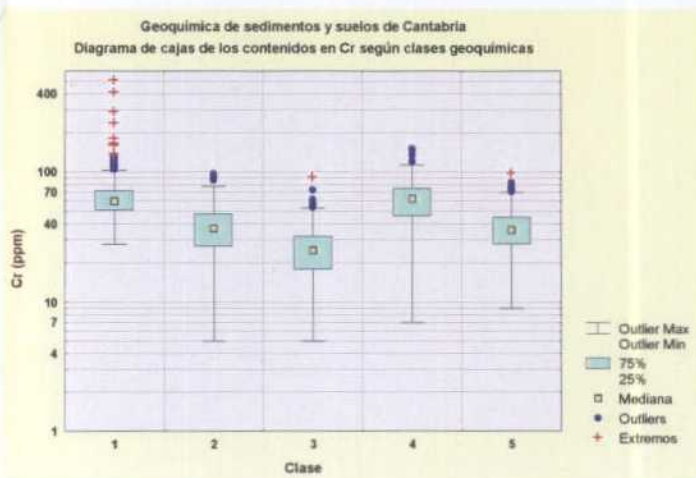
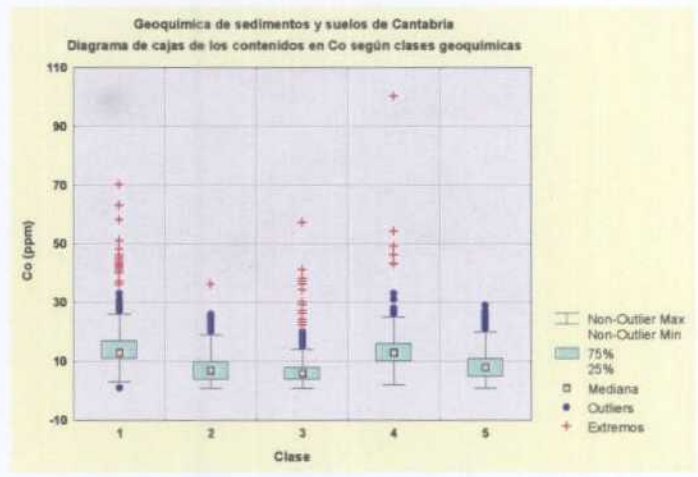
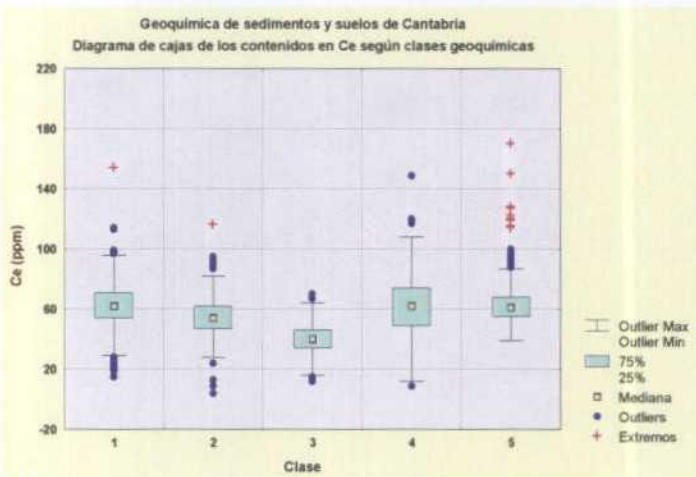
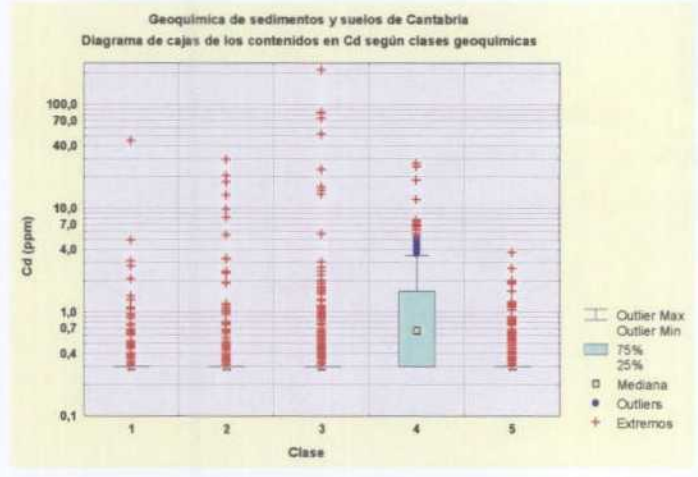
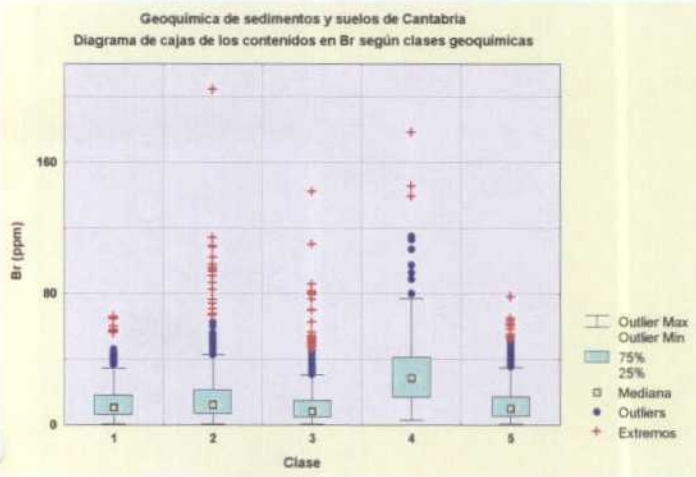




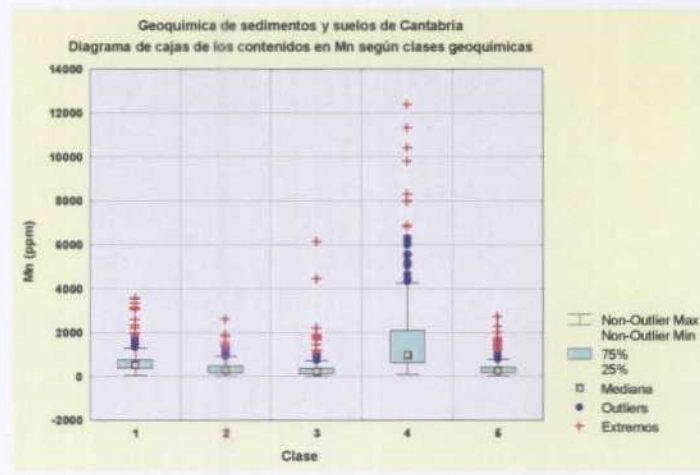
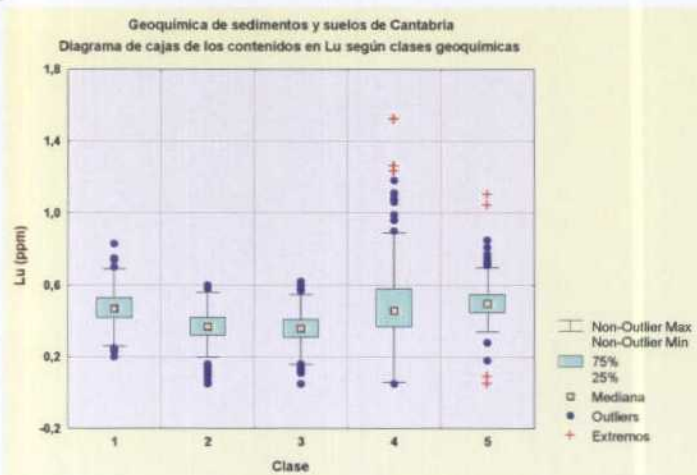
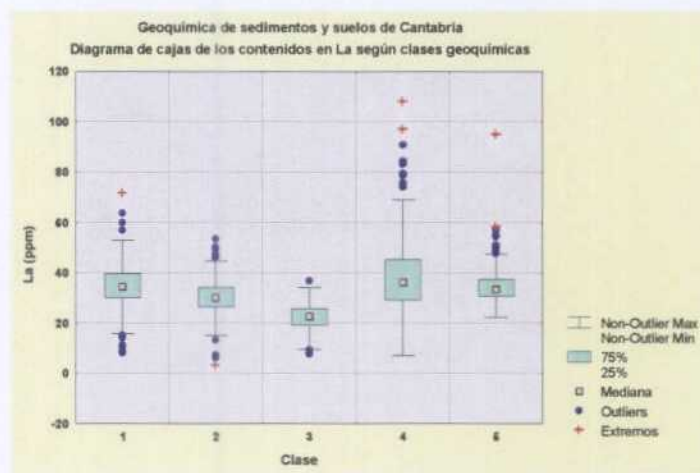
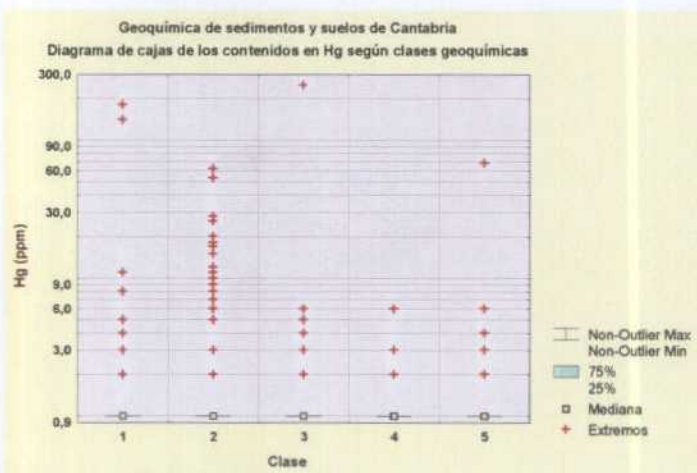
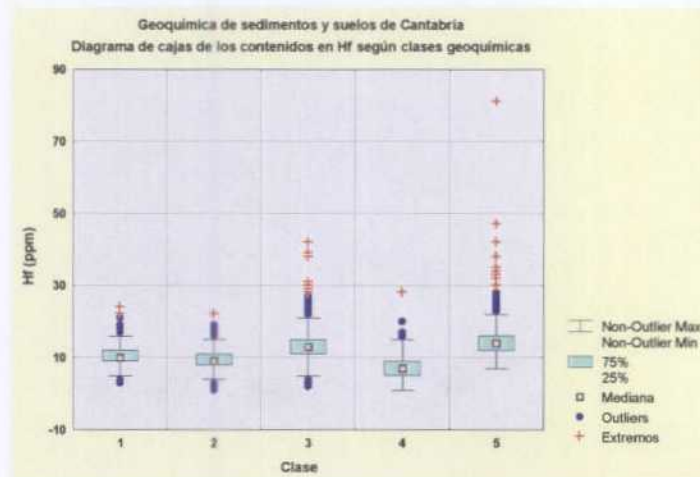
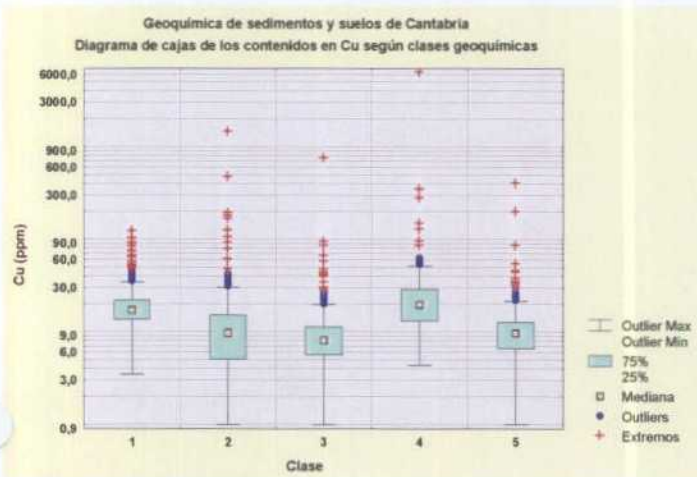
Figuras 478 a 483. Diagramas de cajas de elementos mayores por clases geoquímicas



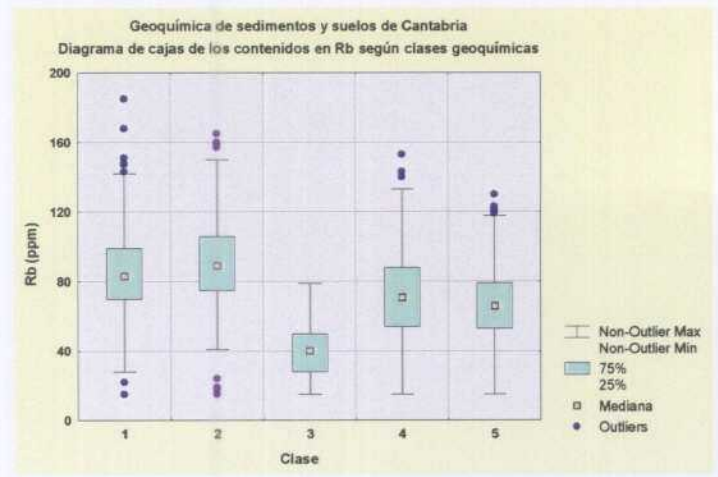
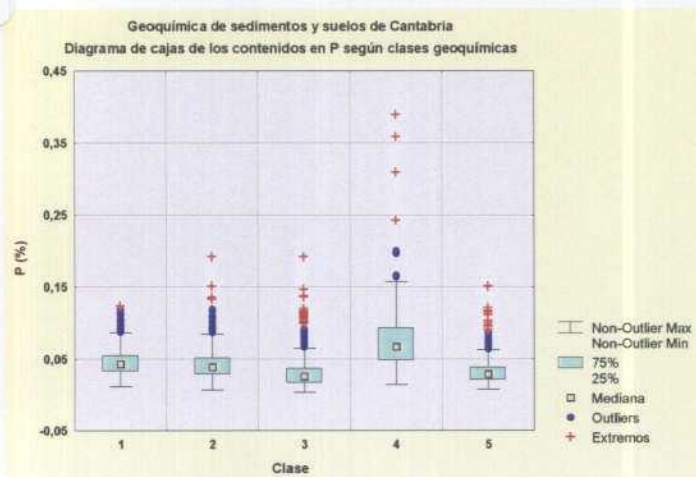
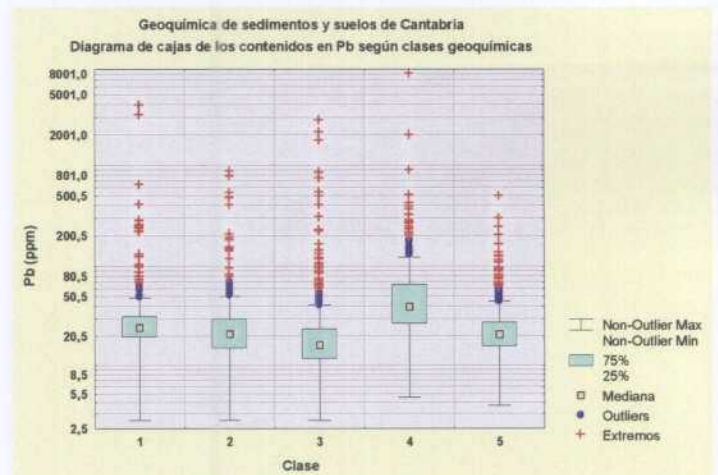
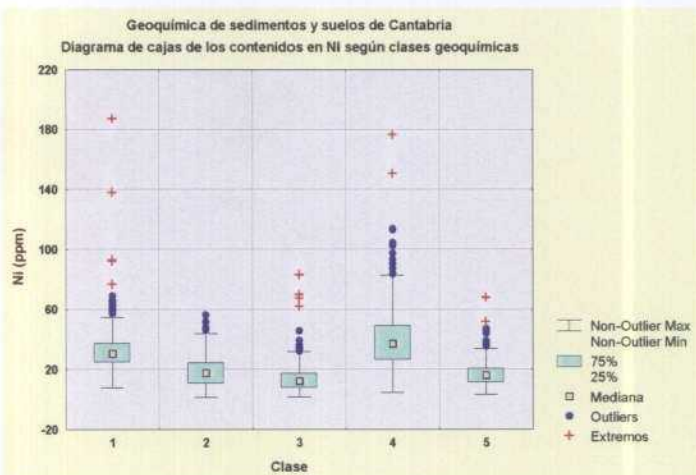
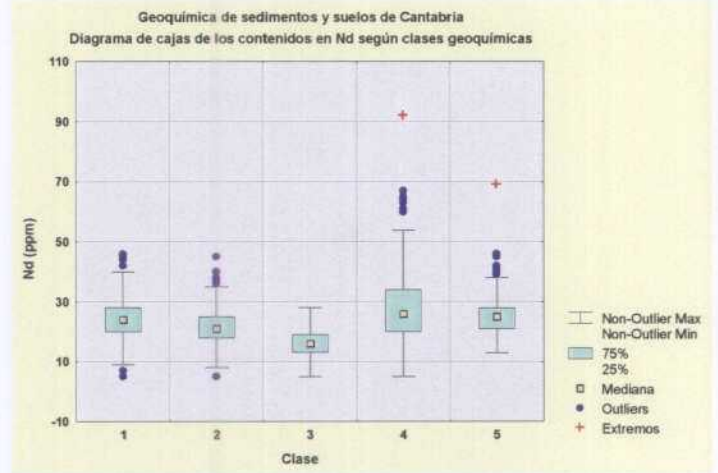
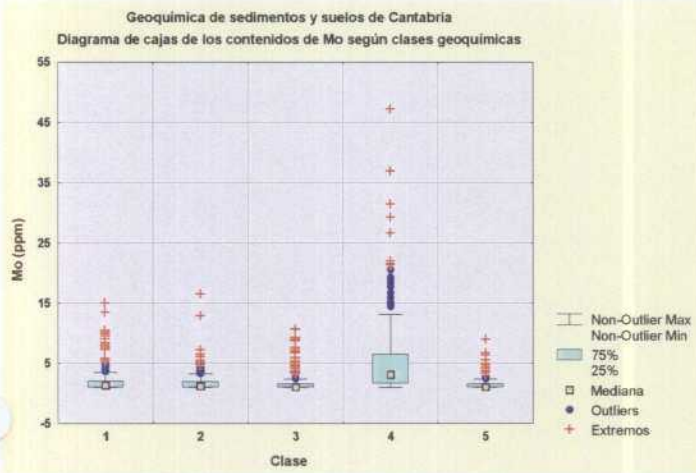
Figuras 484 a 489. Diagramas de cajas de elementos traza por clases geoquímicas



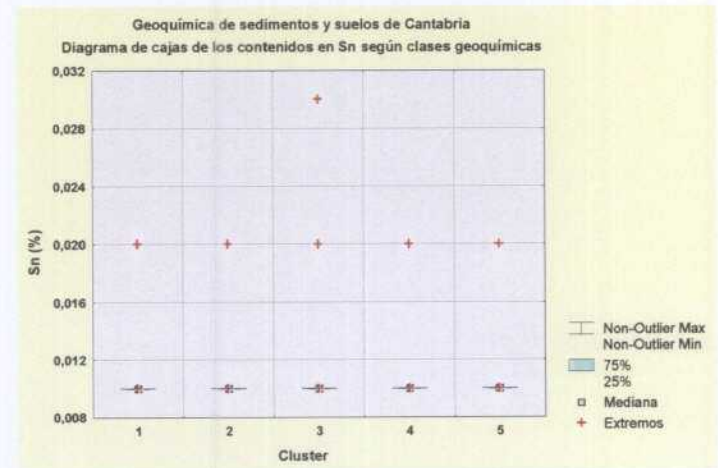
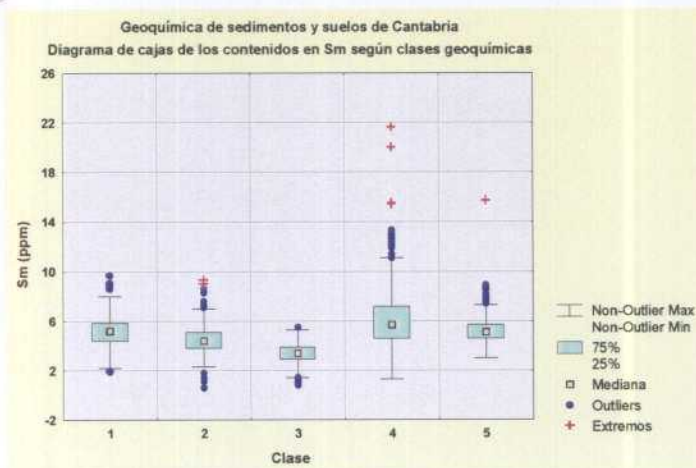
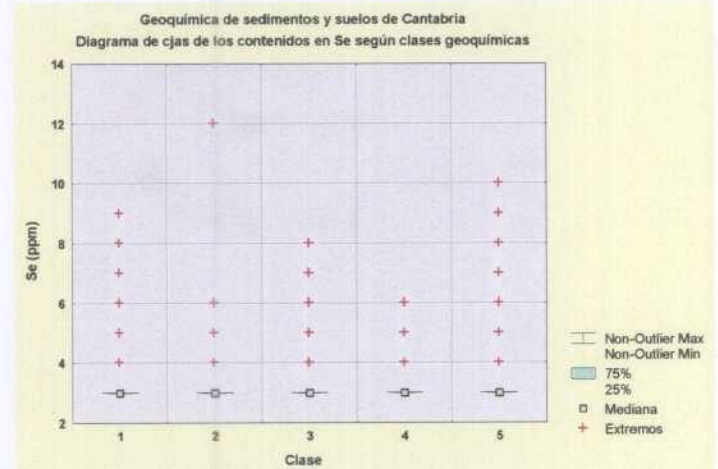
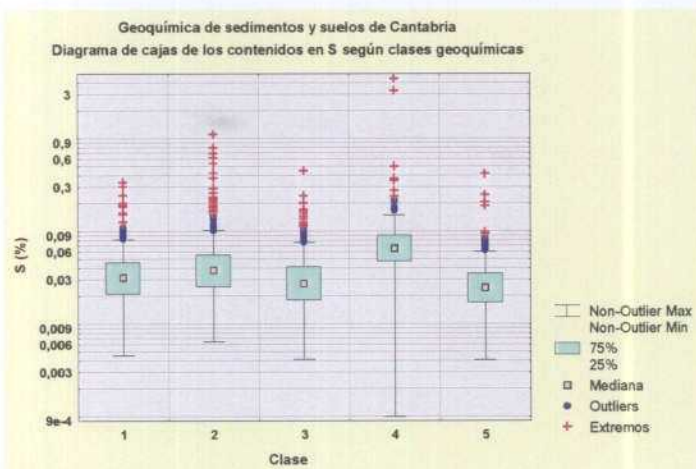
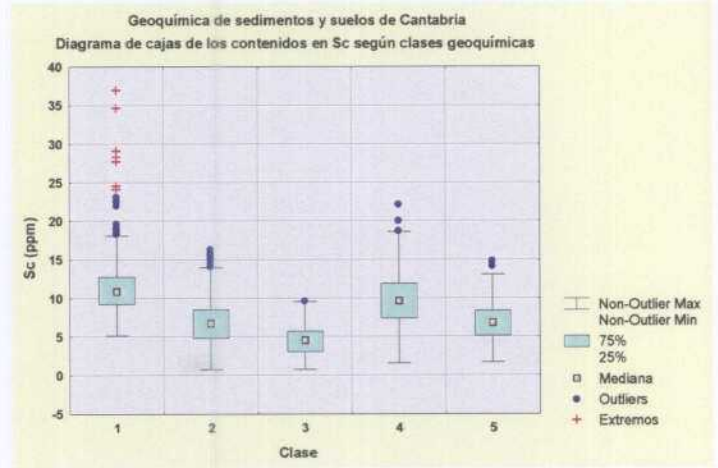
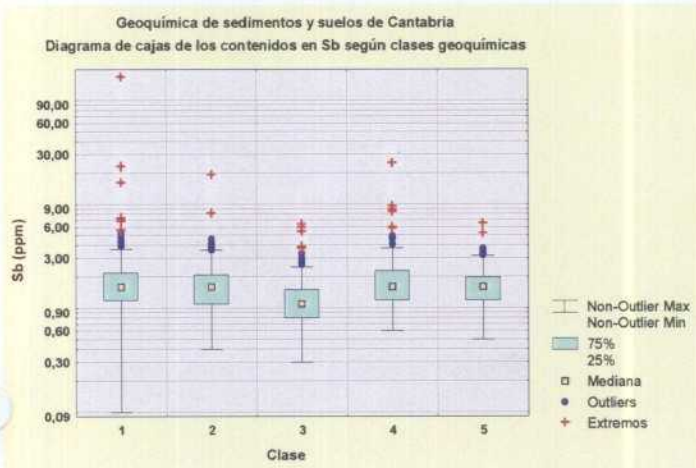
Figuras 490 a 495. Diagramas de cajas de elementos traza por clases geoquímicas



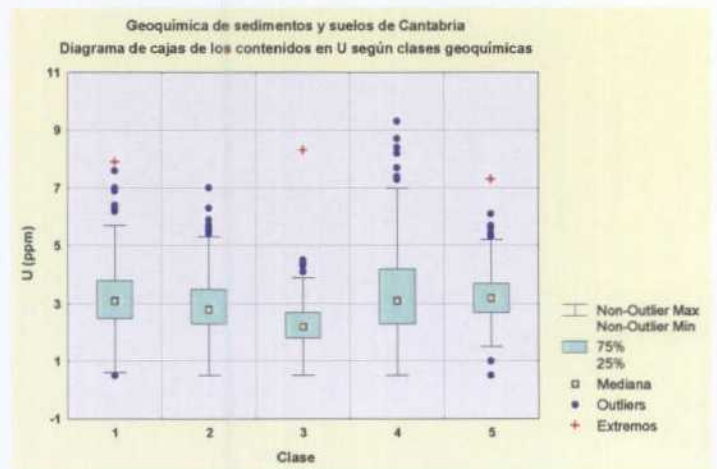
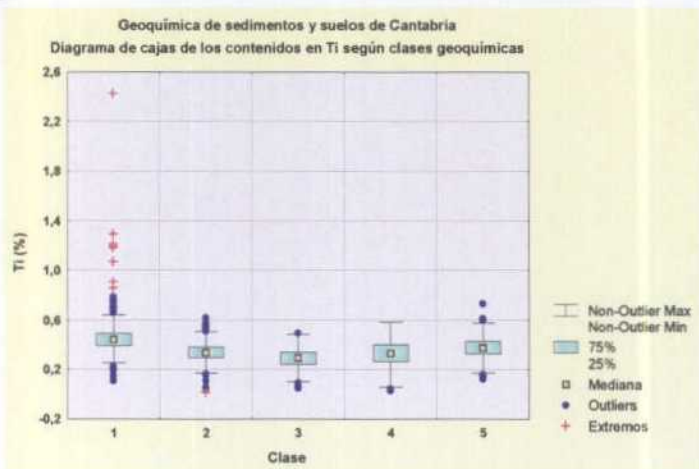
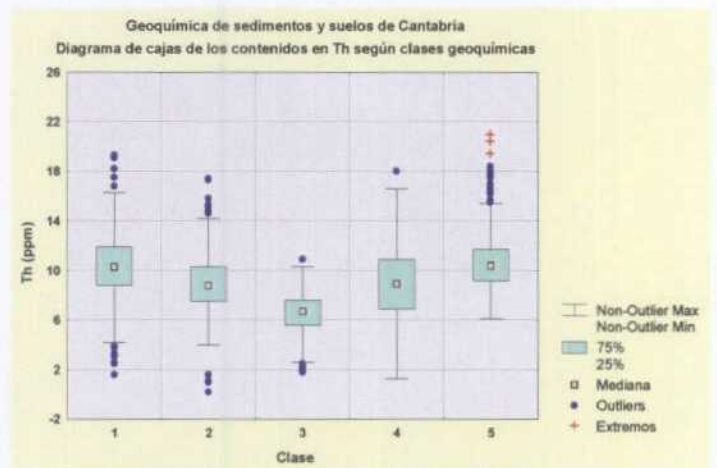
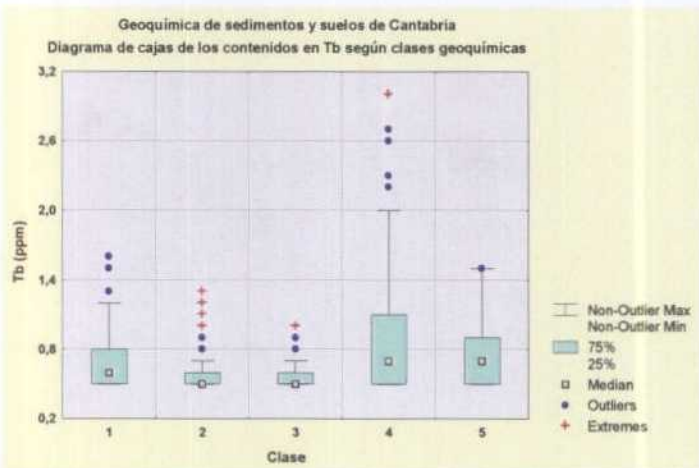
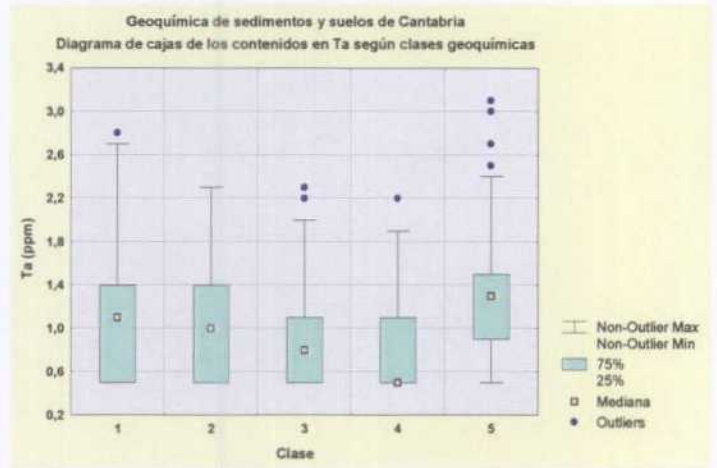
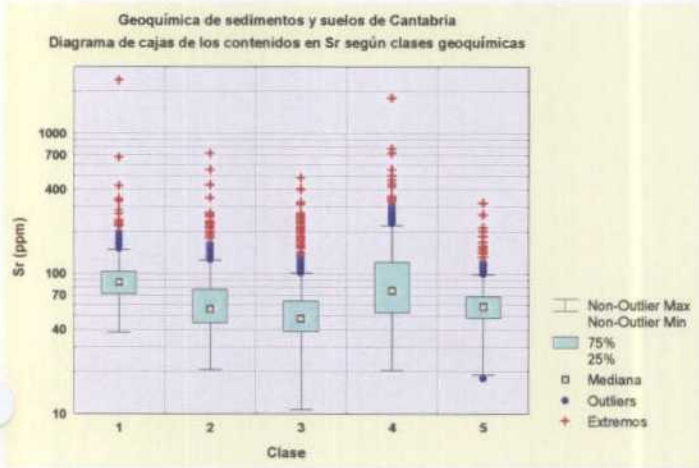
Figuras 496 a 501. Diagramas de cajas de elementos traza por clases geoquímicas



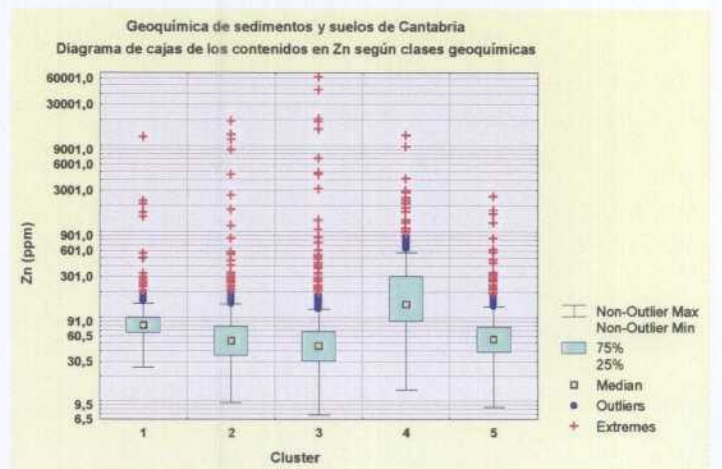
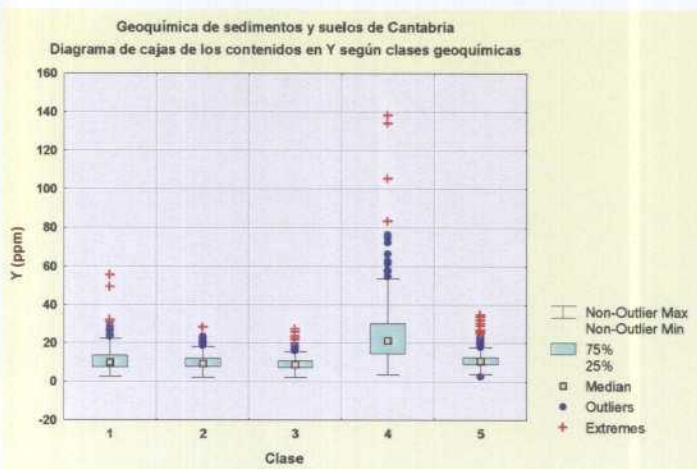
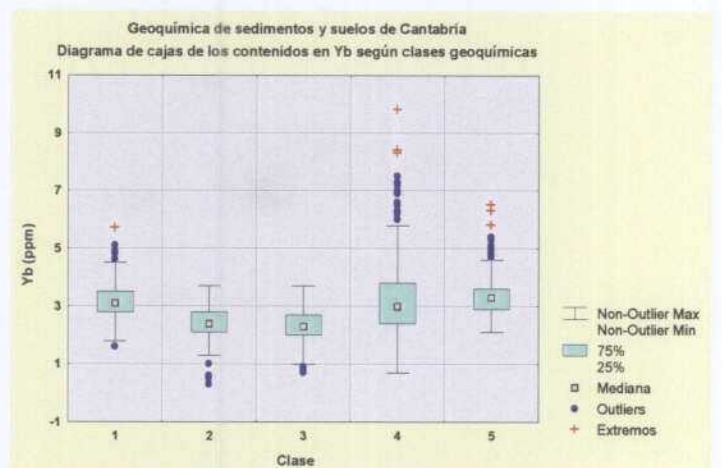
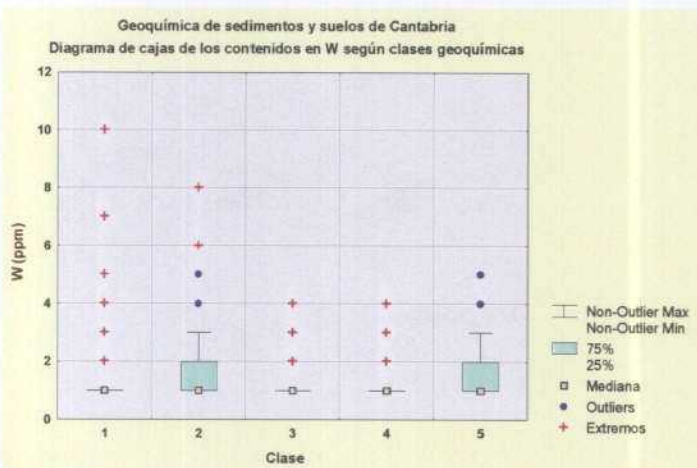
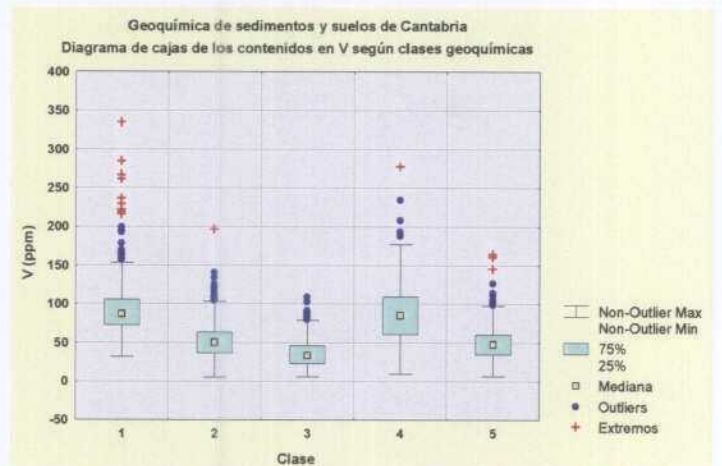
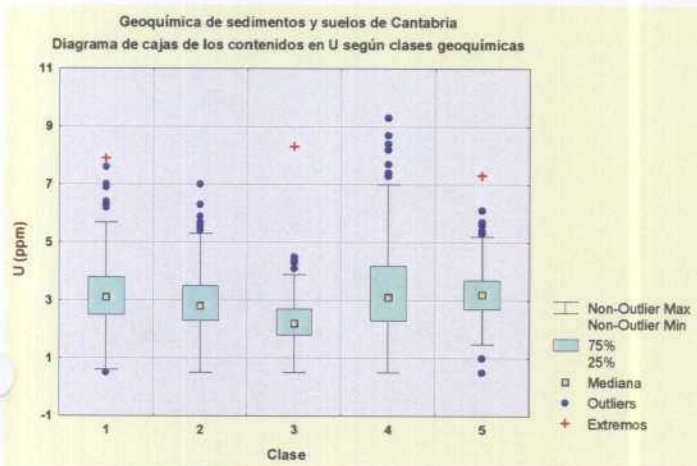
Figuras 502 a 507. Diagramas de cajas de elementos traza por clases geoquímicas



Figuras 508 a 513. Diagramas de cajas de elementos traza por clases geoquímicas



Figuras 514 a 519. Diagramas de cajas de elementos traza por clases geoquímicas



Figuras 520 a 525. Diagramas de cajas de elementos trazas por clases geoquímicas



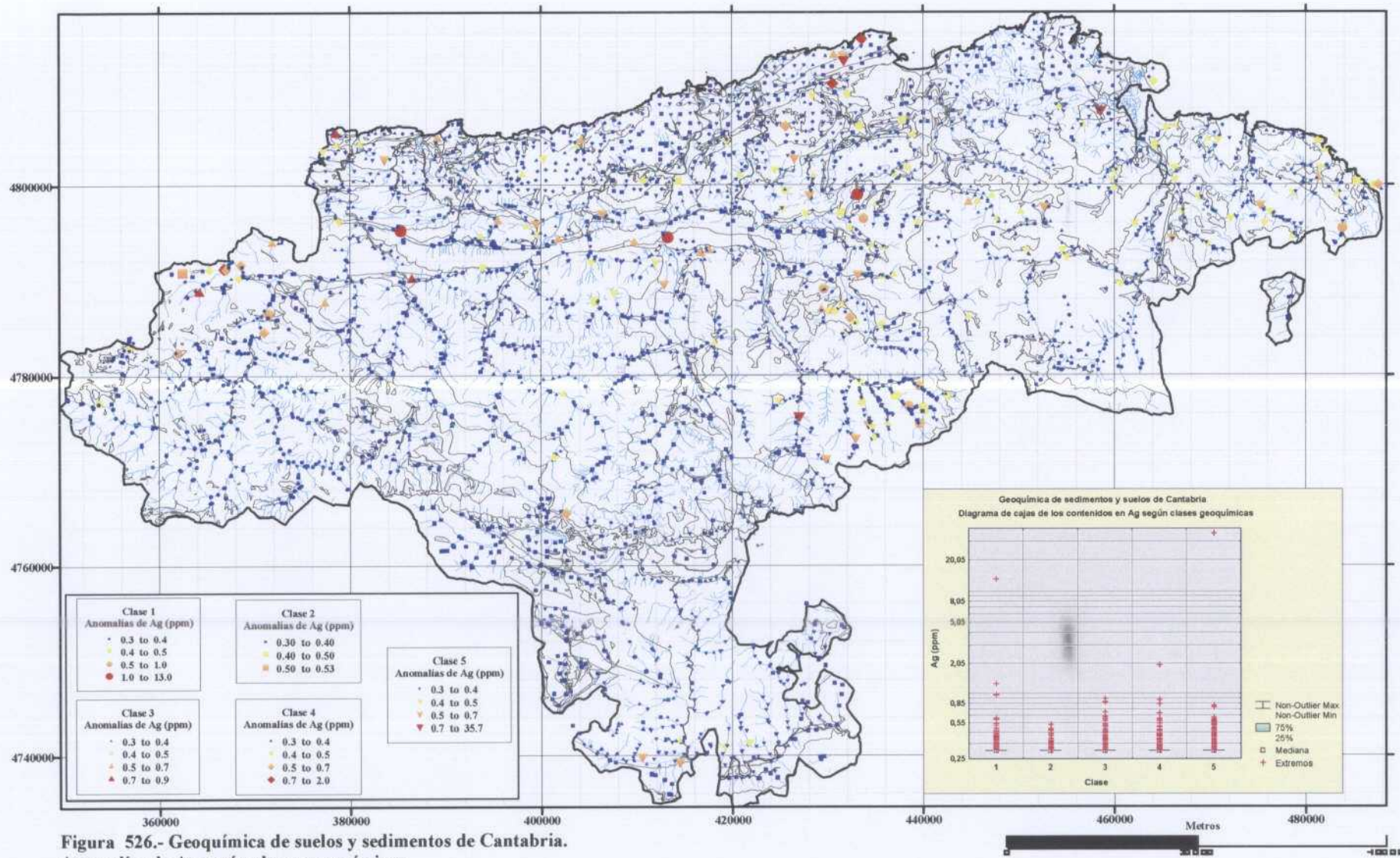


Figura 526.- Geoquímica de suelos y sedimentos de Cantabria.  
Anomalías de Ag según clases geoquímicas

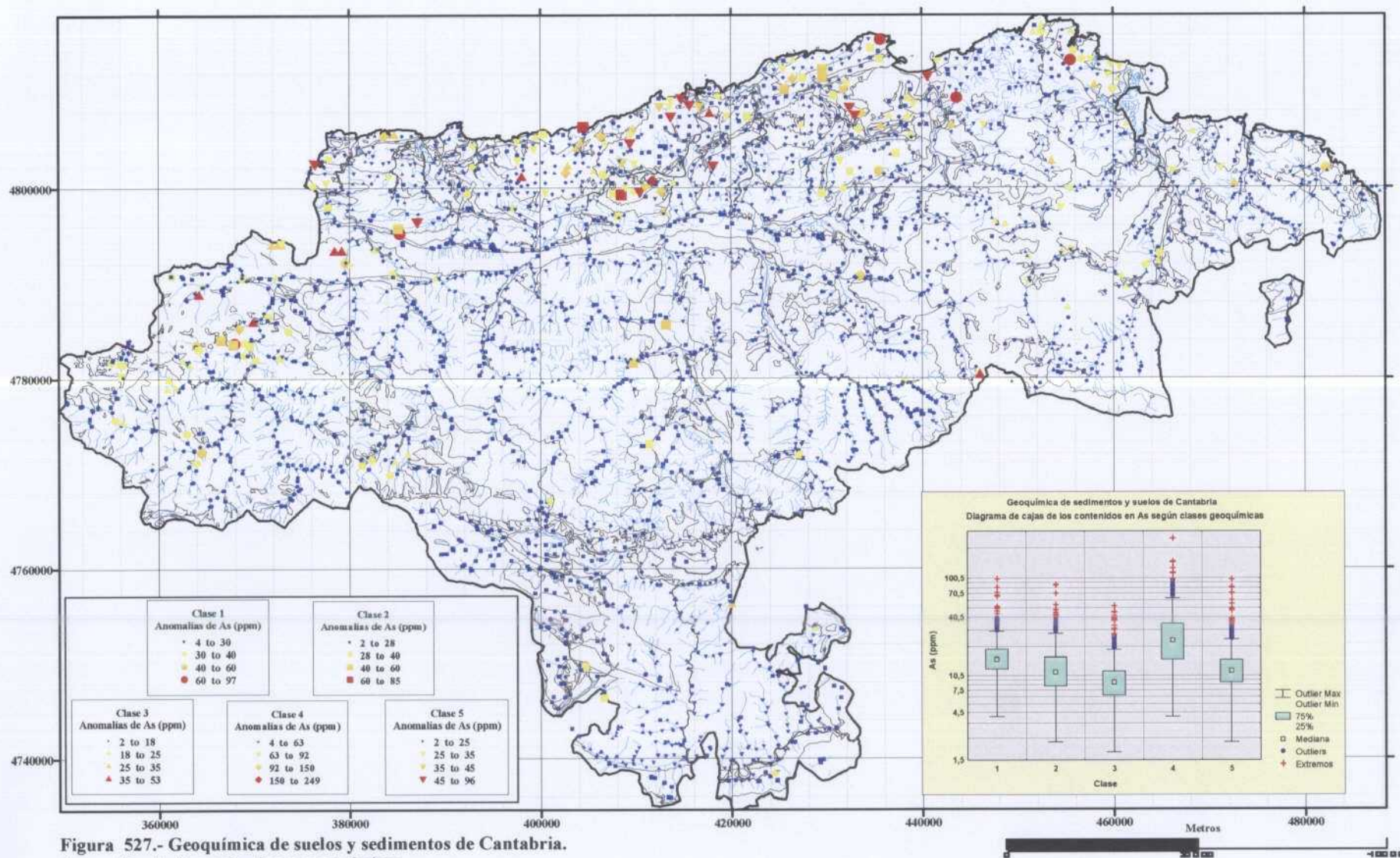


Figura 527.- Geoquímica de suelos y sedimentos de Cantabria.  
 Anomalías de As según clases geoquímicas

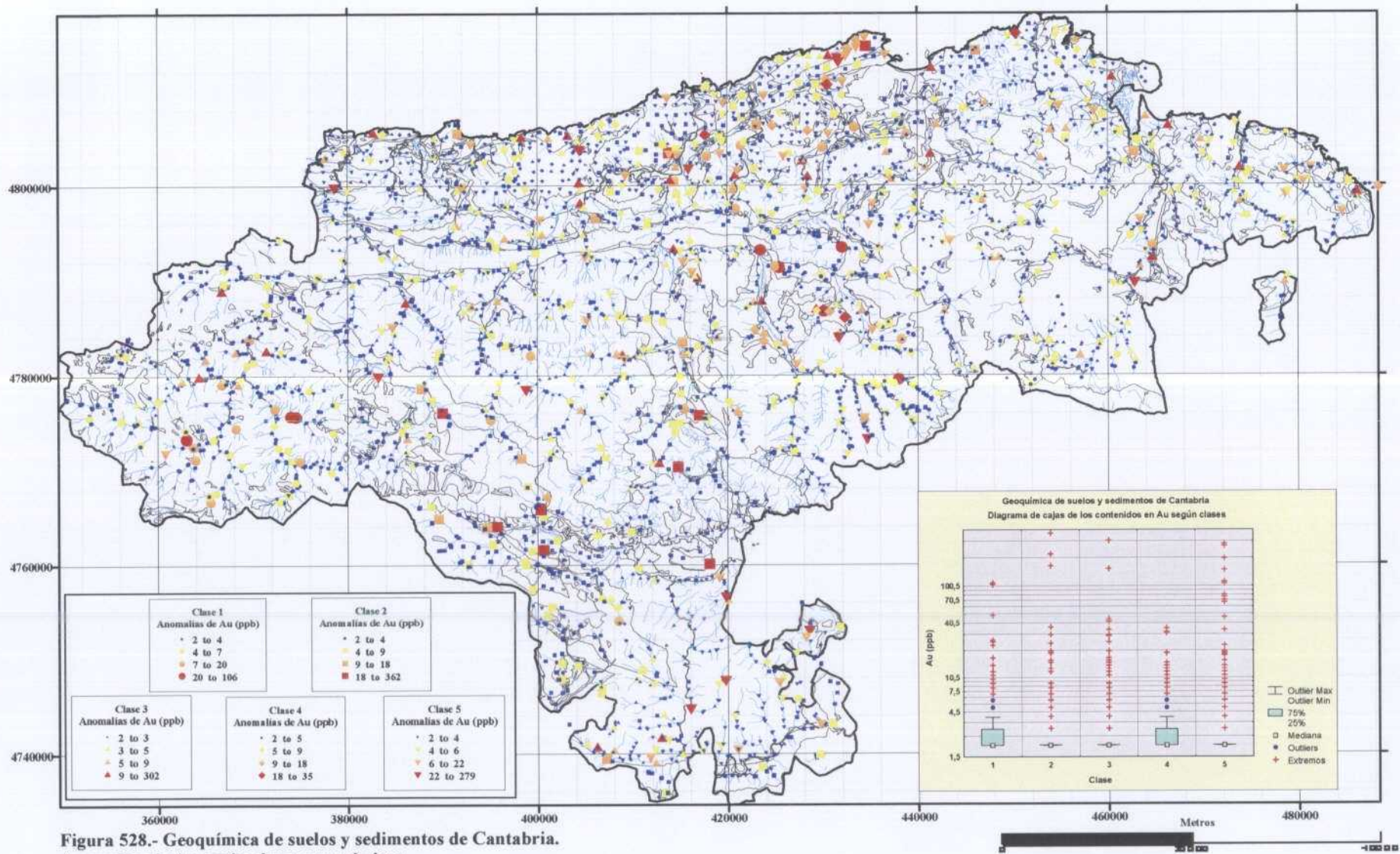


Figura 528.- Geoquímica de suelos y sedimentos de Cantabria.  
Anomalías de Au según clases geoquímicas

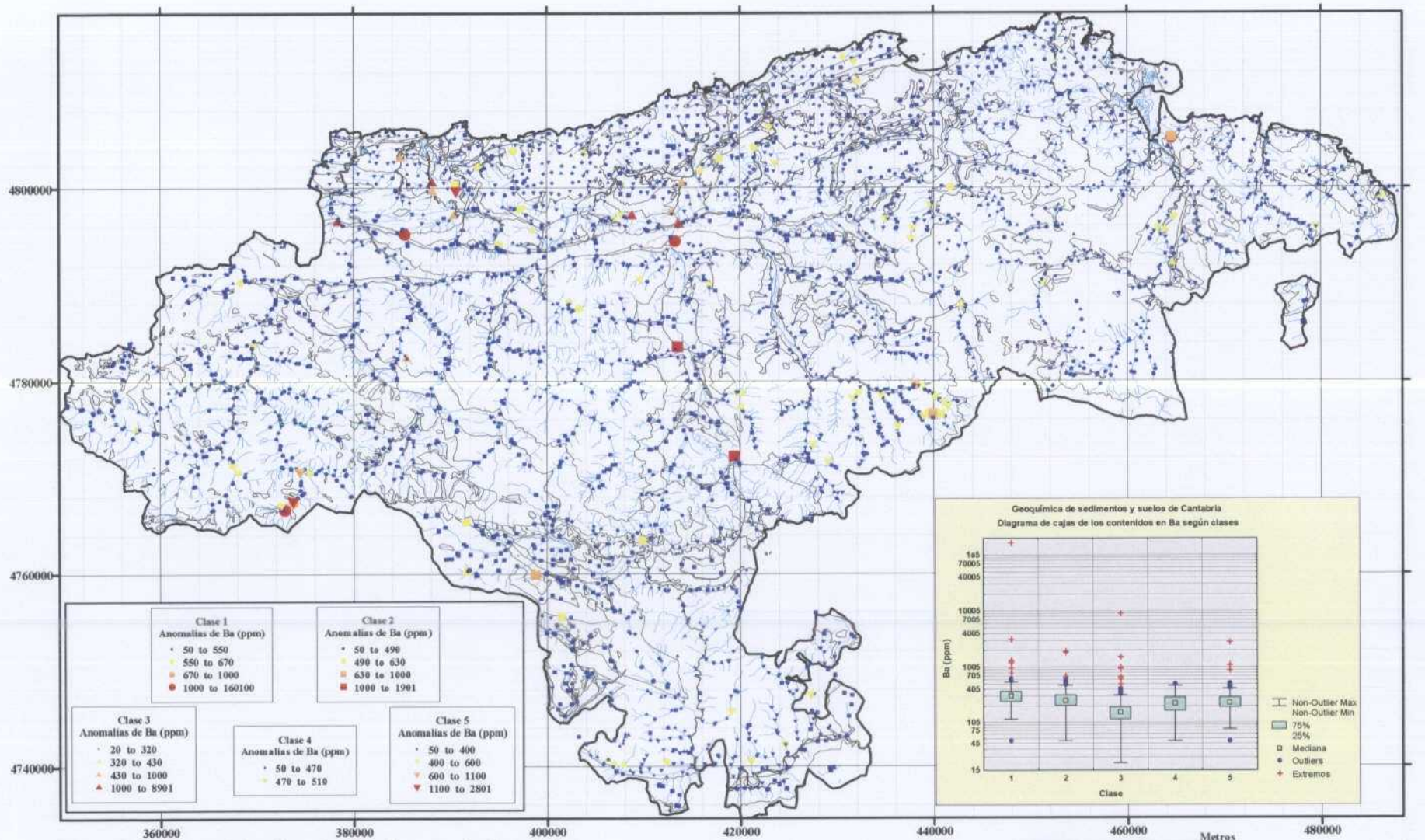


Figura 529.- Geoquímica de suelos y sedimentos de Cantabria.  
Anomalías de Ba según clases geoquímicas

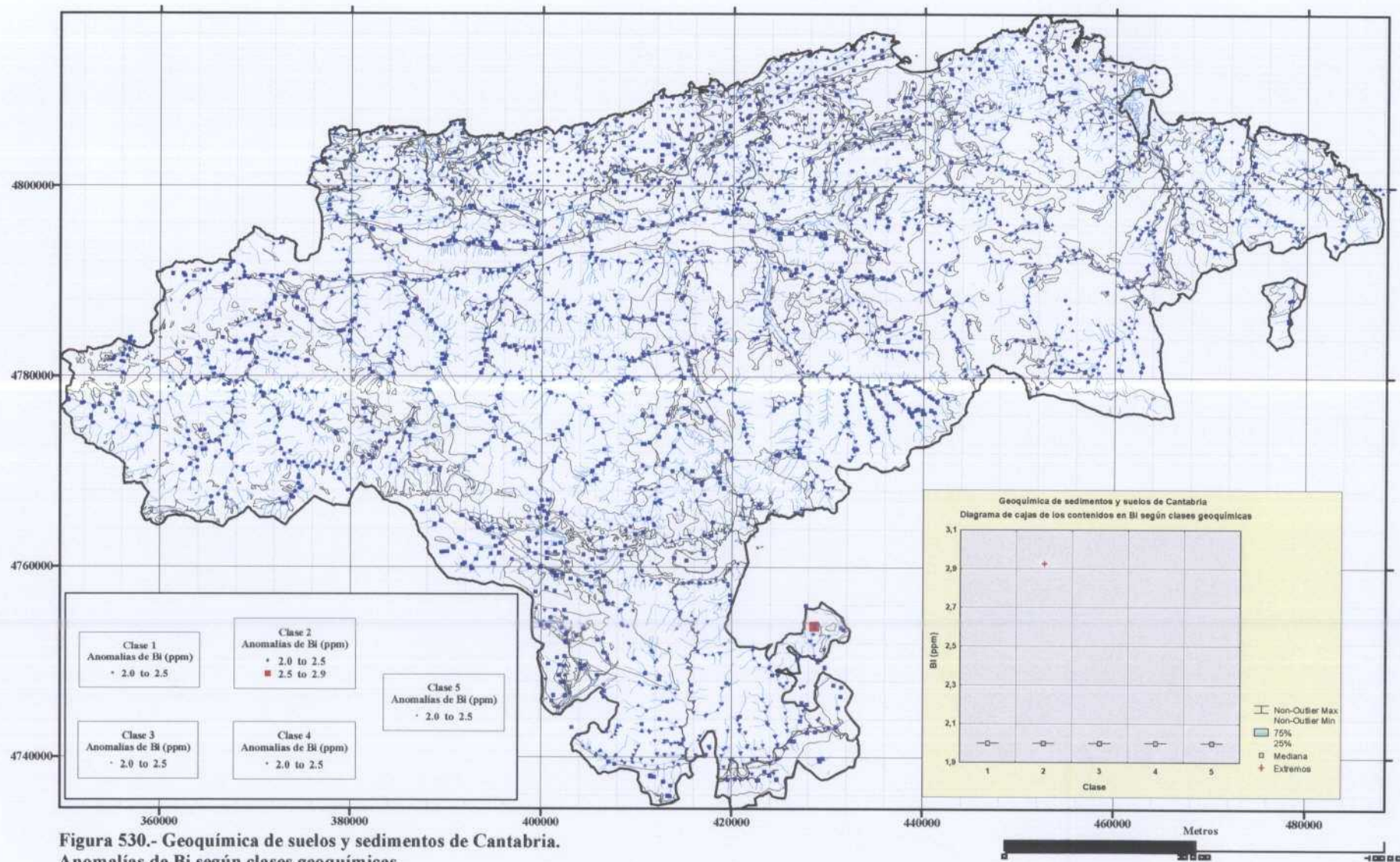


Figura 530.- Geoquímica de suelos y sedimentos de Cantabria. Anomalías de Bi según clases geoquímicas

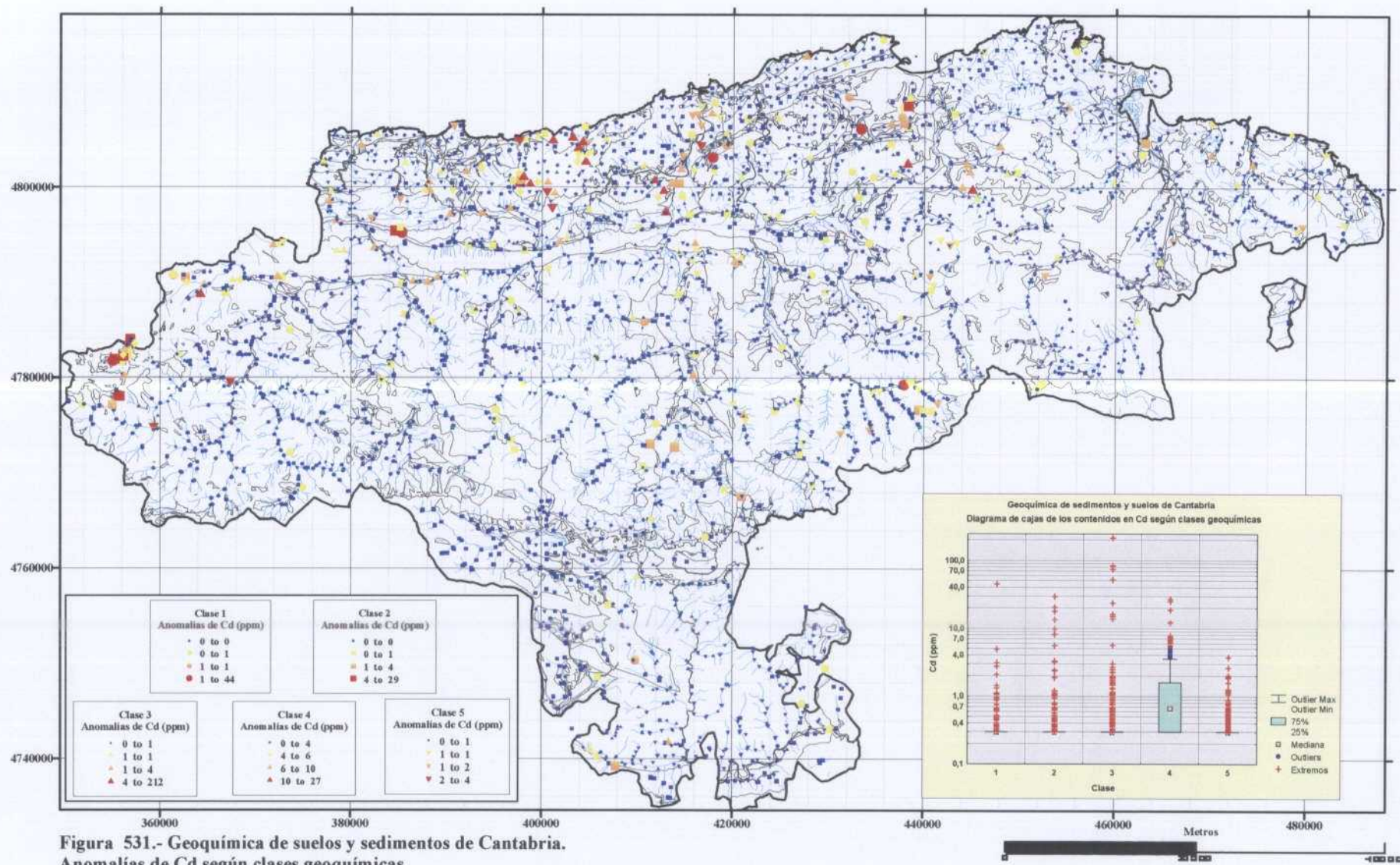


Figura 531.- Geoquímica de suelos y sedimentos de Cantabria. Anomalías de Cd según clases geoquímicas

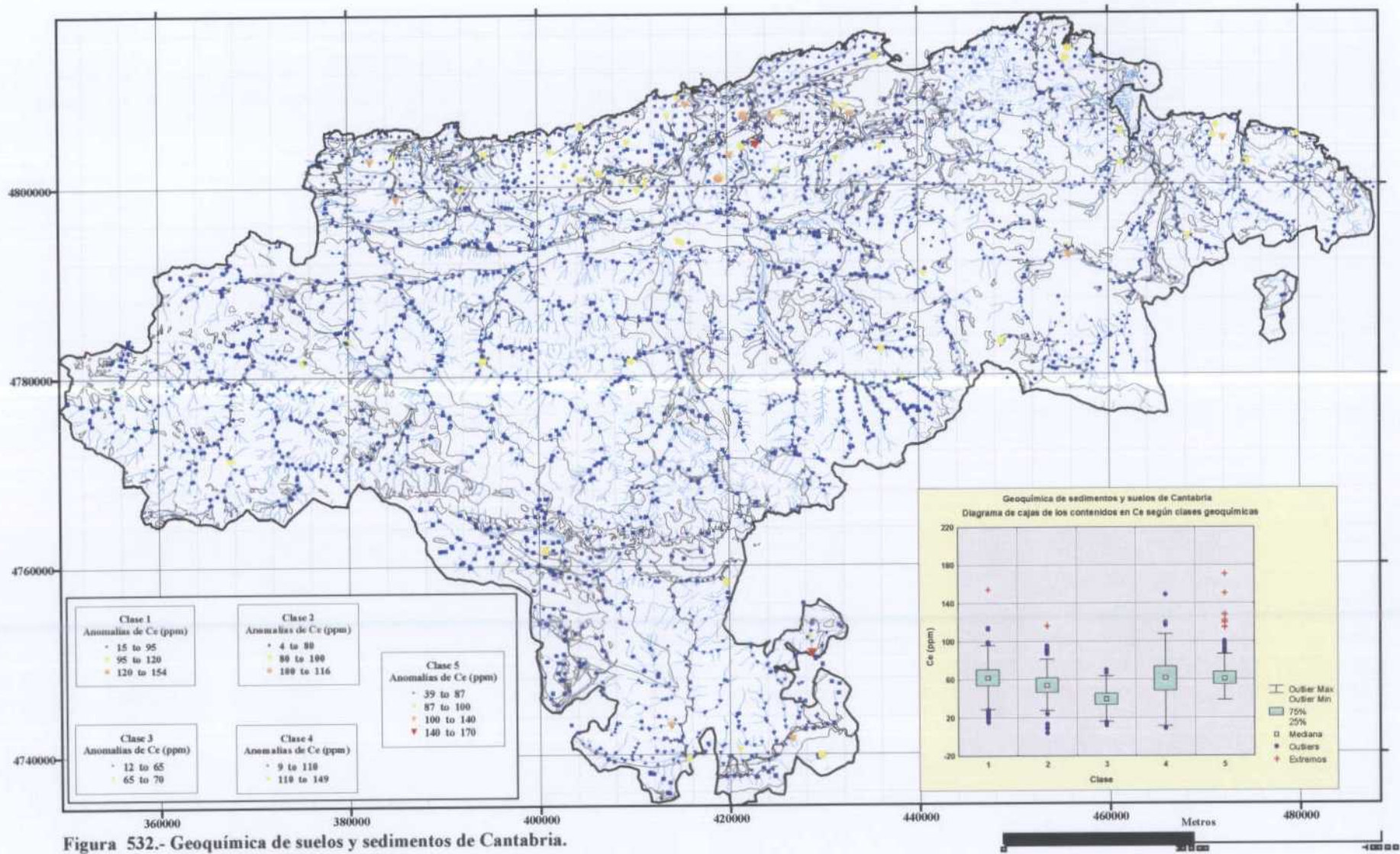


Figura 532.- Geoquímica de suelos y sedimentos de Cantabria.  
Anomalías de Ce según clases geoquímicas

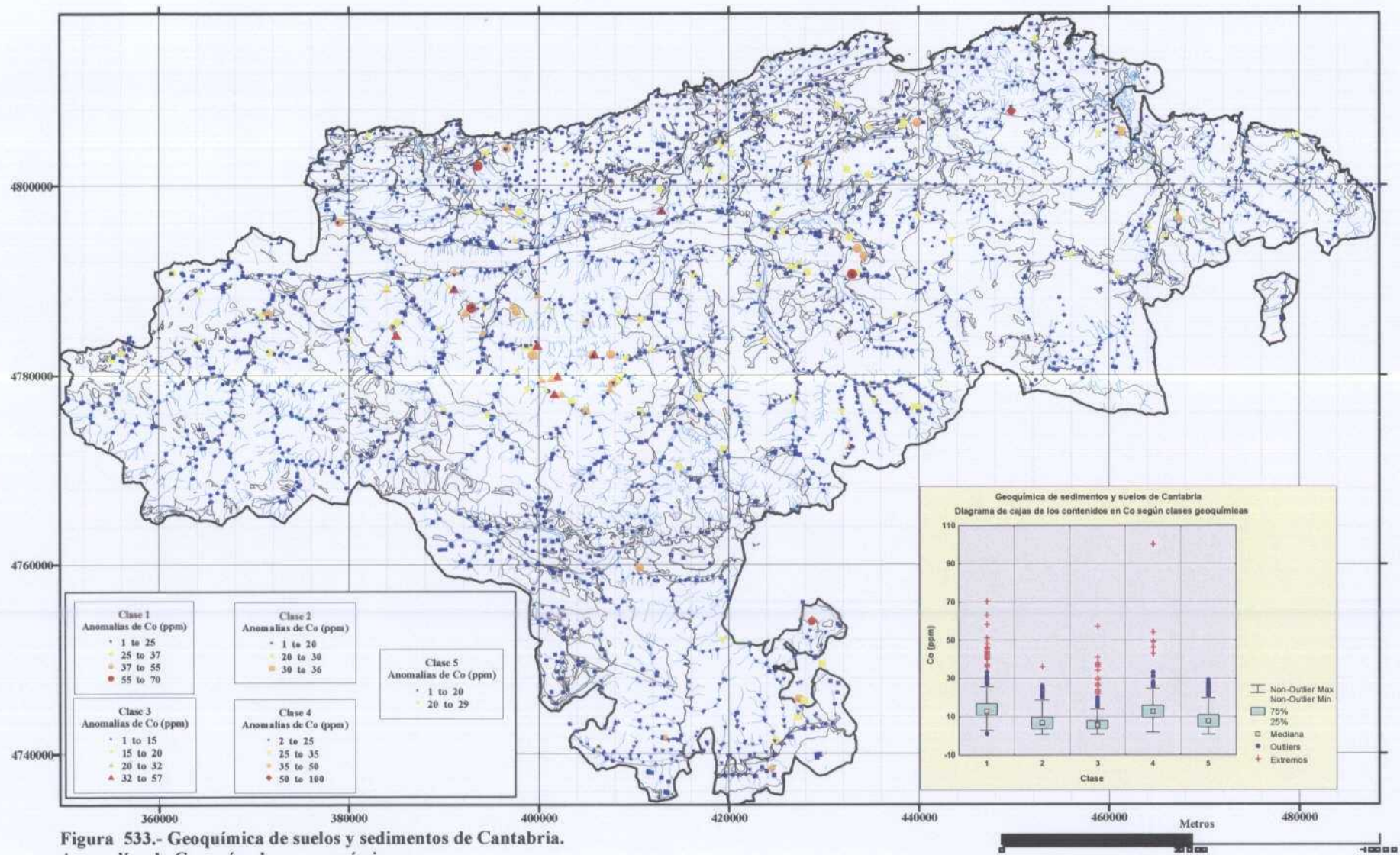


Figura 533.- Geoquímica de suelos y sedimentos de Cantabria.  
 Anomalías de Co según clases geoquímicas



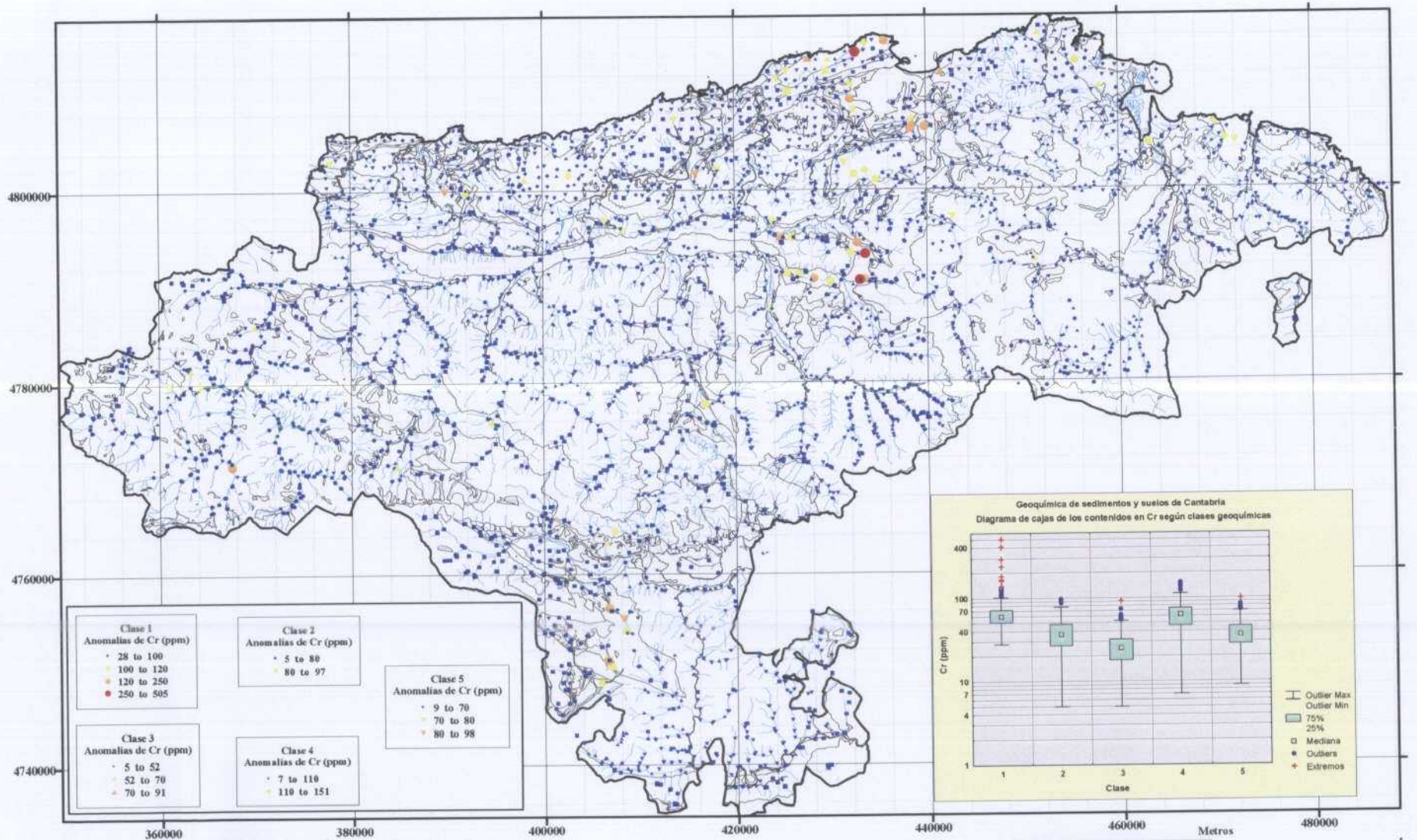


Figura 534.- Geoquímica de suelos y sedimentos de Cantabria.  
 Anomalías de Cr según clases geoquímicas

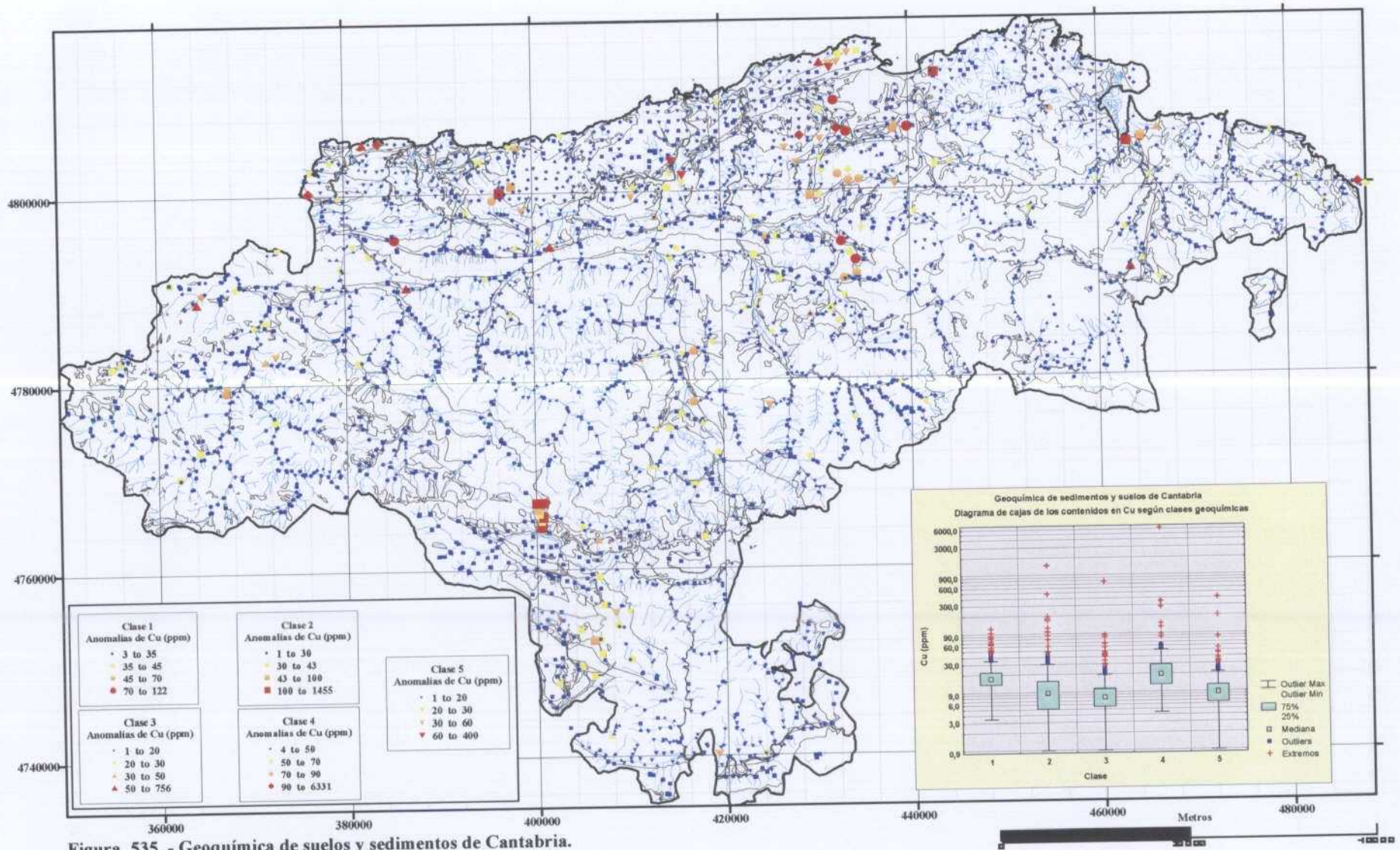


Figura 535.- Geoquímica de suelos y sedimentos de Cantabria.  
 Anomalías de Cu según clases geoquímicas

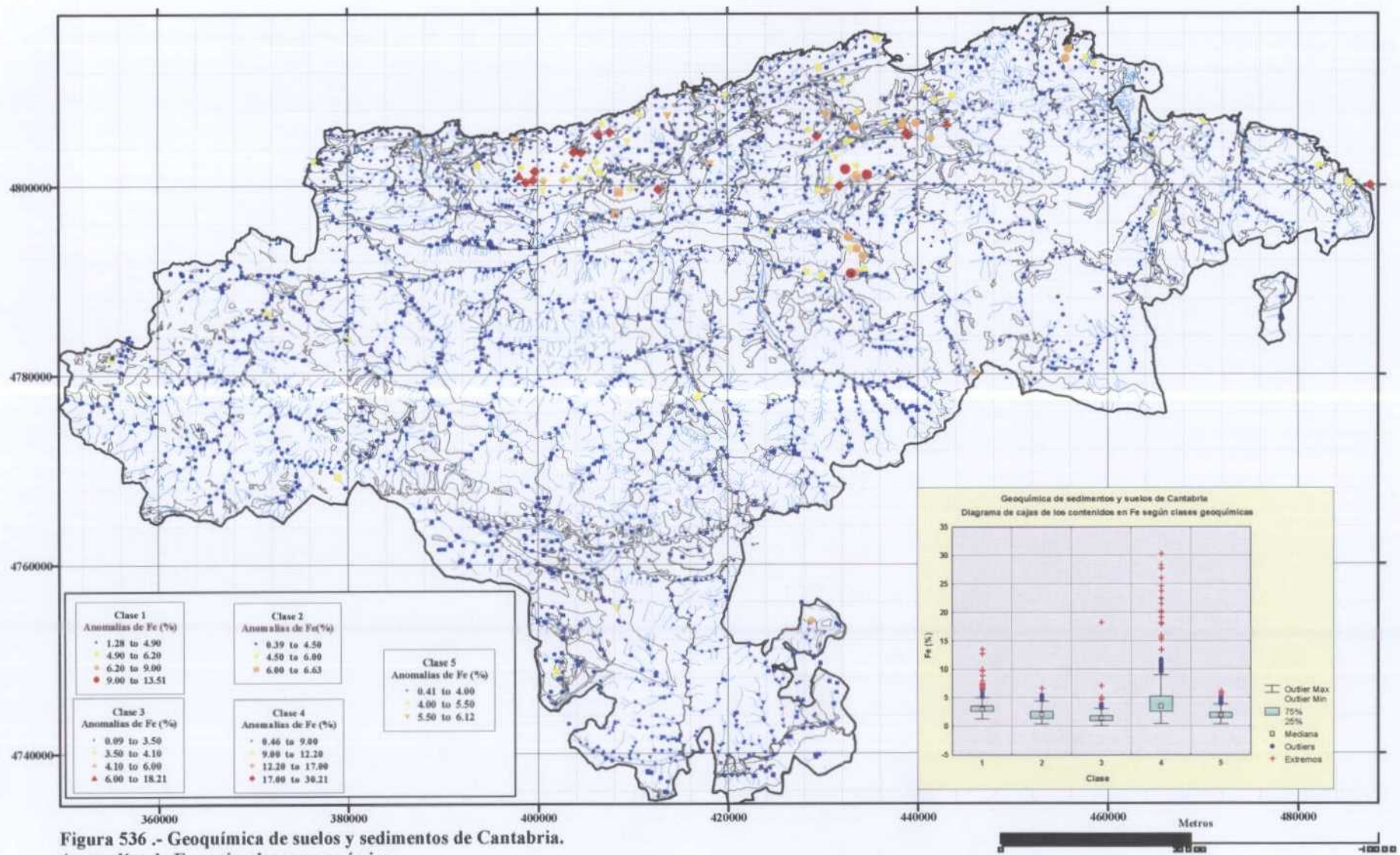


Figura 536.- Geoquímica de suelos y sedimentos de Cantabria. Anomalías de Fe según clases geoquímicas

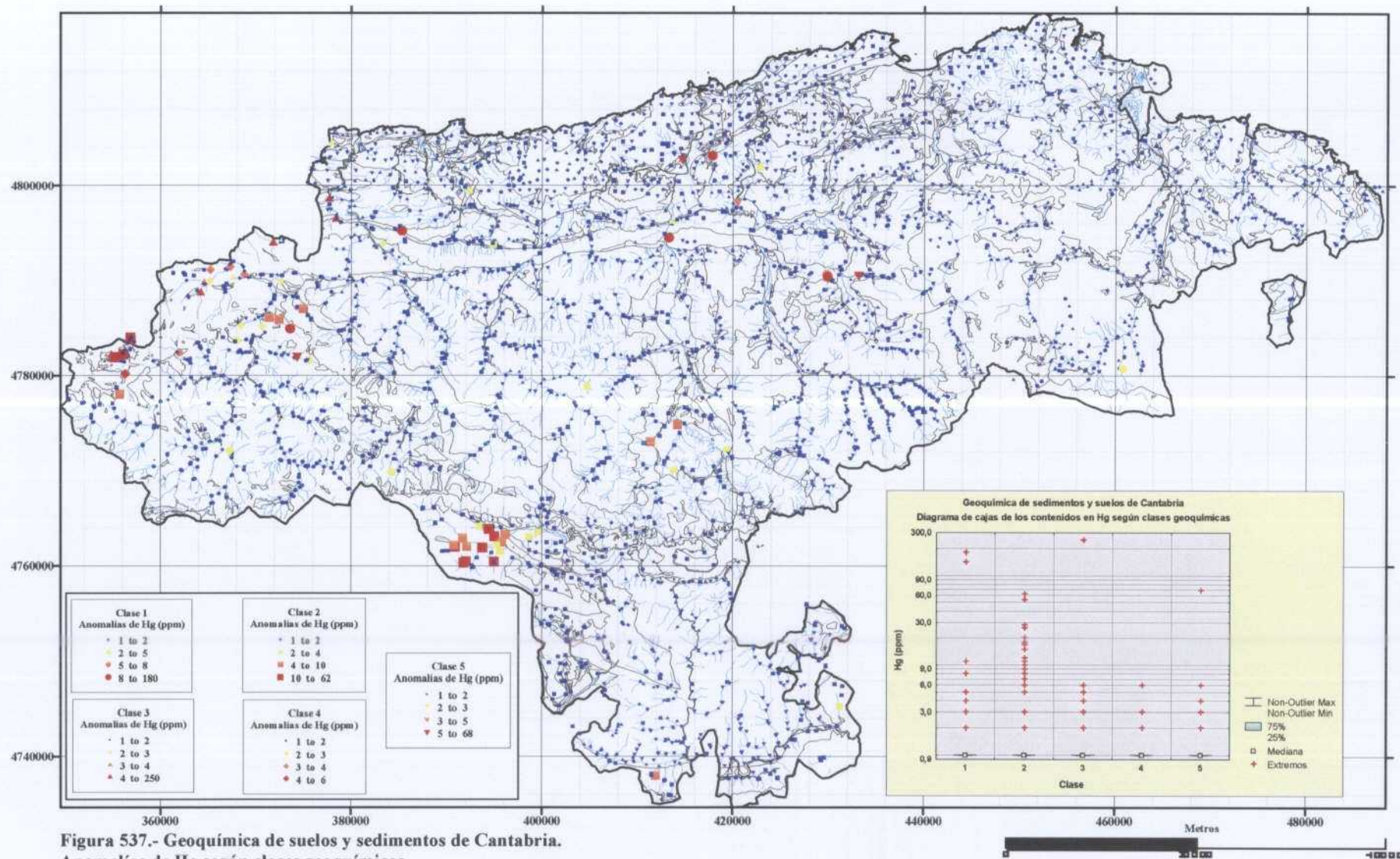


Figura 537.- Geoquímica de suelos y sedimentos de Cantabria. Anomalías de Hg según clases geoquímicas

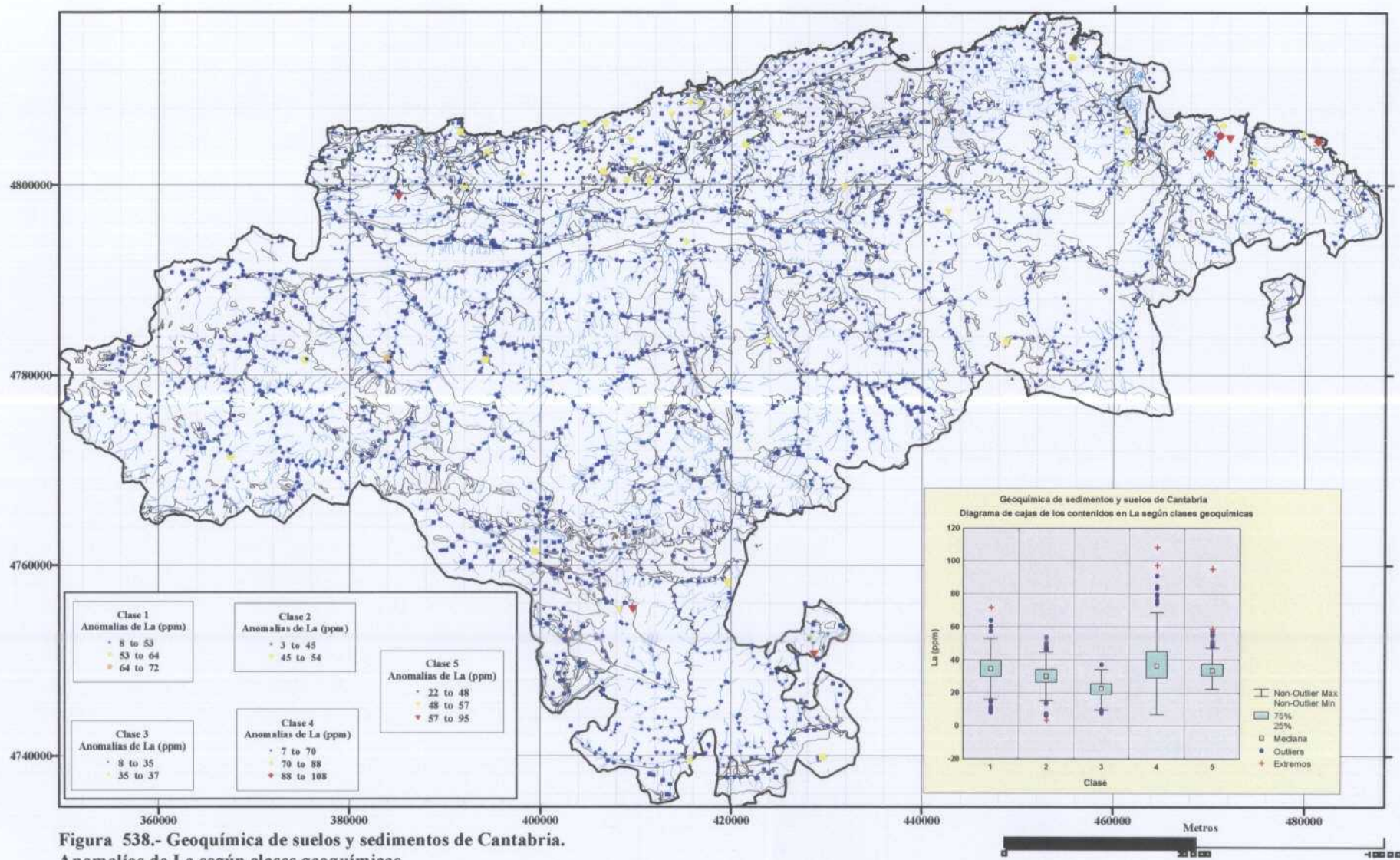


Figura 538.- Geoquímica de suelos y sedimentos de Cantabria.  
 Anomalías de La según clases geoquímicas

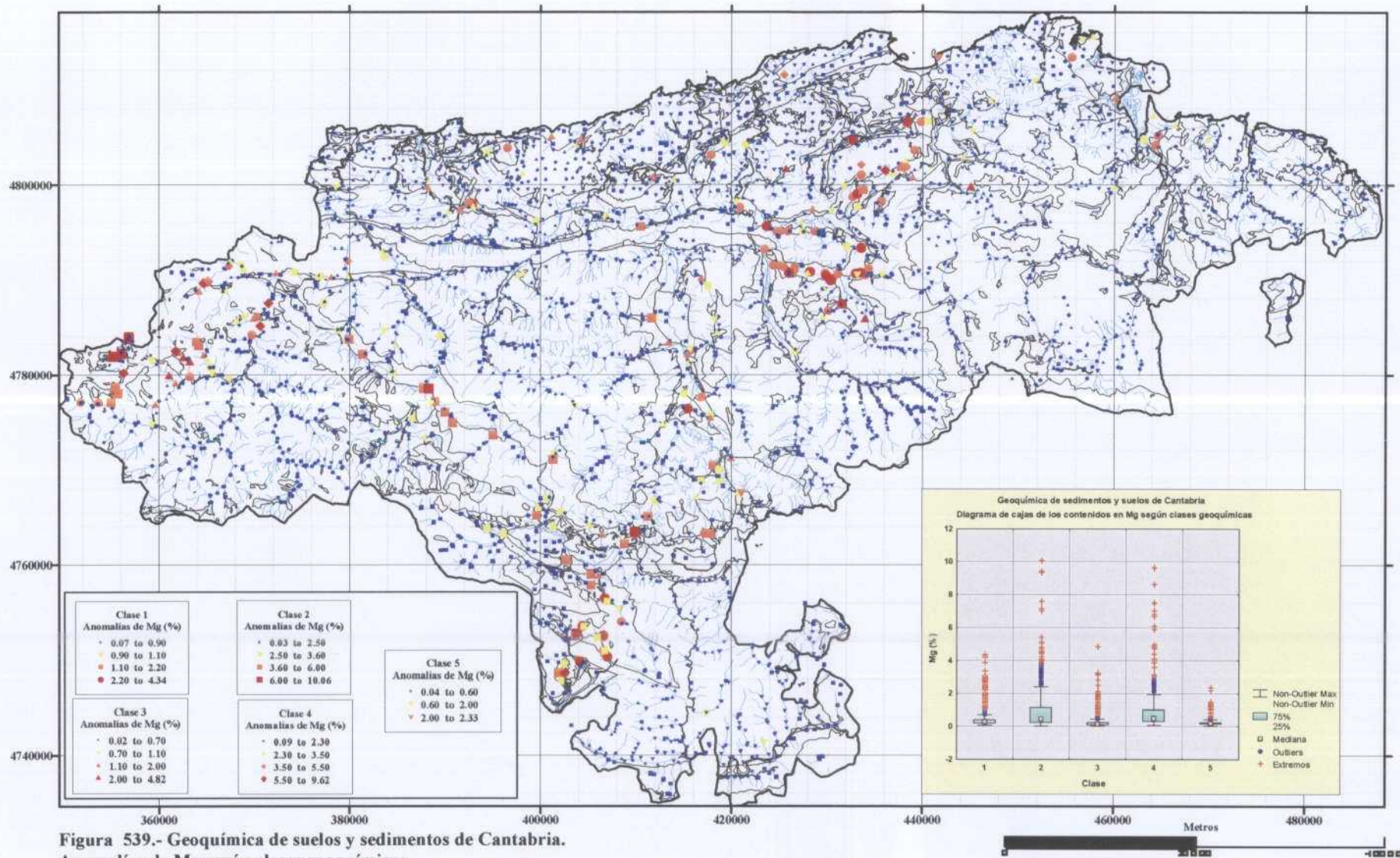


Figura 539.- Geoquímica de suelos y sedimentos de Cantabria.  
 Anomalías de Mg según clases geoquímicas

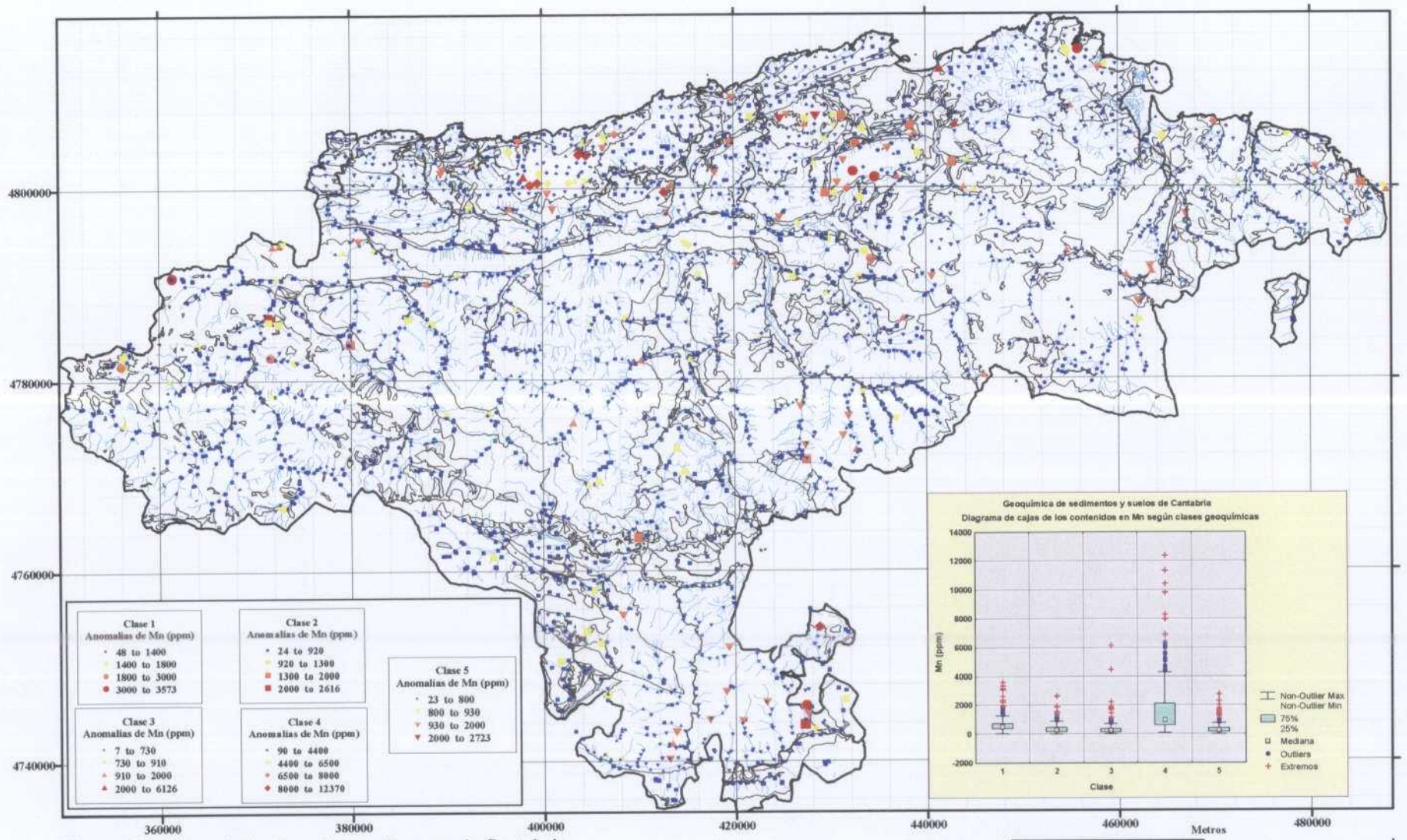


Figura 540.- Geoquímica de suelos y sedimentos de Cantabria. Anomalías de Mn según clases geoquímicas

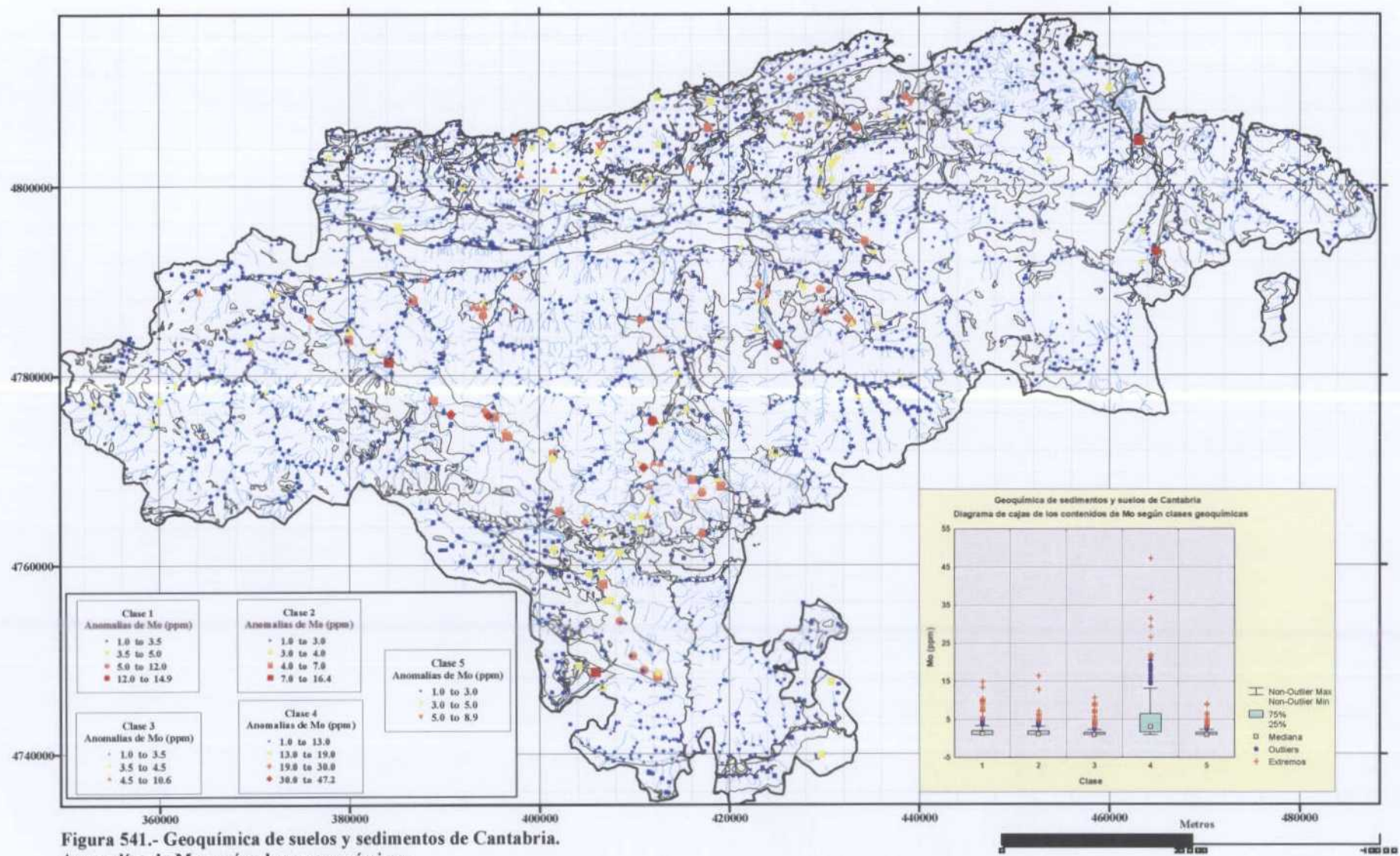


Figura 541.- Geoquímica de suelos y sedimentos de Cantabria. Anomalías de Mo según clases geoquímicas



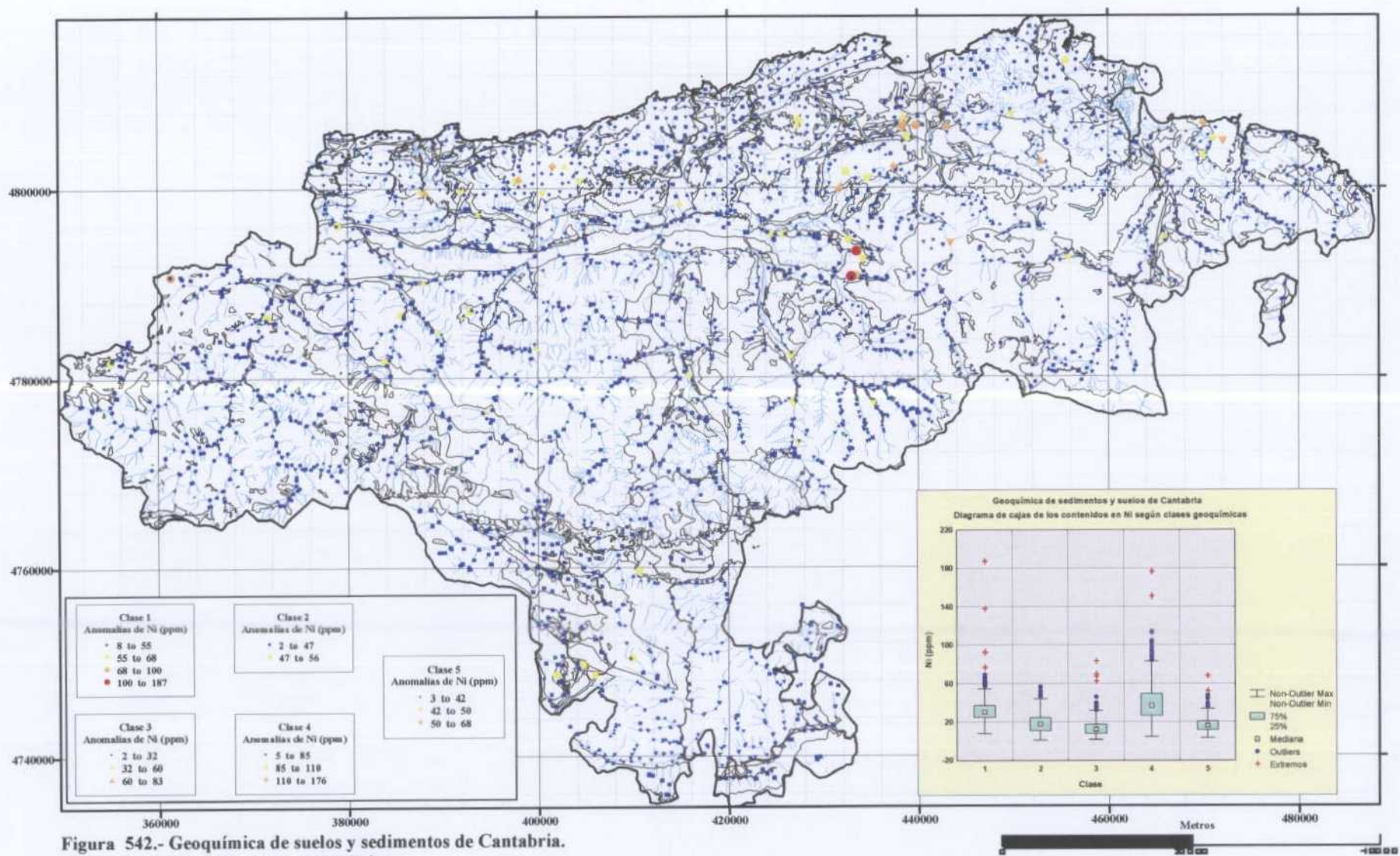


Figura 542.- Geoquímica de suelos y sedimentos de Cantabria.  
 Anomalías de Ni según clases geoquímicas

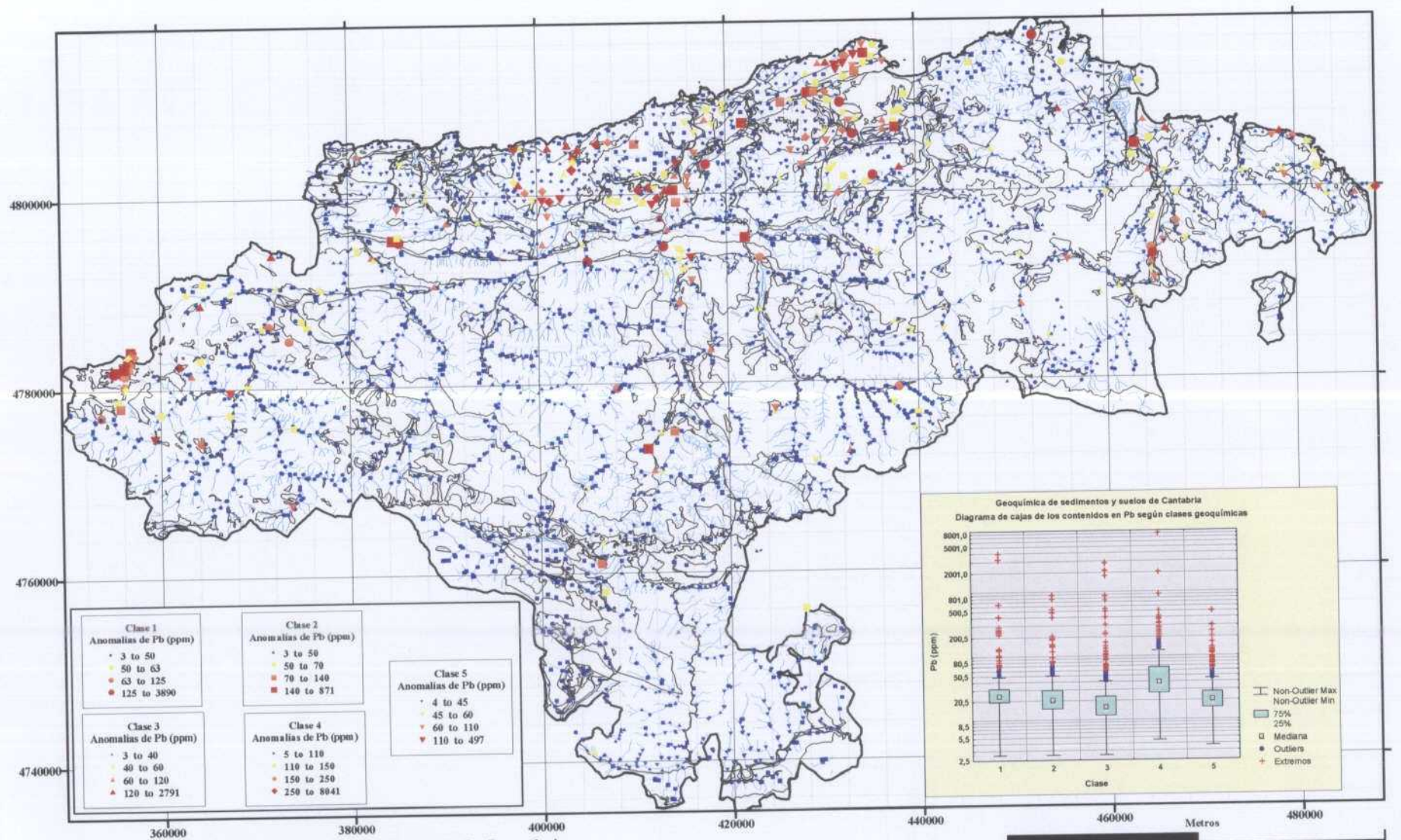


Figura 543.- Geoquímica de suelos y sedimentos de Cantabria.  
Anomalías de Pb según clases geoquímicas

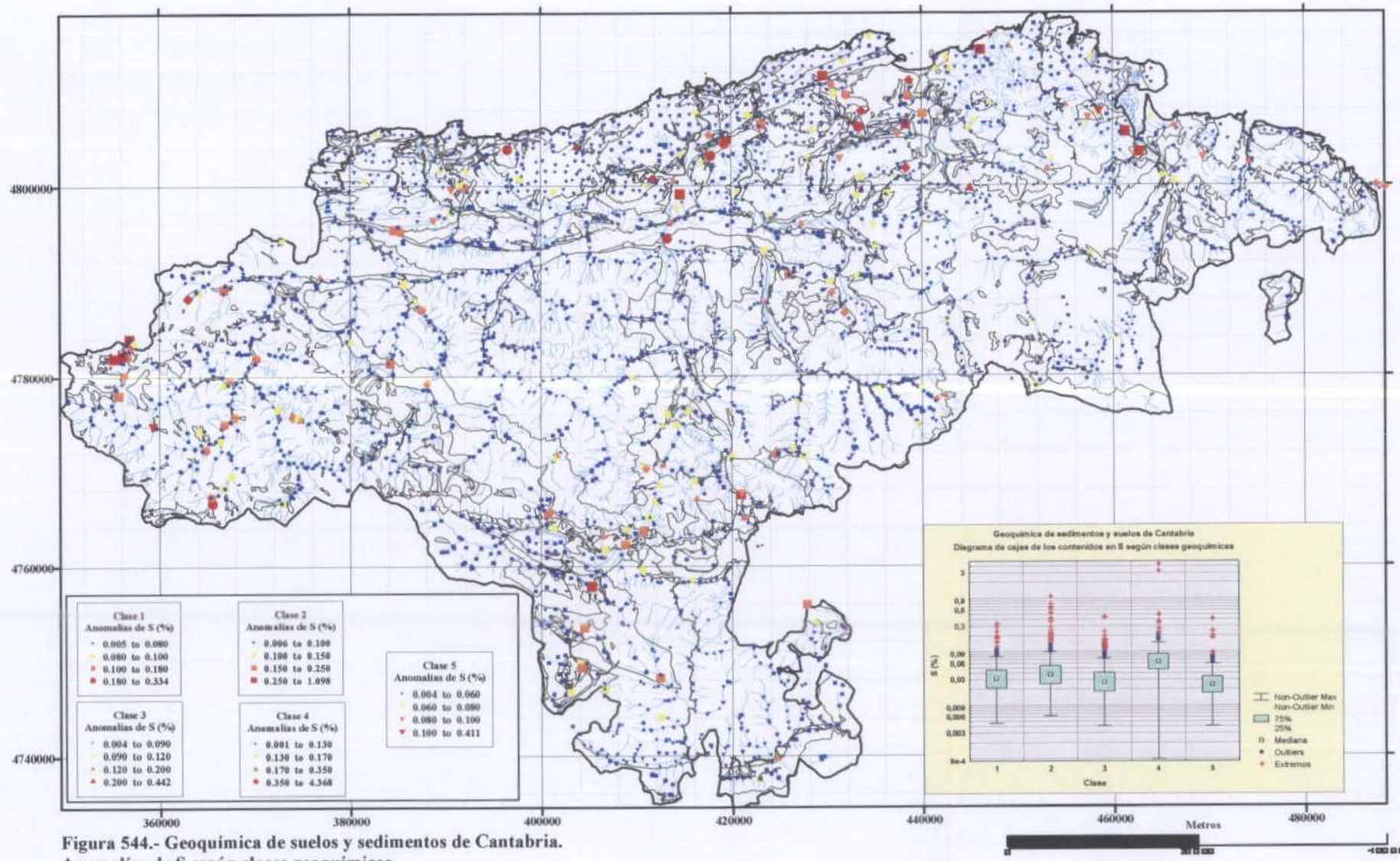


Figura 544.- Geoquímica de suelos y sedimentos de Cantabria.  
Anomalías de S según clases geoquímicas

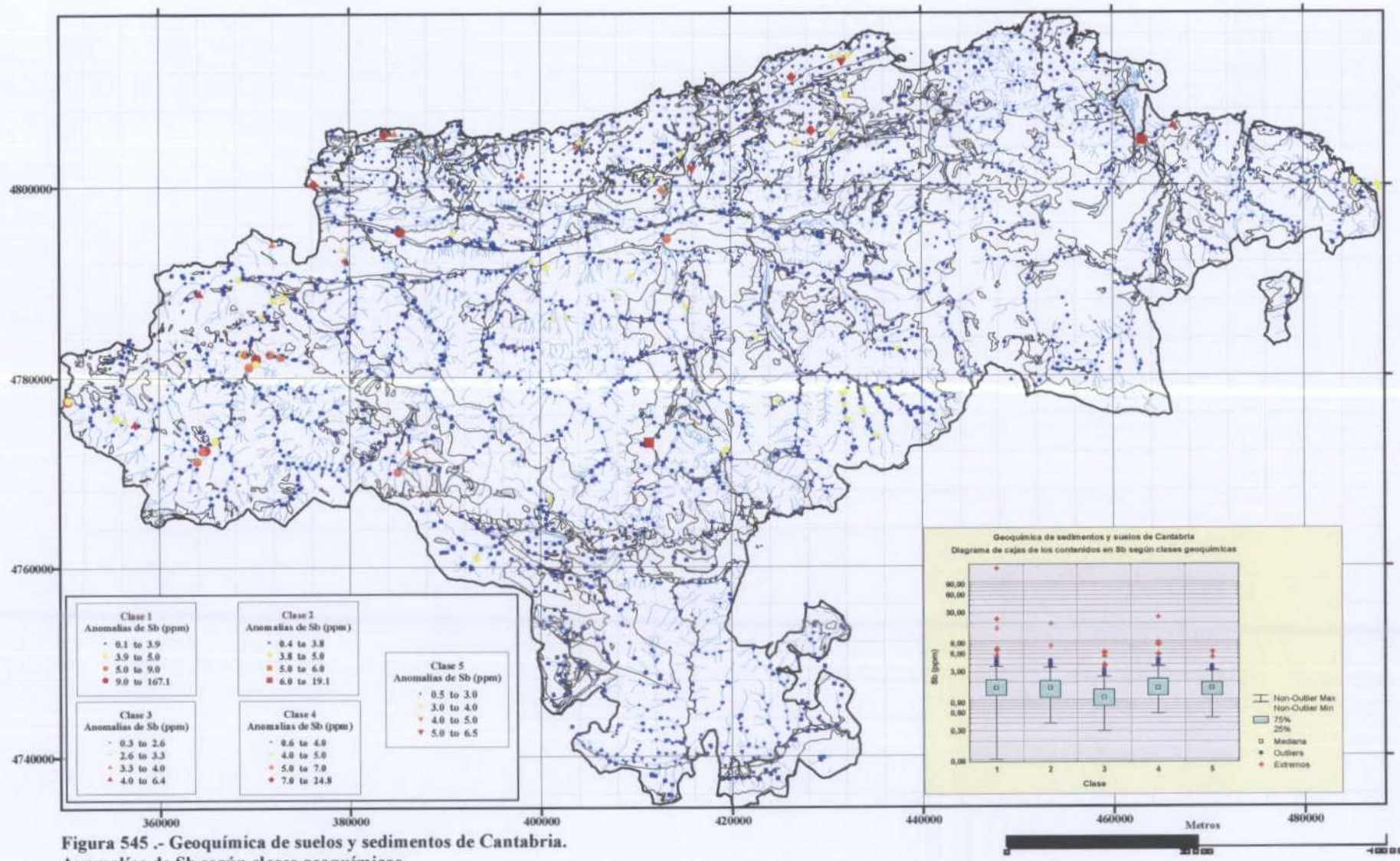


Figura 545.- Geoquímica de suelos y sedimentos de Cantabria.  
Anomalías de Sb según clases geoquímicas

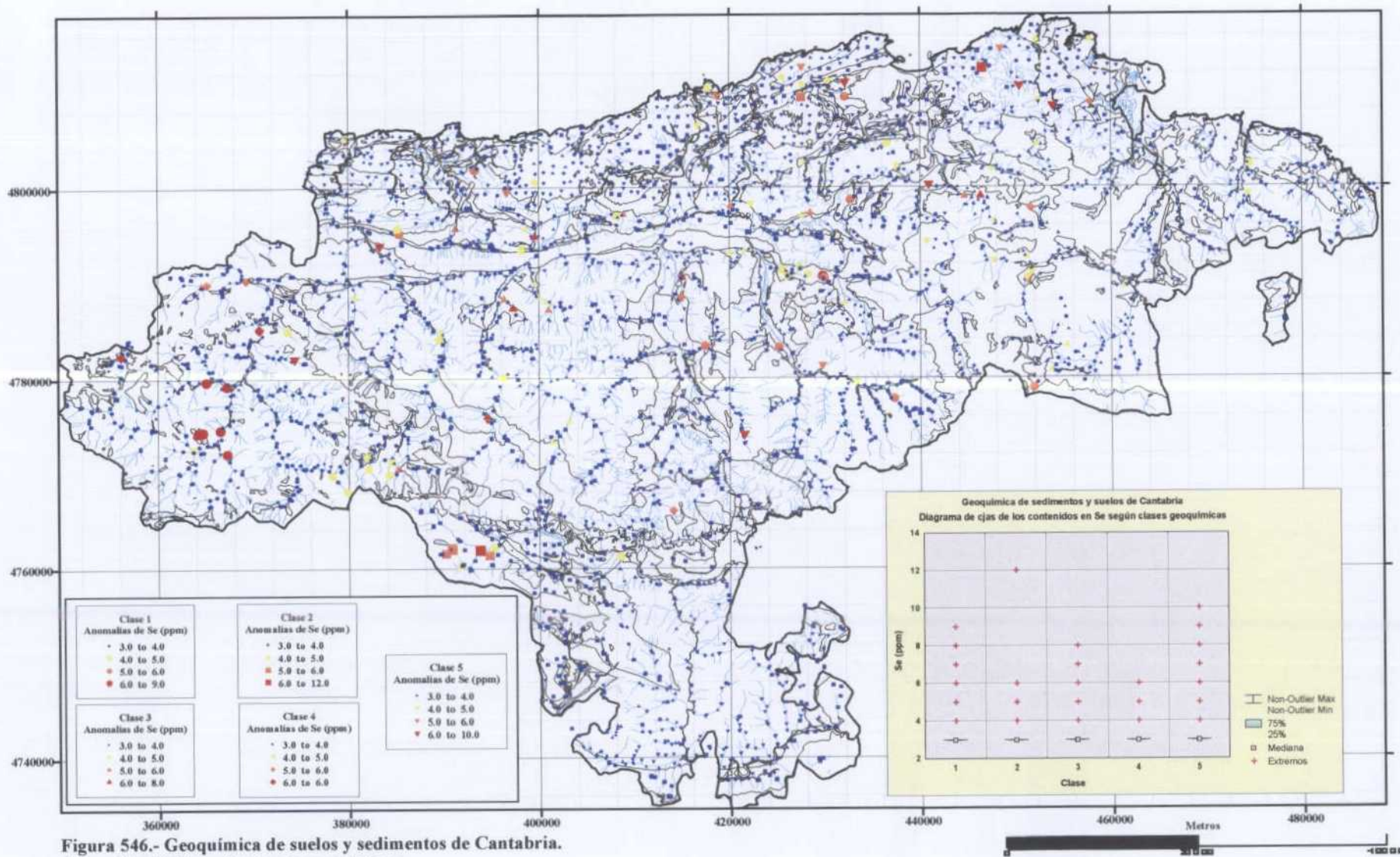


Figura 546.- Geoquímica de suelos y sedimentos de Cantabria. Anomalías de Se según clases geoquímicas

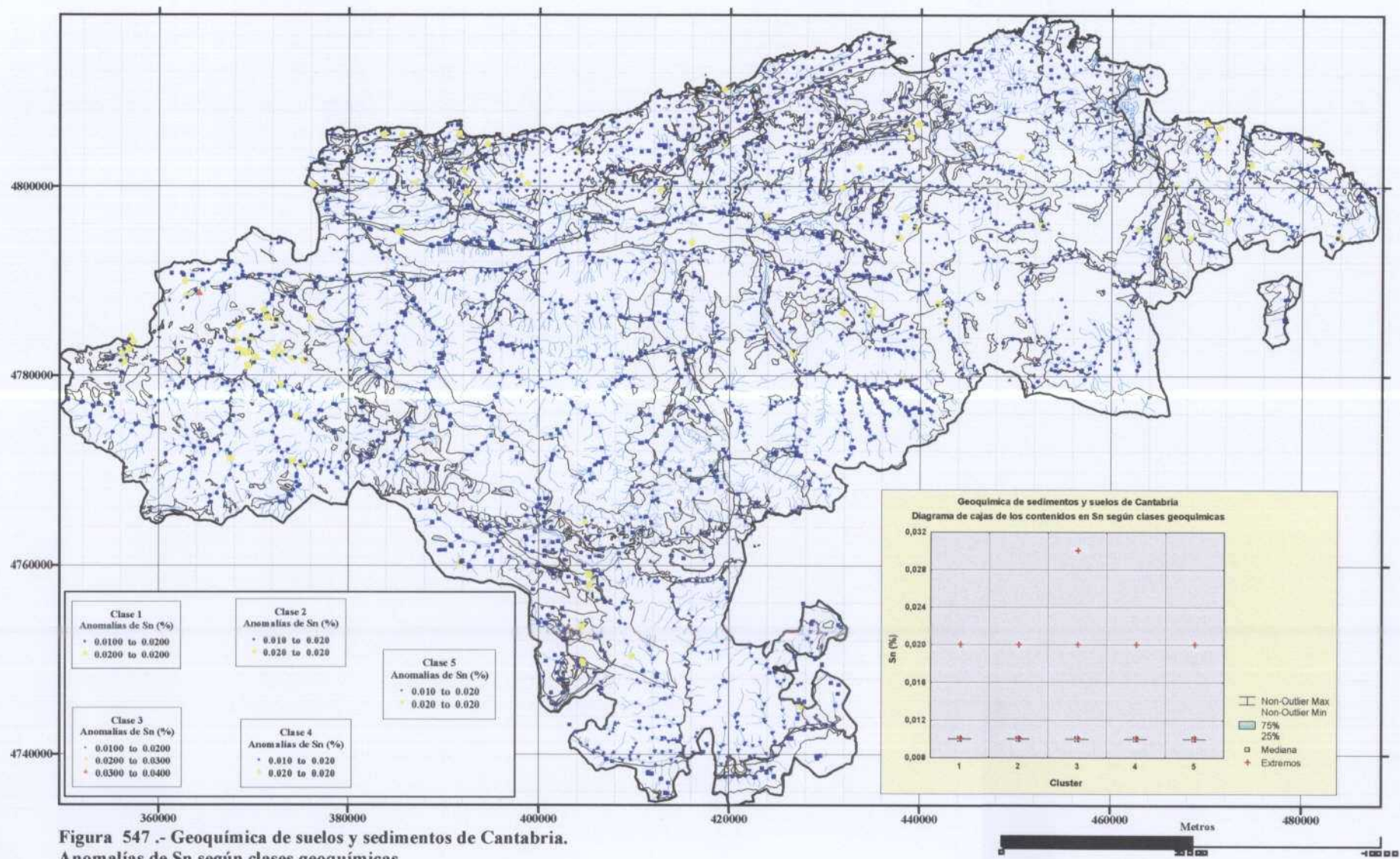


Figura 547.- Geoquímica de suelos y sedimentos de Cantabria.  
 Anomalías de Sn según clases geoquímicas

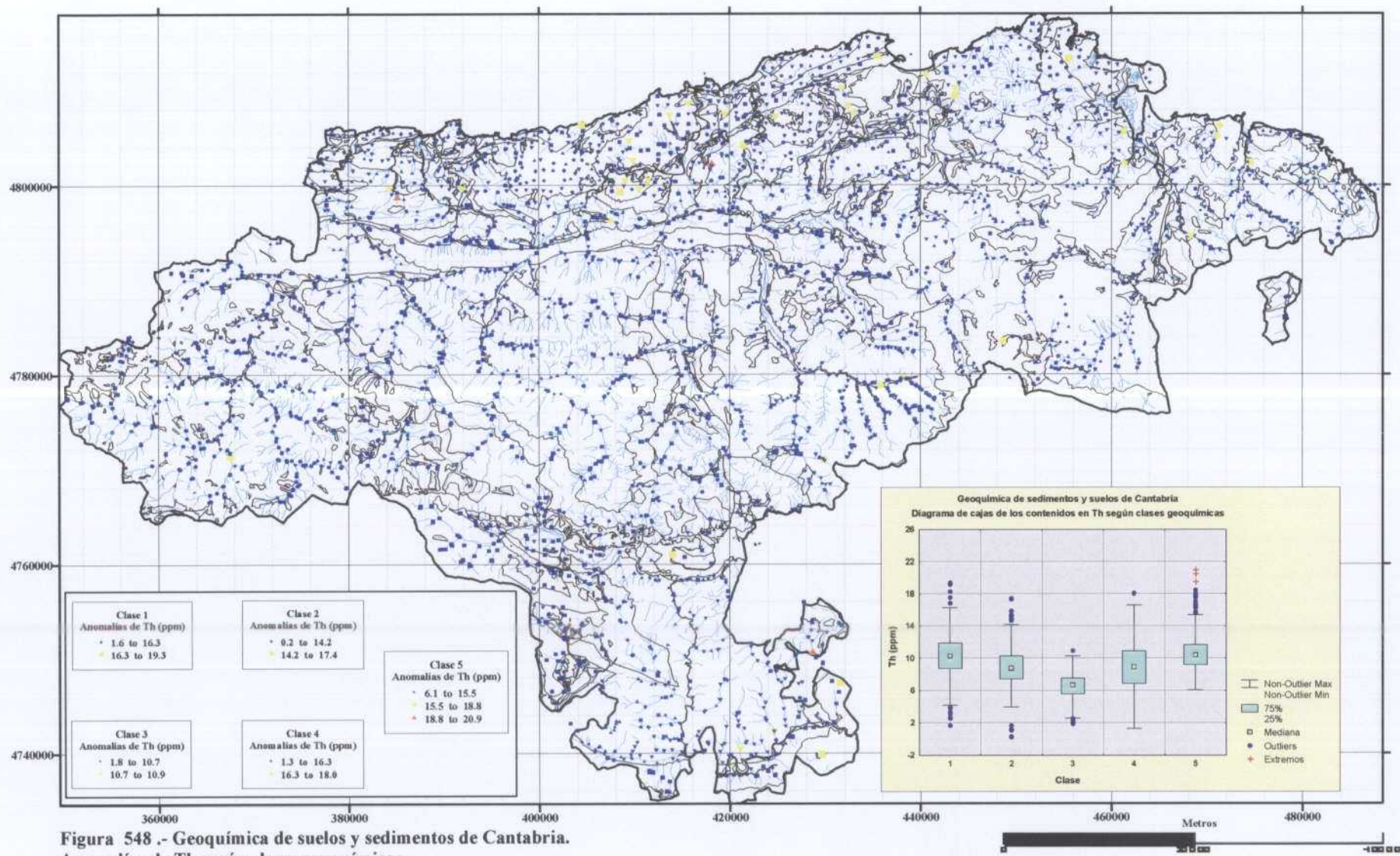


Figura 548.- Geoquímica de suelos y sedimentos de Cantabria. Anomalías de Th según clases geoquímicas

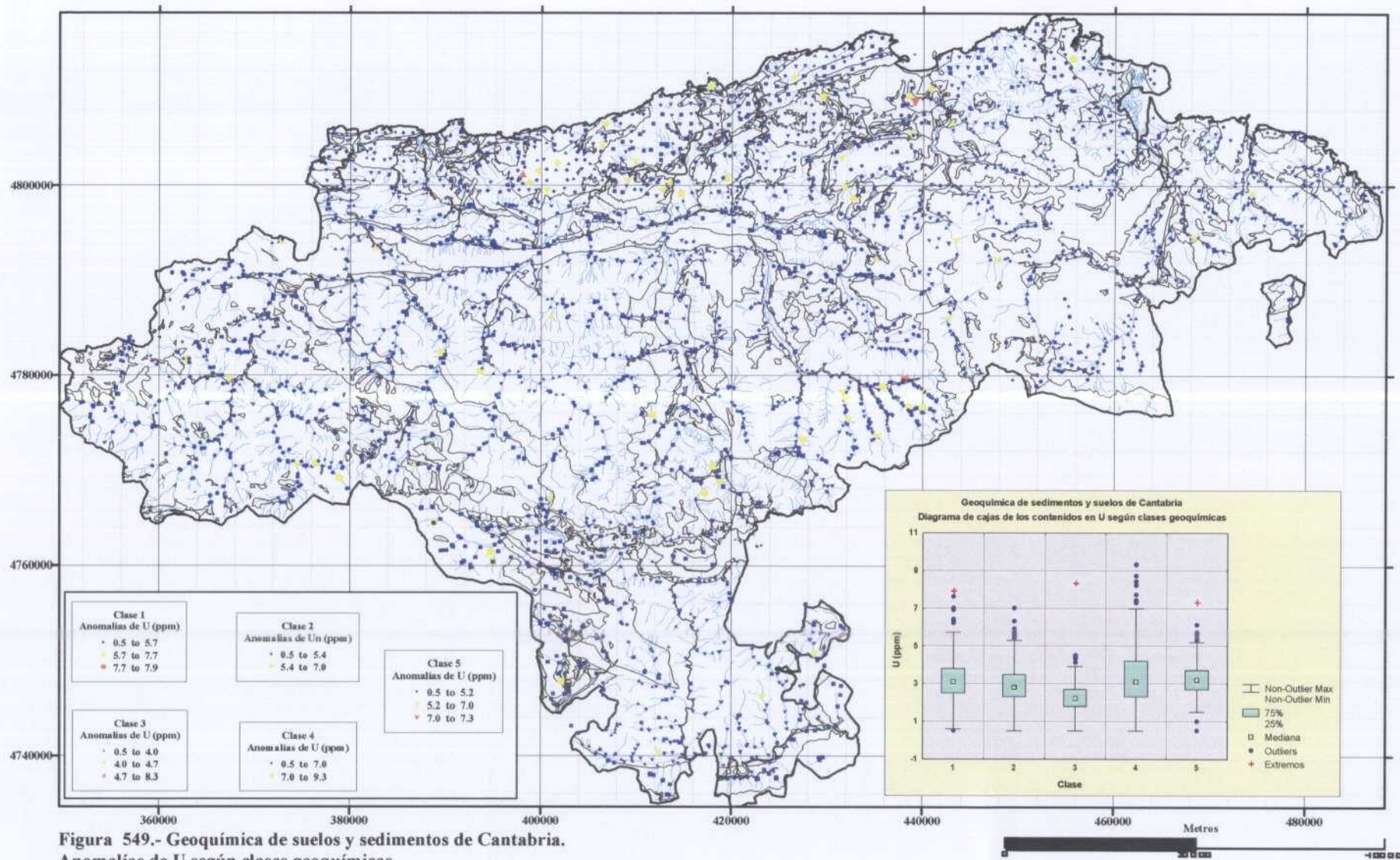


Figura 549.- Geoquímica de suelos y sedimentos de Cantabria. Anomalías de U según clases geoquímicas



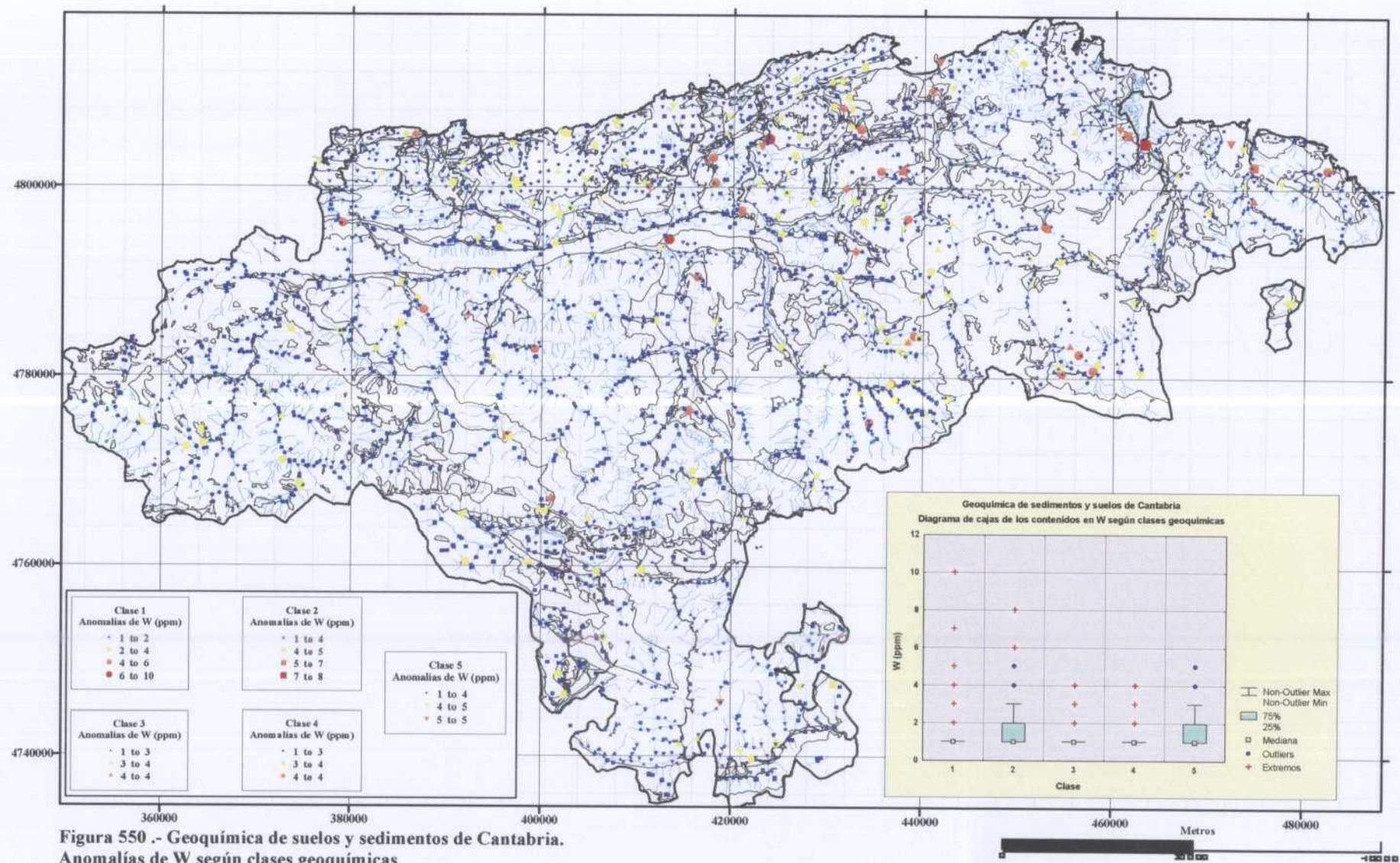


Figura 550.- Geoquímica de suelos y sedimentos de Cantabria.  
 Anomalías de W según clases geoquímicas

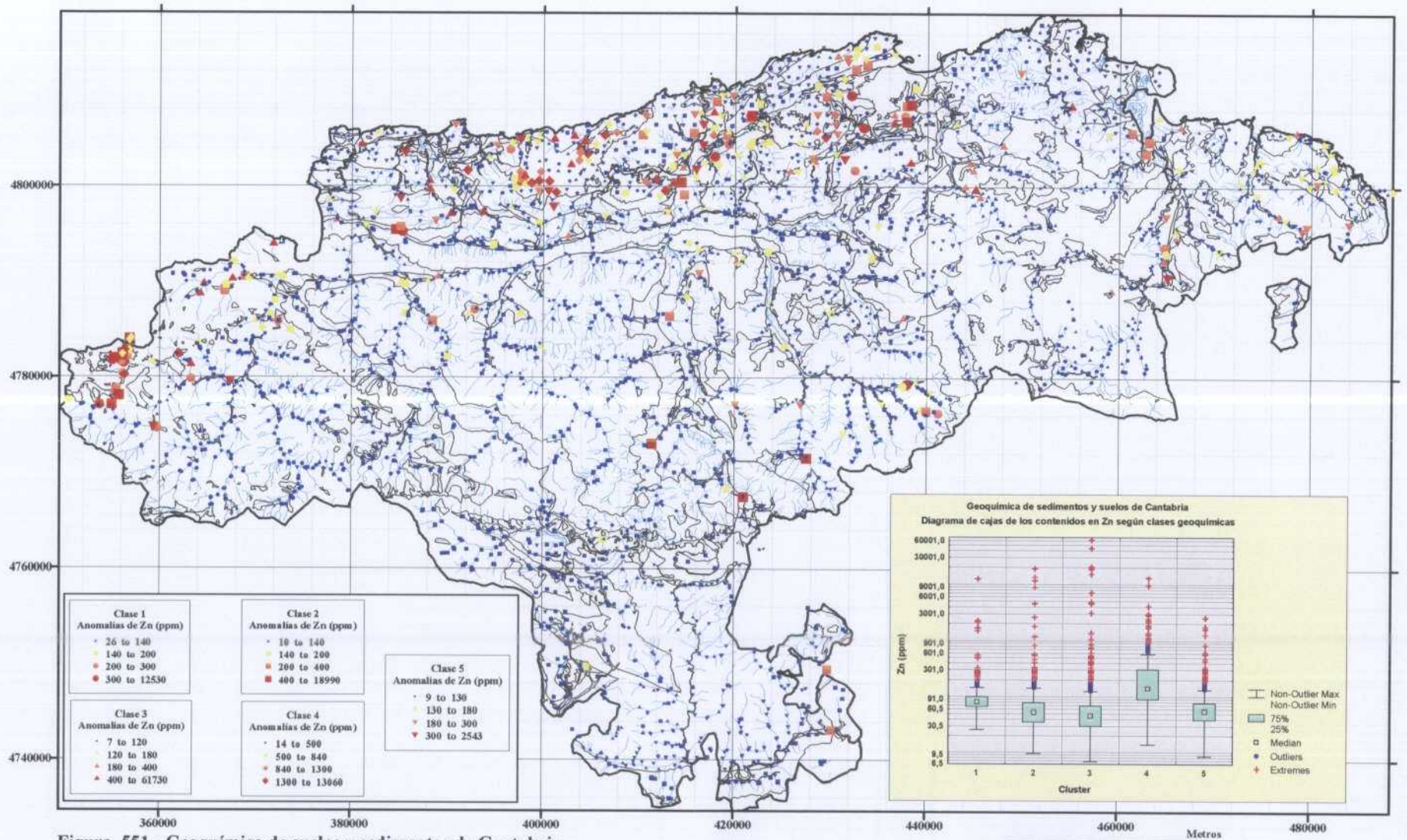
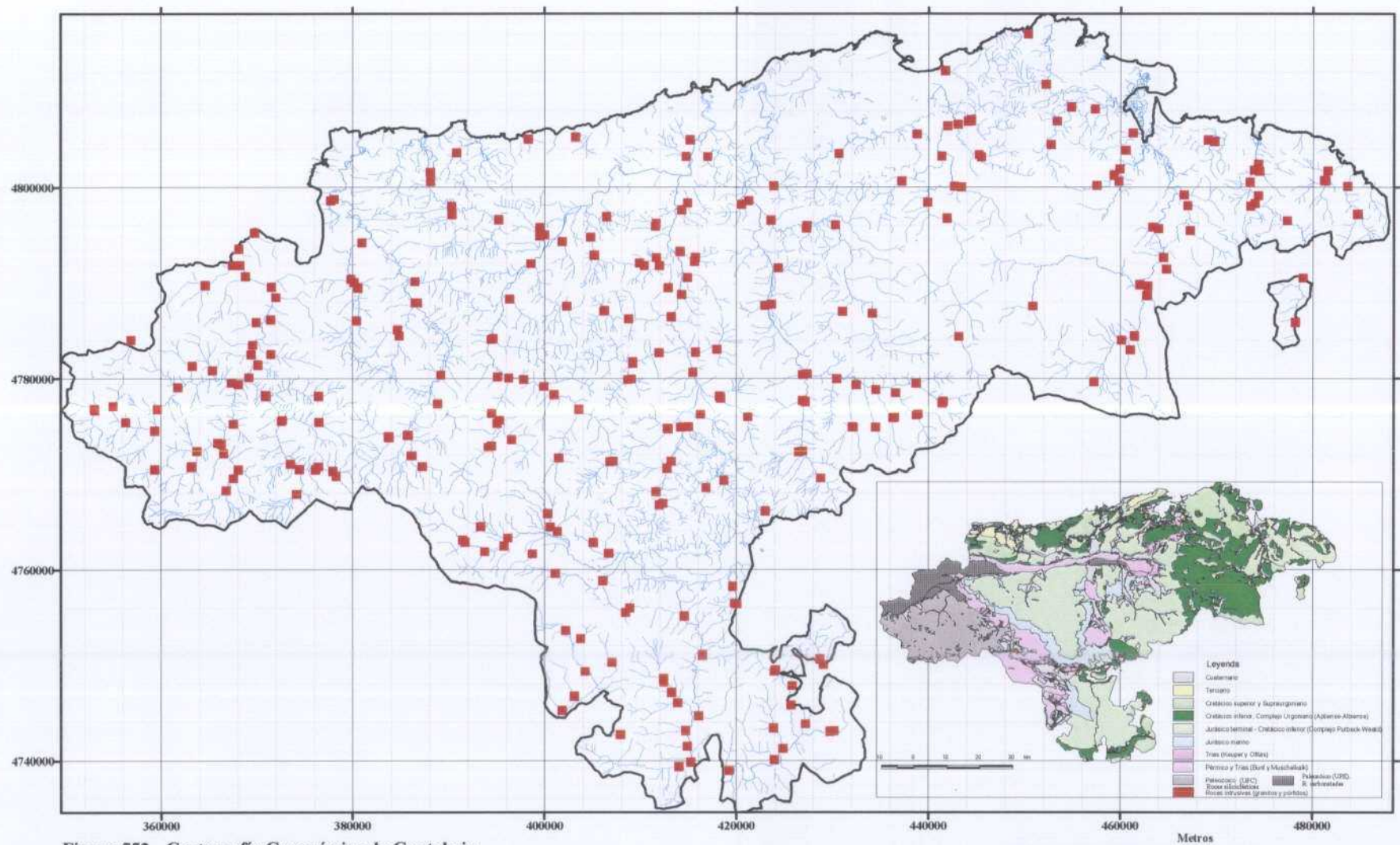


Figura 551.- Geoquímica de suelos y sedimentos de Cantabria.  
 Anomalías de Zn según clases geoquímicas



**Figura 552- Cartografía Geoquímica de Cantabria**  
**Campaña de mineralometría**  
**Mapa de situación de las muestras de minerales pesados**

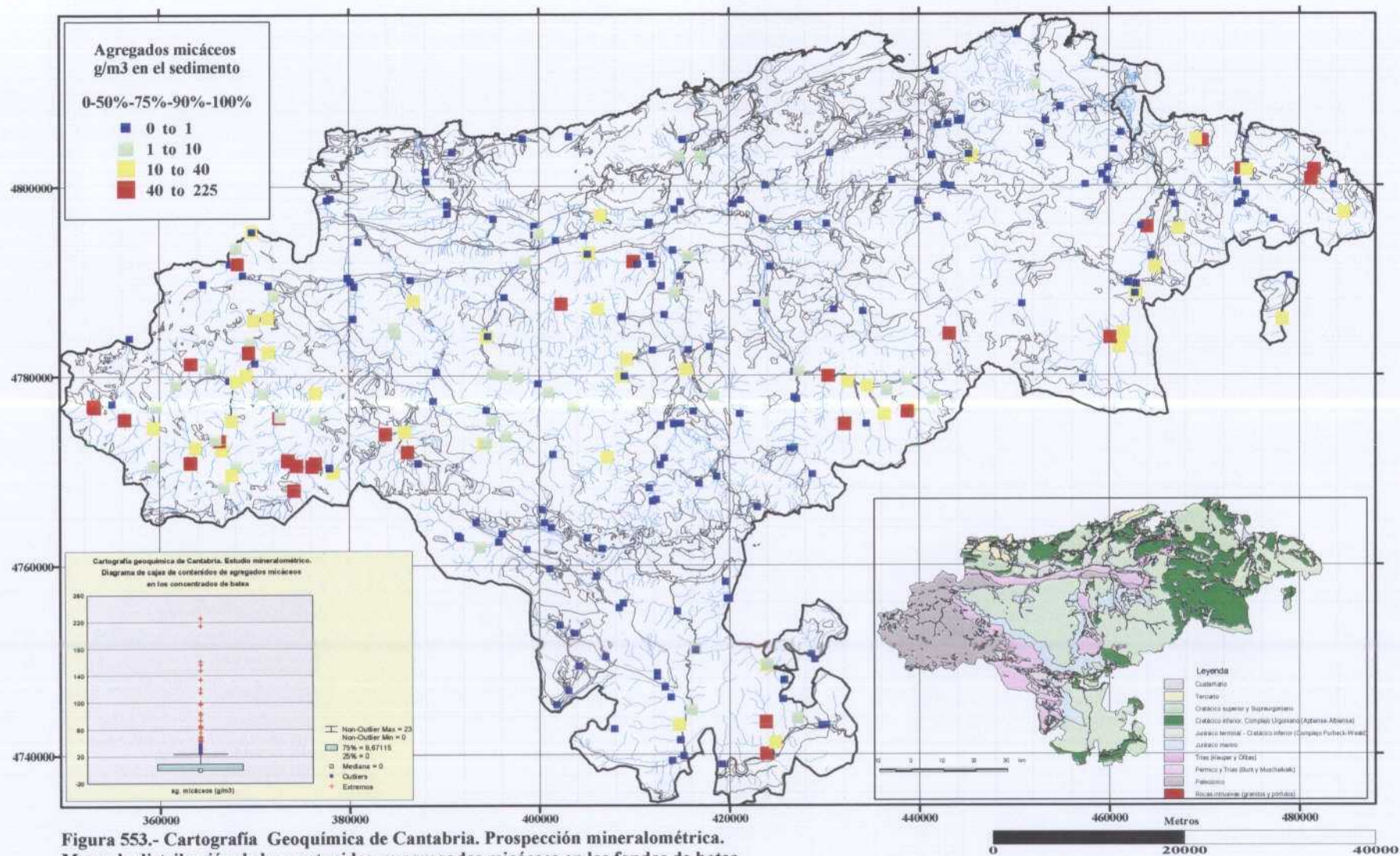


Figura 553.- Cartografía Geoquímica de Cantabria. Prospección mineralométrica. Mapa de distribución de los contenidos en agregados micáceos en los fondos de batea. Anomalías mineralométricas de agregados micáceos.

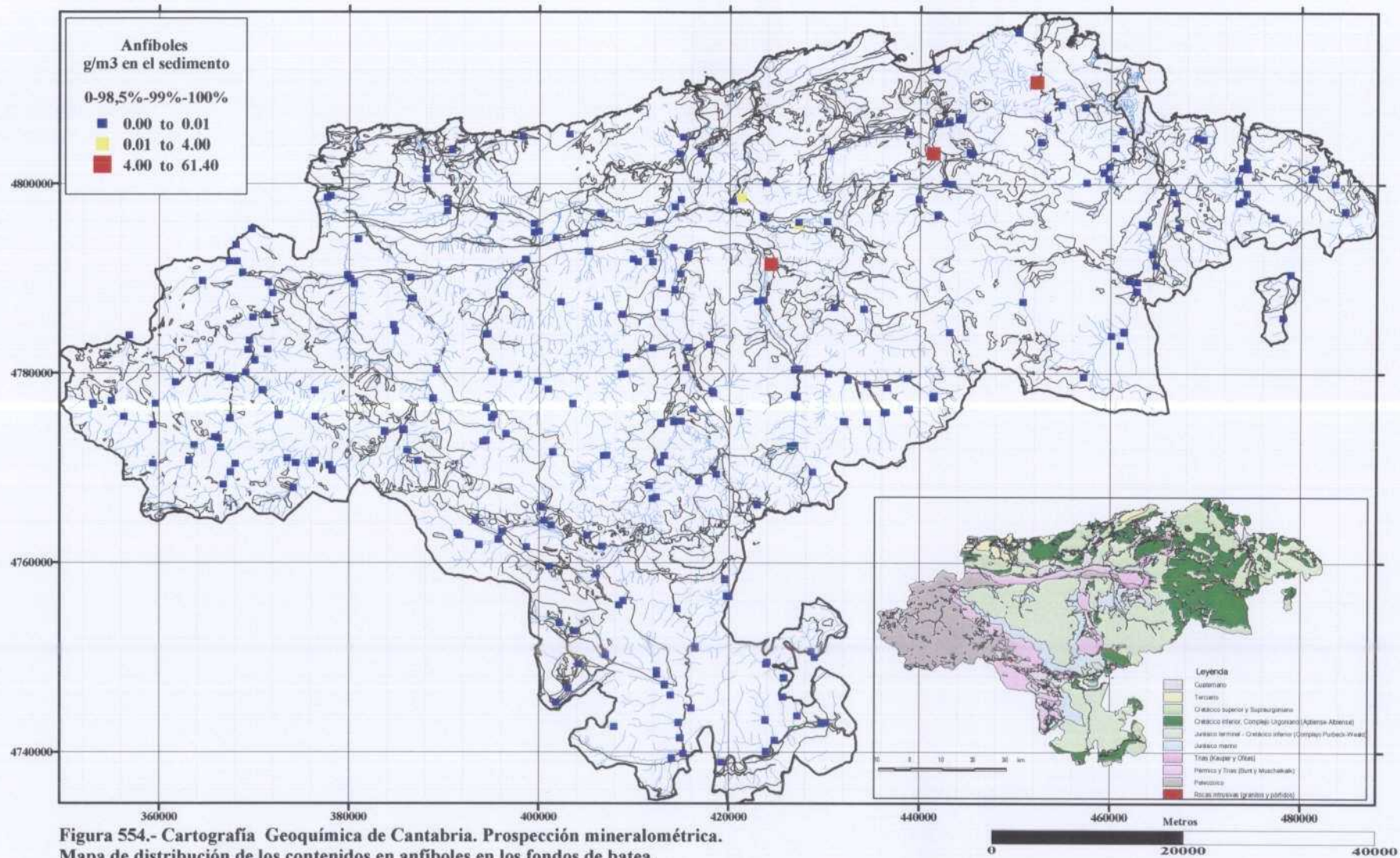


Figura 554.- Cartografía Geoquímica de Cantabria. Prospección mineralométrica. Mapa de distribución de los contenidos en anfíboles en los fondos de batea. Anomalías mineralométricas de anfíboles.

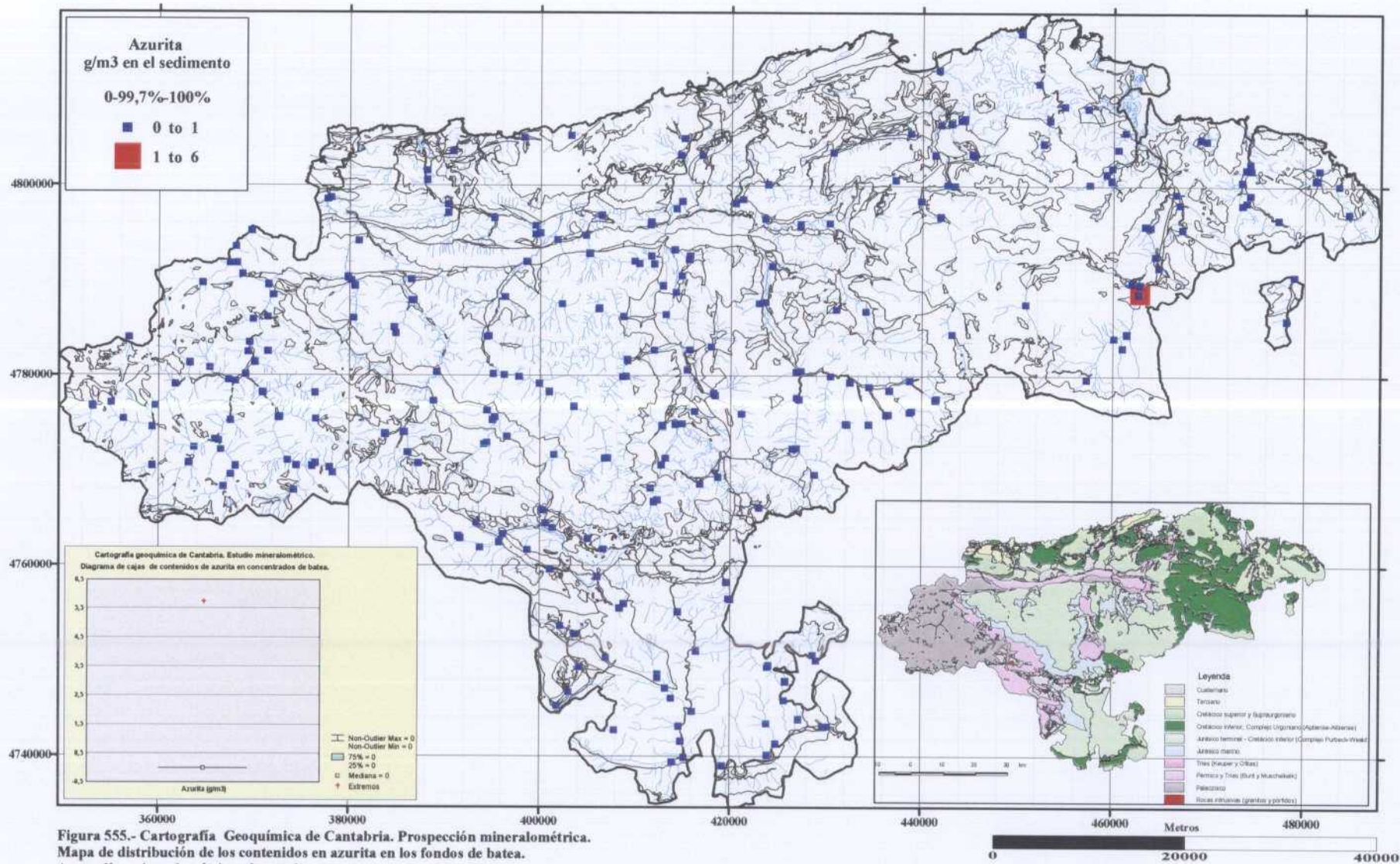


Figura 555.- Cartografía Geoquímica de Cantabria. Prospección mineralométrica. Mapa de distribución de los contenidos en azurita en los fondos de batea. Anomalías mineralométricas de azurita.

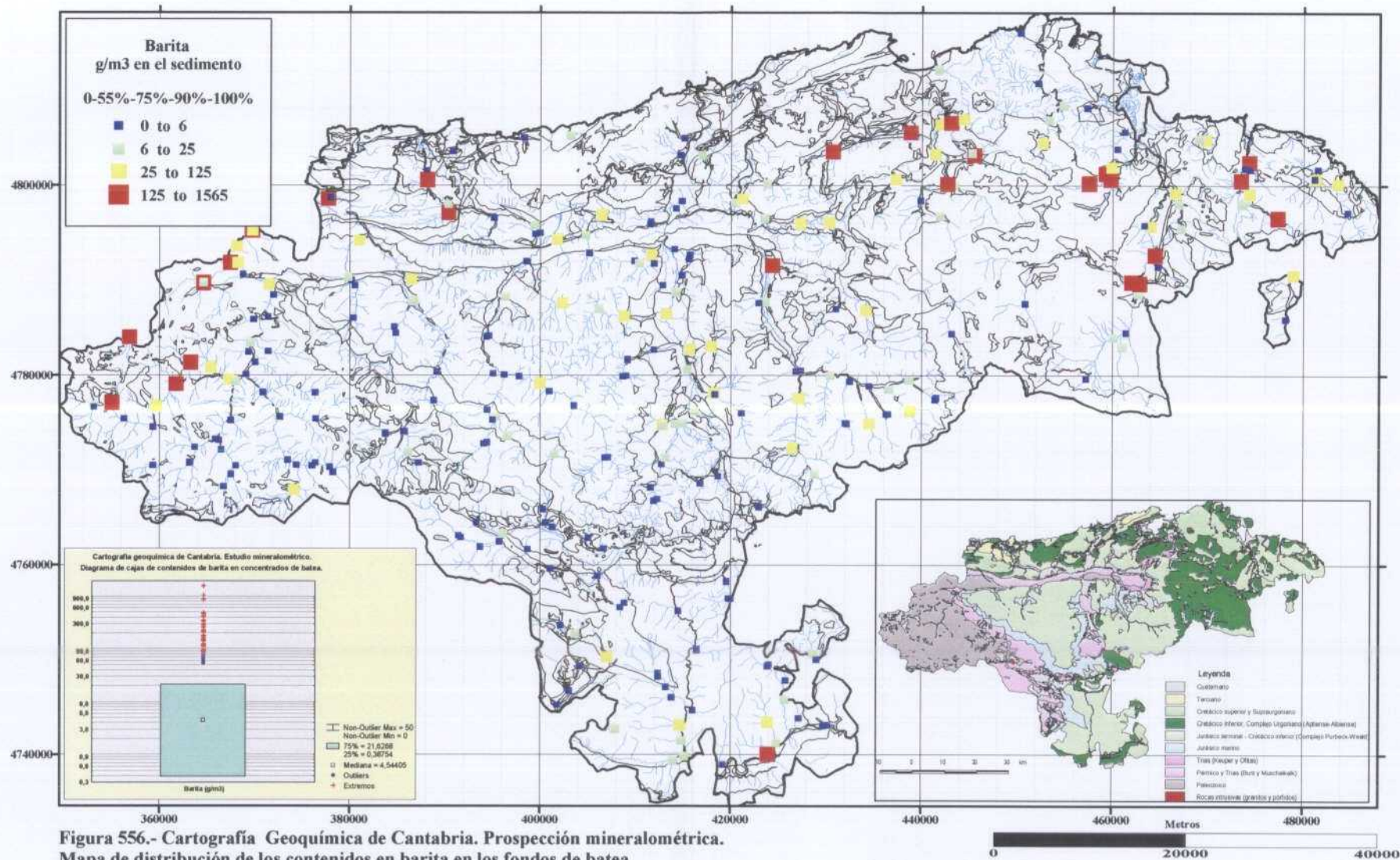


Figura 556.- Cartografía Geoquímica de Cantabria. Prospección mineralométrica. Mapa de distribución de los contenidos en barita en los fondos de batea. Anomalías mineralométricas de barita.

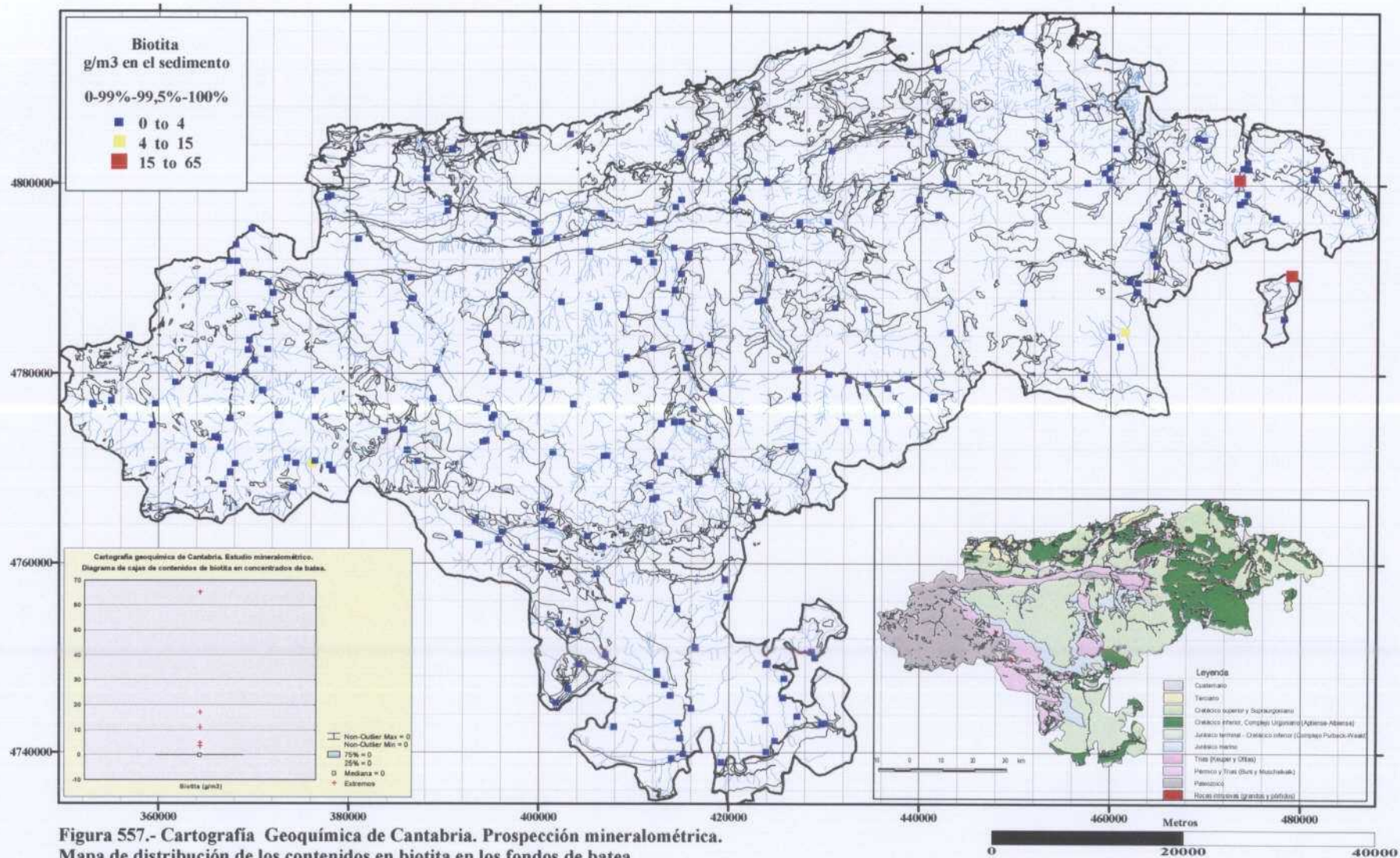


Figura 557.- Cartografía Geoquímica de Cantabria. Prospección mineralométrica.  
Mapa de distribución de los contenidos en biotita en los fondos de batea.  
Anomalías mineralométricas de biotita.



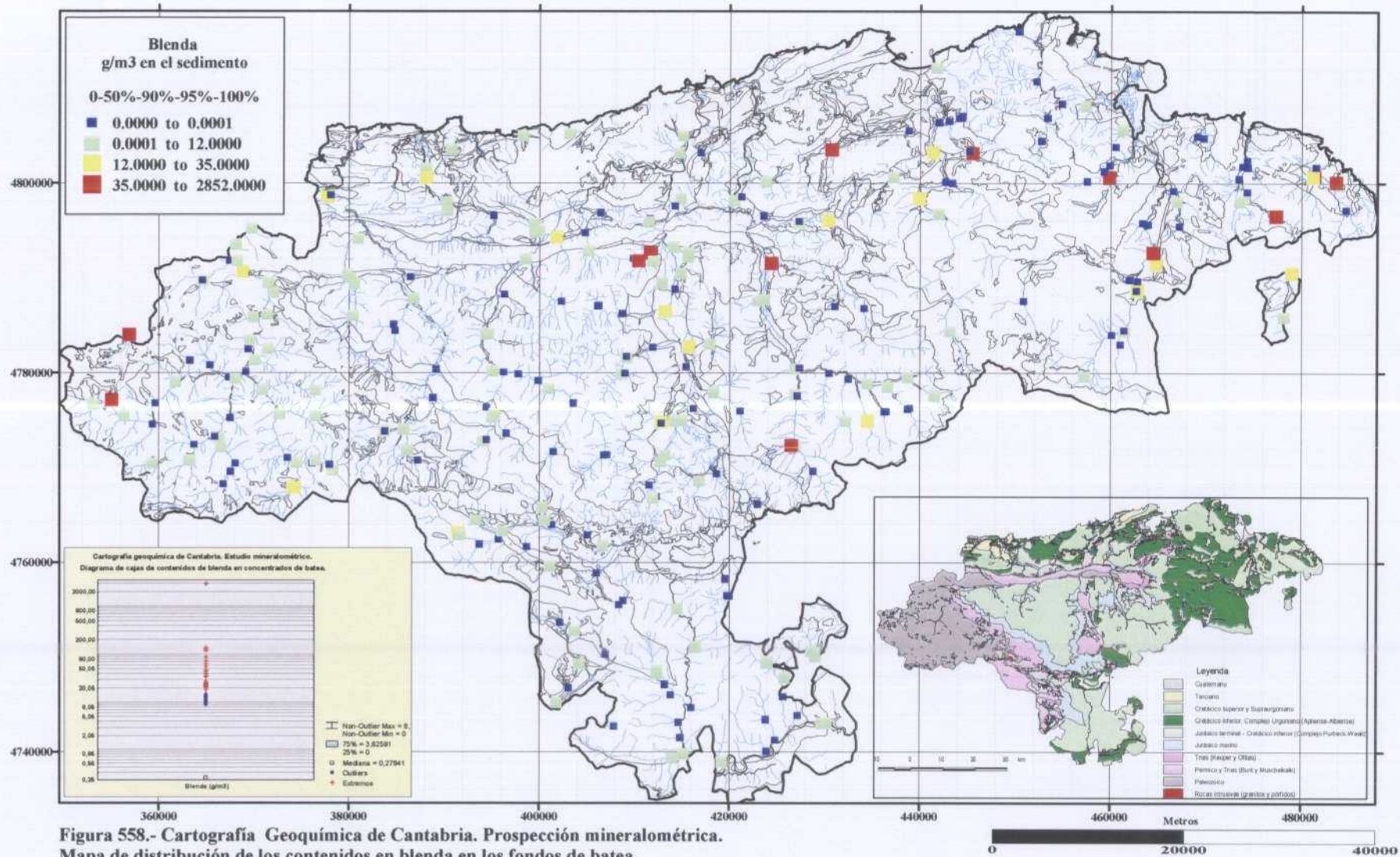
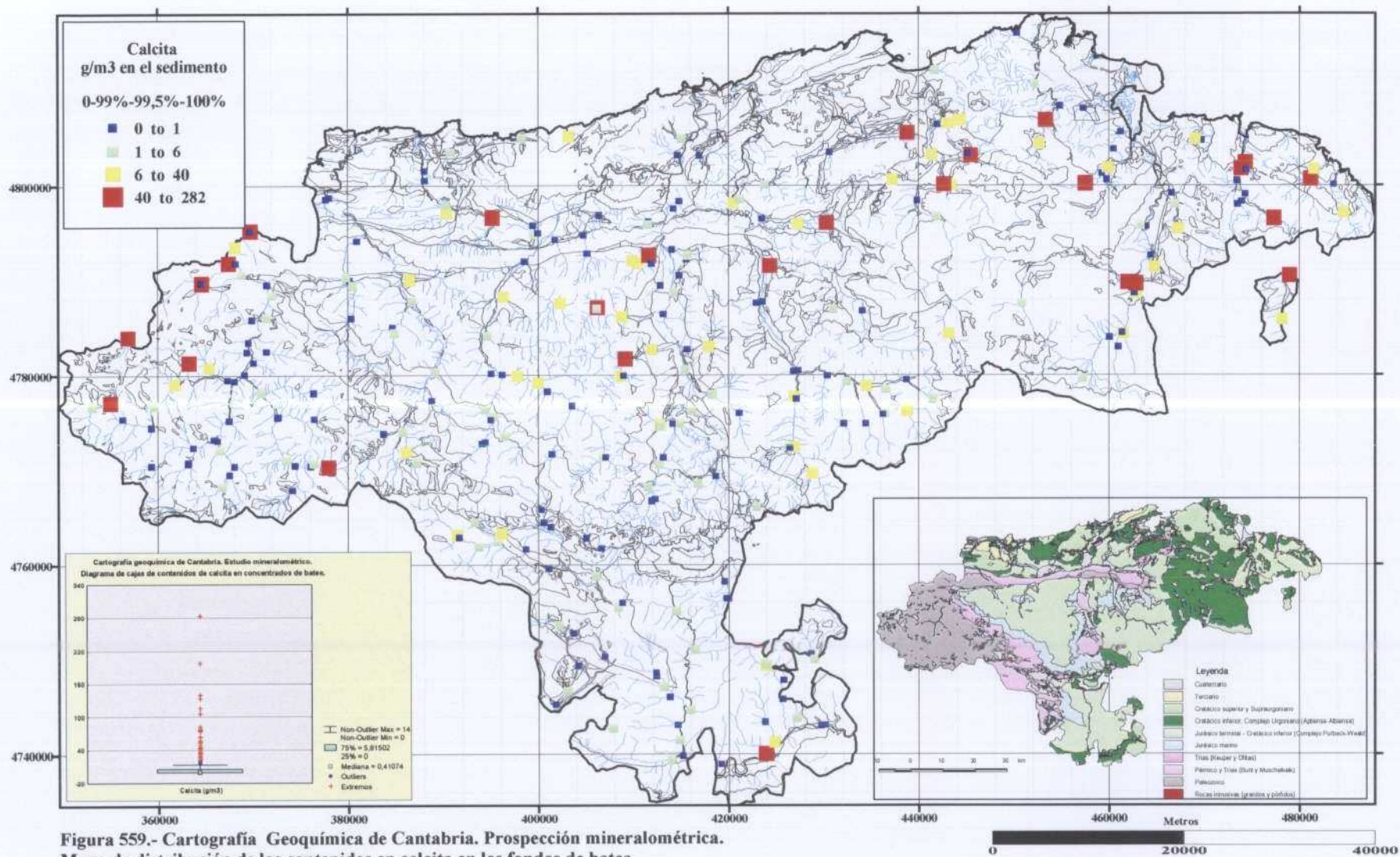


Figura 558.- Cartografía Geoquímica de Cantabria. Prospección mineralométrica. Mapa de distribución de los contenidos en blenda en los fondos de batea. Anomalías mineralométricas de blenda



**Figura 559.- Cartografía Geoquímica de Cantabria. Prospección mineralométrica. Mapa de distribución de los contenidos en calcita en los fondos de batea. Anomalías mineralométricas de calcita.**

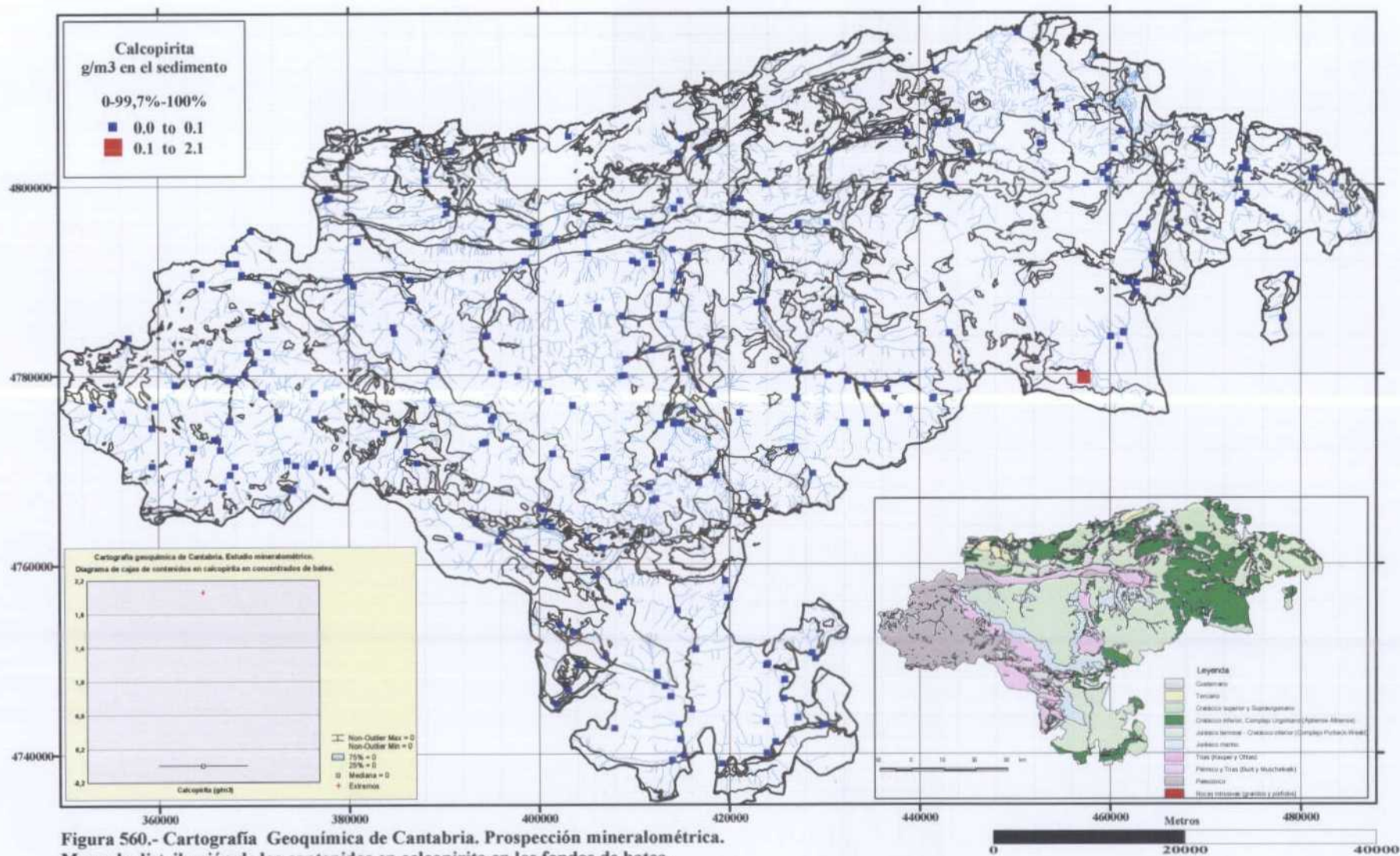


Figura S60.- Cartografía Geoquímica de Cantabria. Prospección mineralométrica. Mapa de distribución de los contenidos en calcopirita en los fondos de batea. Anomalías mineralométricas de calcopirita.

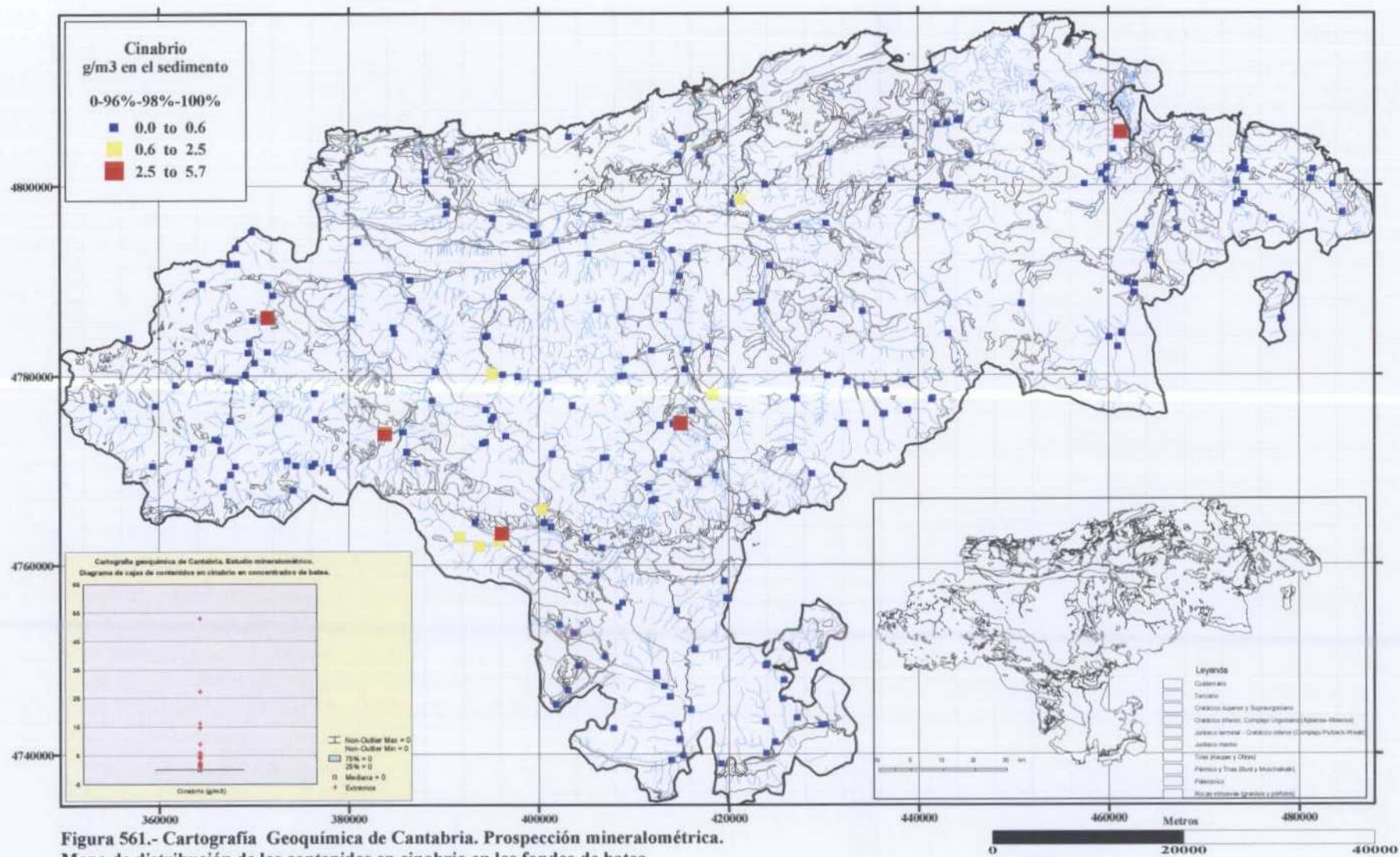


Figura 561.- Cartografía Geoquímica de Cantabria. Prospección mineralométrica. Mapa de distribución de los contenidos en cinabrio en los fondos de batea. Anomalías mineralométricas de cinabrio.

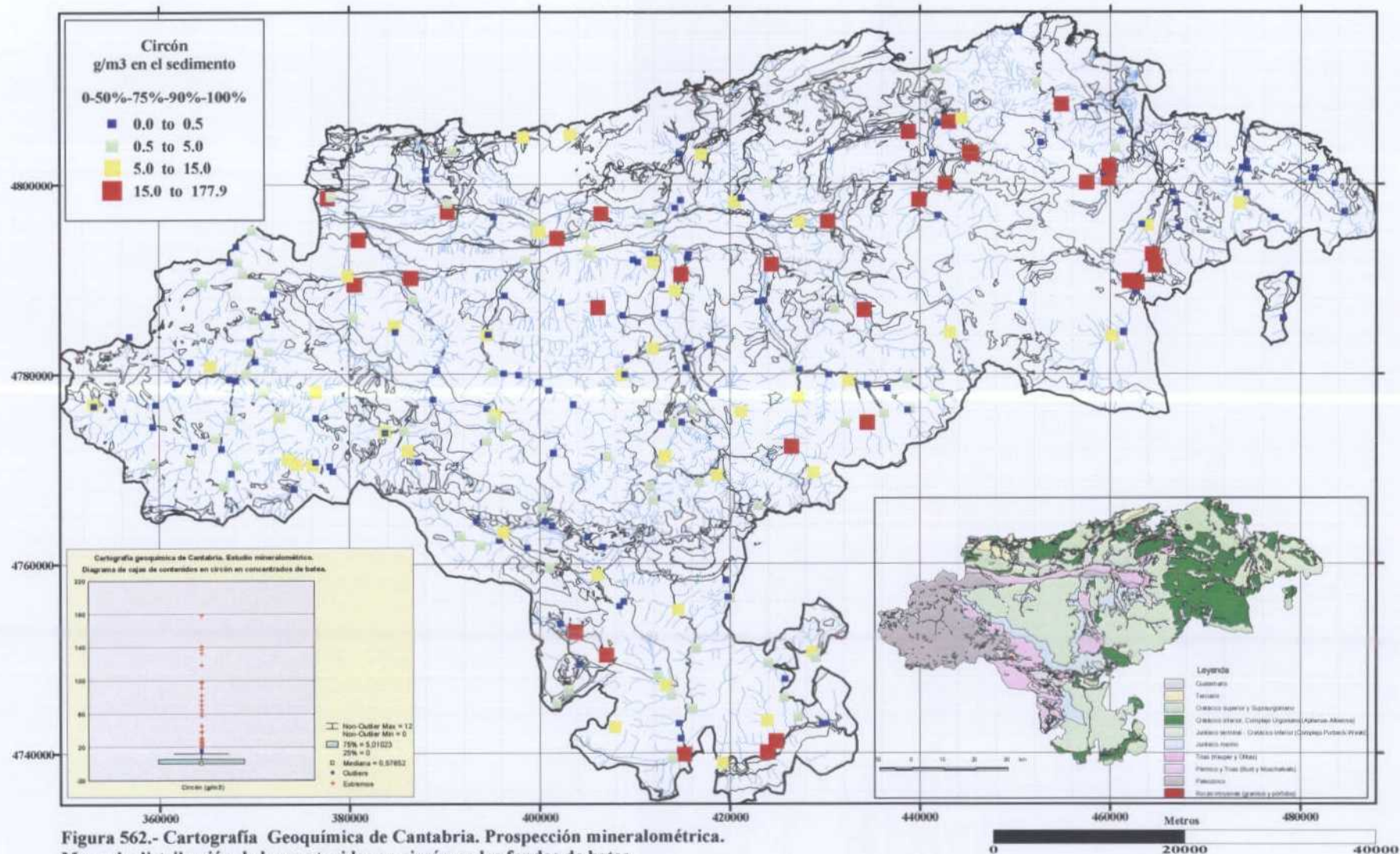
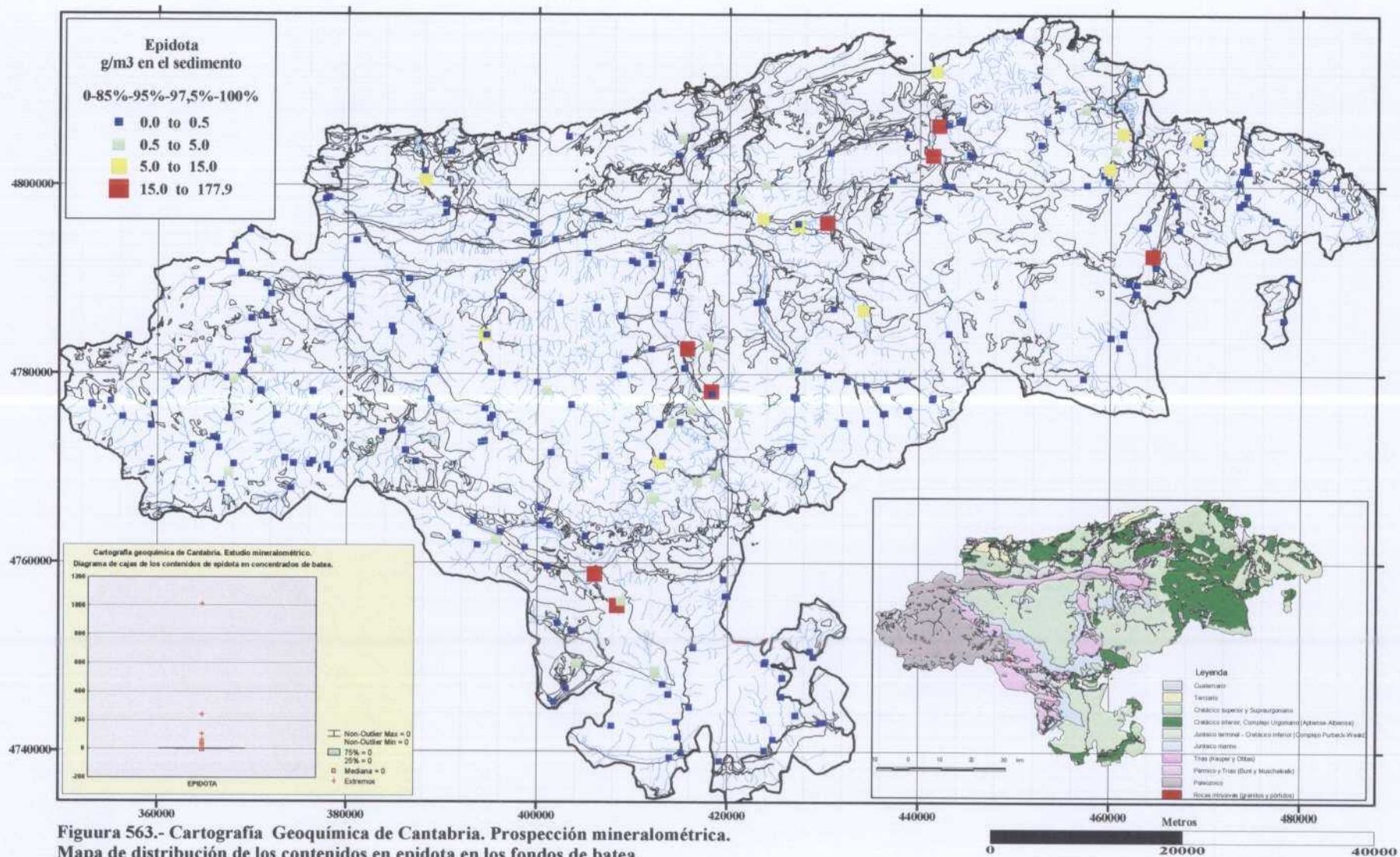
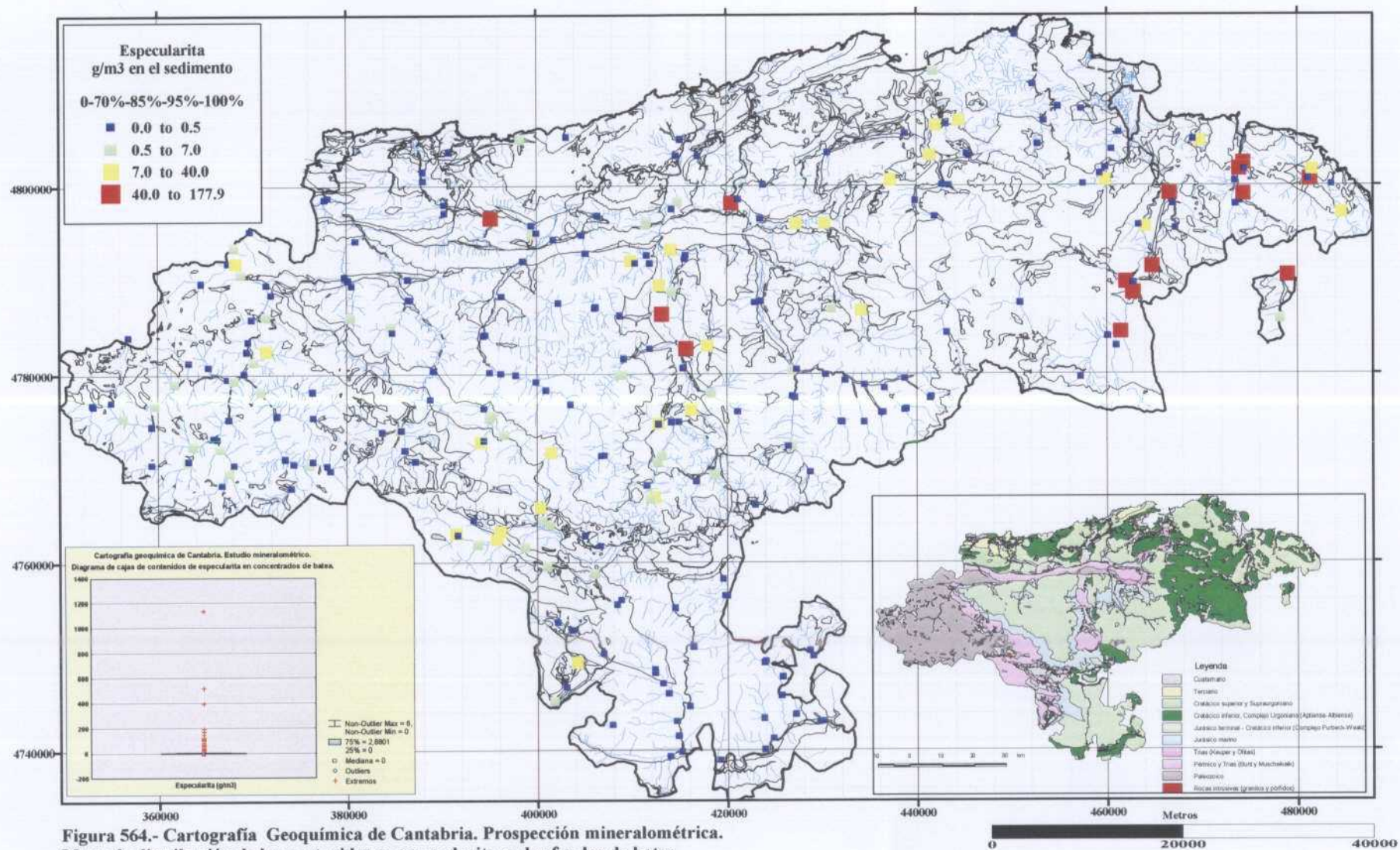


Figura 562.- Cartografía Geoquímica de Cantabria. Prospección mineralométrica. Mapa de distribución de los contenidos en circón en los fondos de batea. Anomalías mineralométricas de circón.



**Figura 563.- Cartografía Geoquímica de Cantabria. Prospección mineralométrica.**  
Mapa de distribución de los contenidos de epidota en los fondos de batea.  
Anomalías mineralométricas de epidota.



**Figura 564.- Cartografía Geoquímica de Cantabria. Prospección mineralométrica.**  
**Mapa de distribución de los contenidos en specularita en los fondos de batea.**  
**Anomalías mineralométricas de specularita.**

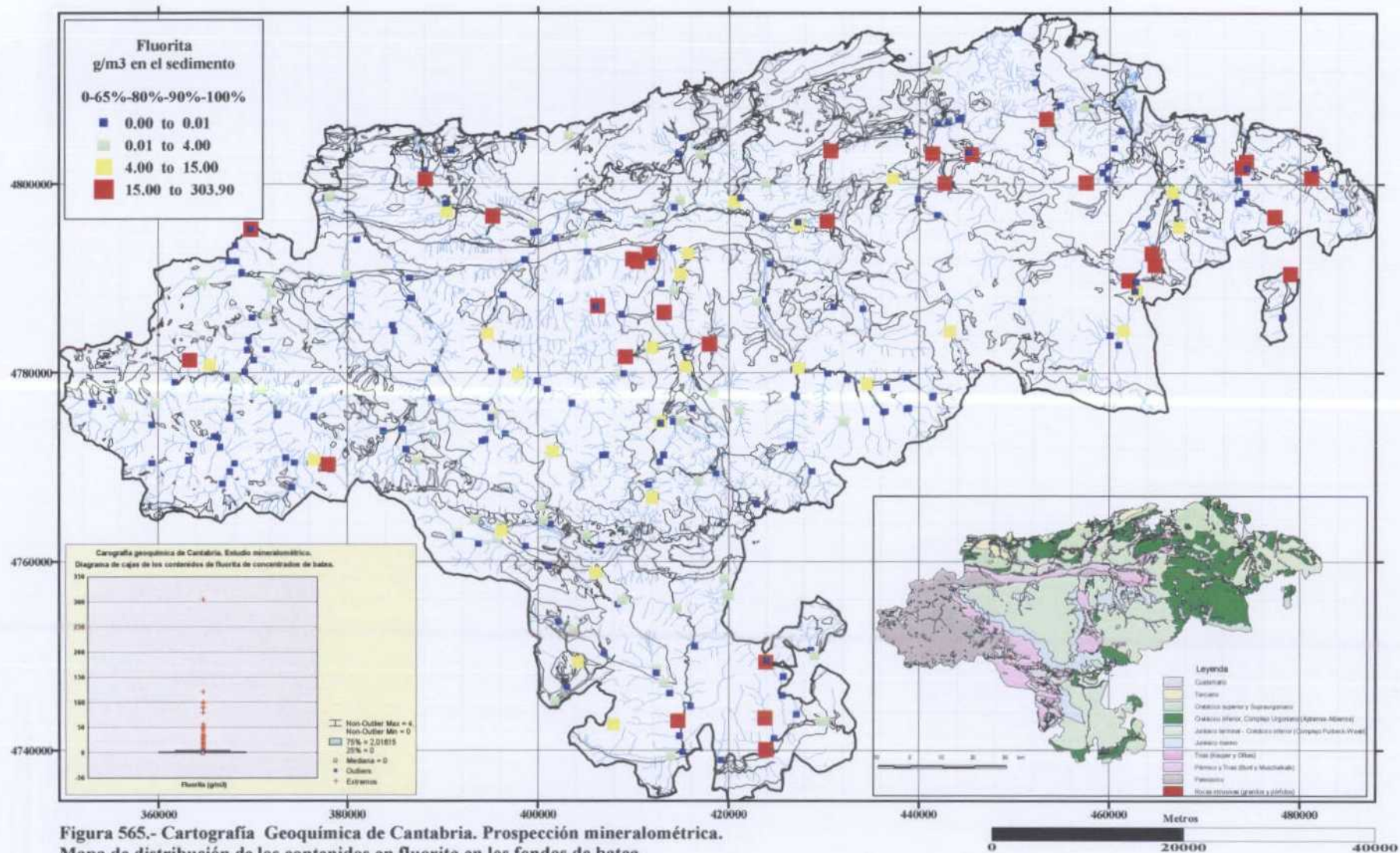


Figura 565.- Cartografía Geoquímica de Cantabria. Prospección mineralométrica. Mapa de distribución de los contenidos en fluorita en los fondos de batea. Anomalías mineralométricas de fluorita.



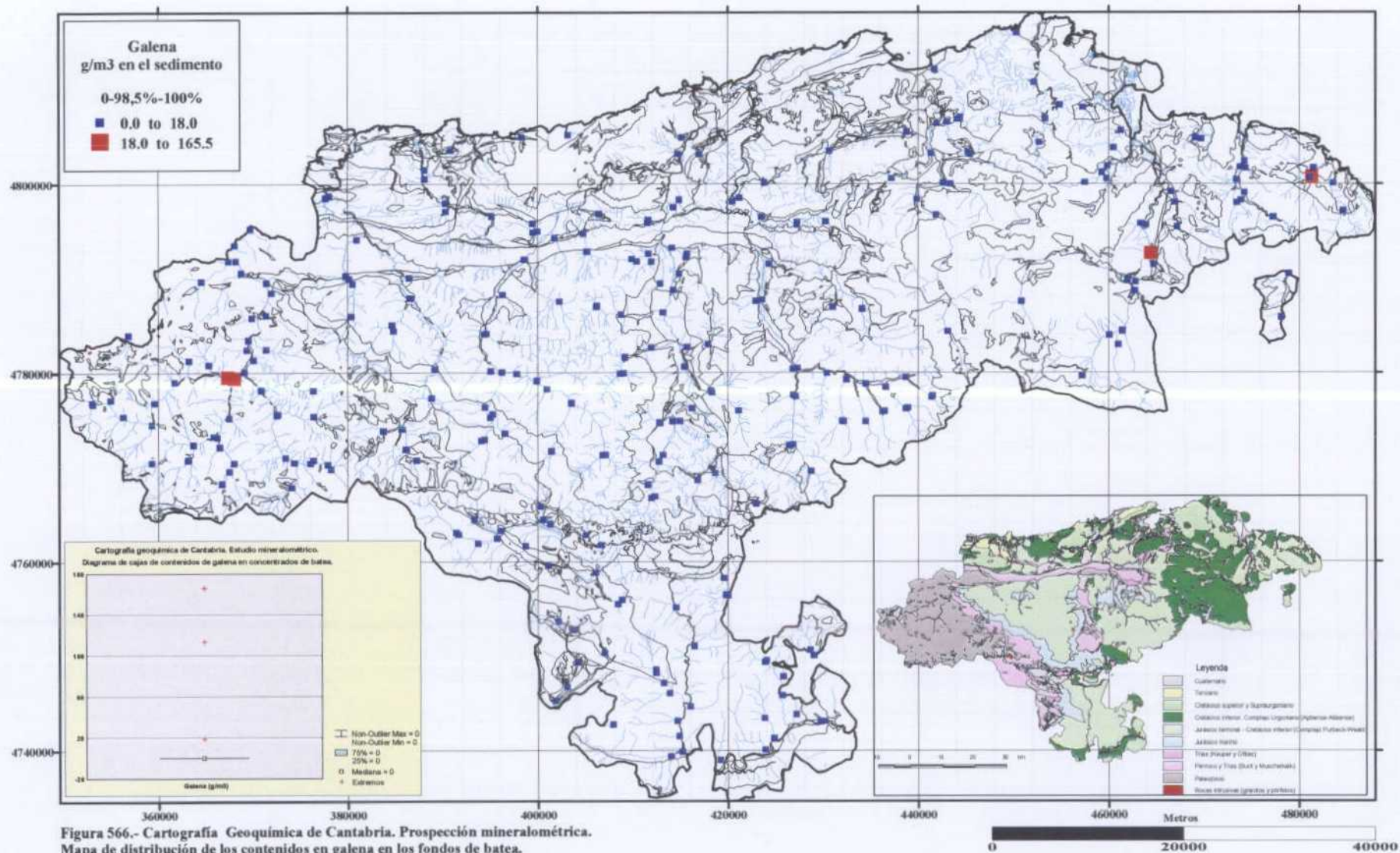


Figura 566.- Cartografía Geoquímica de Cantabria. Prospección mineralométrica. Mapa de distribución de los contenidos en galena en los fondos de batea. Anomalías mineralométricas de galena.

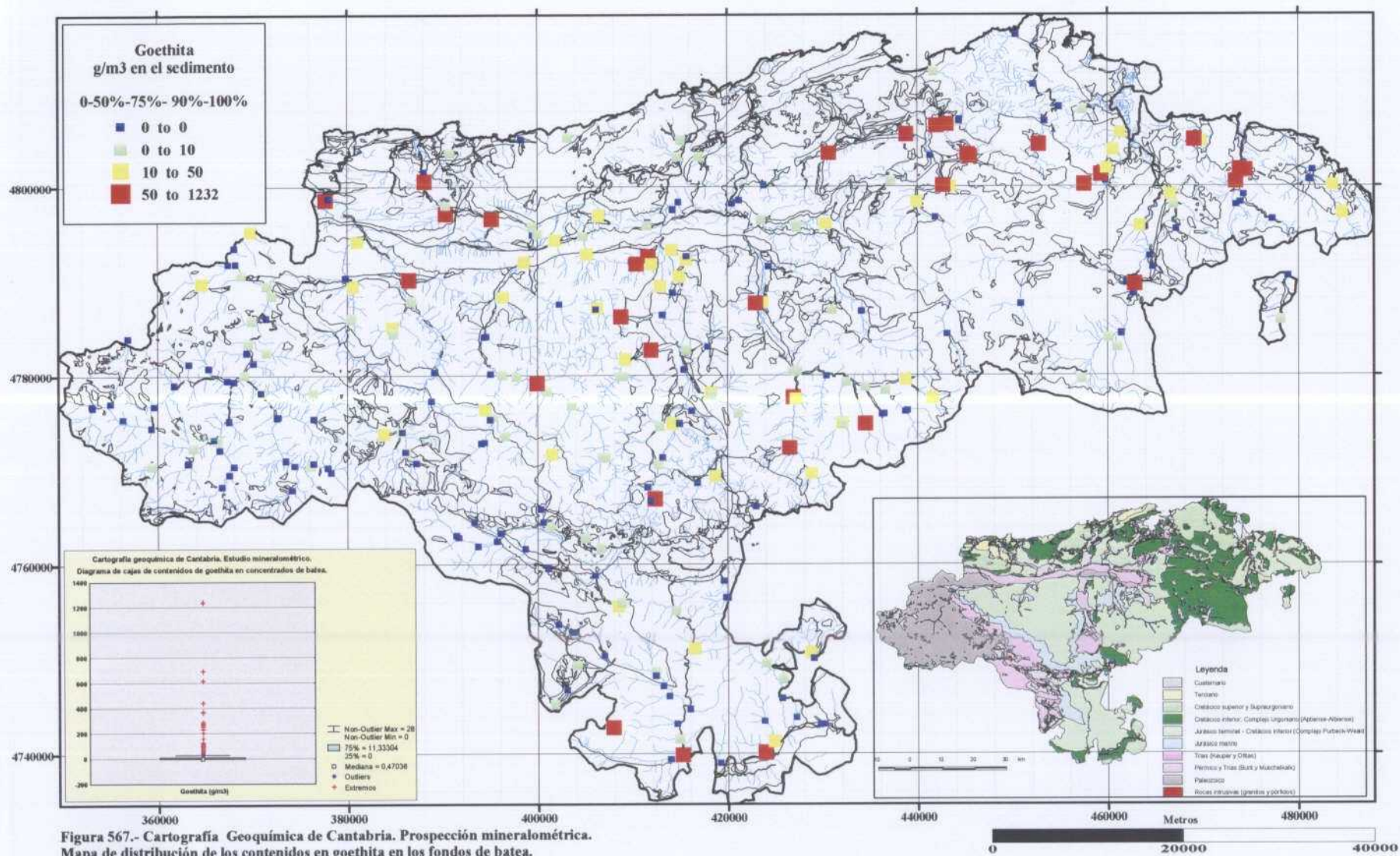


Figura 567.- Cartografía Geoquímica de Cantabria. Prospección mineralométrica. Mapa de distribución de los contenidos en goethita en los fondos de batea. Anomalías mineralométricas de goethita.

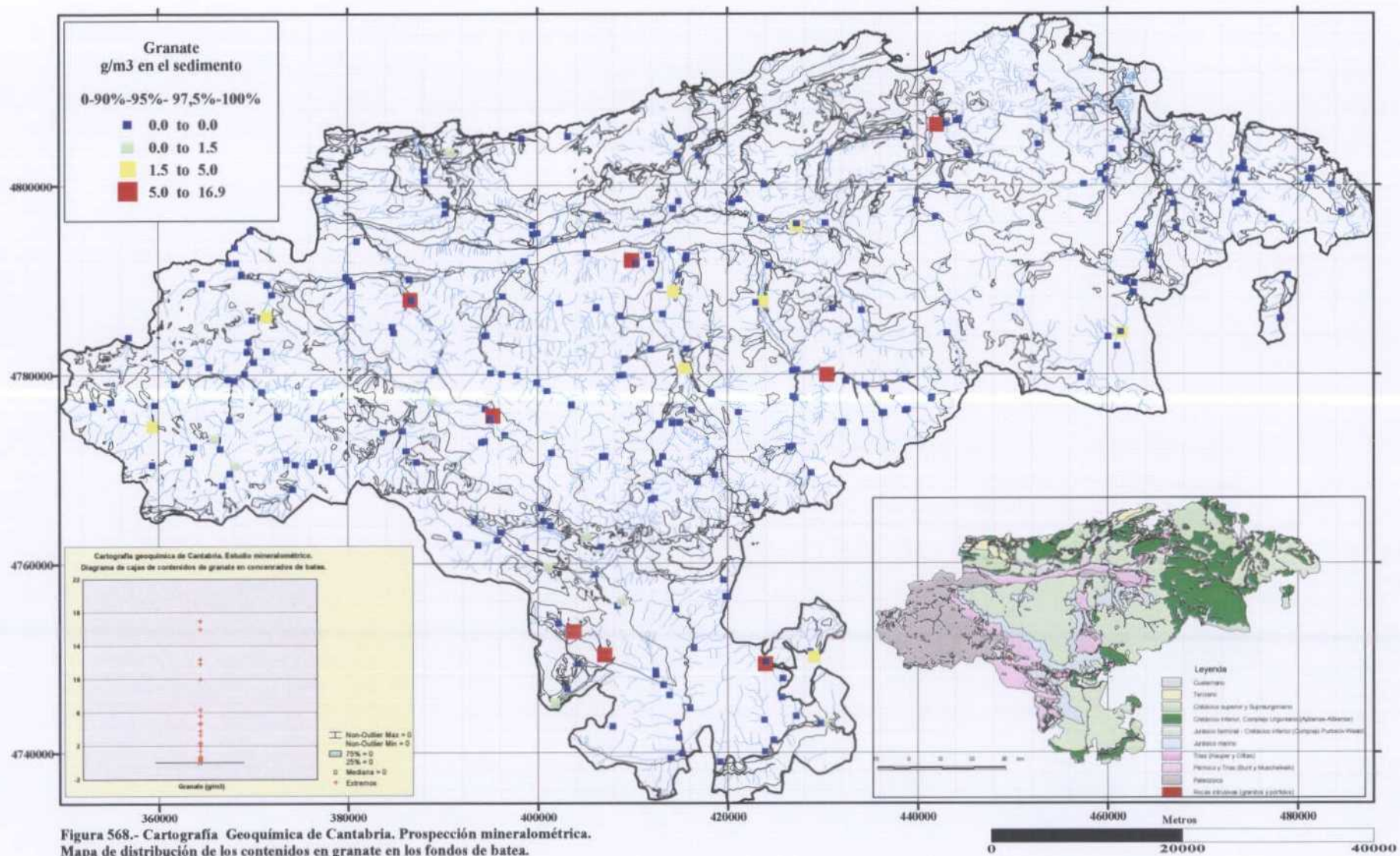


Figura 568.- Cartografía Geoquímica de Cantabria. Prospección mineralométrica. Mapa de distribución de los contenidos en granate en los fondos de batea. Anomalías mineralométricas de granate.

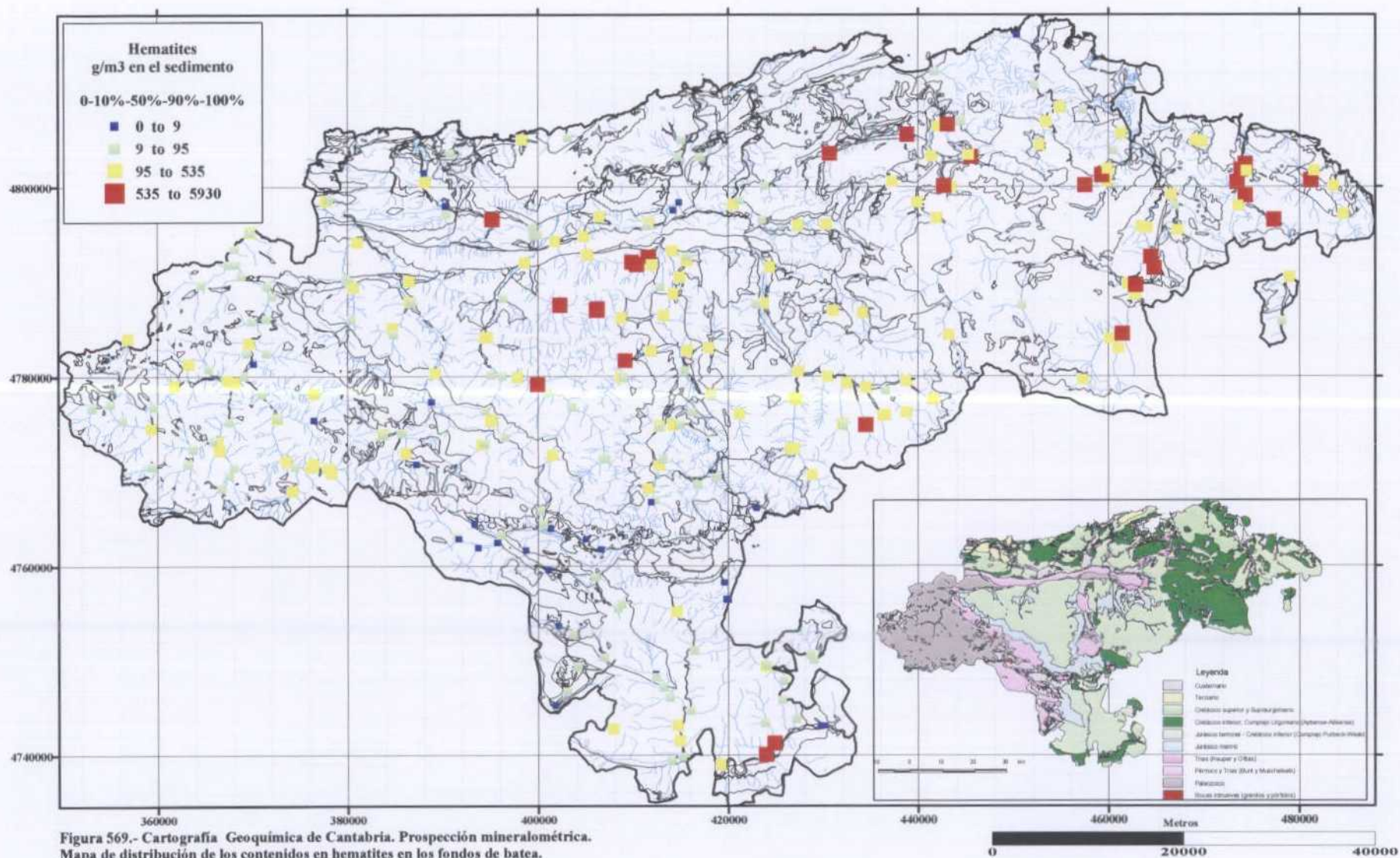


Figura 569.- Cartografía Geoquímica de Cantabria. Prospección mineralométrica. Mapa de distribución de los contenidos en hematites en los fondos de batea. Anomalías mineralométricas de hematites.

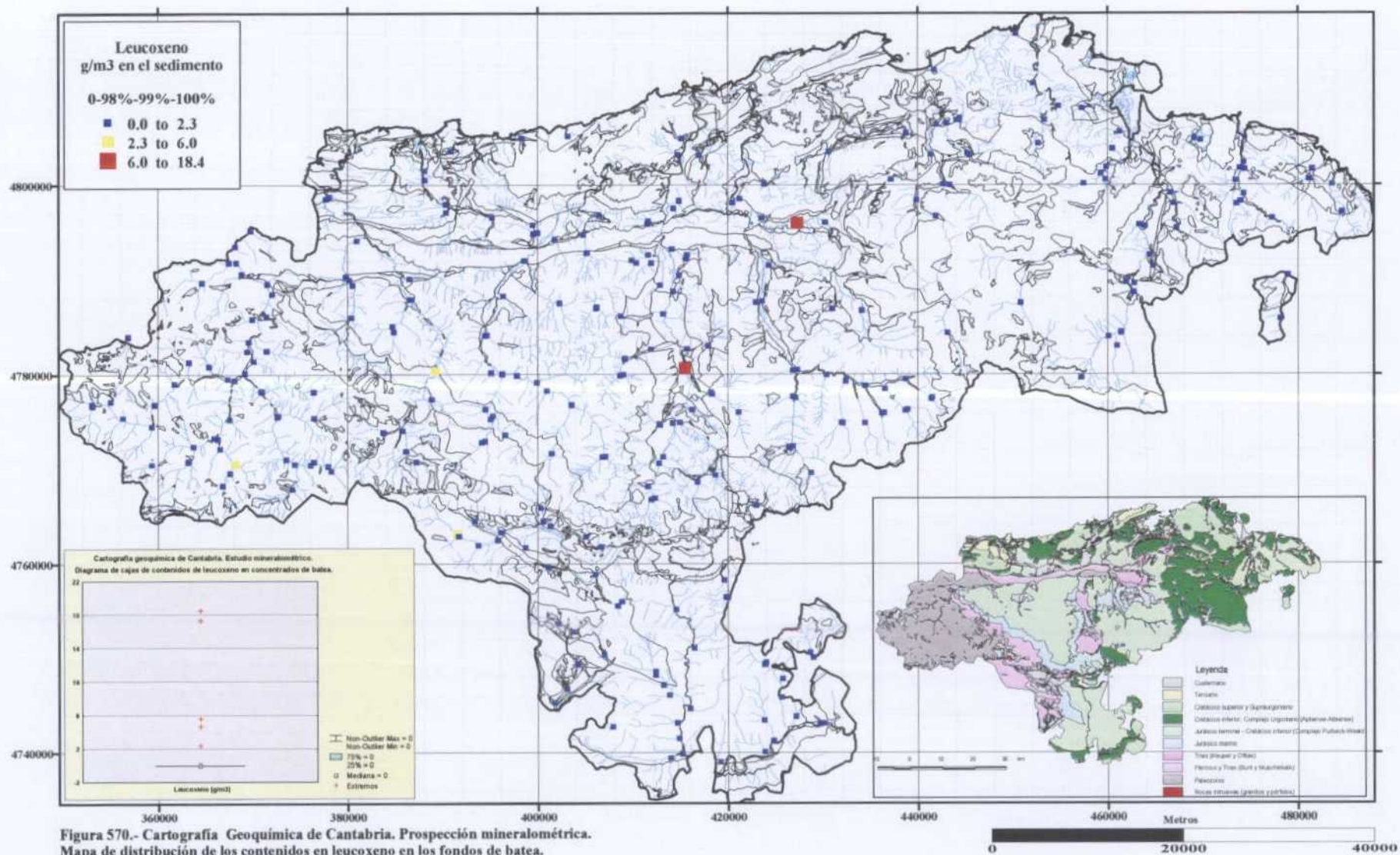


Figura 570.- Cartografía Geoquímica de Cantabria. Prospección mineralométrica. Mapa de distribución de los contenidos en leucoseno en los fondos de batea. Anomalías mineralométricas de leucoseno.

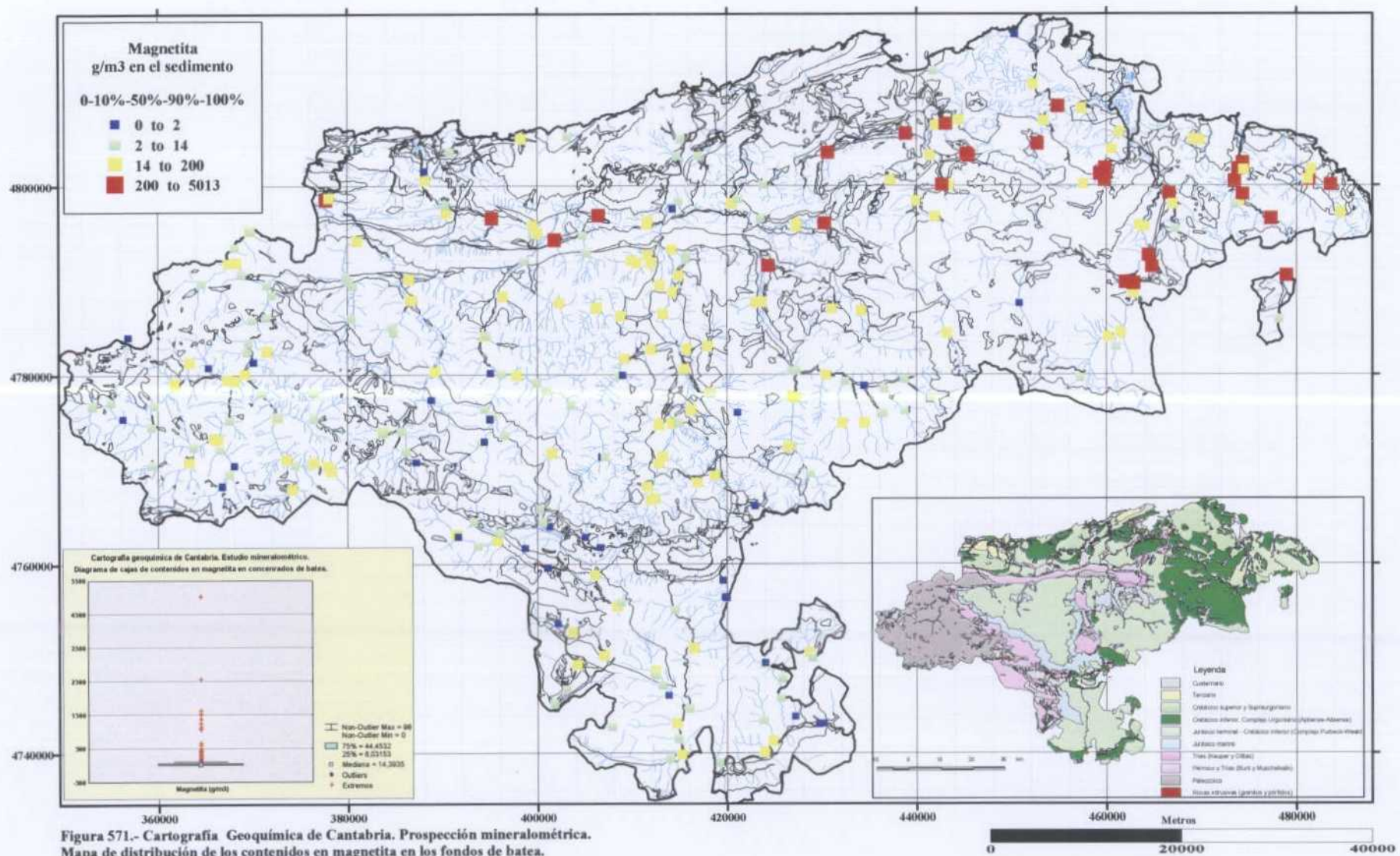


Figura 571.- Cartografía Geoquímica de Cantabria. Prospección mineralométrica. Mapa de distribución de los contenidos en magnetita en los fondos de batea. Anomalías mineralométricas de magnetita.

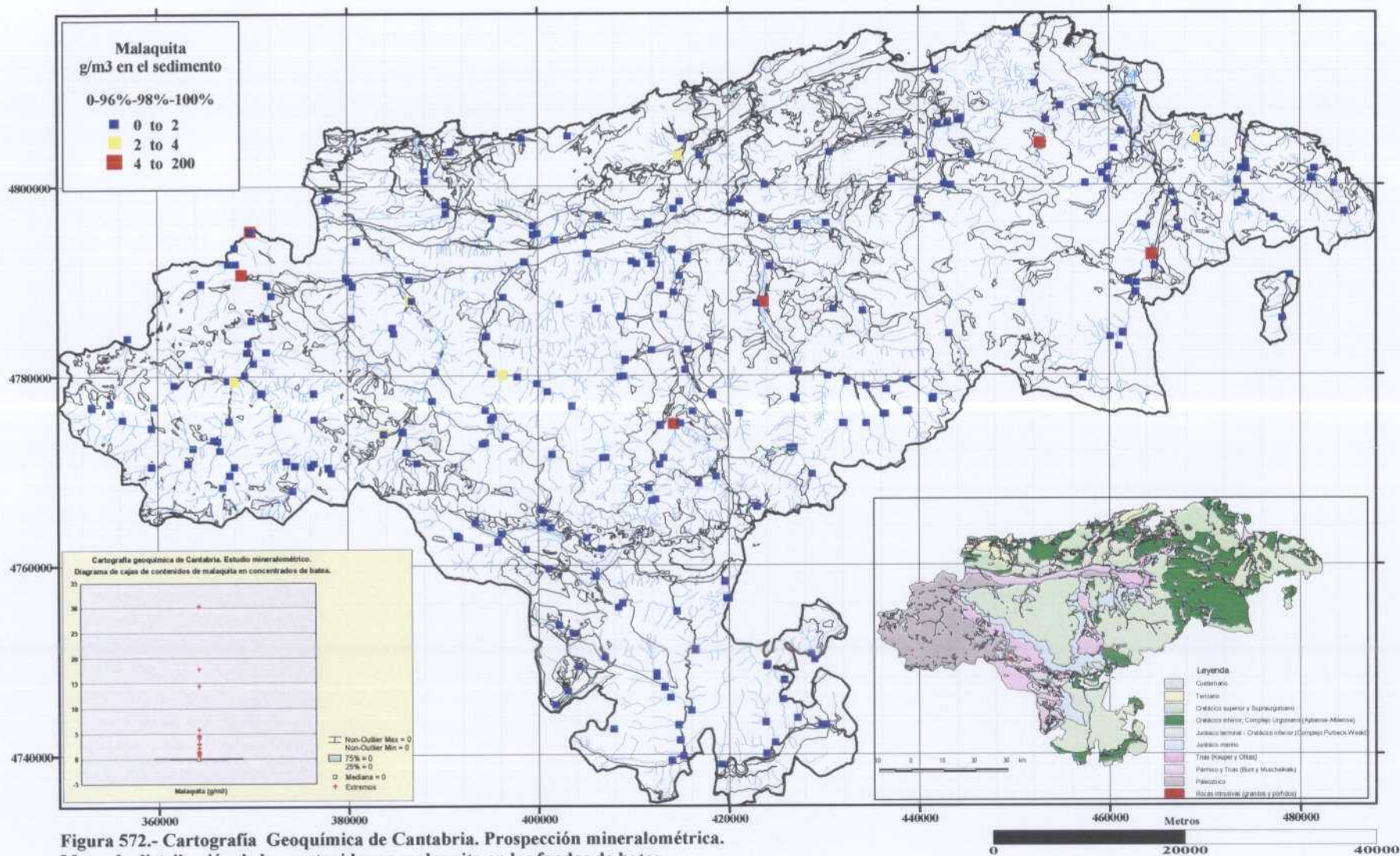


Figura 572.- Cartografía Geoquímica de Cantabria. Prospección mineralométrica. Mapa de distribución de los contenidos en malaquita en los fondos de batea. Anomalías mineralométricas de malaquita.

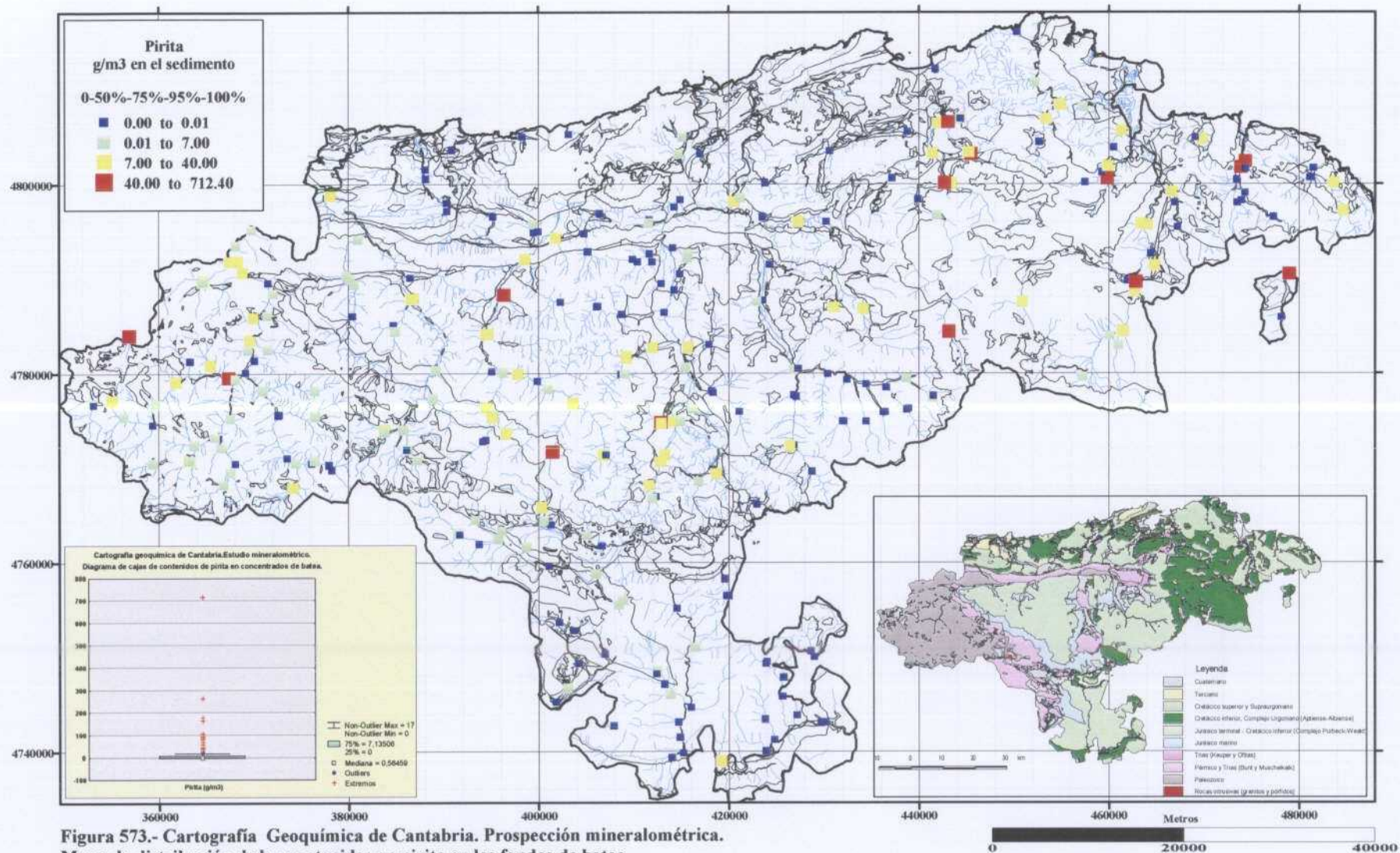
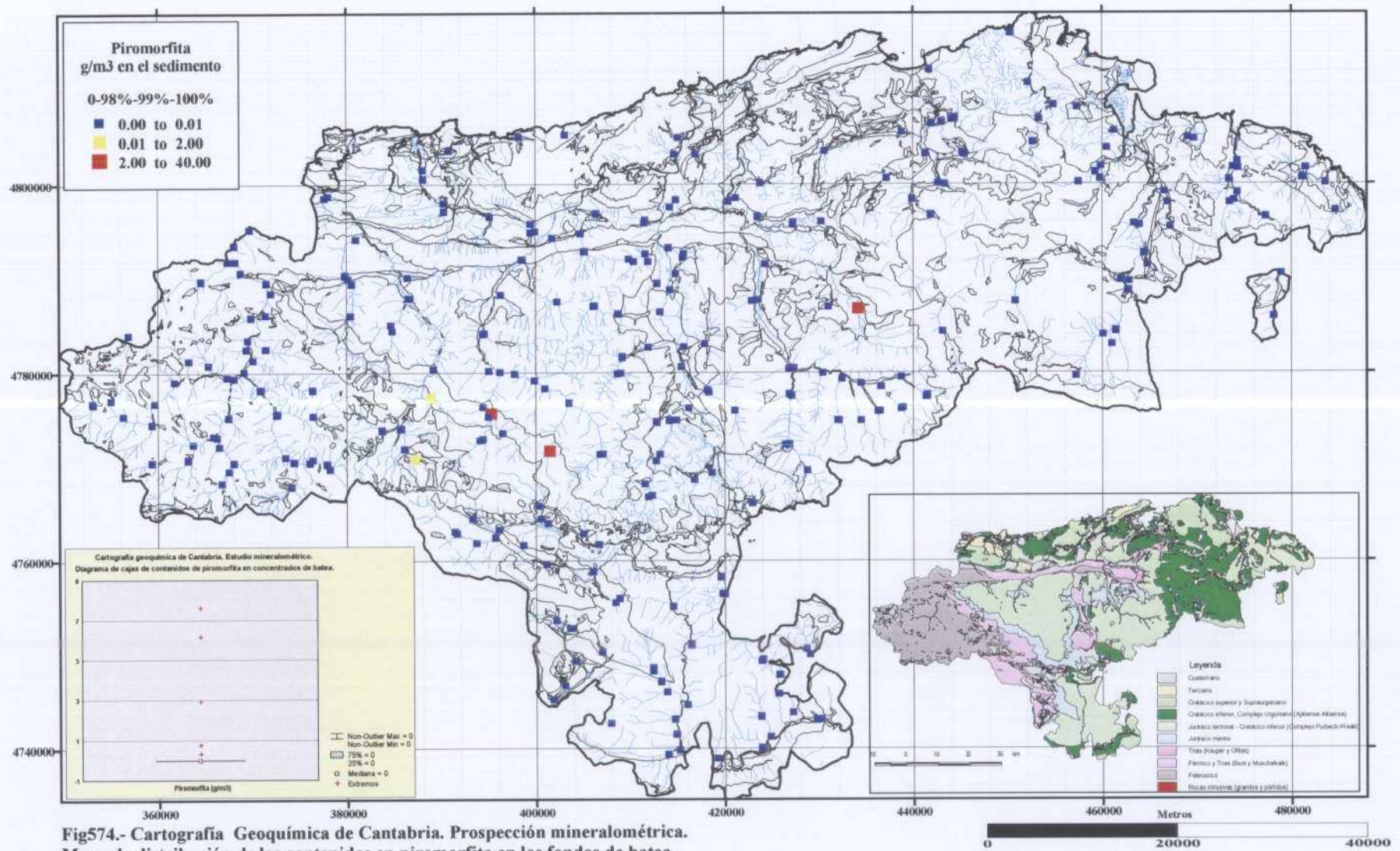


Figura 573.- Cartografía Geoquímica de Cantabria. Prospección mineralométrica. Mapa de distribución de los contenidos en pirita en los fondos de batea. Anomalías mineralométricas de pirita.





**Fig574.- Cartografía Geoquímica de Cantabria. Prospección mineralométrica. Mapa de distribución de los contenidos en piromorfita en los fondos de batea. Anomalías mineralométricas de piromorfita**

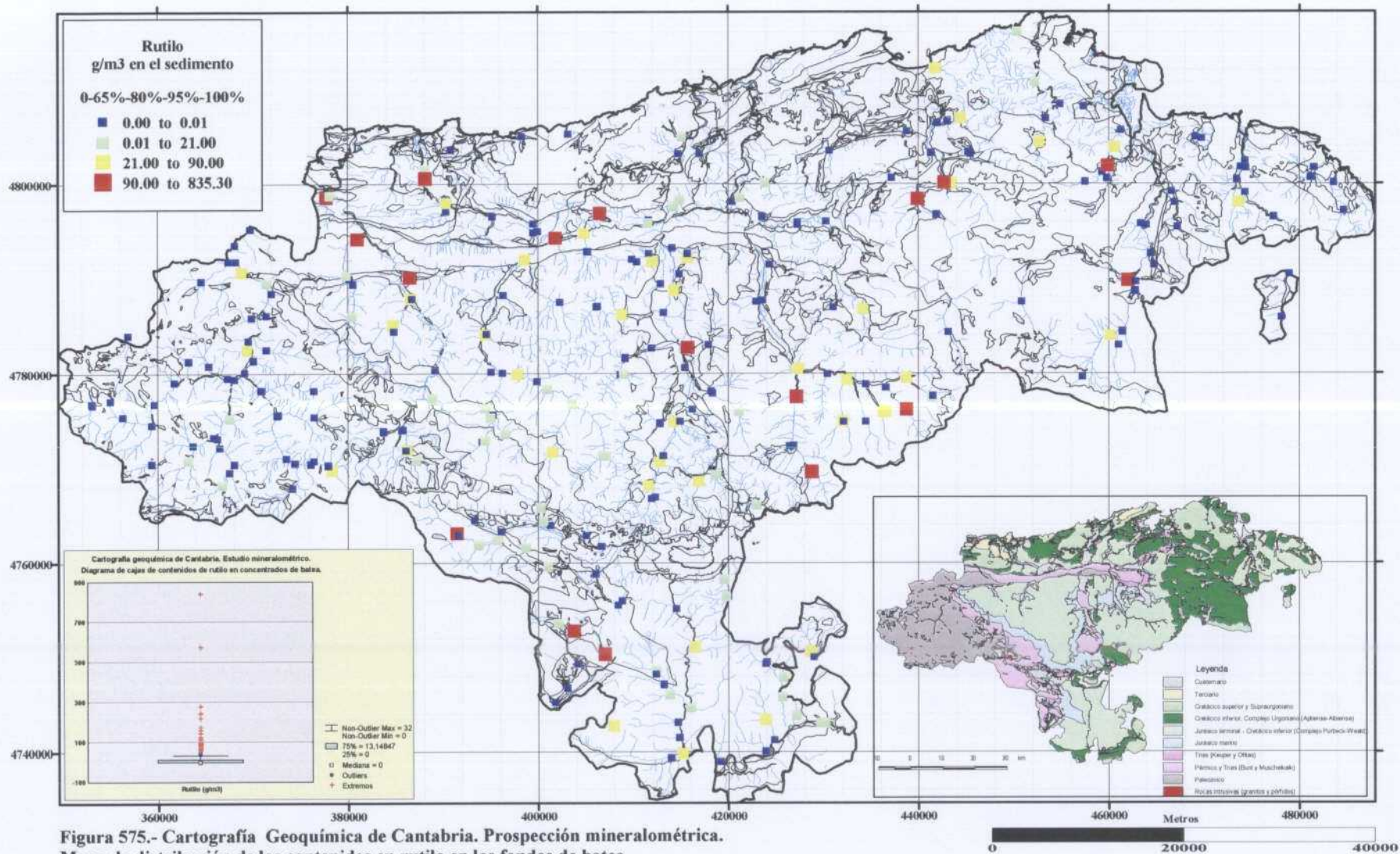


Figura 575.- Cartografía Geológica de Cantabria. Prospección mineralométrica. Mapa de distribución de los contenidos en rutilo en los fondos de balsa. Anomalías mineralométricas de rutilo

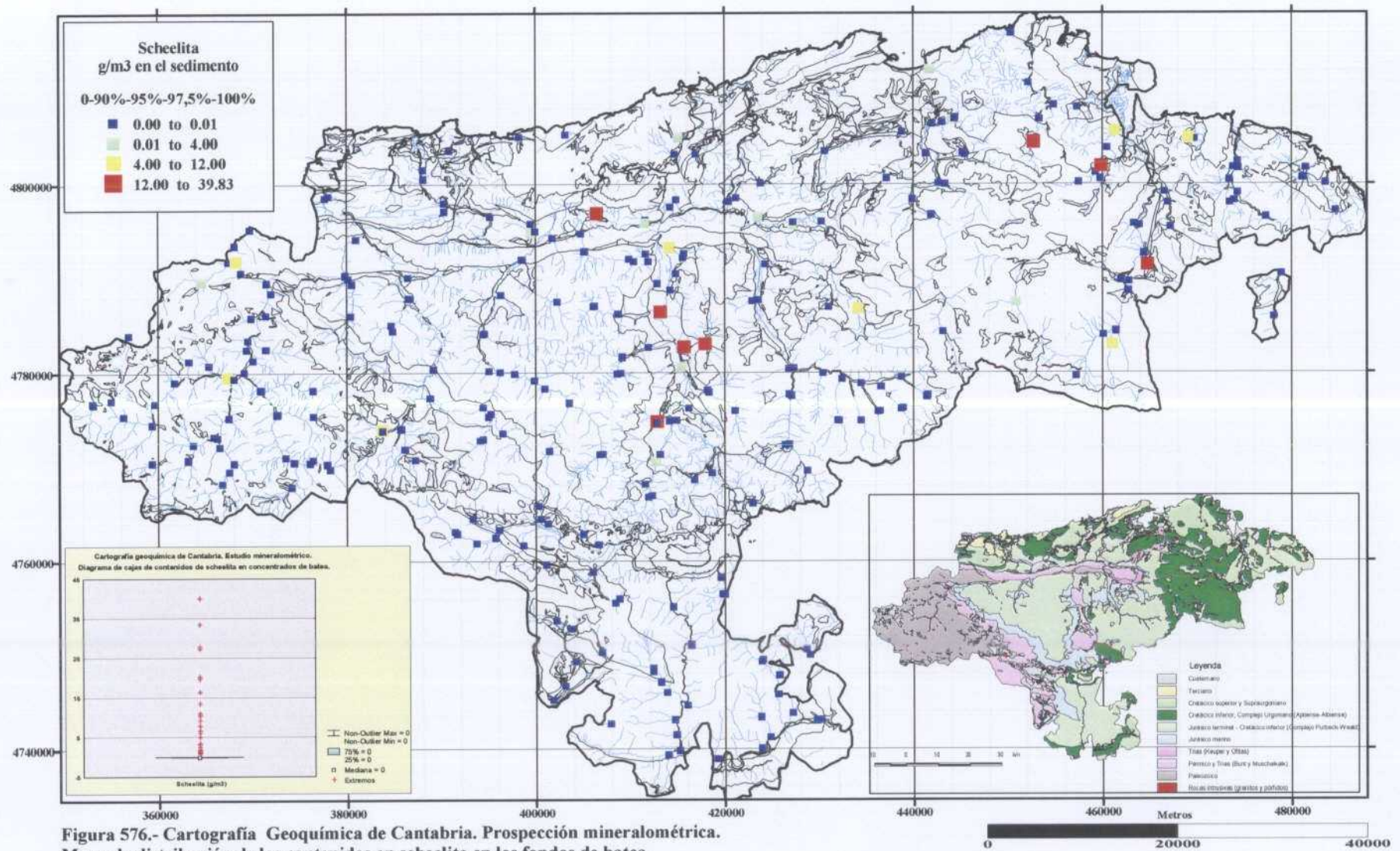
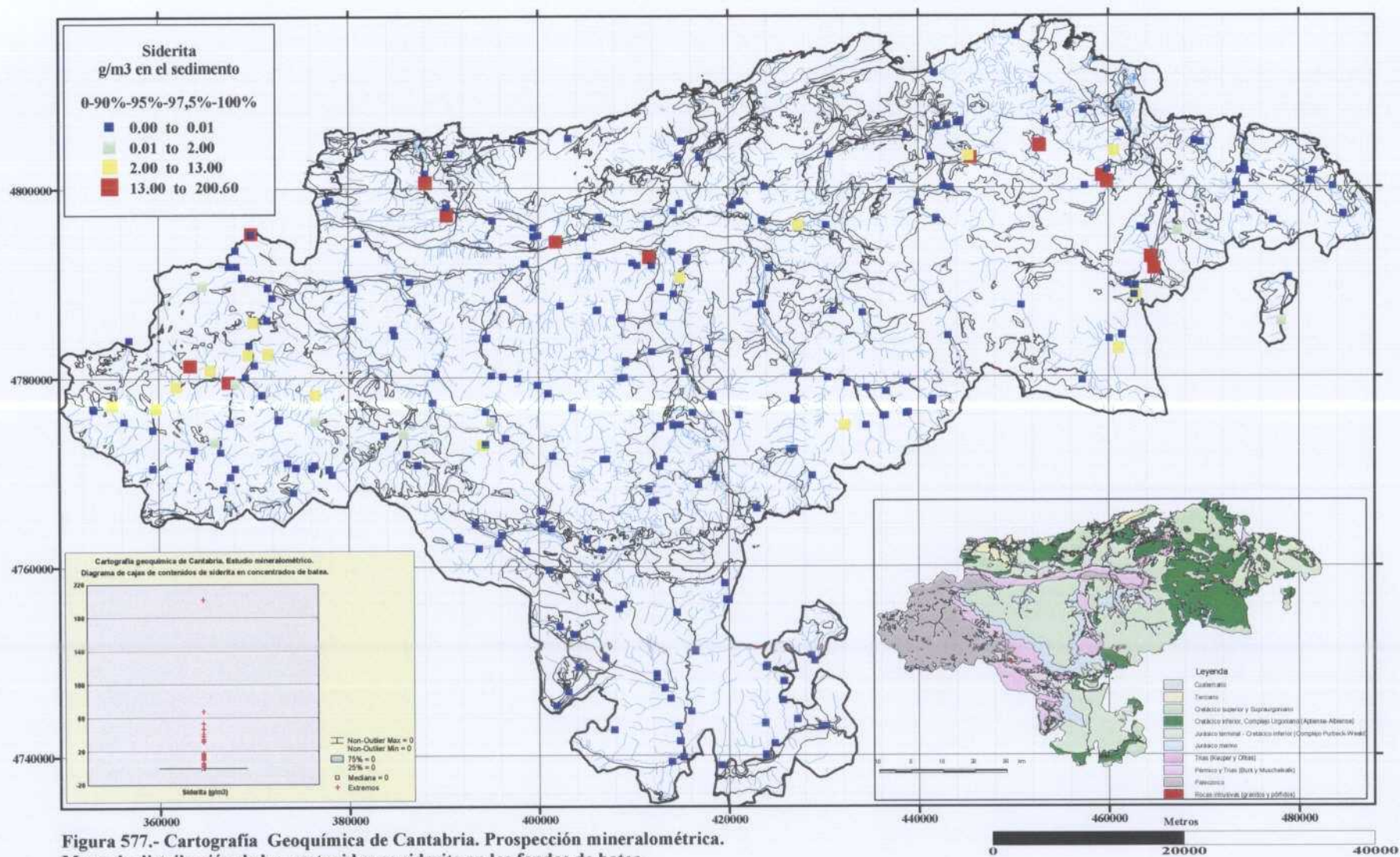
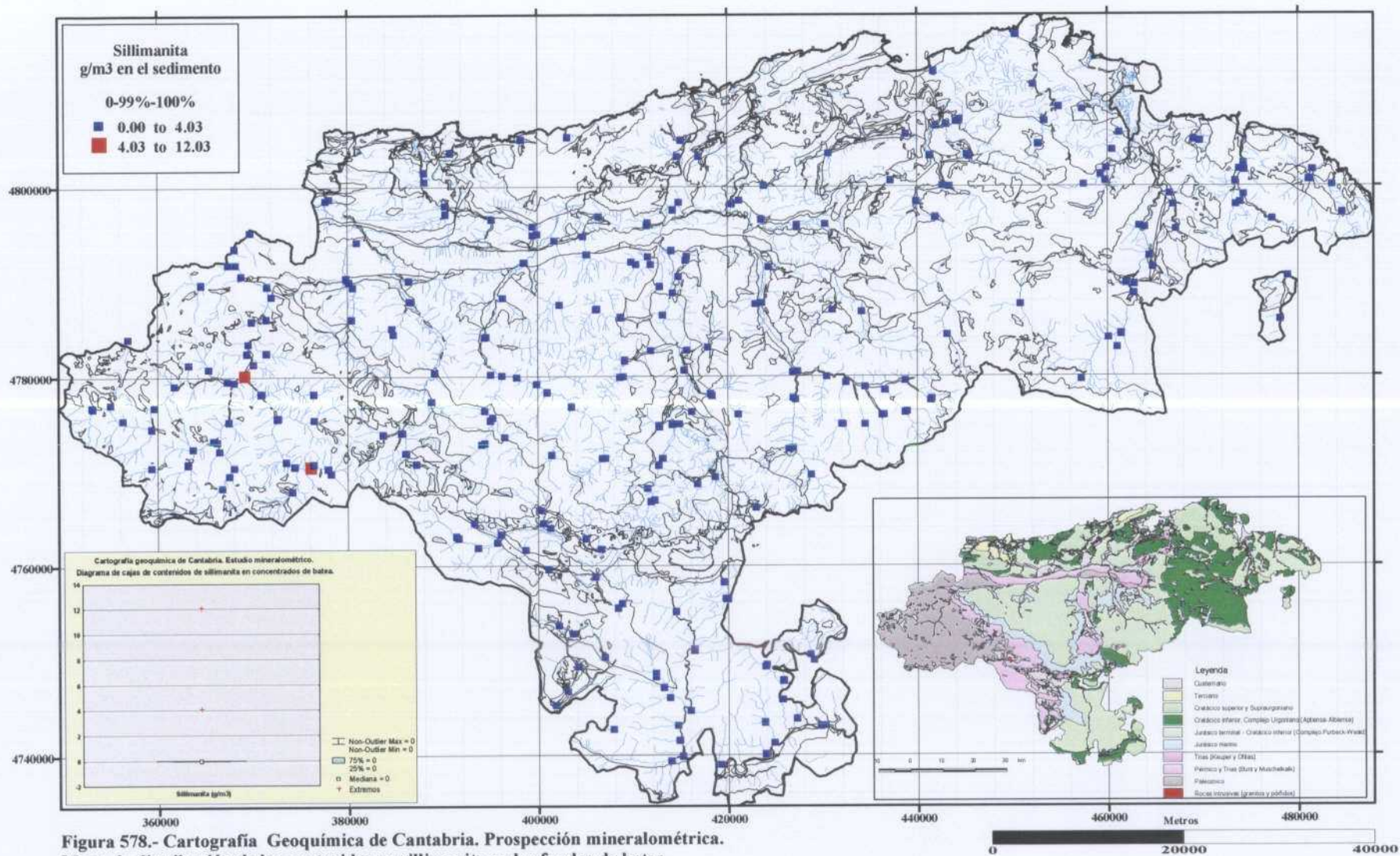


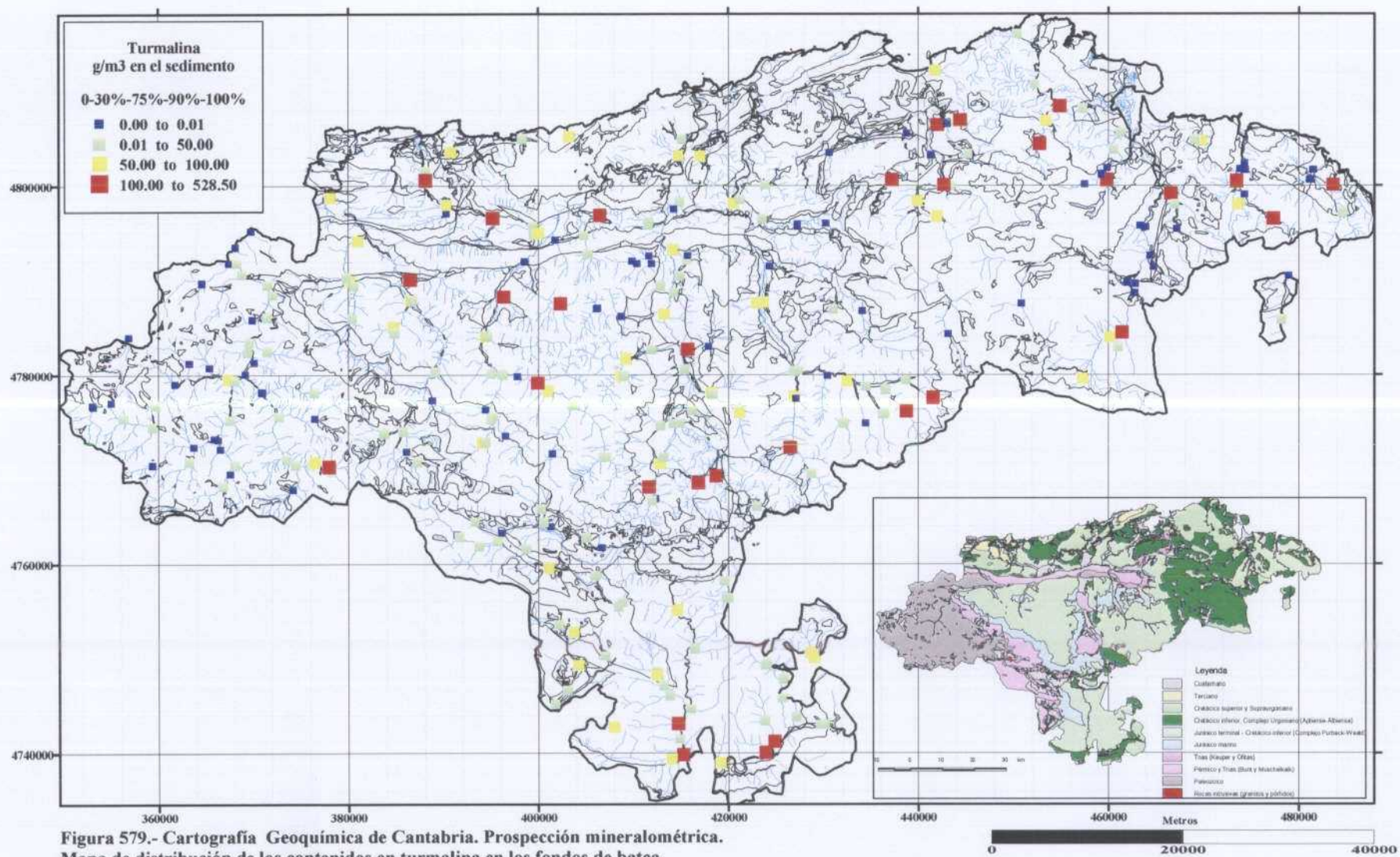
Figura 576.- Cartografía Geoquímica de Cantabria. Prospección mineralométrica. Mapa de distribución de los contenidos de scheelita en los fondos de batea. Anomalías mineralométricas de scheelita



**Figura 577.- Cartografía Geoquímica de Cantabria. Prospección mineralométrica. Mapa de distribución de los contenidos en siderita en los fondos de batea. Anomalías mineralométricas de siderita**



**Figura 578.- Cartografía Geoquímica de Cantabria. Prospección mineralométrica. Mapa de distribución de los contenidos en sillimanita en los fondos de batea. Anomalías mineralométricas de sillimanita**



**Figura 579.- Cartografía Geoquímica de Cantabria. Prospección mineralométrica. Mapa de distribución de los contenidos en turmalina en los fondos de batea. Anomalías mineralométricas de turmalina**

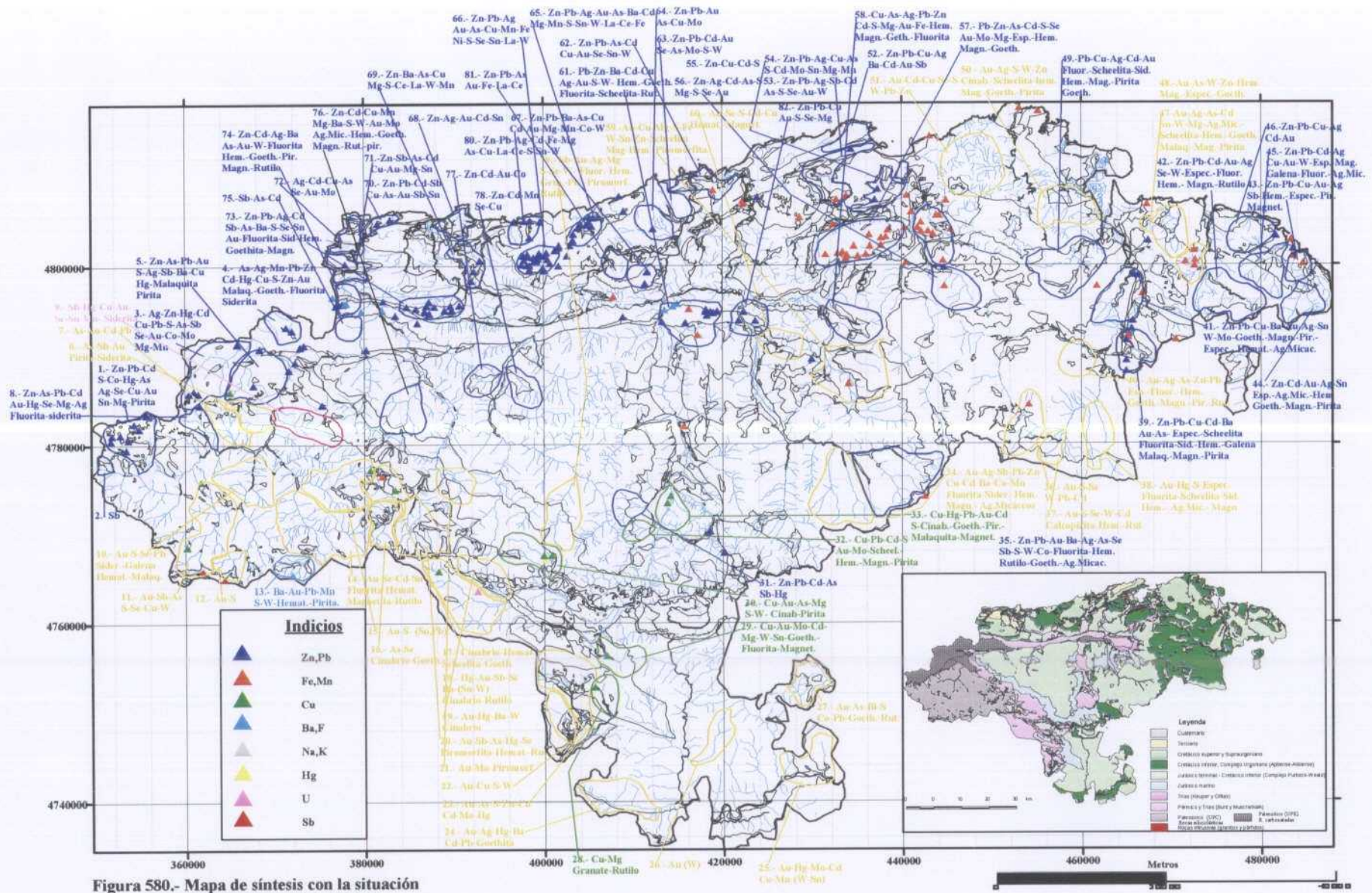


Figura 580.- Mapa de síntesis con la situación de las zonas o cuencas geoquímicamente anómalas y de los indicios mineros conocidos

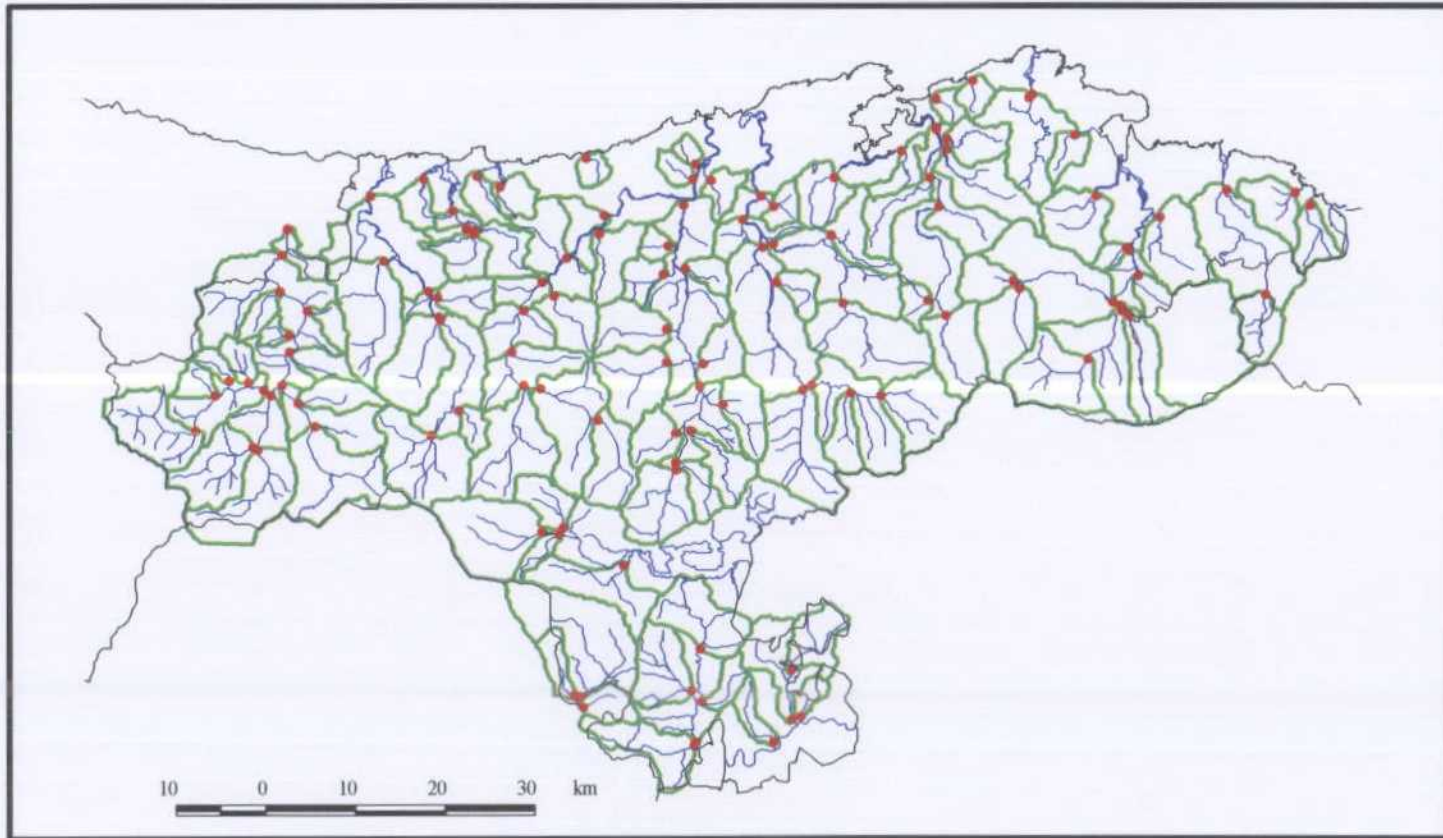


Figura 582 . Delimitación de las cuencas hidrográficas muestreadas y ubicación de los puntos de muestreo



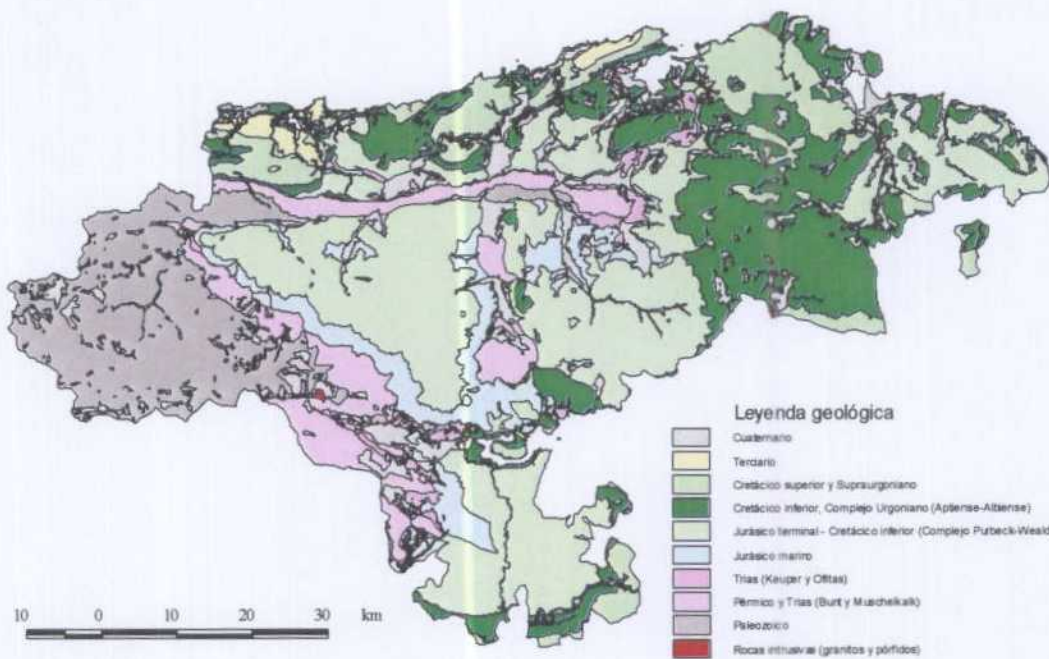
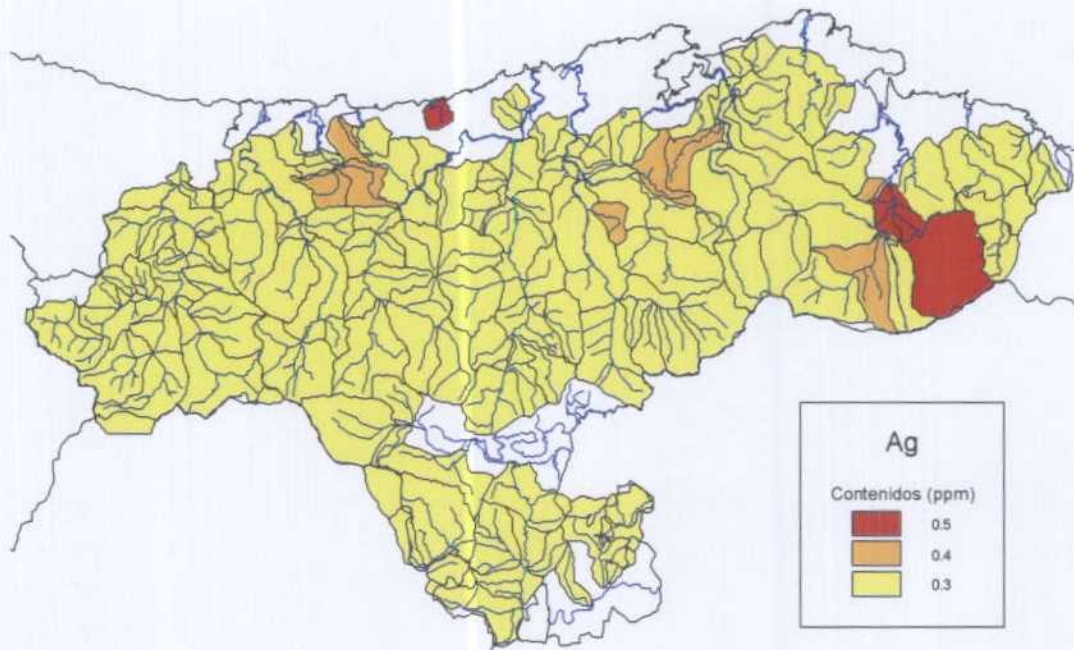


Figura 583. Distribución de los contenidos de Ag en los sedimentos de llanura de inundación (muestra superior) en las distintas cuencas hidrográficas

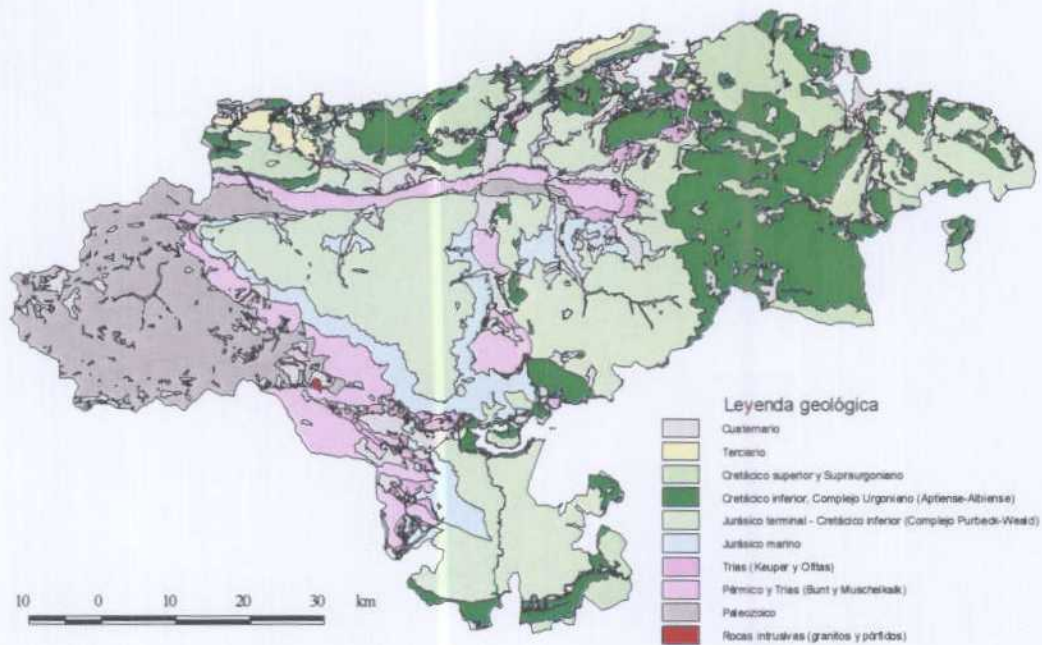
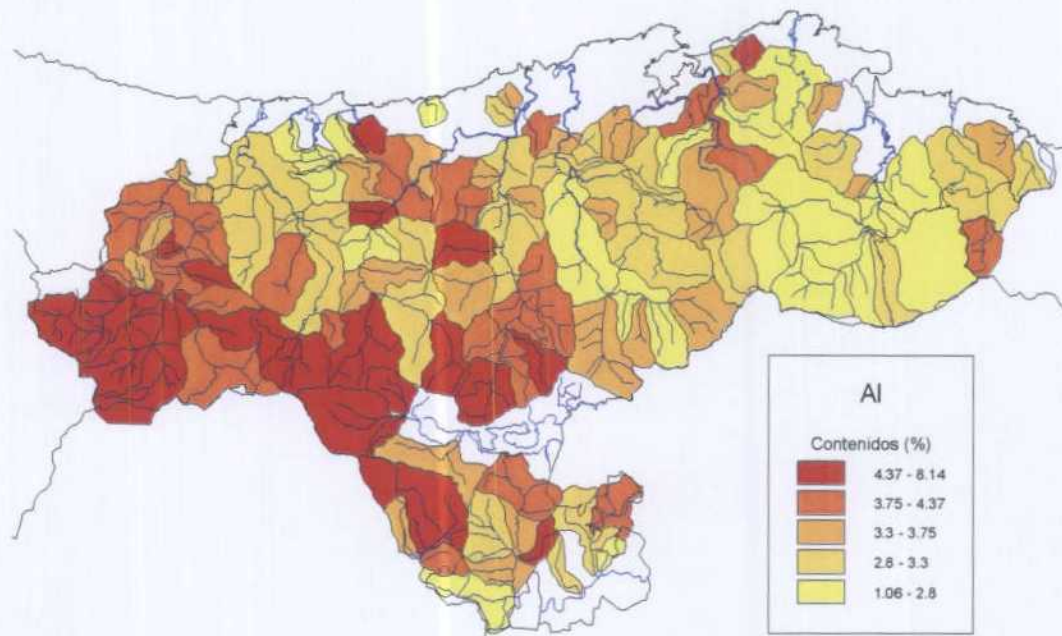


Figura 584. Distribución de los contenidos de Al en los sedimentos de llanura de inundación (muestra superior) en las distintas cuencas hidrográficas

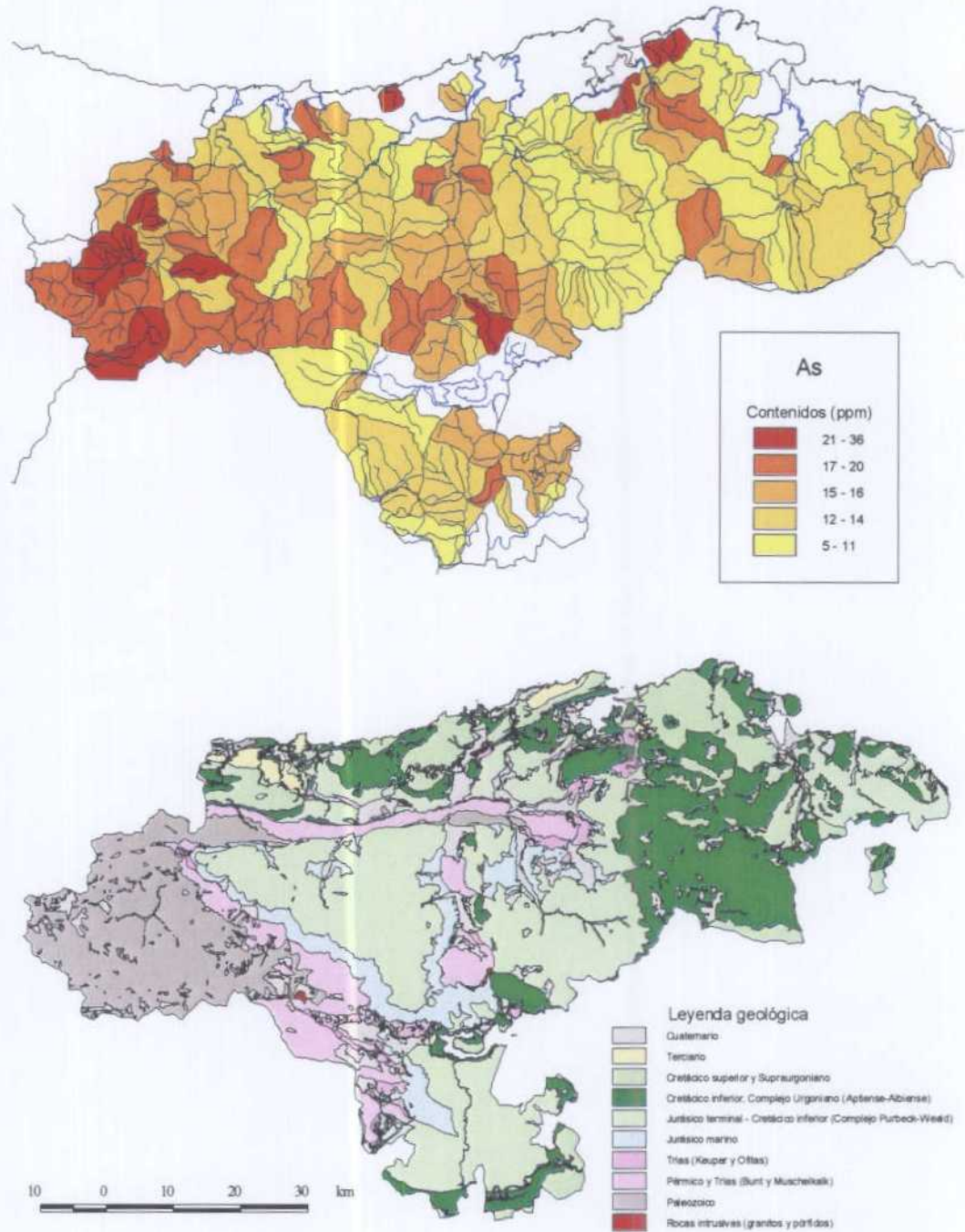


Figura 585. Distribución de los contenidos de As en los sedimentos de llanura de inundación (muestra superior) en las distintas cuencas hidrográficas

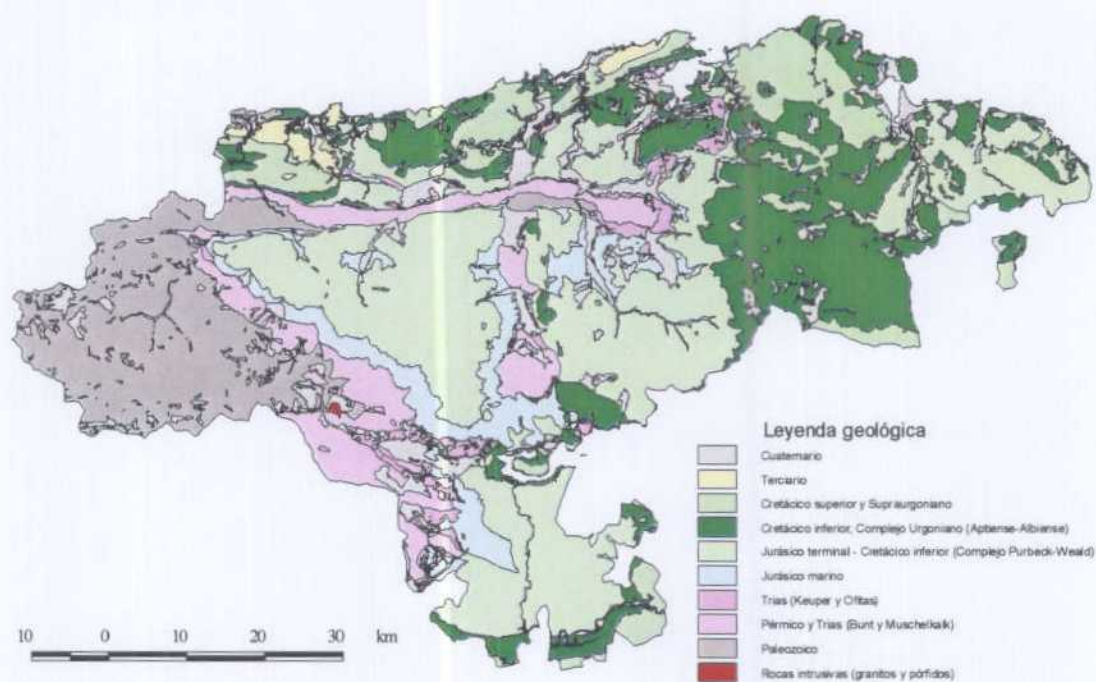
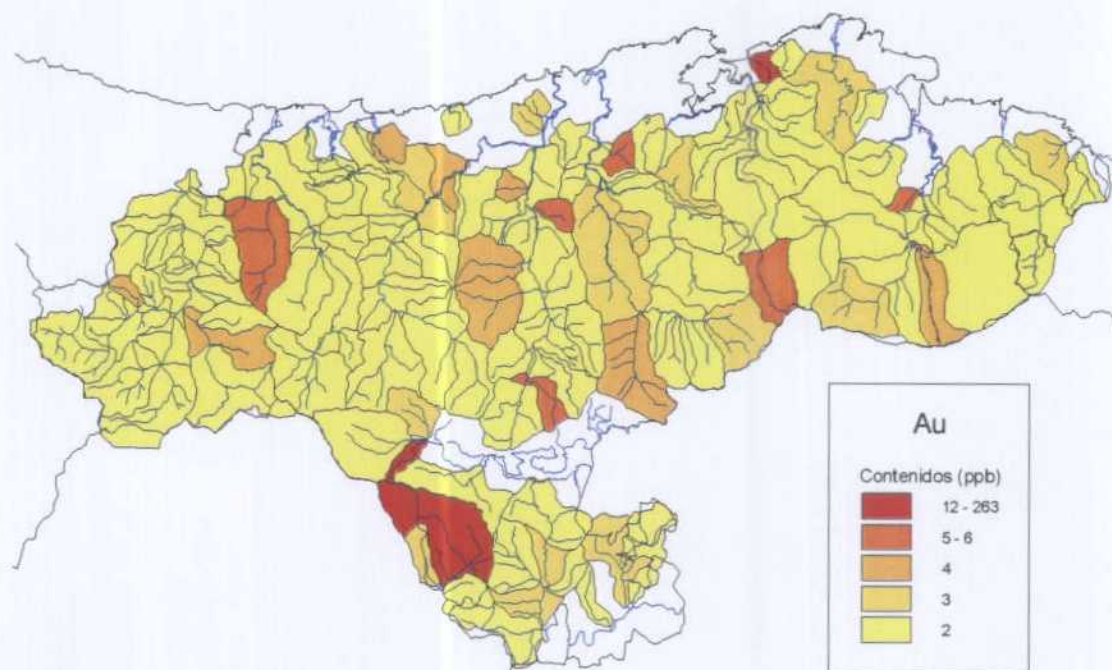


Figura 586. Distribución de los contenidos de Au en los sedimentos de llanura de inundación (muestra superior) en las distintas cuencas hidrográficas

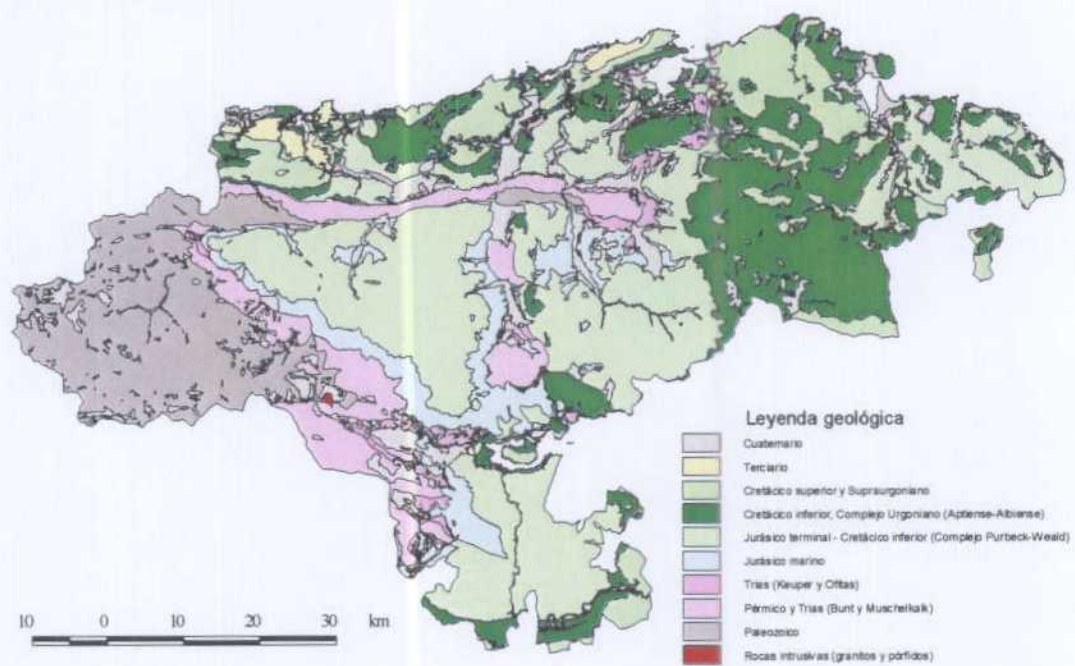
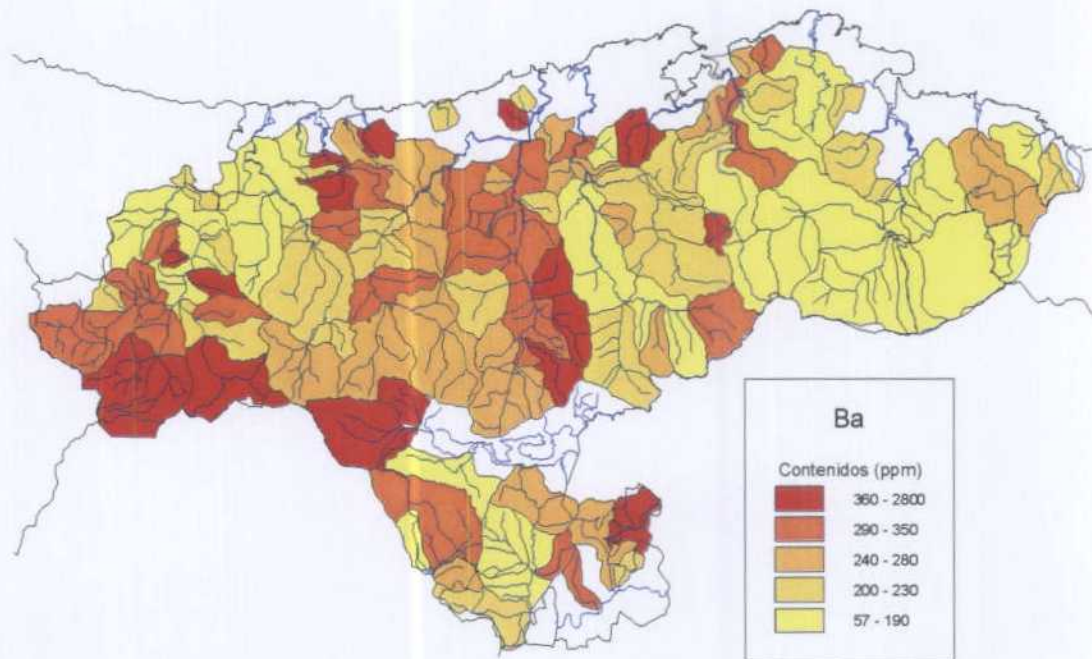


Figura 587. Distribución de los contenidos de Ba en los sedimentos de llanura de inundación (muestra superior) en las distintas cuencas hidrográficas

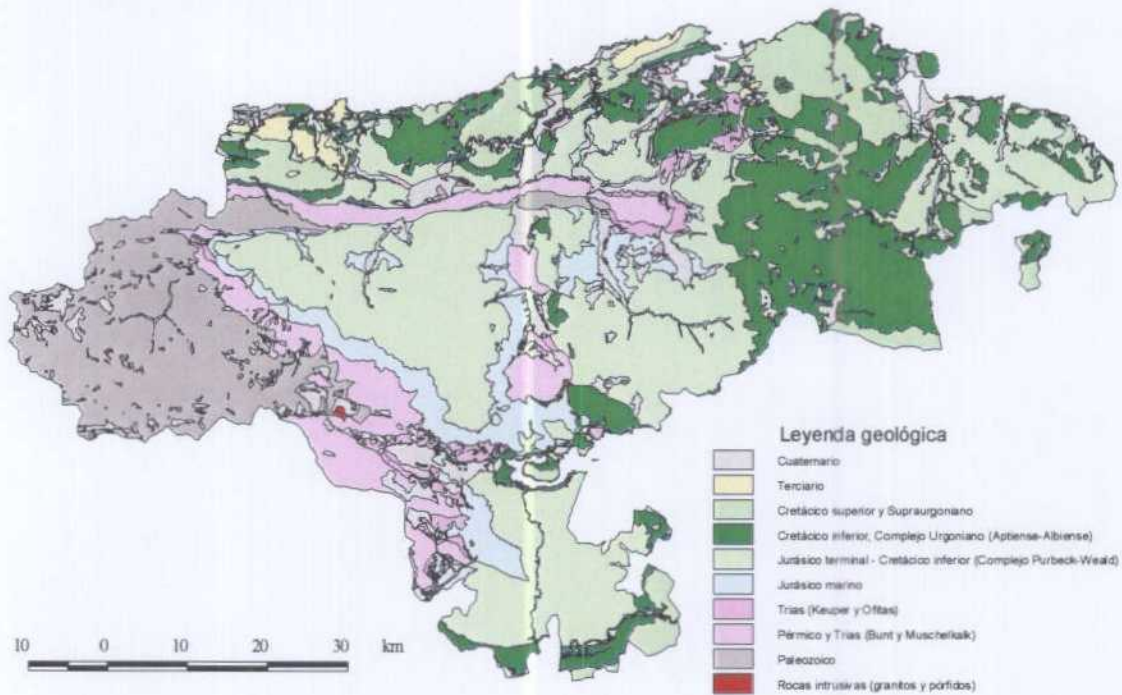
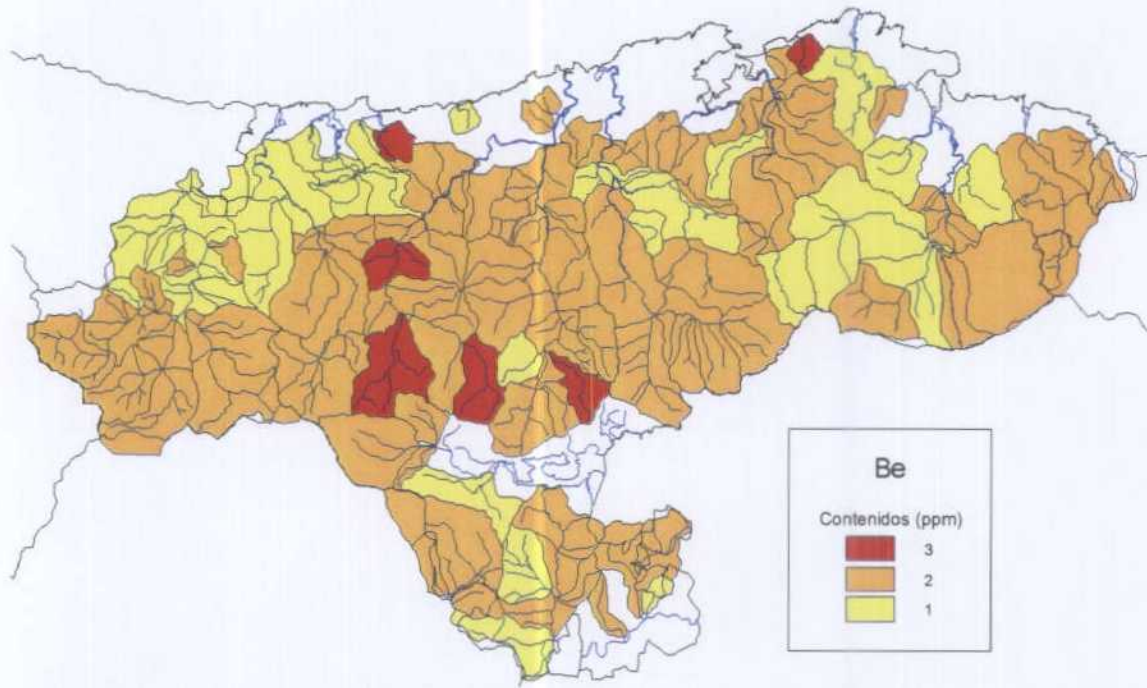


Figura 588. Distribución de los contenidos de Be en los sedimentos de llanura de inundación (muestra superior) en las distintas cuencas hidrográficas

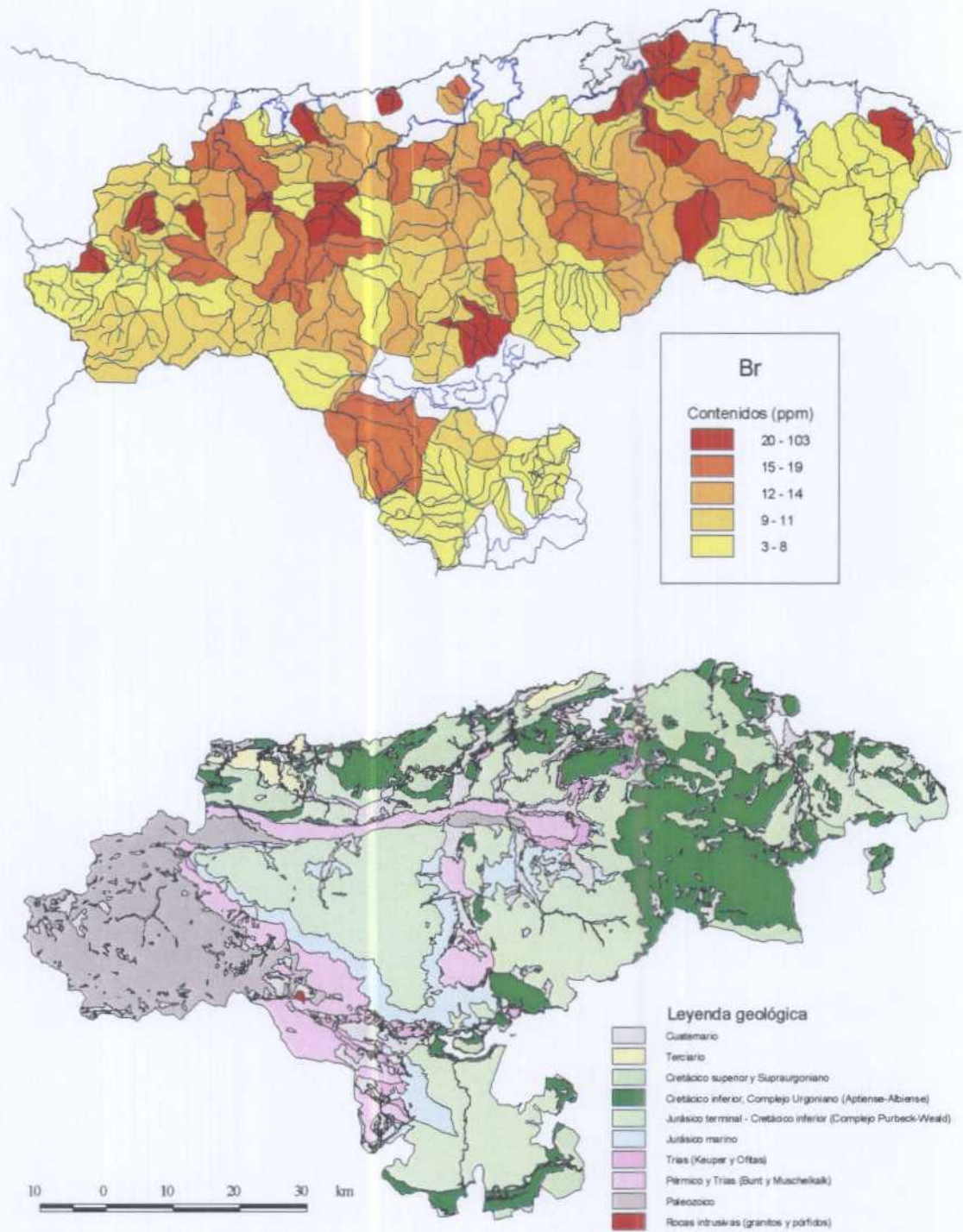


Figura 589. Distribución de los contenidos de Br en los sedimentos de llanura de inundación (muestra superior) en las distintas cuencas hidrográficas

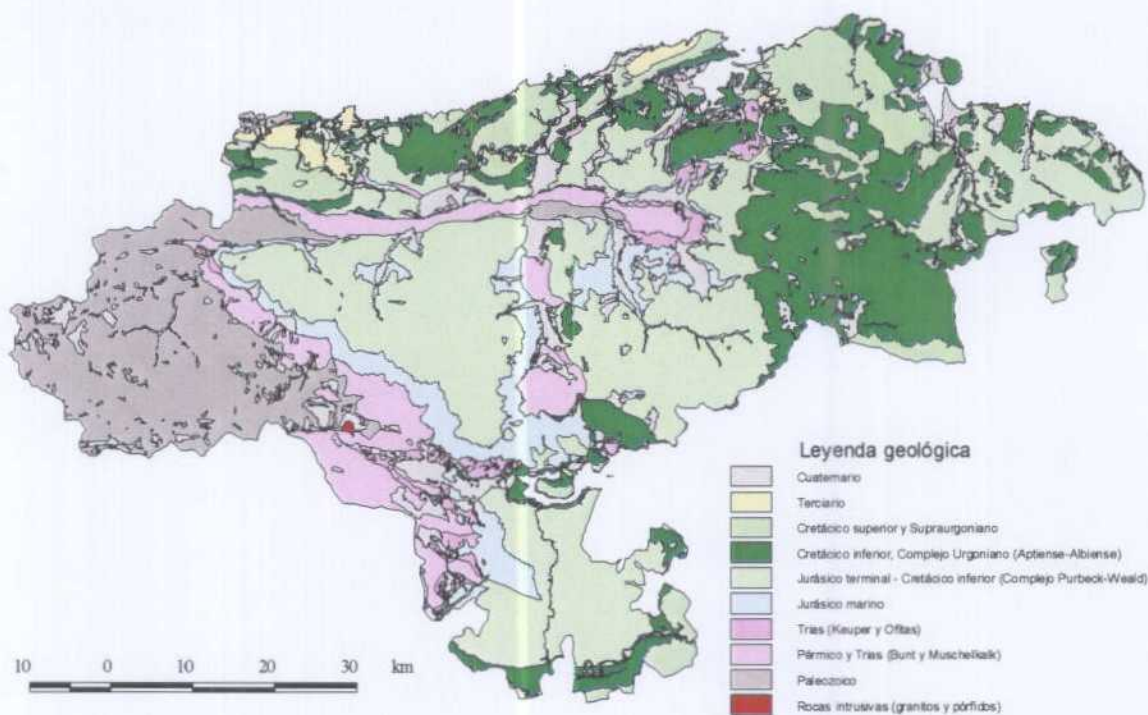
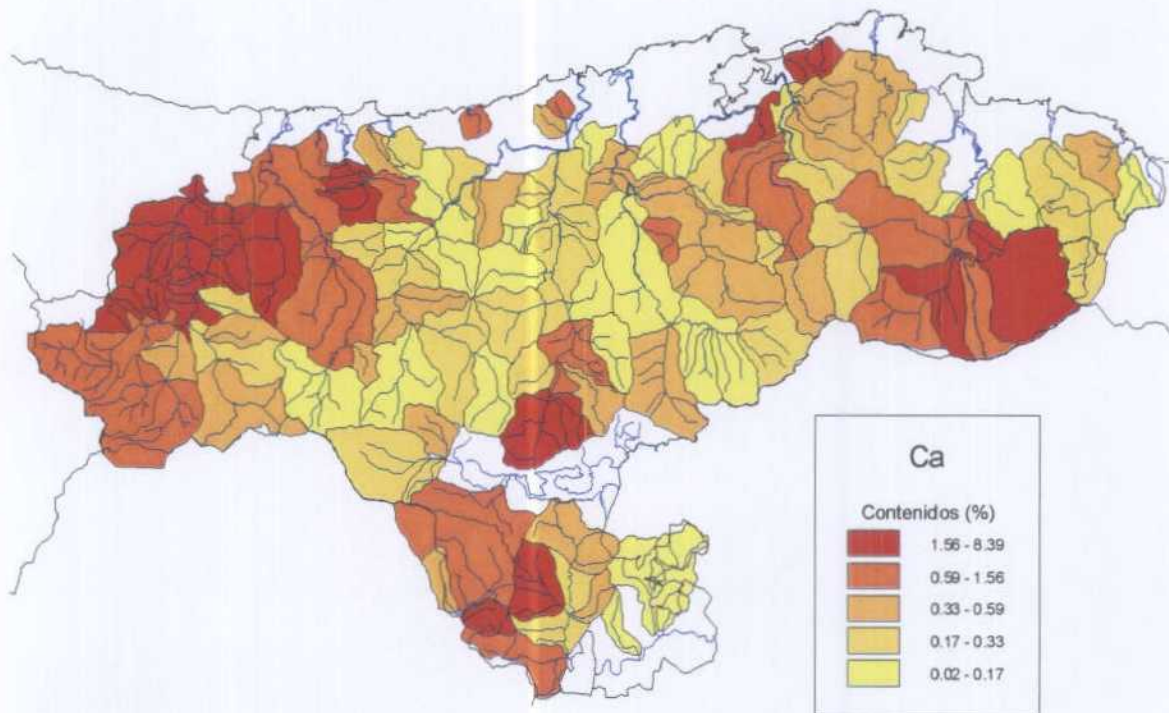


Figura 590. Distribución de los contenidos de Ca en los sedimentos de llanura de inundación (muestra superior) en las distintas cuencas hidrográficas



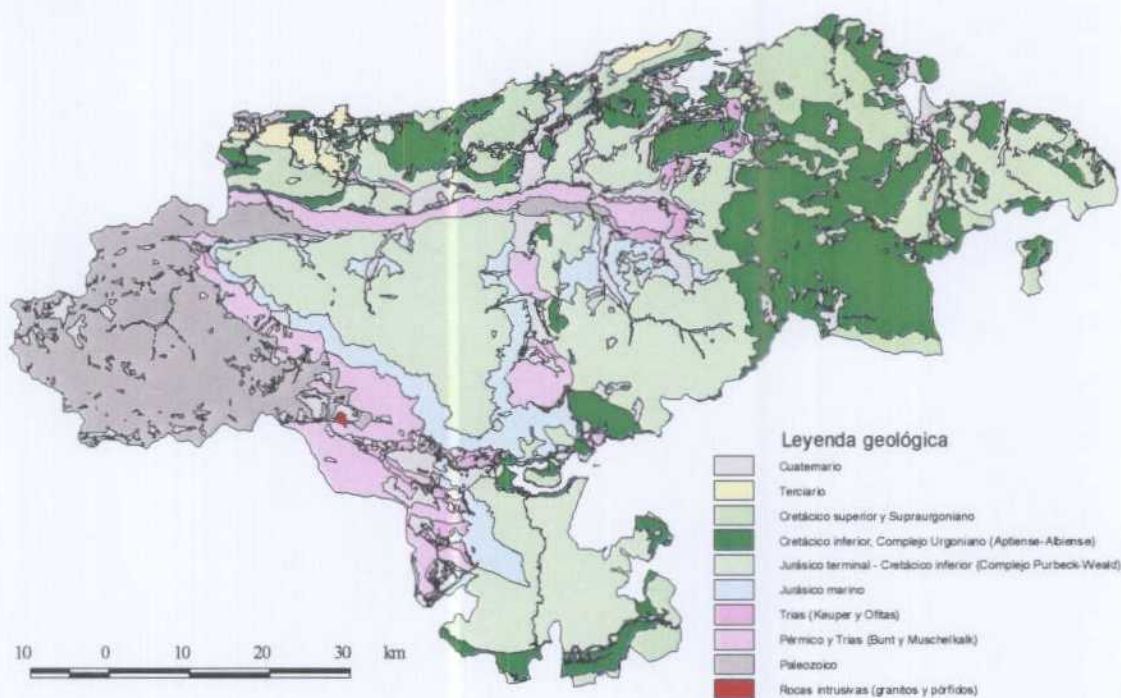
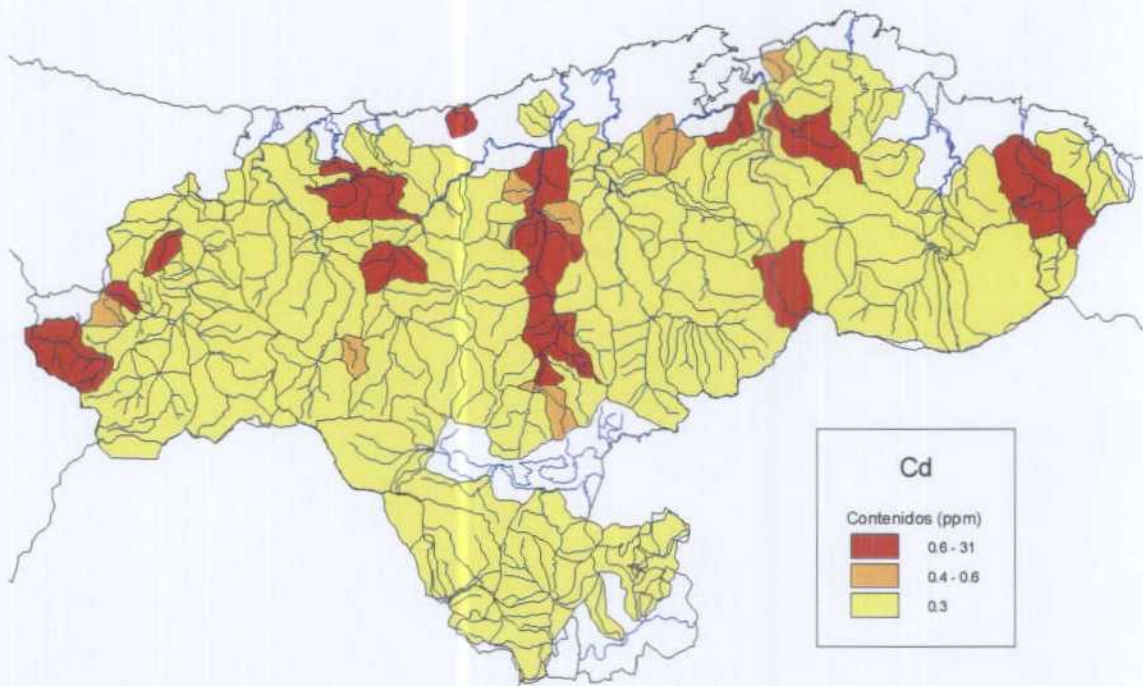


Figura 591. Distribución de los contenidos de Cd en los sedimentos de llanura de inundación (muestra superior) en las distintas cuencas hidrográficas

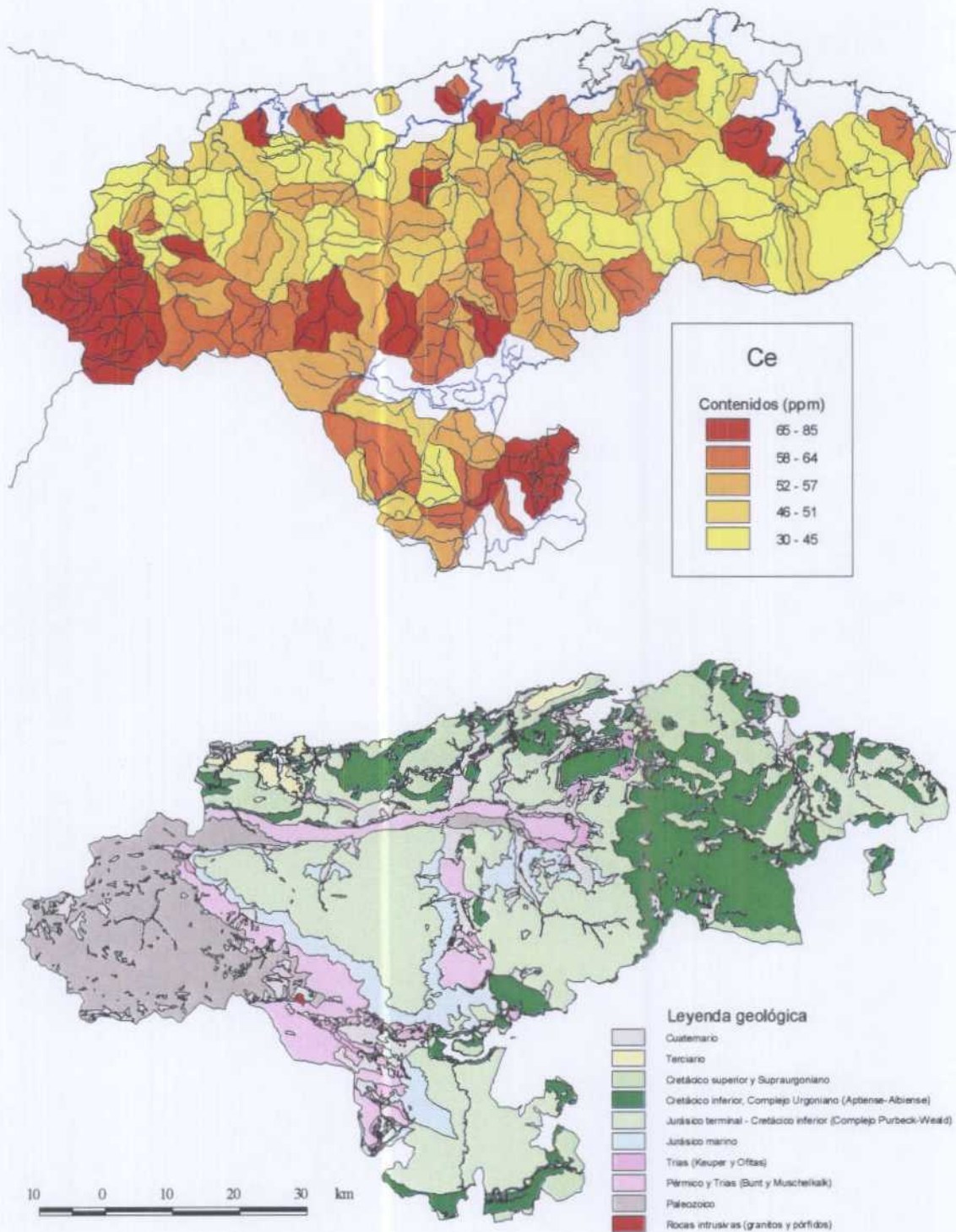


Figura 592. Distribución de los contenidos de Ce en los sedimentos de llanura de inundación (muestra superior) en las distintas cuencas hidrográficas

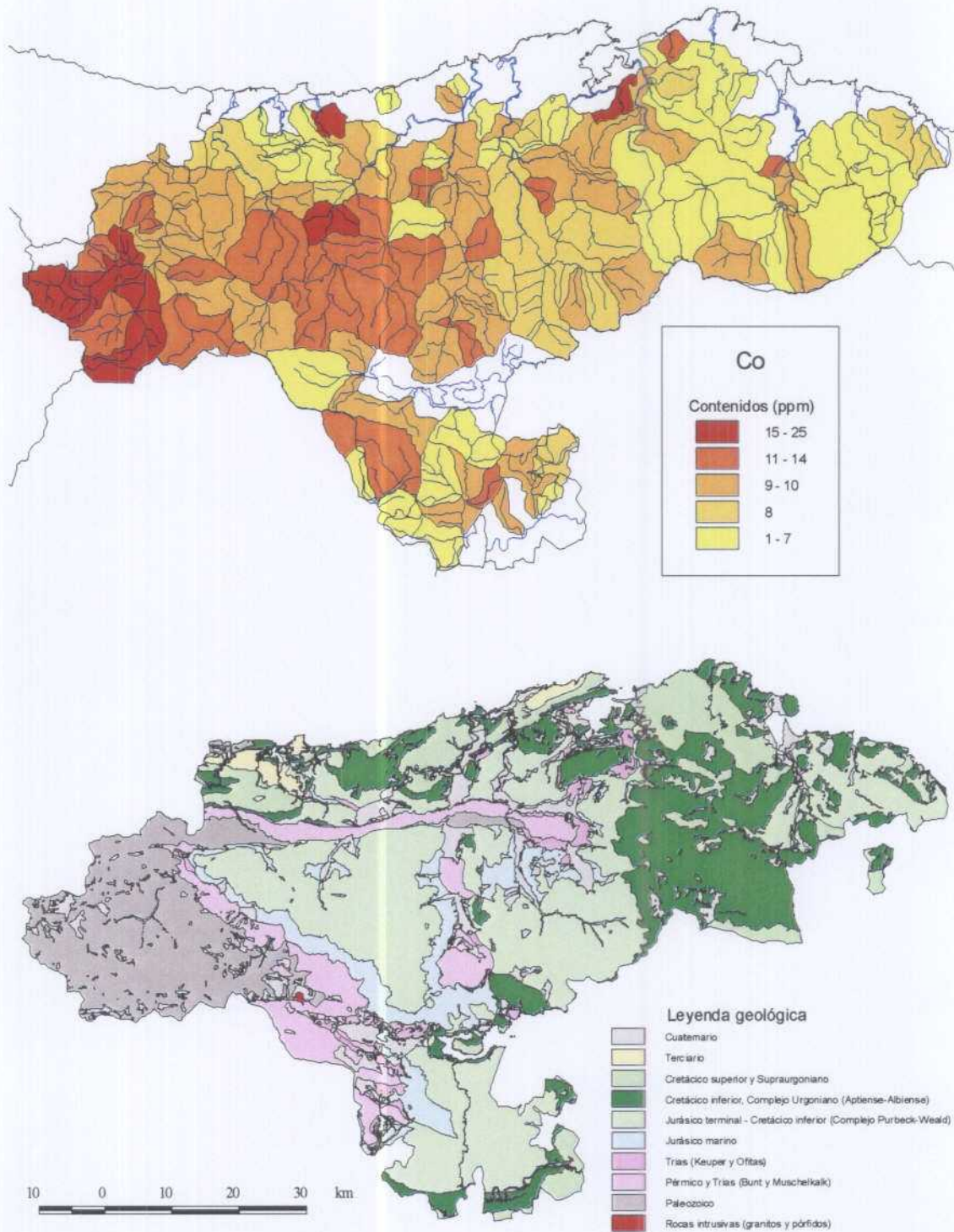


Figura 593. Distribución de los contenidos de Co en los sedimentos de llanura de inundación (muestra superior) en las distintas cuencas hidrográficas

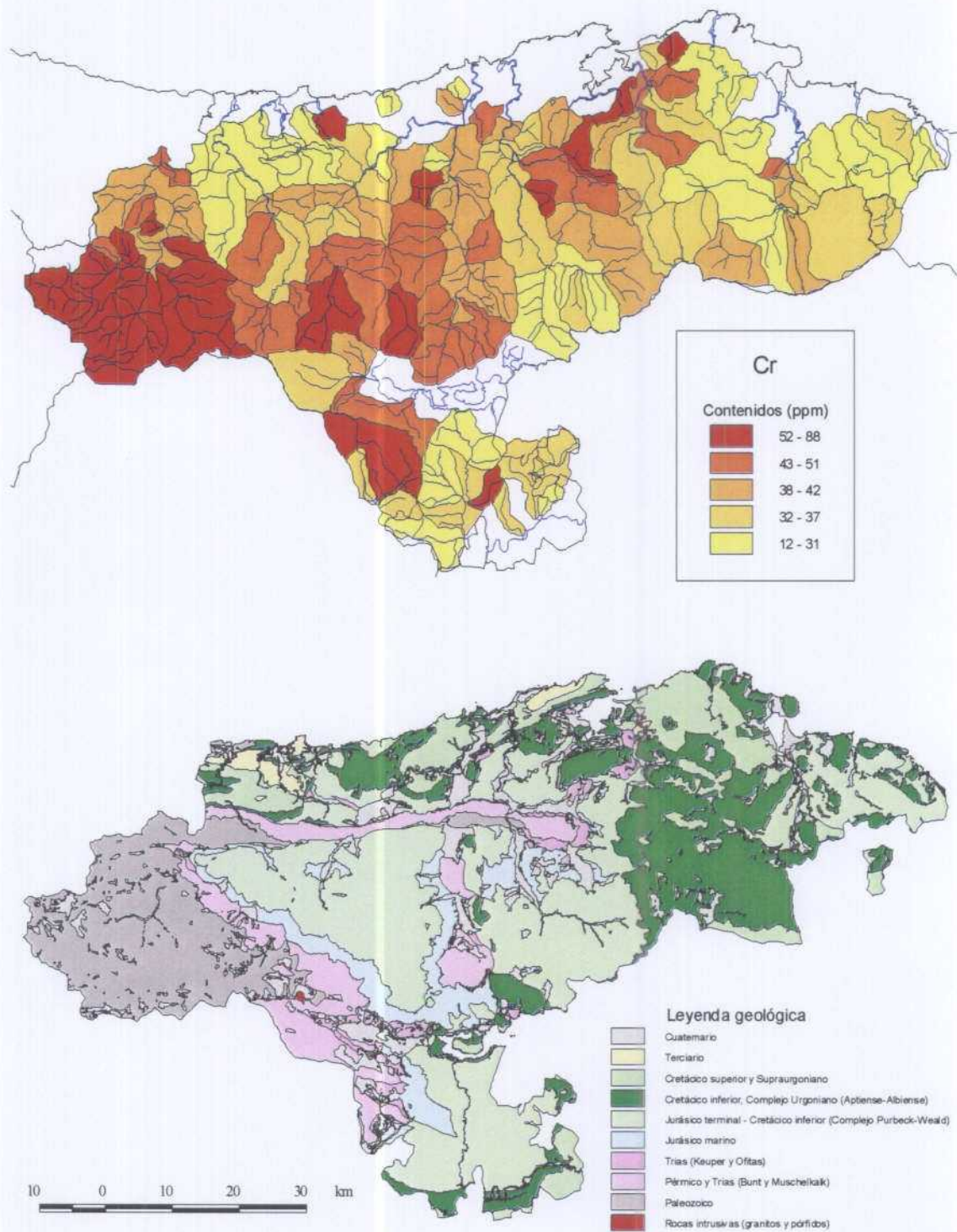


Figura 594. Distribución de los contenidos de Cr en los sedimentos de llanura de inundación (muestra superior) en las distintas cuencas hidrográficas

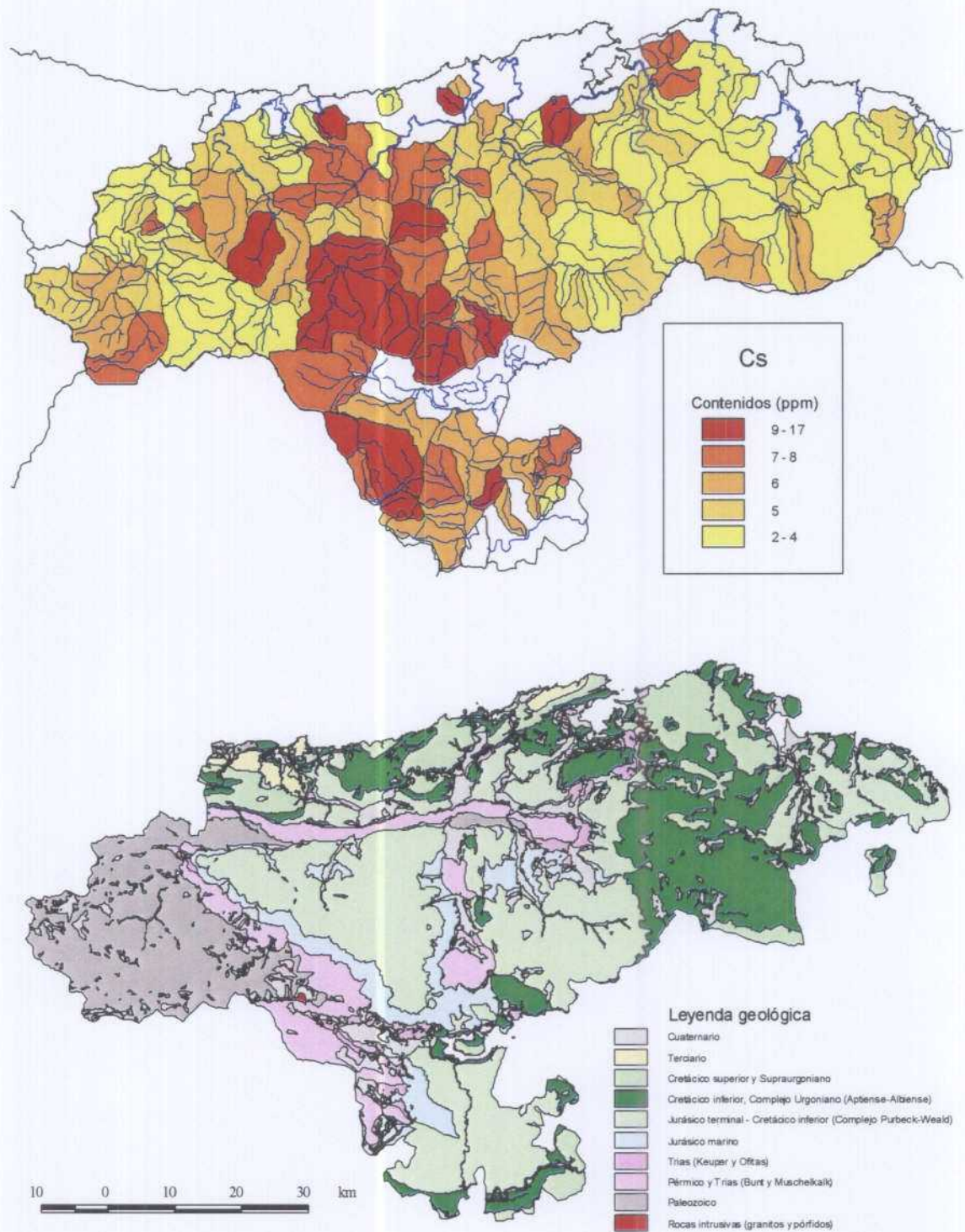


Figura 595. Distribución de los contenidos de Cs en los sedimentos de llanura de inundación (muestra superior) en las distintas cuencas hidrográficas

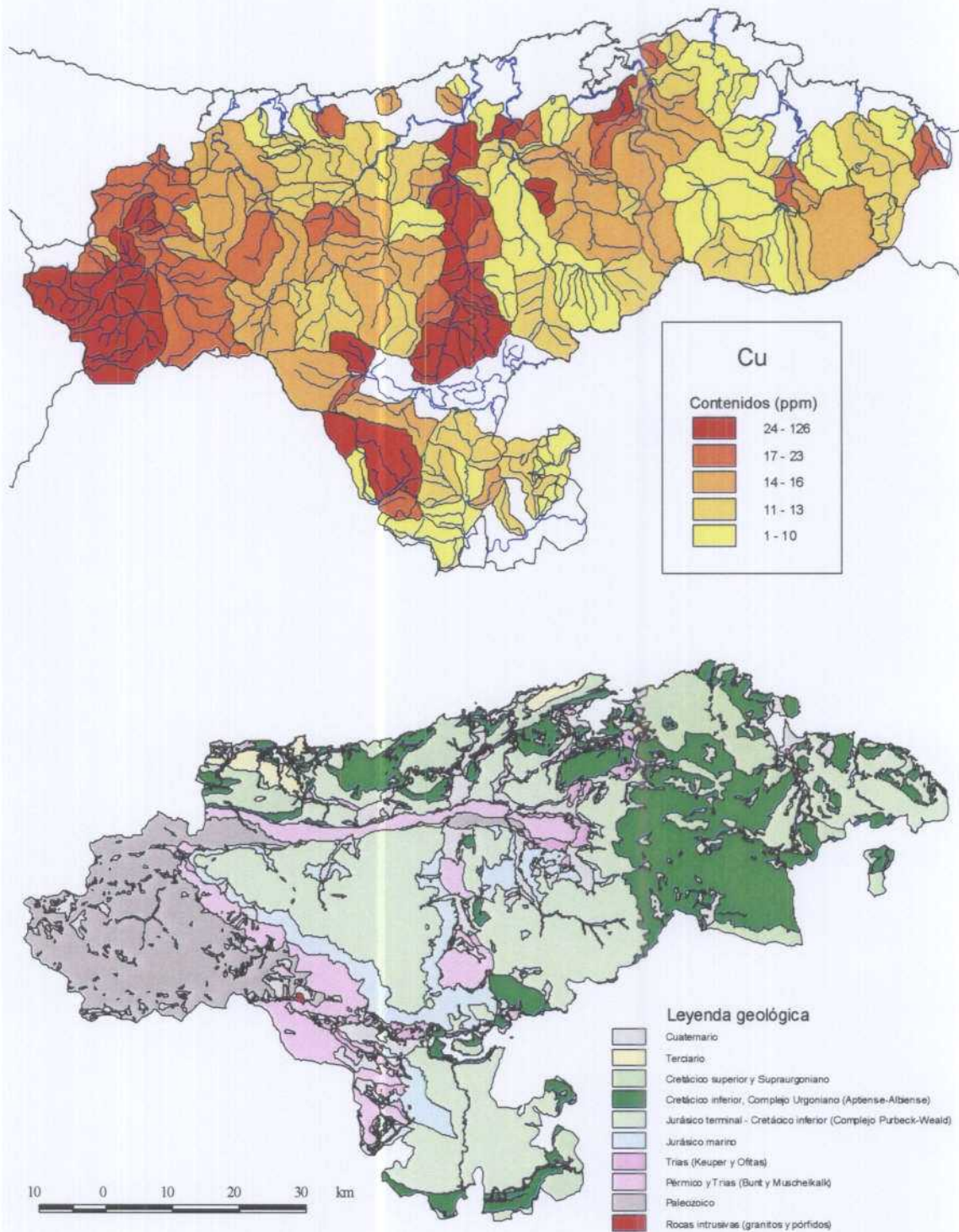


Figura 596. Distribución de los contenidos de Cu en los sedimentos de llanura de inundación (muestra superior) en las distintas cuencas hidrográficas

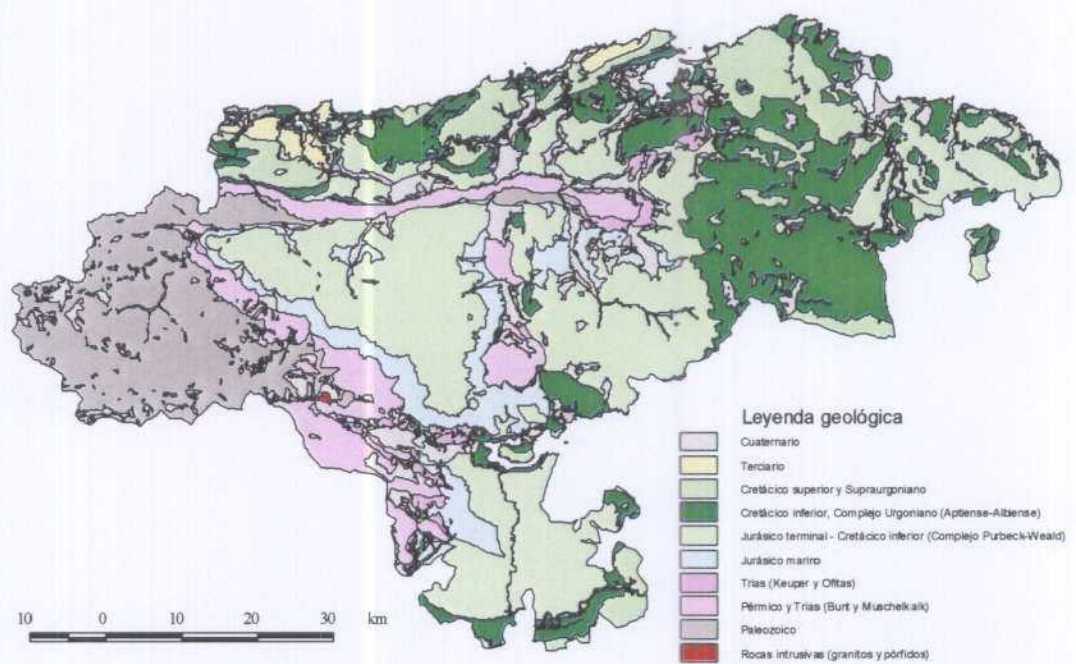
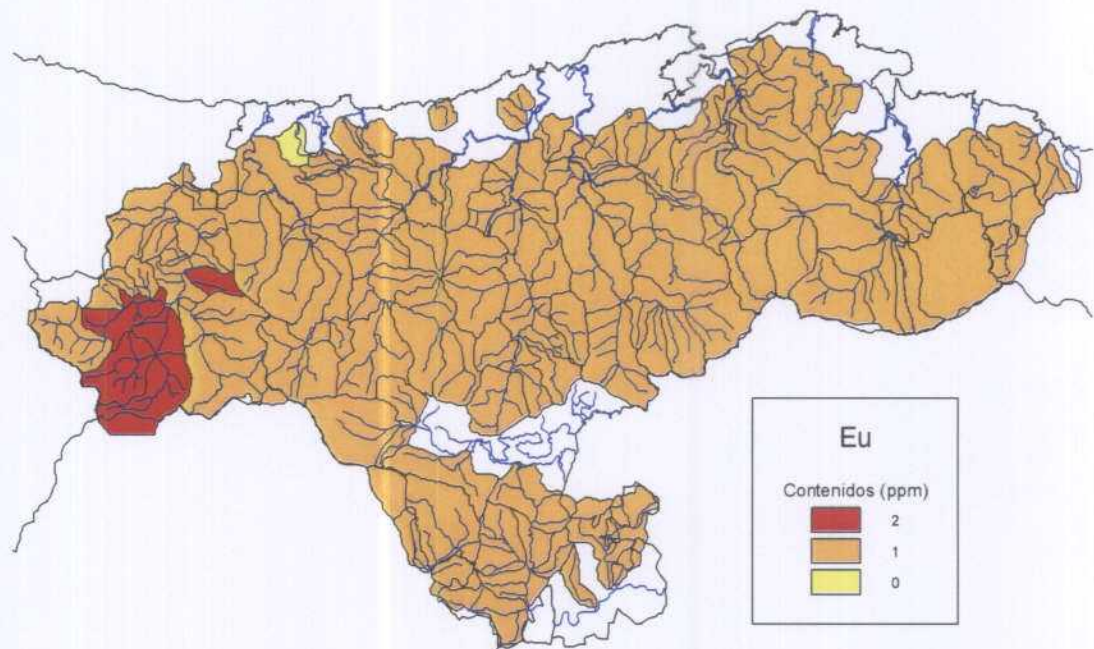


Figura 597. Distribución de los contenidos de Eu en los sedimentos de llanura de inundación (muestra superior) en las distintas cuencas hidrográficas

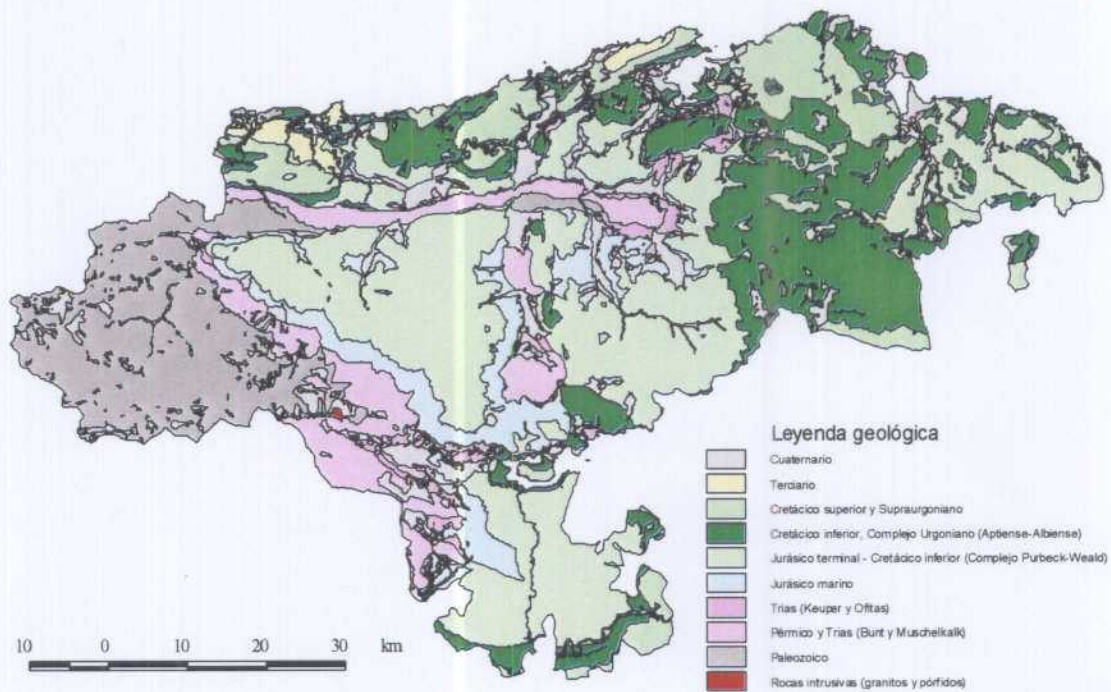
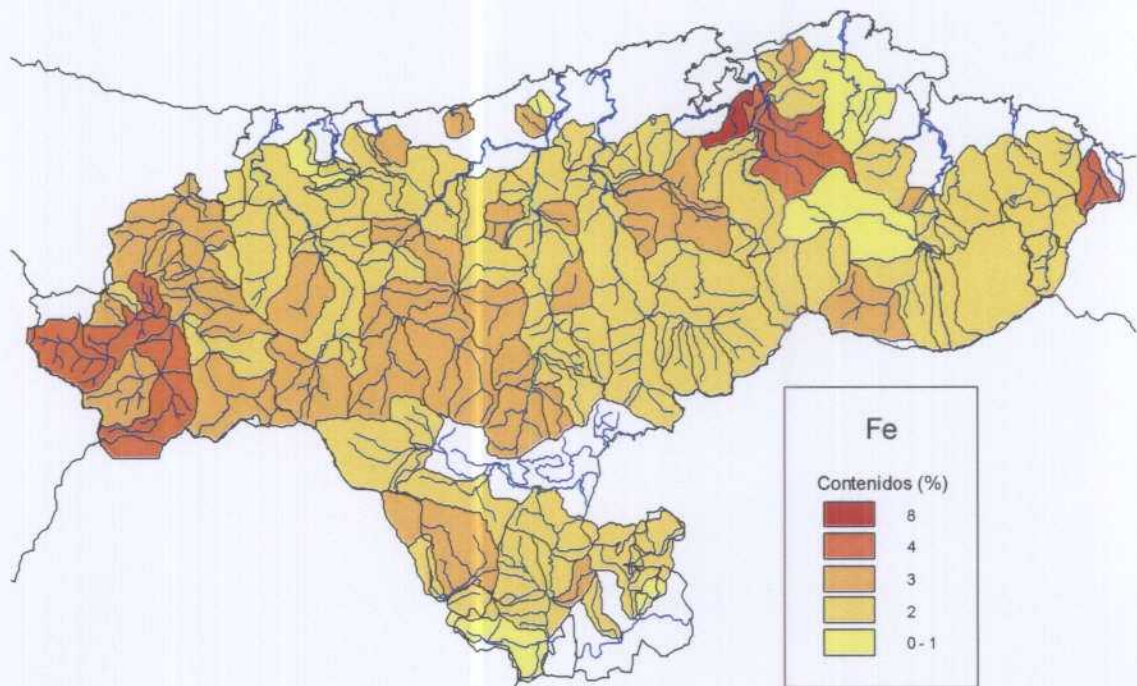


Figura 598. Distribución de los contenidos de Fe en los sedimentos de llanura de inundación (muestra superior) en las distintas cuencas hidrográficas



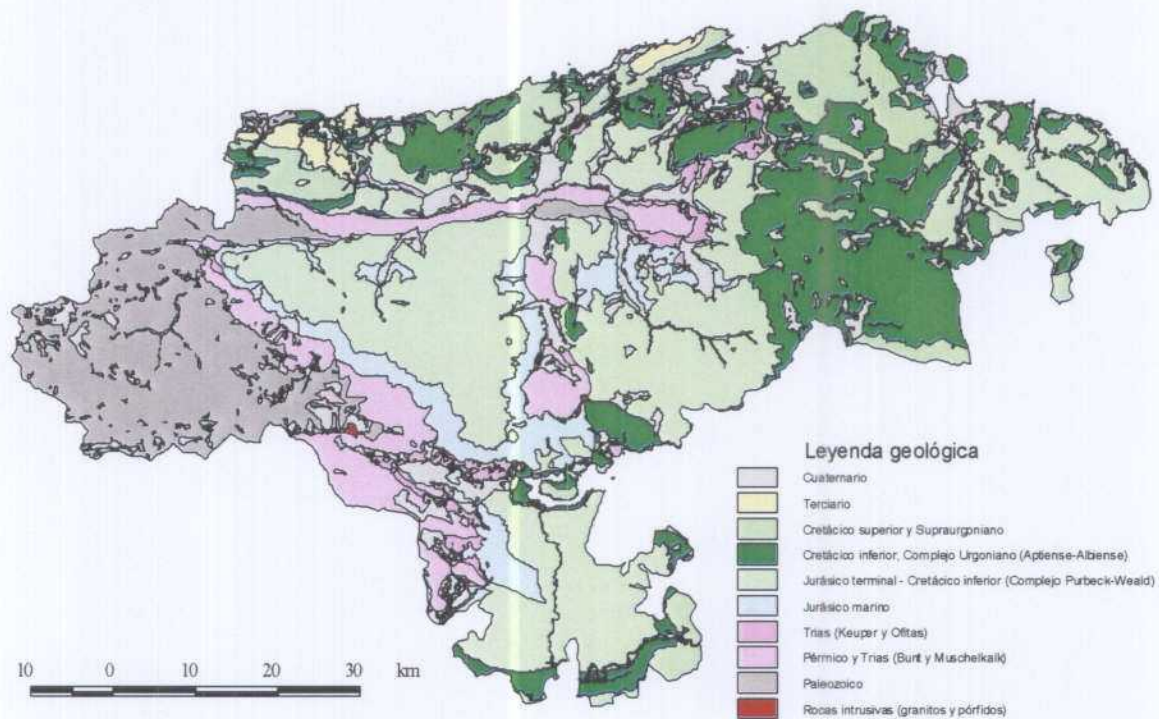
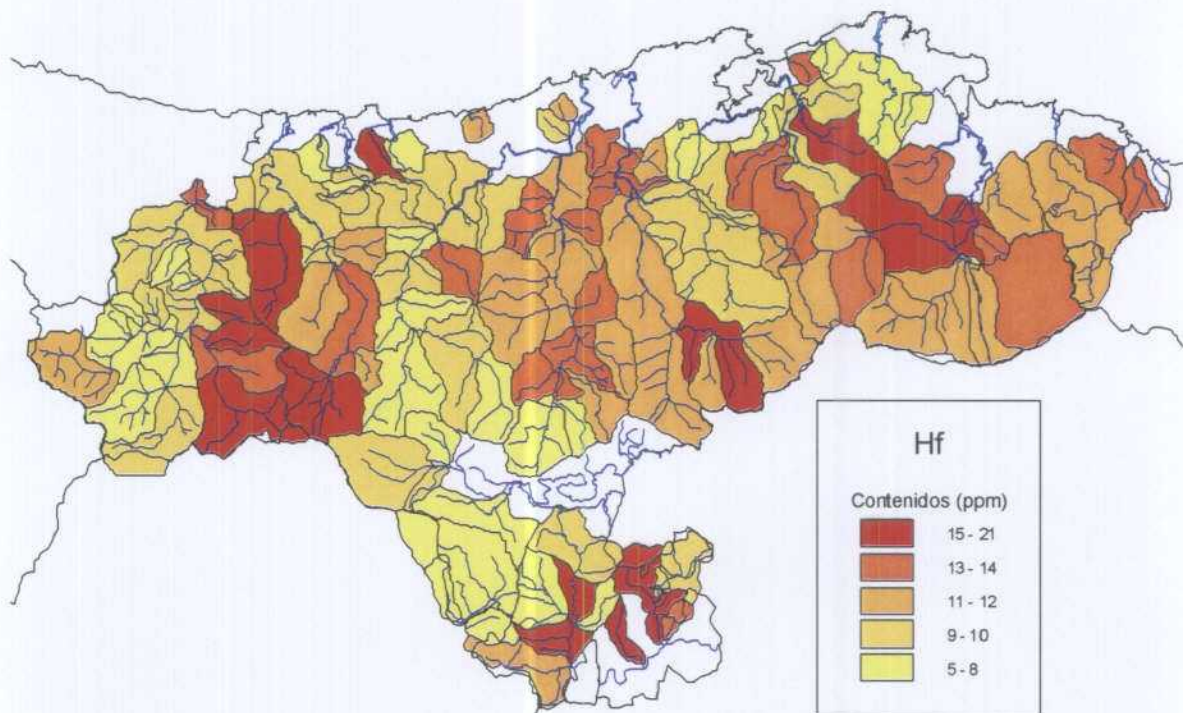


Figura 599 . Distribución de los contenidos de Cu en los sedimentos de llanura de inundación (muestra superior) en las distintas cuencas hidrográficas

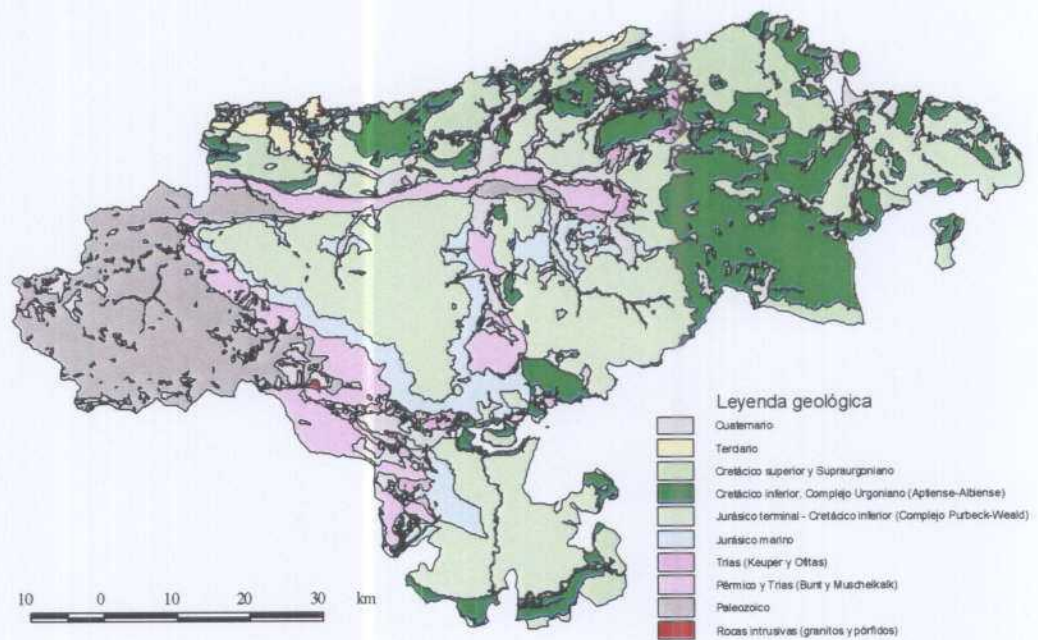
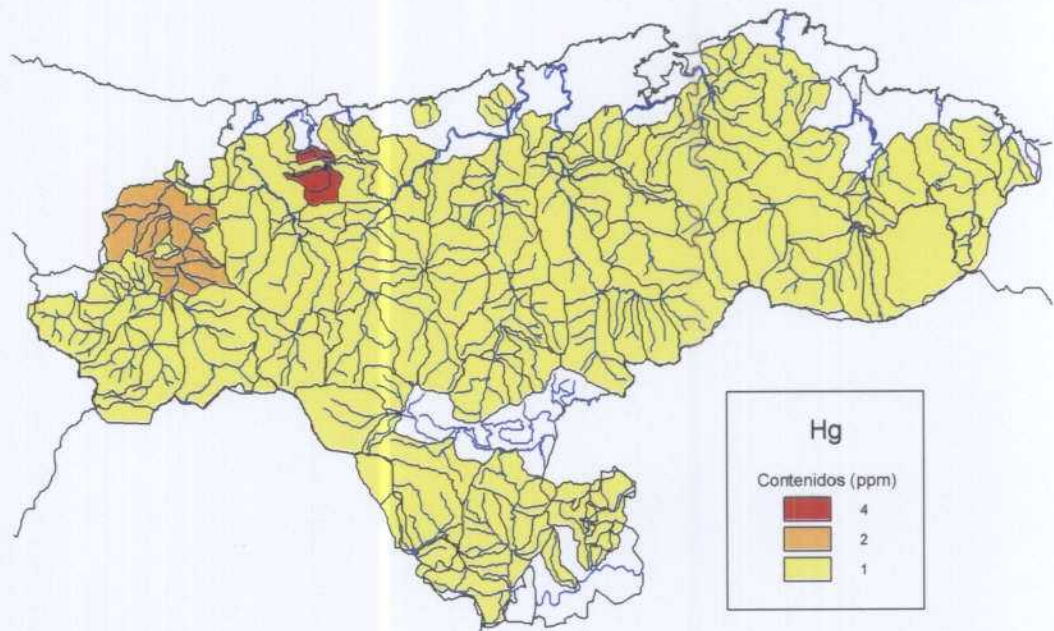


Figura 600 . Distribución de los contenidos de Hg en los sedimentos de llanura de inundación (muestra superior) en las distintas cuencas hidrográficas

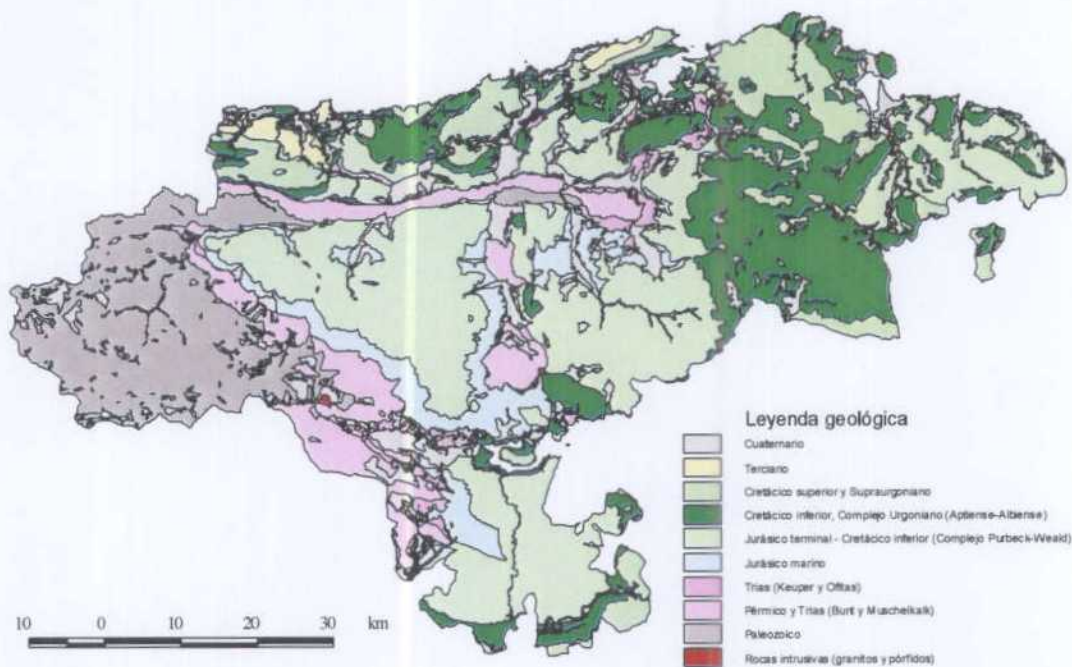
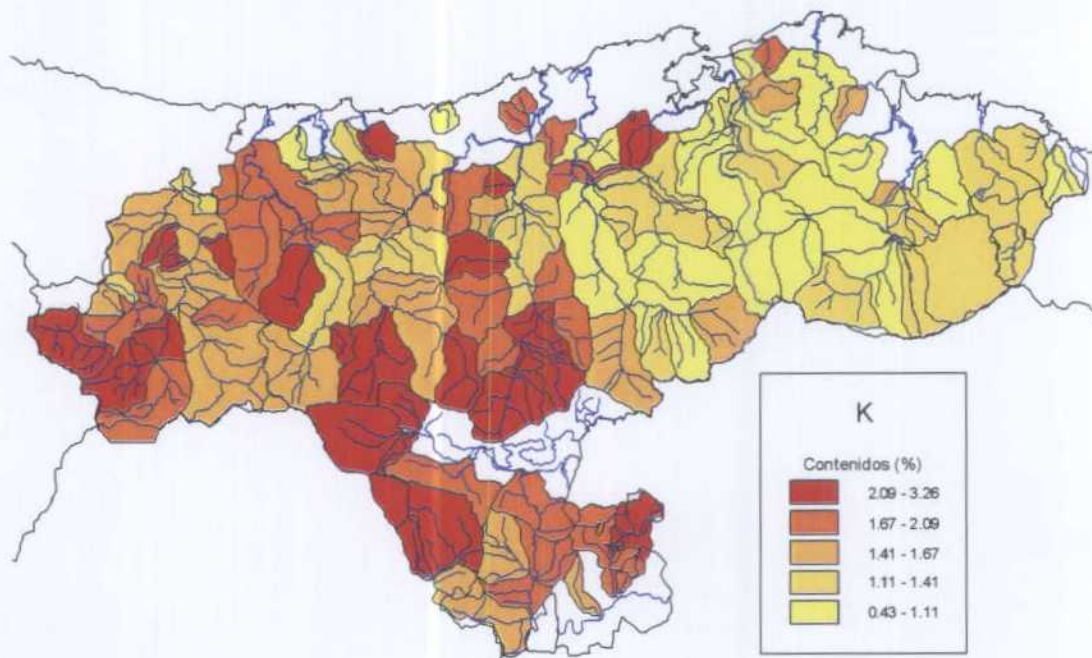


Figura 601. Distribución de los contenidos de K en los sedimentos de llanura de inundación (muestra superior) en las distintas cuencas hidrográficas

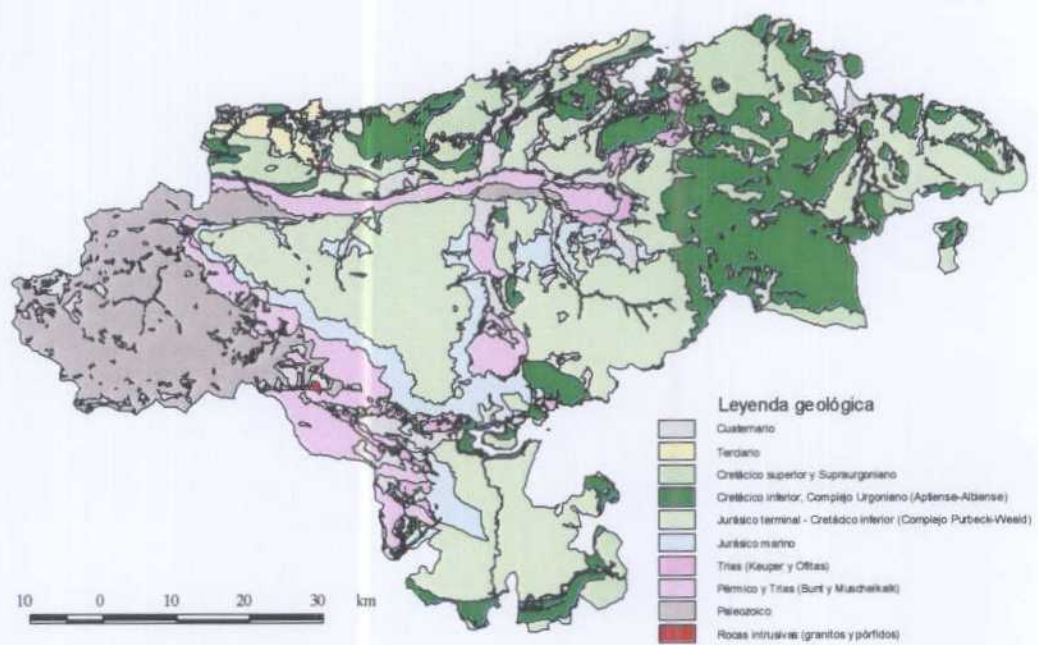
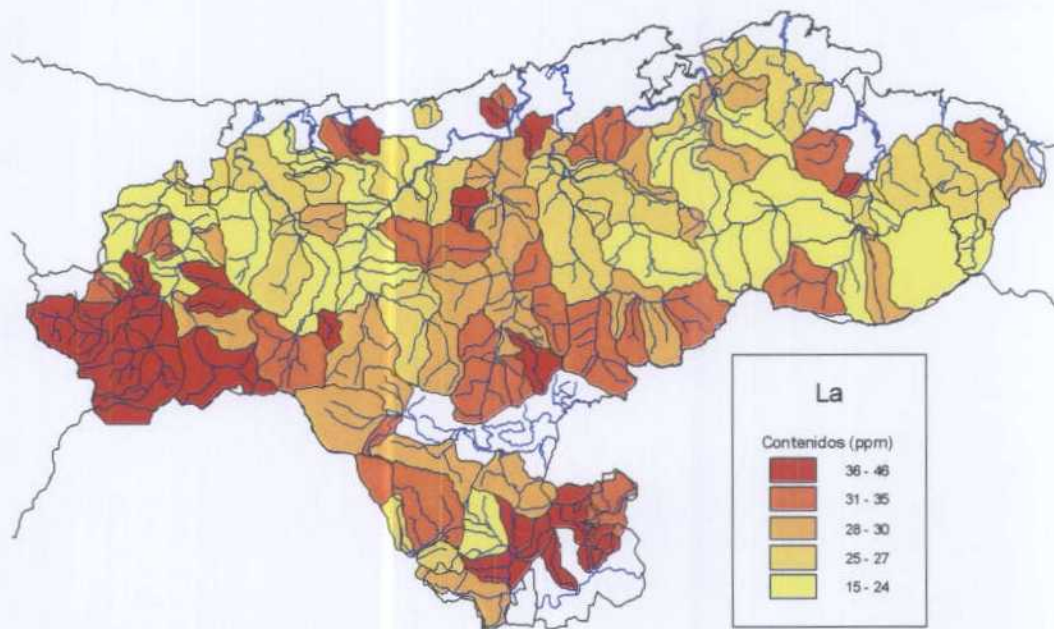


Figura 602. Distribución de los contenidos de Cu en los sedimentos de llanura de inundación (muestra superior) en las distintas cuencas hidrográficas

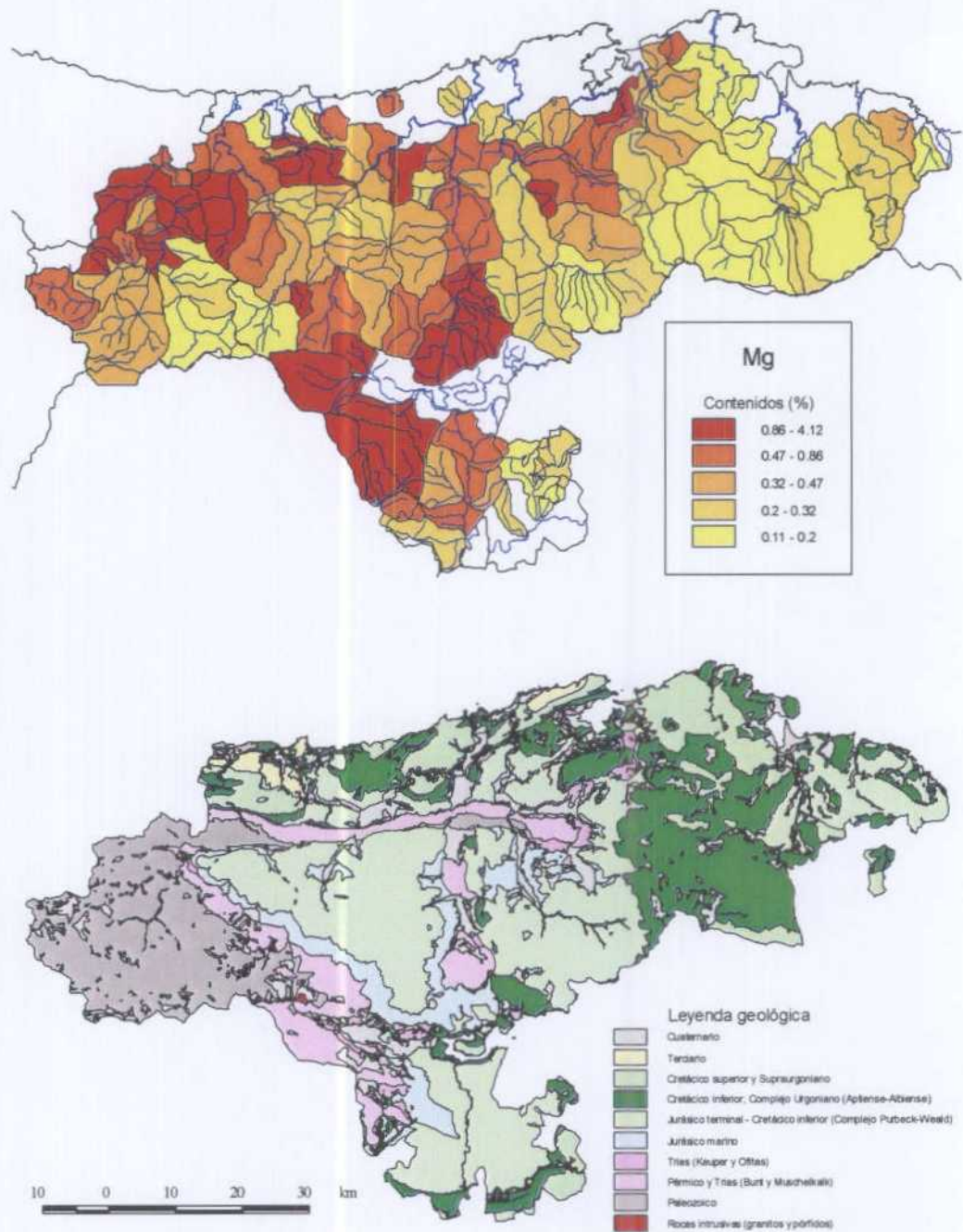


Figura 603. Distribución de los contenidos de Mg en los sedimentos de llanura de inundación (muestra superior) en las distintas cuencas hidrográficas

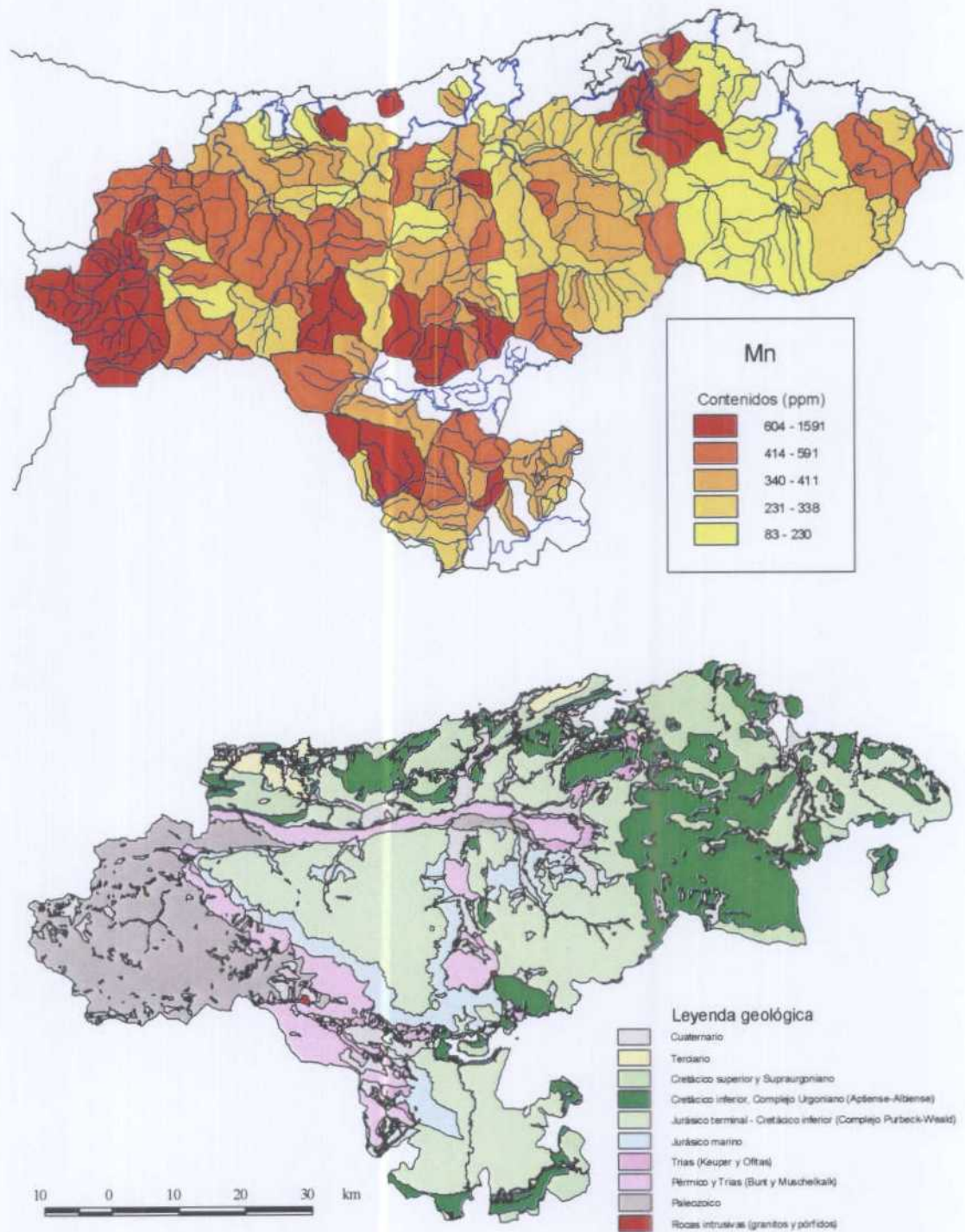


Figura 604. Distribución de los contenidos de Mn en los sedimentos de llanura de inundación (muestra superior) en las distintas cuencas hidrográficas

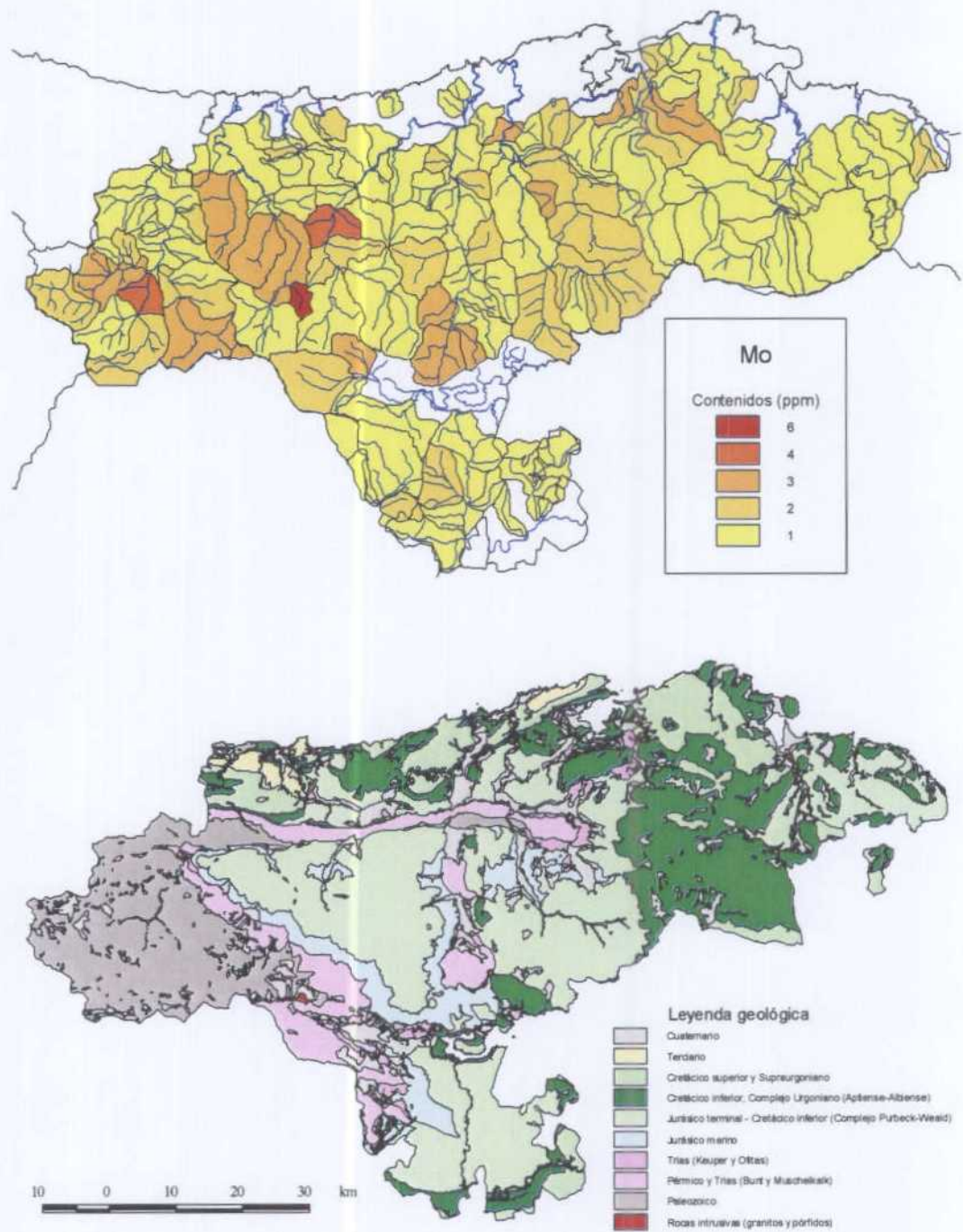


Figura 605. Distribución de los contenidos de Mo en los sedimentos de llanura de inundación (muestra superior) en las distintas cuencas hidrográficas

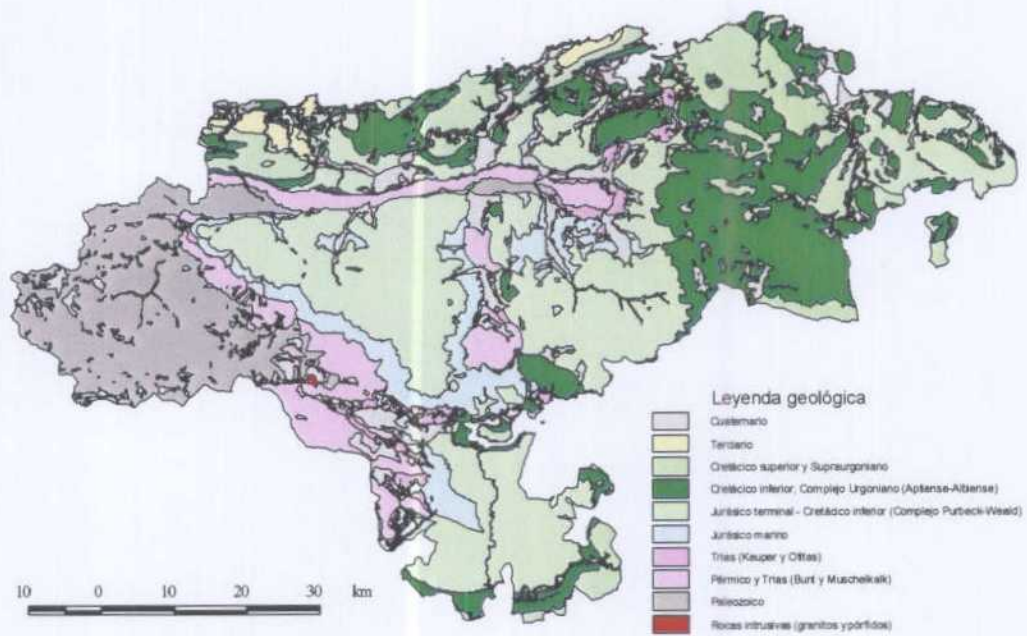
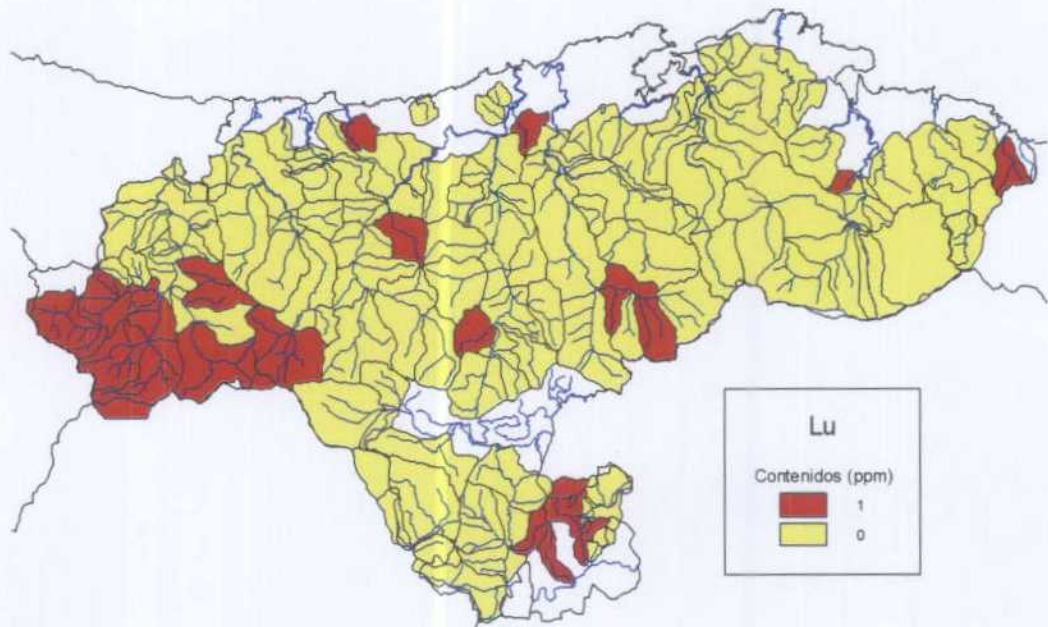


Figura 606. Distribución de los contenidos de Lu en los sedimentos de llanura de inundación (muestra superior) en las distintas cuencas hidrográficas



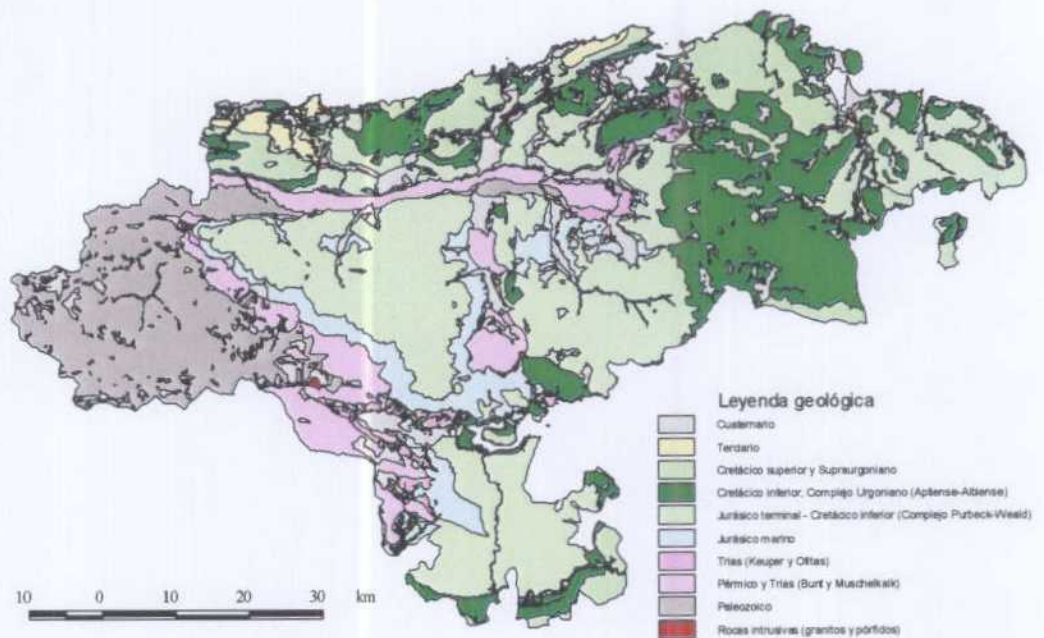
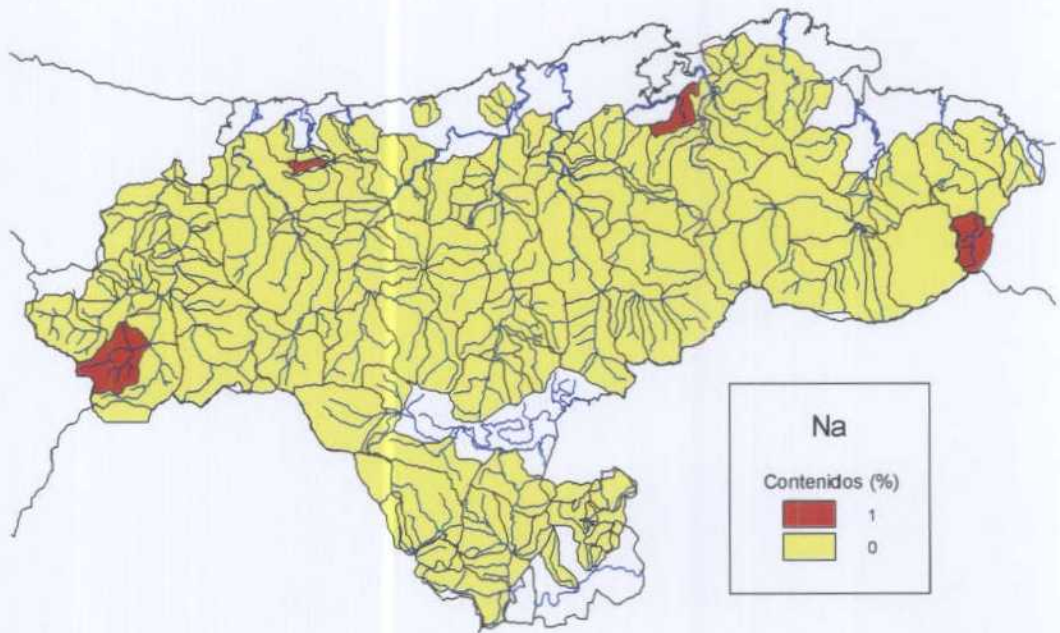


Figura 607. Distribución de los contenidos de Na en los sedimentos de llanura de inundación (muestra superior) en las distintas cuencas hidrográficas

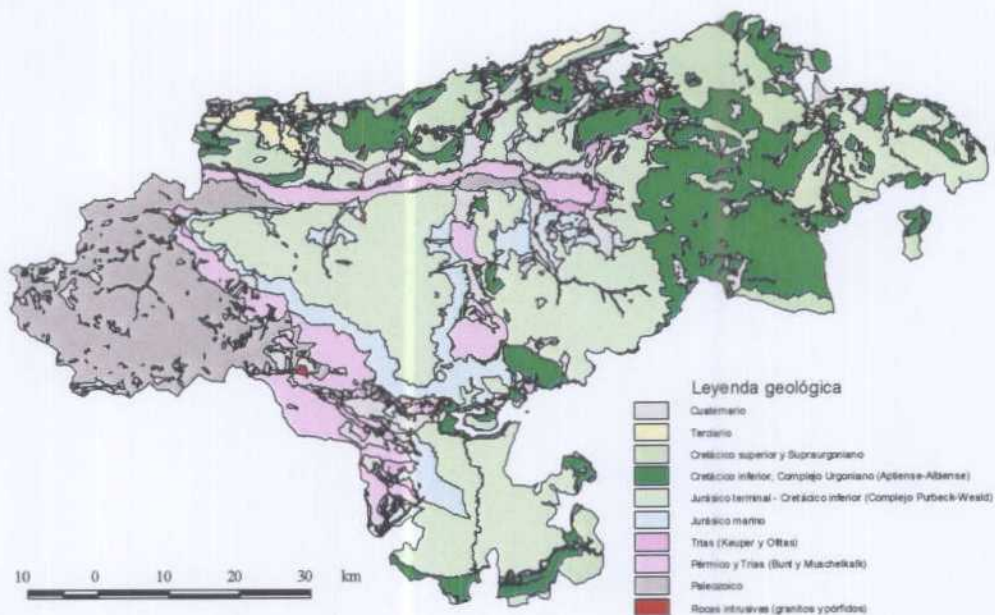
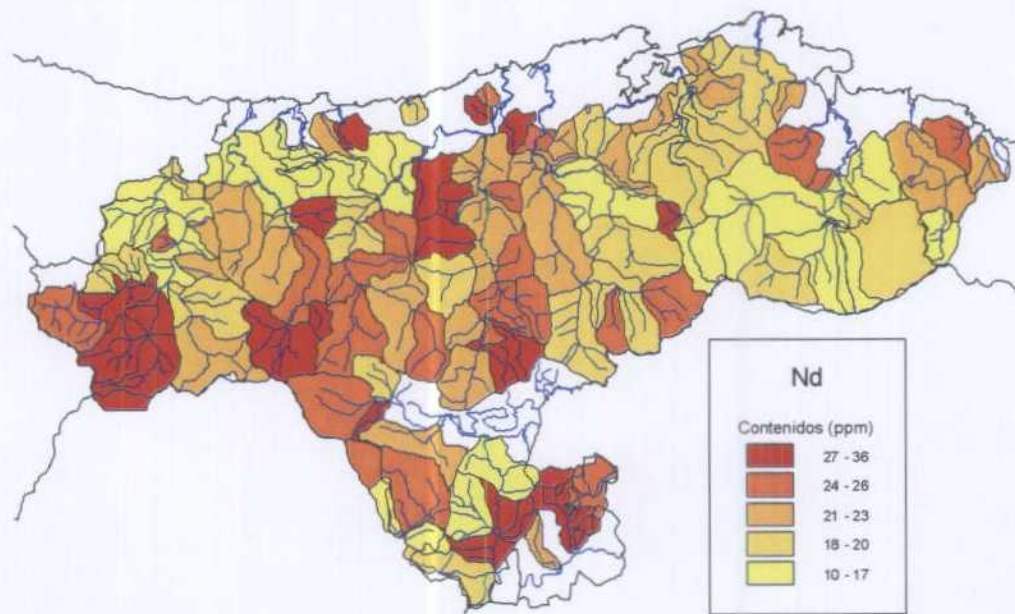


Figura 608 . Distribución de los contenidos de Nd en los sedimentos de llanura de inundación (muestra superior) en las distintas cuencas hidrográficas

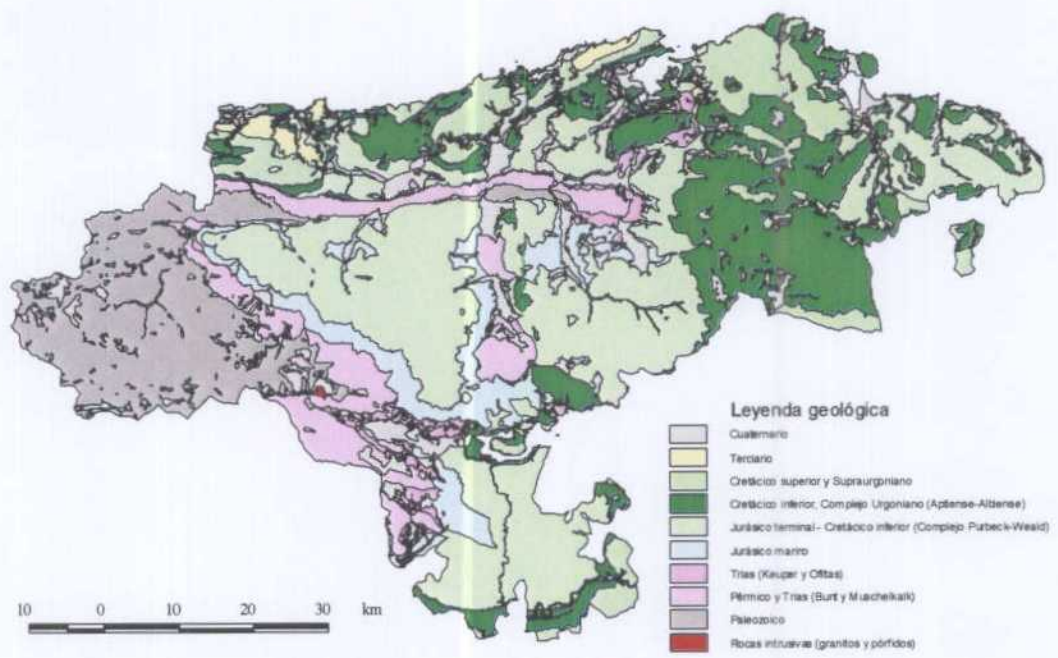
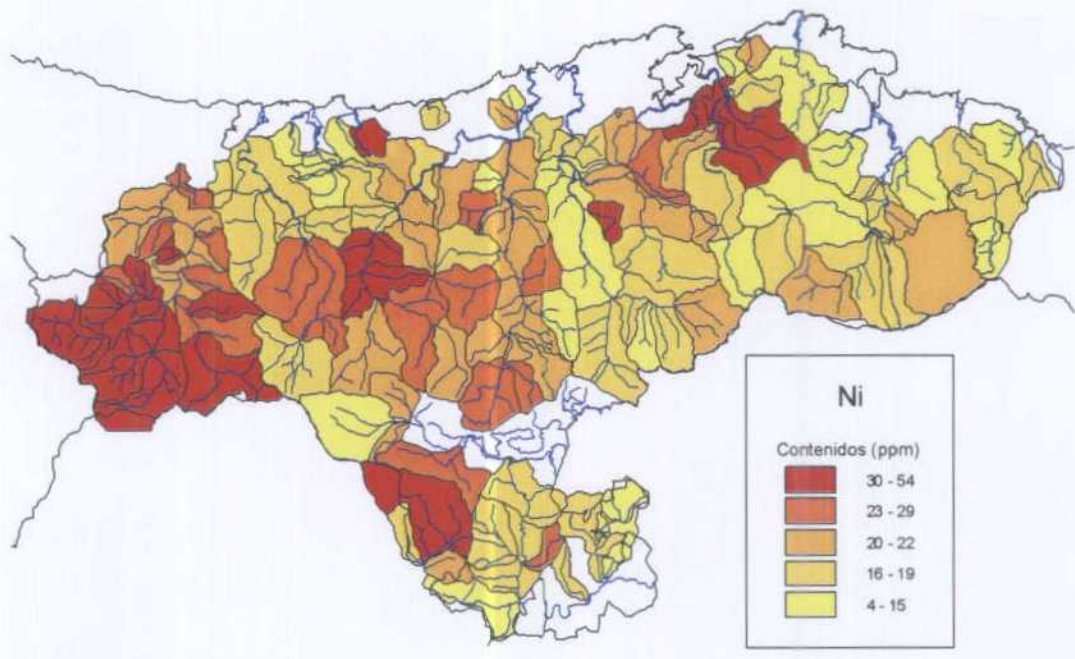


Figura 609. Distribución de los contenidos de Ni en los sedimentos de llanura de inundación (muestra superior) en las distintas cuencas hidrográficas

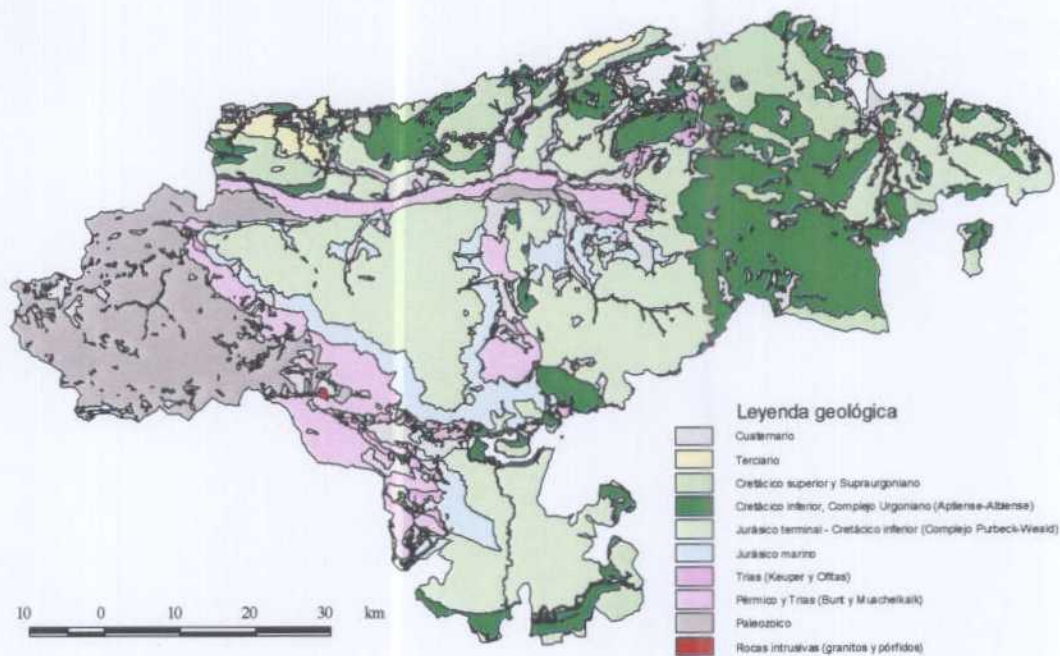
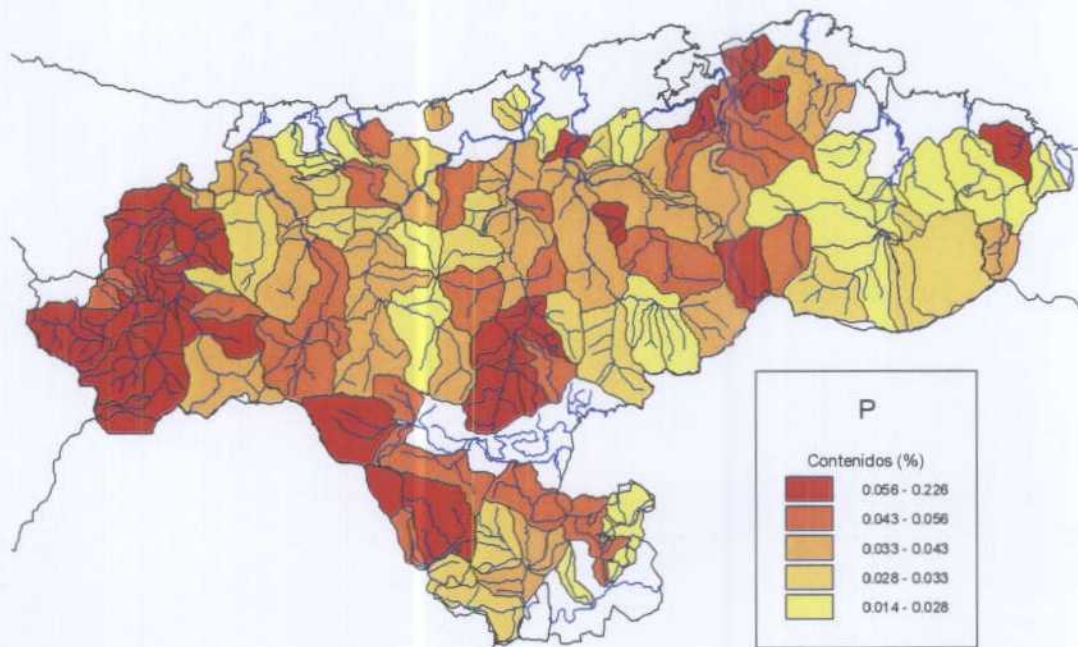


Figura 610. Distribución de los contenidos de P en los sedimentos de llanura de inundación (muestra superior) en las distintas cuencas hidrográficas

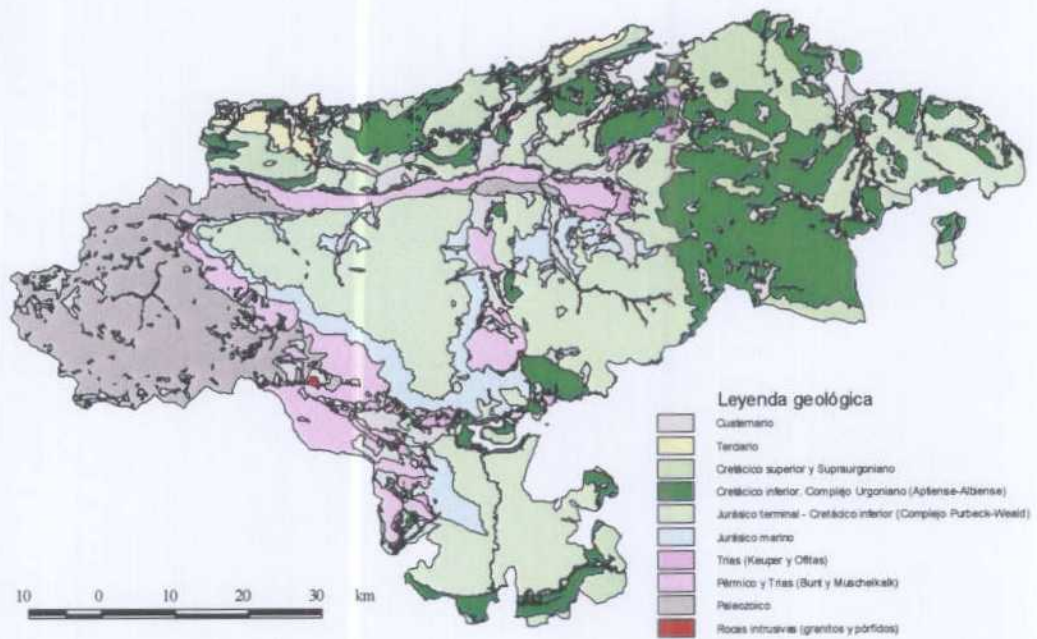
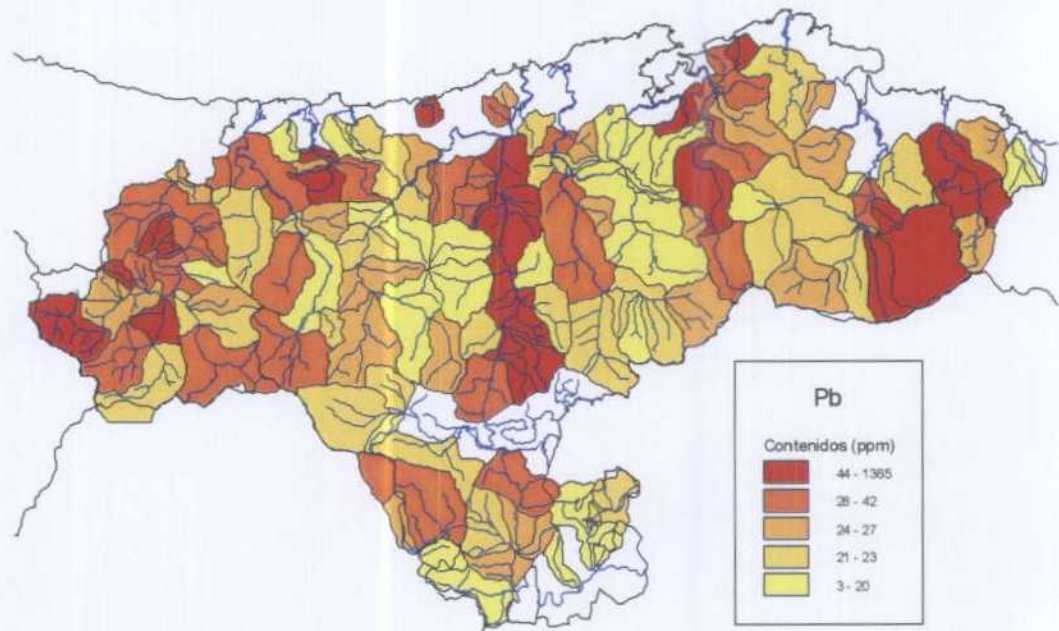


Figura 611. Distribución de los contenidos de Pb en los sedimentos de llanura de inundación (muestra superior) en las distintas cuencas hidrográficas

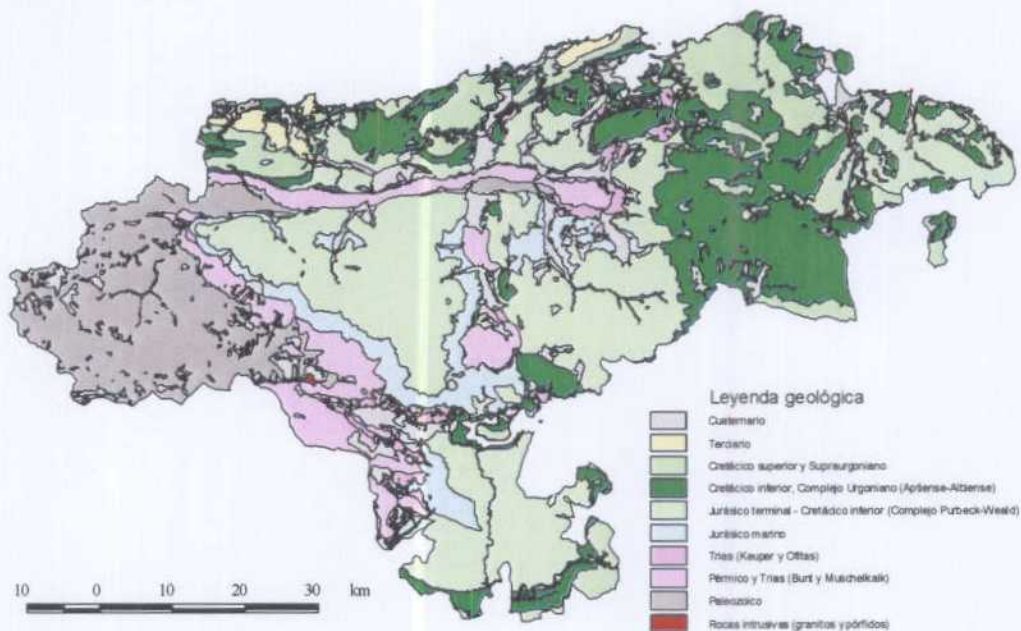
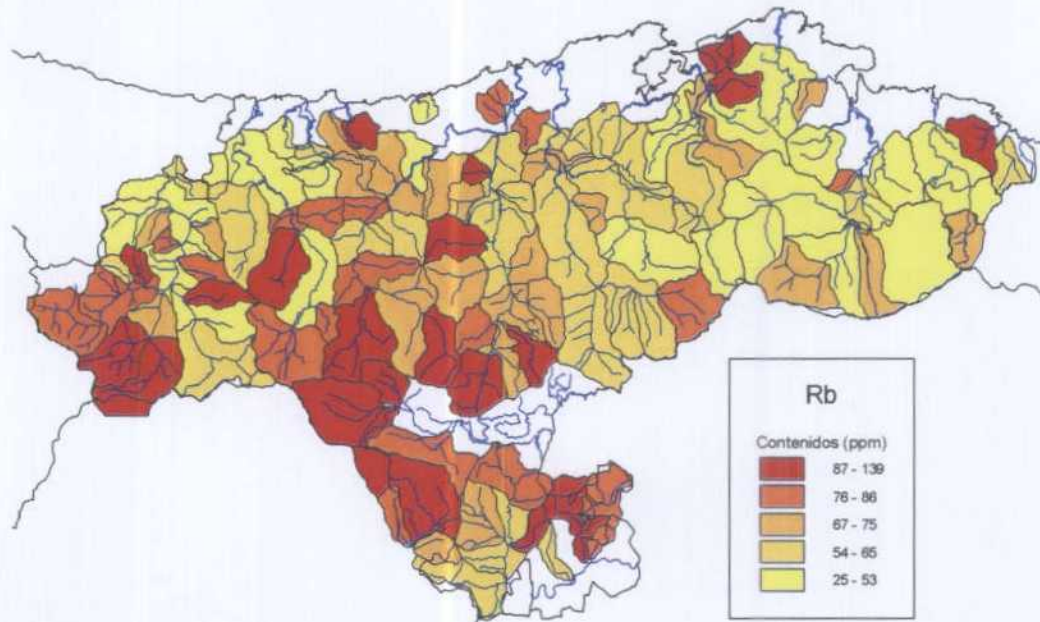


Figura 612. Distribución de los contenidos de Rb en los sedimentos de llanura de inundación (muestra superior) en las distintas cuencas hidrográficas

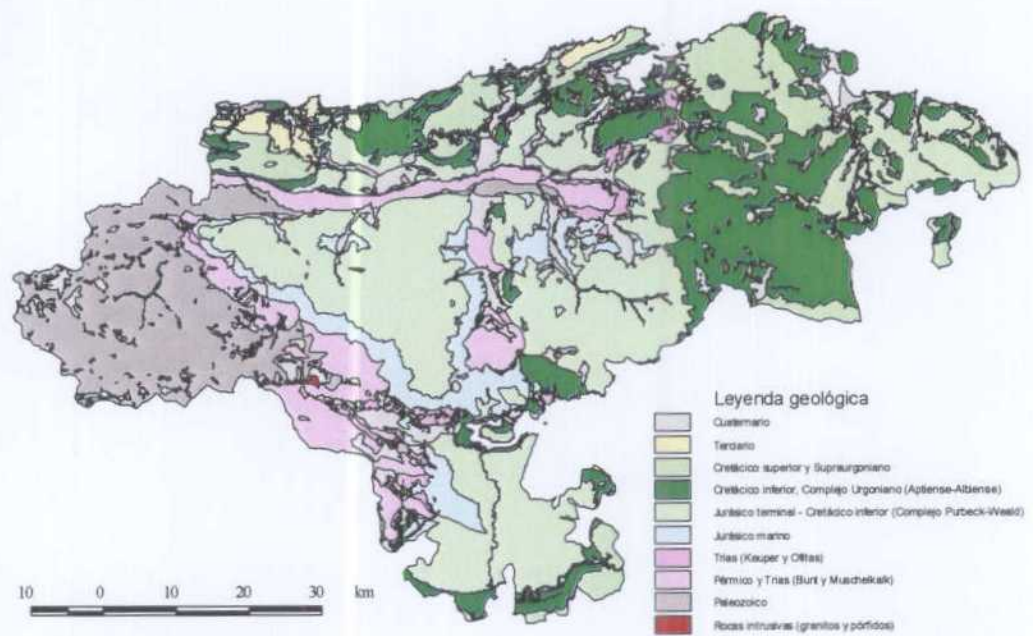
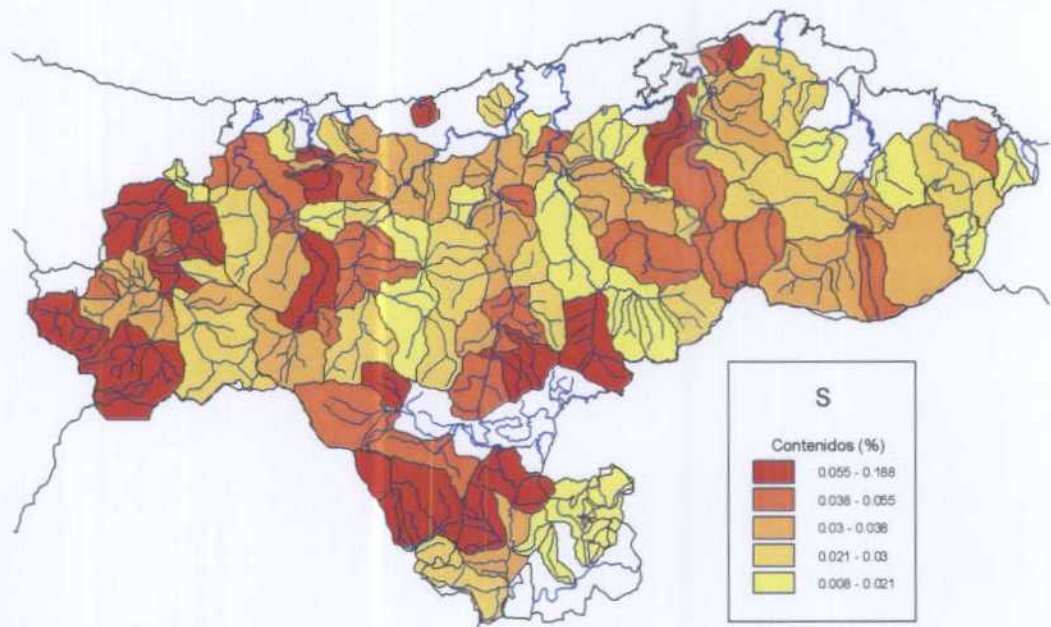


Figura 613. Distribución de los contenidos de S en los sedimentos de llanura de inundación (muestra superior) en las distintas cuencas hidrográficas

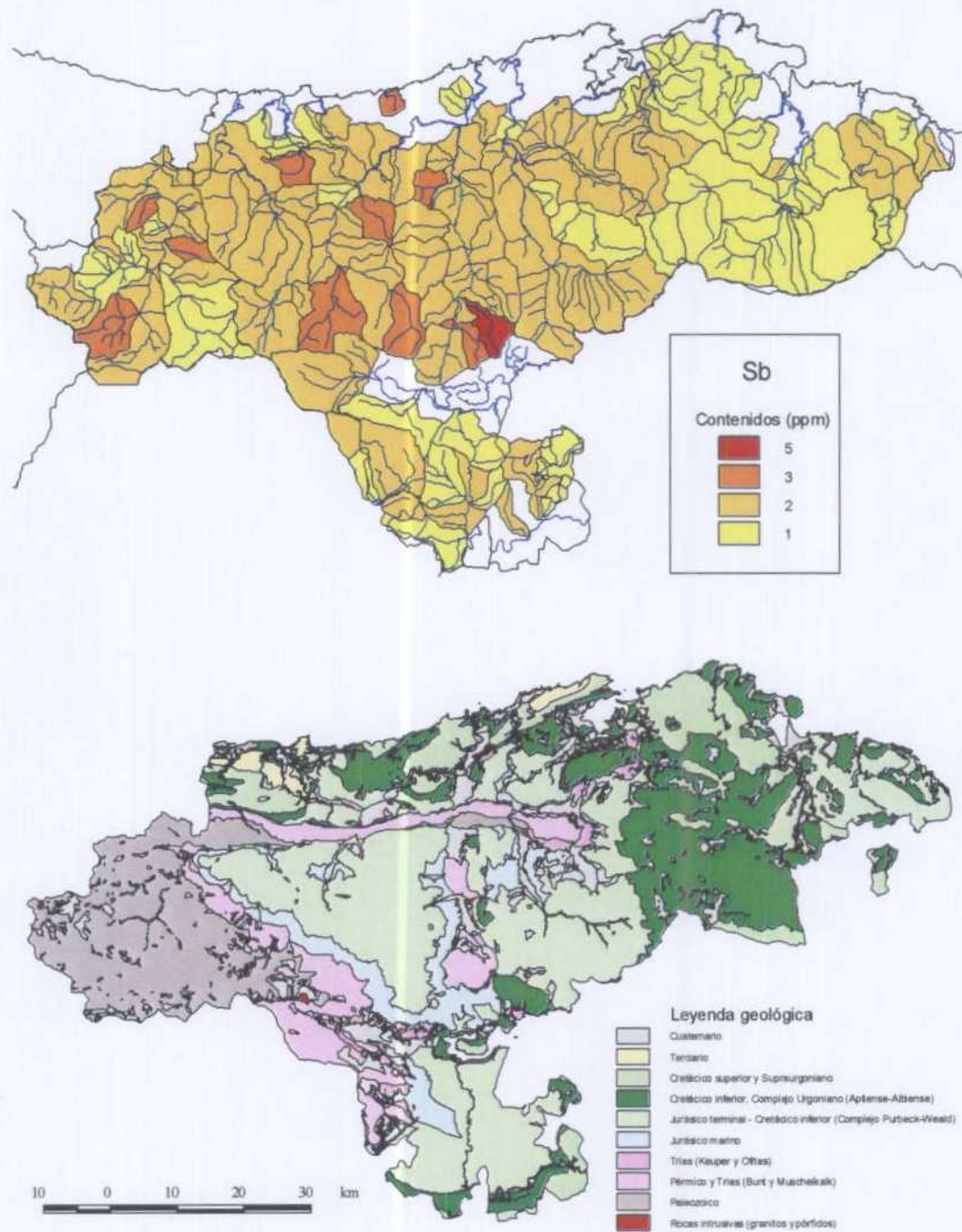


Figura 614. Distribución de los contenidos de Sb en los sedimentos de llanura de inundación (muestra superior) en las distintas cuencas hidrográficas



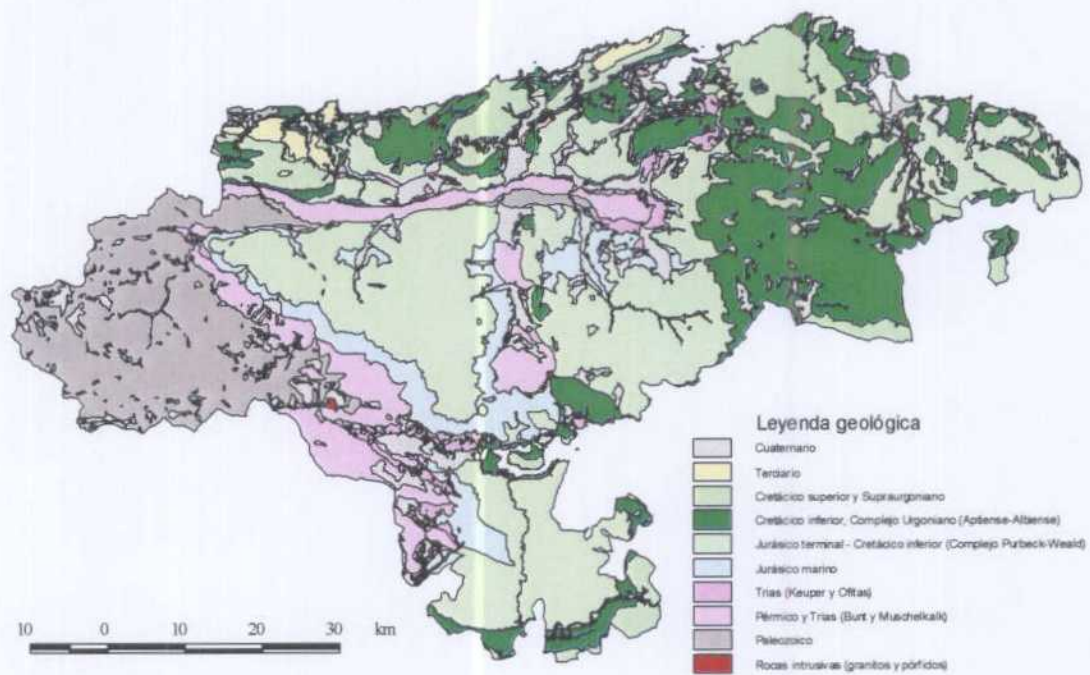
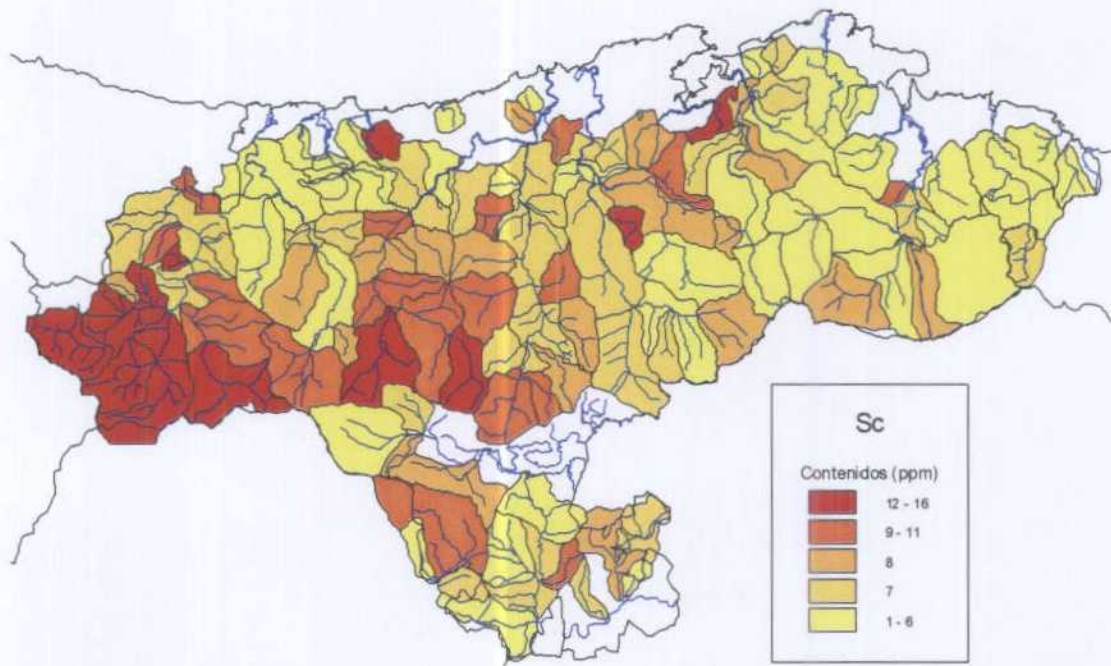


Figura 615 . Distribución de los contenidos de Sc en los sedimentos de llanura de inundación (muestra superior) en las distintas cuencas hidrográficas

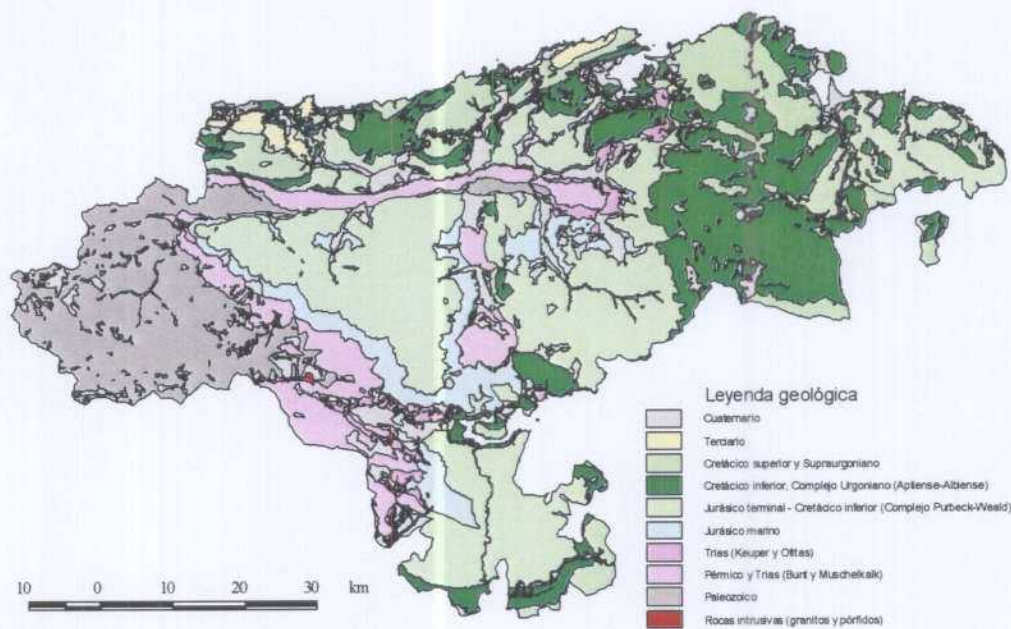
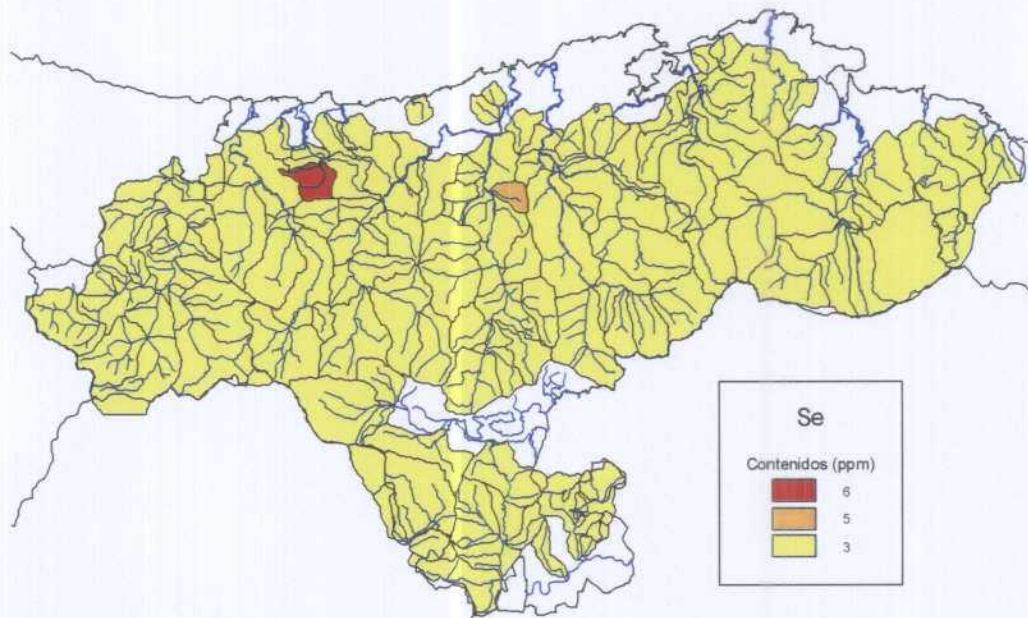


Figura 616. Distribución de los contenidos de Se en los sedimentos de llanura de inundación (muestra superior) en las distintas cuencas hidrográficas

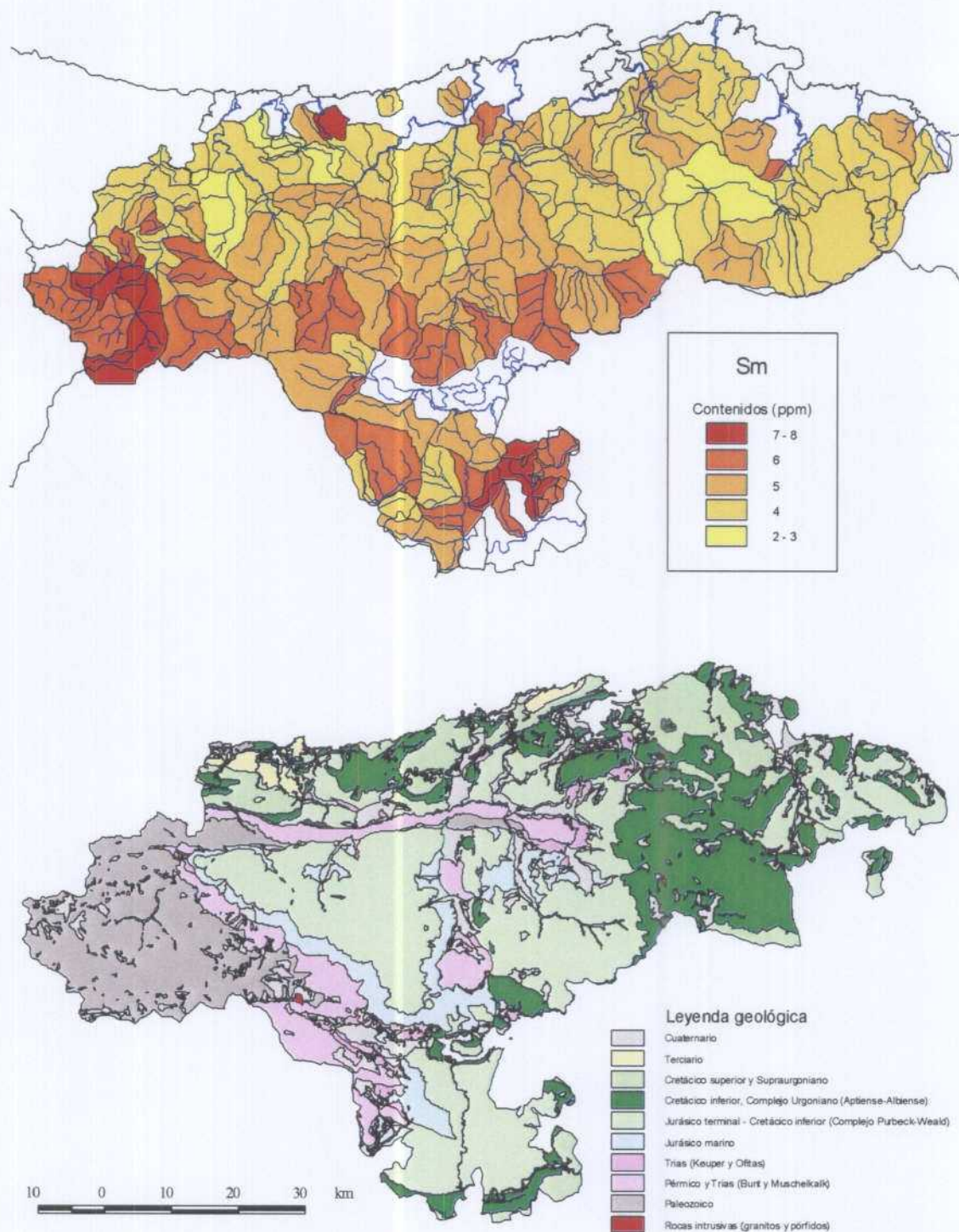


Figura 617. Distribución de los contenidos de Sm en los sedimentos de llanura de inundación (muestra superior) en las distintas cuencas hidrográficas

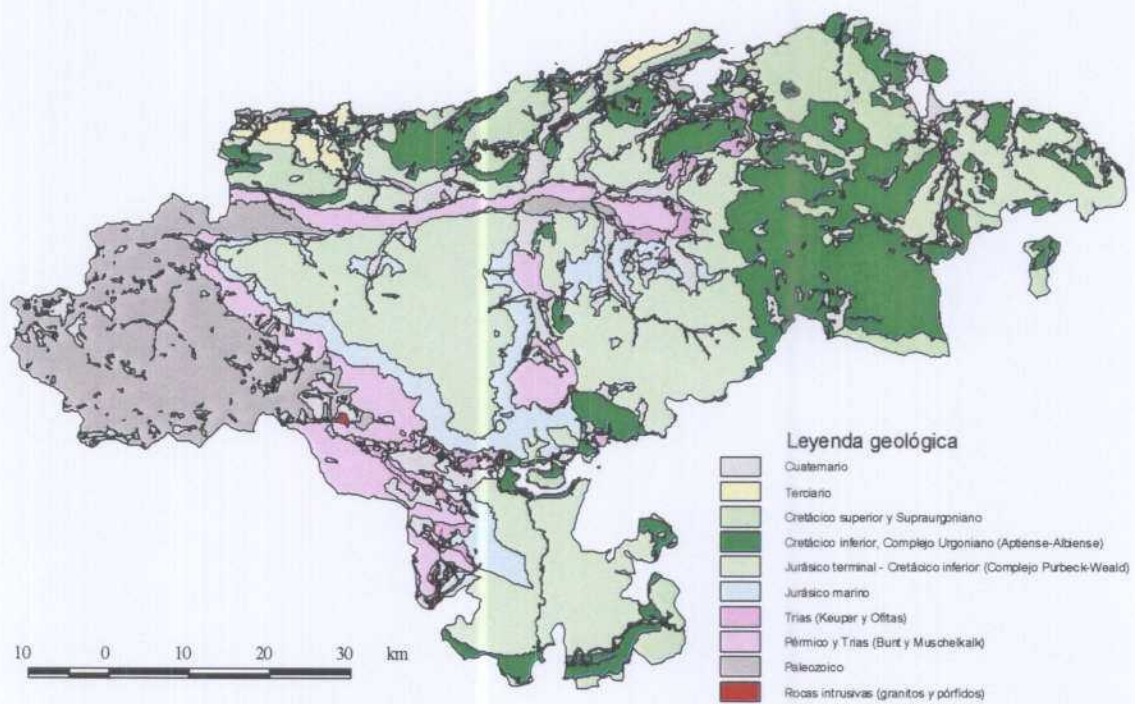
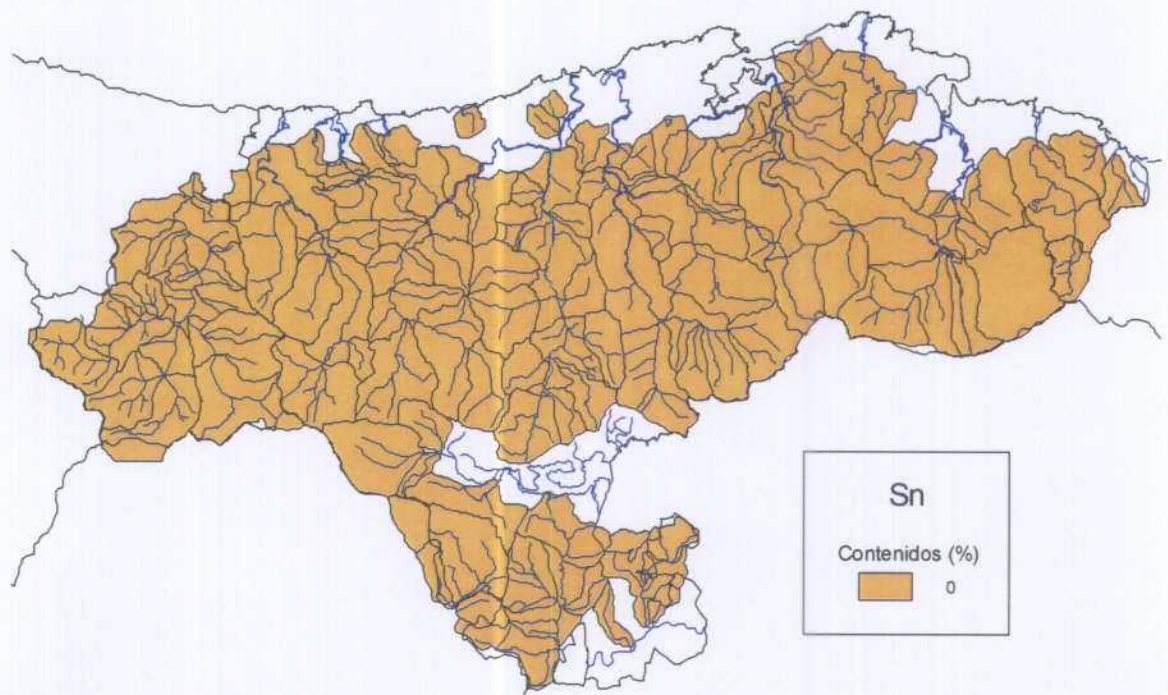


Figura 618. Distribución de los contenidos de Sn en los sedimentos de llanura de inundación (muestra superior) en las distintas cuencas hidrográficas

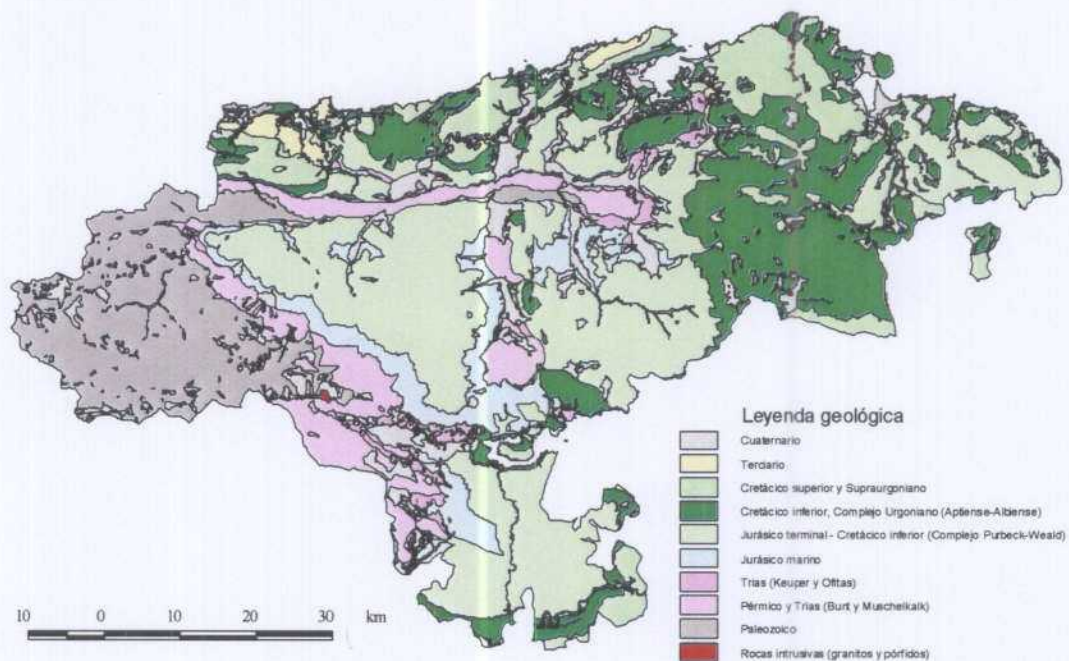
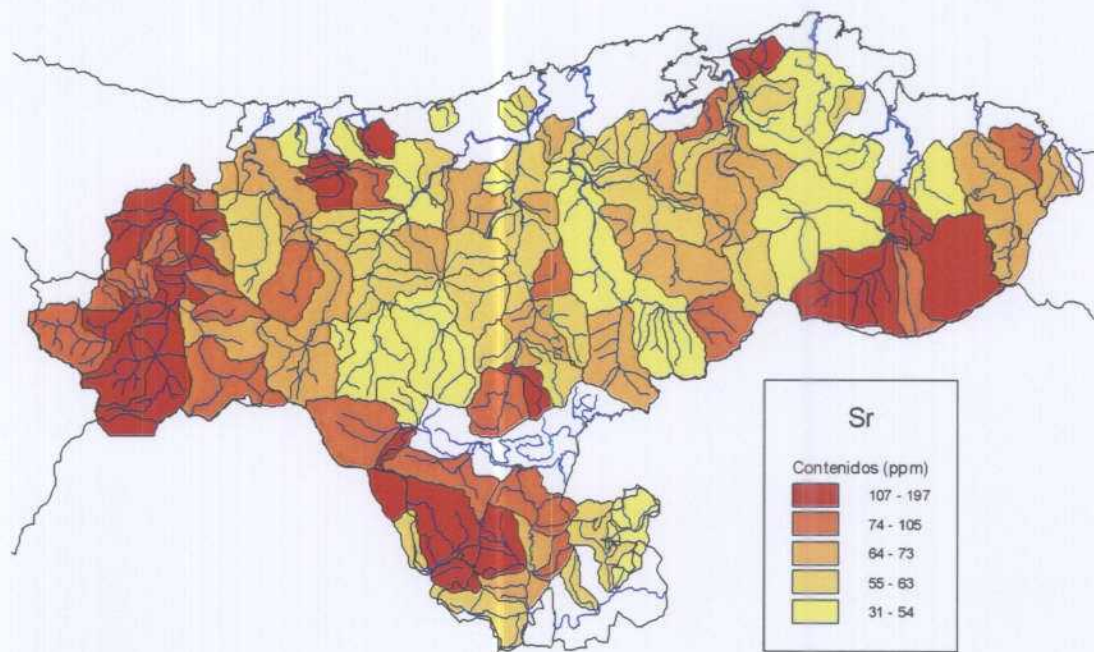


Figura 619. Distribución de los contenidos de Sr en los sedimentos de llanura de inundación (muestra superior) en las distintas cuencas hidrográficas

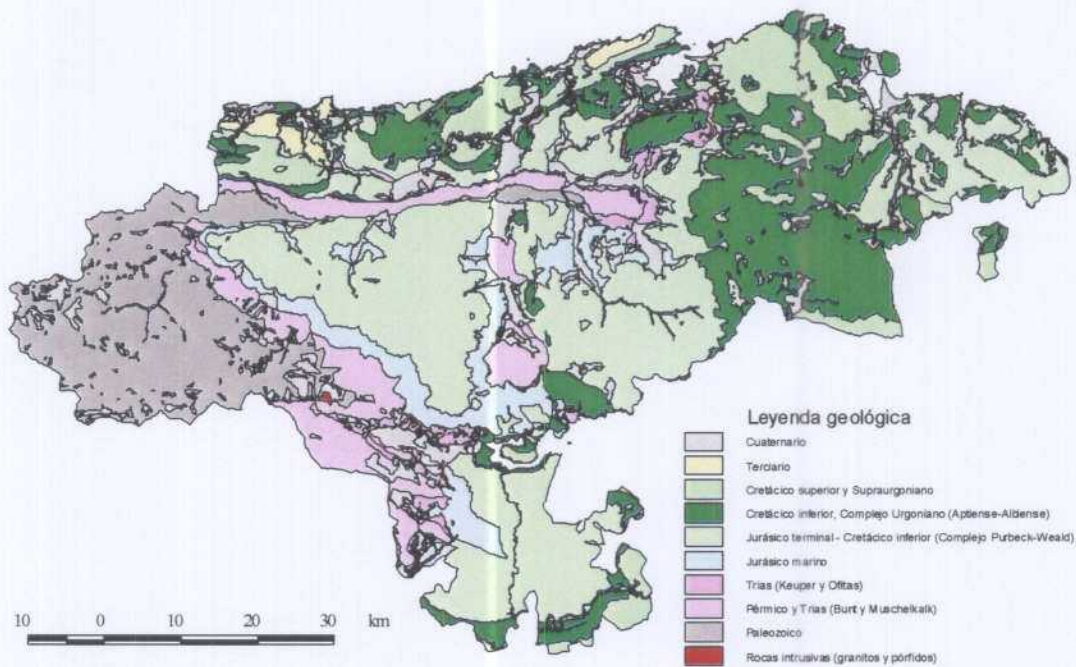
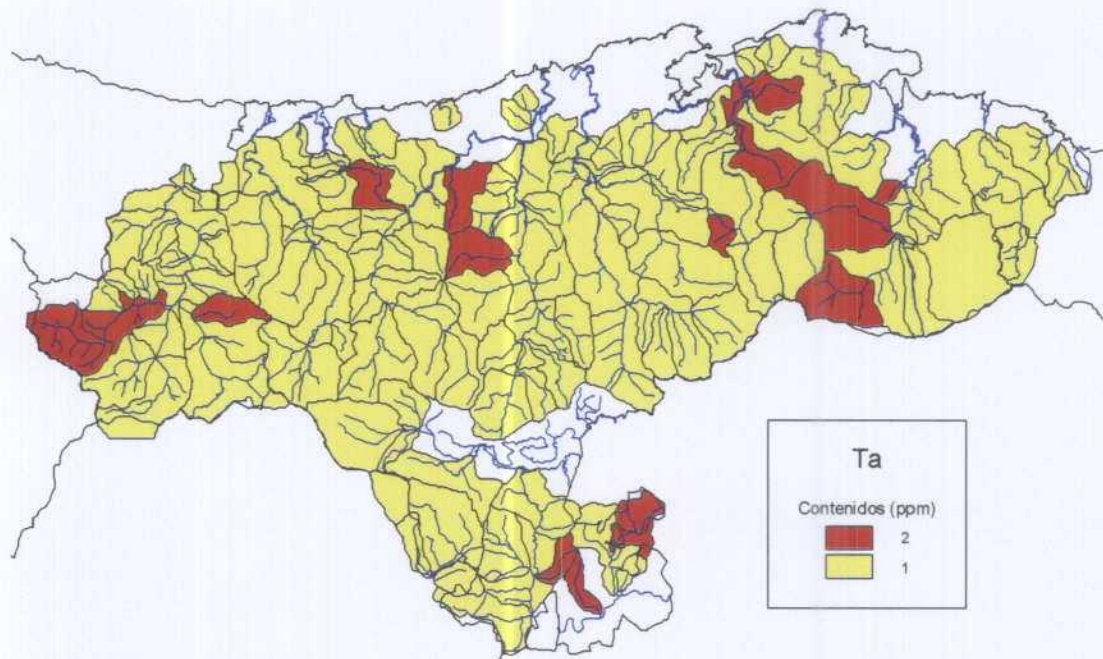


Figura 620. Distribución de los contenidos de Ta en los sedimentos de llanura de inundación (muestra superior) en las distintas cuencas hidrográficas

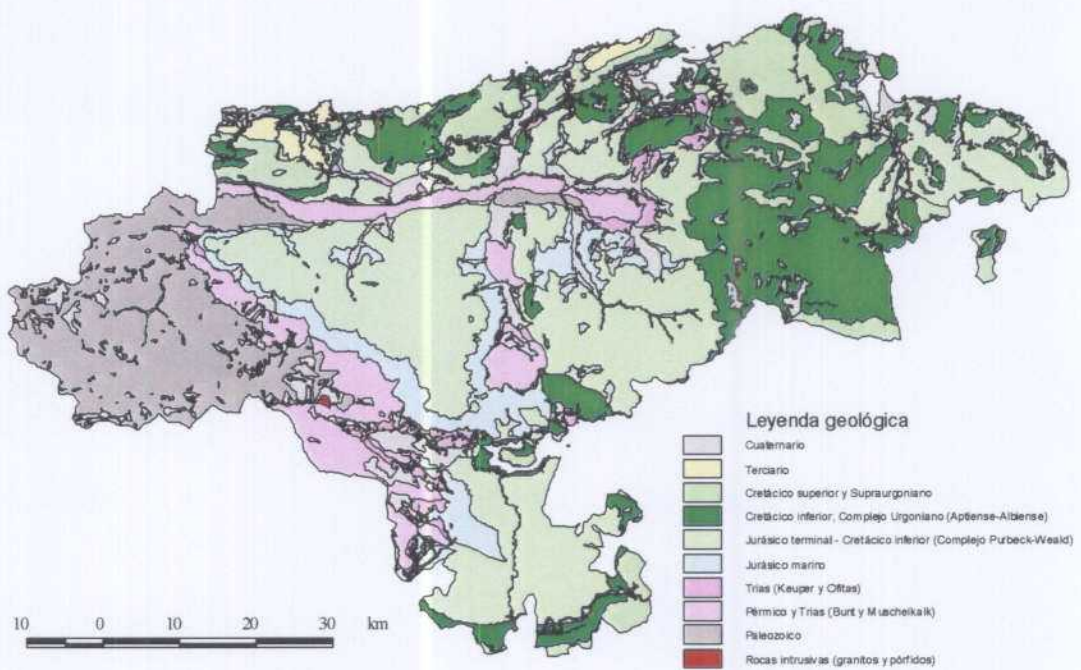
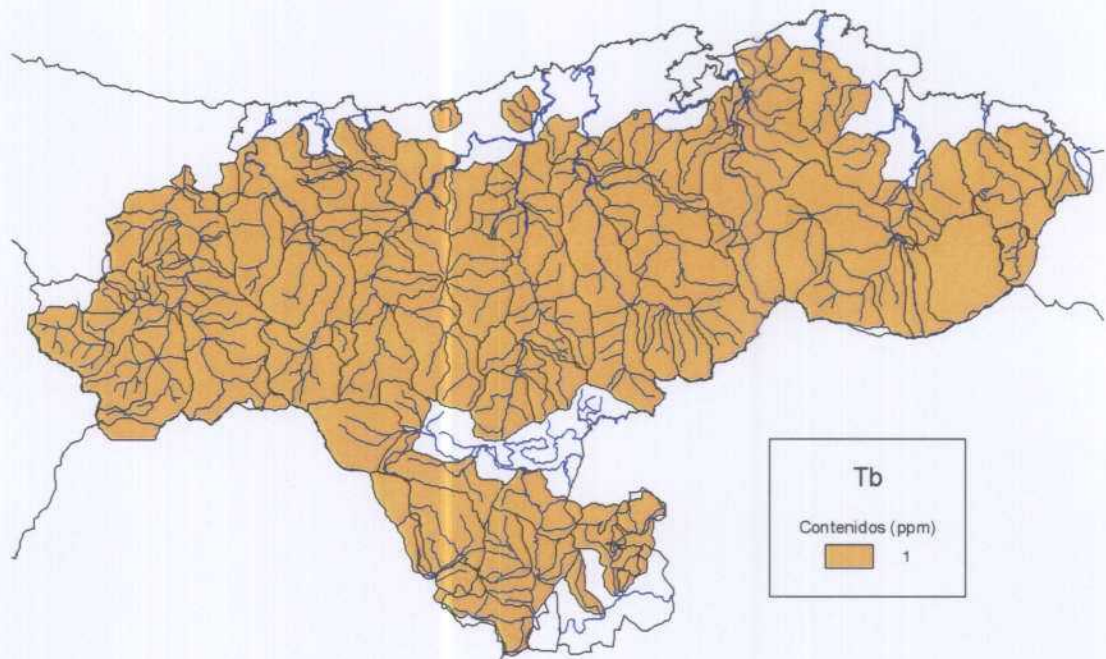


Figura 621. Distribución de los contenidos de Tb en los sedimentos de llanura de inundación (muestra superior) en las distintas cuencas hidrográficas

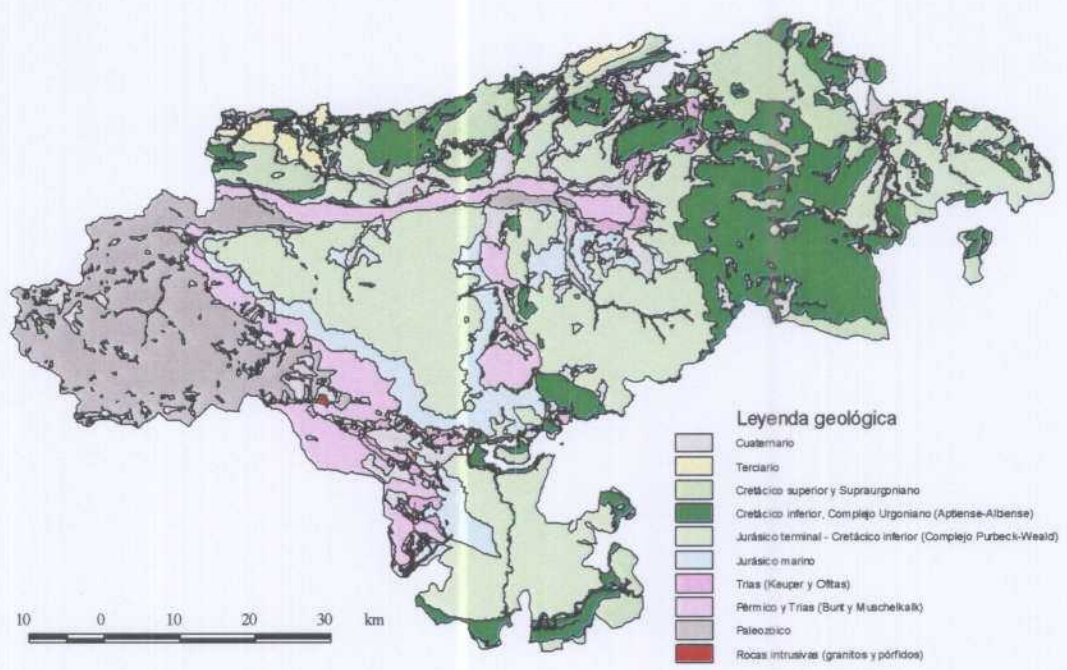
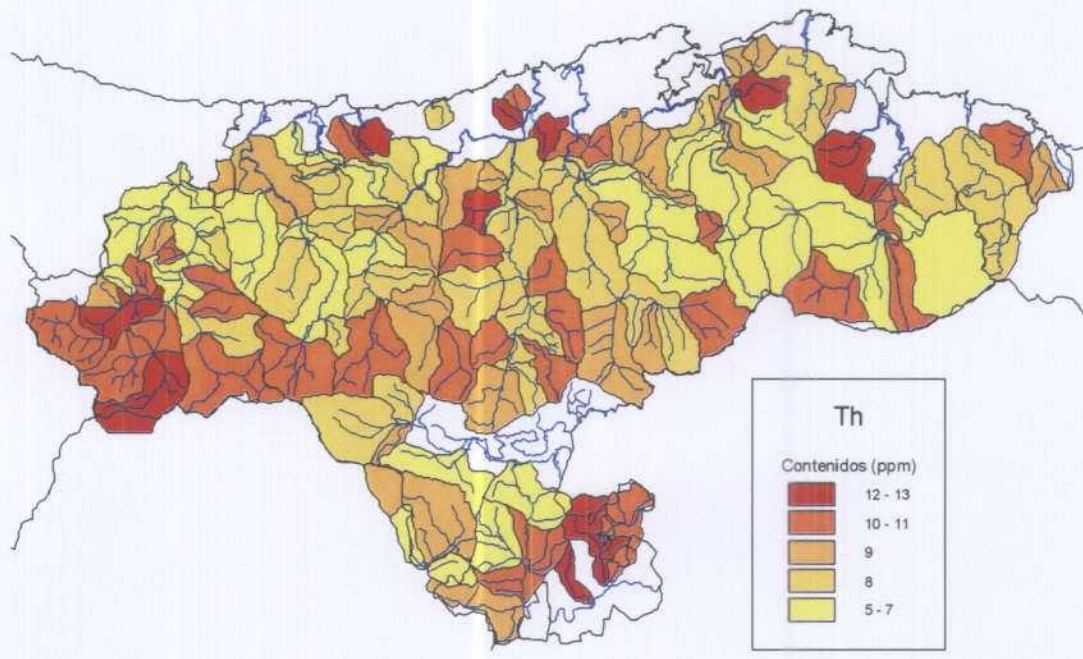


Figura 622. Distribución de los contenidos de Th en los sedimentos de llanura de inundación (muestra superior) en las distintas cuencas hidrográficas



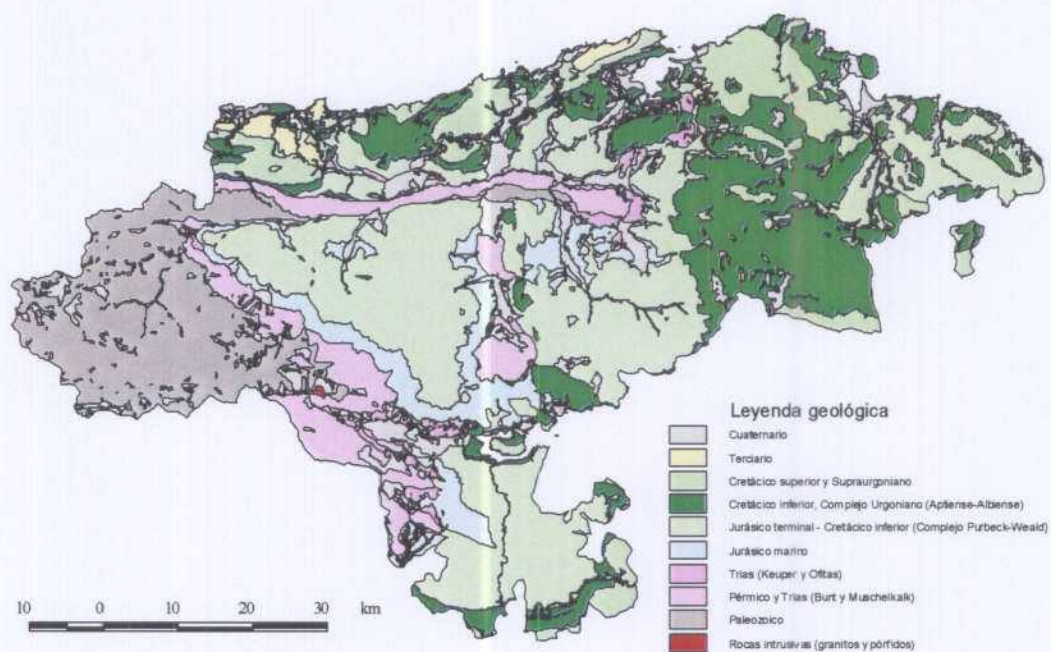
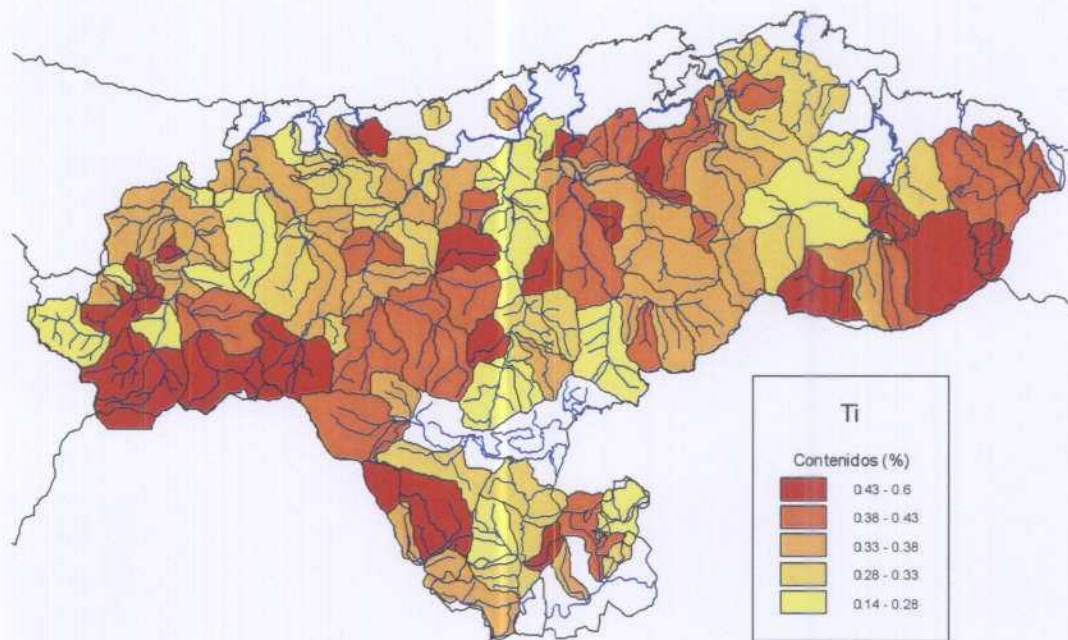


Figura 623. Distribución de los contenidos de Ti en los sedimentos de llanura de inundación (muestra superior) en las distintas cuencas hidrográficas

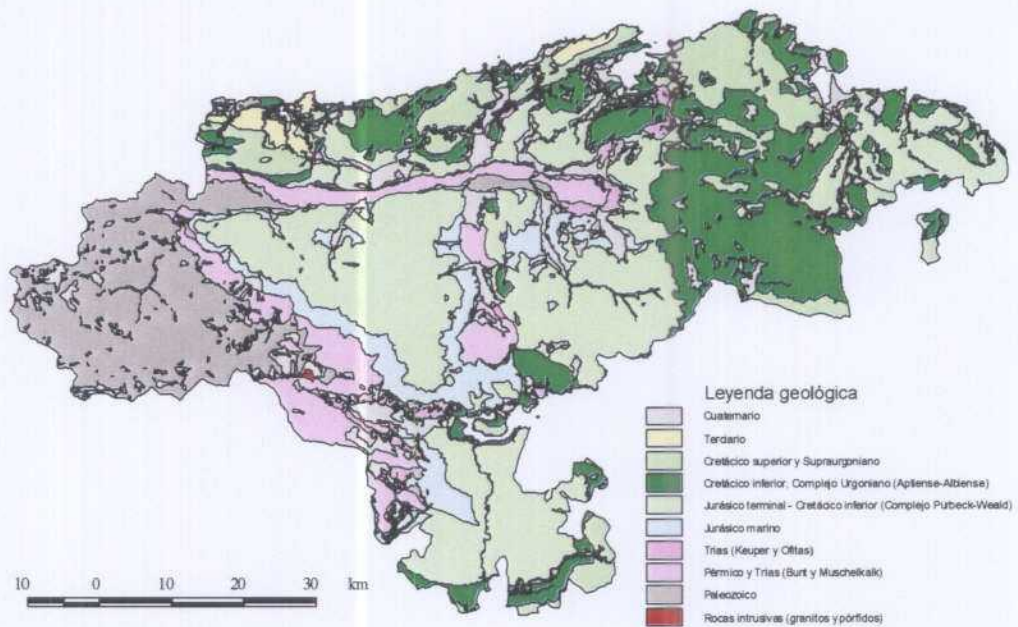
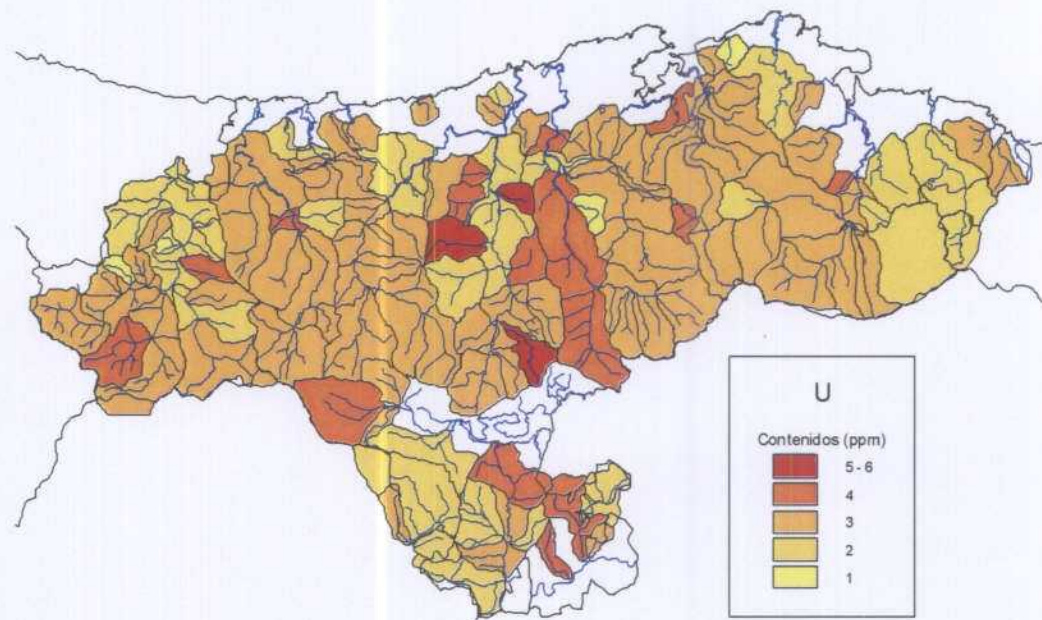


Figura 624. Distribución de los contenidos de U en los sedimentos de llanura de inundación (muestra superior) en las distintas cuencas hidrográficas

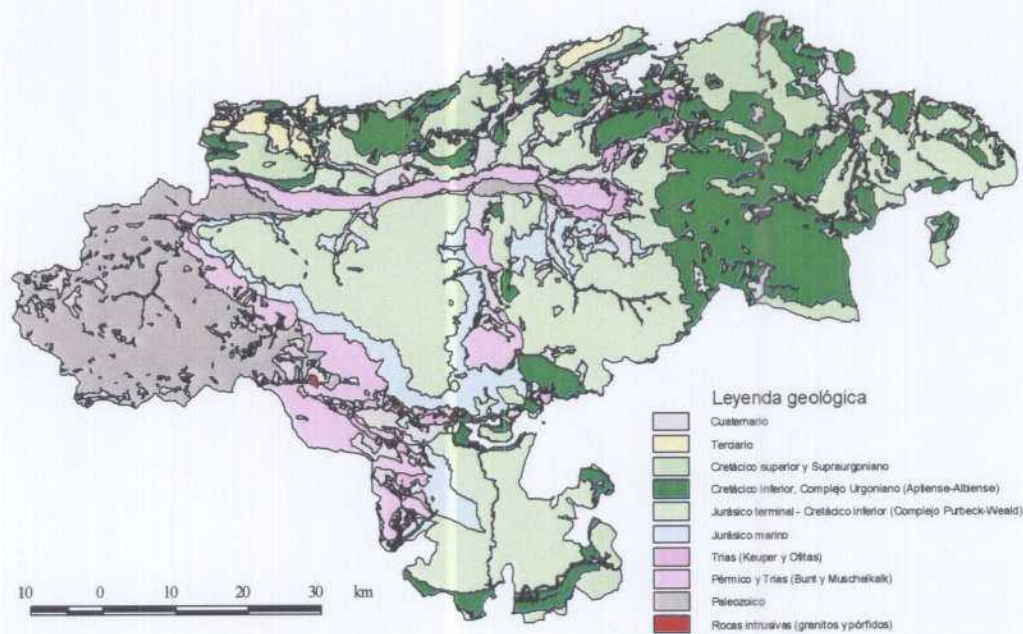
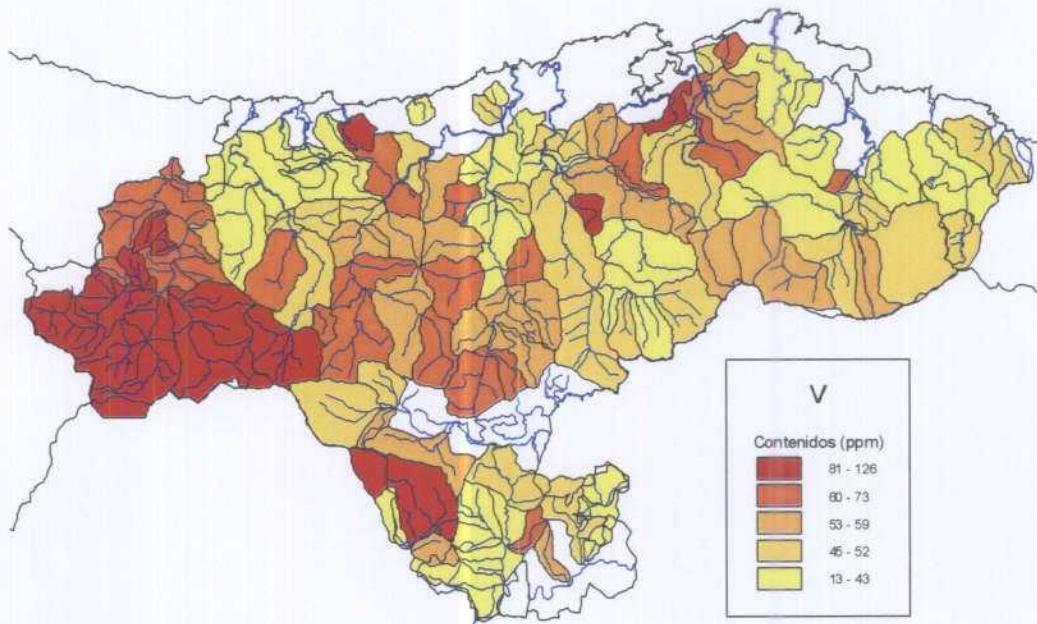


Figura 625. Distribución de los contenidos de V u en los sedimentos de llanura de inundación (muestra superior) en las distintas cuencas hidrográficas

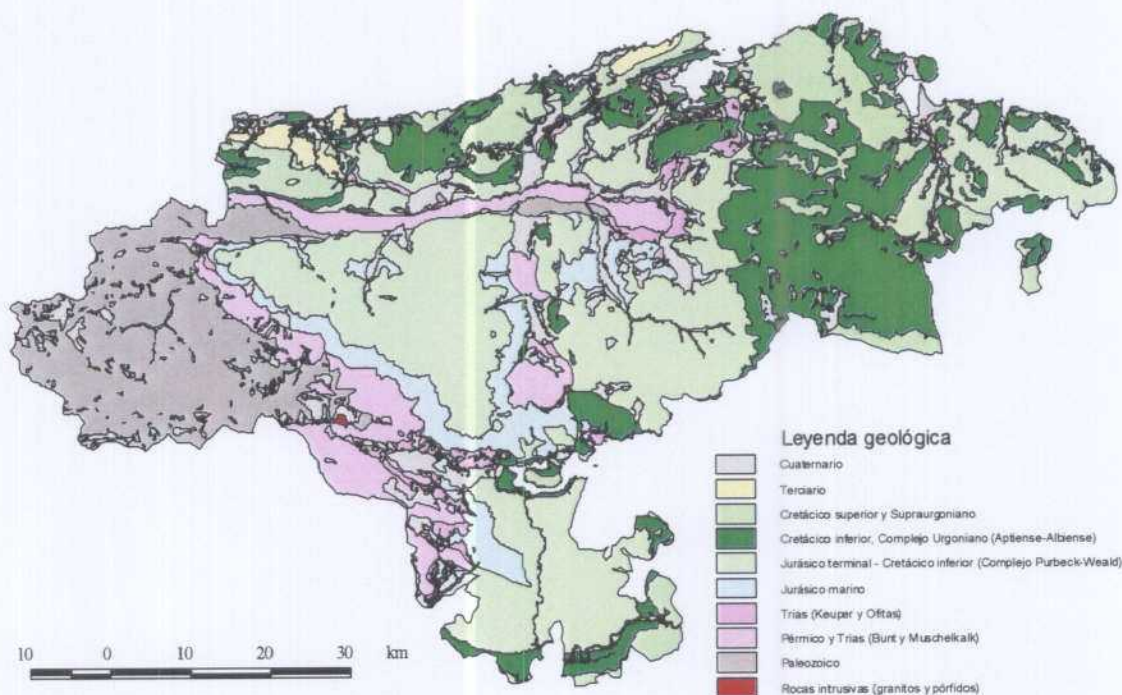
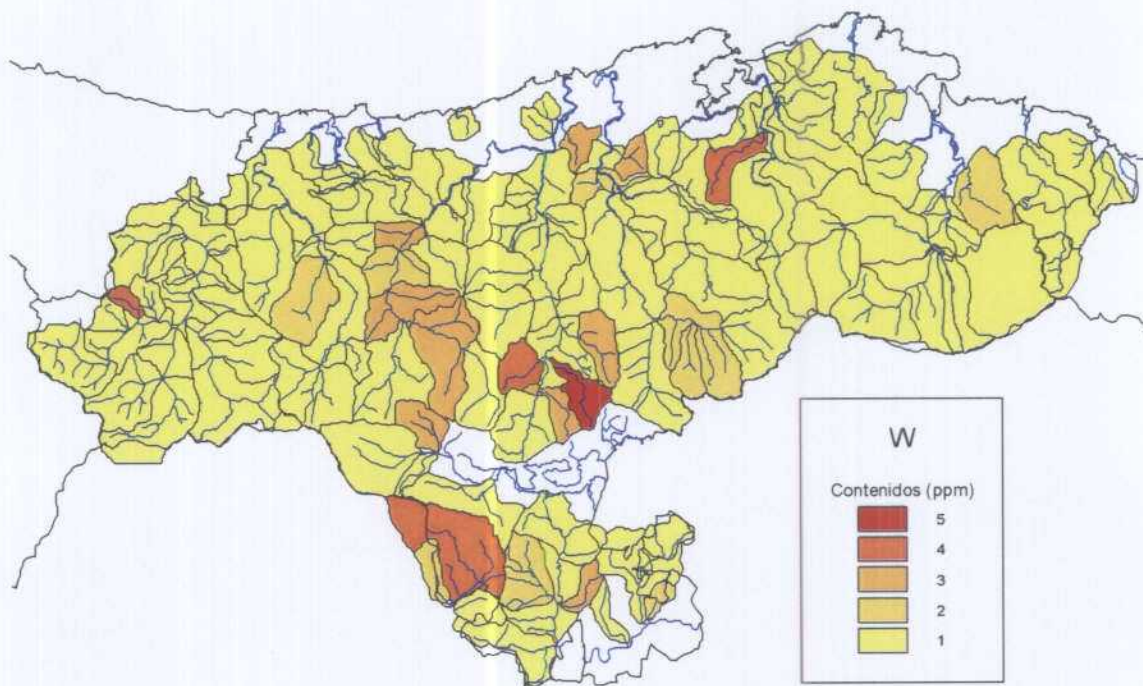


Figura 626. Distribución de los contenidos de W en los sedimentos de llanura de inundación (muestra superior) en las distintas cuencas hidrográficas

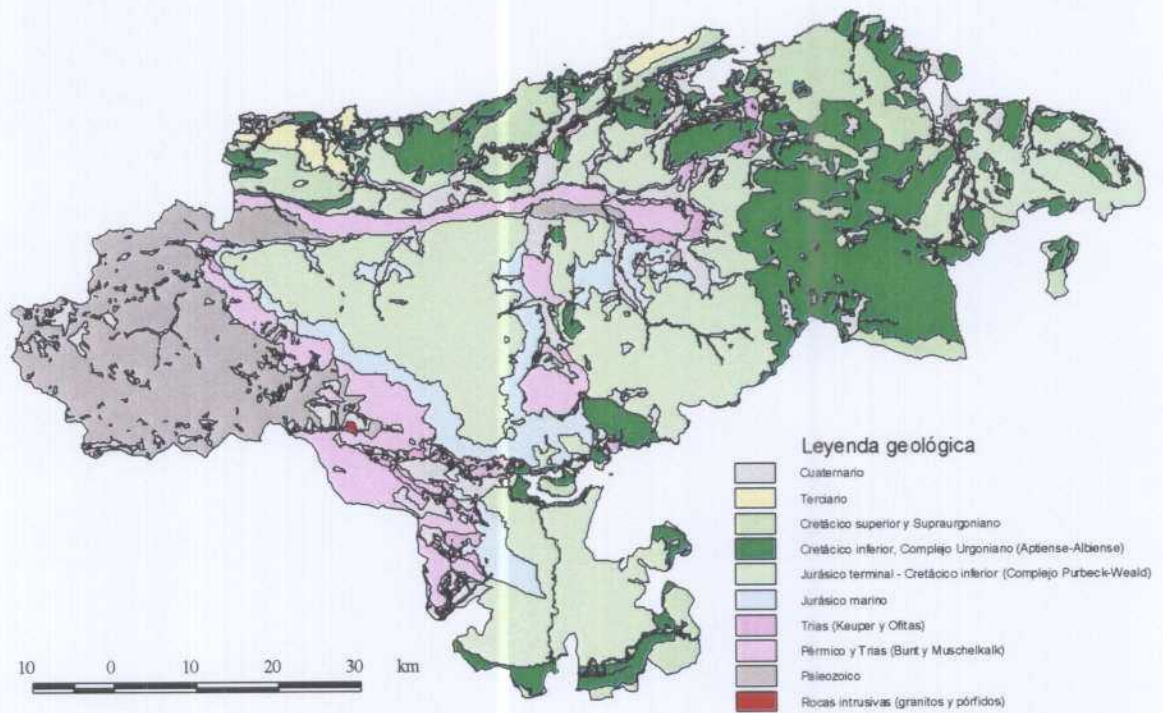
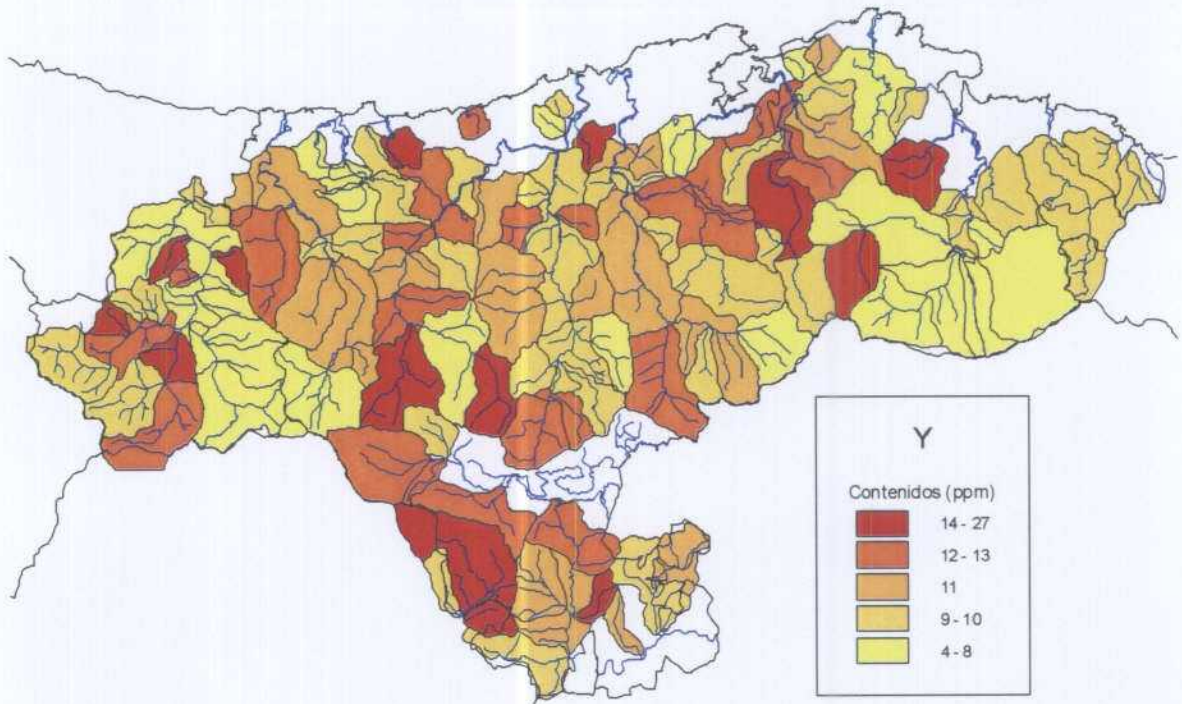


Figura 627. Distribución de los contenidos de Y en los sedimentos de llanura de inundación (muestra superior) en las distintas cuencas hidrográficas

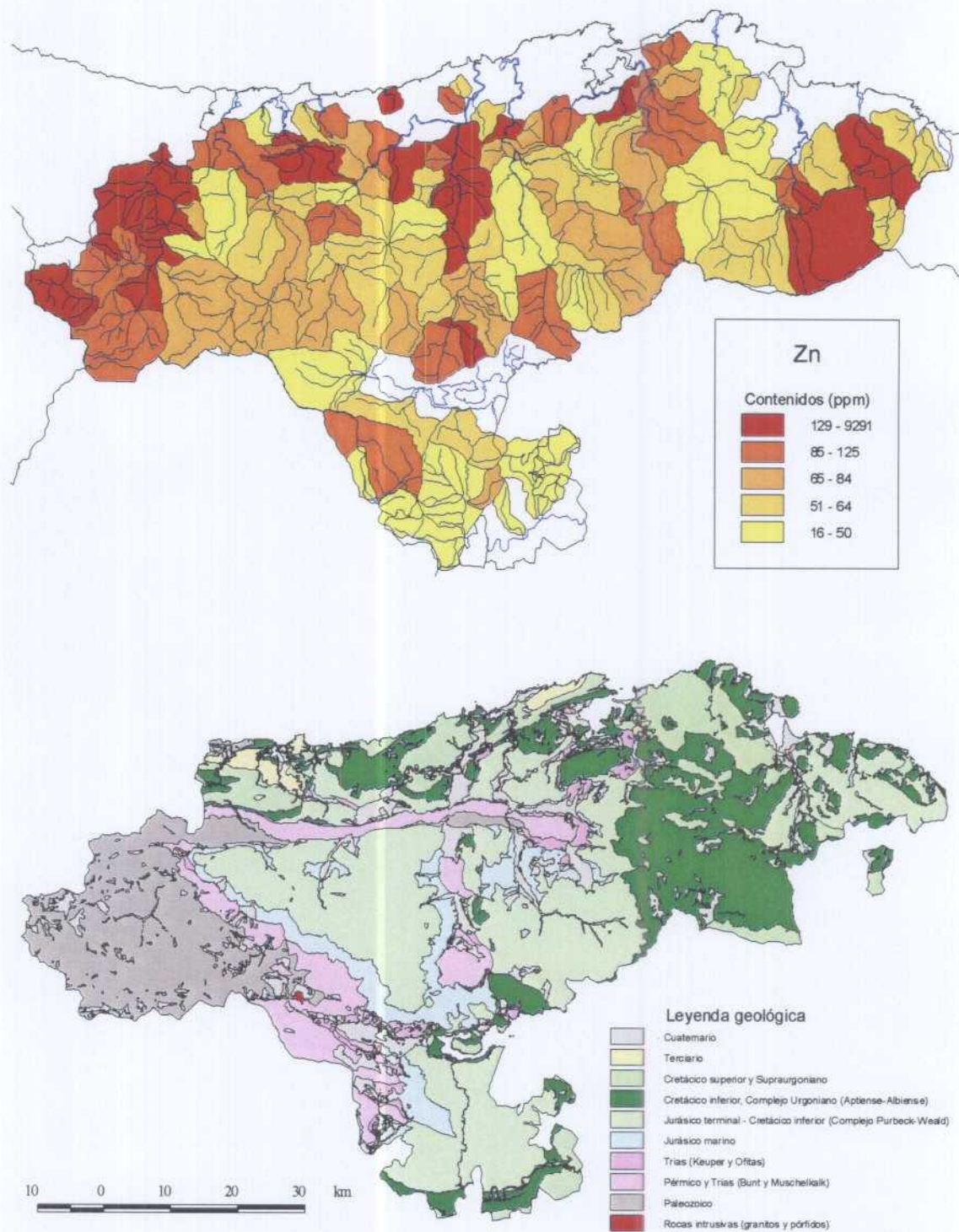


Figura 628. Distribución de los contenidos de Al en los sedimentos de llanura de inundación (muestra superior) en las distintas cuencas hidrográficas

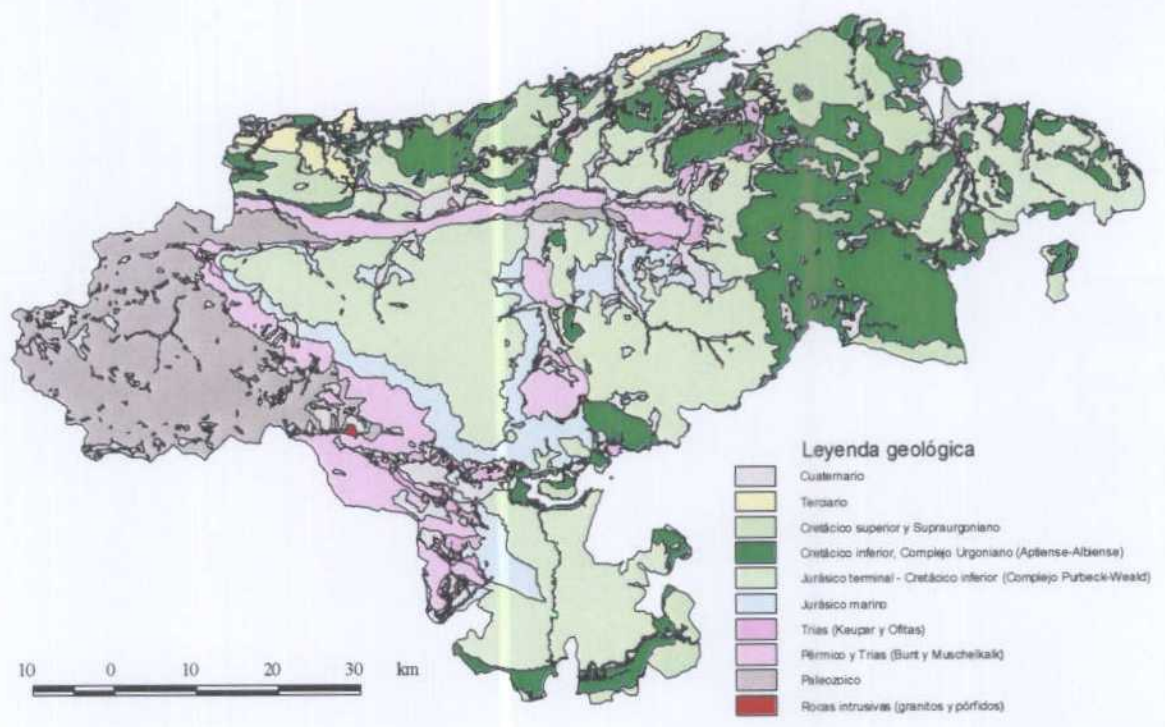
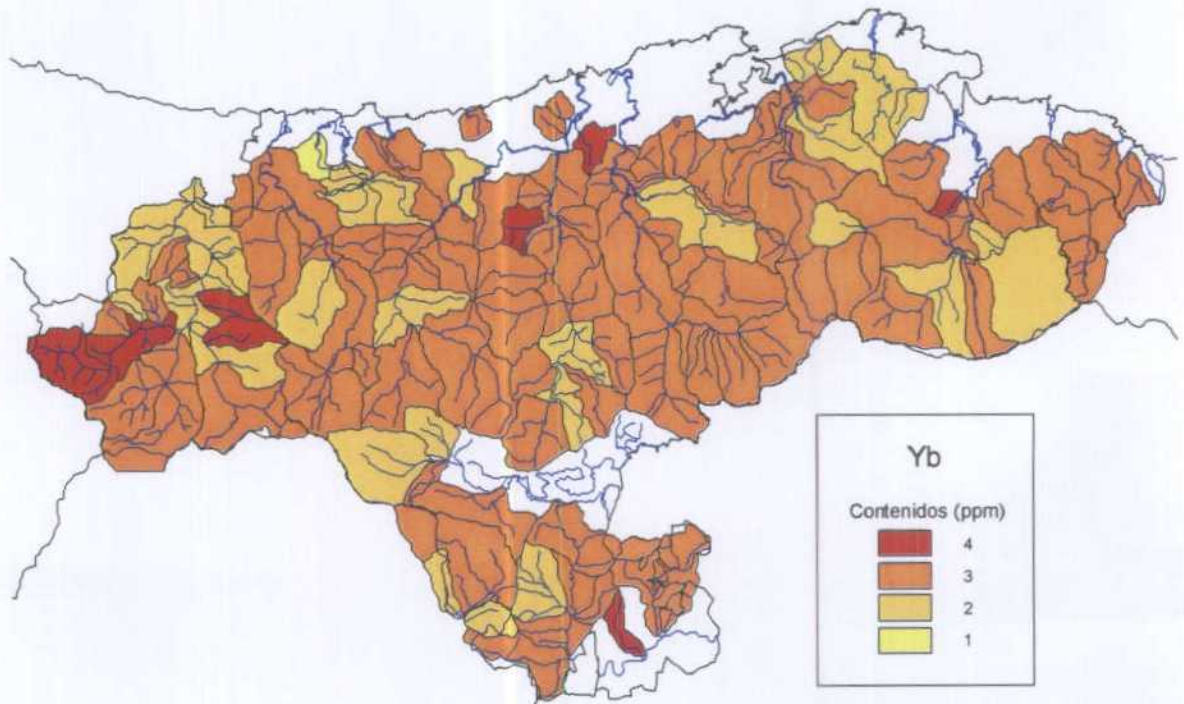


Figura 629. Distribución de los contenidos de Al en los sedimentos de llanura de inundación (muestra superior) en las distintas cuencas hidrográficas

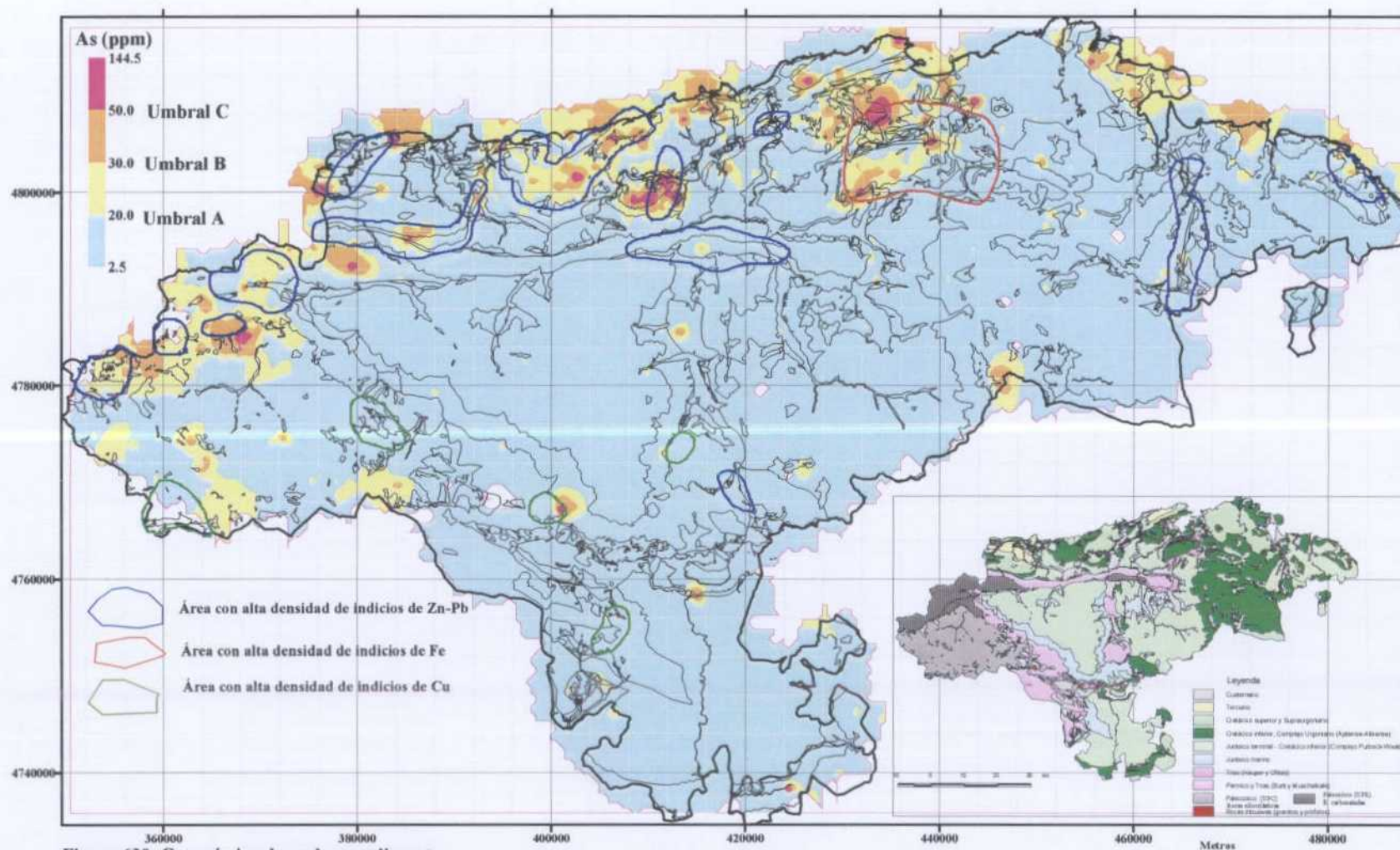
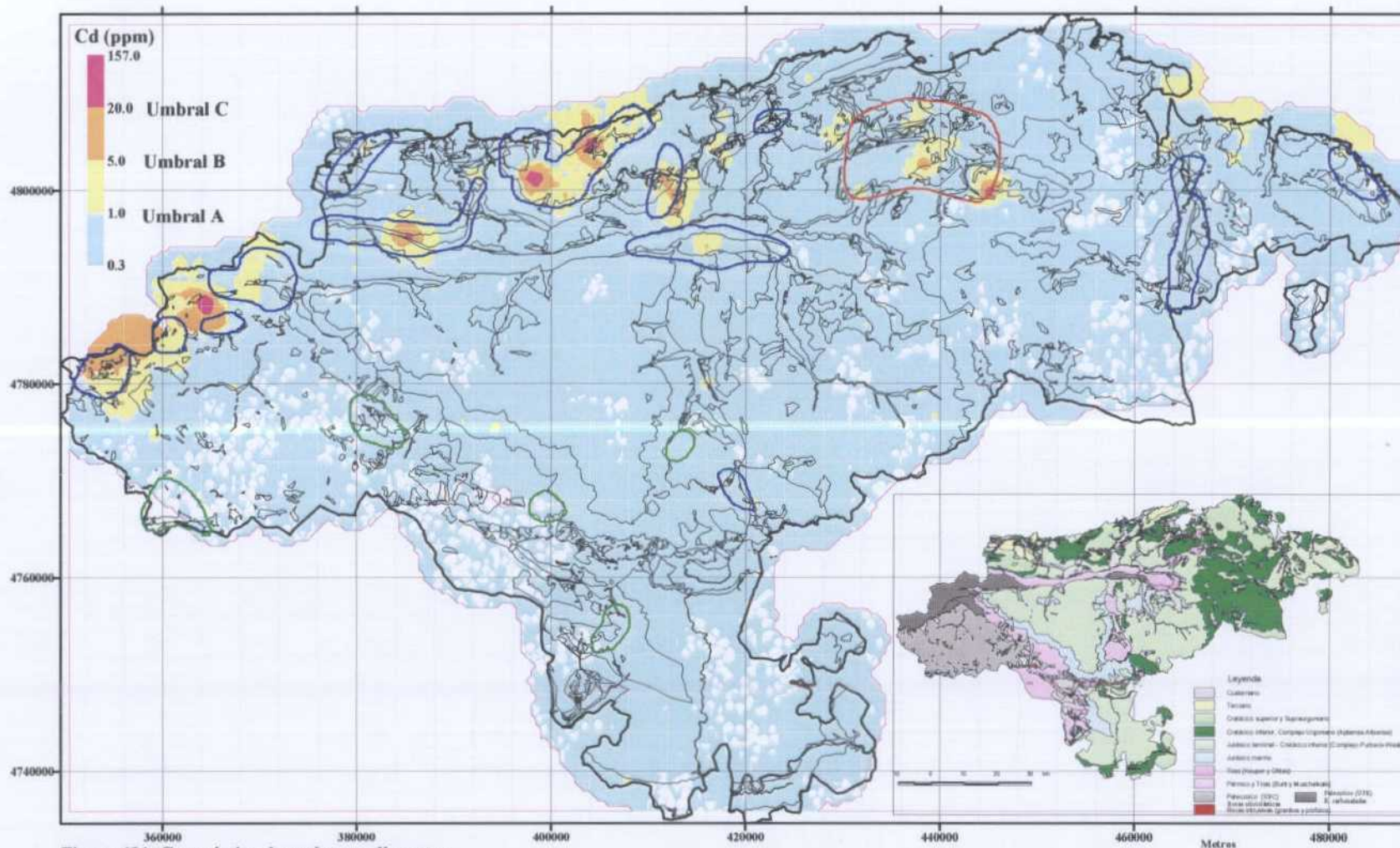


Figura 630. Geoquímica de suelos y sedimentos. Delimitación de áreas según los contenidos en arsénico en función de los umbrales A (20 ppm), B (30 ppm), C (50 ppm) de las normas holandesas de suelos contaminados,





**Figura 631. Geoquímica de suelos y sedimentos. Delimitación de áreas según los contenidos en cadmio en función de los umbrales A (1 ppm), B (5 ppm), C (20 ppm) de las normas holandesas de suelos contaminados,**

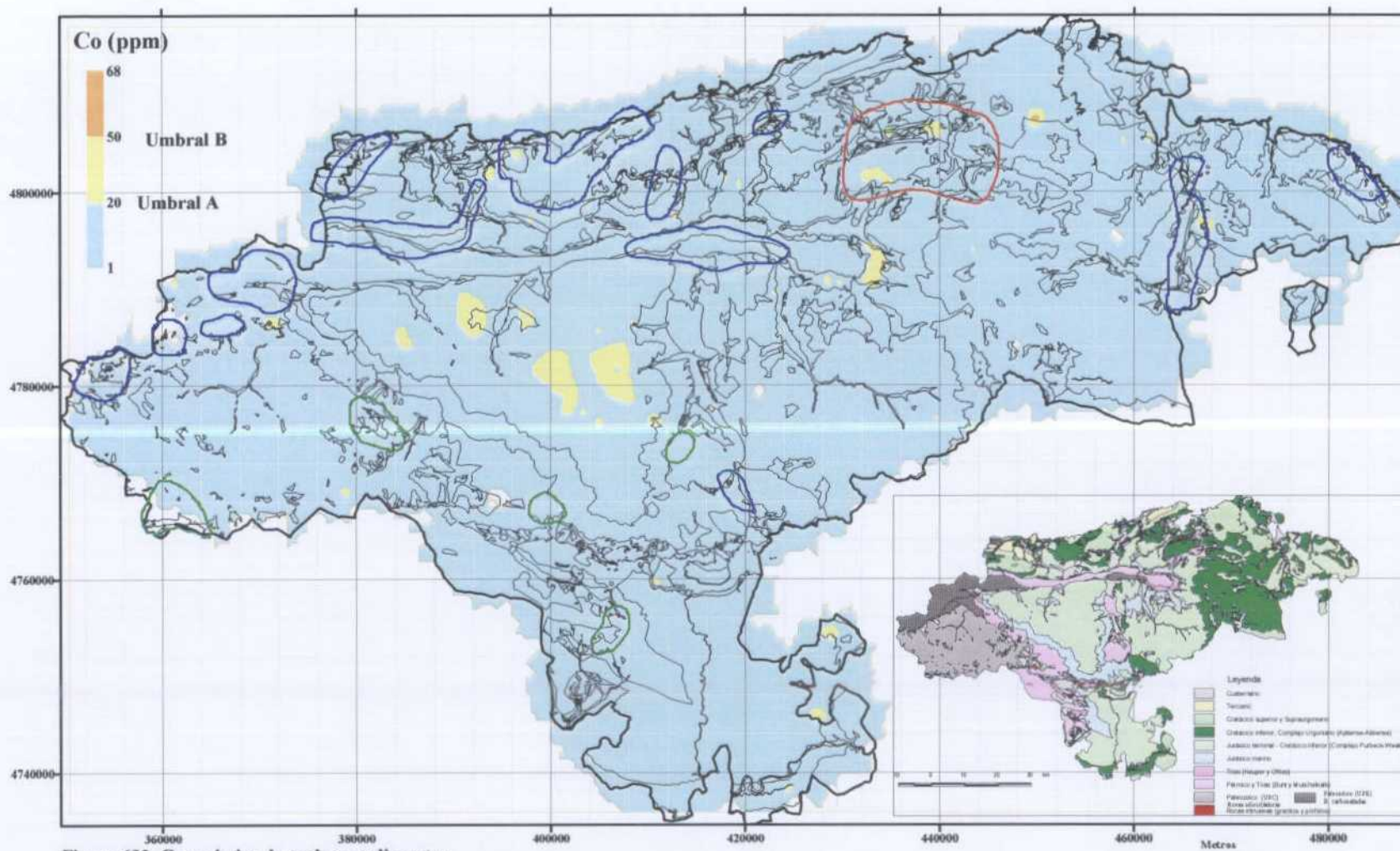


Figura 632. Geoquímica de suelos y sedimentos. Delimitación de áreas según los contenidos en cobalto en función de los umbrales A (20 ppm), B (50 ppm), C (300 ppm) de las normas holandesas de suelos contaminados,

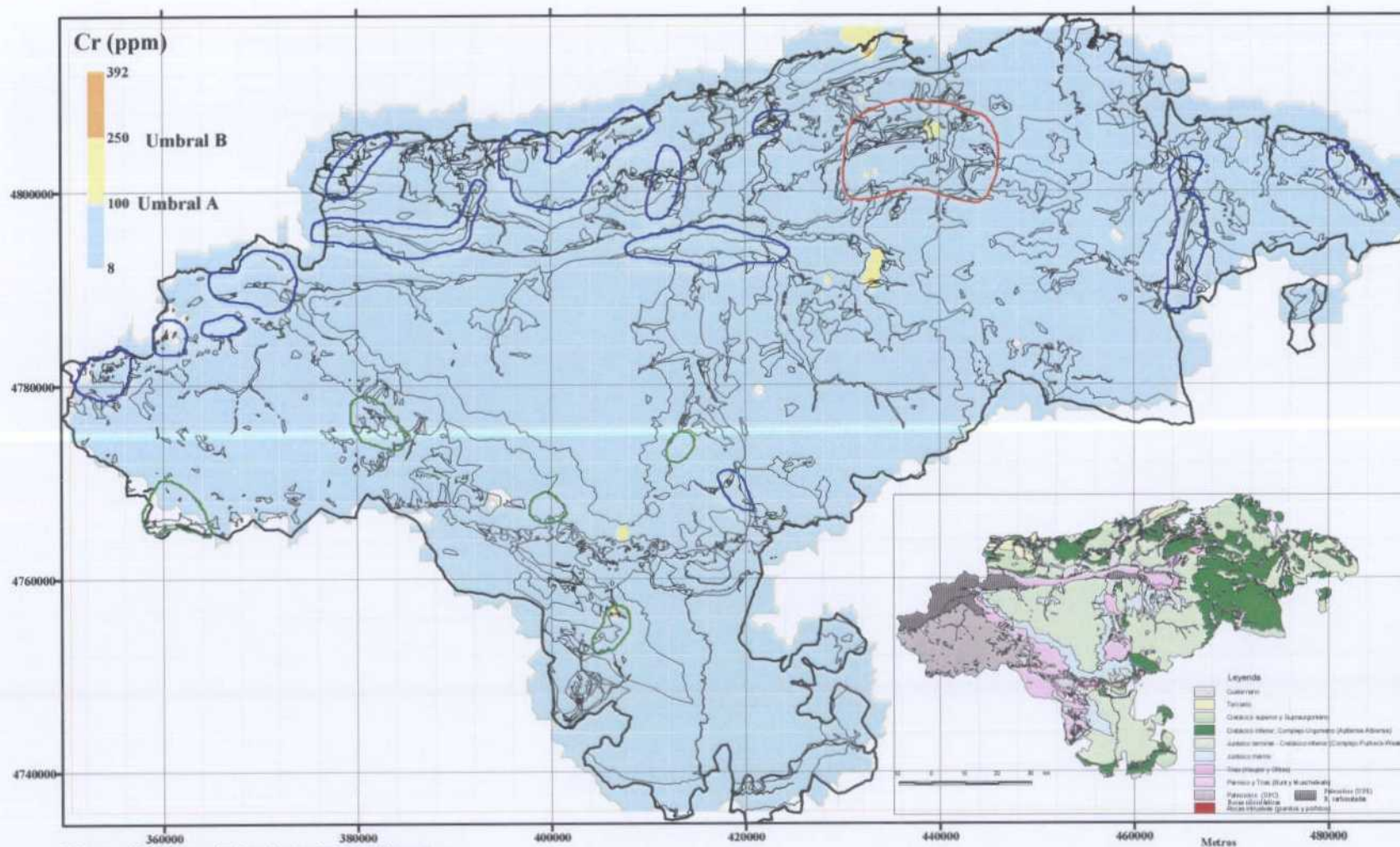


Figura 633. Geoquímica de suelos y sedimentos. Delimitación de áreas según los contenidos en cromo en función de los umbrales A (100 ppm), B (250ppm), C (800 ppm) de las normas holandesas de suelos contaminados,

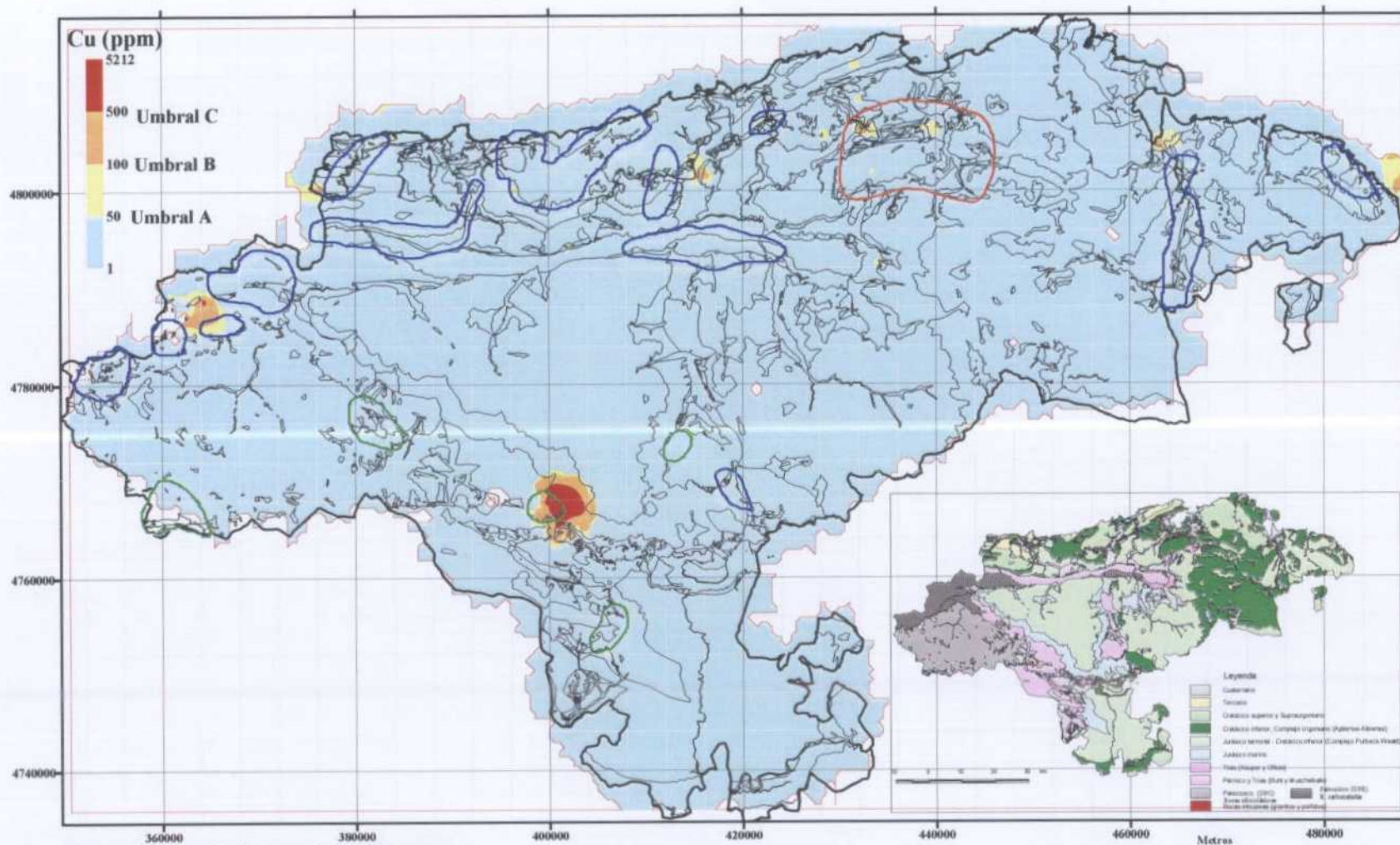


Figura 634. Geoquímica de suelos y sedimentos. Delimitación de áreas según los contenidos en cobre en función de los umbrales A (50 ppm), B (100 ppm), C (500 ppm) de las normas holandesas de suelos contaminados,

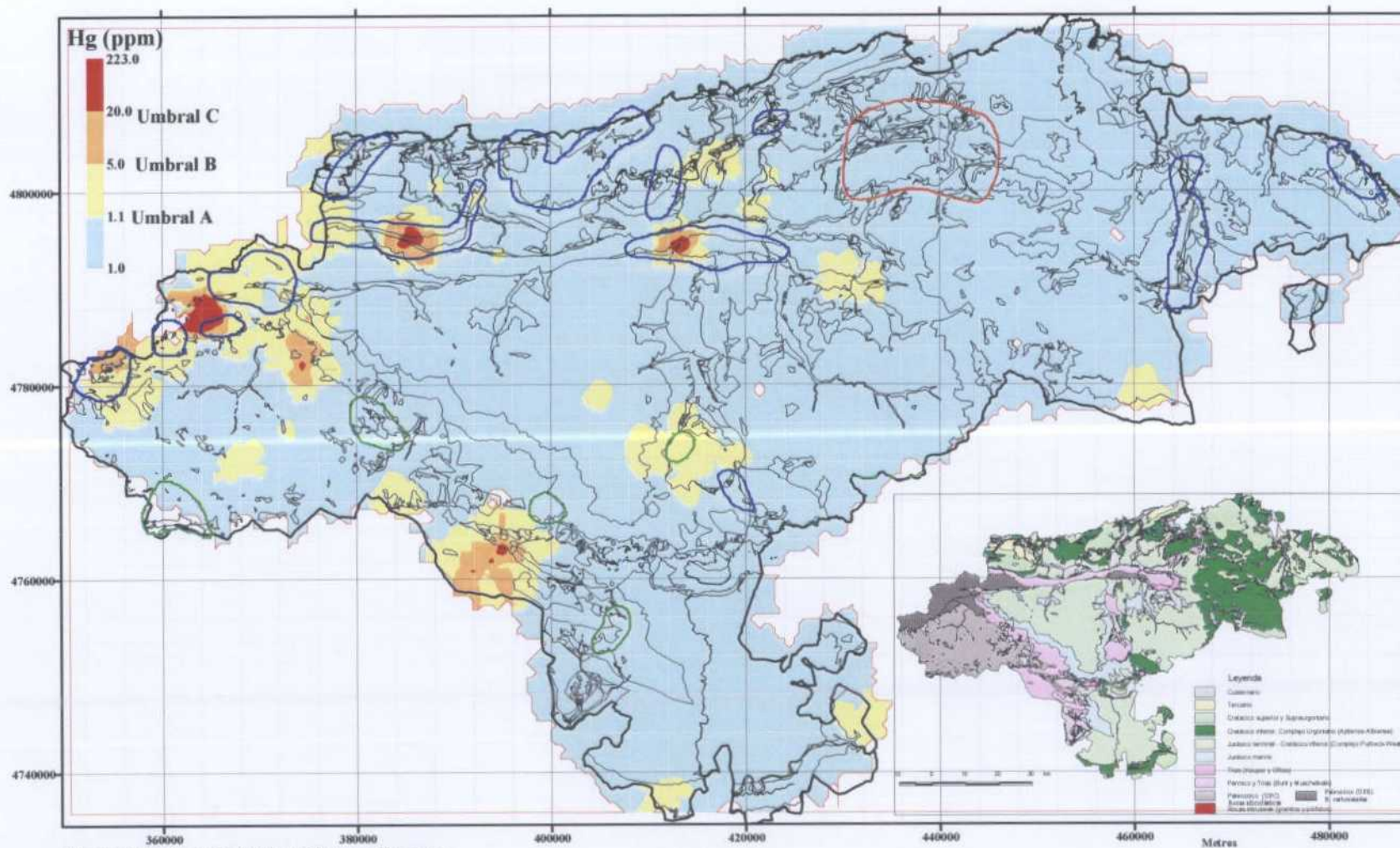


Figura 635. Geoquímica de suelos y sedimentos. Delimitación de áreas según los contenidos en mercurio en función de los umbrales A (0,5 ppm), B (2 ppm), C (10 ppm) de las normas holandesas de suelos contaminados,

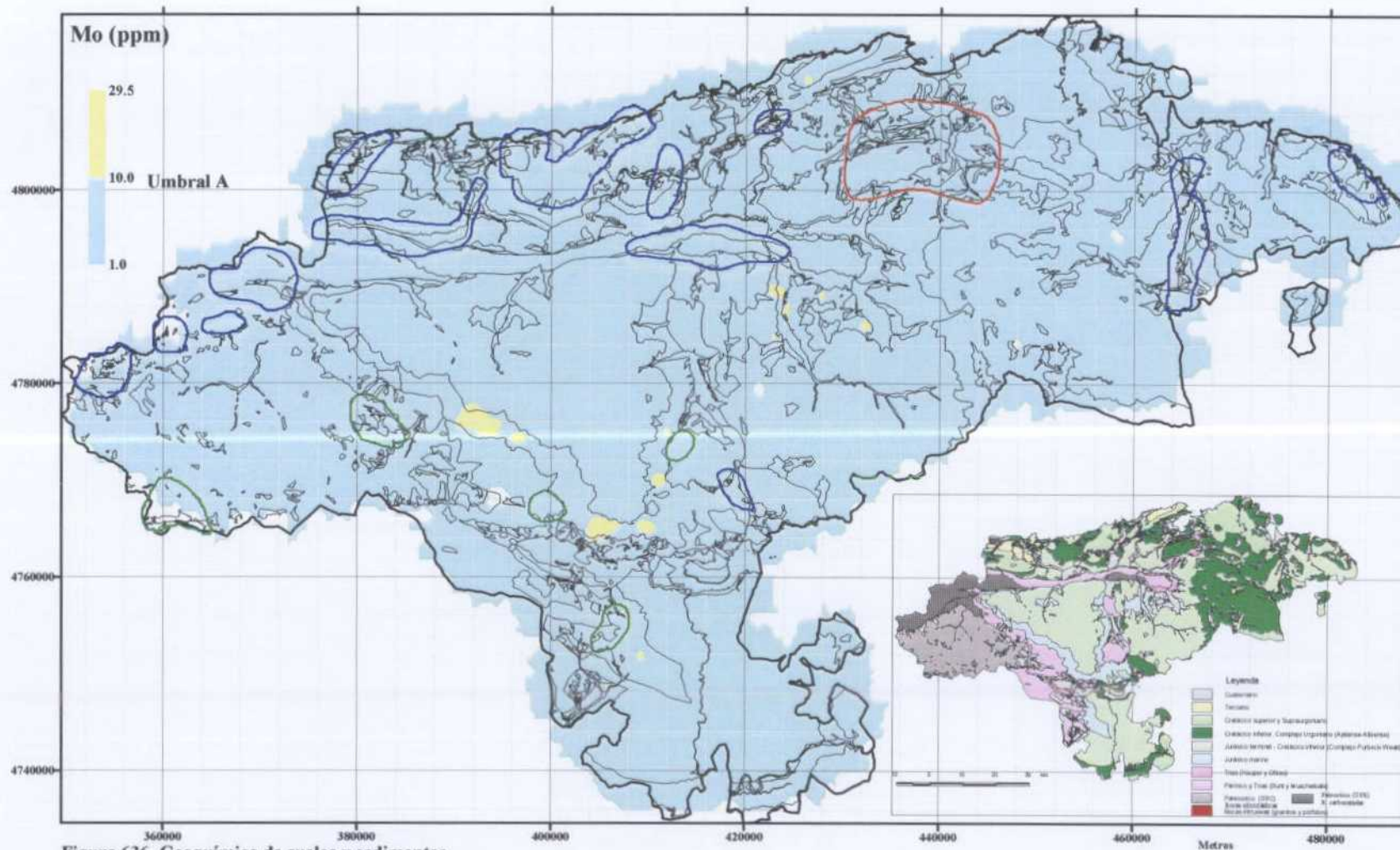
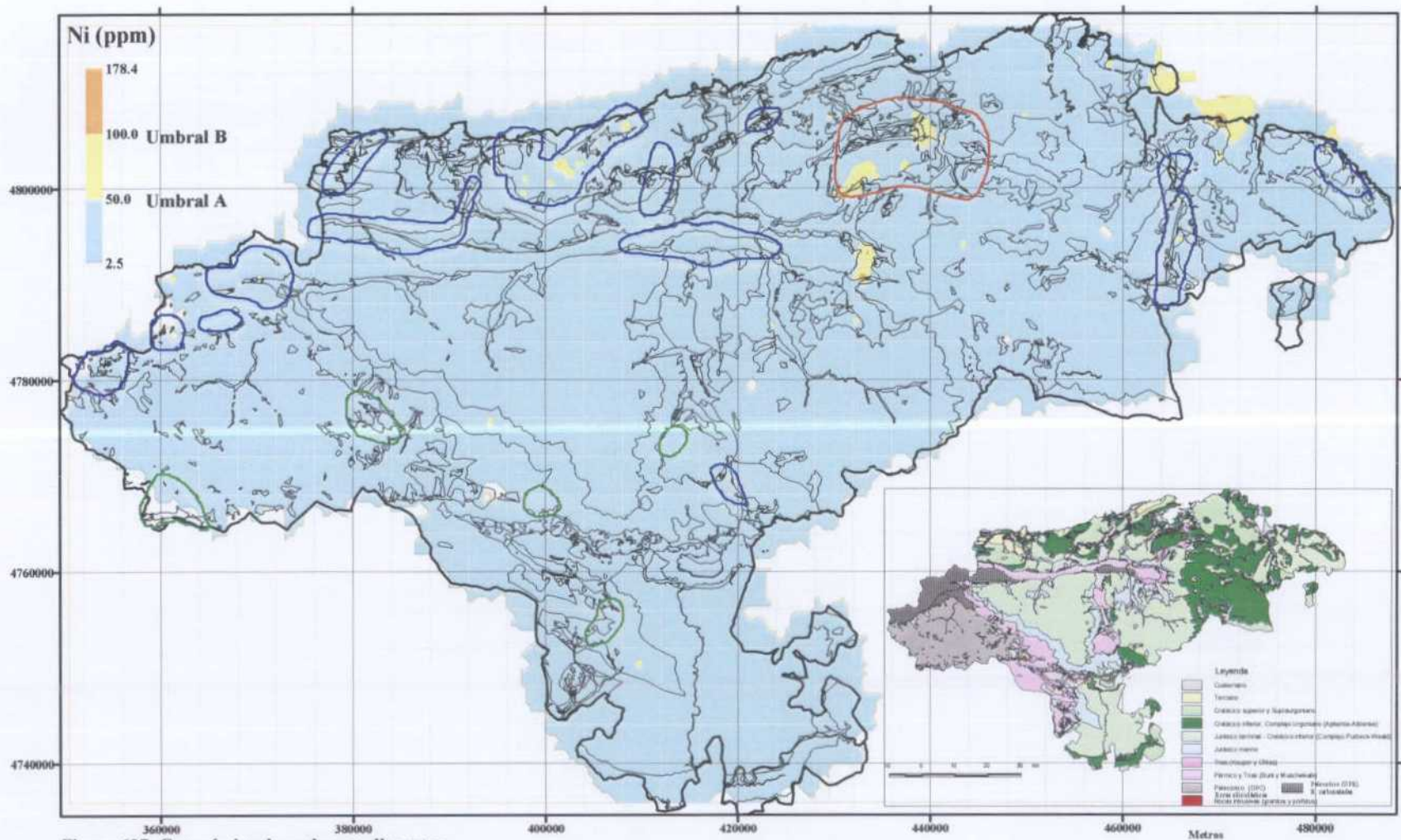


Figura 636. Geoquímica de suelos y sedimentos. Delimitación de áreas según los contenidos en molibdeno en función de los umbrales A (10 ppm), B (100 ppm), C (200 ppm) de las normas holandesas de suelos contaminados,



**Figura 637. Geoquímica de suelos y sedimentos. Delimitación de áreas según los contenidos en níquel en función de los umbrales A (50 ppm), B (100 ppm), C (500 ppm) de las normas holandesas de suelos contaminados,**

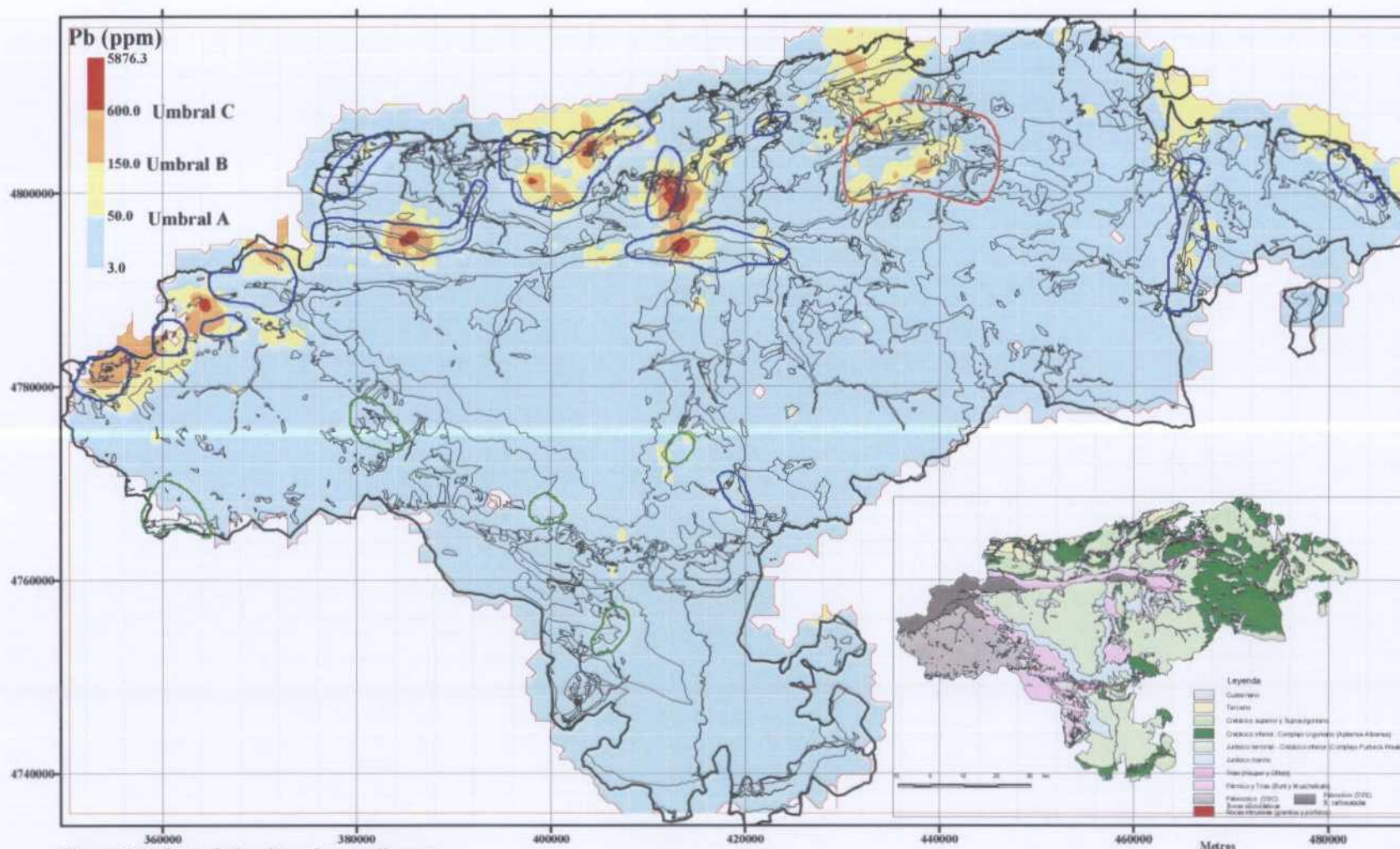


Figura 638. Geoquímica de suelos y sedimentos. Delimitación de áreas según los contenidos en plomo en función de los umbrales A (50 ppm), B (150 ppm), C (600 ppm) de las normas holandesas de suelos contaminados,



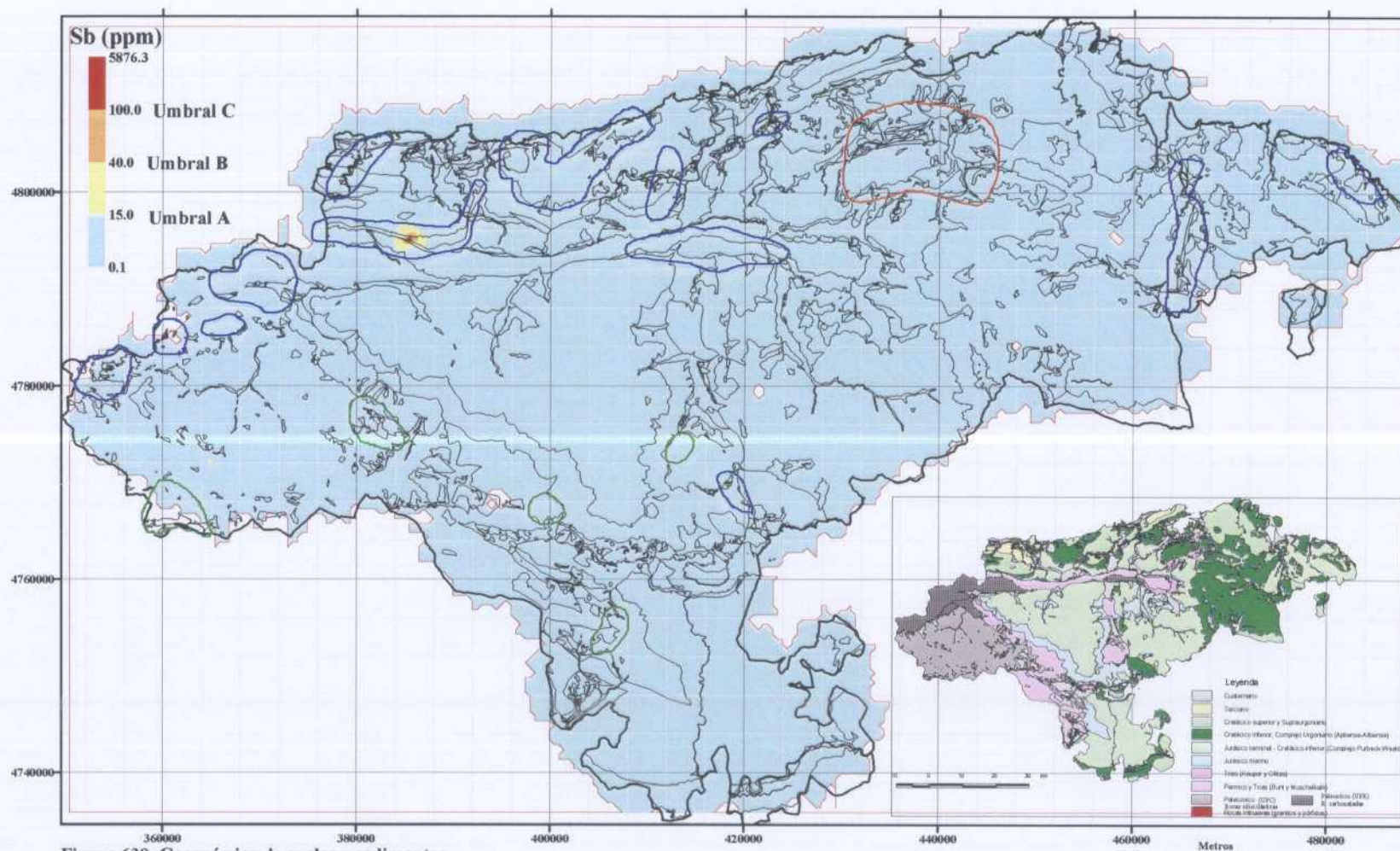


Figura 639. Geoquímica de suelos y sedimentos. Delimitación de áreas según los contenidos en antimonio en función de los equivalentes de los umbrales A (50 ppm), B (150 ppm), C (600 ppm), normas GLC de Inglaterra. de las normas holandesas de suelos contaminados,

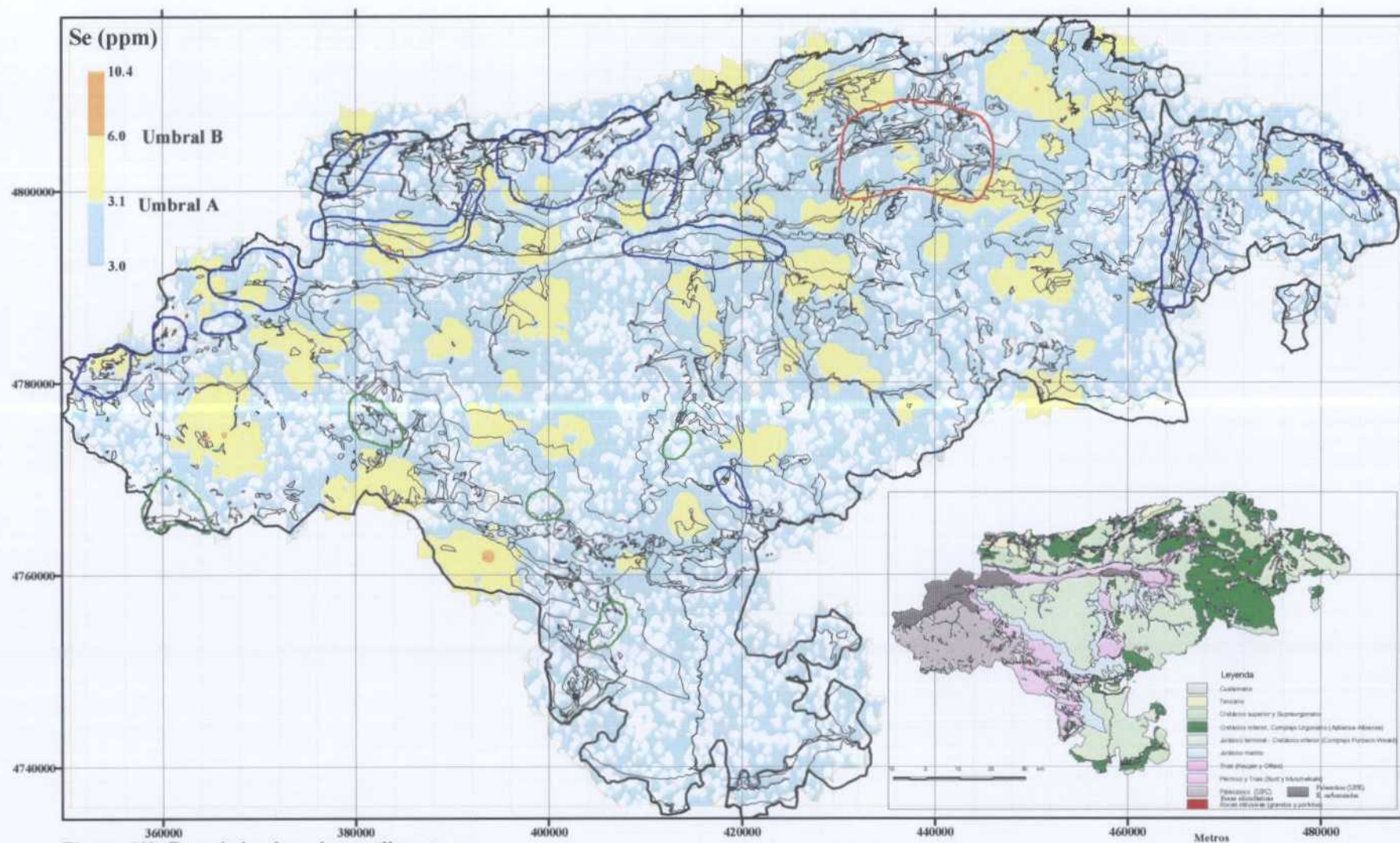


Figura 640. Geoquímica de suelos y sedimentos. Delimitación de áreas según los contenidos en selenio en función de los equivalentes de los umbrales A (0.5 ppm), B (1,5 ppm), C (6 ppm), normas GLC de Inglaterra, de las normas holandesas de suelos contaminados,

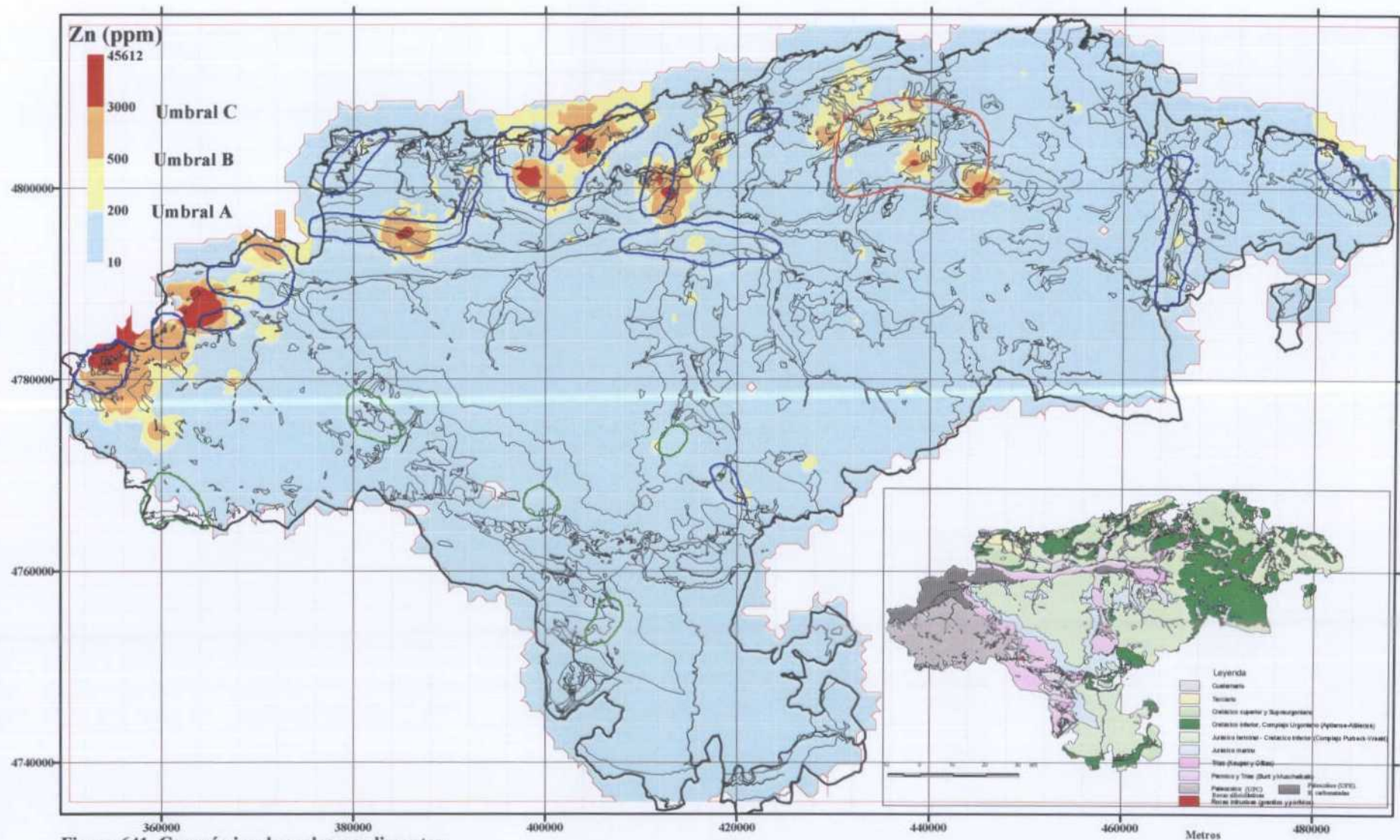


Figura 641. Geoquímica de suelos y sedimentos. Delimitación de áreas según los contenidos en selenio en función de los umbrales A (200 ppm), B (500 ppm), C (3000 ppm) de las normas holandesas de contaminación de suelos